

GM 66009

PROGRAMME D'EXPLORATION DANS LE SECTEUR DU LAC CHAPITEAU, PROJET MISERY

Documents complémentaires

Additional Files



Licence



Licence

Cette première page a été ajoutée
au document et ne fait pas partie du
rapport tel que soumis par les auteurs.

Énergie et Ressources
naturelles

Québec 

IOS Services Géoscientifiques

**PROGRAMME D'EXPLORATION
DANS LE SECTEUR DU LAC
CHAPITEAU, FOSSE DU LABRADOR,
NORD-DU-QUÉBEC, ÉTÉ 2010**

PROJET MISERY

Présenté à

Pierre Guay, géo.

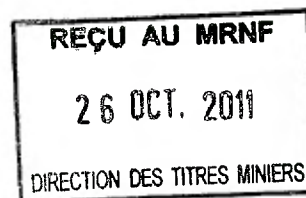


QUEST RARE MINERALS

Par

Jonathan Lalancette, ing.

GM66009

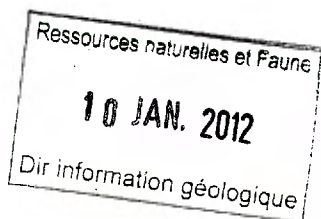


1151237

Date : 27 juin 2011

Projet : 782

1^{ère} copie



Ville de Saguenay

TABLE DES MATIÈRES

TABLE DES MATIÈRES	II
LISTE DES ANNEXES.....	III
LISTE DES CARTES	III
LISTE DES FIGURES.....	III
LISTE DES TABLEAUX.....	IV
TRAVAUX ANTÉRIEURS	3
GÉOLOGIE RÉGIONALE	4
DESCRIPTION DES TRAVAUX	4
Anomalie magnétique circulaire principale.....	6
Anomalie magnétique circulaire centrale.....	7
Anomalie magnétique circulaire sud.....	8
Méthodologie et déroulement des travaux.....	9
PROTOCOLE D'ANALYSE.....	11
Contrôle de la qualité analytique	11
Contrôle de la qualité de Quest Rares Minerals	11
Contrôle de la qualité d'Actlabs	11
GÉOLOGIE LOCALE	12
Anomalie magnétique circulaire principale.....	12
Anomalie magnétique centrale.....	20
Anomalie magnétique circulaire sud.....	24
Anomalies spectrométriques	29
CONCLUSIONS ET RECOMMANDATIONS	31
BIBLIOGRAPHIE	35

LISTE DES ANNEXES

Annexe 1 : Rapports journaliers

Annexe 2 : Localisation et échantillonnage

Table 1 : Description des affleurements

Table 2 : Description des échantillons

Annexe 3 : Résultats d'analyse et calculs

Table 1 : Analyse des échantillons et calculs TREO et HRFO

Annexe 4 : Certificats d'analyse

LISTE DES CARTES

Carte 1 : Carte de la propriété

Carte 2 : Localisation des échantillons

Carte 3 : Résultats d'analyse

LISTE DES FIGURES

Figure 1 : Localisation du projet.....	1
Figure 2 : Positionnement des 3 anomalies magnétiques circulaires sur la propriété Lac Misery sur fond du champ magnétique total.....	5
Figure 3 : Positionnement des 345 échantillons prélevés sur l'anomalie magnétique circulaire principale sur fond du champ magnétique total.....	7
Figure 4 : Positionnement des 87 échantillons collectés sur l'anomalie magnétique centrale sur fond du champ magnétique total	8
Figure 5 : Emplacement des 77 échantillons prélevés sur l'anomalie magnétique circulaire sud sur fond du champ magnétique total	9
Figure 6 : Positionnement des échantillons de syénite quartzifère avec une teneur en TREO supérieure à 1 %	14
Figure 7 : Dyke de syénite quartzifère encaissé dans une syénite à texture rapakivi	15
Figure 8 : Positionnement des échantillons de syénite avec une teneur en TREO supérieure à 1 %	16
Figure 9 : Positionnement des blocs de pyroxénite et trace du linéament observé sur le levé magnétique sur fond topographique.....	17

Figure 10 : Position de la tranchée par rapport à l'anomalie magnétique circulaire principale.....	19
Figure 11 : Tranchée de 15 m par 11 m cartographiée, décapée et rainurée	20
Figure 12 : Positionnement des 87 échantillons recueillis dans le secteur de l'anomalie circulaire centrale	21
Figure 13 : Positionnement des échantillons de syénite à texture rapakivi dans le secteur de l'anomalie magnétique circulaire centrale	22
Figure 14 : Veine de quartz échantillonnée dans le secteur de l'anomalie magnétique circulaire centrale	23
Figure 15 : Les veines de quartz sont localement très altérées et présentent des comptes par seconde élevés	24
Figure 16 : Positionnement des 77 échantillons recueillis dans le secteur de l'anomalie circulaire sud	25
Figure 17 : Positionnement des échantillons de syénite à texture rapakivi dans le secteur de l'anomalie magnétique circulaire sud.....	26
Figure 18 : Contact entre les syénites à texture rapakivi et les diorites porphyriques.....	27
Figure 19 : Dyke centimétrique à grains grossiers échantillonné dans le secteur de l'anomalie magnétique circulaire sud.....	28
Figure 20 : Dyke de pegmatite avec présence d'amazonite	28
Figure 21 : Positionnement des échantillons sur l'anomalie spectrométrique	30

LISTE DES TABLEAUX

Tableau 1 : Tableau présentant les 20 échantillons de l'ensemble du programme avec les meilleures teneurs en TREO	31
--	----

INTRODUCTION

Le projet Misery porte sur l'exploration des minéraux de terres-rares et est géré à part entière par Quest Rare Minerals Ltd. Il est situé dans la région du lac Chapiteau (feuillet SNRC 13M03, 13M04, 13M05, 23P01 et 23P08), à l'est de la Fosse du Labrador, Nord-du-Québec (**figure 1**). La propriété est sise sur le Batholite de Mistastin, dans la partie orientale de la Province structurale de Rae (anciennement Province du Churchill).

Le présent rapport traite du programme d'exploration exécuté à l'été 2010, incluant la cartographie géologique et l'échantillonnage manuel d'affleurements. Il ne couvre cependant pas la campagne de forage ni la campagne d'échantillonnage du till qui y ont eu lieu au cours du même été. Un total de 7 sondages y avaient été effectués, pour 1064,5 m de forage. IOS Services Géoscientifiques inc. a été impliquée dans les travaux d'exploration de la propriété Lac Misery pour la première fois durant l'été 2010. Quest Rare Minerals Inc. a mené les travaux exécutés lors de la première phase de ce programme durant l'été 2009. Cette première phase était de moindre importance, ne s'étendant que sur quelques jours.

TERMES DE RÉFÉRENCES

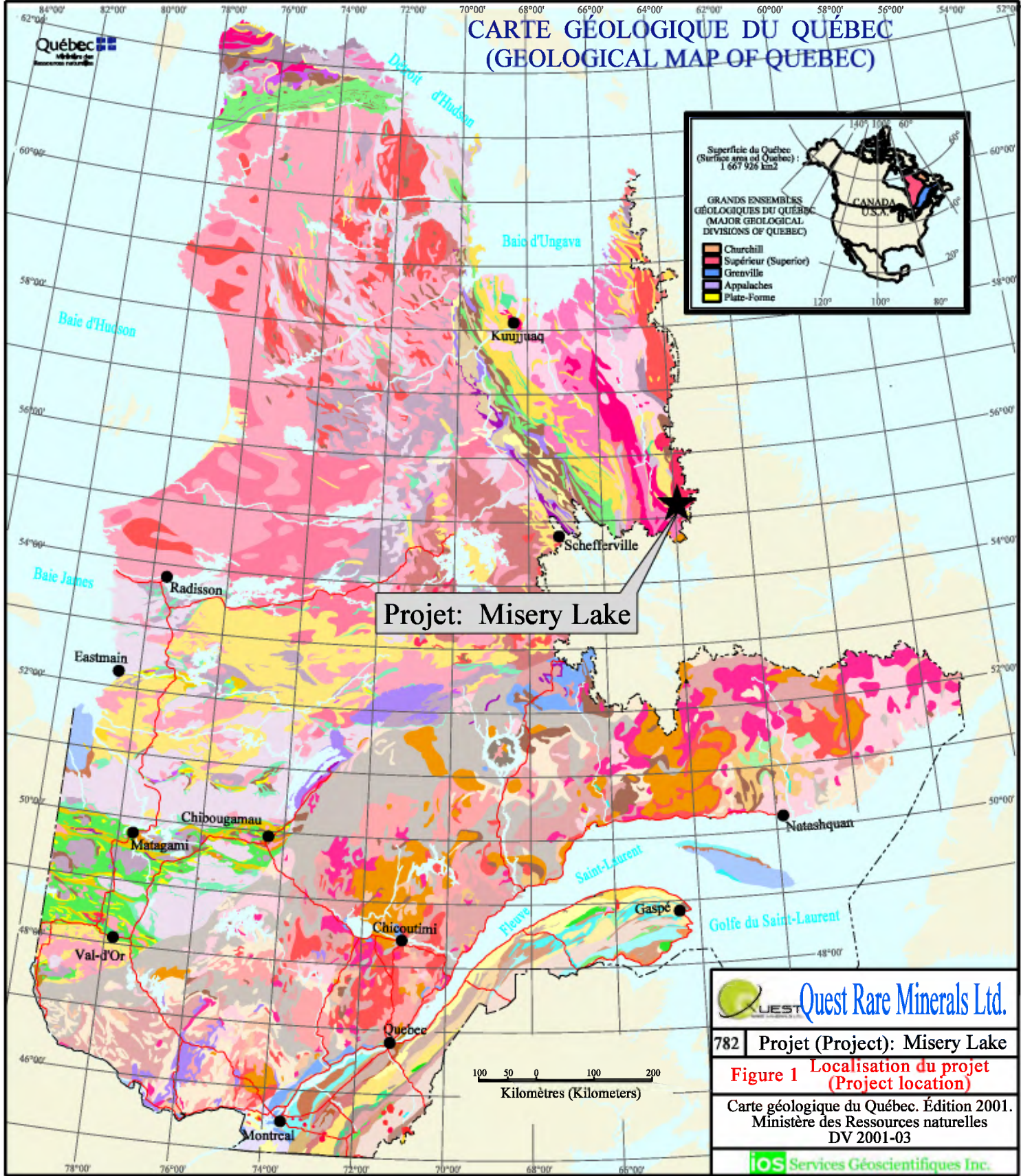
Quest Rare Minerals Inc. a fait appel à IOS Services Géoscientifiques inc. afin de mener une campagne d'exploration et de cartographie géologique pour les éléments terres-rares sur la propriété du projet Lac Misery.

Quest Rare Minerals Inc. a fait appel à IOS Services Géoscientifiques inc. afin de mener une campagne d'exploration et de cartographie géologique pour les éléments terres-rares sur la propriété du projet Misery. Cette campagne a été menée parallèlement à un programme d'échantillonnage de till, conduit par un autre entrepreneur. Un programme de forage a été exécuté plus tard dans la saison. De petits travaux de décapage et de rainurage ont aussi eu lieu. IOS était responsable de la gestion du forage, de la description

sommaire des carottes de forage, de l'échantillonnage de roches de surface et de la cartographie géologique. De plus, IOS a été mandatée pour la rédaction d'un rapport n'incluant que la description des travaux de surface (cartographie et échantillonnage) et la présentation des résultats. Le rapport de forage est en voie d'être rédigé par les représentants de Quest.

Les travaux de terrain ont été confiés à M. Jonathan Lalancette, ingénieur. Il était sous la supervision de M. Pierre Guay, géologue chez Quest Rare Minerals Inc.

CARTE GÉOLOGIQUE DU QUÉBEC (GEOLOGICAL MAP OF QUEBEC)



Projet: Misery Lake

Quest Rare Minerals Ltd.

782 | **Projet (Project): Misery Lake**

Figure 1 Localisation du projet (Project location)

Carte géologique du Québec. Édition 2001.
Ministère des Ressources naturelles
DV 2001-03

IOS Services Géoscientifiques Inc.

IOS n'était responsable d'aucune obtention de permis pour le déroulement des travaux. Aucune enveloppe budgétaire n'a été convenue entre les parties, le budget n'étant pas sous la gestion d'IOS. Aucun suivi des dépenses n'a été assuré.

M. Pierre Guay, géologue chez Quest Rare Minerals, a fourni à M. Jonathan Lalancette, ingénieur chez IOS Services Géoscientifiques inc., les cibles d'exploration à visiter lors de la campagne. Ces documents en format ArcGis incluaient les contours de la propriété, les levés aéromagnétiques et spectrométriques non interprétés ainsi que les résultats de la campagne précédente. Ils ont été fournis à l'auteur lors d'une rencontre ayant eu lieu à la pourvoirie du lac Chapiteau au tout début du programme.

Le laboratoire retenu pour effectuer l'analyse des échantillons de roche est Actlabs (Activation Laboratories Inc.) situé à Goose Bay, Terre-Neuve.

DESCRIPTION DE LA PROPRIÉTÉ

Le projet couvre la propriété Lac Misery, détenue par Quest Rare Minerals Inc. (feuilles SNRC 13M03, 13M04, 13M05, 23P01 et 23P08). La propriété contient 1732 cellules contiguës désignées sur carte (**carte 1**). Cette propriété est délimitée par les coordonnées de longitude 75° 30' 30" et 76° 10' 00" et de latitude 55° 6' 00" et 55° 24' 00". Elle est de forme irrégulière et couvre une superficie totale de 830 km². La bordure est de la propriété est délimitée par la frontière géographique entre la province de Québec et la province de Terre-Neuve.

Le projet couvre la propriété Lac Misery, de Quest Rare Minerals Inc. (feuilles SNRC 13M03, 13M04, 13M05, 23P01 et 23P08).

La propriété n'est accessible que par hydravion, à partir du lac de la Squaw (base d'hydravion d'Air Saguenay), situé en périphérie de la municipalité de Schefferville.

La propriété est caractérisée par un relief accidenté, avec des collines arrondies atteignant 690 m d'altitude. Le couvert forestier est pratiquement inexistant en altitude. L'épinette noire, qui est l'espèce végétale dominante, se retrouve essentiellement dans les vallées. On trouve également quelques pins gris. Le drainage de la région est bien développé.

La propriété est située sur des terres de catégorie III selon l'Entente de la Baie-James et du Nord québécois, n'ayant aucune restriction en regard des activités d'exploration minière.

TRAVAUX ANTÉRIEURS

La première cartographie géologique (1/250 000) pour ce secteur a été publiée par Taylor (1979). Le Batholite de Mistastin a été couvert à l'échelle de 1/1 000 000 par Emslie et autres (1980). Une cartographie géologique de détail (1/50 000) a été effectuée entre 1983 et 1986 par le ministère de l'Énergie et des Ressources du Québec, décrite ci-dessous. Un levé géochimique (échantillonnage de sédiments de fond de lac) a été exécuté par Beaumier en 1982 et 1983. Concomitamment à la cartographie géologique, un échantillonnage des sédiments de ruisseau a été fait dans le secteur du lac Brisson et du lac Mistinibi (Otis, 1986).

Entre les années 1983 et 1987, le secteur est de la Fosse du Labrador a été cartographié dans le cadre du projet Rivière George. Ce projet a débuté en 1983 avec la cartographie à l'échelle 1/50 000 par M. Bélanger et J. Van der Leeden. Le programme s'est poursuivi l'année suivante, en 1984, avec la cartographie à l'échelle 1/50 000 par J. Van der Leeden (1995) et J.V. Owen (1987). Pendant l'été de 1986, M. Taner a cartographié le Batholite de Mistastin à l'échelle 1/50 000 dans le secteur du lac Juillet (feuilles SNRC 23P01 et 13M04) (Taner, 1987). Pendant ce temps, D. Danis cartographiait le secteur du lac Raude à l'échelle 1/50 000 (feuilles SNRC 23P02, 23P07, 23P08, 13M05 et 13 M06) (Danis, 1991).

En 2009, Le ministère des Ressources naturelles et de la Faune du Québec a publié des données géochimiques de sédiments de fond de lac issues d'une nouvelle analyse des échantillons archivés du nord-est du Québec (Maurice et Labbé, 2009). Plus de 21 000 échantillons ont alors été réanalysés. Le secteur d'étude couvrant plus de 200 000 km² était situé entre la municipalité de Schefferville et la baie d'Ungava. Les échantillons avaient initialement été échantillonnés durant différents levés géochimiques cités plus haut, entre 1982 et 1984. En 2010, dans le contexte du programme de géocartographie de l'énergie et des minéraux, Ressources naturelles Canada a effectué un levé géophysique aérien dans les secteurs des lacs Ramusio et Attikamagen (feuilles SNRC 13L, 13M, 23I, 23J, 23O et 23P). La même année, en réponse à l'activité d'exploration minière en cours, le ministère des Ressources naturelles et de la Faune du Québec a fait une nouvelle cartographie géologique à l'échelle 1/50 000 sur le feuille SNRC 13M05 (Hammouche et autres, 2010).

GÉOLOGIE RÉGIONALE

La description des unités lithodémiques du secteur couvrant le projet Misery proviennent du projet Rivière George. Le projet Misery, situé dans le segment est de la Province structurale de Rae et anciennement attribué à la Province structurale de Churchill. Ce secteur montre un assemblage géologique complexe comprenant un socle gneissique d'âge archéen, réactivé lors de l'orogène hudsonienne au Protérozoïque inférieur, et recoupé d'intrusions granitiques elsoniennes lors du méso-

Protérozoïque. Le projet est entièrement situé sur le Batholite de Mistastin qui couvre l'extrémité orientale des feuillets 23P01 et 23P08, la presque totalité du feuillet 13M05, la moitié nord du feuillet 13M04 et une partie du feuillet 13M06. La mise en place de ce batholite est associée à un événement anorogénique complexe incluant des granites et anorhosites et couvrant le sud-est du craton nord-américain, mais présent aussi au Groenland et dans la péninsule scandinave. L'intrusion anorogénique de type alcalin de Mistastin représente vraisemblablement le dernier événement important dans la région. Ce batholite est essentiellement composé de syénite et de monzonite, à texture de rapakivi. Quelques dykes, probablement de diabase, recoupent le batholite. Ces dykes, orientés nord-est/sud-ouest, sont bien visibles sur le levé magnétique régional.

Plus précisément, le projet est entièrement situé sur le Batholite de Mistastin qui couvre l'extrémité orientale des feuillets 23P01 et 23P08, la presque totalité du feuillet 13M05, la moitié nord du feuillet 13M04 et une partie du feuillet 13M06.

DESCRIPTION DES TRAVAUX

Le programme est principalement concentré sur une anomalie magnétique circulaire située dans le nord de la propriété.

Les cibles de prospection du programme d'exploration géologique de l'été 2010 ont été fournies à l'auteur par le représentant de Quest Rare Minerals Inc. Le programme est principalement concentré sur l'évaluation d'une anomalie aéromagnétique circulaire située dans le nord de la propriété. Cette anomalie aéromagnétique est associée à des anomalies aérospectrométriques.

Pendant la campagne d'exploration géologique, deux autres anomalies aéromagnétiques circulaires, moins intenses, ont aussi été visitées (**figure 2**). Ces deux anomalies sont situées respectivement au centre et au sud de la propriété. Quelques autres petites anomalies spectrométriques ont aussi été examinées durant la campagne.

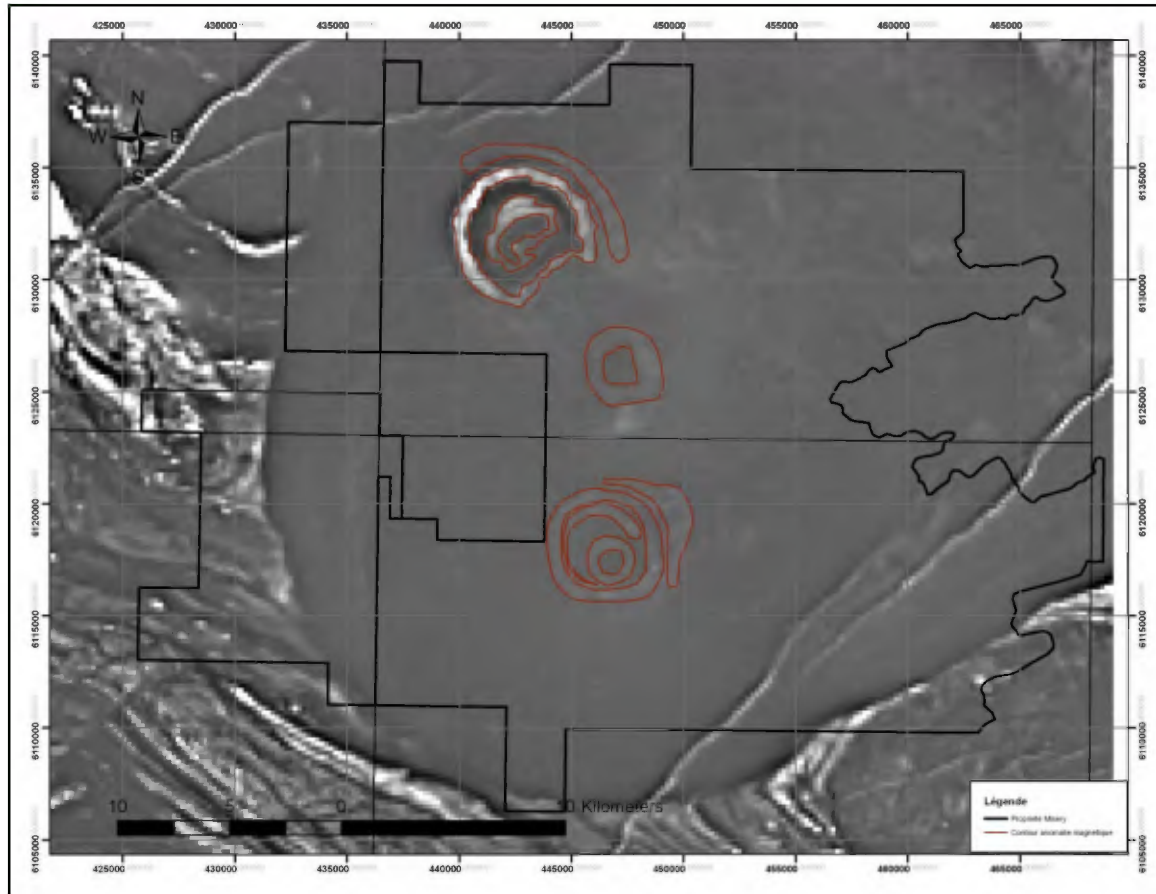


Figure 2 : Positionnement des trois anomalies magnétiques circulaires sur la propriété Lac Misery sur fond du champ magnétique total (données brutes). L'anomalie située au nord a fait l'objet de la plupart des travaux. La projection est en UTM Nad 83, zone 20.

Le programme d'exploration et de cartographie géologiques a été exécuté du 6 juillet 2010 au 22 septembre 2010. Les rapports journaliers détaillés sont présentés à l'**annexe 1**. Une campagne d'échantillonnage de till (menée par un tiers) et un programme de forage (dirigée par l'auteur) ont été menés parallèlement à ce programme, mais ne font pas partie de ce rapport.

L'accès à la propriété a nécessité un support hélicoptère. Le centre des opérations et le logement étaient basés à la pourvoirie du lac Chapiteau, localisé en bordure du lac du même nom. Le camp est accessible par hydravion à partir de Schefferville.

ANOMALIE MAGNÉTIQUE CIRCULAIRE PRINCIPALE

L'anomalie magnétique circulaire principale mesure environ 6 km de diamètre. Son pourtour a été investigué par forage, rainurage et cartographie géologique. Un secteur de 12 km par 12 km, centré sur l'anomalie, a été cartographié. La cartographie consiste en la description des affleurements et la prise d'échantillons de surface.

Un total de 345 échantillons ont été recueillis, incluant les échantillons de rainurage (**figure 3**). Une tranchée de 15 m par 11 m a été décapée et rainurée dans le secteur (**figure 10**). La limite géographique nord-ouest de cette tranchée se situe aux coordonnées 444079/6137164 (UTM Nad 83, zone 20). Le plan d'échantillonnage pour le rainurage est basé sur les contacts géologiques et les intensités de la radiation gamma. Une longueur de 25 m a été rainurée et 25 échantillons y ont été collectés.

Un total de 345 échantillons ont été recueillis dans le secteur, incluant les échantillons de rainurage.

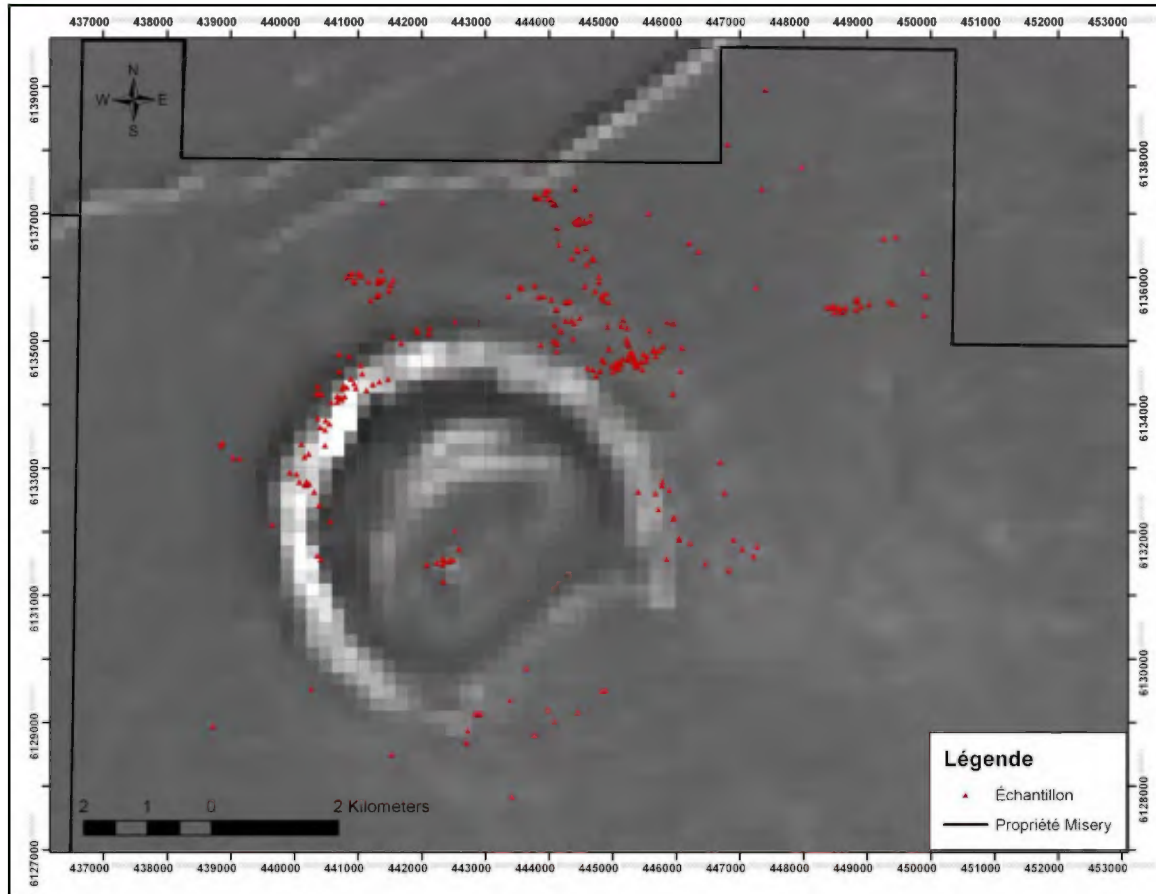


Figure 3 : Positionnement des 345 échantillons prélevés sur l'anomalie magnétique circulaire principale sur fond du camp magnétique total (données brutes). La projection est en UTM Nad 83, zone 20.

ANOMALIE MAGNÉTIQUE CIRCULAIRE CENTRALE

Des travaux d'échantillonnage et de cartographie ont permis d'étudier l'anomalie magnétique circulaire centrale, beaucoup plus discrète que l'anomalie principale. Ces travaux consistent en la description d'affleurements et l'échantillonnage de roches en surface. L'accent a été porté sur les anomalies spectrométriques, lesquelles s'étendent sur environ 12 km, vers l'est. Une superficie d'environ 6 km par 12 km a été couverte et un total de 87 échantillons y ont été collectés (**figure 4**). Les échantillons ont principalement été pris à l'est de l'anomalie magnétique, dans le secteur des anomalies spectrométriques.

L'accent a été porté sur les anomalies spectrométriques qui s'étendent sur environ 12 km, à l'est de l'anomalie magnétique.

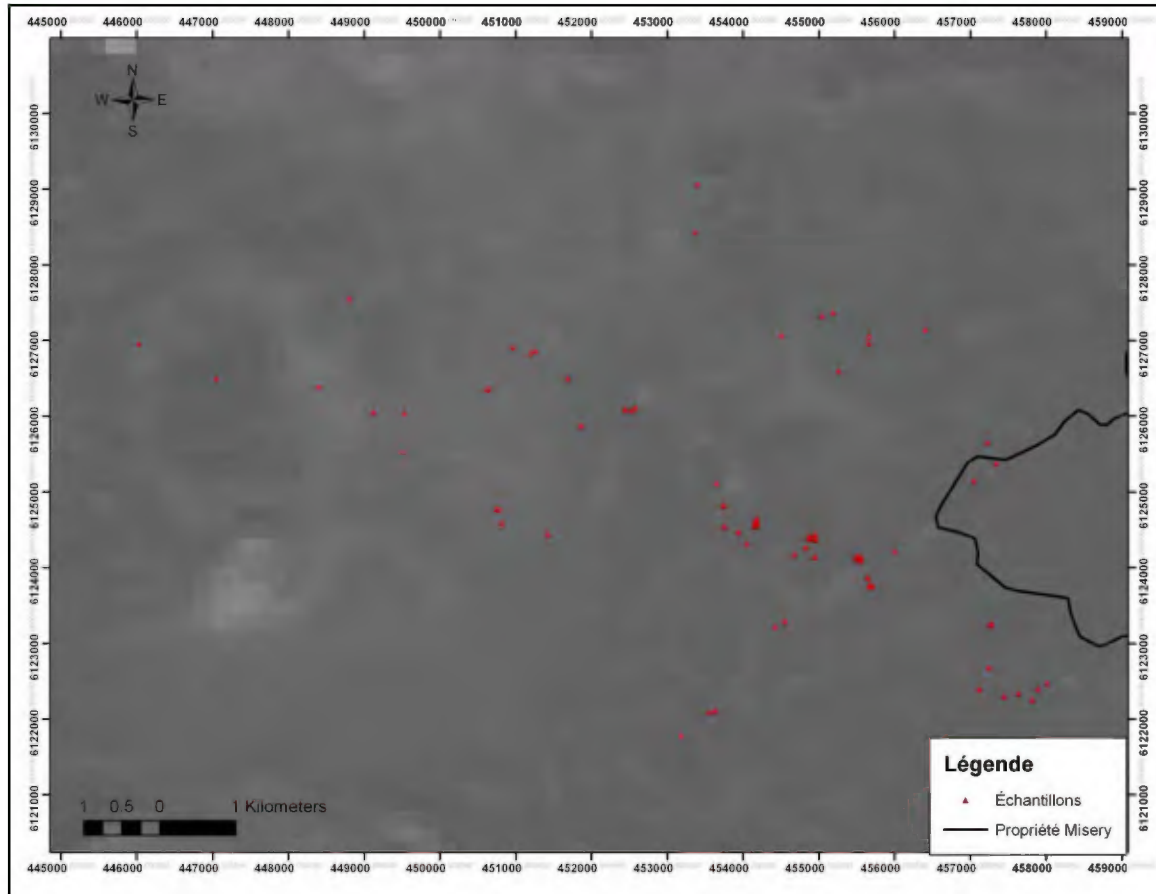


Figure 4 : Positionnement des 87 échantillons collectés sur l'anomalie magnétique centrale sur fond du champ magnétique total (données brutes). La projection est en UTM Nad 83 zone 20.

ANOMALIE MAGNÉTIQUE CIRCULAIRE SUD

L'anomalie magnétique circulaire sud a fait l'objet de travaux de cartographie et d'échantillonnage. Ces travaux consistent en la description d'affleurements et la prise d'échantillons de surface. Une superficie d'environ 15 km par 10 km a été cartographiée dans le secteur de l'anomalie magnétique circulaire sud, avec l'anomalie plus ou moins au centre de cette superficie. Un total de 77 échantillons de roches ont été recueillis, principalement à l'ouest de l'anomalie (**figure 5**).

Un total de 77 échantillons de roches ont été recueillis dans le secteur de l'anomalie circulaire sud.

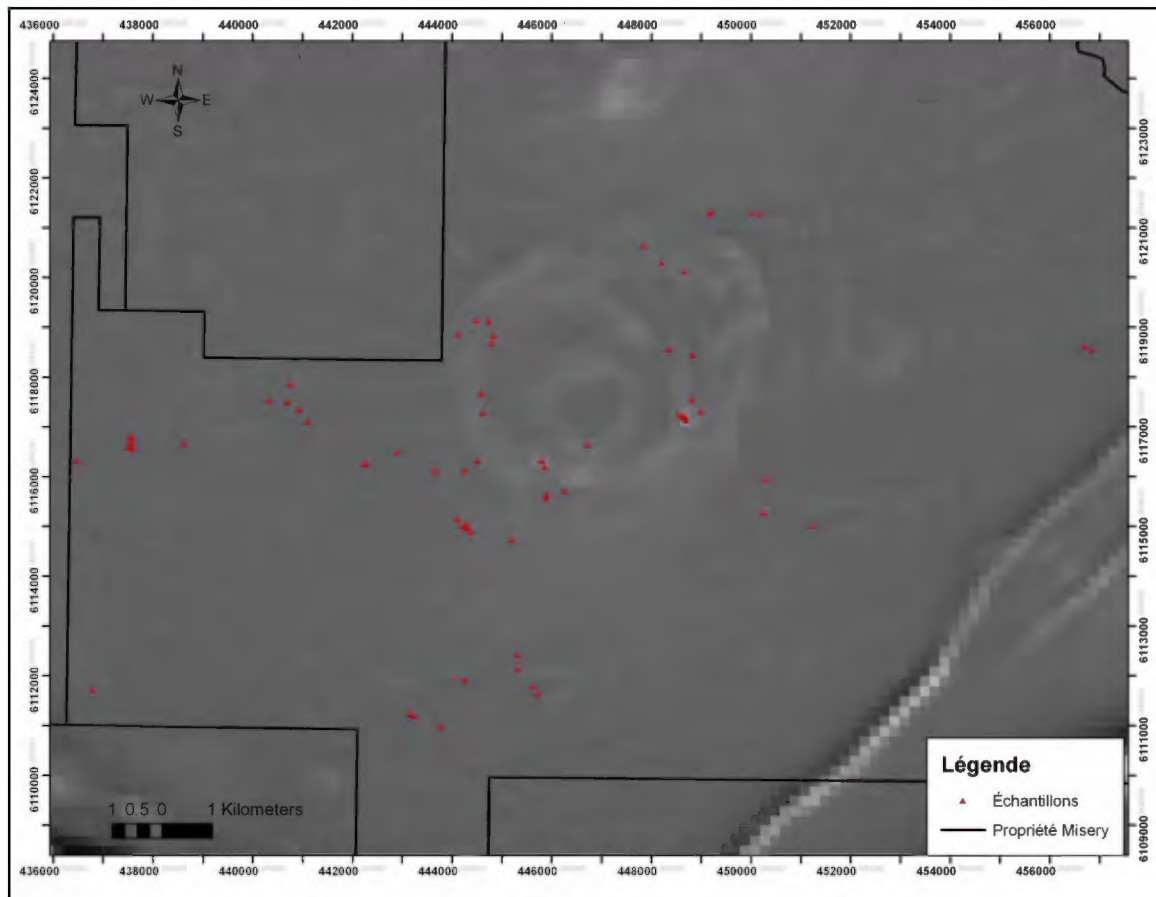


Figure 5 : Emplacement des 77 échantillons prélevés sur l'anomalie magnétique circulaire sud et ses environs sur fond du champ magnétique total (données brutes). La projection est en UTM Nad 83, zone 20.

MÉTHODOLOGIE ET DÉROULEMENT DES TRAVAUX

Les géologues de terrain remplissent des Géofiches pour la description des affleurements. Les Géofiches sont des feuillets adoptant la nomenclature du ministère des Ressources naturelles et de la Faune pour l'identification des roches, des textures et des structures.

Chaque géologue ou assistant était équipé d'un spectromètre Radiation Solution RS125 ou RS230 Super-SPEC. La plupart des sites d'échantillonnage sont ciblés à l'aide de cet appareil. Une lecture supérieure à 700-800 cps était généralement requise pour justifier la prise d'un échantillon.

Les échantillons de roches de surface sont collectés à l'aide d'une petite masse et d'un ciseau à froid. Un morceau de la roche prélevé est mis dans un sac pour l'analyse et un autre, représentatif de l'échantillon, est placé dans un sac pour être conservé comme témoin. Un coupon d'identification fourni par le laboratoire d'analyse est inséré dans chacun des sacs, sur lesquels le numéro d'identification correspondant est noté au crayon permanent. Les échantillons rainurés sont coupés avec une scie à roche et extraits à l'aide d'une petite masse et d'un ciseau à froid. Les échantillons mesurent typiquement un mètre de longueur. Ils sont ensachés individuellement sur le site de rainurage. Les descriptions détaillées des échantillons sont fournis à l'**annexe 2, table 2**. Le contrôle de la qualité est assuré par l'insertion de blancs et de standards (voir le protocole d'analyse pour plus de détails). Tous les échantillons ont été expédiés par hydravion au camp Brisson (camp principal de Quest Rare Minerals Inc.) et, de là, acheminés aux installations d'Actlabs, à Goose Bay, pour analyse. Toutes les descriptions d'échantillons et d'affleurements ont été compilées sur des bases de données informatiques.

Les membres du personnel d'IOS Services Géoscientifiques inc. qui ont été impliqués dans le programme d'exploration sont :

- Jonathan Lalancette, ingénieur et superviseur des travaux
- Steeve Lavoie, géologue stagiaire
- Éric Larouche, ingénieur junior
- Jordy Turcotte, géologue stagiaire
- Mario Bolduc, géologue stagiaire

L'équipe d'IOS Services Géoscientifiques inc. a été assistée, durant une partie de la campagne, par des prospecteurs employés d'Exploration Sans Frontière, soit :

- Michel Vaillancourt
- Laurent Cormier
- Daniel Paradis

La compagnie Hélicoptères Canadiens Ltée a assuré le transport des équipes pour l'ensemble de la campagne. L'hélicoptère utilisé était un Bell 206 de type Long Ranger.

PROTOCOLE D'ANALYSE

Un total de 536 échantillons ont été analysés pour les ETR, F et Nb₂O₅. Doser adéquatement les terres-rares et autres éléments à fort potentiel de champ présente de nombreuses difficultés. Une mise en solution à la suite d'une fusion au lithium métaborate/tétraborate suivie d'une analyse par ICP et ICP/MS a ici été utilisée, laquelle devrait permettre une mise en solution complète. Toutefois, le dosage du Nb₂O₅ avec cette méthode présente certaines difficultés et une réanalyse par fusion XRF est requise sur les échantillons enrichis. Une analyse par ISE est utilisée pour le fluor, à la suite d'une fusion au tétraborate de lithium. Tous les résultats sont présentés sur les certificats d'analyse à l'**annexe 4**.

Les résultats fournis par le laboratoire, en abondance élémentaires, sont convertis en sesquioxyde. Le total des terres-rares (TREO), l'abondance des terres-rares lourdes (Eu à Lu) ainsi que la proportion des lourdes sur l'ensemble des terres rares sont présentés à l'**annexe 3, table 1** incluant les résultats d'analyse.

Les résultats d'analyses ont été convertis en sesquioxydes de terres-rares dans le présent rapport.

CONTRÔLE DE LA QUALITÉ ANALYTIQUE

CONTRÔLE DE LA QUALITÉ DE QUEST RARES MINERALS

Un total de 11 blancs (quartz) ont été insérés parmi les échantillons (2 % des analyses). L'auteur ne connaît pas la provenance de ces blancs et ne peut pas affirmer que ce matériel puisse être considéré comme un blanc certifié. Un total de 11 aliquotes de matériaux de références certifiés (standards) ont aussi été insérés parmi les échantillons (2 % des analyses). L'auteur n'a aucun détail concernant ces matériaux.

Aucun duplicata, aucun échantillon jumeau et aucune réplique n'ont été insérés par Quest Rares Minerals Inc. Aucune réanalyse par un second laboratoire n'a été requise. Une discussion sur la qualité des analyses ne peut ainsi être offerte.

CONTRÔLE DE LA QUALITÉ D'ACTLABS

Activation Laboratories (Actlabs) utilise un ensemble de matériaux de référence certifiés, lesquels sont insérés dans les séquences d'échantillons. Différents types de matériaux sont utilisés pour les diverses méthodes d'analyse. Actlabs effectue également des répliques d'analyse pour chaque groupe d'échantillons afin de s'assurer de la répétitivité

des résultats générés Les résultats des essais et les valeurs certifiées pour ces matériaux sont présentés avec les certificats d'analyse à l'**annexe 4**.

GÉOLOGIE LOCALE

ANOMALIE MAGNÉTIQUE CIRCULAIRE PRINCIPALE

L'anomalie magnétique circulaire principale représente la principale cible d'exploration du projet. Un total de 345 échantillons ont été prélevés sur cette anomalie et dans les secteurs environnants.

Un total de 115 échantillons de syénite quartzifère ont été collectés dans ce secteur, en majorité sur des affleurements. Parmi ces 114 échantillons, 32 montrent des teneurs en TREO supérieures à 1 %, avec une teneur maximale de 8,6027 % (échantillons n° 205144).

Plusieurs échantillons dans ce secteur ont été prélevés dans des syénites quartzifères à grains fins. On retrouve généralement ces roches sous forme de dykes centimétriques. Ces dykes présentent souvent des lectures spectrométriques anormales. Un total de 115 échantillons de syénite quartzifère¹ ont été collectés, en majorité sur des affleurements. De ceux-ci, 32 montrent des teneurs en TREO supérieures à 1 % (**figure 6**), atteignant 8,6027 % (échantillons n° 205144). La proportion de

terres-rares lourdes dans ces échantillons est plutôt erratique, avec une moyenne de 11,61 %, un écart-type de 7,48 %, un minimum de 3,62 % et un maximum de 27,93 %. La majorité de ces échantillons a été recueillie sur la bordure est et au nord-est de l'anomalie magnétique. Cette roche est essentiellement composée de feldspaths, de quartz (généralement fumé suggérant la radioactivité), de biotite et/ou d'amphibole et localement de magnétite. On y observe aussi localement des minéraux exotiques tels que la fluorine, la monazite, le zircon et d'autres minéraux difficilement identifiables à l'examen visuel. Les dykes sont majoritairement encaissés dans des syénites à texture rapakivi. On les retrouve en relief positif sur le terrain (**figure 7**), leur encaissant étant beaucoup plus altéré.

¹ La base de données des résultats fournis par le client à l'auteur ne montre que 91 échantillons de syénite quartzifère dans le secteur de l'anomalie magnétique circulaire principale. La différence avec le total avancé par l'auteur provient du fait que le client a effacé la colonne indiquant la deuxième lithologie présente sur l'affleurement. Il se trouve que cette deuxième lithologie, souvent en proportion moindre sur les affleurements, était dans de nombreux cas celle échantillonnée.

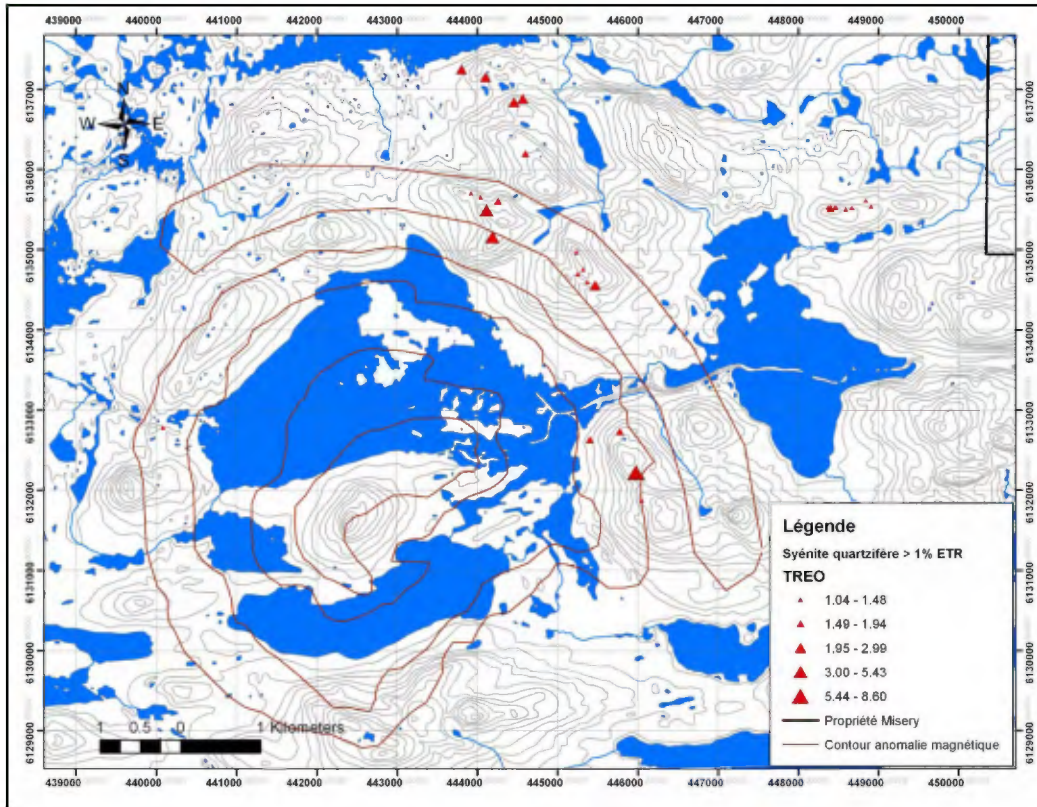


Figure 6 : Positionnement des échantillons de syénite quartzifère avec une teneur en TREO supérieure à 1 %, sur fond topographique. La projection est en UTM Nad 83 zone 20.



Figure 7 : Dyke de syénite quartzifère encaissé dans une syénite à texture rapakivi. On retrouve ces dykes en relief positif sur le terrain, dans des syénites plus désagrégée par le gel.

Plusieurs échantillons ont été pris dans les syénites à texture rapakivi, la lithologie dominante dans ce secteur. Les syénites à texture rapakivi sont essentiellement composées de phénocristaux de feldspaths potassiques, généralement à texture poecélitique. Ces feldspaths, de forme ovoïde ou plus ou moins rectangulaire, présentent une fine couronne de plagioclase.

Ils flottent dans une matrice ferromagnésienne (biotite et/ou hornblende), avec une proportion diverse de quartz. On y observe la magnétite localement. Les échantillons présentant des teneurs non négligeables en TREO sont généralement en contact avec les dykes cités plus haut. Dans certains secteurs, principalement au nord-ouest et au centre de l'anomalie, la texture rapakivi est moins présente et la proportion de plagioclase augmente. La proportion de feldspaths (plagioclase par rapport aux feldspaths potassiques), de minéraux ferromagnésiens et de quartz est diverse dans ces

Un total de 143 échantillons ont été collectés dans ce type de roche dans le secteur de l'anomalie magnétique principale, dont 106 ont été prélevés directement sur un affleurement. Parmi ces échantillons, 28 montrent des teneurs supérieures à 1 % en TREO.

roches, variant de syénite à syénite quartzifère à monzonite quartzifère à monzodiorite². Un total de 143 échantillons ont été collectés dans ce type de roche dans le secteur de l'anomalie magnétique principale, dont 106 ont été prélevés directement sur un affleurement. Parmi ces échantillons, 28 montrent des teneurs supérieures à 1 % en TREO (**figure 8**). La meilleure teneur provient de l'échantillon n° 205237, avec 12,03 % TREO, avec une proportion de 6,21 % de terres-rares lourdes. La grande majorité des échantillons montrant les meilleures teneurs provient du secteur ouest et nord-ouest de l'anomalie.

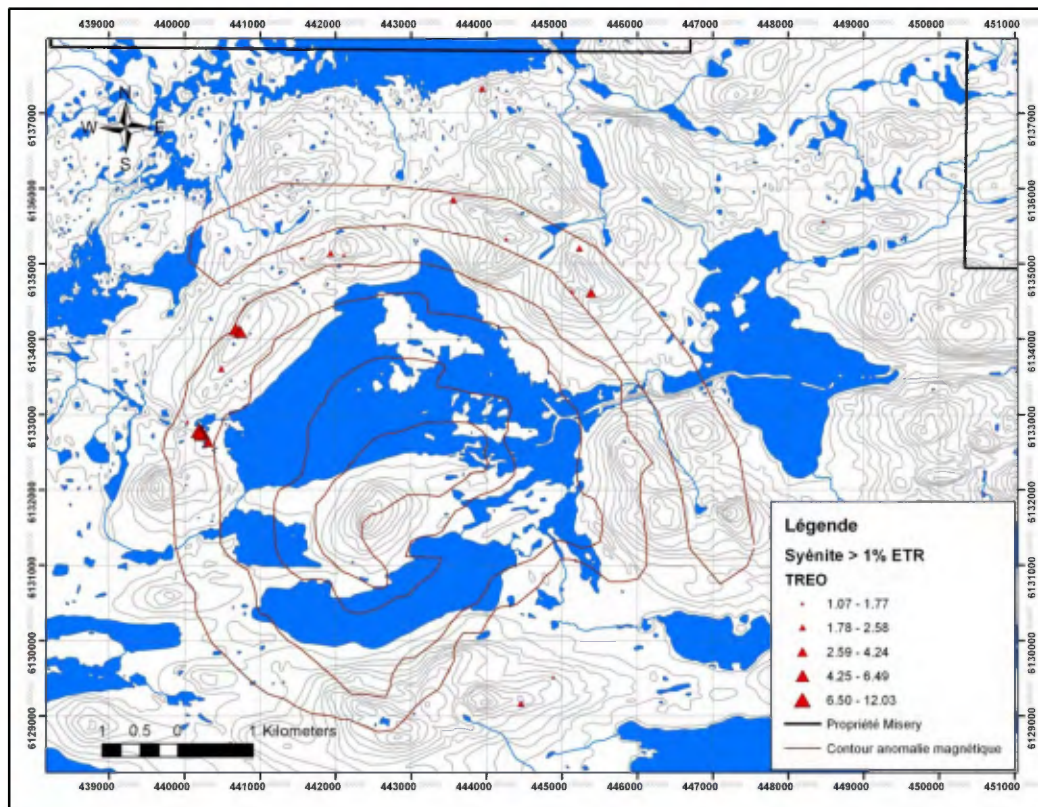


Figure 8 : Positionnement des échantillons de syénite avec une teneur en TREO supérieure à 1 %, sur fond topographique. La projection est en UTM Nad 83, zone 20.

Dans le secteur ouest de l'anomalie, une veine de quartz a été échantillonnée. Cette veine montrait plusieurs minéraux exotiques (zircon, monazite, minéral gris-bleu

² En regard des descriptions et de la littérature traitant du secteur, la roche nommée syénite à texture rapakivi dans le rapport serait plutôt une syénite quartzique à texture rapakivi.

métallique). L'échantillon de cette veine (n° 205459) montre une des meilleures teneurs en TREO du secteur de l'anomalie principale avec 9,59 % d'éléments terres-rares, dont 10,43 % sont des éléments terres-rares lourdes. Tout près de cette veine de quartz, un gabbro à olivine a été observé. Un échantillon y a été pris dont la teneur en TREO n'est pas digne de mention.

Dans le secteur nord-est de l'anomalie magnétique, une traînée de blocs de pyroxénite a été trouvée. Cette traînée s'étend sur un peu plus de 5,5 km d'est en ouest. Un total de 34 blocs y ont été échantillonnés (*figure 9*). La roche est essentiellement composée de pyroxènes, de feldspaths, de biotite et de magnétite. Du quartz fumé a été observé sur quelques blocs. Les blocs sont métriques et anguleux à sub-anguleux. La roche est très friable, ce qui laisse croire à l'auteur que la source se trouve à proximité du site d'échantillonnage. On peut voir sur le levé magnétique un linéament discret suivant la traînée. Ce linéament peut être interprété comme pouvant représenter un dyke qui serait la source de ces blocs. La roche présente des teneurs moyennes en TREO de 1,5226 %, avec une teneur minimale de 0,8028 % et une teneur maximale de 1,9130 %. La proportion de terres-rares lourdes dans cette roche est en moyenne de 6,31 %.

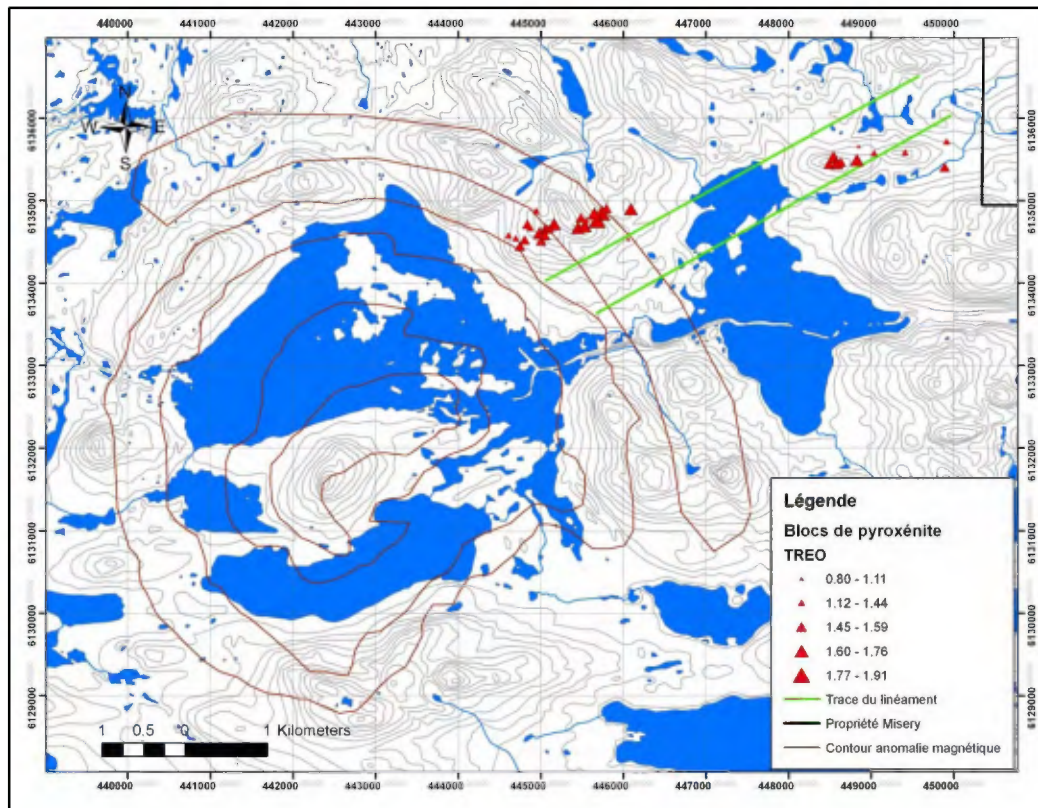


Figure 9 : Positionnement des blocs de pyroxénite et trace du linéament observé sur le levé magnétique sur fond topographique. La projection est en UTM Nad 83 zone 20.

Quelques blocs de granite et d'amphibolite ont également été échantillonnés dans le secteur de l'anomalie magnétique principale, avec des teneurs en TREO négligeables.

Une tranchée a été réalisée à un peu plus de 1 km au nord de l'anomalie magnétique circulaire principale (**figure 10**). La tranchée mesure 15 m par 11 m (**figure 11**). Un total de 6 rainures y ont été faites, desquelles 25 échantillons de 1 m de longueur ont été prélevés. Sur le site de la tranchée, on retrouve des dykes mafiques métriques subhorizontaux

Une tranchée a été réalisée à un peu plus de 1 km au nord de l'anomalie magnétique circulaire principale. La tranchée mesure 15 m par 11 m. Un total de 25 rainures y ont été faites, toutes de 1 m de longueur.

encaissés dans des syénites à grains grossiers (texture rapakivi). Les dykes mafiques présentent des lectures spectrométriques assez élevées (entre 500 et 3000 cps). À moins de 10 m du site de la tranchée, on retrouve des affleurements avec des roches contenant plus de 25 % de zircon. Aucun nom n'a été donné à cette roche (I2).

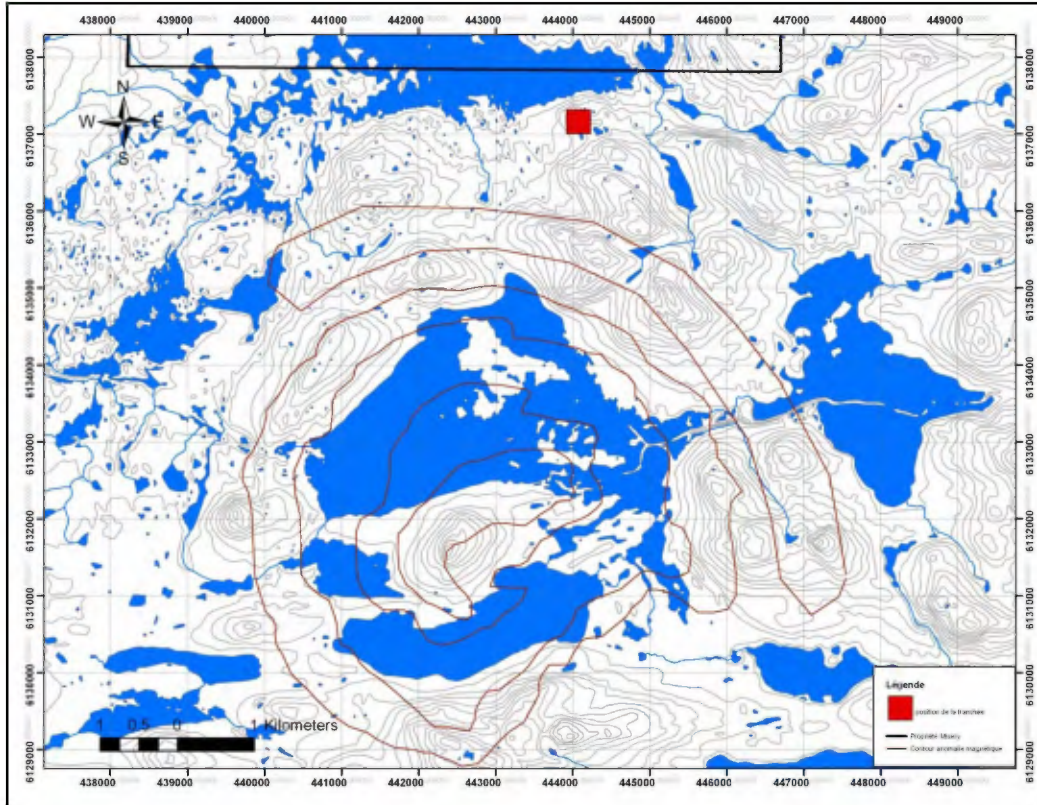


Figure 10 : Position de la tranchée par rapport à l'anomalie magnétique circulaire principale. On remarque que la tranchée a été faite à l'extérieur de l'anomalie magnétique, à un peu plus de 1 km au nord de celle-ci. La projection est en UTM Nad 83, zone 20.

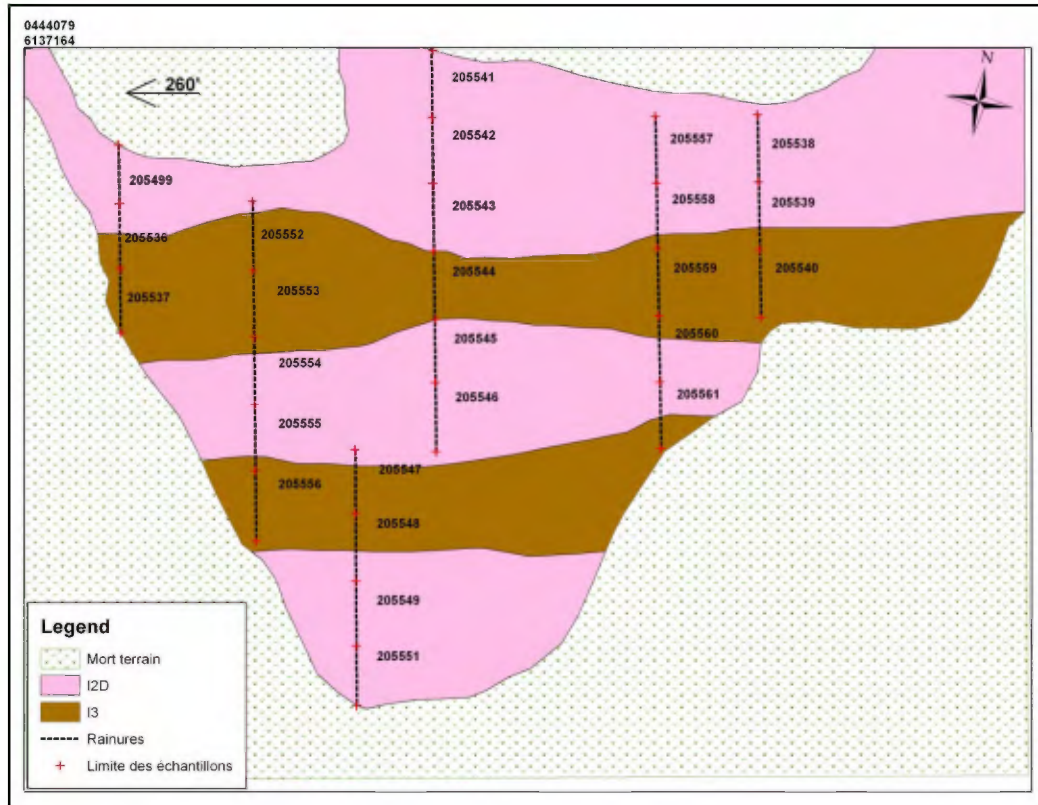


Figure 11 : Tranchée de 15 m par 11 m cartographiée, découpée et rainurée. L'espace entre chaque échantillon est de 1 m. Seul l'échantillon n° 205556 montre une teneur supérieure à 1 % TREO (2,4055 %). La coordonnée repère (en haut, à gauche de la figure) est dans la projection UTM Nad 83, zone 20.

ANOMALIE MAGNÉTIQUE CENTRALE

L'anomalie magnétique circulaire centrale est beaucoup moins bien définie que l'anomalie principale sur les levés magnétiques. Le secteur de cette anomalie est très peu affleurant. Seulement 3 échantillons ont été prélevés, dont un seul sur un affleurement.

Une anomalie spectrométrique causée par le thorium s'étend sur environ 10 km à l'est de l'anomalie (**figure 12**). Plusieurs traverses y ont été faites et 84 échantillons y ont été prélevés.

Un total de 87 échantillons a donc été prélevés dans le secteur de l'anomalie magnétique circulaire centrale.

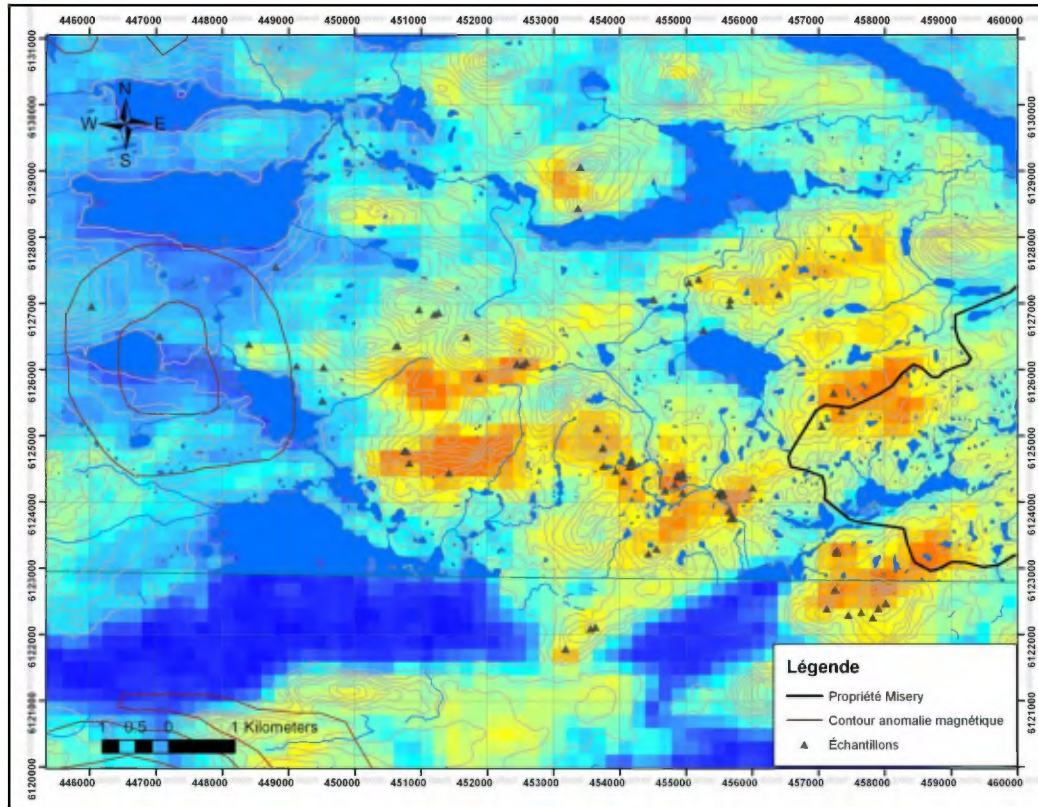


Figure 12 : Positionnement des 87 échantillons recueillis dans le secteur de l'anomalie circulaire centrale. On observe sur la figure l'anomalie spectrométrique³ (équivalent thorium) qui s'étend, sur environ 10 km, à l'est de l'anomalie magnétique. La projection est en UTM Nad 83, zone 20.

Parmi ces échantillons, 31 proviennent de syénites quartzifères à grains fins et 3 ont été pris sur des blocs. La majorité des syénites quartzifères a été observée sous forme de dykes. Ces syénites sont dominées par les feldspaths, avec des proportions diverses de quartz, généralement enfumé, et de minéraux ferromagnésiens. La fluorite y a été observée. Un seul échantillon (n° 205274) montre une teneur supérieure à 1 % en éléments terres-rares (1,09 % TREO).

Une grande proportion des échantillons dans le secteur (41 échantillons) a été prise dans des syénites à texture rapakivi. Ces syénites sont très semblables à celles

³ L'anomalie spectrométrique provient des données brutes non interprétées. L'image de l'anomalie a été ajustée sur le logiciel ArcGIS afin d'améliorer l'effet visuel. L'auteur ne connaît pas la méthode d'interpolation de ce logiciel. L'image de la spectrométrie ne peut donc être utilisée à d'autres fins.

présentes ailleurs sur la propriété. De la fluorine et des minéraux de terres-rares ont été notés dans échantillons et, localement, des enrichissements en minéraux ferromagnésiens. Celles enrichies en quartz ont parfois été nommées granite à texture rapakivi sur le terrain. Parmi les 41 échantillons, 5 montrent des teneurs supérieures à 1 %, dont quatre des teneurs entre 2 et 3 % TREO (**figure 13**). Parmi les 5 échantillons, 2 ont été prélevés sur des blocs. L'échantillon n° 205319, pris sur un affleurement, montre la teneur la plus haute en TREO de ce secteur avec 2,97 %.

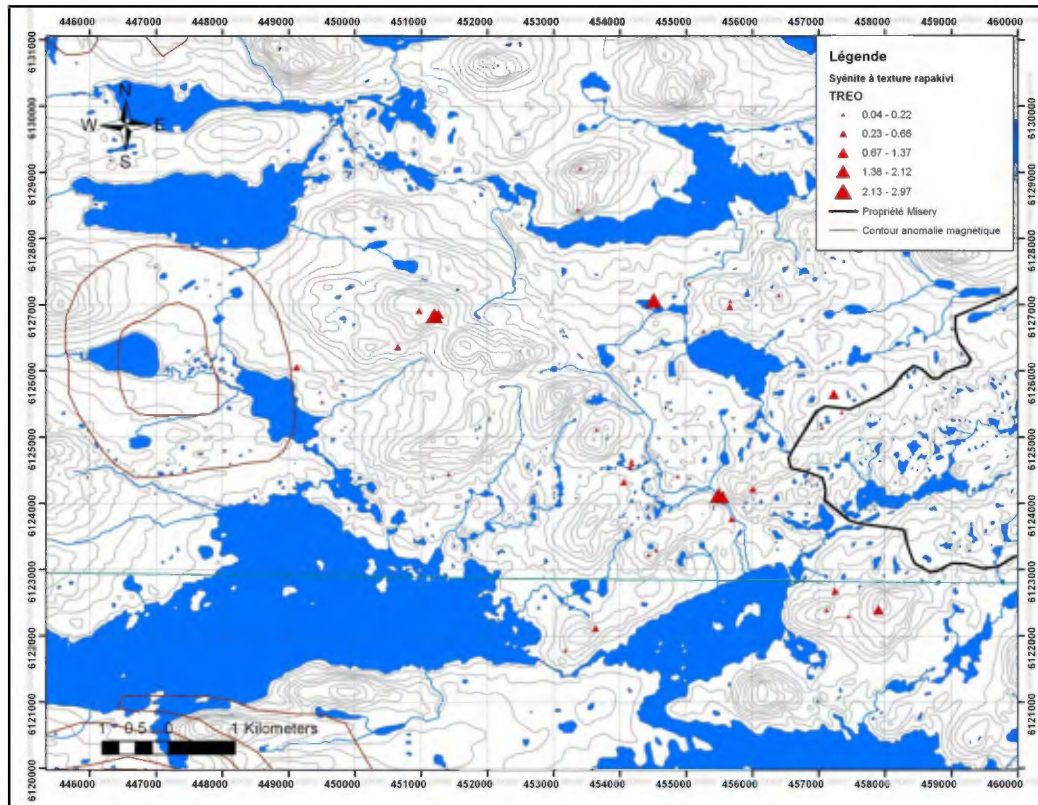


Figure 13 : Positionnement des échantillons de syénite à texture rapakivi dans le secteur de l'anomalie magnétique circulaire centrale, sur fond topographique. Les teneurs en TREO sont en pourcentage. La projection est en UTM Nad 83, zone 20.

De plus, 4 échantillons ont été pris dans des dykes de pegmatite, dont 3 sur des affleurements. Ces roches présentent des lectures spectrométriques anormales, mais pas de teneurs en TREO dignes de mention. Dans le même secteur, 2 échantillons ont été sélectionnés sur des granites. Aucun de ces échantillons ne provient d'un affleurement. Comme pour les pegmatites, ces granites présentent des lectures spectrométriques élevées, mais les teneurs en TREO sont négligeables.

Toujours dans le secteur des anomalies spectrométriques à l'est de l'anomalie magnétique circulaire centrale, 2 dykes de diorite et un bloc de la même nature lithologique ont été échantillonnés. Ces dykes présentent des comptes par seconde supérieurs au bruit de fond sans être très élevés (< 1000 cps). Ces diorites ne montrent pas de teneurs anormales en TREO.

Finalement, 5 échantillons ont été collectés sur des veines de quartz près des anomalies spectrométriques, tous dans le même secteur. Ces veines montrent des lectures spectrométriques très élevées (entre 1200 cps et 13 500 cps) (*figures 14 et 15*) et sont généralement très altérées. Les veines montrant les comptes par seconde les plus élevés montrent des teneurs élevées en thorium et en zirconium, entre autres, mais ne montrent pas de teneurs élevées en TREO. Par contre, une de ces veines très riche en quartz fumé (échantillon n° 205273) présente la teneur la plus élevée en TREO de tous les échantillons, soit 23,87 %, dont 6,38 % de terres-rares lourdes.



Figure 14 : Veine de quartz échantillonnée dans le secteur de l'anomalie magnétique circulaire centrale. Cette veine ne montre aucune teneur élevée en TREO. La masse et le spectromètre montrent l'échelle.



Figure 15 : Les veines de quartz sont localement très altérées et présentent des comptes par seconde élevés.

ANOMALIE MAGNÉTIQUE CIRCULAIRE SUD

L'anomalie magnétique circulaire la plus au sud est aussi moins bien définie que l'anomalie magnétique circulaire principale. Des anomalies spectrométriques induites par le thorium s'étendent sur un peu plus de 10 km de part et d'autre de l'anomalie. Les anomalies spectrométriques ainsi que l'anomalie magnétique circulaire ont été visitées. Un total de 77 échantillons y ont été prélevés (**figure 16**).

Un total de 77 échantillons ont été prélevés dans le secteur de l'anomalie circulaire sud.

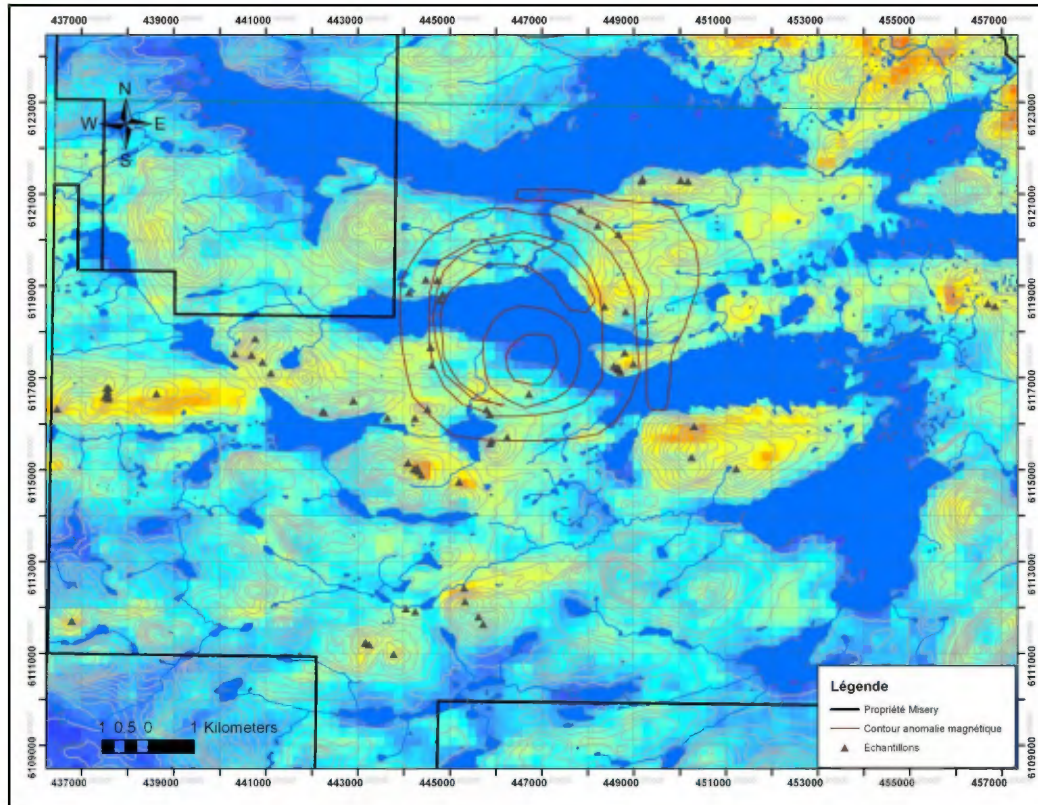


Figure 16 : Positionnement des 77 échantillons recueillis dans le secteur de l'anomalie circulaire sud, sur fond spectrométrique⁴ (équivalent thorium). La projection est en UTM Nad 83, zone 20. Les plages bleu intense représentent les lacs masquant le signal spectrométrique.

On retrouve moins de syénites quartzifères à grains fins dans le secteur de l'anomalie circulaire sud que dans les deux autres secteurs. Ces syénites ont été observées sous forme de dyke, principalement autour de l'anomalie magnétique circulaire principale. Un total de 7 syénites quartzifères ont été échantillonnées, aucune n'étant positionnée directement sur l'anomalie magnétique. Parmi ces échantillons, 3 proviennent d'affleurements et 4 de blocs. C'est un bloc (échantillon n° 205402), trouvé à un peu

⁴ L'anomalie spectrométrique provient des données brutes non interprétées. L'image de l'anomalie a été générée sur le logiciel ArcGIS afin d'améliorer l'effet visuel. L'auteur ne connaît pas la méthode d'interpolation ou de rehaussement de ce logiciel. L'image de la spectrométrie peut donc difficilement être comparée d'autres. Par contre, l'intensité de la spectrométrie de cette figure est sur la même base que la **figure 12**.

moins de 1 km au nord-est de l'anomalie magnétique circulaire, qui présente la meilleure teneur en TREO (2,07 %). Les autres syénites quartzifères montrent des teneurs en TREO négligeables.

La majorité des échantillons dans ce secteur (53 échantillons) ont été sélectionnés sur des syénites à texture rapakivi. Les syénites de ce secteur ne montrent aucune différence avec celles des autres secteurs dont il a été question plus tôt, bien que l'on observe un enrichissement en biotite et de la fluorine localement. Parmi ces 53 échantillons, dont la très grande majorité a été échantillonnée sur des affleurements (3 échantillons pris sur des blocs), 7 montrent des teneurs en TREO supérieures à 1 %. De plus, 3 d'entre eux ont des teneurs entre 2 % et 5 % TREO, avec 4,04 % comme teneur maximale (échantillon n° 205394). On remarque toutefois que parmi les 7 échantillons montrant les meilleures teneurs, aucun n'a été collecté directement sur l'anomalie magnétique circulaire (**figure 17**).

La majorité des échantillons dans le secteur de l'anomalie circulaire sud ont été sélectionnés sur des syénites à texture rapakivi.

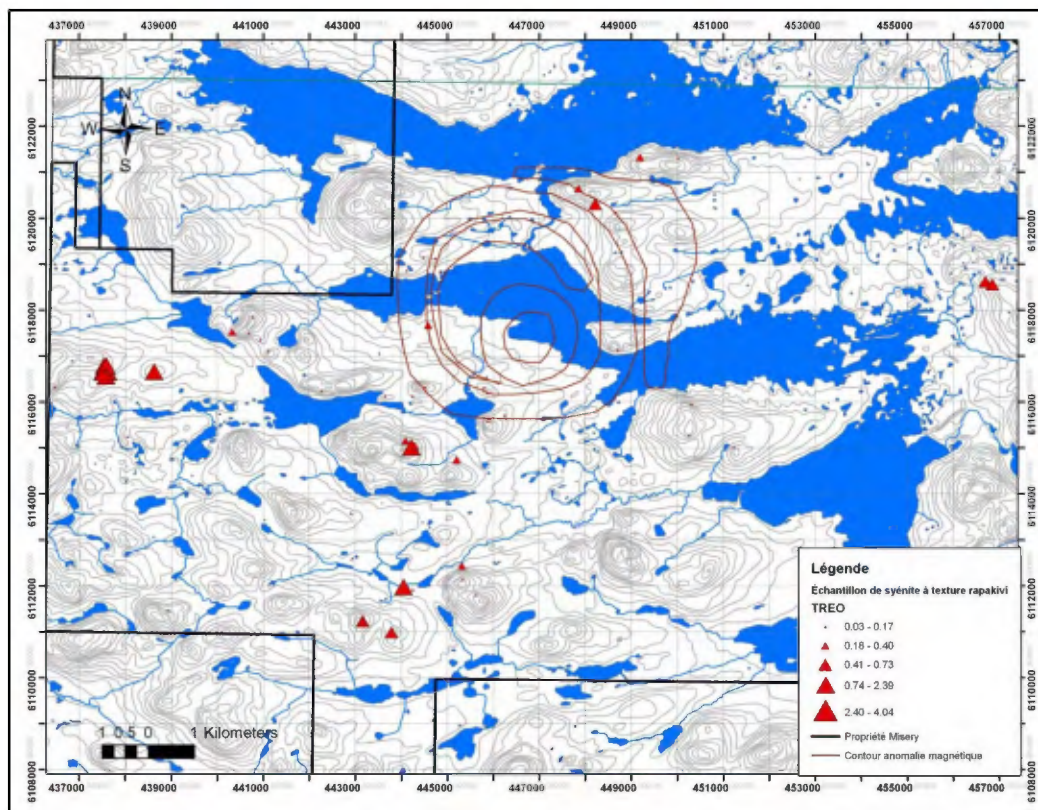


Figure 17 : Positionnement des échantillons de syénite à texture rapakivi dans le secteur de l'anomalie magnétique circulaire sud, sur fond topographique. On remarque que les échantillons montrant les meilleures teneurs en TREO se trouvent à l'ouest et au sud-ouest de l'anomalie magnétique. La projection est en UTM Nad 83, zone 20.

Toujours dans le secteur de l'anomalie magnétique circulaire sud, 4 échantillons ont été prélevés dans des roches granitiques, dont un seul en affleurement. Les blocs sont décrits comme ayant une texture massive ou gneissique. Aucun de ces 4 échantillons ne présente de teneurs anormales en TREO.

Dans la portion ouest de l'anomalie magnétique circulaire, quelques échantillons ont été collectés sur des diorites/monzodiorites. Ces roches montrent généralement des textures porphyriques et sont en contact très net avec les syénites à texture rapakivi (**figure 18**). Cette roche est non magnétique et montre très peu de lectures spectrométriques anormales. Aucun des échantillons recueillis dans ces roches ne montre de teneurs anormales en TREO.



Figure 18 : Contact entre les syénites à texture rapakivi, à droite de la photo, et les diorites porphyriques, à gauche. Le GPS montre l'échelle.

Dans la portion est de l'anomalie magnétique circulaire, quelques dykes centimétriques à grains grossiers ont été échantillonnés. Ces dykes montrent des lectures spectrométriques anormales. Ils sont en général très riches en biotite et sont sub-verticaux (**figure 19**). Cette roche a été nommée pegmatite sur le terrain, malgré la forte proportion de minéraux ferromagnésiens dans la roche. Un total de 5 échantillons ont été pris dans cette lithologie, desquels un seul (échantillon n° 205263) montre une teneur supérieure à 1 % en TREO, soit 3,93 %. Quelques dykes de pegmatite à amazonite (**figure 20**) ont aussi été collectés, lesquels ne montrent pas de lectures spectrométriques ou de teneurs en TREO anormales.



Figure 19 : Dyke centimétrique à grains grossiers, sub-vertical et riche en biotite, échantillonné dans le secteur de l'anomalie magnétique circulaire sud. L'échantillon n° 205263 (3,93 % TREO) provient d'un de ces dykes.

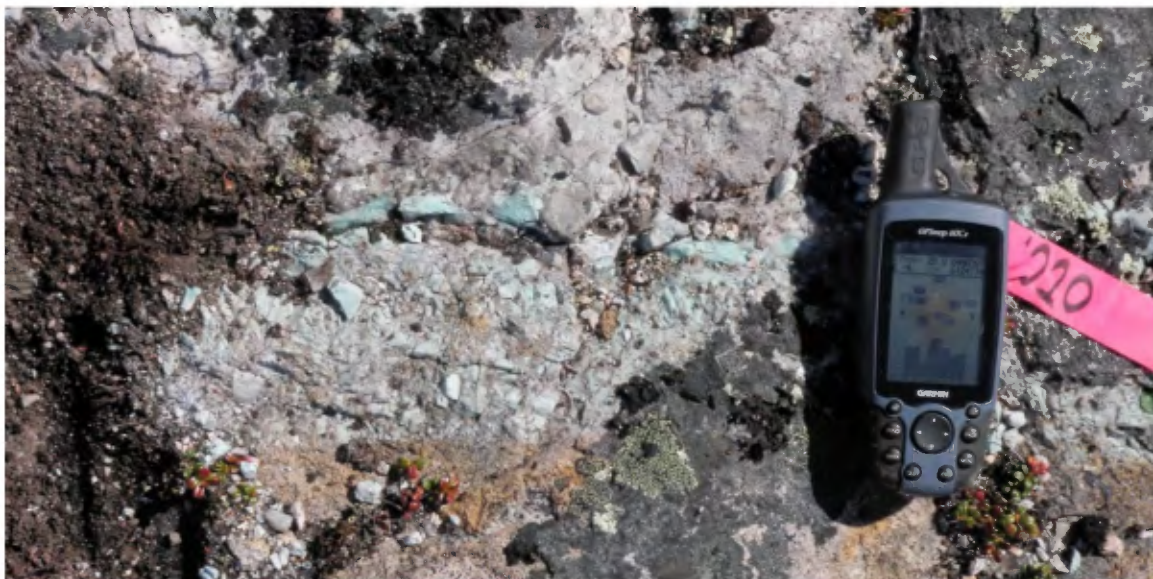


Figure 20 : Dyke de pegmatite avec amazonite. Le GPS montre le rapport de proportion.

ANOMALIES SPECTROMÉTRIQUES

Quelques petites anomalies spectrométriques, lesquelles ne sont pas en relation avec les anomalies magnétiques circulaires, ont été étudiées lors de la campagne.

La première anomalie causée par le thorium se situe à environ 5,5 km à l'ouest/nord-ouest de l'anomalie magnétique circulaire principale (**figure 21**). Elle est située sur le flanc sud d'une colline d'assez bonne dimension. Un total de 21 échantillons ont été prélevés dans ce secteur, tous dans des syénites avec une texture rapakivi plus ou moins bien développée. Une bande présentant des comptes par seconde entre 1000 et 7500 a été découverte au sud-ouest de cette petite anomalie. Cette bande, d'environ 1 m d'épaisseur, s'étend sur environ 25 m et est orientée à 140°N. sans contact net. Elle est uniquement distinguable par ses comptes élevés et la présence de grains millimétriques de fluorite (1 % à 5 % localement). Un total de 8 échantillons y ont été recueillis. Aucune teneur anormale en TREO n'a été détectée. Par contre, dans le secteur est de l'anomalie spectrométrique, 3 échantillons pris dans des syénites présentent des teneurs en TREO supérieures à 1 %, soit les échantillons 205476 (1,06 %), 205522 (1,01 %) et 205523 (1,04 %).

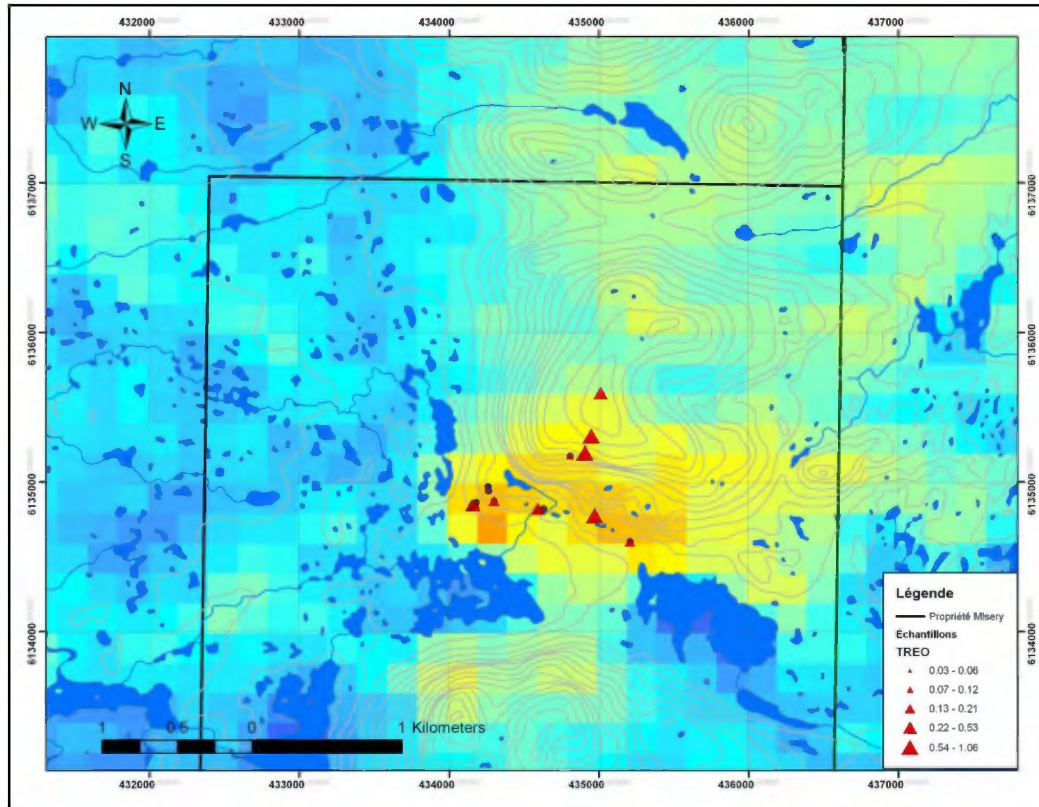


Figure 21 : Positionnement des échantillons sur l'anomalie spectrométrique (équivalent thorium), située environ 5,5 km à l'ouest de l'anomalie magnétique circulaire principale. La projection est en UTM Nad 83, zone 20.

La seconde anomalie se situe un peu moins de 4 km au sud de la première. Elle se situe sur le dessus d'une petite colline. Un total de 3 échantillons y ont été prélevés, tous dans des syénites. L'échantillon 205529 montre une teneur en TREG de 1,35 %. Les autres échantillons montrent des teneurs négligeables.

La dernière anomalie spectrométrique se situe à environ 10 km à l'ouest de l'anomalie magnétique circulaire sud. Un total de 3 échantillons ont été pris dans ce secteur, dont 2 proviennent d'affleurements. Les roches échantillonnées sont de nature syénitique. L'échantillon 205486 provient d'une petite zone de 0,1 m par 1 m avec des lectures spectrométriques anormales et montre des teneurs en TREG de 2,70 %.

CONCLUSIONS ET RECOMMANDATIONS

Les résultats des travaux d'exploration pour la deuxième campagne d'évaluation pour les terres-rares (2010) montrent que le projet Misery présente un bon potentiel pour des minéralisations en éléments terres-rares. En effet, parmi les 536 échantillons prélevés, 132 présentent des teneurs supérieures à 1 % TREO⁵, soit 25 % des échantillons. De plus, 20 de ces échantillons présentent des teneurs en TREO supérieures à 3 % (**tableau 1**). Rappelons que ces échantillons sont sélectionnés sur la base de l'intensité de la radioactivité, et que la population est ainsi biaisée vers les hautes teneurs.

Parmi les 536 échantillons prélevés, 132 présentent des teneurs supérieures à 1 % TREO, soit 25 % des échantillons. De plus, 20 de ces échantillons présentent des teneurs en TREO supérieures à 3 %.

Les anomalies aéromagnétiques circulaires ont été interprétées par le client comme la signature de complexe intrusif concentrique ou annulaire. Toutefois, les examens sur le terrain ne permettent pas d'expliquer lesdites anomalies, celles-ci ne semblant pas causées par un faciès de roche particulier. Ces anomalies demeurent relativement inexpliquées.

# Échantillon	UTM X	UTM Y	LITHOLOGIE	TENEUR TREO (%)	COMMENTAIRES
205273	454877	6124412	Veine/enclave de quartz	23,87	Situé à un peu moins de 6 km à l'est de l'anomalie centrale, près d'une anomalie spectrométrique. Très ponctuel.
205237	440239	6132755	I2D	12,03	Situé sur le flanc ouest de l'anomalie magnétique principale. Pris très près de l'échantillon 203475. Riche en magnétite.
205459	440172	6132754	I1G/V QZ	9,59	Situé sur le flanc ouest de l'anomalie magnétique principale, près de l'échantillon 205237. Plusieurs minéraux exotiques (zircon, monazite et autres minéraux de terres-rares).
205460	440197	6132791	I2D	9,40	Syénite pegmatitique située près de l'échantillon 205459. Riche en magnétite et présence de zircon.
205144	445981	6132225	I2C	8,60	Situé sur le flanc sud-est de l'anomalie magnétique principale. Dyke centimétrique de syénite quartzifère riche en magnétite.
205457	440678	6134135	I2D	6,49	Situé sur le flanc nord-ouest de l'anomalie magnétique principale. Pris sur une bande ou une enclave enrichie en magnétite.
205461	440209	6132772	I2D	6,02	Situé sur le flanc ouest de l'anomalie magnétique principale, près de l'échantillon 205460. Syénite pegmatitique riche en magnétite.

⁵ Ce total inclut les échantillons pris en rainurage.

# Échantillon	UTM X	UTM Y	LITHOLOGIE	TENEUR TREO (%)	COMMENTAIRES
205027	440735	6134100	I2D	5,44	Situé sur le flanc nord-ouest de l'anomalie magnétique principale. Syénite à grains moyens avec altération verdâtre, riche en magnétite et traces de sulfures.
205130	444190	6135158	I2C	5,43	Bloc de syénite quartzifère trouvé sur le flanc nord-est de l'anomalie magnétique principale. Riche en magnétite et présence de quartz fumé.
205236	440212	6132756	I2D	5,13	Situé sur le flanc ouest de l'anomalie magnétique principale. Syénite riche en magnétite. Près de l'échantillon 205461.
205067	444117	6135493	I2C	4,48	Situé sur le flanc nord-ouest de l'anomalie magnétique principale. Syénite quartzifère fortement oxydée.
205002	440747	6134093	I2D	4,24	Bloc de syénite pris sur le flanc nord-ouest de l'anomalie magnétique principale. Près de l'échantillon 203596.
205445	440209	6132752	I2D	4,22	Situé sur le flanc ouest de l'anomalie magnétique principale. Syénite altérée.
205394	437568	6116704	I2D	4,04	Situé à environ 6,5 km de l'anomalie magnétique sud. Syénite prise dans un secteur où l'on trouve plusieurs grains de fluorine dans la roche. La fluorine n'a pas été observée dans cet échantillon.
205121	445394	6134618	I2D	3,93	Situé sur le flanc nord-est de l'anomalie magnétique principale. Syénite riche en biotite avec des fractures radiales. Très près de l'échantillon 203631.
205263	448670	6117192	Dyke Bo+++	3,93	Situé sur le flanc est de l'anomalie magnétique sud. Dyke centimétrique à grains grossiers très riche en biotite (glimmélite?).
205443	440190	6132737	I2F/I2D	3,59	Situé sur le flanc ouest de l'anomalie magnétique principale. Syénite ou monzonite riche en amphibole.
205446	440314	6132634	I2F/I2D	3,42	Situé sur le flanc ouest de l'anomalie magnétique principale. La roche semble être plus riche en plagioclase qu'en feldspath potassique. Riche en magnétite et présence de zircon.
205231	440755	6134088	I2D	3,31	Bloc in-situ de syénite prélevé sur le flanc nord-ouest de l'anomalie magnétique principale.
205235	440201	6132756	I2D	3,13	Situé sur le flanc ouest de l'anomalie magnétique principale, près de l'échantillon 205236. Syénite riche en magnétite.

Tableau 1 : Tableau présentant les 20 échantillons de l'ensemble du programme avec les meilleures teneurs en TREO.

Il semble évident, à la lumière de ces résultats, que les zones les plus prometteuses sur la propriété se trouvent sur le flanc ouest et nord-ouest de l'anomalie magnétique principale. Dans ces conditions, l'auteur recommande :

- Une campagne de décapage importante dans le secteur ouest et le secteur nord-ouest afin de dégager les affleurements et de mieux comprendre la géologie du secteur. Cette campagne devrait être suivie d'une cartographie détaillée du secteur ainsi que d'une campagne de rainurage. Une pelle hydraulique pouvant être élinguée par hélicoptère est nécessaire pour effectuer ce type de décapage.
- Une campagne de géophysique au sol (magnétométrie et spectrométrie) pourrait permettre de mieux délimiter les anomalies magnétiques et spectrométriques de ce secteur.
- Éventuellement, en fonction des résultats obtenus, des forages peu profonds (entre 150 m et 250 m) devraient être exécutés dans ce secteur afin de voir le prolongement en profondeur de ces minéralisations et de connaître leur épaisseur réelle.

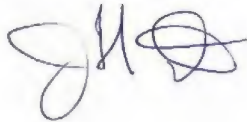
Pour l'ensemble de l'anomalie magnétique principale, l'auteur recommande :

- Une campagne de géophysique au sol (magnétométrie) afin de positionner les anomalies magnétiques avec précision, et, éventuellement, délimiter des cibles de forage.
- Une campagne de forage de trous peu profonds (150 m à 250 m) est à considérer sur l'ensemble de l'anomalie magnétique circulaire principale. La grille de forage devrait être établie en fonction des résultats de la géophysique et en fonction des résultats des échantillons prélevés en surface.

Pour le reste de la propriété, incluant les 2 anomalies magnétiques circulaires secondaires et les anomalies spectrométriques, l'auteur recommande :

- Que l'interprétation des levés géophysiques, tant magnétiques que spectrométriques, soit effectuée par un géophysicien. Cette interprétation faciliterait le ciblage des secteurs d'intérêt pour l'exploration au sol (cartographie et échantillonnage de roches en surface). Notamment un rehaussement des échelles de couleur lors du maillage permettrait de mieux mettre en évidence la forme des anomalies.

- Une campagne d'exploration (cartographie et échantillonnage de roches de surface) à 2 ou 3 équipes. Celle-ci devrait se baser sur l'interprétation des levés géophysiques ainsi que sur les résultats de la campagne d'exploration 2010. Les secteurs présentant un potentiel de forage devraient faire l'objet d'une cartographie plus détaillée.



Jonathan Lalancette, ing., OIQ 138534

BIBLIOGRAPHIE

- Beaumier, M. (1982). Géochimie des sédiments de lac dans la région de la rivière George, Territoire du Nouveau-Québec. Ministère de l'Énergie et des Ressources du Québec.; DP 82-16, 41p.
- Emslie, R. F. (1980). Geology and Petrology of the Harp Lake Complex, Central Labrador: an Example of Elsonian Magmatism. Geological Survey of Canada Bulletin 293, 1–136p.
- F. C. Taylor 1979. Reconnaissance Geology of a Part of the Precambrian Shield, Northwestern Quebec, Northern Labrador and Northwest Territories. Geol. Surv. Can. Memoir 393. 99 pp., 96 plates, 5 figs, 4 tables.
- Owen, J.W., 1987, Géologie de la région du lac Lief, Territoire du Nouveau Québec. ET-87-18. Ministère de l'Énergie et des Ressources du Québec.
- Otis, M. B. (1986). Géochimie des sédiments de ruisseau - Région du lac Brisson. MB 86-11, 113 PAGE(S). 2 CARTES (Échelle 1/100 000), Ministère de l'Énergie et des Ressources du Québec.
- Otis, M. B. (1986). Géochimie des sédiments de ruisseau dans la région du lac Mistinibi - sud de la rivière George MB 86-30 70 PAGE(S), 1 CARTE (ECHELLE 1/100 000). Ministère de l'Énergie et des Ressources du Québec.
- Van Der Leeden, J. 1995, Géologie de la région du lac Mistinibi, Territoire du Nouveau Québec. MB-95-05. Ministère de l'Énergie et des Ressources du Québec.
- DP-87-11 - RECONNAISSANCE GEOLOGIQUE DE LA REGION DU LAC JUILLET - NOUVEAU-QUEBEC -. 1987, Par TANER, M F. 23 pages. 1 CARTE / 7F (ECHELLE 1/50 000). Ministère de l'Énergie et des Ressources du Québec.
- ET 88-10 - GEOLOGIE DE LA REGION DU LAC RAUDE (TERRITOIRE-DU-NOUVEAU-QUEBEC). 1991, Par DANIS, D. 72 pages. CARTE 2085 A-B-C-D-E (ECHELLE 1/50 000). Ministère de l'Énergie et des Ressources du Québec.

PRO 2009-09 - REANALYSE DE SEDIMENTS DE FOND DE LAC DANS LA PARTIE NORD-EST DU QUEBEC (SOUS-PROVINCE D'ASHUANIPI, OROGENE DU NOUVEAU-QUEBEC ET PROVINCE DE CHURCHILL SUD-EST). 2009, Par MAURICE, C, LABBE, J Y. 8 pages.

CG-13M04-2010-01 - GEOLOGIE - LAC RAMUSIO. 2010, Par GOUTIER, J, LEGOUIX, C, HAMMOUCHE, H. Autres données numériques.

ANNEXE 1

RAPPORTS JOURNALIERS

RAPPORT JOURNALIER		Date : 06-07-2010		PROJET : 782	CAMPEMENT:	MÉTÉO: Nuageux, averses				
		CLIENT : Quest	RESP : J. Lalancette		SIGNATURE:					
		APPEL QUOTIDIEN:								
COMMENTAIRES SUR LES TRAVAUX :										
Mobilisation de Jonathan, Steeve et Éric de St-Honoré en avion vers 8 h 30 am. Arrivée à Schefferville. Attente au Guest House jusqu'à 16 h, les prospecteurs sont arrivés la veille au Guest house. Départ de la base d'Air Sagueneys vers 17 h (IOS), arrivée vers 18 h 30 au camp Misery.										
PERSONNEL		TÂCHES			Couché	Heures	Hors camps	Échant : De	Échant : A	FACT.
1 : Jonathan Lalancette		Ingénieur			Misery	12				FACT.
2 : Steeve Lavoie		Géologue stagiaire			Misery	12				FACT.
3 : Éric Larouche		Géologue stagiaire			Misery	12				FACT.
4 : Daniel Paradis		Prospecteur			Schefferville					NF
5 : Laurent Cormier		Prospecteur			Schefferville					NF
6 : Michel Vaillancourt		Prospecteur			Schefferville					NF
7 : Jaques Durandard		Pilote								
8 : David Gauvin		Mécano								
9 : Odéric Marcoux		Homme de camp			Misery					NF
10 : Pauline Marcoux		Cuisinière			Misery					NF
11:										
12:										
13:										
14:										
15:										
VOLS D'HYDRAVIONS:					AVARIES MÉCANIQUES :					
TEMPS D'HÉLICOPTÈRE:					ACCIDENTS :					
VOYAGES DE CAMION :					TEMPS MORT:					
EXPÉDITION D'ÉCHANTILLONS:					AMÉLIORATIONS À PRÉVOIR:					
ACHATS:										
MOBILISATION :										
DEMOBILISATION:					AVIS DISCIPLINAIRE:					
FORAGE- # TROU :		DE :	À:	VÉRIFICATION:		IOS Services Géoscientifiques inc.				
BUDGET RÉSIDUEL:		DÉPENSES:		FACTURATION:						

RAPPORT JOURNALIER	Date : 07-07-2010	PROJET : 782	CAMPAMENT:	MÉTÉO: Nuageux, averses			
		CLIENT : Quest	RESP : J. Lalancette	SIGNATURE:			
		APPEL QUOTIDIEN:					
COMMENTAIRES SUR LES TRAVAUX :							
Installation et inventaire du matériel déjà arrivé an avant-midi. Arrivée des prospecteurs ves midi. Installation des propecteurs, inventaire du nouveau matériel arrivée et préparation de terrain diverse.							
COMMENTAIRES SUR LA GÉOLOGIE:							
Aucune géologie aujourd'hui							
PERSONNEL	TÂCHES	Couché	Heures	Hors camps	Échant : De	Échant : A	FACT.
1 : Jonathan Lalancette	Ingénieur	Misery	12				FACT.
2 : Steeve Lavoie	Géologue stagiaire	Misery	12				FACT.
3 : Éric Larouche	Géologue stagiaire	Misery	12				FACT.
4 : Daniel Paradis	Prospecteur	Misery					NF
5 : Laurent Cormier	Prospecteur	Misery					NF
6 : Michel Vaillancourt	Prospecteur	Misery					NF
7 : Jaques Durandard	Pilote						
8 : David Gauvin	Mécano						
9 : Odéric Marcoux	Homme de camp	Misery					NF
10 : Pauline Marcoux	Cuisinière	Misery					NF
11:							
12:							
13:							
14:							
15:							
VOLS D'HYDRAVIONS:				AVARIES MÉCANIQUES :			
TEMPS D'HELICOPTÈRE:				ACCIDENTS :			
VOYAGES DE CAMION :				TEMPS MORT:			
EXPÉDITION D'ÉCHANTILLONS:				AMÉLIORATIONS À PRÉVOIR:			
ACHATS:							
MOBILISATION :							
DEMOBILISATION:				AVIS DISCIPLINAIRE:			
FORAGE- # TROU :		DE :	À:	VÉRIFICATION:		IOS Services Géoscientifiques inc.	
BUDGET RÉSIDUEL:		DÉPENSES:		FACTURATION:			

RAPPORT JOURNALIER	Date : 08-07-2010	PROJET : 782	CAMPEMENT:	MÉTÉO : soleil, nuageux
		CLIENT : Quest	RESP : J. Lalancette	SIGNATURE:
		APPEL QUOTIDIEN:		

COMMENTAIRES SUR LES TRAVAUX :
 Préparation de terrain en avant-midi. Visite du client en après-midi (arrivée vers 13 h). Arrivée de l'hélico en après-midi. Transfert de bases de données diverses reliées au projet Misery, discussions concernant le projet et le matériel en besoin, visite du campement et petite réunion. Départ du client vers 17 h. Ajustement du site d'hélico par les prospecteurs.

COMMENTAIRES SUR LA GÉOLOGIE:

Aucune géologie aujourd'hui

PERSONNEL	TÂCHES	Couché	Heures	Hors camps	Échant : De	Échant : A	FACT.
1 : Jonathan Lalancette	Ingénieur	Misery	12				FACT.
2 : Steeve Lavoie	Géologue stagiaire	Misery	12				FACT.
3 : Éric Larouche	Géologue stagiaire	Misery	12				FACT.
4 : Daniel Paradis	Prospecteur	Misery					NF
5 : Laurent Cormier	Prospecteur	Misery					NF
6 : Michel Vaillancourt	Prospecteur	Misery					NF
7 : Jaques Durandard	Pilote	Misery					
8 : David Gauvin	Mécano	Misery					
9 : Odéric Marcoux	Homme de camp	Misery					NF
10 : Pauline Marcoux	Cuisinière	Misery					NF
11:							
12:							
13:							
14:							
15:							

VOLS D'HYDRAVIONS:	AVARIES MÉCANIQUES :
TEMPS D'HÉLICOPTÈRE : 0,9 heure	ACCIDENTS :
VOYAGES DE CAMION :	TEMPS MORT:
EXPÉDITION D'ÉCHANTILLONS:	AMÉLIORATIONS À PRÉVOIR:
ACHATS:	
MOBILISATION :	
DEMOBILISATION:	AVIS DISCIPLINAIRE:
FORAGE- # TROU : DE : À:	VÉRIFICATION:
BUDGET RÉSIDUEL: DÉPENSES:	FACTURATION:

IOS Services Géoscientifiques inc.

RAPPORT JOURNALIER	Date : 09-07-2010	PROJET : 782	CAMPEMENT:	MÉTÉO: Brumeux et nuageux
		CLIENT : Quest	RESP : J. Lalancette	SIGNATURE:
		APPEL QUOTIDIEN:		

COMMENTAIRES SUR LES TRAVAUX :

Travail sur la principale anomalie par les 3 équipes. Départ de du camp vers 8 h, arrivée au camp vers 15 h 45.

COMMENTAIRES SUR LA GÉOLOGIE:

Steeve/Laurent : Observation de plusieurs zones affleurantes définies comme des syénites à magnétites (en % variable), localement quartzifères, en général altérées en surface. De la Bo/Hb ont été observés en faible proportion. Des blocs erratiques de monzonite à texture Rapakivi métrique à décimétrique sont présents un peu partout. Deux maximums en cps autour de 1200 avec des rapports U/Th de 2/1 et 1/1 ont été observés en affleurement. Un bloc à 3000 cps avec un rapport Th/U de 3/1 à également été observé. 7 échantillons

Jonathan/Michel : Même contexte que Steeve (même secteur). Plusieurs échantillons ont été pris (6). Les meilleurs échantillons ont été pris sur des blocs de syénite. Des comptes entre 1000-2500 cps ont été observés sur ces derniers. Les rapports Th/U sont bons (jusqu'à 40 pour 1).

Eric/Daniel : Même contexte que Steeve (même secteur). Plusieurs échantillons ont été pris (6). Les meilleurs échantillons ont été pris sur des blocs de syénite et de granite. Des comptes entre 1000-1200 cps ont été observés sur ces derniers. De la fluorine a été observée dans l'échantillon # 205054.

PERSONNEL	TÂCHES	Couché	Heures	Hors camps	Échant : De	Échant : A	FACT.
1 : Jonathan Lalancette	Ingénieur	Misery	12		205001	205006	FACT.
2 : Steeve Lavoie	Géologue stagiaire	Misery	12		205026	205032	FACT.
3 : Éric Larouche	Géologue stagiaire	Misery	12		205051	205056	FACT.
4 : Daniel Paradis	Prospecteur	Misery					NF
5 : Laurent Cormier	Prospecteur	Misery					NF
6 : Michel Vaillancourt	Prospecteur	Misery					NF
7 : Jaques Durandard	Pilote	Misery					
8 : David Gauvin	Mécano	Misery					
9 : Odéric Marcoux	Homme de camp	Misery					NF
10 : Pauline Marcoux	Cuisinière	Misery					NF
11:							
12:							
13:							
14:							
15:							

VOLS D'HYDRAVIONS:	AVARIES MÉCANIQUES :
TEMPS D'HÉLICOPTÈRE : 0,9 heure	ACCIDENTS :
VOYAGES DE CAMION :	TEMPS MORT:
EXPÉDITION D'ÉCHANTILLONS:	AMÉLIORATIONS À PRÉVOIR:
ACHATS:	
MOBILISATION :	
DEMOBILISATION:	AVIS DISCIPLINAIRE:
FORAGE - # TROU : DE : À:	VÉRIFICATION:
BUDGET RÉSIDUEL: DÉPENSES:	FACTURATION:

IOS Services Géoscientifiques inc.

RAPPORT JOURNALIER	Date : 10-07-2010	PROJET : 782	CAMPEMENT:	MÉTÉO : Ensoleillé, passage nuageux avec pluie en fin de journée					
		CLIENT : Quest	RESP : J. Lalancette	SIGNATURE:					
		APPEL QUOTIDIEN:							
COMMENTAIRES SUR LES TRAVAUX :									
Travail sur la principale anomalie par les 3 équipes. Départ de du camp vers 7 h 30, arrivée au camp vers 15 h 45.									
COMMENTAIRES SUR LA GÉOLOGIE:									
Steeve/Laurent : Observation d'un affleurement composé de dykes (syénite à grains fins) orientés environ 245N., (présence d'une famille de diacase) sur 1-2 m de largeur par environ 35 m de longueur. Anomalique (bruit de fond 500-700 cps) avec max à 1000-1200 cps, un rapport U/Th de 10 en général. PM : observation d'affleurements de Syénite avec des petits dykes suivis sur 5-30 m de l2D ayant un bruit de fond général de 400-700 (max de 2000-5000 localement). Voir géofiche pour croquis et photo.									
Jonathan/Michel : Anomalie centrale : Affleurement de monzonite à monzodiorite observé. La roche montre des cps entre 150 et 300. Plusieurs blocs de syénite, très oxydés, à texture +/- rapakivi sur le dessus de la colline. Ces blocs montrent des lectures radiométriques entre 600-2000 cps. En après-midi, poursuite de la traverse d'hier. Aff. de syénite à texture rapakivi localement, cps entre 350 et 1000. Un bloc de syénite à 4500 cps a été échantillonné dans ce secteur. 12 échantillons.									
Eric/Daniel : Poursuite du travail dans le même secteur qu'hier. Des affleurements de monzodiorite et de monzonites à Mg (en % variable), Qz localement, en général altérés en surface ont été observés. De la Bo/Hb a été observé en faible proportion. Des blocs de monzonite à texture Rapakivi m à dm sont présents un peu partout. Un maximum en cps autour de 840 a été observé en affleurement. Un bloc de granite à 1200 cps a également été observé et celui-ci contenait des traces de fluorine. 5 échantillons.									
PERSONNEL	TÂCHES			Couché	Heures	Hors camps	Echant : De	Echant : A	FACT.
1 : Jonathan Lalancette	Ingénieur			Misery	12		205007	205018	FACT.
2 : Steeve Lavoie	Géologue stagiaire			Misery	12		205033	205045	FACT.
3 : Éric Larouche	Géologue stagiaire			Misery	12		205057	205061	FACT.
4 : Daniel Paradis	Prospecteur			Misery					NF
5 : Laurent Cormier	Prospecteur			Misery					NF
6 : Michel Vaillancourt	Prospecteur			Misery					NF
7 : Jaques Durandard	Pilote			Misery					
8 : David Gauvin	Mécano			Misery					
9 : Odéric Marcoux	Homme de camp			Misery					NF
10 : Pauline Marcoux	Cuisinière			Misery					NF
11:									
12:									
13:									
14:									
15:									
VOLS D'HYDRAVIONS:				AVARIES MÉCANIQUES :					
TEMPS D'HELICOPTERE : 1,5 heures				ACCIDENTS :					
VOYAGES DE CAMION :				TEMPS MORT :					
EXPÉDITION D'ÉCHANTILLONS:				AMÉLIORATIONS À PRÉVOIR:					
ACHATS:									
MOBILISATION :									
DEMOBILISATION:				AVIS DISCIPLINAIRE:					
FORAGE- # TROU : DE : A:				VÉRIFICATION:		IOS Services Géoscientifiques inc.			
BUDGET RESIDUEL: DÉPENSES:				FACTURATION:					

RAPPORT JOURNALIER	Date : 11-07-2010	PROJET : 782	CAMPEMENT:	MÉTÉO : Ensoleillé avec passages nuageux					
		CLIENT : Quest	RESP : J. Lalancette	SIGNATURE:					
		APPEL QUOTIDIEN:							
COMMENTAIRES SUR LES TRAVAUX :									
Travail sur la principale anomalie par les 3 équipes. Départ de du camp vers 7 h 30, arrivée au camp vers 15 h 45.									
COMMENTAIRES SUR LA GÉOLOGIE:									
Eric/Daniel : Visite d'une colline à l'est de L'anomalie. Des affleurements de syénites à magnétite (en % variable), localement quartzifères, en général altérés en surface ont été observés. De la Bo/Hb ont été observés en faible proportion. Des blocs de syénites et de granite millimétriques à décimétriques sont présents un peu partout. Un maximum en cps autour de 3300 a été observé en affleurement ainsi qu'un bloc de granite à 780 cps. De plus, la présence de quartz fumé a été observée dans l'affleurement de syénite à quartz. 6 échantillons.									
Jonathan/Michel : Traverses dans le même secteur que Steeve la veille. Quelques dykes de syénite à grains fins, généralement orientés entre 065N et 120N, avec des cps anomaux (500-2500) ont été observés et échantillonnés. Ces dykes sont encaissés dans des syénites à textures rapakivi. 6 échantillons.									
Steeve/Laurent : Suivi du jour précédent. Observation de syénite à texture rapakivi généralement avec une forte altération de surface. Le même style de dyke orienté environ 230-250N. Syénite à grain fin, fortement altéré (verte foncée. Ep ou Chi), le quartz est très fumé (noir), généralement magnétique à différente intensité. Cps moyen de 500-700, max 1000-4500. le ratio moyen U/Th est de 1/3-4. 8 échantillons ont été récoltés.									
PERSONNEL	TÂCHES			Couché	Heures	Hors camps	Échant : De	Échant : A	FACT.
1 : Jonathan Lalancette	Ingénieur			Misery	12		205019	205024	FACT.
2 : Steeve Lavoie	Géologue stagiaire			Misery	12		205046,76	205050,78	FACT.
3 : Éric Larouche	Géologue stagiaire			Misery	12		205062	205067	FACT.
4 : Daniel Paradis	Prospecteur			Misery					NF
5 : Laurent Cormier	Prospecteur			Misery					NF
6 : Michel Vaillancourt	Prospecteur			Misery					NF
7 : Jaques Durandard	Pilote			Misery					
8 : David Gauvin	Mécano			Misery					
9 : Odéric Marcoux	Homme de camp			Misery					NF
10 : Pauline Marcoux	Cuisinière			Misery					NF
11:									
12:									
13:									
14:									
15:									
VOLS D'HYDRAVIONS:				AVARIES MÉCANIQUES :					
TEMPS D'HELICOPTÈRE : 1,2 heure				ACCIDENTS :					
VOYAGES DE CAMION :				TEMPS MORT:					
EXPÉDITION D'ÉCHANTILLONS:				AMÉLIORATIONS À PRÉVOIR:					
ACHATS:									
MOBILISATION :									
DEMOBILISATION:				AVIS DISCIPLINAIRE:					
FORAGE- # TROU : DE : A:				VÉRIFICATION:					
BUDGET RÉSIDUEL:				FACTURATION:					
				IOS Services Géoscientifiques inc.					

RAPPORT JOURNALIER	Date : 12-07-2010	PROJET : 782	CAMPEMENT:	MÉTÉO : Ensoleillé avec forts vents			
		CLIENT : Quest	RESP : J. Lalancette	SIGNATURE:			
		APPEL QUOTIDIEN:					
COMMENTAIRES SUR LES TRAVAUX :							
Travail sur la principale anomalie par les 3 équipes. Départ de du camp vers 8 h 30, arrivée au camp vers 15 h 45.							
COMMENTAIRES SUR LA GÉOLOGIE:							
Steeve/Laurent : Secteur nord-est de l'anomalie principale (colline) . I2D (RK texture) avec quelques dykes de I2D (GF) localement. Site affleurant au nord de la colline, avec deux familles de dyke (orientés 245N/125N), de largeur décimétrique à métrique et de longueur discontinue jusqu'à 25 m. Bruit de fond autour de 400-750 cps (dykes) avec maximum jusqu'à 2000. Échantillon dans un dyke décimétrique orienté environ 125N d'une longueur de 4-5 m avec un bruit de fond de 2000-3000 cps avec une veinule (3-5 cm de largeur par 30 cm de longueur) quartzifère avec cps moyen de 5000-7000 cps (ratio U/TH de 1/18). 8 échantillons récoltés.							
Jonathan/Michel : Traverse sur une colline à l'ouest de l'anomalie magnétique. Plusieurs dykes centimétriques quartzo-feldspathiques (quartz fumé) entre 500 et 4500 cps. Les dykes sont orientés à 140N. Ils sont encaissés dans des syénites à texture rapakivi. La majorité des échantillons ont été récoltés dans les dykes. 12 échantillons. Plusieurs sites n'ont pas encore été échantillonnés dans le sud de la colline. Quelques échantillons de l'an dernier ont été rencontrés.							
Eric/Daniel : Poursuite du travail dans le même secteur qu'hier. Des affleurements de I2D à magnétite (en % variable), localement Oz. en général altérés en surface ont été observés. De la Bo/Hb ont été observés en faible proportion. Un maximum en cps autour de 2000 a été observé en affleurement ainsi que plusieurs autres entre 1000 et 1500 cps. De plus, la présence de quartz fumée a été observée dans des dykes de I2C. 9 échantillons.							
PERSONNEL	TÂCHES	Couché	Heures	Hors camps	Échant : De	Échant : A	FACT.
1 : Jonathan Lalancette	Ingénieur	Misery	12		205101	205112	FACT.
2 : Steeve Lavoie	Géologue stagiaire	Misery	12		205079	205086	FACT.
3 : Éric Larouche	Géologue stagiaire	Misery	12		205068, 126	205074, 127	FACT.
4 : Daniel Paradis	Prospecteur	Misery					NF
5 : Laurent Cormier	Prospecteur	Misery					NF
6 : Michel Vaillancourt	Prospecteur	Misery					NF
7 : Jaques Durandard	Pilote	Misery					
8 : David Gauvin	Mécano	Misery					
9 : Odéric Marcoux	Homme de camp	Misery					NF
10 : Pauline Marcoux	Cuisinière	Misery					NF
11:							
12:							
13:							
14:							
15:							
VOLS D'HYDRAVIONS:		AVARIES MÉCANIQUES :					
TEMPS D'HÉLICOPTÈRE : 1 heure		ACCIDENTS :					
VOYAGES DE CAMION :		TEMPS MORT:					
EXPÉDITION D'ÉCHANTILLONS:		AMÉLIORATIONS À PRÉVOIR:					
ACHATS:							
MOBILISATION :							
DEMOBILISATION:		AVIS DISCIPLINAIRE:					
FORAGE- # TROU : DE : À:		VÉRIFICATION:		IOS Services Géoscientifiques inc.			
BUDGET RÉSIDUEL: DÉPENSES:		FACTURATION:					

RAPPORT JOURNALIER	Date : 13-07-2010	PROJET : 782	CAMPEMENT:	MÉTÉO : Ensoleillé avec un peu de pluie en matinée					
		CLIENT : Quest	RESP : J. Lalancette	SIGNATURE:					
		APPEL QUOTIDIEN:							
COMMENTAIRES SUR LES TRAVAUX :									
Travail sur la principale anomalie par les 3 équipes. Départ de du camp vers 7 h 30, arrivée au camp vers 15 h 45. Changement de mécanicien pour Canadien. Le changement s'est fait à Shefferville avec l'hélicoptère.									
COMMENTAIRES SUR LA GEOLOGIE:									
Steeve/Laurent : Suivi de l'échantillonnage sur le site découvert le jour précédent, toujours dans le même contexte structural et minéralogique, dyke 245N/130N de syénite quartzifère anomaux. Exploration du flanc est de la montagne sans anomalie majeure. Poursuite vers le sud sur un autre flanc, représentant le même contexte général, quelques dykes de syénites quartzifères anomaux avec des maximums locaux autour de 1000-2500. 8 échantillons récoltés.									
Jonathan/Michel : Suite de la traverse de la veille. Plusieurs échantillons récoltés dans des dykes de syeno-granite. Quelques échantillons récoltés dans les roches encaissantes (syénite à texture rapakivi). Plusieurs échantillons pris sur des blocs oxydés, assez riches en Hb/Bo, Qz fumé. 19 échantillons récoltés.									
Eric/Daniel : Poursuite du travail dans le même secteur qu'hier. Des affleurements de I2D à texture Rk, localement Qz, en général altérés en surface ont été observés recoupés par des dykes de I2C avec quartz fumé et beaucoup de magnétite. De la Bo/Hb a été observée en faible proportion. Plusieurs maximums entre 1000 et 1400 cps ont été observés en affleurement ou dans les dykes. 10 échantillons.									
PERSONNEL	TÂCHES			Couché	Heures	Hors camps	Echant : De	Echant : A	FACT.
1 : Jonathan Lalancette	Ingénieur			Misery	12				FACT.
2 : Steve Lavoie	Géologue stagiaire			Misery	12				FACT.
3 : Eric Larouche	Géologue stagiaire			Misery	12				FACT.
4 : Daniel Paradis	Prospecteur			Misery					NF
5 : Laurent Cormier	Prospecteur			Misery					NF
6 : Michel Vaillancourt	Prospecteur			Misery					NF
7 : Jaques Durandard	Pilote			Misery					
8 : David Gauvin / Sébastien Thériault	Mécano			Misery					
9 : Odéric Marcoux	Homme de camp			Misery					NF
10 : Pauline Marcoux	Cuisinière			Misery					NF
11:									
12:									
13:									
14:									
15:									
VOLS D'HYDRAVIONS:				AVARIES MÉCANIQUES :					
TEMPS D'HÉLICOPTÈRE : 3,5 heures				ACCIDENTS :					
VOYAGES DE CAMION :				TEMPS MORT:					
EXPÉDITION D'ÉCHANTILLONS:				AMÉLIORATIONS À PRÉVOIR:					
ACHATS:									
MOBILISATION : Sébastien									
DEMOBILISATION : David				AVIS DISCIPLINAIRE:					
FORAGE- # TROU : DE : A.				VÉRIFICATION:					
BUDGET RESIDUEL: DÉPENSES:				FACTURATION:					
						IOS Services Géoscientifiques inc.			

RAPPORT JOURNALIER	Date : 14-07-2010	PROJET : 782	CAMPEMENT:	MÉTÉO : Ensoleillé avec passages nuageux					
		CLIENT : Quest	RESP : J. Lalancette	SIGNATURE:					
		APPEL QUOTIDIEN:							
COMMENTAIRES SUR LES TRAVAUX :									
Travail sur la principale anomalie par les 3 équipes. Départ de du camp vers 8 h 15, arrivée au camp vers 15 h 45.									
COMMENTAIRES SUR LA GÉOLOGIE:									
Steeve/Laurent : Suivi de l'exploration portion nord du même site. Syénite (RK) homogène avec dyke de syénite quartzifère décimétrique à métrique. Observation d'un affleurement de Syénite (RK) avec plusieurs petits dykes de quartzo-syénite centimétriques anomaux. Ces derniers donnent des cps variant entre 1000-9000 (effet de mur) sur des longueurs métriques, observation sur 35 m. Retour sur le site demain pour compléter les travaux.									
Jonathan/Michel : AM : Visite d'une petite colline au nord-est de celle de la veille. Syénite rapakivi avec quelques dykes de quartzo-syénite. Bruit de fond autour de 400 cps. Quelques dykes montrent des lectures un peu plus élevées (600-1500 cps). PM : Environ 2 km à l'est. Affleurement de syénite rapakivi. Plusieurs boulder (60-80) composés de Fp/Qz/Bo/Hb/oxyle de Fe avec cps entre 1000-2000 cps. On retrouve ces blocs sur 1 km, dans une trainée orientée est-ouest.									
Eric/Daniel : Travail dans un secteur plus à l'est de l'anomalie. Des affleurements de I2D à texture Rk, localement Qz et Mg, en général altérés en surface ont été observés recoupés par des dykes de I2C avec Qz fumée et beaucoup de Mg. De la Bo/Hb a été observée en faible proportion. Plusieurs maximums entre 700 et 5100 cps ont été observés en affleurement ou dans les dykes. 9 échantillons.									
PERSONNEL	TÂCHES			Couché	Heures	Hors camps	Échant : De	Échant : A	FACT.
1 : Jonathan Lalancette	Ingénieur			Misery	12				FACT.
2 : Steeve Lavoie	Géologue stagiaire			Misery	12				FACT.
3 : Éric Larouche	Géologue stagiaire			Misery	12				FACT.
4 : Daniel Paradis	Prospecteur			Misery					NF
5 : Laurent Cormier	Prospecteur			Misery					NF
6 : Michel Vaillancourt	Prospecteur			Misery					NF
7 : Jaques Durandard	Pilote			Misery					
8 : Sébastien Thériault	Mécano			Misery					
9 : Odéric Marcoux	Homme de camp			Misery					NF
10 : Pauline Marcoux	Cuisinière			Misery					NF
11:									
12:									
13:									
14:									
15:									
VOLS D'HYDRAVIONS:				AVARIES MÉCANIQUES :					
TEMPS D'HÉLICOPTÈRE : heures				ACCIDENTS :					
VOYAGES DE CAMION :				TEMPS MORT:					
EXPÉDITION D'ÉCHANTILLONS:				AMÉLIORATIONS À PRÉVOIR:					
ACHATS:									
MOBILISATION :									
DEMOBILISATION:				AVIS DISCIPLINAIRE:					
FORAGE- # TROU : DE : À:				VÉRIFICATION:		IOS Services Géoscientifiques inc.			
BUDGET RÉSIDUEL: DÉPENSES:				FACTURATION:					

RAPPORT JOURNALIER	Date : 15-07-2010	PROJET : 782	CAMPEMENT:	MÉTÉO : Ensoleillé avec passages nuageux			
		CLIENT : Quest	RESP : J. Lalancette	SIGNATURE:			
		APPEL QUOTIDIEN:					
COMMENTAIRES SUR LES TRAVAUX :							
Travail sur la principale anomalie par les 3 équipes. Départ de du camp vers 7 h 30, arrivée au camp vers 15 h 45.							
Arrivée de Pierre Guay et Sébastien (technicien pour l'internet et téléphone) en fin de journée.							
COMMENTAIRES SUR LA GÉOLOGIE:							
Steeve/Laurent :							
Jonathan/Michel : Visite des sites de traverses de Steeve et de Éric en avant-midi. En après-midi, traverse pour essayer de suivre la traînée de blocs découverte la veille. Plusieurs blocs découverts. Plusieurs échantillons récoltés (16 au total)							
Eric/Daniel : Visite et échantillonnage dans le secteur que Jonathan puis poursuite dans le même secteur que hier. Des affleurements de I2D à texture Rk, localement Qz et Mg, altérés en surface ont été observés recoupés par des dykes de I2C avec Qz fumé et ± Mg. De la Bo/Hb a été observée en faible proportion. Plusieurs maximums entre 1000 et 3100 cps ont été observés en affleurement ou dans les dykes. 8 échantillons.							
PERSONNEL	TÂCHES	Couché	Heures	Hors camps	Échant : De	Échant : A	FACT.
1 : Jonathan Lalancette	Ingénieur	Misery	12				FACT.
2 : Steeve Lavoie	Géologue stagiaire	Misery	12				FACT.
3 : Éric Larouche	Géologue stagiaire	Misery	12				FACT.
4 : Daniel Paradis	Prospecteur	Misery					NF
5 : Laurent Cormier	Prospecteur	Misery					NF
6 : Michel Vaillancourt	Prospecteur	Misery					NF
7 : Jaques Durandard	Pilote	Misery					NF
8 : Sébastien thériault	Mécano	Misery					NF
9 : Odéric Marcoux	Homme de camp	Misery					NF
10 : Pauline Marcoux	Cuisinière	Misery					NF
11 : Pierre Guay	Géologue	Misery					NF
12 : Sébastien technicien	Technicien	Misery					NF
13:							
14:							
15:							
VOLS D'HYDRAVIONS:		AVARIES MÉCANIQUES :					
TEMPS D'HELICOPTÈRE : 1,4 heures		ACCIDENTS :					
VOYAGES DE CAMION :		TEMPS MORT:					
EXPÉDITION D'ÉCHANTILLONS:		AMÉLIORATIONS À PRÉVOIR:					
ACHATS:							
MOBILISATION :							
DEMOBILISATION:		AVIS DISCIPLINAIRE:					
FORAGE- # TROU : DE : A:		VÉRIFICATION:					
BUDGET RÉSIDUEL:		FACTURATION:			IOS Services Géoscientifiques inc.		
DÉPENSES:							

RAPPORT JOURNALIER	Date : 16-07-2010	PROJET : 782	CAMPEMENT:	MÉTÉO : Ensoleillé et chaud					
		CLIENT : Quest	RESP : J. Lalancette	SIGNATURE:					
		APPEL QUOTIDIEN:							
COMMENTAIRES SUR LES TRAVAUX :									
Travail sur la principale anomalie par les 2 équipes. Départ de du camp vers 7 h 30, arrivée au camp vers 15 h 45.									
Jonathan est resté au camp toute la journée avec Pierre Guay. Discussion des travaux exécutés et des travaux à venir.									
COMMENTAIRES SUR LA GÉOLOGIE:									
Steeve/Laurent : Suite de l'exploration dans le même secteur et ses environs. Observation de plusieurs zone minéralisées centimétriques à métriques dans les mêmes types de dyke. Des cps max variant entre 2000 et 7500 ont été observés. Finalisation de de l'échantillonnage demain.									
Eric/Daniel : Suivi d'une trace de blocs magnétiques avec Qz fumé et des cps entre 1000 et 2000. Des affleurements de l2D à texture Rk, localement Qz et Mg, altérés en surface ont été observés. De la Bo/Hb a été observée en faible proportion. 13 échantillons.									
PERSONNEL	TÂCHES			Couché	Heures	Hors camps	Échant : De	Échant : A	FACT.
1 : Jonathan Lalancette	Ingénieur			Misery	12				FACT.
2 : Steeve Lavoie	Géologue stagiaire			Misery	12				FACT.
3 : Éric Larouche	Géologue stagiaire			Misery	12				FACT.
4 : Daniel Paradis	Prospecteur			Misery					NF
5 : Laurent Cormier	Prospecteur			Misery					NF
6 : Michel Vaillancourt	Prospecteur			Misery					NF
7 : Jaques Durandard	Pilote			Misery					NF
8 : Sébastien thériault	Mécano			Misery					NF
9 : Odéric Marcoux	Homme de camp			Misery					NF
10 : Pauline Marcoux	Cuisinière			Misery					NF
11 : Pierre Guay	Géologue			Misery					NF
12 : Sébastien technicien	Technicien			Misery					NF
13:									
14:									
15:									
VOLS D'HYDRAVIONS:				AVARIES MÉCANIQUES :					
TEMPS D'HELICOPTÈRE : 0,7 heures				ACCIDENTS :					
VOYAGES DE CAMION :				TEMPS MORT:					
EXPEDITION D'ÉCHANTILLONS:				AMÉLIORATIONS A PREVOIR:					
ACHATS:									
MOBILISATION :									
DEMOBILISATION:				AVIS DISCIPLINAIRE:					
FORAGE- # TROU : DE : À:				VÉRIFICATION:		IOS Services Géoscientifiques inc.			
BUDGET RÉSIDUEL:		DÉPENSES:		FACTURATION:					

RAPPORT JOURNALIER	Date : 17-07-2010	PROJET : 782	CAMPEMENT:	MÉTÉO : Averses toute la journée			
		CLIENT : Quest	RESP : J. Lalancette	SIGNATURE:			
		APPEL QUOTIDIEN:					
COMMENTAIRES SUR LES TRAVAUX :							
Aucuns travaux pendant toute la journée en raison de la mauvaise température.							
COMMENTAIRES SUR LA GÉOLOGIE:							
Steeve/Laurent :							
Jonathan/Michel :							
PERSONNEL	TÂCHES	Couché	Heures	Hors camps	Echant : De	Echant : A	FACT.
1 : Jonathan Lalancette	Ingénieur	Misery	12				FACT.
2 : Steeve Lavoie	Géologue stagiaire	Misery	12				FACT.
3 : Éric Larouche	Géologue stagiaire	Misery	12				FACT.
4 : Daniel Paradis	Prospecteur	Misery					NF
5 : Laurent Cormier	Prospecteur	Misery					NF
6 : Michel Vaillancourt	Prospecteur	Misery					NF
7 : Jaques Durandard	Pilote	Misery					NF
8 : Sébastien thériault	Mécano	Misery					NF
9 : Odéric Marcoux	Homme de camp	Misery					NF
10 : Pauline Marcoux	Cuisinière	Misery					NF
11 :							
12 :							
13 :							
14 :							
15 :							
VOLS D'HYDRAVIONS:			AVARIES MÉCANIQUES :				
TEMPS D'HELICOPTÈRE :			ACCIDENTS :				
VOYAGES DE CAMION :			TEMPS MORT : Toute la journée				
EXPEDITION D'ÉCHANTILLONS:			AMÉLIORATIONS À PREVOIR:				
ACHATS:							
MOBILISATION :							
DEMOBILISATION:			AVIS DISCIPLINAIRE:				
FORAGE- # TROU :		DE :	A:	VERIFICATION:			
BUDGET RÉSIDUEL:		DÉPENSES:		FACTURATION:		IOS Services Géoscientifiques inc.	

RAPPORT JOURNALIER	Date : 18-07-2010	PROJET : 782	CAMPEMENT:	MÉTÉO : Averses toute la journée			
		CLIENT : Quest	RESP : J. Lalancette	SIGNATURE:			
		APPEL QUOTIDIEN:					
COMMENTAIRES SUR LES TRAVAUX :							
Aucuns travaux pendant toute la journée en raison de la mauvaise température.							
COMMENTAIRES SUR LA GÉOLOGIE:							
Steeve/Laurent :							
Jonathan/Michel :							
PERSONNEL	TÂCHES	Couché	Heures	Hors camps	Échant : De	Échant : A	FACT.
1 : Jonathan Lalancette	Ingénieur	Misery	12				FACT.
2 : Steeve Lavoie	Géologue stagiaire	Misery	12				FACT.
3 : Éric Larouche	Géologue stagiaire	Misery	12				FACT.
4 : Daniel Paradis	Prospecteur	Misery					NF
5 : Laurent Cormier	Prospecteur	Misery					NF
6 : Michel Vaillancourt	Prospecteur	Misery					NF
7 : Jaques Durandard	Pilote	Misery					NF
8 : Sébastien thériault	Mécano	Misery					NF
9 : Odéric Marcoux	Homme de camp	Misery					NF
10 : Pauline Marcoux	Cuisinière	Misery					NF
11 :							
12 :							
13 :							
14 :							
15 :							
VOLS D'HYDRAVIONS:		AVARIES MÉCANIQUES :					
TEMPS D'HELICOPTÈRE :		ACCIDENTS :					
VOYAGES DE CAMION :		TEMPS MORT : Toute la journée					
EXPÉDITION D'ÉCHANTILLONS:		AMÉLIORATIONS À PRÉVOIR:					
ACHATS:							
MOBILISATION :							
DEMOBILISATION:		AVIS DISCIPLINAIRE:					
FORAGE- # TROU :	DE :	A:	VERIFICATION:	IOS Services Géoscientifiques Inc.			
BUDGET RÉSIDUEL:	DÉPENSES:	FACTURATION:					

RAPPORT JOURNALIER	Date : 19-07-2010	PROJET : 782	CAMPEMENT:	MÉTÉO : Averses dispersées			
		CLIENT : Quest	RESP : J. Lalancette	SIGNATURE:			
		APPEL QUOTIDIEN:					
COMMENTAIRES SUR LES TRAVAUX :							
Travail sur la principale anomalie par les 3 équipes. Départ de du camp vers 8 h, arrivée au camp vers 15 h 45.							
Visite de Pierre Guay en fin de journée.							
COMMENTAIRES SUR LA GEOLOGIE:							
Steeve/Laurent : Suite de l'exploration dans le même secteur et ses environs. Observation de plusieurs zones minéralisées centimétriques à métriques dans les mêmes types de dyke. Des cps maximums variant entre 2000 et 17000 (zone anormale sur 20 m de longueur et 1-2 m de largeur discontinue) ont été échantillonnés. Les ratio varient entre U/TH de 2/1 à 1/2. Déplacé en après-midi au sud de l'anomalie mag. circulaire. Observation de syénite homogène avec un bruit de fond de 250-400 cps							
Jonathan/Michel : Traverse dans le secteur nord-ouest de l'anomalie. Dyke de syénite pegmatitiques avec mégacristaux de monazite et de hornblende. Cps jusqu'à 18 000. Plusieurs échantillons dans la syénite grossière avec texture rapakivi +/- bien développée . Duplicata d'un échantillon (décapage) de l'an dernier. 8 échantillons au total.							
Eric/Daniel : Traverse dans le secteur à l'est de l'anomalie. Des affleurements de I2D à texture Rk, localement Qz, altérés en surface ont été observés recoupés par des dykes de I2C avec ± Mg. De la Bo/Hb a été observée en faible proportion. Plusieurs maximums entre 700 et 1100 cps ont été observés en affleurement ou dans les dykes. 7 échantillons.							
PERSONNEL	TÂCHES	Couché	Heures	Hors camps	Échant : De	Échant : A	FACT.
1 : Jonathan Lalancette	Ingénieur	Misery	12				FACT.
2 : Steeve Lavoie	Géologue stagiaire	Misery	12				FACT.
3 : Éric Larouche	Géologue stagiaire	Misery	12				FACT.
4 : Daniel Paradis	Prospecteur	Misery					NF
5 : Laurent Cormier	Prospecteur	Misery					NF
6 : Michel Vaillancourt	Prospecteur	Misery					NF
7 : Jaques Durandard	Pilote	Misery					NF
8 : Sébastien thériault	Mécano	Misery					NF
9 : Odéric Marcoux	Homme de camp	Misery					NF
10 : Pauline Marcoux	Cuisinière	Misery					NF
11 :							
12 :							
13 :							
14 :							
15 :							
VOLS D'HYDRAVIONS:		AVARIES MÉCANIQUES :					
TEMPS D'HELICOPTÈRE : 1,0 heures		ACCIDENTS :					
VOYAGES DE CAMION :		TEMPS MORT:					
EXPÉDITION D'ÉCHANTILLONS:		AMÉLIORATIONS A PRÉVOIR:					
ACHATS:							
MOBILISATION :							
DEMOBILISATION:		AVIS DISCIPLINAIRE:					
FORAGE- # TROU :		DE :		A:		VÉRIFICATION:	
BUDGET RÉSIDUEL:		DÉPENSES:		FACTURATION:		IOS Services Géoscientifiques Inc.	

RAPPORT JOURNALIER	Date : 20-07-2010	PROJET : 782	CAMPEMENT:	MÉTÉO : Brume en avant-midi			
		CLIENT : Quest	RESP : J. Lalancette	SIGNATURE:			
		APPEL QUOTIDIEN:					
COMMENTAIRES SUR LES TRAVAUX :							
Travail sur la principale anomalie par les 3 équipes. Départ de du camp vers 12 h, arrivée au camp vers 16 h 15.							
Allez-retour de Jonathan en hélicoptère en avant-midi au camp Mistassibi pour aller chercher des spectromètres et des radios manquants.							
COMMENTAIRES SUR LA GÉOLOGIE:							
Steeve/Laurent : suite de l'exploraiton vers l'est, observation du même environnement géologique. Découverte de 2 zones décimétrique à 1 mètre, peut-être sub en place. Ces derniers ont des maximums en cps de 11 500 et 12 000 avec rapport autour de 30/1 Th, 2220 ppm.							
Jonathan/Michel : Traverse au nord-ouest de l'anomalie circulaire, en bordure d'une rivière, au bout d'un Esker. Affleurement de syénite rapakivi avec Bo, plusieurs cps entre 800-1200 cps, max à 4000 cps. 3 échantillons pris sur ces roches, entre 3000 et 4000 cps. Un bloc à 4500 cps (syénite rose avec biotite et minéral métallique, non mag). 4 échantillons.							
Eric/Daniel : Traverse dans le secteur au sud de l'anomalie. Des affleurements de l2D à texture Rk, localement Qz, altérés en surface ont été observés recoupés par des dykes de l2C avec ± Mg. De la Bo/Hb a été observée en faible proportion. Plusieurs maximums entre 2000 et 2660 cps ont été observés en affleurement ou dans les dykes. 3 échantillons.							
PERSONNEL	TÂCHES	Couché	Heures	Hors camps	Échant : De	Échant : A	FACT.
1 : Jonathan Lalancette	Ingénieur	Misery	12				FACT.
2 : Steeve Lavoie	Géologue stagiaire	Misery	12				FACT.
3 : Éric Larouche	Géologue stagiaire	Misery	12				FACT.
4 : Daniel Paradis	Prospecteur	Misery					NF
5 : Laurent Cormier	Prospecteur	Misery					NF
6 : Michel Vaillancourt	Prospecteur	Misery					NF
7 : Jaques Durandard	Pilote	Misery					NF
8 : Sébastien thériault	Mécano	Misery					NF
9 : Odéric Marcoux	Homme de camp	Misery					NF
10 : Pauline Marcoux	Cuisinière	Misery					NF
11 :							
12 :							
13 :							
14 :							
15 :							
VOLS D'HYDRAVIONS:		AVARIES MÉCANIQUES :					
TEMPS D'HELICOPTERE : 2,2 heures		ACCIDENTS :					
VOYAGES DE CAMION :		TEMPS MORT : En avant-midi					
EXPÉDITION D'ÉCHANTILLONS:		AMÉLIORATIONS À PREVOIR:					
ACHATS:							
MOBILISATION :							
DEMOBILISATION:		AVIS DISCIPLINAIRE:					
FORAGE- # TROU :		DE :		À:		VÉRIFICATION:	
BUDGET RÉSIDUEL:		DÉPENSES:		FACTURATION:		IOS Services Géoscientifiques inc.	

RAPPORT JOURNALIER	Date : 21-07-2010	PROJET : 782	CAMPEMENT:	MÉTÉO : Quelques averses dispersées			
		CLIENT : Quest	RESP : J. Lalancette	SIGNATURE:			
		APPEL QUOTIDIEN:					
COMMENTAIRES SUR LES TRAVAUX :							
Travail sur la principale anomalie par les 3 équipes. Départ de du camp vers 8 h, arrivée au camp vers 15 h 30.							
Visite des clients : Pierre, Willy et Peter.							
COMMENTAIRES SUR LA GÉOLOGIE:							
Steeve/Laurent : Exploration d'anomalies (TH) au nord-est de la propriété. Observation de syénite rapakivi homogène, présence de dyke d'I2C dm, faiblement anomal. Un granite homogène à été observé en fin de journée. Pas de contact observé. 5 échantillons							
Jonathan/Michel : Poursuite de la traverse de la veille en avant-midi. Syénite rapakivi avec petites enclaves de I1G. Quelques secteurs locaux entre 1000-3800 cps (I2d et I1G). Visite de quelques petites anomalies en après-midi qui n'ont pas été expliquées. 4 échantillons.							
Eric/Daniel : Poursuite du travail au sud de l'anomalie. Des affleurements de I2D à texture Rk ont été observés avec ± Mg. De la Bo/Hb ainsi que de la FI ont été observées en faible proportion. Plusieurs maximums entre 1000 et 2230 cps ont été observés en affleurement. Découverte d'un affleurement (moyenne de 500 cps) avec dykes de Mg massive (moyenne de 1100 cps) en fin de journée. Retour sur celle-ci demain. 5 échantillons.							
PERSONNEL	TÂCHES	Couché	Heures	Hors camps	Echant : De	Echant : A	FACT.
1 : Jonathan Lalancette	Ingénieur	Misery	12				FACT.
2 : Steeve Lavoie	Géologue stagiaire	Misery	12				FACT.
3 : Éric Larouche	Géologue stagiaire	Misery	12				FACT.
4 : Daniel Paradis	Prospecteur	Misery					NF
5 : Laurent Cormier	Prospecteur	Misery					NF
6 : Michel Vaillancourt	Prospecteur	Misery					NF
7 : Jaques Durandard	Pilote	Misery					NF
8 : Sébastien thériault	Mécano	Misery					NF
9 : Odéric Marcoux	Homme de camp	Misery					NF
10 : Pauline Marcoux	Cuisinière	Misery					NF
11 :							
12 :							
13 :							
14 :							
15 :							
VOLS D'HYDRAVIONS:		AVARIES MÉCANIQUES :					
TEMPS D'HELICOPTÈRE : heures		ACCIDENTS :					
VOYAGES DE CAMION :		TEMPS MORT :					
EXPÉDITION D'ÉCHANTILLONS:		AMÉLIORATIONS A PRÉVOIR:					
ACHATS:							
MOBILISATION :							
DEMOBILISATION:		AVIS DISCIPLINAIRE:					
FORAGE- # TROU :		DE :		A:		VERIFICATION:	
BUDGET RÉSIDUEL:		DÉPENSES:		FACTURATION:		IOS Services Géoscientifiques Inc.	

RAPPORT JOURNALIER	Date : 22-07-2010	PROJET : 782	CAMPEMENT:	MÉTÉO : Journée nuageuse avec forts vents			
		CLIENT : Quest	RESP : J. Lalancette	SIGNATURE:			
		APPEL QUOTIDIEN:					
COMMENTAIRES SUR LES TRAVAUX :							
Travail sur l'anomalie la plus au sud par les 3 équipes. Départ de du camp vers 7 h 45 am, arrivée au camp vers 15 h 45.							
COMMENTAIRES SUR LA GÉOLOGIE:							
Steeve/Laurent : exploration dans le secteur est d'une anomalie secondaire. Observation de diorite à boïtite, avec porphyre de feld (cm) en zone de transition avec la syénite (RK). Tout deux avec un bruit de fond autour de 200-350. Présence de dyke de pegmatite centimétrique, décimétrique généralement anormalique avec bruit de fond autour de 400-700 et des maximums décimétriques locaux entre 1000 et 7500. Photo disponible.							
Jonathan/Michel : Traverse à l'est de l'anomalie magnétique la plus au sud. Yenite rapakivique avec des dykes de gabbrodiorite. Quelques dykes de pegmatite dans les gabbrodiorites. Le % de porphyre de Fp dans les syénite varie localement. Background entre 250-350. 4 échantillons.							
Eric/Daniel : Échantillonnage sur l'affleurement de I2D avec enclaves de magnétite massive avec des maximums entre 1200 et 1850 cps puis travaux sur l'anomalie au sud. Des affleurements de I2D/I1B à texture Rk ont été observés avec ± Mg. De la Bo/Hb a été observée en faible proportion. Plusieurs maximums entre 300 et 500 cps ont été observés en affleurement. 7 échantillons.							
PERSONNEL	TÂCHES	Couché	Heures	Hors camps	Échant : De	Échant : A	FACT.
1 : Jonathan Lalancette	Ingénieur	Misery	12				FACT.
2 : Steeve Lavoie	Géologue stagiaire	Misery	12				FACT.
3 : Éric Larouche	Géologue stagiaire	Misery	12				FACT.
4 : Daniel Paradis	Prospecteur	Misery					NF
5 : Laurent Cormier	Prospecteur	Misery					NF
6 : Michel Vaillancourt	Prospecteur	Misery					NF
7 : Jaques Durandard	Pilote	Misery					NF
8 : Sébastien thériault	Mécano	Misery					NF
9 : Odéric Marcoux	Homme de camp	Misery					NF
10 : Pauline Marcoux	Cuisinière	Misery					NF
11 :							
12 :							
13 :							
14 :							
15 :							
VOLS D'HYDRAVIONS:		AVARIES MÉCANIQUES :					
TEMPS D'HELICOPTÈRE : heures		ACCIDENTS :					
VOYAGES DE CAMION :		TEMPS MORT :					
EXPÉDITION D'ÉCHANTILLONS:		AMÉLIORATIONS A PRÉVOIR:					
ACHATS:							
MOBILISATION :							
DEMOBILISATION:		AVIS DISCIPLINAIRE:					
FORAGE - # TROU :		DE :		A:		VÉRIFICATION:	
BUDGET RÉSIDUEL:		DÉPENSES:		FACTURATION:		IOS Services Géoscientifiques Inc.	

RAPPORT JOURNALIER	Date : 23-07-2010	PROJET : 782	CAMPEMENT:	MÉTÉO : Journée ensoleillée					
		CLIENT : Quest	RESP : J. Lalancette	SIGNATURE:					
		APPEL QUOTIDIEN:							
COMMENTAIRES SUR LES TRAVAUX :									
Travail dans un secteur à l'est de l'anomalie centrale par les 3 équipes. Départ de du camp vers 7 h 30, arrivée au camp vers 15 h 45.									
COMMENTAIRES SUR LA GÉOLOGIE:									
Steeve/Laurent : Exploration d'un secteur anomal à l'est de l'anomalie centrale. Observation d' un secteur très affleurant, composé principalement de I2D (GG), bruit de fond variant entre 350-450 cps. Des dykes de I2C métriques sur 5-20 m anomal (bruit de fond autour de 500-800 cps), des petits dykes centimétriques, (observés sur 20 discontinus) de I2C enrichis en Qtz (gris à noir, localement massif en veinule) sont anomal également, 600-1000, maximum (décimétrique) de 3000 cps.									
Jonathan/Michel : Secteur à l'est de l'anomalie centrale. Plusieurs affleurements de syénite rapakivi, recoupés localement par des dykes de I2C/I1F. On retrouve du quartz fumé et de la fluorine dans les dykes. La fluorine a été observée dans les syénite également. Background entre 400-500 cps, un peu plus élevé dans les dykes. Cps maximums 2500 dans les syénite. 10 échantillons.									
Eric/Daniel : Secteur avec beaucoup d'escarpements du côté nord des montagnes. Des affleurements de I2D/I1B à texture Rk ont été observés. De la Bo/Hb a été observée en faible proportion. Plusieurs maximums entre 1000 et 1400 cps ont été observés en affleurement tandis que les dykes étaient plus dans les environs du 800 cps. 6 échantillons.									
PERSONNEL	TÂCHES			Couché	Heures	Hors camps	Échant : De	Échant : A	FACT.
1 : Jonathan Lalancette	Ingénieur			Misery	12				FACT.
2 : Steeve Lavoie	Géologue stagiaire			Misery	12				FACT.
3 : Éric Larouche	Géologue stagiaire			Misery	12				FACT.
4 : Daniel Paradis	Prospecteur			Misery					NF
5 : Laurent Cormier	Prospecteur			Misery					NF
6 : Michel Vaillancourt	Prospecteur			Misery					NF
7 : Jaques Durandard	Pilote			Misery					NF
8 : Sébastien thériault	Mécano			Misery					NF
9 : Odéric Marcoux	Homme de camp			Misery					NF
10 : Pauline Marcoux	Cuisinière			Misery					NF
11 :									
12 :									
13 :									
14 :									
15 :									
VOLS D'HYDRAVIONS:				AVARIES MÉCANIQUES :					
TEMPS D'HELICOPTÈRE : 1,2 heures				ACCIDENTS :					
VOYAGES DE CAMION :				TEMPS MORT :					
EXPÉDITION D'ÉCHANTILLONS:				AMÉLIORATIONS A PRÉVOIR:					
ACHATS:									
MOBILISATION :									
DEMOBILISATION:				AVIS DISCIPLINAIRE:					
FORAGE- # TROU :				DE :		A:		VÉRIFICATION:	
BUDGET RÉSIDUEL:				DÉPENSES:		FACTURATION:		IOS Services Géoscientifiques Inc.	

RAPPORT JOURNALIER	Date : 24-07-2010	PROJET : 782	CAMPEMENT:	MÉTÉO : Journée ensoleillée en chaude					
		CLIENT : Quest	RESP : J. Lalancette	SIGNATURE:					
		APPEL QUOTIDIEN:							
COMMENTAIRES SUR LES TRAVAUX :									
Travail dans un secteur à l'est de l'anomalie centrale par les 3 équipes. Départ de du camp vers 7 h 30, arrivée au camp vers 15 h 45.									
Arrivée de l'équipe d'échantillonnage de till. 4 personnes.									
Visite de Pierre en fin d'après-midi avec le Niton et les radios.									
COMMENTAIRES SUR LA GÉOLOGIE:									
Steeve/Laurent : Exploration d'un secteur anormal à l'est de l'anomalie centrale. Observation d' un secteur très affleurant, composé principalement de I2D (GG), bruit de fond variant entre 350-450 cps. Des dykes de I2C cm/dm ont été observés avec des valeurs anormales locales (décimétriques) allant jusqu'à 5500. Observation d'une zone anormale sur 30 cm pas 7-8 m entre 3000-4000 cps. Présence de fluorine dans un de ces derniers.									
Jonathan/Michel : Traverse dans le même secteur que la veille. Le secteur est marqué par la présence de fluorine dans les dykes de quartzo-syérite (cps entre 600 et 1000). Plusieurs dykes de pegmatite ont aussi été observés. Ces dykes sont marqués par la présence d'amazonite. 5 échantillons.									
Eric/Daniel : Secteur plat avec un affleurement de grande dimension (> 400 m de large). Affleurement de I1B à texture Rk avec background d'environ 320 cps. Celui-ci est recoupé par des dykes de I2C centimétriques mais pouvant être suivis sur plus de 30 m. Plusieurs maximums entre 1000 et 6450 cps ont été observés dans ces dykes. 6 échantillons.									
PERSONNEL	TÂCHES			Couché	Heures	Hors camps	Échant : De	Échant : A	FACT.
1 : Jonathan Lalancette	Ingénieur			Misery	12				FACT.
2 : Steeve Lavoie	Géologue stagiaire			Misery	12				FACT.
3 : Éric Larouche	Géologue stagiaire			Misery	12				FACT.
4 : Daniel Paradis	Prospecteur			Misery					NF
5 : Laurent Cormier	Prospecteur			Misery					NF
6 : Michel Vaillancourt	Prospecteur			Misery					NF
7 : Jaques Durandard	Pilote			Misery					NF
8 : Sébastien thériault	Mécano			Misery					NF
9 : Odéric Marcoux	Homme de camp			Misery					NF
10 : Pauline Marcoux	Cuisinière			Misery					NF
11 : Erik	Vista Geoscience			Misery					NF
12 : Brian	Vista Geoscience			Misery					NF
13: Brandon	Vista Geoscience			Misery					NF
14: Bill	Vista Geoscience			Misery					NF
15:									
VOLS D'HYDRAVIONS:				AVARIES MÉCANIQUES :					
TEMPS D'HELICOPTÈRE : 1,8 heures				ACCIDENTS :					
VOYAGES DE CAMION :				TEMPS MORT :					
EXPÉDITION D'ÉCHANTILLONS:				AMÉLIORATIONS A PRÉVOIR:					
ACHATS:									
MOBILISATION :									
DEMOBILISATION:				AVIS DISCIPLINAIRE:					
FORAGE- # TROU :		DE :	A:	VÉRIFICATION:		IOS Services Géoscientifiques Inc.			
BUDGET RÉSIDUEL:		DÉPENSES:		FACTURATION:					

RAPPORT JOURNALIER	Date : 25-07-2010	PROJET : 782	CAMPEMENT:	MÉTÉO : matiné ensoleillée, après-midi orageux			
		CLIENT : Quest	RESP : J. Lalancette	SIGNATURE:			
		APPEL QUOTIDIEN:					
COMMENTAIRES SUR LES TRAVAUX :							
Travail dans un secteur à l'est de l'anomalie centrale par les 3 équipes. Départ de du camp vers 7 h 30, arrivée au camp vers 13 en raison de la mauvaise météo.							
COMMENTAIRES SUR LA GÉOLOGIE:							
Steeve/Laurent : Suite des travaux dans le même secteur. Observation de syénite (bruit de fond entre 300-550 cps) composé de petits dykes qtzifère (veinule massive centimétrique de Qtz fumé, anomalique), bruit de fond entre 600-900, maximum à 1200-1400 cps, décimétrique. 4 échantillons.							
Jonathan/Michel : Échantillonnage dans le même secteur que la veille (petit affleurement dans une vallée en bordure d'un ruisseau). Syénite Rapakivi avec dyke de quartzo-syénite et dyke de syénite à grains fins en plus d'une veine de Qz (// à dyke I2D) montrant des comptes CPS entre 5000 et 13 500 de façon continue. 10 échantillons.							
Eric/Daniel : Secteur montagneux d'affleurements de I2D semi-continus. Ces affleurements de I2D sont à texture Rk avec background d'environ 350 cps. Ceux-ci sont recoupés par des dykes de I1G. Quelques maximums entre 1000 et 1650 cps ont été observés en affleurement ou dans ces dykes. 2 échantillons.							
PERSONNEL	TÂCHES	Couché	Heures	Hors camps	Echant : De	Echant : A	FACT.
1 : Jonathan Lalancette	Ingénieur	Misery	12				FACT.
2 : Steeve Lavoie	Géologue stagiaire	Misery	12				FACT.
3 : Éric Larouche	Géologue stagiaire	Misery	12				FACT.
4 : Daniel Paradis	Prospecteur	Misery					NF
5 : Laurent Cormier	Prospecteur	Misery					NF
6 : Michel Vaillancourt	Prospecteur	Misery					NF
7 : Jaques Durandard	Pilote	Misery					NF
8 : Sébastien thériault	Mécano	Misery					NF
9 : Odéric Marcoux	Homme de camp	Misery					NF
10 : Pauline Marcoux	Cuisinière	Misery					NF
11 : Erik	Vista Geoscience	Misery					NF
12 : Brian	Vista Geoscience	Misery					NF
13: Brandon	Vista Geoscience	Misery					NF
14: Bill	Vista Geoscience	Misery					NF
15:							
VOLS D'HYDRAVIONS:		AVARIES MÉCANIQUES :					
TEMPS D'HELICOPTÈRE : 1,8 heures		ACCIDENTS :					
VOYAGES DE CAMION :		TEMPS MORT :					
EXPÉDITION D'ÉCHANTILLONS:		AMÉLIORATIONS À PRÉVOIR:					
ACHATS:							
MOBILISATION :							
DEMOBILISATION:		AVIS DISCIPLINAIRE:					
FORAGE- # TROU :		DE :		A:		VERIFICATION:	
BUDGET RÉSIDUEL:		DÉPENSES:		FACTURATION:		IOS Services Géoscientifiques inc.	

RAPPORT JOURNALIER	Date : 26-07-2010	PROJET : 782	CAMPEMENT:	MÉTÉO : Averses toute la journée					
		CLIENT : Quest	RESP : J. Lalancette	SIGNATURE:					
		APPEL QUOTIDIEN:							
COMMENTAIRES SUR LES TRAVAUX :									
Aucuns travaux pendant toute la journée en raison de la mauvaise température.									
COMMENTAIRES SUR LA GÉOLOGIE:									
Steeve/Laurent :									
Jonathan/Michel :									
Eric/Daniel:									
PERSONNEL	TÂCHES			Couché	Heures	Hors camps	Echant : De	Echant : A	FACT.
1 : Jonathan Lalancette	Ingénieur			Misery	12				FACT.
2 : Steeve Lavoie	Géologue stagiaire			Misery	12				FACT.
3 : Éric Larouche	Géologue stagiaire			Misery	12				FACT.
4 : Daniel Paradis	Prospecteur			Misery					NF
5 : Laurent Cormier	Prospecteur			Misery					NF
6 : Michel Vaillancourt	Prospecteur			Misery					NF
7 : Jaques Durandard	Pilote			Misery					NF
8 : Sébastien thériault	Mécano			Misery					NF
9 : Odéric Marcoux	Homme de camp			Misery					NF
10 : Pauline Marcoux	Cuisinière			Misery					NF
11 : Erik	Vista Geoscience			Misery					NF
12 : Brian	Vista Geoscience			Misery					NF
13:Brandon	Vista Geoscience			Misery					NF
14:Bill	Vista Geoscience			Misery					NF
15:									
VOLS D'HYDRAVIONS:				AVARIES MÉCANIQUES :					
TEMPS D'HELICOPTERE : 0 heure				ACCIDENTS :					
VOYAGES DE CAMION :				TEMPS MORT : Toute la journée					
EXPEDITION D'ÉCHANTILLONS:				AMÉLIORATIONS A PRÉVOIR:					
ACHATS:									
MOBILISATION :									
DEMOBILISATION:				AVIS DISCIPLINAIRE:					
FORAGE- # TROU : DE : A:				VÉRIFICATION:					
BUDGET RÉSIDUEL: DÉPENSES:				FACTURATION:					
				IOS Services Géoscientifiques inc.					

RAPPORT JOURNALIER	Date : 27-07-2010	PROJET : 782	CAMPEMENT:	MÉTÉO : Journée ensoleillée avec quelques nuages. Mouches folles			
		CLIENT : Quest	RESP : J. Lalancette	SIGNATURE:			
		APPEL QUOTIDIEN:					
COMMENTAIRES SUR LES TRAVAUX :							
Travail dans un secteur à l'est de l'anomalie centrale par les 3 équipes. Départ de du camp vers 7 h 30, arrivée au camp vers 15 h 45.							
L'équipe de géochimie est allée échantillonner du till toute la journée.							
COMMENTAIRES SUR LA GÉOLOGIE:							
Steeve/Laurent : Exploration d'une partie est et nord du secteur exploré ces derniers jours. Observation de syénite à texture Rapakivi homogène. Un dyke de syénite Quartzifère anormale autour de 900-1400 cps décimétrique.							
Jonathan/Michel : Traverse dans le même secteur que les derniers jours. Syénite rapakivi toute la journée, quelques secteurs locaux entre 1000-2000 cps, quelques dykes de quartzo-syénite, 5 échantillons récoltés.							
Eric/Daniel : Secteur montagneux d'affleurements de I2D semi-continus. Ces affleurements de I2D sont à texture Rk avec background d'environ 350 cps. G. Un maximum de 10 500 cps a été observé en affleurement avec présence de fluorine et d'un minéral rouge (monazite?). 5 échantillons.							
PERSONNEL	TÂCHES	Couché	Heures	Hors camps	Échant : De	Échant : A	FACT.
1 : Jonathan Lalancette	Ingénieur	Misery	12				FACT.
2 : Steeve Lavoie	Géologue stagiaire	Misery	12				FACT.
3 : Éric Larouche	Géologue stagiaire	Misery	12				FACT.
4 : Daniel Paradis	Prospecteur	Misery					NF
5 : Laurent Cormier	Prospecteur	Misery					NF
6 : Michel Vaillancourt	Prospecteur	Misery					NF
7 : Jaques Durandard	Pilote	Misery					NF
8 : Sébastien thériault	Mécano	Misery					NF
9 : Odéric Marcoux	Homme de camp	Misery					NF
10 : Pauline Marcoux	Cuisinière	Misery					NF
11 : Erik	Vista Geoscience	Misery					NF
12 : Brian	Vista Geoscience	Misery					NF
13: Brandon	Vista Geoscience	Misery					NF
14: Bill	Vista Geoscience	Misery					NF
15:							
VOLS D'HYDRAVIONS:		AVARIES MÉCANIQUES :					
TEMPS D'HÉLICOPTÈRE : 4 heures		ACCIDENTS :					
VOYAGES DE CAMION :		TEMPS MORT :					
EXPÉDITION D'ÉCHANTILLONS:		AMÉLIORATIONS À PRÉVOIR:					
ACHATS:							
MOBILISATION :							
DEMOBILISATION:		AVIS DISCIPLINAIRE:					
FORAGE- # TROU :	DE :	A:	VERIFICATION:	IOS Services Géoscientifiques inc.			
BUDGET RÉSIDUEL:	DÉPENSES:	FACTURATION:					

RAPPORT JOURNALIER	Date : 28-07-2010	PROJET : 782	CAMPEMENT:	MÉTÉO : Journée ensoleillée avec un peut de pluie en matinée			
		CLIENT : Quest	RESP : J. Lalancette	SIGNATURE:			
		APPEL QUOTIDIEN:					
COMMENTAIRES SUR LES TRAVAUX :							
Travail dans un secteur à l'est de l'anomalie centrale par les 3 équipes. Départ de du camp vers 7 h 45 am, arrivée au camp vers 15 h 45.							
L'équipe de géochimie est allée échantillonner du till toute la journée.							
Éric et Daniel sont restés au campement jusqu'à 10 h 15 pour régler le problème de téléphone.							
COMMENTAIRES SUR LA GÉOLOGIE:							
Steeve/Laurent : Secteur plat avec un affleurement de grande dimension (> 400 m de large). Affleurement de I1B à texture Rk avec background d'environ 320 cps. Celui-ci est recoupé par des dykes de I2C centimétriques mais pouvant être suivis sur plus de 30 m. Plusieurs maximums entre 1000 et 6450 cps ont été observés dans ces dykes. 6 échantillons.							
Jonathan/Michel : Traverser au sud-ouest da l'anomalie sud. Syénite rapakivi avec quelques secteurs locaux entre 1000-5000 cps, 5 échantillons récoltés.							
Eric/Daniel : Secteur forestier avec quelques buttes avec affleurements ou blocs parsemés. Ces affleurements sont du I2D à texture Rk avec background d'environ 300 cps. Un maximum de 1375 cps a été observé en affleurement. De plus, le I2D est en contact avec du I1B affleurant à grains moyens à texture porphyrique de phénocristaux de Fk. 5 échantillons.							
PERSONNEL	TÂCHES	Couché	Heures	Hors camps	Echant : De	Echant : A	FACT.
1 : Jonathan Lalancette	Ingénieur	Misery	12				FACT.
2 : Steeve Lavoie	Géologue stagiaire	Misery	12				FACT.
3 : Éric Larouche	Géologue stagiaire	Misery	12				FACT.
4 : Daniel Paradis	Prospecteur	Misery					NF
5 : Laurent Cormier	Prospecteur	Misery					NF
6 : Michel Vaillancourt	Prospecteur	Misery					NF
7 : Jaques Durandard	Pilote	Misery					NF
8 : Sébastien thériault	Mécano	Misery					NF
9 : Odéric Marcoux	Homme de camp	Misery					NF
10 : Pauline Marcoux	Cuisinière	Misery					NF
11 : Brandon Gheller	Échantillonneur de till	Misery					NF
12 : Bryan Hickey	Échantillonneur de till	Misery					NF
13 : Eric Lefebvre	Échantillonneur de till	Misery					NF
14 : William Stearns	Échantillonneur de till	Misery					NF
15:							
VOLS D'HYDRAVIONS:		AVARIES MÉCANIQUES :					
TEMPS D'HÉLICOPTÈRE : heures		ACCIDENTS :					
VOYAGES DE CAMION :		TEMPS MORT :					
EXPÉDITION D'ÉCHANTILLONS:		AMÉLIORATIONS À PRÉVOIR:					
ACHATS:							
MOBILISATION :							
DEMOBILISATION:		AVIS DISCIPLINAIRE:					
FORAGE- # TROU : DE : A:		VÉRIFICATION:			IOS Services Géoscientifiques inc.		
BUDGET RÉSIDUEL: DÉPENSES:		FACTURATION:					

RAPPORT JOURNALIER	Date : 29-07-2010	PROJET : 782	CAMPEMENT:	MÉTÉO : Brume et pluie toute la journée					
		CLIENT : Quest	RESP : J. Lalancette	SIGNATURE:					
		APPEL QUOTIDIEN:							
COMMENTAIRES SUR LES TRAVAUX :									
Aucuns travaux en raison de la mauvaise météo.									
COMMENTAIRES SUR LA GÉOLOGIE:									
Steeve/Laurent :									
Jonathan/Michel :									
Eric/Daniel :									
PERSONNEL	TÂCHES			Couché	Heures	Hors camps	Échant : De	Échant : A	FACT.
1 : Jonathan Lalancette	Ingénieur			Misery	12				FACT.
2 : Steeve Lavoie	Géologue stagiaire			Misery	12				FACT.
3 : Éric Larouche	Géologue stagiaire			Misery	12				FACT.
4 : Daniel Paradis	Prospecteur			Misery					NF
5 : Laurent Cormier	Prospecteur			Misery					NF
6 : Michel Vaillancourt	Prospecteur			Misery					NF
7 : Jaques Durandard	Pilote			Misery					NF
8 : Sébastien thériault	Mécano			Misery					NF
9 : Odéric Marcoux	Homme de camp			Misery					NF
10 : Pauline Marcoux	Cuisinière			Misery					NF
11 : Brandon Gheller	Échantillonneur de till			Misery					NF
12 : Bryan Hickey	Échantillonneur de till			Misery					NF
13 : Eric Lefebvre	Échantillonneur de till			Misery					NF
14 : William Stearns	Échantillonneur de till			Misery					NF
15:									
VOLS D'HYDRAVIONS:				AVARIES MÉCANIQUES :					
TEMPS D'HELICOPTÈRE : 0 heures				ACCIDENTS :					
VOYAGES DE CAMION :				TEMPS MORT :					
EXPÉDITION D'ÉCHANTILLONS:				AMÉLIORATIONS À PRÉVOIR:					
ACHATS:									
MOBILISATION :									
DEMOBILISATION:				AVIS DISCIPLINAIRE:					
FORAGE- # TROU : DE : A:				VÉRIFICATION:					
BUDGET RÉSIDUEL:				FACTURATION:					
				IOS Services Géoscientifiques Inc.					

RAPPORT JOURNALIER	Date : 30-07-2010	PROJET : 782	CAMPEMENT:	MÉTÉO : Passages nuageux			
		CLIENT : Quest	RESP : J. Lalancette	SIGNATURE:			
		APPEL QUOTIDIEN:					
COMMENTAIRES SUR LES TRAVAUX :							
Traverses dans les secteur sud-ouest de l'anomalie sud. Départ des équipes entre 7 h 30 et 8 h 30 et sortie des équipes entre 15 h 30 et 16 h 30.							
L'équipe d'échantillonneurs a travaillé dans le secteur de l'anomalie nord.							
COMMENTAIRES SUR LA GÉOLOGIE:							
Steeve/Laurent : Suite de l'exploraiton de l'anomalie 2. Observation de syénite à texture Rapakivi homogène, bruit de fond entre 250-350 cps. Une zone décimétrique de synénite Qtzifère anomal autour de 1000-8000 cps décimétrique a été observée. 5 échantillons.							
Jonathan/Michel : Vérification de petites anomalies isolées. À l'est de l'anomalie sud, alternance de bandes de I2D avec des bandes de I2J à porphyre de Fk, dyke de I2C et enclaves de Qz. 1000-2000 cps sur 15-20 m. I2D avec texture rapakivi partout ailleurs. 3 échantillons.							
Eric/Daniel : Secteur montagneux avec affleurements et blocs parsemés sur les tops et les flancs. Ces affleurements sont du I2D à texture RK avec background d'environ 300 cps. Un maximum de 1150 cps a été observé en affleurement. Un bloc de gneiss granitique (~1 m de diamètre) d'environ 2500 cps a été observé avec 5 fois plus d'unanium que de thorium. 6 échantillons.							
PERSONNEL	TÂCHES	Couché	Heures	Hors camps	Échant : De	Échant : A	FACT.
1 : Jonathan Lalancette	Ingénieur	Misery	12				FACT.
2 : Steeve Lavoie	Géologue stagiaire	Misery	12				FACT.
3 : Éric Larouche	Géologue stagiaire	Misery	12				FACT.
4 : Daniel Paradis	Prospecteur	Misery					NF
5 : Laurent Cormier	Prospecteur	Misery					NF
6 : Michel Vaillancourt	Prospecteur	Misery					NF
7 : Jaques Durandard	Pilote	Misery					NF
8 : Sébastien thériault	Mécano	Misery					NF
9 : Odéric Marcoux	Homme de camp	Misery					NF
10 : Pauline Marcoux	Cuisinière	Misery					NF
11 : Brandon Gheller	Échantillonneur de till	Misery					NF
12 : Bryan Hickey	Échantillonneur de till	Misery					NF
13 : Eric Lefebvre	Échantillonneur de till	Misery					NF
14 : William Stearns	Échantillonneur de till	Misery					NF
15:							
VOLS D'HYDRAVIONS:		AVARIES MÉCANIQUES :					
TEMPS D'HÉLICOPTÈRE : 3,6 heures		ACCIDENTS :					
VOYAGES DE CAMION :		TEMPS MORT :					
EXPÉDITION D'ÉCHANTILLONS:		AMÉLIORATIONS À PRÉVOIR:					
ACHATS:							
MOBILISATION :							
DEMOBILISATION:		AVIS DISCIPLINAIRE:					
FORAGE- # TROU :		DE :		À:		VÉRIFICATION:	
BUDGET RÉSIDUEL:		DÉPENSES:		FACTURATION:		IOS Services Géoscientifiques Inc.	

RAPPORT JOURNALIER	Date : 31-07-2010	PROJET : 782	CAMPEMENT:	MÉTÉO : Passages nuageux			
		CLIENT : Quest	RESP : J. Lalancette	SIGNATURE:			
		APPEL QUOTIDIEN:					
COMMENTAIRES SUR LES TRAVAUX :							
Traverses dans les secteur sud-ouest de l'anomalie sud. Départ des équipes entre 7 h 30 et 8 h 30 et sortie des équipes entre 15 h 30 et 16 h 30.							
L'équipe d'échantillonneurs a travaillé dans le secteur de l'anomalie nord.							
Départ de William vers Schefferville.							
COMMENTAIRES SUR LA GÉOLOGIE:							
Steeve/Laurent : Suite de l'exploration de l'anomalie 2. Observation de syénite à texture Rapakivi homogène, bruit de fond entre 250-350 cps. Une zone dm de syénite à Bo+++ anomal autour de 1000-3800 cps dm a été observée. 4 échantillons.							
Jonathan/Michel : Traverse au sud-ouest de l'anomalie sud. Syénite à texture rapakivi avec des dykes de l1G avec de l'amazonite. Background autour de 300-500 cps, lectures entre 1000-3000 cps localement. 8 échantillons.							
Eric/Daniel : Secteur montagneux avec affleurements et blocs parsemés sur les flancs et sur le bord d'une rivière. Ces affleurements sont du l2D à texture Rk avec background d'environ 300 cps sauf l'affleurement #78202080 qui a un background entre 500 et 800 cps. Un maximum de 3000 cps a été observé en affleurement ainsi qu'un 2200 cps dans une enclave de l'affleurement # 78202080. 6 échantillons.							
PERSONNEL	TÂCHES	Couché	Heures	Hors camps	Échant : De	Échant : A	FACT.
1 : Jonathan Lalancette	Ingénieur	Misery	12				FACT.
2 : Steeve Lavoie	Géologue stagiaire	Misery	12				FACT.
3 : Éric Larouche	Géologue stagiaire	Misery	12				FACT.
4 : Daniel Paradis	Prospecteur	Misery					NF
5 : Laurent Cormier	Prospecteur	Misery					NF
6 : Michel Vaillancourt	Prospecteur	Misery					NF
7 : Jaques Durandard	Pilote	Misery					NF
8 : Sébastien thériault	Mécano	Misery					NF
9 : Odéric Marcoux	Homme de camp	Misery					NF
10 : Pauline Marcoux	Cuisinière	Misery					NF
11 : Brandon Gheller	Échantillonneur de till	Misery					NF
12 : Bryan Hickey	Échantillonneur de till	Misery					NF
13 : Eric Lefebvre	Échantillonneur de till	Misery					NF
14 : William Stearns	Échantillonneur de till	Schefferville					NF
15:							
VOLS D'HYDRAVIONS:		AVARIES MÉCANIQUES :					
TEMPS D'HÉLICOPTÈRE : heures		ACCIDENTS :					
VOYAGES DE CAMION :		TEMPS MORT :					
EXPÉDITION D'ÉCHANTILLONS:		AMÉLIORATIONS À PRÉVOIR:					
ACHATS:							
MOBILISATION :							
DEMOBILISATION:		AVIS DISCIPLINAIRE:					
FORAGE- # TROU :		DE :	À:	VÉRIFICATION:			
BUDGET RÉSIDUEL:		DÉPENSES:		FACTURATION:		IOS Services Géoscientifiques inc.	

RAPPORT JOURNALIER	Date : 01-08-2010	PROJET : 782	CAMPEMENT:	MÉTÉO : Passages nuageux			
		CLIENT : Quest	RESP : J. Lalancette	SIGNATURE:			
		APPEL QUOTIDIEN:					
COMMENTAIRES SUR LES TRAVAUX :							
Traverses autour de l'anomalie sud. Départ des équipes entre 7 h 30 et 8 h 30 et sortie des équipes entre 15 h 30 et 16 h 30.							
L'équipe d'échantillonneurs a travaillé dans le secteur de l'anomalie sud.							
COMMENTAIRES SUR LA GÉOLOGIE:							
Steeve/Laurent : Suite de l'exploration de l'anomalie 2. Observation de syénite à texture Rapakivi homogène, bruit de fond entre 250-350 cps. Exploration au sud-est, une zone dm de syénite à Bo+++ anomal autour de 600-1000 cps dm a été observée. 3 échantillons.							
Jonathan/Michel : Traverse dans la portion sud de l'anomalie sud. Monzodiorite porphyrique (porphyre de Fk) en contact avec syénite à texture rapakivi. 3 échantillons récoltés. Le secteur est très boisé et peu affleurant.							
Eric/Daniel : Secteur boisé avec quelques affleurements et blocs parsemés. Ces affleurements sont du I2D à texture Rk ou du I2J/I2H. Un maximum de 435 cps a été observé en affleurement ainsi qu'un 1000 cps en bloc. Ensuite, une colline au nord de la traverse d'hier a été prospectée et un affleurement de I2D avec un maximum de 1500 cps a été observé. 6 échantillons.							
PERSONNEL	TÂCHES	Couché	Heures	Hors camps	Échant : De	Échant : A	FACT.
1 : Jonathan Lalancette	Ingénieur	Misery	12				FACT.
2 : Steeve Lavoie	Géologue stagiaire	Misery	12				FACT.
3 : Éric Larouche	Géologue stagiaire	Misery	12				FACT.
4 : Daniel Paradis	Prospecteur	Misery					NF
5 : Laurent Cormier	Prospecteur	Misery					NF
6 : Michel Vaillancourt	Prospecteur	Misery					NF
7 : Jaques Durandard	Pilote	Misery					NF
8 : Sébastien thériault	Mécano	Misery					NF
9 : Odéric Marcoux	Homme de camp	Misery					NF
10 : Pauline Marcoux	Cuisinière	Misery					NF
11 : Brandon Gheller	Échantillonneur de till	Misery					NF
12 : Bryan Hickey	Échantillonneur de till	Misery					NF
13 : Eric Lefebvre	Échantillonneur de till	Misery					NF
14 :		Schefferville					NF
15 :							
VOLS D'HYDRAVIONS:		AVARIES MÉCANIQUES :					
TEMPS D'HÉLICOPTÈRE : heures		ACCIDENTS :					
VOYAGES DE CAMION :		TEMPS MORT :					
EXPÉDITION D'ÉCHANTILLONS:		AMÉLIORATIONS À PRÉVOIR:					
ACHATS:							
MOBILISATION :							
DEMOBILISATION:		AVIS DISCIPLINAIRE:					
FORAGE- # TROU : DE : À:		VÉRIFICATION:		IOS Services Géoscientifiques inc.			
BUDGET RÉSIDUEL:		FACTURATION:					

RAPPORT JOURNALIER	Date : 02-08-2010	PROJET : 782	CAMPEMENT:	MÉTÉO : Passages nuageux			
		CLIENT : Quest	RESP : J. Lalancette	SIGNATURE:			
		APPEL QUOTIDIEN:					
COMMENTAIRES SUR LES TRAVAUX :							
Traverses autour de l'anomalie centrale. Départ des équipes entre 7 h 30 et 8 h 30 et sortie des équipes entre 15 h 30 et 16 h 30.							
L'équipe d'échantillonneurs a travaillé dans le secteur de l'anomalie sud.							
COMMENTAIRES SUR LA GÉOLOGIE:							
Steeve/Laurent : Exploraiton de l'anomalie 3 et ses environs. Observation de bloc de syénite à texture Rapakivi homogène et I2C, bruit de fond entre 150-250 cps. Quelques affleurements de syénite homogène, 250-350 cps.							
Jonathan/Michel : Traverse dans la portion sud de l'anomalie centrale. Aucun affleurement ni échantillon. Traverse un peu à l'est en après-midi. Plusieurs boulder de syénite à grains moyens entre 500-2500 cps. 4 échantillons.							
Eric/Daniel : Secteur boisé avec un affleurement et des blocs parsemés. Cet affleurement est du I2J à texture Rk avec enclaves de I2H. Un maximum de 335 cps a été observé sur cet affleurement ainsi qu'un bloc de I1B de 9300 cps mais celui-ci avait beaucoup plus d'uranium que de thorium. 4 échantillons.							
PERSONNEL	TÂCHES	Couché	Heures	Hors camps	Échant : De	Échant : A	FACT.
1 : Jonathan Lalancette	Ingénieur	Misery	12				FACT.
2 : Steeve Lavoie	Géologue stagiaire	Misery	12				FACT.
3 : Éric Larouche	Géologue stagiaire	Misery	12				FACT.
4 : Daniel Paradis	Prospecteur	Misery					NF
5 : Laurent Cormier	Prospecteur	Misery					NF
6 : Michel Vaillancourt	Prospecteur	Misery					NF
7 : Jaques Durandard	Pilote	Misery					NF
8 : Sébastien thériault	Mécano	Misery					NF
9 : Odéric Marcoux	Homme de camp	Misery					NF
10 : Pauline Marcoux	Cuisinière	Misery					NF
11 : Brandon Gheller	Échantillonneur de till	Misery					NF
12 : Bryan Hickey	Échantillonneur de till	Misery					NF
13 : Eric Lefebvre	Échantillonneur de till	Misery					NF
14 :							NF
15 :							NF
VOLS D'HYDRAVIONS:		AVARIES MÉCANIQUES :					
TEMPS D'HELICOPTÈRE : heures		ACCIDENTS :					
VOYAGES DE CAMION :		TEMPS MORT :					
EXPÉDITION D'ÉCHANTILLONS:		AMÉLIORATIONS À PRÉVOIR:					
ACHATS:							
MOBILISATION :							
DEMOBILISATION:		AVIS DISCIPLINAIRE:					
FORAGE- # TROU :		DE :	À:	VÉRIFICATION:			
BUDGET RÉSIDUEL:		DÉPENSES:		FACTURATION:		IOS Services Géoscientifiques Inc.	

RAPPORT JOURNALIER	Date : 03-08-2010	PROJET : 782	CAMPEMENT:	MÉTÉO : Journée nuageuse avec pluie par intermittence.			
		CLIENT : Quest	RESP : J. Lalancette	SIGNATURE:			
		APPEL QUOTIDIEN:					
COMMENTAIRES SUR LES TRAVAUX :							
Travail dans le secteur de l'anomalie principale par les 3 équipes. Départ du camp vers 7 h 45 am, arrivée au camp vers 15 h 30.							
L'équipe de géochimie est allée échantillonner du till toute la journée.							
COMMENTAIRES SUR LA GÉOLOGIE:							
Steeve/Laurent : Suivi de l'exploration de l'anomalie 1. Observation de bloc de syénite à texture Rapakivi homogène et I2H, bruit de fond entre 350-500 cps. Quelques affleurements de syénite homogène, 250-350 cps.							
Jonathan : Traverse dans le même secteur que Steeve. Un échantillon riche en magnétite à 6500 cps dans des syénites à texture rapakivi.							
Eric/Daniel/Michel : Secteur vallonneux entre trois collines affleurantes. Ce secteur est parsemé de blocs dans la forêt. Des affleurements à texture Rk ont été observés sur le dessus des collines. Des blocs I2D/I2H entre 1000 et 1630 cps ont été observés. 3 échantillons.							
PERSONNEL	TÂCHES	Couché	Heures	Hors camps	Echant : De	Echant : A	FACT.
1 : Jonathan Lalancette	Ingénieur	Misery	12				FACT.
2 : Steeve Lavoie	Géologue stagiaire	Misery	12				FACT.
3 : Eric Larouche	Géologue stagiaire	Misery	12				FACT.
4 : Daniel Paradis	Prospecteur	Misery					NF
5 : Laurent Cormier	Prospecteur	Misery					NF
6 : Michel Vaillancourt	Prospecteur	Misery					NF
7 : Jaques Durandard	Pilote	Misery					NF
8 : Sébastien thériault	Mécano	Misery					NF
9 : Odéric Marcoux	Homme de camp	Misery					NF
10 : Pauline Marcoux	Cuisinière	Misery					NF
11 : Brandon Gheller	Échantillonneur de till	Misery					NF
12 : Bryan Hickey	Échantillonneur de till	Misery					NF
13 : Eric Lefebvre	Échantillonneur de till	Misery					NF
14 :							
15 :							
VOLS D'HYDRAVIONS:		AVARIES MÉCANIQUES :					
TEMPS D'HELICOPTÈRE : heures		ACCIDENTS :					
VOYAGES DE CAMION :		TEMPS MORT :					
EXPEDITION D'ÉCHANTILLONS:		AMÉLIORATIONS À PRÉVOIR:					
ACHATS:							
MOBILISATION :							
DEMOBILISATION:		AVIS DISCIPLINAIRE:					
FORAGE- # TROU : DE : A:		VÉRIFICATION:					
BUDGET RESIDUEL: DÉPENSES:		FACTURATION:			IOS Services Géoscientifiques inc.		

RAPPORT JOURNALIER	Date : 04-08-2010	PROJET : 782	CAMPEMENT:	MÉTÉO : Soleil			
		CLIENT : Quest	RESP : J. Lalancette	SIGNATURE:			
		APPEL QUOTIDIEN:					
COMMENTAIRES SUR LES TRAVAUX :							
Rangement et préparation de départ pour le personnel de IOS et Sans Frontière. Départ de en avion pour Scherferville à 14 h. Différend entre le personnel IOS et Sans Frontière.							
L'équipe de géochimie est allée échantillonner du till toute la journée.							
COMMENTAIRES SUR LA GÉOLOGIE:							
PERSONNEL	TÂCHES	Couché	Heures	Hors camps	Échant : De	Échant : A	FACT.
1 : Jonathan Lalancette	Ingénieur	Cheferville	12				FACT.
2 : Steeve Lavoie	Géologue stagiaire	Cheferville	12				FACT.
3 : Éric Larouche	Géologue stagiaire	Cheferville	12				FACT.
4 : Daniel Paradis	Prospecteur	Cheferville					NF
5 : Laurent Cormier	Prospecteur	Cheferville					NF
6 : Michel Vaillancourt	Prospecteur	Cheferville					NF
7 : Jaques Durandard	Pilote	Misery					NF
8 : Sébastien thériault	Mécano	Misery					NF
9 : Odéric Marcoux	Homme de camp	Misery					NF
10 : Pauline Marcoux	Cuisinière	Misery					NF
11 : Brandon Gheller	Échantillonneur de till	Misery					NF
12 : Bryan Hickey	Échantillonneur de till	Misery					NF
13 : Eric Lefebvre	Échantillonneur de till	Misery					NF
14 :							
15 :							
VOLS D'HYDRAVIONS:			AVARIES MÉCANIQUES :				
TEMPS D'HELICOPTÈRE : heures			ACCIDENTS :				
VOYAGES DE CAMION :			TEMPS MORT :				
EXPÉDITION D'ÉCHANTILLONS:			AMÉLIORATIONS À PRÉVOIR:				
ACHATS:							
MOBILISATION :							
DEMOBILISATION:			AVIS DISCIPLINAIRE:				
FORAGE- # TROU :		DE :	A:	VÉRIFICATION:			

RAPPORT JOURNALIER	Date : 05-08-2010	PROJET : 782	CAMPEMENT:	MÉTÉO : nuageux.			
		CLIENT : Quest	RESP : J. Lalancette	SIGNATURE:			
		APPEL QUOTIDIEN:					
COMMENTAIRES SUR LES TRAVAUX :							
Démobilisation de tout le personnel de Scherferville vers Sept-Îles et Chicoutimi							
L'équipe de géochimie est allée échantillonner du till toute la journée.							
COMMENTAIRES SUR LA GÉOLOGIE:							
PERSONNEL	TÂCHES	Couché	Heures	Hors camps	Échant : De	Échant : A	FACT.
1 : Jonathan Lalancette	Ingénieur	Chicoutimi	12				FACT.
2 : Steeve Lavoie	Géologue stagiaire	Chicoutimi	12				FACT.
3 : Éric Larouche	Géologue stagiaire	Chicoutimi	12				FACT.
4 : Daniel Paradis	Prospecteur	Misery					NF
5 : Laurent Cormier	Prospecteur	Misery					NF
6 : Michel Vaillancourt	Prospecteur	Misery					NF
7 : Jaques Durandard	Pilote	Misery					NF
8 : Sébastien thériault	Mécano	Misery					NF
9 : Odéric Marcoux	Homme de camp	Misery					NF
10 : Pauline Marcoux	Cuisinière	Misery					NF
11 : Brandon Gheller	Échantillonneur de till	Misery					NF
12 : Bryan Hickey	Échantillonneur de till	Misery					NF
13 : Eric Lefebvre	Échantillonneur de till	Misery					NF
14 :							
15 :							
VOLS D'HYDRAVIONS:		AVARIES MÉCANIQUES :					
TEMPS D'HELICOPTÈRE : heures		ACCIDENTS :					
VOYAGES DE CAMION :		TEMPS MORT :					
EXPÉDITION D'ÉCHANTILLONS:		AMÉLIORATIONS À PRÉVOIR:					
ACHATS:							
MOBILISATION :							
DEMOBILISATION:		AVIS DISCIPLINAIRE:					
FORAGE- # TROU :	DE :	A:	VERIFICATION:	IOS Services Géoscientifiques Inc.			
BUDGET RÉSIDUEL:	DÉPENSES:	FACTURATION:					

RAPPORT JOURNALIER	Date : 16-08-2010	PROJET : 782	CAMPEMENT:	MÉTÉO : soleil			
		CLIENT : Quest	RESP : J. Lalancette	SIGNATURE:			
		APPEL QUOTIDIEN:					
COMMENTAIRES SUR LES TRAVAUX :							
Mobilisation de l'équipe de Chicoutimi vers le lac Chapiteau							
L'équipe de géochimie a échantillonné du till toute la journée.							
Changement de pilote							
COMMENTAIRES SUR LA GÉOLOGIE:							
PERSONNEL	TÂCHES	Couché	Heures	Hors camps	Echant : De	Echant : A	FACT.
1 : Jonathan Lalancette	Ingénieur	Misery	12				FACT.
2 : Steeve Lavoie	Géologue stagiaire	Misery	12				FACT.
3 : Mario Bolduc	Géologue stagiaire	Misery	12				FACT.
4 : Jordi Turcotte	Géologue stagiaire	Misery	12				FACT.
5 :							NF
6 :							NF
7 : Jaques Durandard	Pilote	Misery					NF
8 : Dave Perron	Mécano	Misery					NF
9 : Odéric Marcoux	Homme de camp	Misery					NF
10 : Pauline Marcoux	Cuisinière	Misery					NF
11 : Brandon Gheller	Échantillonneur de till	Misery					NF
12 : Bryan Hickey	Échantillonneur de till	Misery					NF
13 : Eric Lefebvre	Échantillonneur de till	Misery					NF
14 :							
15 :							
VOLS D'HYDRAVIONS:		AVARIES MÉCANIQUES :					
TEMPS D'HÉLICOPTÈRE : 5,2 heures		ACCIDENTS :					
VOYAGES DE CAMION :		TEMPS MORT :					
EXPÉDITION D'ÉCHANTILLONS:		AMÉLIORATIONS À PRÉVOIR:					
ACHATS:							
MOBILISATION :							
DEMOBILISATION:		AVIS DISCIPLINAIRE:					
FORAGE- # TROU :		DE :		A:		VÉRIFICATION:	
BUDGET RÉSIDUEL:		DÉPENSES:		FACTURATION:		IOS Services Géoscientifiques inc.	

RAPPORT JOURNALIER	Date : 17-08-2010	PROJET : 782	CAMPEMENT:	MÉTÉO : soleil, nuageux			
		CLIENT : Quest	RESP : J. Lalancette	SIGNATURE:			
		APPEL QUOTIDIEN:					
COMMENTAIRES SUR LES TRAVAUX :							
Travail dans le secteur de l'anomalie principale par les 2 équipes. Départ du camp vers 7 h 30, arrivée au camp vers 15 h 30.							
L'équipe de géochimie a échantillonné du till toute la journée.							
COMMENTAIRES SUR LA GÉOLOGIE:							
Steeve/Mario/Jonathan/Jordi : Suivi de l'exploration de l'anomalie 1, secteur ouest et central. Observation de I2D RK, dyke de gabbro à olivine/Hb, monzonite, monzodiorite et blocs d'amphibolite. Zone décimétrique à valeur maximale entre 1000 et 10 000 cps dans des monzonites et monzodiorites. Quelques blocs de M16 ont été observés (1000-1300 cps maximum).							
PERSONNEL	TÂCHES	Couché	Heures	Hors camps	Échant : De	Échant : A	FACT.
1 : Jonathan Lalancette	Ingénieur	Misery	12				FACT.
2 : Steeve Lavoie	Géologue stagiaire	Misery	12				FACT.
3 : Mario Bolduc	Géologue stagiaire	Misery	12				FACT.
4 : Jordi Turcotte	Géologue stagiaire	Misery	12				FACT.
5 :							NF
6 : Jacques Durandard	Pilote						NF
8 : Dave Perron	Mécano	Misery					NF
9 : Odéric Marcoux	Homme de camp	Misery					NF
10 : Pauline Marcoux	Cuisinière	Misery					NF
11 : Brandon Gheller	Échantillonneur de till	Misery					NF
12 : Bryan Hickey	Échantillonneur de till	Misery					NF
13 : Eric Lefebvre	Échantillonneur de till	Misery					NF
14 :							
15 :							
VOLS D'HYDRAVIONS:		AVARIES MÉCANIQUES :					
TEMPS D'HÉLICOPTÈRE : 6,8 heures		ACCIDENTS :					
VOYAGES DE CAMION :		TEMPS MORT :					
EXPÉDITION D'ÉCHANTILLONS:		AMÉLIORATIONS À PRÉVOIR:					
ACHATS:							
MOBILISATION :							
DEMOBILISATION:		AVIS DISCIPLINAIRE:					
FORAGE- # TROU :	DE :	À:	VÉRIFICATION:		IOS Services Géoscientifiques inc.		
BUDGET RÉSIDUEL:	DÉPENSES:		FACTURATION:				

RAPPORT JOURNALIER	Date : 18-08-2010	PROJET : 782	CAMPEMENT:	MÉTÉO : Journée nuageuse avec pluie passagère.			
		CLIENT : Quest	RESP : J. Lalancette	SIGNATURE:			
		APPEL QUOTIDIEN:					
COMMENTAIRES SUR LES TRAVAUX :							
Travail dans le secteur de l'anomalie principale par les 2 équipes. Départ du camp vers 7 h 30, arrivée au camp vers 15 h 30.							
L'équipe de géochimie a échantillonné du till toute la journée.							
COMMENTAIRES SUR LA GÉOLOGIE:							
Steeve/Mario/Jonathan/Jordi:Suivi de l'exploraiton de l'anomalie 1, secteur ouest. Observation de I2D RK et monzodiorite. Zone décimétrique à valeur maximale entre 1000 et 2200 cps dans des I2D (RK) et monzodiorites.							
PERSONNEL	TÂCHES	Couché	Heures	Hors camps	Échant : De	Échant : A	FACT.
1 : Jonathan Lalancette	Ingénieur	Misery	12				FACT.
2 : Steeve Lavoie	Géologue stagiaire	Misery	12				FACT.
3 : Mario Bolduc	Géologue stagiaire	Misery	12				FACT.
4 : Jordi Turcotte	Géologue stagiaire	Misery	12				FACT.
5 :							NF
6 : Jacques Durandard	Pilote	Misery					NF
8 : Dave Perron	Mécano	Misery					NF
9 : Odéric Marcoux	Homme de camp	Misery					NF
10 : Pauline Marcoux	Cuisinière	Misery					NF
11 : Brandon Gheller	Échantillonneur de till	Misery					NF
12 : Bryan Hickey	Échantillonneur de till	Misery					NF
13 : Eric Lefebvre	Échantillonneur de till	Misery					NF
14 :							
15 :							
VOLS D'HYDRAVIONS:		AVARIES MÉCANIQUES :					
TEMPS D'HÉLICOPTÈRE : 7,0 heures		ACCIDENTS :					
VOYAGES DE CAMION :		TEMPS MORT :					
EXPÉDITION D'ÉCHANTILLONS:		AMÉLIORATIONS À PRÉVOIR:					
ACHATS:							
MOBILISATION :							
DEMOBILISATION:		AVIS DISCIPLINAIRE:					
FORAGE- # TROU :		DE :		À:		VÉRIFICATION:	
BUDGET RÉSIDUEL:		DÉPENSES:		FACTURATION:		IOS Services Géoscientifiques Inc.	

RAPPORT JOURNALIER	Date : 19-08-2010	PROJET : 782	CAMPEMENT:	MÉTÉO : Journée nuageuse avec pluie par intermittence.			
		CLIENT : Quest	RESP : J. Lalancette	SIGNATURE:			
		APPEL QUOTIDIEN:					
COMMENTAIRES SUR LES TRAVAUX :							
Travail dans le secteur est par Steeve, Mario et Jordi en matinée et nord-est de l'anomalie principale par les 2 équipes par la suite. Départ du camp vers 7 h 30, arrivée au camp vers 15 h 30. Jonathan est resté au camp jusqu'à 10 h 30 afin de régler des problèmes de logistique.							
L'équipe de géochimie a échantillonné du till toute la journée.							
COMMENTAIRES SUR LA GÉOLOGIE:							
Steeve/Mario/Jordi : Suivi de l'exploration de l'anomalie 1, secteur est. Observation de I2D RK et monzodiorite. Zone décimétrique à valeur maximale entre 1000 et 2800 cps dans des monzodiorites et une lentille enrichie en biotite. Steeve/Jordi en après-midi dans le secteur nord-est, observation de I2D RK avec dyke de I2G (1000-3000 cps max), bloc de I4B anomal entre 1300 et 1800 cps.							
PERSONNEL	TÂCHES	Couché	Heures	Hors camps	Échant : De	Échant : A	FACT.
1 : Jonathan Lalancette	Ingénieur	Misery	12				FACT.
2 : Steeve Lavoie	Géologue stagiaire	Misery	12				FACT.
3 : Éric Larouche	Géologue stagiaire	Misery	12				FACT.
3 : Mario Bolduc	Géologue stagiaire	Misery	12				FACT.
4 : Jordi Turcotte	Géologue stagiaire	Misery	12				FACT.
5 :							NF
6 : Jacques Durandard	Pilote	Misery					NF
8 : Dave Perron	Mécano	Misery					NF
9 : Odéric Marcoux	Homme de camp	Misery					NF
10 : Pauline Marcoux	Cuisinière	Misery					NF
11 : Brandon Gheller	Échantillonneur de till	Misery					NF
12 : Bryan Hickey	Échantillonneur de till	Misery					NF
13 : Eric Lefebvre	Échantillonneur de till	Misery					NF
14 :							
15 :							
VOLS D'HYDRAVIONS:		AVARIES MÉCANIQUES :					
TEMPS D'HELICOPTÈRE : 4,3 heures		ACCIDENTS :					
VOYAGES DE CAMION :		TEMPS MORT :					
EXPÉDITION D'ÉCHANTILLONS:		AMÉLIORATIONS À PRÉVOIR:					
ACHATS:							
MOBILISATION :							
DEMOBILISATION:		AVIS DISCIPLINAIRE:					
FORAGE- # TROU :	DE :	A:	VÉRIFICATION:		IOS Services Géoscientifiques inc.		
BUDGET RÉSIDUEL:	DÉPENSES:		FACTURATION:				

RAPPORT JOURNALIER	Date : 20-08-2010	PROJET : 782	CAMPEMENT:	MÉTÉO : Journée nuageuse.			
		CLIENT : Quest	RESP : J. Lalancette	SIGNATURE:			
		APPEL QUOTIDIEN:					
COMMENTAIRES SUR LES TRAVAUX :							
Travail dans le secteur est par Steeve, Mario et Jordi en matin et nord-est de l'anomalie principale par les 2 équipes par la suite. Départ du camp vers 7 h 30, arrivée au camp vers 15 h 30.							
L'équipe de géochimie a échantillonné du till toute la journée.							
COMMENTAIRES SUR LA GÉOLOGIE:							
Steeve/Mario : Suivi de l'exploration, secteur nord-est de l'anomalie 1. Observation de Syénite Rapakivi en affleurement et en bloc, un 1400 cps observé et échantillonné.							
Jonathan/Jordi : Traverse dans le secteur nord-est de l'anomalie 1. Quelques blocs anomaux observés et échantillonnés (max = 2000 cps)							
PERSONNEL	TÂCHES	Couché	Heures	Hors camps	Echant : De	Echant : A	FACT.
1 : Jonathan Lalancette	Ingénieur	Misery	12				FACT.
2 : Steeve Lavoie	Géologue stagiaire	Misery	12				FACT.
3 : Mario Bolduc	Géologue stagiaire	Misery	12				FACT.
4 : Jordi Turcotte	Géologue stagiaire	Misery	12				FACT.
5 :							NF
6 : Jacques Durandard	Pilote	Misery					NF
8 : Dave Perron	Mécano	Misery					NF
9 : Odéric Marcoux	Homme de camp	Misery					NF
10 : Pauline Marcoux	Cuisinière	Misery					NF
11 : Brandon Gheller	Échantillonneur de till	Misery					NF
12 : Bryan Hickey	Échantillonneur de till	Misery					NF
13 : Eric Lefebvre	Échantillonneur de till	Misery					NF
14 :							
15 :							
VOLS D'HYDRAVIONS:		AVARIES MECANIQUES :					
TEMPS D'HELICOPTERE : 7 heures		ACCIDENTS :					
VOYAGES DE CAMION :		TEMPS MORT :					
EXPEDITION D'ÉCHANTILLONS:		AMÉLIORATIONS A PRÉVOIR:					
ACHATS:							
MOBILISATION :							
DEMOBILISATION:		AVIS DISCIPLINAIRE:					
FORAGE- # TROU :	DE :	A :	VERIFICATION:	IOS Services Géoscientifiques inc.			
BUDGET RÉSIDUEL:	DÉPENSES:		FACTURATION:				

RAPPORT JOURNALIER	Date : 20-08-2010	PROJET : 782	CAMPEMENT:	MÉTÉO: Passage nuageux.			
		CLIENT : Quest	RESP : J. Lalancette	SIGNATURE:			
		APPEL QUOTIDIEN:					
COMMENTAIRES SUR LES TRAVAUX :							
Travail à l'ouest de l'anomalie principale par les 2 équipes. Départ du camp vers 7 h 30, arrivée au camp vers 15 h 30 .							
L'équipe de géochimie a échantillonné du till toute la journée.							
COMMENTAIRES SUR LA GÉOLOGIE:							
Steeve/Jordi/Jonathan/Mario : Exploration à l'ouest de l'anomalie 1. Observation de Syénite Rapakivi en affleurement et en bloc, deux zones dm, entre 1400 et 4300 cps observées et échantillonnées. Découverte d'une zone localement à grains moyens avec présence de fluorine. La zone couvre 20 m par 2 m, avec un bruit de fond entre 600-1500 cps. Les maximum atteignent entre 2000 à 7500 cps localement.							
	TÂCHES	Couché	Heures	Hors camps	Échant : De	Échant : A	FACT.
1 : Jonathan Lalancette	Ingénieur	Misery	12				FACT.
2 : Steeve Lavoie	Géologue stagiaire	Misery	12				FACT.
3 : Mario Bolduc	Géologue stagiaire	Misery	12				FACT.
4 : Jordi Turcotte	Géologue stagiaire	Misery	12				FACT.
5 :							NF
6 : Jacques Durandard	Pilote	Misery					NF
8 : Dave Perron	Mécano	Misery					NF
9 : Odéric Marcoux	Homme de camp	Misery					NF
10 : Pauline Marcoux	Cuisinière	Misery					NF
11 : Brandon Gheller	Échantillonneur de till	Misery					NF
12 : Bryan Hickey	Échantillonneur de till	Misery					NF
13 : Eric Lefebvre	Échantillonneur de till	Misery					NF
14 :							
15 :							
VOLS D'HYDRAVIONS:		AVARIES MÉCANIQUES :					
TEMPS D'HÉLICOPTÈRE : 6,8 heures		ACCIDENTS :					
VOYAGES DE CAMION :		TEMPS MORT :					
EXPÉDITION D'ÉCHANTILLONS:		AMÉLIORATIONS À PRÉVOIR:					
ACHATS:							
MOBILISATION :							
DEMOBILISATION:		AVIS DISCIPLINAIRE:					
FORAGE- # TROU : DE : À:		VÉRIFICATION:					
BUDGET RÉSIDUEL:		FACTURATION:			IOS Services Géoscientifiques inc.		
DÉPENSES:							

RAPPORT JOURNALIER	Date : 22-08-2010	PROJET : 782	CAMPEMENT:	MÉTÉO: Passages nuageux.			
		CLIENT : Quest	RESP : J. Lalancette	SIGNATURE:			
		APPEL QUOTIDIEN:					
COMMENTAIRES SUR LES TRAVAUX :							
Travail à l'ouest de l'anomalie principale par les 2 équipes. Départ du camp vers 7 h 30, arrivée au camp vers 15 h 30 .							
L'équipe de géochimie a échantillonné du till toute la journée.							
COMMENTAIRES SUR LA GÉOLOGIE:							
Steeve/Jordi/Jonathan/Mario : Suivi de l'exploration à l'ouest et au sud-ouest de l'anomalie 1. Observation de Syénite Rapakivi en affleurement et en bloc, zones décimétriques entre 800 et 3500 cps, observées et échantillonnées.							
	TÂCHES	Couché	Heures	Hors camps	Echant : De	Echant : A	FACT.
1 : Jonathan Lalancette	Ingénieur	Misery	12				FACT.
2 : Steeve Lavoie	Géologue stagiaire	Misery	12				FACT.
3 : Mario Bolduc	Géologue stagiaire	Misery	12				FACT.
4 : Jordi Turcotte	Géologue stagiaire	Misery	12				FACT.
5 :							NF
7 : Jaques Durandard	Pilote	Misery					NF
8 : Dave Perron	Mécano	Misery					NF
9 : Odéric Marcoux	Homme de camp	Misery					NF
10 : Pauline Marcoux	Cuisinière	Misery					NF
11 : Brandon Gheller	Échantillonneur de till	Misery					NF
12 : Bryan Hickey	Échantillonneur de till	Misery					NF
13 : Eric Lefebvre	Échantillonneur de till	Misery					NF
14 :							
15 :							
VOLS D'HYDRAVIONS:		AVARIES MÉCANIQUES :					
TEMPS D'HELICOPTÈRE : 7,2 heures		ACCIDENTS :					
VOYAGES DE CAMION :		TEMPS MORT :					
EXPÉDITION D'ÉCHANTILLONS:		AMÉLIORATIONS À PRÉVOIR:					
ACHATS:							
MOBILISATION :							
DEMOBILISATION:		AVIS DISCIPLINAIRE:					
FORAGE- # TROU :		DE :		A.		VÉRIFICATION:	
BUDGET RÉSIDUEL:		DÉPENSES:		FACTURATION:		IOS Services Géoscientifiques inc.	

RAPPORT JOURNALIER	Date : 23-08-2010	PROJET : 782	CAMPEMENT:	MÉTÉO : Passages nuageux.			
		CLIENT : Quest	RESP : J. Lalancette	SIGNATURE:			
		APPEL QUOTIDIEN:					
COMMENTAIRES SUR LES TRAVAUX :							
Travail à l'ouest de l'anomalie principale par les 2 équipes. Départ du camp vers 7 h 30, arrivée au camp vers 15 h 30 . Jonathan est demeuré au campement pour tenter de régler quelques problèmes logistiques.							
L'équipe de géochimie a échantillonné du till toute la journée.							
COMMENTAIRES SUR LA GÉOLOGIE:							
Steeve/Jordi/Jonathan/Mario : Suivi de l'exploration à l'ouest de l'anomalie sud. Observation de Syénite Rapakivi en affleurement et en bloc, quelques zones locales entre 1000-1500 cps.							
	TÂCHES	Couché	Heures	Hors camps	Échant : De	Échant : A	FACT.
1 : Jonathan Lalancette	Ingénieur	Misery	12				FACT.
2 : Steeve Lavoie	Géologue stagiaire	Misery	12				FACT.
3 : Mario Bolduc	Géologue stagiaire	Misery	12				FACT.
4 : Jordi Turcotte	Géologue stagiaire	Misery	12				FACT.
5 :							NF
7 : Jaques Durandard	Pilote						NF
8 : Dave Perron	Mécano	Misery					NF
9 : Odéric Marcoux	Homme de camp	Misery					NF
10 : Pauline Marcoux	Cuisinière	Misery					NF
11 : Brandon Gheller	Échantillonneur de till	Misery					NF
12 : Bryan Hickey	Échantillonneur de till	Misery					NF
13 : Eric Lefebvre	Échantillonneur de till	Misery					NF
14 :							
15 :							
VOLS D'HYDRAVIONS:		AVARIES MÉCANIQUES :					
TEMPS D'HÉLICOPTÈRE : 7,4 heures		ACCIDENTS :					
VOYAGES DE CAMION :		TEMPS MORT :					
EXPÉDITION D'ÉCHANTILLONS:		AMÉLIORATIONS À PRÉVOIR:					
ACHATS:							
MOBILISATION :							
DEMOBILISATION:		AVIS DISCIPLINAIRE:					
FORAGE- # TROU : DE : À:		VÉRIFICATION:					
BUDGET RÉSIDUEL:		FACTURATION:					
DÉPENSES:							

IOS Services Géoscientifiques inc.

RAPPORT JOURNALIER	Date : 24-08-2010	PROJET : 782	CAMPEMENT:	MÉTÉO : Journée nuageuse.			
		CLIENT : Quest	RESP : J. Lalancette	SIGNATURE:			
		APPEL QUOTIDIEN:					
COMMENTAIRES SUR LES TRAVAUX :							
Travaux à l'ouest de l'anomalie principale par les 2 équipes. Départ du camp vers 7 h 30, arrivée au camp vers 15 h 30 .							
L'équipe de géochimie a échantillonné du till toute la journée.							
COMMENTAIRES SUR LA GÉOLOGIE:							
Steeve/Jordi/Jonathan/Mario : Suivi de l'exploration au nord, nord-est de l'anomalie 1. Observation de Syénite Rapakivi en affleurement et en bloc, zones décimétriques entre 800 et 1600 cps observées et échantillonnées.							
Observation de monzodiorite à diorite (grains fins à moyens) en bloc dm/m, anomalie entre 800-1600 cps max.							
	TÂCHES	Couché	Heures	Hors camps	Échant : De	Échant : A	FACT.
1 : Jonathan Lalancette	Ingénieur	Misery	12				FACT.
2 : Steeve Lavoie	Géologue stagiaire	Misery	12				FACT.
3 : Mario Bolduc	Géologue stagiaire	Misery	12				FACT.
4 : Jordi Turcotte	Géologue stagiaire	Misery	12				FACT.
5 :							NF
7 : Jaques Durandard	Pilote	Misery					NF
8 : Dave	Mécano	Misery					NF
9 : Odéric Marcoux	Homme de camp	Misery					NF
10 : Pauline Marcoux	Cuisinière	Misery					NF
11 : Brandon Gheller	Échantillonneur de till	Misery					NF
12 : Bryan Hickey	Échantillonneur de till	Misery					NF
13 : Eric Lefebvre	Échantillonneur de till	Misery					NF
14 :							
15 :							
VOLS D'HYDRAVIONS:		AVARIES MÉCANIQUES :					
TEMPS D'HÉLICOPTÈRE : 4,4 heures		ACCIDENTS :					
VOYAGES DE CAMION :		TEMPS MORT :					
EXPÉDITION D'ÉCHANTILLONS:		AMÉLIORATIONS À PRÉVOIR:					
ACHATS:							
MOBILISATION :							
DEMOBILISATION:		AVIS DISCIPLINAIRE:					
FORAGE- # TROU :		DE :	À:	VERIFICATION:			

RAPPORT JOURNALIER	Date : 25-08-2010	PROJET : 782	CAMPEMENT:	MÉTÉO : soleil.			
		CLIENT : Quest	RESP : J. Lalancette	SIGNATURE:			
		APPEL QUOTIDIEN:					
COMMENTAIRES SUR LES TRAVAUX :							
Travail à l'ouest de l'anomalie principale par les 2 équipes. Départ du camp vers 7 h 30, arrivée au camp vers 15 h 30 .							
L'équipe de géochimie a échantillonné du till toute la journée.							
COMMENTAIRES SUR LA GÉOLOGIE:							
Steeve/Jordi/Jonathan/Mario : Décapage d'une zone au nord-est de l'anomalie 1.							
	TÂCHES	Couché	Heures	Hors camps	Échant : De	Échant : A	FACT.
1 : Jonathan Lalancette	Ingénieur	Misery	12				FACT.
2 : Steeve Lavoie	Géologue stagiaire	Misery	12				FACT.
3 : Mario Bolduc	Géologue stagiaire	Misery	12				FACT.
4 : Jordi Turcotte	Géologue stagiaire	Misery	12				FACT.
5 :							NF
7 : Jaques Durandard	Pilote						NF
8 : Dave Perron	Mécano	Misery					NF
9 : Odéric Marcoux	Homme de camp	Misery					NF
10 : Pauline Marcoux	Cuisinière	Misery					NF
11 : Brandon Gheller	Échantillonneur de till	Misery					NF
12 : Bryan Hickey	Échantillonneur de till	Misery					NF
13 : Eric Lefebvre	Échantillonneur de till	Misery					NF
14 :							
15 :							
VOLS D'HYDRAVIONS:			AVARIES MÉCANIQUES :				
TEMPS D'HÉLICOPTÈRE : 2,8 heures			ACCIDENTS :				
VOYAGES DE CAMION :			TEMPS MORT :				
EXPÉDITION D'ÉCHANTILLONS:			AMÉLIORATIONS À PRÉVOIR:				
ACHATS:							
MOBILISATION :							
DEMOBILISATION:			AVIS DISCIPLINAIRE:				
FORAGE- # TROU :		DE :	À:	VÉRIFICATION:			
BUDGET RÉSIDUEL:		DÉPENSES:		FACTURATION:		IOS Services Géoscientifiques inc.	

RAPPORT JOURNALIER	Date : 26-08-2010	PROJET : 782	CAMPEMENT:	MÉTÉO : Journée nuageuse.			
		CLIENT : Quest	RESP : J. Lalancette	SIGNATURE:			
		APPEL QUOTIDIEN:					
COMMENTAIRES SUR LES TRAVAUX :							
Travail à l'ouest de l'anomalie principale par les 2 équipes. Départ du camp vers 7 h 30, arrivée au camp vers 15 h 30 .							
Démobilisation de l'équipe de géochimie vers Schefferville.							
Rencontre des clients sur le terrain en fin de journée.							
COMMENTAIRES SUR LA GÉOLOGIE:							
Steeve/Jordi/Jonathan/Mario : Exploration à l'est de l'anomalie 3 en matinée. Suivi de l'exploration autour du site de décapage. Observation de plusieurs dykes de diorite anomaux, max de 1000 à 5500 cps discontinue.							
	TÂCHES	Couché	Heures	Hors camps	Échant : De	Échant : A	FACT.
1 : Jonathan Lalancette	Ingénieur	Misery	12				FACT.
2 : Steeve Lavoie	Géologue stagiaire	Misery	12				FACT.
3 : Mario Bolduc	Géologue stagiaire	Misery	12				FACT.
4 : Jordi Turcotte	Géologue stagiaire	Misery	12				FACT.
5 :							NF
7 : Jaques Durandard	Pilote						NF
8 : Dave	Mécano	Misery					NF
9 : Odéric Marcoux	Homme de camp	Misery					NF
10 : Pauline Marcoux	Cuisinière	Misery					NF
11 : Brandon Gheller	Échantillonneur de till	Chefferville					NF
12 : Bryan Hickey	Échantillonneur de till	Chefferville					NF
13 : Eric Lefebvre	Échantillonneur de till	Chefferville					NF
14 :							
15 :							
VOLS D'HYDRAVIONS:		AVARIES MÉCANIQUES :					
TEMPS D'HÉLICOPTÈRE : 1,2 heure		ACCIDENTS :					
VOYAGES DE CAMION :		TEMPS MORT :					
EXPÉDITION D'ÉCHANTILLONS:		AMÉLIORATIONS À PRÉVOIR:					
ACHATS:							
MOBILISATION :							
DEMOBILISATION:		AVIS DISCIPLINAIRE:					
FORAGE- # TROU : DE : À:		VÉRIFICATION:					
BUDGET RÉSIDUEL:		FACTURATION:					
DÉPENSES:							
				IOS Services Géoscientifiques inc.			

RAPPORT JOURNALIER	Date : 27-08-2010	PROJET : 782	CAMPEMENT:	MÉTÉO : Journée nuageuse.			
		CLIENT : Quest	RESP : J. Lalancette	SIGNATURE:			
		APPEL QUOTIDIEN:					
COMMENTAIRES SUR LES TRAVAUX :							
Travaux à l'ouest de l'anomalie principale par les 2 équipes. Départ du camp vers 9 h 30 am, arrivée au camp vers 15 h.							
Positionnement de deux lignes sur le terrain pour produire un levée magnétique. Prise de lectures magnétiques et spectrométriques sur 2,825 km.							
COMMENTAIRES SUR LA GÉOLOGIE:							
Steeve/Jordi/Jonathan/Mario :							
	TÂCHES	Couché	Heures	Hors camps	Echant : De	Echant : A	FACT.
1 : Jonathan Lalancette	Ingénieur	Misery	12				FACT.
2 : Steeve Lavoie	Géologue stagiaire	Misery	12				FACT.
3 : Mario Bolduc	Géologue stagiaire	Misery	12				FACT.
4 : Jordi Turcotte	Géologue stagiaire	Misery	12				FACT.
5 :							NF
7 : Jaques Durandard	Pilote	Misery					NF
8 : Dave Perron	Mécano	Misery					NF
9 : Odéric Marcoux	Homme de camp	Misery					NF
10 : Pauline Marcoux	Cuisinière	Misery					NF
							NF
							NF
14 :							
15 :							
VOLS D'HYDRAVIONS:			AVARIES MÉCANIQUES :				
TEMPS D'HELICOPTÈRE : 1,5 heure			ACCIDENTS :				
VOYAGES DE CAMION :			TEMPS MORT :				
EXPEDITION D'ECHANTILLONS:			AMÉLIORATIONS A PRÉVOIR:				
ACHATS:							
MOBILISATION :							
DEMOBILISATION:			AVIS DISCIPLINAIRE:				
FORAGE- # TROU :		DE :	A:	VÉRIFICATION:			
BUDGET RÉSIDUEL:		DÉPENSES:		FACTURATION:		IOS Services Géoscientifiques inc.	

RAPPORT JOURNALIER	Date : 28-08-2010	PROJET : 782	CAMPEMENT:	MÉTÉO : Journée nuageuse.			
		CLIENT : Quest	RESP : J. Lalancette	SIGNATURE:			
		APPEL QUOTIDIEN:					
COMMENTAIRES SUR LES TRAVAUX :							
Pas de travaux, avarie mécanique sur l'hélicoptère.							
Arrivée d'un autre hélicoptère en fin de journée.							
COMMENTAIRES SUR LA GÉOLOGIE:							
Steeve/Jordi/Jonathan/Mario :							
	TÂCHES	Couché	Heures	Hors camps	Échant : De	Échant : A	FACT.
1 : Jonathan Lalancette	Ingénieur	Misery	12				FACT.
2 : Steeve Lavoie	Géologue stagiaire	Misery	12				FACT.
3 : Mario Bolduc	Géologue stagiaire	Misery	12				FACT.
4 : Jordi Turcotte	Géologue stagiaire	Misery	12				FACT.
5 :							NF
7 : Jaques Durandard	Pilote	Misery					NF
8 : Dave Perron	Mécano	Misery					NF
9 : Odéric Marcoux	Homme de camp	Misery					NF
10 : Pauline Marcoux	Cuisinière	Misery					NF
							NF
							NF
14 :							
15:							
VOLS D'HYDRAVIONS:		AVARIES MÉCANIQUES :					
TEMPS D'HELICOPTÈRE : 0 heure		ACCIDENTS :					
VOYAGES DE CAMION :		TEMPS MORT :					
EXPÉDITION D'ÉCHANTILLONS:		AMÉLIORATIONS À PRÉVOIR:					
ACHATS:							
MOBILISATION :							
DEMOBILISATION:		AVIS DISCIPLINAIRE:					
FORAGE- # TROU :		DE :		A:		VÉRIFICATION:	
BUDGET RÉSIDUEL:		DÉPENSES:		FACTURATION:		IOS Services Géoscientifiques Inc.	

RAPPORT JOURNALIER	Date : 29-08-2010	PROJET : 782	CAMPEMENT:	MÉTÉO : Journée nuageuse			
		CLIENT : Quest	RESP : J. Lalancette	SIGNATURE:			
		APPEL QUOTIDIEN:					
COMMENTAIRES SUR LES TRAVAUX :							
Travaux à l'ouest de l'anomalie principale par les 2 équipes. Départ du camp vers 8 h 30 am, arrivée au camp vers 13 h.							
Positionnement de deux lignes sur le terrain pour produire un levée magnétique. Prise de données magnétiques et spectrométriques sur 2,825 km.							
Démobilisation de l'hélico défectueux avec permis spécial à Goose Bay.							
COMMENTAIRES SUR LA GÉOLOGIE:							
Steeve/Jordi/Jonathan/Mario :							
	TÂCHES	Couché	Heures	Hors camps	Échant : De	Échant : A	FACT.
1 : Jonathan Lalancette	Ingénieur	Misery	12				FACT.
2 : Steeve Lavoie	Géologue stagiaire	Misery	12				FACT.
3 : Mario Bolduc	Géologue stagiaire	Misery	12				FACT.
4 : Jordi Turcotte	Géologue stagiaire	Misery	12				FACT.
5 :							NF
7 : Jaques Durandard	Pilote	Misery					NF
8 : Dave Perron	Mécano	Misery					NF
9 : Odéric Marcoux	Homme de camp						NF
10 : Pauline Marcoux	Cuisinière	Misery					NF
							NF
							NF
14 :							NF
15:							
VOLS D'HYDRAVIONS:		AVARIES MÉCANIQUES :					
TEMPS D'HELICOPTÈRE : 1 heure		ACCIDENTS :					
VOYAGES DE CAMION :		TEMPS MORT :					
EXPÉDITION D'ÉCHANTILLONS:		AMÉLIORATIONS À PRÉVOIR:					
ACHATS:							
MOBILISATION :							
DEMOBILISATION:		AVIS DISCIPLINAIRE:					
FORAGE- # TROU :		DE :		A:		VÉRIFICATION:	
BUDGET RÉSIDUEL:		DÉPENSES:		FACTURATION:		IOS Services Géoscientifiques Inc.	

RAPPORT JOURNALIER	Date : 30-08-2010	PROJET : 782	CAMPEMENT:	MÉTÉO : Journée nuageuse avec vent fort et pluie.			
		CLIENT : Quest	RESP : J. Lalancette	SIGNATURE:			
		APPEL QUOTIDIEN:					
COMMENTAIRES SUR LES TRAVAUX :							
Travaux à l'est de l'anomalie 2 et au nord-est de l'anomalie 1 par les 2 équipes. Départ du camp vers 9 h 30 am, arrivée au camp vers 14 h 30.							
COMMENTAIRES SUR LA GÉOLOGIE:							
Steeve/Jordi/Jonathan/Mario : Observation de blocs de syénite (RK) et de diorite anomaux, cps maximums entre 700 et 1000.							
	TÂCHES	Couché	Heures	Hors camps	Échant : De	Échant : A	FACT.
1 : Jonathan Lalancette	Ingénieur	Misery	12				FACT.
2 : Steeve Lavoie	Géologue stagiaire	Misery	12				FACT.
3 : Mario Bolduc	Géologue stagiaire	Misery	12				FACT.
4 : Jordi Turcotte	Géologue stagiaire	Misery	12				FACT.
5 :							NF
7 : Jaques Durandard	Pilote	Misery					NF
8 : Dave Perron	Mécano	Misery					NF
9 : Odéric Marcoux	Homme de camp	Misery					NF
10 : Pauline Marcoux	Cuisinière	Misery					NF
							NF
							NF
14 :							
15 :							
VOLS D'HYDRAVIONS:		AVARIES MÉCANIQUES :					
TEMPS D'HELICOPTÈRE : 1 heure		ACCIDENTS :					
VOYAGES DE CAMION :		TEMPS MORT :					
EXPÉDITION D'ÉCHANTILLONS:		AMÉLIORATIONS À PRÉVOIR:					
ACHATS:							
MOBILISATION :							
DEMOBILISATION:		AVIS DISCIPLINAIRE:					
FORAGE- # TROU :		DE :		A:		VERIFICATION:	
BUDGET RÉSIDUEL:		DÉPENSES:		FACTURATION:		IOS Services Géoscientifiques Inc.	

RAPPORT JOURNALIER	Date : 31-08-2010	PROJET : 782	CAMPEMENT:	MÉTÉO : Journée nuageuse avec vent fort et pluie.
		CLIENT : Quest	RESP : J. Lalancette	SIGNATURE:
		APPEL QUOTIDIEN:		

COMMENTAIRES SUR LES TRAVAUX :

Départ à 7 h, arrivés vers 18 h 15.

Journée commencée par trois charges par élingue de barril sur le site de forage. Rainurage pour le reste de la journée sur un site décapé dernièrement. Travaux réalisés par Steeve et Jonathan.

Deux élingues du lac Brisson au site de forage du lac Misery.

Arrivée de cinq chasseurs, un guide et un pilote d'Air Saguenay. Visite de cinq autres chasseurs dans la journée avec guide et pilote.

COMMENTAIRES SUR LA GÉOLOGIE:

Steeve/Jordi/Jonathan/Mario :

	TÂCHES	Couché	Heures	Hors camps	Échant : De	Échant : A	FACT.
1 : Jonathan Lalancette	Ingénieur	Misery	12				FACT.
2 : Steeve Lavoie	Géologue stagiaire	Misery	12				FACT.
3 : Mario Bolduc	Géologue stagiaire	Misery	12				FACT.
4 : Jordi Turcotte	Géologue stagiaire	Misery	12				FACT.
5 :							NF
7 : Jaques Durandard	Pilote						NF
8 : Dave	Mécano	Misery					NF
9 : Odéric Marcoux	Homme de camp	Misery					NF
10 : Pauline Marcoux	Cuisinière	Misery					NF
							NF
							NF
14 :							
15 :							

VOLS D'HYDRAVIONS:

AVARIES MÉCANIQUES :

TEMPS D'HELICOPTERE : 5,6 heures

ACCIDENTS :

VOYAGES DE CAMION :

TEMPS MORT :

EXPÉDITION D'ÉCHANTILLONS:

AMÉLIORATIONS À PRÉVOIR:

ACHATS:

MOBILISATION :

AVIS DISCIPLINAIRE:

DEMOBILISATION:

VÉRIFICATION:

FORAGE- # TROU : DE : À:

FACTURATION:

BUDGET RÉSIDUEL: DÉPENSES:

IOS Services Géoscientifiques Inc.

RAPPORT JOURNALIER		Date: 01-09-2010	PROJET: 782	CAMPEMENT:	METEO: Journée nuageuse avec vent fort.		
			CLIENT: Quest	RESP: J. Lalancette	SIGNATURE:		
			APPEL QUOTIDIEN:				
COMMENTAIRES SUR LES TRAVAUX:							
Démobilisation de Mario et Jordi à Schefferville en fin d'avant-midi.							
Steeve et Jonathan sont restés au camp, orchestration de logistique pour la mobilisation de la foreuse et autre.							
Deux charges transportées à l'élingue du Long Ranger et d'un B2 de Brisson au lac Misery pour du matériel de forage.							
5 chasseurs, plus guide et pilote ont soupé et couché.							
Arrivée de 2 foreurs							
COMMENTAIRES SUR LA GÉOLOGIE:							
Steeve/Jonathan:							
	TACHES	Couché	Heures	Hors camps	Echant: De	Echant: A	FACT.
1 :	Jonathan Lalancette	Ingénieur	Misery	12			FACT.
2 :	Steeve Lavoie	Géologue stagiaire	Misery	12			FACT.
3 :	Mario Bolduc	Géologue stagiaire	Chefferville	12			FACT.
4 :	Jordi Turcotte	Géologue stagiaire	Montréal	12			FACT.
5 :							NF
7 :	Jaques Durandard	Pilote	Misery				NF
8 :	Dave Perron	Mécano	Misery				NF
9 :	Odéric Marcoux	Homme de camp	Misery				NF
10 :	Pauline Marcoux	Cuisinière	Misery				NF
11 :	Robert	Foreur	Misery				NF
12 :	Éric Leduc	Foreur	Misery				NF
14 :							NF
15 :							
VOLS D'HYDRAVIONS:			AVARIES MECANIQUES :				
TEMPS D'HELICOPTERE: 5,5 heures			ACCIDENTS:				
VOYAGES DE CAMION:			TEMPS MORT:				
EXPEDITION D'ECHANTILLONS:			AMELIORATIONS A PREVOIR:				
ACHATS:							
MOBILISATION:							
DEMOBILISATION:			AVIS DISCIPLINAIRE:				
FORAGE- # TROU: DE: A:			VERIFICATION:			IOS Services Géoscientifiques inc.	
BUDGET RESIDUEL: DÉPENSES:			FACTURATION:				

RAPPORT JOURNALIER	Date: 02-09-2010	PROJET: 782	CAMPEMENT:	METEO: Journée nuageuse avec vent fort et pluie.			
		CLIENT: Quest	RESP: J. Lalancette	SIGNATURE:			
		APPEL QUOTIDIEN:					
COMMENTAIRES SUR LES TRAVAUX:							
Départ sur le terrain des foreurs et de Jonathan à 7 h, arrivée des foreurs vers 18 h 30.							
Départ de steeve et Jonathan vers 10 h sur le terrain et retour vers 17 h. Aide aux foreurs pour l'installation du premier site de forage.							
Une charge à l'élingue de Brisson au lac Misery par le Bell 206 et le B2, un voyage à Mistinnibi par le Bell 206 pour rapporter du matériel de foreuse et un foreman au lac Misery.							
Départ des chasseurs.							
COMMENTAIRES SUR LA GÉOLOGIE:							
Steeve/Jonathan:							
TACHES							
1 : Jonathan Lalancette	Ingénieur	Couché	Heures	Hors camps	Echant: De	Echant: A	FACT.
2 : Steeve Lavoie	Géologue stagiaire	Misery	12				FACT.
		Misery	12				
5 :							NF
7 : Jaques Durandard	Pilote	Misery					NF
8 : Dave Perron	Mécano	Misery					NF
9 : Odéric Marcoux	Homme de camp	Misery					NF
10: Pauline Marcoux	Cuisinière	Misery					NF
11: Robert	Foreur	Misery					NF
12: Éric Leduc	Foreur	Misery					NF
13: Claude	Foreur	Misery					NF
14:							
15:							
VOLS D'HYDRAVIONS:		AVARIES MECANQUES :					
TEMPS D'HELICOPTERE: 5,5 heures		ACCIDENTS:					
VOYAGES DE CAMION:		TEMPS MORT:					
EXPEDITION D'ÉCHANTILLONS:		AMÉLIORATIONS À PREVOIR:					
ACHATS:							
MOBILISATION:							
DEMIBILISATION:		AVIS DISCIPLINAIRE:					
FORAGE- # TROU: DE: A:		VERIFICATION:					
BUDGET RESIDUEL:		FACTURATION:					
					IOS Services Géoscientifiques inc.		

RAPPORT JOURNALIER	Date: 03-09-2010	PROJET: 782	CAMPEMENT:	METEO: Journée nuageuse avec vent fort et pluie.					
		CLIENT: Quest	RESP: J. Lalancette	SIGNATURE:					
		APPEL QUOTIDIEN:							
COMMENTAIRES SUR LES TRAVAUX:									
Départ sur le terrain des foreurs à 7 h, arrivée des foreurs vers 18 h 30.									
Départ sur le terrain de Jonathan et Steeve à 9 h, arrivée vers 15 h 30. Installation de la tente de survie et assistance de foreuse.									
2 charges à l'élingue et un voyage de matériel du camp chapiteau au site de forage no.10-ML-10001, et une de Mistinnibi au site 10-ML-10001.									
Arrivés de 6 chasseurs accompagnés d'un pilote et d'un guide.									
COMMENTAIRES SUR LA GÉOLOGIE:									
Steeve/Jonathan:									
TACHES									
1 : Jonathan Lalancette	Ingénieur	Couché	Misery	Heures	12	Hors camps	Echant: De	Echant: A	FACT.
2 : Steeve Lavoie	Géologue stagiaire	Misery	Misery	12					FACT.
5 :									NF
7 : Jaques Durandard	Pilote	Misery							NF
8 : Dave	Mécano	Misery							NF
9 : Odéric Marcoux	Homme de camp	Misery							NF
10: Pauline Marcoux	Cuisinière	Misery							NF
11: Robert	Foreur	Misery							NF
12: Eric	Foreur	Misery							NF
13: Claude	Foreur	Misery							NF
14:									
15:									
VOLS D'HYDRAVIONS:			AVARIES MECANIQUES :						
TEMPS D'HELICOPTERE: 4,0 heures			ACCIDENTS:						
VOYAGES DE CAMION:			TEMPS MORT:						
EXPEDITION D'ECCHANTILLONS:			AMELIORATIONS A PREVOIR:						
ACHATS:									
MOBILISATION:									
DEMOBILISATION:			AVIS DISCIPLINAIRE:						
FORAGE- # TROU: 10-MSR-01	De: 0	A:9m	VERIFICATION:		IOS Services Géoscientifiques inc.				
BUDGET RESIDUEL:	DEPENSES:		FACTURATION:						

RAPPORT JOURNALIER		Date: 04-09-2010	PROJET: 782	CAMPEMENT:	METEO: Journée nuageuse avec vent fort.		
			CLIENT: Quest	RESP: J. Lalancette	SIGNATURE:		
APPEL QUOTIDIEN:							
COMMENTAIRES SUR LES TRAVAUX:							
Départ sur le terrain des foreurs à 6 h 30, arrivée des foreurs vers 18 h 30.							
Départ sur le terrain des Jonathan et Steeve à 8 h, arrivée vers 16 h 30. Observation de la carotte de forage à la foreuse et attente du premier test, repris car très douteux. Finalisation du rainurage en après-midi.							
2 charges à l'élingue de matériel du site de survie au site de forage no 10-ML-10002. Et une du site de forage 10-ML-10001 au site de forage 10-ML-10002.							
Départ de 6 chasseurs accompagnés d'un pilote et d'un guide.							
Un avion de ravitaillement, combustible, nourriture et pièce d'hélico.							
COMMENTAIRES SUR LA GÉOLOGIE:							
Steeve/Jonathan:							
	TACHES	Couché	Heures	Hors camps	Échant: De	Échant: A	FACT.
1 :	Jonathan Lalancette Ingénieur	Misery	12				FACT.
2 :	Steeve Lavoie Géologue stagiaire	Misery	12				FACT.
5 :							NF
7 :	Jaques Durandard Pilote	Misery					NF
8 :	Dave Perron Mécano	Misery					NF
9 :	Odéric Marcoux Homme de camp	Misery					NF
10:	Pauline Marcoux Cuisinière	Misery					NF
11:	Robert Foreur	Misery					NF
12:	Eric Foreur	Misery					NF
13:	Claude Foreur	Misery					NF
14:							
15:							
VOLS D'HYDRAVIONS:				AVARIES MECANIQUES:			
TEMPS D'HELICOPTERE: 2,0 heures				ACCIDENTS:			
VOYAGES DE CAMION:				TEMPS MORT:			
EXPEDITION D'ECHANTILLONS:				AMELIORATIONS A PREVOIR:			
ACHATS:							
MOBILISATION:							
DEMOBILISATION:				AVIS DISCIPLINAIRE:			
FORAGE- # TROU: 10-MSR-01		De: 10	A:74	VERIFICATION:			
BUDGET RESIDUEL:		DEPENSES:		FACTURATION:			
						IOS Services Géoscientifiques inc.	

RAPPORT JOURNALIER	Date: 05-09-2010	PROJET: 782	CAMPEMENT:	METEO: Très mauvaise météo avec vent fort.			
		CLIENT: Quest	RESP: J. Lalancette	SIGNATURE:			
		APPEL QUOTIDIEN:					
COMMENTAIRES SUR LES TRAVAUX:							
Départ sur le terrain des foreurs à 6 h 30, arrivée des foreurs vers 17 h 30. Mauvaise météo							
Départ sur le terrain de Jonathan et Steeve à 10 h, arrivée vers 12 h. Observation et description sommaire de la carotte de forage à la foreuse.							
COMMENTAIRES SUR LA GÉOLOGIE:							
Steeve/Jonathan:							
TÂCHES							
		Couché	Heures	Hors camps	Echant: De	Echant: A	FACT.
1 : Jonathan Lalancette	Ingénieur	Misery	12				FACT.
2 : Steeve Lavoie	Géologue stagiaire	Misery	12				FACT.
5 :							NF
7 : Jaques Durandard	Pilote	Misery					NF
8 : Dave Perron	Mécano	Misery					NF
9 : Odéric Marcoux	Homme de camp	Misery					NF
10: Pauline Marcoux	Cuisinière	Misery					NF
11: Robert	Foreur	Misery					NF
12: Eric	Foreur	Misery					NF
13: Claude	Foreur	Misery					NF
14:							
15:							
VOLS D'HYDRATIONS:			AVARIES MECANQUES :				
TEMPS D'HELICOPTERE: 1,3 heures			ACCIDENTS:				
VOYAGES DE CAMION:			TEMPS MORT:				
EXPEDITION D'ECHANTILLONS:			AMELIORATIONS A PREVOIR:				
ACHATS:							
MOBILISATION:							
DEMOBILISATION:			AVIS DISCIPLINAIRE:				
FORAGE- # TROU: 10-MSR-01	De: 73	A:129	VERIFICATION:		IOS Services Géoscientifiques inc.		
BUDGET RESIDUEL:	DÉPENSES:		FACTURATION:				

RAPPORT JOURNALIER		Date: 06-09-2010	PROJET: 782	CAMPEMENT:	METEO: Nuageux, faible pluie		
			CLIENT: Quest	RESP: J. Lalancette	SIGNATURE:		
			APPEL QUOTIDIEN:				
COMMENTAIRES SUR LES TRAVAUX:							
Départ sur le terrain des foreurs à 6 h 30, arrivée des foreurs vers 18 h 30.							
Départ sur le terrain de Jonathan et Steeve à 9 h, arrivée vers 16 h. Observation et description sommaire de la carotte de forage au camp et à la foreuse. Rapatriement du reste de l'équipement de rainurage au camp. Préparation							
Déplacement de la foreuse et de son équipement au site de forage 10-ML-10002 en après-midi.							
COMMENTAIRES SUR LA GÉOLOGIE:							
Steeve/Jonathan:							
	TACHES	Couché	Heures	Hors camps	Échant: De	Échant: A	FACT.
1 : Jonathan Lalancette	Ingénieur	Misery	12				FACT.
2 : Steeve Lavoie	Géologue stagiaire	Misery	12				FACT.
5 :							NF
7 : Jaques Durandard	Pilote						NF
8 : Dave Perron	Mécano	Misery					NF
9 : Odéric Marcoux	Homme de camp	Misery					NF
10: Pauline Marcoux	Cuisinière	Misery					NF
11: Robert	Foreur	Misery					NF
12: Éric	Foreur	Misery					NF
13: Claude	Foreur	Misery					NF
14:							
15:							
VOL D'HYDRAVIONS:				AVARIES MECANQUES :			
TEMPS D'HELICOPTERE: 3,8 heures				ACCIDENTS:			
VOYAGES DE CAMION:				TEMPS MORT:			
EXPEDITION D'ECHANTILLONS:				AMELIORATIONS A PREVOIR:			
ACHATS:							
MOBILISATION:							
DEMobilISATION:				AVIS DISCIPLINAIRE:			
FORAGE- # TROU: 10-ML-10001, 10-ML-10002		De:129, 0	A:150m, 4,5	VERIFICATION:			
BUDGET RESIDUEL:		DEPENSES:	FACTURATION:				
IOS Services Géoscientifiques inc.							

RAPPORT JOURNALIER	Date: 07-09-2010	PROJET: 782	CAMPEMENT:	METEO: Nuageux			
		CLIENT: Quest	RESP: J. Lalancette	SIGNATURE:			
		APPEL QUOTIDIEN:					
COMMENTAIRES SUR LES TRAVAUX:							
Départ sur le terrain des foreurs à 6 h 30, arrivée des foreurs vers 18 h 30.							
Observation et description sommaire de la carotte de forage au camp et à la foreuse. Mise à jour et vérification des bases de données, échantillons, affleurements et rapports journaliers.							
Charge à l'élingue de Brisson au lac Chapiteau par un B2 de boîte de carotte.							
Démobilisation de Claude le contremaître à Brisson en B2							
Changement de mécanicien d'hélicoptère à Schefferville en hélicoptère.							
COMMENTAIRES SUR LA GÉOLOGIE:							
Steeve/Jonathan:							
	TACHES	Couché	Heures	Hors camps	Echant: De	Echant: A	FACT.
1 : Jonathan Lalancette	Ingénieur	Misery	12				FACT.
2 : Steeve Lavoie	Géologue stagiaire	Misery	12				FACT.
5 :							NF
7 : Jaques Durandard	Pilote	Misery					NF
8 : Sébastien Beaupré	Mécano	Misery					NF
9 : Odéric Marcoux	Homme de camp	Misery					NF
10: Pauline Marcoux	Cuisinière	Misery					NF
11: Robert	Foreur	Misery					NF
12: Éric	Foreur	Misery					NF
13: Claude	Foreur	Misery					NF
14:							
15:							
VOLS D'HYDRAVIONS:		AVARIES MECANIQUES :					
TEMPS D'HELICOPTERE:		ACCIDENTS:					
VOYAGES DE CAMION:		TEMPS MORT:					
EXPEDITION D'ECHANTILLONS:		AMELIORATIONS A PREVOIR:					
ACHATS:							
MOBILISATION:							
DEMobilISATION:		AVIS DISCIPLINAIRE:					
FORAGE- # TROU: 10-ML-10002	De: 4.5	A: 73	VERIFICATION:				
BUDGET RESIDUEL:	DEPENSES:	FACTURATION:	IOS Services Géoscientifiques inc.				

RAPPORT JOURNALIER		Date: 08-09-2010	PROJET: 782	CAMPEMENT:	METEO: Nuageux		
			CLIENT: Quest	RESP: J. Lalancette	SIGNATURE:		
			APPEL QUOTIDIEN:				
COMMENTAIRES SUR LES TRAVAUX:							
Départ sur le terrain des foreurs à 6 h 30, arrivée des foreurs vers 18 h 30.							
Observation et description sommaire de la carotte de forage au camp et à la foreuse par Steeve. Rédaction d'un rapport des travaux réalisés entre le 16 et 30 août par Jonathan.							
3 charges à l'élingue du camp frontière au site de forage 10-ML-10002.							
COMMENTAIRES SUR LA GÉOLOGIE:							
Steeve/Jonathan:							
	TÂCHES	Couché	Heures	Hors camps	Echant: De	Echant: A	FACT.
1 : Jonathan Lalancette	Ingénieur	Misery	12				FACT.
2 : Steeve Lavoie	Géologue stagiaire	Misery	12				FACT.
5 :							NF
7 : Jaques Durandard	Pilote	Misery					NF
8 : Sébastien Beaupré	Mécano	Misery					NF
9 : Odéric Marcoux	Homme de camp	Misery					NF
10: Pauline Marcoux	Cuisinière	Misery					NF
11: Robert	Foreur	Misery					NF
12: Eric	Foreur	Misery					NF
13: Claude	Foreur	Misery					NF
14:							
15:							
VOLS D'HYDRAVIONS:			AVARIES MECANIQUES :				
TEMPS D'HELICOPTERE:			ACCIDENTS:				
VOYAGES DE CAMION:			TEMPS MORT:				
EXPEDITION D'ECHANTILLONS:			AMELIORATIONS A PREVOIR:				
ACHATS:							
MOBILISATION:							
DEMobilISATION:			AVIS DISCIPLINAIRE:				
FORAGE- # TROU: 10-ML-10002	De:73	A:113	VERIFICATION:				
BUDGET RESIDUEL:	DÉPENSES:		FACTURATION:				
IOS Services Géoscientifiques inc.							

RAPPORT JOURNALIER		Date: 09-09-2010	PROJET: 782	CAMPEMENT:	METEO: Nuageux		
			CLIENT: Quest	RESP: J. Lalancette	SIGNATURE:		
			APPEL QUOTIDIEN:				
COMMENTAIRES SUR LES TRAVAUX:							
Départ sur le terrain des foreurs à 6 h 30, arrivée des foreurs vers 18 h 30.							
Jonathan et Steeve : retour sur un site de prospection pour une réévaluation du potentiel. Visite à la foreuse et retour au camp. Visite de Pierre Gay en après-midi.							
Arrivés de deux foreurs pour le quart de nuit.							
Arrêt du trou 10-ML-10002 en fin de journée.							
COMMENTAIRES SUR LA GÉOLOGIE:							
Steeve/Jonathan:							
TACHES							
1 : Jonathan Lalancette	Ingénieur	Couché	Heures	Hors camps	Echant: De	Echant: A	FACT.
2 : Steeve Lavoie	Géologue stagiaire	Misery	12				FACT.
		Misery	12				FACT.
5 :							NF
7 : Jaques Durandard	Pilote	Misery					NF
8 : Sébastien Beaupré	Mécano	Misery					NF
9 : Odéric Marcoux	Homme de camp	Misery					NF
10: Pauline Marcoux	Cuisinière	Misery					NF
11: Robert	Foreur	Misery					NF
12: Éric	Foreur	Misery					NF
13: Claude	Foreur	Misery					NF
14: Jacques	Foreur	Misery					NF
15: Denis	Foreur	Misery					NF
TEMPS D'HELICOPTERE: 1.6 heures		AVARIES MECANIKES :					
VOYAGES DE CAMION:		ACCIDENTS:					
EXPEDITION D'ECHANTILLONS:		TEMPS MORT:					
ACHATS:		AMELIORATIONS A PREVOIR:					
MOBILISATION:							
DEMOBILISATION:		AVIS DISCIPLINAIRE:					
FORAGE- # TROU: 10-ML-10002	De: 113	A: 152.5	VERIFICATION:				
BUDGET RESIDUEL:	DÉPENSES:		FACTURATION:				
IOS Services Géoscientifiques inc.							

RAPPORT JOURNALIER	Date: 10-09-2010	PROJET: 782	CAMPEMENT:	METEO: Soleil			
		CLIENT: Quest	RESP: J. Lalancette	SIGNATURE:			
		APPEL QUOTIDIEN:					
COMMENTAIRES SUR LES TRAVAUX:							
Départ sur le terrain des foreurs à 6 h 30, arrivée des foreurs vers 18 h 30.							
Déplacement de la drill au site de forage 10-ML-10003 en matinée.							
Installation du plancher au site de 10ML-10004							
Assistance du foreur tout l'après-midi en attente du nouvel aide-foreur.							
Changement d'un aide-foreur dans la journée en hélicoptère.							
COMMENTAIRES SUR LA GÉOLOGIE:							
Steeve/Jonathan:							
TACHES							
1 : Jonathan Lalancette	Ingénieur	Couché	Heures	Hors camps	Échant: De	Échant: A	FACT.
2 : Steeve Lavoie	Géologue stagiaire	Misery	12				FACT.
		Misery	12				FACT.
5 :							NF
7 : Jaques Durandard	Pilote	Misery					NF
8 : Sébastien Beupré	Mécano	Misery					NF
9 : Odéric Marcoux	Homme de camp	Misery					NF
10: Pauline Marcoux	Cuisinière	Misery					NF
11: Kim	Foreur	Misery					NF
12: Éric	Foreur	Misery					NF
13: Claude	Foreur	Misery					NF
14: Jacques	Foreur	Misery					NF
15: Denis	Foreur	Misery					NF
VOLS D'HYDRAVIONS: 1		AVARIES MECANIQUES :					
TEMPS D'HELICOPTERE: 5.4heures		ACCIDENTS:					
VOYAGES DE CAMION:		TEMPS MORT:					
EXPEDITION D'ECHANTILLONS:		AMELIORATIONS A PREVOIR:					
ACHATS:							
MOBILISATION:							
DEMobilISATION:		AVIS DISCIPLINAIRE:					
FORAGE- # TROU: 10-ML-10003	De:0	A:88	VERIFICATION:			IOS Services Géoscientifiques inc.	
BUDGET RESIDUEL:	DEPENSES:		FACTURATION:				

RAPPORT JOURNALIER		Date: 11-09-2010	PROJET: 782	CAMPEMENT:	METEO: Nuageux			
			CLIENT: Quest	RESP: J. Lalancette	SIGNATURE:			
			APPEL QUOTIDIEN:					
COMMENTAIRES SUR LES TRAVAUX:								
Départ sur le terrain des foreurs à 6 h 30, arrivée des foreurs vers 18 h 30.								
Description de carotte du trou 10-ML-10002, préparation d'envoi de matériel et carotte de forage pour l'avion. Réception d'un voyage d'avion, envoi de matériel et carotte de forage. Visite à la foreuse.								
Arrêt du trou 10-ML-10003 dans la nuit.								
COMMENTAIRES SUR LA GÉOLOGIE:								
Steeve/Jonathan:								
		TACHES	Couché	Heures	Hors camps	Échant: De	Échant: A	FACT.
1 : Jonathan Lalancette		Ingénieur	Misery	12				FACT.
2 : Steeve Lavoie		Géologue stagiaire	Misery	12				FACT.
5 :								NF
7 : Jaques Durandard		Pilote	Misery					NF
8 : Sébastien Beaupré		Mécano	Misery					NF
9 : Odéric Marcoux		Homme de camp	Misery					NF
10: Pauline Marcoux		Cuisinière	Misery					NF
11: Robert		Foreur	Misery					NF
12: Éric		Foreur	Misery					NF
13: Claude		Foreur	Misery					NF
14: Jacques		Foreur	Misery					NF
15: Denis		Foreur	Misery					NF
VOLS D'HYDRAVIONS: 1			AVARIES MECANQUES :					
TEMPS D'HELICOPTERE: 1,6 heures			ACCIDENTS:					
VOYAGES DE CAMION:			TEMPS MORT:					
EXPEDITION D'ECHANTILLONS:			AMELIORATIONS A PREVOIR:					
ACHATS:								
MOBILISATION:								
DEMobilISATION:			AVIS DISCIPLINAIRE:					
FORAGE- # TROU: 10-ML-10003		De: 88	A: 151,5	VERIFICATION:				
BUDGET RESIDUEL:		DEPENSES:		FACTURATION:				

IOS Services Géoscientifiques inc.

RAPPORT JOURNALIER		Date: 12-09-2010	PROJET: 782	CAMPEMENT:	METEO: Soleil			
			CLIENT: Quest	RESP: J. Lalancette	SIGNATURE:			
			APPEL QUOTIDIEN:					
COMMENTAIRES SUR LES TRAVAUX:								
Départ sur le terrain des foreurs à 6 h 30, arrivée des foreurs vers 18 h 30.								
Description de carotte du trou 10-ML-10003, aide au déplacement de la foreuse et ligne à l'eau. Envoi de matériel et carotte de forage par avion. Visite à la foreuse.								
Début du trou 10-ML-10004								
COMMENTAIRES SUR LA GÉOLOGIE:								
Steeve/Jonathan:								
		TACHES	Couché	Heures	Hors camps	Échant: De	Échant: A	FACT.
1 :	Jonathan Lalancette	Ingénieur	Misery	12				FACT.
2 :	Steeve Lavoie	Géologue stagiaire	Misery	12				FACT.
5 :								NF
7 :	Jaques Durandard	Pilote	Misery					NF
8 :	Sébastien Beaupré	Mécano	Misery					NF
9 :	Odéric Marcoux	Homme de camp	Misery					NF
10:	Pauline Marcoux	Cuisinière	Misery					NF
11:	Robert	Foreur	Misery					NF
12:	Éric	Foreur	Misery					NF
13:	Claude	Foreur	Misery					NF
14:	Jacques	Foreur	Misery					NF
15:	Denis	Foreur	Misery					NF
VOLS D'HYDRAVIONS: 1			AVARIES MECANQUES:					
TEMPS D'HELICOPTERE: 3,9 heures			ACCIDENTS:					
VOYAGES DE CAMION:			TEMPS MORT:					
EXPEDITION D'ÉCHANTILLONS:			AMÉLIORATIONS À PREVOIR:					
ACHATS:								
MOBILISATION:								
DEMOBILISATION:								
FORAGE - # TROU: 10-ML-10004		De: 0	A: 153	AVIS DISCIPLINAIRE:				
BUDGET RÉSIDUEL:		DÉPENSES:		VÉRIFICATION:				
				FACTURATION:				

IOS Services Géoscientifiques inc.

RAPPORT JOURNALIER	Date: 13-09-2010	PROJET: 782	CAMPEMENT:	METEO: Soleil			
		CLIENT: Quest	RESP: J. Lalancette	SIGNATURE:			
		APPEL QUOTIDIEN:					
COMMENTAIRES SUR LES TRAVAUX:							
Départ sur le terrain des foreurs à 6 h 30 am/pm, arrivée des foreurs vers 6 h 30 pm/am.							
Description de carotte du trou 10-ML-10004, aide au déplacement de la foreuse et ligne à l'eau tout la journée. Envoi de matériel et carotte de forage par avion.							
Début du trou 10-ML-10005							
COMMENTAIRES SUR LA GÉOLOGIE:							
Steeve/Jonathan:							
	TÂCHES	Couché	Heures	Hors camps	Echant: De	Echant: A	FACT.
1 : Jonathan Lalancette	Ingénieur	Misery	12				FACT.
2 : Steeve Lavoie	Géologue stagiaire	Misery	12				FACT.
5 :							NF
7 : Jaques Durandard	Pilote	Misery					NF
8 : Sébastien Beaupré	Mécano	Misery					NF
9 : Odéric Marcoux	Homme de camp	Misery					NF
10: Pauline Marcoux	Cuisinière	Misery					NF
11: Robert	Foreur	Misery					NF
12: Eric	Foreur	Misery					NF
13: Claude	Foreur	Misery					NF
14: Jacques	Foreur	Misery					NF
15: Denis	Foreur	Misery					NF
VOLS D'HYDRAVIONS: 1		AVARIES MECANIQVES :					
TEMPS D'HELICOPTERE: 7.3 heures		ACCIDENTS:					
VOYAGES DE CAMION:		TEMPS MORT:					
EXPEDITION D'ECHANTILLONS:		AMELIORATIONS A PREVOIR:					
ACHATS:							
MOBILISATION:							
DEMIBILISATION:		AVIS DISCIPLINAIRE:					
FORAGE- # TROU: 10-ML-10005	De:0	A:100	VERIFICATION:		IOS Services Géoscientifiques inc.		
BUDGET RESIDUEL:	DEPENSES:	FACTURATION:					

RAPPORT JOURNALIER		Date: 14-09-2010	PROJET: 782	CAMPEMENT:	METEO: Soleil		
			CLIENT: Quest	RESP: J. Lalancette	SIGNATURE:		
			APPEL QUOTIDIEN:				
COMMENTAIRES SUR LES TRAVAUX:							
Départ sur le terrain des foreurs à 6 h 30 am/pm, arrivée des foreurs vers 6 h 30 pm/am.							
Préparation du site de forage 10-ML-10006. Arrêt du trou 10-ML-10005. Déplacement de la foreuse au site 10-ML-10006.							
Début du trou 10-ML-10006							
Une charge à l'élingue mal accrochée de boîte de carotte (les derniers 46 m du trou 10-ML-10005) s'est détachée et a atterri dans un marécage.							
COMMENTAIRES SUR LA GÉOLOGIE:							
Steeve/Jonathan:							
TACHES							
1 : Jonathan Lalancette	Ingénieur	Couché	Heures	Hors camps	Échant: De	Échant: A	FACT.
2 : Steeve Lavoie	Géologue stagiaire	Misery	12				FACT.
		Misery	12				
5 :							NF
7 : Jaques Durandard	Pilote	Misery					NF
8 : Sébastien Beaupré	Mécano	Misery					NF
9 : Odéric Marcoux	Homme de camp	Misery					NF
10: Pauline Marcoux	Cuisinière	Misery					NF
11: Robert	Foreur	Misery					NF
12: Éric	Foreur	Misery					NF
13: Claude	Foreur	Misery					NF
14: Jacques	Foreur	Misery					NF
15: Denis	Foreur	Misery					NF
VOLS D'HYDRAVIONS:		AVARIES MECANIQUES:					
TEMPS D'HELICOPTERE: 6.4 heures		ACCIDENTS:					
VOYAGES DE CAMION:		TEMPS MORT:					
EXPEDITION D'ECHANTILLONS:		AMELIORATIONS A PREVOIR:					
ACHATS:							
MOBILISATION:							
DEMOBILISATION:		AVIS DISCIPLINAIRE:					
FORAGE - # TROU: 10-ML-10005, 10-ML-10006	De:100, 0	A:146, 10.5	VERIFICATION:		IOS Services Géoscientifiques inc.		
BUDGET RESIDUEL:	DEPENSES:		FACTURATION:				

RAPPORT JOURNALIER

Date: 15-09-2010

PROJET: 782

CAMPEMENT:

METEO: Soleil

CLIENT: Quest

RESP: J. Lalancette

SIGNATURE:

APPEL QUOTIDIEN:

COMMENTAIRES SUR LES TRAVAUX:

Départ sur le terrain des foreurs à 6 h 30 am/pm, arrivée des foreurs vers 6 h 30 pm/am.

Réparation d'une pièce de foreuse brisée durant la nuit, voyage au lac Brisson nécessaire.

Récolte de carotte de forage dans le marécage.

Arrêt du trou 10-ML-10006, car pas de roc après 80 pieds. Foreuse pas assez forte.

Pas de quart de nuit.

COMMENTAIRES SUR LA GÉOLOGIE:

Steeve/Jonathan:

	TACHES	Couché	Heures	Hors camps	Échant: De	Échant: A	FACT.
1 : Jonathan Lalancette	Ingénieur	Misery	12				FACT.
2 : Steeve Lavoie	Géologue stagiaire	Misery	12				FACT.
5 :							NF
7 : Jaques Durandard	Pilote	Misery					NF
8 : Sébastien Beaupré	Mécano	Misery					NF
9 : Odéric Marcoux	Homme de camp	Misery					NF
10: Pauline Marcoux	Cuisinière	Misery					NF
11: Robert	Foreur	Misery					NF
12: Éric	Foreur	Misery					NF
13: Claude	Foreur	Misery					NF
14: Jacques	Foreur	Misery					NF
15: Denis	Foreur	Misery					NF

VOLS D'HYDRAVIONS:

TEMPS D'HELICOPTERE: 3.7 heures

VOYAGES DE CAMION:

EXPEDITION D'ÉCHANTILLONS:

ACHATS:

MOBILISATION:

DEMOBILISATION:

FORAGE- # TROU: 10-ML-10006

De: 10.5

A: 21

BUDGET RESIDUEL:

DÉPENSES:

AVARIES MECANQUES:

ACCIDENTS:

TEMPS MORT:

AMÉLIORATIONS À PRÉVOIR:

AVIS DISCIPLINAIRE:

VERIFICATION:

FACTURATION:

IOS Services Géoscientifiques inc.

RAPPORT JOURNALIER	Date: 16-09-2010	PROJET: 782	CAMPEMENT:	METEO: Soleil			
		CLIENT: Quest	RESP: J. Lalancette	SIGNATURE:			
		APPEL QUOTIDIEN:					
COMMENTAIRES SUR LES TRAVAUX:							
Départ sur le terrain des foreurs à 6 h 30 am/pm, arrivée des foreurs vers 6 h 30 pm/am.							
Préparation du site de forage 10-ML-10007							
Mobilisation de la foreuse au trou 10-ML-10008.							
Description sommaire du trou 10-ML-10005							
Voyage d'avion du camp Frontière au lac Brisson.							
COMMENTAIRES SUR LA GÉOLOGIE:							
Steeve/Jonathan:							
	TACHES	Couché	Heures	Hors camps	Échant: De	Échant: A	FACT.
1	Jonathan Lalancette Ingénieur	Misery	12				FACT.
2	Steeve Lavoie Géologue stagiaire	Misery	12				FACT.
5							NF
7	Jaques Durandard Pilote	Misery					NF
8	Sébastien Beaupré Mécano	Misery					NF
9	Odéric Marcoux Homme de camp	Misery					NF
10	Pauline Marcoux Cuisinière	Misery					NF
11	Robert Foreur	Misery					NF
12	Éric Foreur	Misery					NF
13	Claude Foreur	Misery					NF
14	Jacques Foreur	Misery					NF
15	Denis Foreur	Misery					NF
VOLS D'HYDRAVIONS: 1		AVARIES MECANIKES :					
TEMPS D'HELICOPTERE: 2.7 heures		ACCIDENTS:					
VOYAGES DE CAMION:		TEMPS MORT:					
EXPEDITION D'ECHANTILLONS:		AMELIORATIONS A PREVOIR:					
ACHATS:							
MOBILISATION:							
DEMobilISATION:		AVIS DISCIPLINAIRE:					
FORAGE- # TROU: 10-ML-10008	De:0	A:83	VERIFICATION:				
BUDGET RESIDUEL:	DEPENSES:	FACTURATION:	IOS Services Géoscientifiques inc.				

RAPPORT JOURNALIER	Date: 17-09-2010	PROJET: 782	CAMPEMENT:	METEO: Soleil
		CLIENT: Quest	RESP: J. Lalancette	SIGNATURE:
		APPEL QUOTIDIEN:		

COMMENTAIRES SUR LES TRAVAUX:
Départ sur le terrain des foreurs à 6 h 30 am/pm, arrivée des foreurs vers 6 h 30 pm/am.
Préparation du site de forage 10-ML-10006-B
Arrêt du trou 10-ML-10008 dans la nuit.

COMMENTAIRES SUR LA GÉOLOGIE:
Steeve/Jonathan:

	TACHES	Couché	Heures	Hors camps	Echant: De	Echant: A	FACT.
1 : Jonathan Lalancette	Ingénieur	Misery	12				FACT.
2 : Steeve Lavoie	Géologue stagiaire	Misery	12				FACT.
5 :							NF
7 : Jaques Durandard	Pilote	Misery					NF
8 : Sébastien Beaupré	Mécano	Misery					NF
9 : Odéric Marcoux	Homme de camp	Misery					NF
10: Pauline Marcoux	Cuisinière	Misery					NF
11: Robert	Foreur	Misery					NF
12: Eric	Foreur	Misery					NF
13: Claude	Foreur	Misery					NF
14: Jacques	Foreur	Misery					NF
15: Denis	Foreur	Misery					NF

VOLS D'HYDRAVIONS:	AVARIES MECANIQUES :		
TEMPS D'HELICOPTERE: 2.3 heures	ACCIDENTS:		
VOYAGES DE CAMION:	TEMPS MORT:		
EXPEDITION D'ECHANTILLONS:	AMELIORATIONS A PREVOIR:		
ACHATS:			
MOBILISATION:			
DEMOBILISATION:	AVIS DISCIPLINAIRE:		
FORAGE- # TROU: 10-ML-10008	De:92	A:160	VERIFICATION:
BUDGET RESIDUEL:	DÉPENSES:	FACTURATION:	IOS Services Géoscientifiques inc.

<h1>RAPPORT JOURNALIER</h1>	Date: 18-09-2010	PROJET: 782	CAMPEMENT:	METEO: Soleil
		CLIENT: Quest	RESP: J. Lalancette	SIGNATURE:
		APPEL QUOTIDIEN:		

COMMENTAIRES SUR LES TRAVAUX:
Départ sur le terrain des foreurs à 6 h 30 am/pm, arrivée des foreurs vers 6 h 30 pm/am.
Déplacement de la foreuse sur le site de forage 10-ML-10006B, trou arrêté en fin de journée, socle rocheux pas atteint, trop de mort-terrain, casing plus les tiges de forage, cro-bare, bite et sheld sont restés bloqués dans le fond du trou.
Transport à l'élingue du reste de matériel de forage et tente de survie du secteurs des anciens sites (ouest du lac) de forage vers le nouveau secteur (est du lac) et au camp.

COMMENTAIRES SUR LA GÉOLOGIE:
Steeve/Jonathan:

	TACHES	Couché	Heures	Hors camps	Echant: De	Echant: A	FACT.
1 : Jonathan Lalancette	Ingénieur	Misery	12				FACT.
2 : Steeve Lavoie	Géologue stagiaire	Misery	12				FACT.
5 :							NF
7 : Jaques Durandard	Pilote	Misery					NF
8 : Sébastien Beaupré	Mécano	Misery					NF
9 : Odéric Marcoux	Homme de camp	Misery					NF
10: Pauline Marcoux	Cuisinière	Misery					NF
11: Robert	Foreur	Misery					NF
12: Éric	Foreur	Misery					NF
13: Claude	Foreur	Misery					NF
14: Jacques	Foreur	Misery					NF
15: Denis	Foreur	Misery					NF

VOLS D'HYDRAVIONS:	AVARIES MECANIQUES :		
TEMPS D'HELICOPTERE: 4.7 heures	ACCIDENTS:		
VOYAGES DE CAMION:	TEMPS MORT:		
EXPEDITION D'ECHANTILLONS:	AMELIORATIONS A PREVOIR:		
ACHATS:			
MOBILISATION:			
DEMOBILISATION:	AVIS DISCIPLINAIRE:		
FORAGE- # TROU: 10-ML-10006B	De:0	A:18	
BUDGET RESIDUEL:	DEPENSES:	VERIFICATION:	IOS Services Géoscientifiques inc.
		FACTURATION:	

RAPPORT JOURNALIER	Date: 19-09-2010	PROJET: 782	CAMPEMENT:	METEO: Soleil			
		CLIENT: Quest	RESP: J. Lalancette	SIGNATURE:			
COMMENTAIRES SUR LES TRAVAUX:		APPEL QUOTIDIEN:					
Départ sur le terrain des foreurs à 6 h 30 am/pm, arrivée des foreurs vers 6 h 30 pm/am.							
Déplacement de la foreuse sur le site de forage 10-ML-10006C.							
Transport à l'élingue du reste de matériel de forage environnant vers le nouveau secteur (est du lac).							
COMMENTAIRES SUR LA GÉOLOGIE:							
Steeve/Jonathan:							
TACHES							
		Couché	Heures	Hors camps	Echant: De	Echant: A	FACT.
1 : Jonathan Lalancette	Ingénieur	Misery	12				FACT.
2 : Steeve Lavoie	Géologue stagiaire	Misery	12				FACT.
5 :							NF
7 : Jaques Durandard	Pilote	Misery					NF
8 : Sébastien Beaupré	Mécano	Misery					NF
9 : Odéric Marcoux	Homme de camp	Misery					NF
10: Pauline Marcoux	Cuisinière	Misery					NF
11: Robert	Foreur	Misery					NF
12: Eric	Foreur	Misery					NF
13: Claude	Foreur	Misery					NF
14: Jacques	Foreur	Misery					NF
15: Denis	Foreur	Misery					NF
VOLS D'HYDRAVIONS:		AVARIES MECANIQUES :					
TEMPS D'HELICOPTERE: heures		ACCIDENTS:					
VOYAGES DE CAMION:		TEMPS MORT:					
EXPEDITION D'ECHANTILLONS:		AMELIORATIONS A PREVOIR:					
ACHATS:							
MOBILISATION:							
DEMobilISATION:		AVIS DISCIPLINAIRE:					
FORAGE- # TROU: 10-ML-10006C		De:	A:	VERIFICATION:	IOS Services Géoscientifiques inc.		
BUDGET RESIDUEL:		DÉPENSES:		FACTURATION:			

RAPPORT JOURNALIER	Date: 20-09-2010	PROJET: 782	CAMPEMENT:	METEO: Soleil, averse locale.
		CLIENT: Quest	RESP: J. Lalancette	SIGNATURE:
		APPEL QUOTIDIEN:		

COMMENTAIRES SUR LES TRAVAUX:							
Départ sur le terrain des foreurs à 6 h 30 am/pm, arrivée des foreurs vers 6 h 30 pm/am.							
Fin du trou 10-ML-10006C en matinée et rotation de la foreuse sur elle-même pour le trou 10-ML-10007.							
Transport à l'élingue du reste de matériel de forage au camp.							
Description de carotte.							
COMMENTAIRES SUR LA GÉOLOGIE:							
Steeve/Jonathan:							
	TACHES	Couché	Heures	Hors camps	Echant: De	Echant: A	FACT.
1 : Jonathan Lalancette	Ingénieur	Misery	12				FACT.
2 : Steeve Lavoie	Géologue stagiaire	Misery	12				FACT.
5 :							NF
7 : Jaques Durandard	Pilote	Misery					NF
8 : Sébastien Beaupré	Mécano	Misery					NF
9 : Odéric Marcoux	Homme de camp	Misery					NF
10: Pauline Marcoux	Cuisinière	Misery					NF
11: Robert	Foreur	Misery					NF
12: Eric	Foreur	Misery					NF
13: Claude	Foreur	Misery					NF
14: Jacques	Foreur	Misery					NF
15: Denis	Foreur	Misery					NF

VOLS D'HYDRAVIONS:	AVARIES MECANQUES :
TEMPS D'HELICOPTERE: heures	ACCIDENTS:
VOYAGES DE CAMION:	TEMPS MORT:
EXPEDITION D'ECHANTILLONS:	AMELIORATIONS A PREVOIR:
ACHATS:	
MOBILISATION:	
DEMobilISATION:	AVIS DISCIPLINAIRE:
FORAGE- # TROU: 10-ML-10006B De: A:	VERIFICATION:
BUDGET RESIDUEL:	DEPENSES: FACTURATION:

IOS Services Géoscientifiques inc.

RAPPORT JOURNALIER		Date: 21-09-2010	PROJET: 782	CAMPEMENT:	METEO: Neige.		
			CLIENT: Quest	RESP: J. Lalancette	SIGNATURE:		
			APPEL QUOTIDIEN:				
COMMENTAIRES SUR LES TRAVAUX:							
Départ sur le terrain des foreurs à 6h30 am/pm.							
Démobilisation de Jonathan Lalancette et de Steeve Lavoie du camp Frontière à Schefferville en après-midi.							
COMMENTAIRES SUR LA GÉOLOGIE:							
Steeve/Jonathan:							
	TACHES	Couché	Heures	Hors camps	Echant: De	Echant: A	FACT.
1 :	Jonathan Lalancette Ingénieur	Misery	12				FACT.
2 :	Steeve Lavoie Géologue stagiaire	Misery	12				FACT.
5 :							NF
7 :	Jaques Durandard Pilote	Misery					NF
8 :	Sébastien Beaupré Mécano	Misery					NF
9 :	Odéric Marcoux Homme de camp	Misery					NF
10 :	Pauline Marcoux Cuisinière	Misery					NF
11 :	Robert Foreur	Misery					NF
12 :	Éric Foreur	Misery					NF
13 :	Claude Foreur	Misery					NF
14 :	Jacques Foreur	Misery					NF
15 :	Denis Foreur	Misery					NF
VOLS D'HYDRAVIONS:			AVARIES MECANIQUES :				
TEMPS D'HELICOPTERE: heures			ACCIDENTS:				
VOYAGES DE CAMION:			TEMPS MORT:				
EXPEDITION D'ECHANTILLONS:			AMELIORATIONS A PREVOIR:				
ACHATS:							
MOBILISATION:							
DEMobilISATION:			AVIS DISCIPLINAIRE:				
FORAGE- # TROU: 10-ML-10006B		De:	A:	VERIFICATION:			
BUDGET RESIDUEL:		DÉPENSES:		FACTURATION:			
IOS Services Géoscientifiques inc.							

RAPPORT JOURNALIER	Date: 22-09-2010	PROJET: 782	CAMPEMENT:	METEO: Nuageux.			
		CLIENT: Quest	RESP: J. Lalancette	SIGNATURE:			
		APPEL QUOTIDIEN:					
COMMENTAIRES SUR LES TRAVAUX:							
Départ sur le terrain des foreurs à 6 h 30 am/pm.							
Démobilisation de Jonathan Lalancette et de Steeve Lavoie de Schefferville à Chicoutimi en fin de journée.							
COMMENTAIRES SUR LA GÉOLOGIE:							
Steeve/Jonathan:							
	TACHES	Couché	Heures	Hors camps	Echant: De	Echant: A	FACT.
1 : Jonathan Lalancette	Ingénieur	Misery	12				FACT.
2 : Steeve Lavoie	Géologue stagiaire	Misery	12				FACT.
5 :							NF
7 : Jaques Durandard	Pilote	Misery					NF
8 : Sébastien Beaupré	Mécano	Misery					NF
9 : Odéric Marcoux	Homme de camp	Misery					NF
10: Pauline Marcoux	Cuisinière	Misery					NF
11: Robert	Foreur	Misery					NF
12: Eric	Foreur	Misery					NF
13: Claude	Foreur	Misery					NF
14: Jacques	Foreur	Misery					NF
15: Denis	Foreur	Misery					NF
VOLS D'HYDRAVIONS:			AVARIES MECANQUES :				
TEMPS D'HELICOPTERE: heures			ACCIDENTS:				
VOYAGES DE CAMION:			TEMPS MORT:				
EXPEDITION D'ECHANTILLONS:			AMELIORATIONS A PREVOIR:				
ACHATS:							
MOBILISATION:							
DEMOBILISATION:			AVIS DISCIPLINAIRE:				
FORAGE- # TROU: 10-ML-10006B		De:	A:	VERIFICATION:		IOS Services Géoscientifiques inc.	
BUDGET RESIDUEL:		DÉPENSES:		FACTURATION:			

ANNEXE 2

LOCALISATION ET ÉCHANTILLONNAGE

Table 1 : Description des affleurements

Table 2 : Description des échantillons

AFFLEUREMENT	LITHOLOGIE 2						LITHOLOGIE 3						LITHOLOGIE 4						STRUCTURE 1					
	Lithologie	%	Texture	Minéralogie	Couleur	Altération	Lithologie	%	Texture	Minéralogie	Couleur	Altération	Lithologie	%	Texture	Minéralogie	Couleur	Altération	Type	Direction (*)	Pendage (*)			
7820000																								
7820001																								
7820002																								
7820003																								
7820004																								
7820005																								
7820006																								
7820007																								
7820008																								
7820009																					Diaclase	109	88	
7820010																								
7820011																								
7820012																								
7820013	12C	10	GF/EQ	Fp/Oz/Hb/Bo	GS/GO	Oxydation															Dyke	67	60	
7820015	12C	1	GF/MA/EQ	Fp/Bo	GS/O	Oxydation																Dyke	111	76
7820016	11G	2	PG/EN	Oz/Fp/Bo	S/O																			
7820017	12C	1	GF/EQ	Fp/Oz/Bo	G/O	Oxydation																Dyke	78	90
7820018	12C	5	GF	Fp/Oz/B1	G/O	Oxydation																Dyke	68	60
7820019	12C	5	FG/EQ	Fp/Oz/Bo	G/O	Oxydation																Dyke	315	60
7820020	12C	2	FG/EQ	Fp/Oz/Bo	G/O	Oxydation/silification																Dyke	314	90
7820021	12C	6	FG/EQ	Fp/Oz/Bo	G/O	Oxydation/silification																Dyke	134	85
7820022	12C	10	FG/EQ	Fp/Oz/Bo	GV/GO	Oxydation/silification																Dyke	114	48
7820023	12C	5	FG/EQ	Fp/Oz/Bo	G/O	Oxydation/silification																Dyke	182	55
7820024	12C	10	FG/EQ	Fp/Oz/Bo	G/O	Oxydation/silification																Dyke	321	62
7820025	12C	10	FG/EQ	Fp/Oz/Bo	G/O	Oxydation/silification																Dyke	315	80
7820026	12C	5	FG/EQ	Fp/Oz/Bo	G/O	Oxydation/silification																Dyke	315	80
7820027	12C	5	GF/EQ	Fp/Oz/Bo	G/O	Oxydation																Dyke	115	60
7820028	12C	5	GF/EQ	Fp/Oz/Bo	G/O	Oxydation																		
7820029																								
7820030																								
7820031																								
7820032																								
7820033																								
7820034	12C	5	GM/PO	Fp/Hb/Oz/Mz/Fl??/Ox??	G/O	Oxydation																Dyke	285	
7820035																								
7820036																								
7820037																								
7820038	11G	1	PG/MA	Fp/Oz/Bo	S																			
7820039																								
7820040																								
7820041																								
7820042	12J	40	GF/EQ/MA	Pg/Am	G/O	Oxydation																Contact	135	80
7820043	11G	5	GG/PG	Fp/Oz/Hb/Fl	S/O	Oxydation																Dyke	317	20
7820044																								
7820045	12J	30	GF/EQ	Pg/Am	G/O	Oxydation																		
7820046																								
7820047																								
7820048																								
7820049																								
7820050	12C	40	GF/EQ	Fp/Oz/Hb/Bo	G/O	Oxydation																		
7820051																								
7820052	12C/11F	10	GF/EQ	Fp/Oz/Bo/Hb/Fl	G/O	Oxydation																Dyke	175	50
7820053	12C	30	GF/EQ	Fp/Oz/Hb/Bo	BS/O	Oxydation	11G	10	PG/MA	Fp/Ai/Oz/Bo	S/O											Dyke	110	
7820054	12C	35	GF/EQ	Fp/Oz/Hb/Bo/Fl	BS/O	Oxydation																Dyke	320	
7820055																								
7820056	12C	30	GF/EQ/MA	Fp/Oz/Bo/Hb/	G/O	Oxydation	12D	5	GF/PO	Fp/Bo/Hb	BS/SO	Oxydation	VOz	5	GG/DY	Oz/Mz/blue metallic mineral	GLRJ	Oxydation	Dyke (12D)	145	75			
7820057																								
7820058																								
7820059	12C	2	GF/EQ/MA	Fp/Oz/Bo/Hb	GS/O	Oxydation																Dyke	315	55
7820060																								
7820061																								
7820062																								
7820063																								
7820064																								
7820065																								
7820066																								
7820067	12J	25	GF/PO	Pg/Fk/Hb/Bo	G/O	Oxydation	12C/12D	5	GF/EQ	Fp/Hb/BO-/Oz-	S/O	Oxydation	EOZ	1		Oz					Dyke	145-160	60-70	
7820068	12D	20	GF/EQ	Fp/Hb	GS/GO	Oxydation																		
7820069																								
7820070																								
7820071																								
7820072																								
7820073	11G	10	PG/MA	Fp/Ai/Oz/Bo	BS/O	Oxydation																		
7820074																								
7820075	12H/12J	50	G/O	Pg/Bo/Hb/Fk	G/O																			
7820076																								

AFFLEUREMENT	STRUCTURE 2			STRUCTURE 3			REMARQUES
	Type	Direction (°)	Pendage (°)	Type	Direction (°)	Pendage (°)	
7820000							Outcrop of syenite, magnetic, top of hill, cumulat texture
7820001							Block of syenite with Hb-Mg, centimetric. Near sample # 203596.
7820002							Outcrop of syenite with Hb-Mg, coarsed grain
7820003							Block of quartziferous syenite with rapakivi texture.
7820004							Syenite with 5% Hb. The outcrop it's polished. Non magnetic
7820005							Monzonite with Hb + Oz. Outcrop is very polished. No sample.
7820006							Syenite with Hb, low mag, on top of hill, cumulat texture.
7820007							Sample 205007 taken on outcrop, sample 205008 to 205013 taken on block around the outcrop
7820008							Outcrop of monzonite to monzodiorite with Hb/Bo, top of hill. Lot of boulder around, with cps between 600-800 cps
7820009							Outcrop of monzonite to monzodiorite with Hb/Bo/Mg.
7820010							Block of syenite with Bo (porphyre)/Hb. Porphyric texture. U/Th = 2. Little grain of oxyde (black, vitreous).
7820011							Block of syenite with Bo, rapakivi texture, oxydated, 3m x 2m x 2m, subrounded.
7820012							Outcrop of syenite with Bo, rapakivi texture locally. Outcrop is everywhere on top of the hill. Lot of boulder of I2D with rapakivi texture around.
7820013							Quartziferous syenite with Bo, taken down of hill, very oxyded.
7820014							Dyke of quartziferous syenite (fine grain, aplite texture ???), hosted in rapakivi syenite. Spectro on rapakivi syenite is 4.7 % K, 6.5 ppm U and 39.3 ppm Th.
7820015							Outcrop of rapakivi syenite with Bo, top of hill. Little dyke of fine grain syenite (1-3 cm). Cps max is in syenite dyke.
7820016							"Enclave" of pegmatite hosted in rapakivi syenite with Hb. Outcrop covers 60% of top of the hill. Cps max is in pegmatite. The "enclave" is not really oriented.
7820017							Little dyke of fine grain syenite hosted in rapakivi syenite. The dyke measures 1-2 cm. Cps max is in the dyke. Sample taken in the dyke.
7820018							Dyke cm of fine grain syenite with smoked quartz hosted in rapakivi syenite. Dyke is continue on 10 m. Sample 205024 taken on block around.
7820019							Little dyke of fine grain quartziferous (smoked quartz) syenite hosted in rapakivi syenite. The dyke measures 3-15 cm. Cps max is in the dyke. Sample taken in the dyke. Lot of parallel dyke in this area.
7820020							Little dyke of quartziferous (smoked quartz) syenite (fine grain), silicated, hosted in rapakivi syenite. Sample taken in the dyke.
7820021	Dyke	140	85				Little dyke (1 cm) of quartziferous syenite (smoked quartz), hosted in rapakivi syenite. Lot of dyke parallel. Length = 17 m.
7820022							Dyke of quartzo-syenite hosted in rapakivi syenite. Max cps is in dyke.
7820023	Dyke	118	61				Same dyke system of quartzo-syenite, lot of Bo in rapakivi syenite. Sample #205120 took on RK syenite, duplicata of 203630.
7820024							System of quartzo-syenite dyke hosted in +/- rapakivi syenite. High cps on border of dyke, in rapakivi syenite. Lot of boulder with high cps on surface around.
7820025	Dyke	80	90				Dykes system of quartzo-syenite hosted in +/- rapakivi syenite. 2 family of dykes.
7820026	Dyke	295	80				Outcrop of rapakivi syenite with some little quartzo-syenite dyke.
7820027							Dyke of quartzo-syenite (fine grain, smoked quartz) hosted in rapakivi syenite with Hb/Oz. High cps is in margin of the dyke
7820028							Big boulder (5m x 5m x 5m), maybe outcrop ?? In little valley, between 2 big hill. Little dyke (10-15 cm) of quartzo-syenite on boulder of rapakivi syenite.
7820029							Outcrop of rapakivi syenite on top of hill. A lot of boulder (60-80) between 2 hills of syenite. The boulder (Fp/Oz/Hb/Bo/iron oxyde) are very oxyde, high density, low mag and they have cps between 1000-2000 cps. They form "train" oriented E-W on 1,2 km.
7820030							Block of Feldspathic pyroxenite with Mg, very mag, 2m x 1m x 1m
7820031							Block of Feldspathic pyroxenite with Mg, very mag, 2m x 1m x 1m. In little valley. Very oxyded, dense, smoked quartz.
7820032							Outcrop of rapakivi syenite with biotite, on top of hill. Sample 205230 taken along fracture.
7820033							Outcrop of syenite with Hb/Bo, rapakivi texture, taken down hill.
7820034							Dyke of quartzo-syenite with mega crystal of black mineral (Hb ?) and monazite. Dyke hosted in rapakivi syenite.
7820035							Outcrop of syenite with Hb, magnetite ++ locally, near of lot of sample took last year.
7820036							Outcrop of rapakivi syenite with Bo, lot of cps between 1000-4000 cps around, border of river, down of hills.
7820037							Outcrop of syenite with Bo, mineral with alteration halo and radial fractures.
7820038							Outcrop of syenite with Oz/Bo, rapakivi texture. Presence of enclave or discontinu dyke of pegmatite.
7820039							Field with lot of rapakivi syenite boulder on surface. Cps between 150-300 cps
7820040							Outcrop of rapakivi syenite with Bo/Oz, on top of little hill. Lot of boulder on surface. +/- in train of pyroxenite block (no pyroxenite block on surface).
7820041							Outcrop of rapakivi syenite, background around 250-300 cps. On top of hill.
7820042							Outcrop with contact between rapakivi syenite and gabbrodiorite (dyke ??). No sample.
7820043							Outcrop of gabbrodiorite with pegmatite dyke. Purple mineral (fluorine) in I1G. Sample taken in I1G.
7820044							Outcrop of gabbrodiorite on top of hill. No sample.
7820045							Outcrop with gabbrodiorite dyke hosted in rapakivi syenite. Background around 300-350 cps.
7820046							Outcrop of rapakivi syenite in valley. % of Fp porphyre vary locally.
7820047							Outcrop of syenite with Bo (phenocrystal).
7820048							Outcrop of rapakivi syenite with Bo, on top of hill.
7820049							Outcrop of rapakivi syenite, on top of hill.
7820050							Outcrop with I2D and I2C. Impossible to measure contact. On top of hill.
7820051							Outcrop of rapakivi syenite with Bo. Many cps between 1000-2500. Background = 400 cps.
7820052							Quartzo-syenite (Aplite ?) dyke hosted in rapakivi syenite. Smoked Oz and Fluorine in dyke. Sample taken in dyke.
7820053	Dyke	320					Outcrop with pegmatite dyke (10-60% amazonite) hosted in quartzo syenite dyke (3-8 m) hosted in rapakivi syenite. High cps in quartzo-syenite. On top of hill.
7820054							Outcrop of I2D with I2C dyke. Cps between 500-2000 in I2C dyke.
7820055							Outcrop of rapakivi syenite with Bo/Hb/Oz, in valley, border of creek.
7820056	VOz	315	90				Outcrop of rapakivi syenite with quartzo-syenite dyke. Dyke of fine grain syenite with porphyre of Bo and Oz vein with very high cps (5000-13500).
7820057							Outcrop of rapakivi syenite, down of hill.
7820058							Outcrop of rapakivi syenite, down of hill.
7820059							Little dyke of quartzo-syenite hosted in rapakivi syenite. Sampled on outcrop.
7820060							Outcrop of rapakivi syenite, down of hill. Smoked quartz in matrix
7820061							Outcrop of RK I2D. On little hill.
7820062							Outcrop I2D RK phenocrystal of Bo. On top of hill. Lot of cps between 600-1000 around.
7820063							Outcrop of rapakivi syenite, on top of hill.
7820064							Outcrop of I2D RK with Bo+fluorine, on the side of the hill.
7820065							Outcrop of I2D RK with Bo, on the top of the hill.
7820066							Outcrop of I2D RK with Bo with dyke of quartzo-syenite (600-700 cps).
7820067	Dyke	145-160	60-70				Alternance of RK I2D band with I2J band (fine grain of Pg/Hb with porphyre of Fk). Little dyke of fine grain I2D/I2C (Oz--). Presence of metric Oz enclave.
7820068							Enclave of syenite with Hb hosted in RK I2D.
7820069							Outcrop of RK I2D. On little hill.
7820070							Outcrop of RK I2D. On top of hill.
7820071							Outcrop of I2D with rapakivi texture.
7820072							Outcrop of I2D, between 2 hills. Fluorine locally. Many spot between 600-2000 cps.
7820073							Dykes (10-30 cm) of I1G with amazonite hosted in I2D RK. Cps in dyke around 300 cps, 400-500 in I2D. 205395 took in I1G dyke.
7820074							Monzodiorite porphyric. Matrix, Pg/Bo/Hb fine grains with Fk porphyre.
7820075							Outcrop of RK I2D and monzodiorite porphyric (Fk porphyres). Samples took in each rock.
7820076							Outcrop of RK I2D.

AFFLEUREMENT	LITHOLOGIE 2						LITHOLOGIE 3						LITHOLOGIE 4						STRUCTURE 1			
	Lithologie	%	Texture	Minéralogie	Couleur	Altération	Lithologie	%	Texture	Minéralogie	Couleur	Altération	Lithologie	%	Texture	Minéralogie	Couleur	Altération	Type	Direction (°)	Pendage (°)	
7820077																						
7820078																						
7820079																						
7820080																						
7820081	I1G/Voz	15	GM/EQ	Fp/Oz/Mz/Hb/Zc/Blue metallic mineral	G/O	Oxydation	I3K	15	GM/EQ	Hb/Pg/OI/Zc	N/V								Dyke	180	70	
7820082																						
7820083																						
7820084																						
7820085	I2C	15	G/O	Fp/Oz/Hb/Bo	G/O																	
7820086																						
7820087																						
7820088																						
7820089																						
7820090																						
7820091																						
7820092																						
7820093	I2I	30	GF/EO	Fp/Hb/Oz/Mg	G/O																	
7820100	I2C	100	GG/GM	Fid/Mg/HB/sulfide Tr	GV	GO																
7820101																						
7820102																						
7820103																						
7820104																						
7820105																						
7820106																						
7820107	I2C	15	GF/D	Fp/Mg/Hb/Oz	G7/O	Oxydation														Diacase	245	25
7820108			GG			Oxydation																
7820109	I2C	5	GF	Fp/Mg/Hb/Oz	BR															Dyke	190	90
7820110	I2C	10	GF/GM	FpMg/Hb/tz	RB/GB	Oxydation														Dyke	235	90
7820111						Oxydation																
7820112	I2C	1	GF	Fp/Oz/Hb/Mg	B	Oxydation														Dyke	245	90
7820113	I2C	3	GF	Fp/Oz/Hb/Mg	GV/G															Dyke	245	90
7820114	I2C	5	GF	Fp/Oz/Hb/Mg	BG/G	Oxydation														Dyke	270	90
7820115																						
7820116	I2C	1	GF	Fp/Oz/Hb/Mg	B/G															Dyke	125	90
7820117																						
7820118	I2C	5	GF	Fp/Oz/Hb/Mg	B7/G	Oxydation																
7820119	I2C	5	GF	Fp/Oz/Hb/Mg	B7/G	Oxydation																
7820120	I2C		GF	Fp/Oz/Hb	B/G	Oxydation														Dyke	125	90
7820121	I2C		MG	Fp/Oz/Hb/Bo	B/G	Oxydation																
7820122	I2C	1	FG	Fp/Oz/Hb	B/G	Oxydation														Dyke	130	
7820123	I2C		FG	Fp/Oz/Hb	B/G	Oxydation																
7820124	I2C	10	FG	Fp/Oz/Hb	B/G	Oxydation														Dyke	130	90
7820125																						
7820126	I2C	2	FG	Fp/Oz	BV	Oxidized														Dyke	230	90
7820127	I2C	5	FG	Fp/Oz/Mg	B/GO	Oxidized														Dyke	130	30
7820128	I2C	5	FG	Fp/Oz/Mg	R/G	Oxidized																
7820129	I2C	5	FG	Fp/Oz/Mg	B/GO	Oxidized														Dyke	280	
7820130	I2C	30	FG	Fp/Oz/Mg	GV/G	Oxidized														Dyke	130	85
7820131	I2C	2	FG	Fp/Oz/Mg	BV/G	Oxidized														Dyke	110	30
7820132	I2C																					
7820133	I2C	15	MG/FG	Fp/Oz/Mg	S/GO	Oxidized														Dyke	105	30
7820134	I2C	10	MG/FG	Fp/Oz/Hb/Mg	B/G	Oxidized														Dyke	350	30
7820135																						
7820136	I2C	2	FG	Fp/Oz/Hb/Mg	BS/G	Oxidized														Dyke	100	85
7820137	I2C	5	FG	Fp/Oz/Hb/Mg	BS/G	Oxidized														Dyke	110	80
7820138																						
7820139																						
7820140	I2C	40	FG	Fp/Oz/Hb/Mg/Zircon	BS/G	Oxidized														Dyke	95	90
7820141	I2C	80	FG	Fp/Oz/Hb/Mg	BS/G	Oxidized														Dyke	100	90
7820142																						
7820143																						
7820144	I2C	5	FG	Fp/Oz/Hb/Mg	B/G	Oxidized														Dyke	115	30
7820145	I2C	5	FG	Fp/Oz/Hb/Mg	B/G	Oxidized														Dyke	135	85
7820146																						

AFFLEUREMENT	STRUCTURE 2			STRUCTURE 3			REMARQUES
	Type	Direction (°)	Pendage (°)	Type	Direction (°)	Pendage (°)	
7820077							Boulder of pink syenite with Hb/Bo, surrounded, 1m x 1m x 1m, lot of same boulder around (500-1000 cps)
7820078							Outcrop of RK 12D on top of hill, lot of patch of same rock around.
7820079							Outcrop of 12D RK with smoked Oz. Lot of pink syenite (500-1000 cps) around.
7820080							Outcrop of 12D RK with magnetite ++ (band or enclave), on top of hill.
7820081	Dyke	180/320	70				11G/VnOz with Mz/blue metallic mineral and Zc, hosted in 12D, near of gabro with olivine. Sample 205459 took in 11G/VnOz
7820082							Metric block of monzonite with Hb (3m x 3m x 3m)
7820083							Outcrop of syenite (RK)
7820084							Outcrop of 12D RK, on top of hill.
7820085							Outcrop of 12D RK with quartz-syenite dyke. Dyke = 500-1500 cps, non oriented.
7820086							Outcrop (cliff) of 12D RK
7820087							Block of 12D
7820088							Outcrop of 12D, near radar base on top of an hill
7820089							Outcrop of 12D, RK, took on side of hill, smoked Oz
7820090							Outcrop of 12D with 25m band (CPS between 1000-7500), 1-2% Fl, smoked Oz, sample are oriented at 140 degrees north
7820091							Outcrop of 12D RK, down of hill, 1-2% Fl, smoked Oz
7820092							Outcrop of 12D RK, 2% Fl, smoked Oz
7820093							Outcrop of 12D Rk with Hb, smoked Oz, on top of the hill
7820100							Syenite at coarsed grain with cumulat texture, Mg is variable in %. Ferro-magnesian like Bte/Hb as been observed on low %. The average cps is 600 and de max. is 1250 with a U/Th ratio of 1/2.1, sample taken.
7820101							Oxided syenite coarsed grain at magnetite with U/TH of 1/1.
7820102							Syenite at magnetite/hornblend with oxidized surface and cumulat texture. Coarsed grain, U/TH ratio of 5/1, sample 205029.
7820103							Outcrop of coarsed grain syenite with less % of magnetite.Cumulat texture. Sample 205031
7820104							Metric boulder with rapakivi texture. Mg ++.
7820105							Boulder of monzonite at hornblend.
7820106							Block of quartziferous monzonite at amphibolite.
7820107	Diaclase	330	85	Diaclase	250	80	Outcrop of quartziferous monzonite, coarsed grain, rapakivi texture, no mag, Presence syenite?, fined grain, altered, defined dyke or diaclase système (1-2 m of width, 35 m of length). The background structure are 500-700 with max to 1200 cps, the ratio U/TH is 1/10. See the shema on the back of descriptive sheet and picture.
7820108							Outcrop of syenite at Bte, Decimetric anomalic area.
7820109							Outcrop of syenite with cps between 250-400. Rapakivi texture. Presence of no sharp contact's dyke (12D fined grain). Gradation in the mineral composition (Fp-Fm) of the matrix with the host rock. 30-40 cm with, 2-4 m length. See the shema on the back of descriptive sheet and picture.
7820110							Outcrop of syenite with cps between 350-500. Rapakivi texture. Many little XXXXXXXX fined grain dyke, 240N, 10-40 cm of width, continu at discontinu on 30 meters. They have a background around 500-700cps, you find frequently a max around 2000cps and one 7000 cps. Magnetite layers on sample No, 205041. 4 samples taken in this small dyke. See the shema on the back of descriptive sheet and picture.
7820111							Block of 12D oxidized in center of desaggregate metric block.
7820112							Outcrop of syenite, rapakivi texture. Presence of some decimetric syenite fined grain dyke (300-450 cps), one anomalic zone with 4500 cps max.
7820113							Outcrop of syenite, rapakivi texture. Presence of some decimetric syenite fined grain dyke (10 cm width, continu or discontinu on 5-7m), (500-750 cps), locally, presence of anomalic zone with 1000-2000 cps max.
7820114							Outcrop of syenite, rapakivi texture. Dyke of fined grain syenite (1-5m of width, 10 m length), 750cps generally and some decimetric-metric zone between 1000-1200 cps max.
7820115							Outcrop of syenite, rapakivi texture. Presence of some decimetric syenite fined grain dyke (10 cm width, continu or discontinu on 2-3m), (500-750 cps). Locally, presence of anomalic zone with 1000-2000 cps max. This zone have green alteration (Ep+++ or Ch), mg++.
7820116	Dyke	90	90	Dyke	160	90	Outcrop of syenite, rapakivi texture. Presence of some decimetric syenite fined grain dyke (10-30 cm width, continu or discontinu on 2-25m), (400-750cps). Locally, presence of anomalic zone with 1000-1200 cps max. This zone have green alteration (Ep+++ or Ch), mg++, smoked quartz.
7820117							Outcrop of syenite homogeneous.
7820118							12D (GF) in 12D (CG) boulder. Presence of many block like this around.
7820119							12D (FG) in 12D (CG) boulder. Presence of many block like this around.
7820120	Dyke	245	90				Outcrop of syenite, rapakivi texture. Présence of some decimetric syenite fined grain dyke (10cm to 2-3 m width, continu or discontinu on 2-25m length, in 2 orientation (approximaty 245N and 125N), (400-750cps). Locally, anomalic zone with 1000-2000 cps max, generally decimetric. This zone has green alteration (Ep+++ or Ch), mg++, smoked quartz. One zone has 30-40 cm width, 4-5 m length. This anomalic zone has a variation between 2000-3000 cps of background with small smoked quartziferous vein (3-5 cm width, 30cm length), 5000-7000 cps value.
7820121							Outcrop of syenite (CG) with small anomalic zone (MG).
7820122							Outcrop of syenite (CG) with small dyke near of source.
7820123							Outcrop of syenite (CG) homogeneous, for representation.
7820124							Outcrop of syenite, rapakivi texture. Présence of some decimetric quartziferous syenite fined grain dyke with background around 650 cps. Some dm zone at 1000-1500 cps.
7820125							Outcrop of syenite, rapakivi texture. Small anomalic dm zone with 2500 cps max.
7820126							Outcrop of syenite, rapakivi texture. Présence of decimetric quartziferous syenite fined grain dyke (350-400 cps). Assay no stabilised.
7820127	Dyke	180					Outcrop of syenite, rapakivi texture. Présence of decimetric quartziferous syenite fined grain dyke (400-800 cps). Assay no stabilised.
7820128							Outcrop of syenite, rapakivi texture. Présence of decimetric quartziferous syenite fined grain dyke (350-400 cps).
7820129							Outcrop of syenite, rapakivi texture. Présence of decimetric quartziferous syenite fined grain dyke (500-700 cps).
7820130							Outcrop of syenite, rapakivi texture. Présence of metric quartziferous syenite fined grain dyke (500-700 cps).
7820131							Outcrop of syenite, rapakivi texture. Présence of some centimetric quartziferous syenite fined/medium grain dyke (1000-10000(wall effect) cps), followed on 25 m discontinu.
7820132							Block of 12C mag ++. Assay no stab
7820133							Outcrop of syenite, rapakivi texture. Présence of some cm at dm quartziferous syenite fined/medium grain dyke (1000-2800cps), followed on 25 m discontinu.
7820134							Outcrop of syenite, rapakivi texture. Présence of some dm at métric quartziferous syenite fined/medium grain dyke (500-800cps), followed on 25 m discontinu.
7820135							Outcrop of syenite (CG) homogeneous, for representation.
7820136							Outcrop of syenite, rapakivi texture. Présence of some cm quartziferous syenite fined/medium grain dyke (1000-6500cps, zone dm).
7820137							Outcrop of syenite, rapakivi texture. Présence of some cm/dm quartziferous syenite fined/medium grain dyke (500-2200cps, zone dm).
7820138							Outcrop of syenite (CG) homogeneous, for representation.
7820139							Outcrop of syenite (CG) homogeneous, for representation.
7820140							Outcrop of syenite, rapakivi texture. Présence of métric quartziferous syenite fined/medium grain dyke (500-17000cps), followed on 20m by 2m of width discontinu (anomalic zone too). The 205195 sample have 50 % and more of zircon, Mg +++.
7820141							Outcrop of syenite, rapakivi texture. Présence of some dm at métric quartziferous syenite fined/medium grain dyke (500-4000cps), anomalic zone followed on 10 m discontinu.
7820142							Outcrop of syenite (CG) homogeneous.
7820143							Outcrop of syenite (CG) homogeneous.
7820144							Outcrop of syenite, rapakivi texture. Présence of métric quartziferous syenite fined/medium grain dyke (500-12000cps), the high zone is dm and the outcrop may be insitu.
7820145							outcrop of syenite, Rapakivi texture. Présence of some cm at dm quartziferous syenite fined/medium grain dyke (900-2000cps), followed on 10 m discontinu.
7820146							Outcrop of syenite (CG) homogeneous, for representation.

AFFLEUREMENT	LITHOLOGIE 2						LITHOLOGIE 3						LITHOLOGIE 4						STRUCTURE 1			
	Lithologie	%	Texture	Minéralogie	Couleur	Altération	Lithologie	%	Texture	Minéralogie	Couleur	Altération	Lithologie	%	Texture	Minéralogie	Couleur	Altération	Type	Direction (*)	Pendage (*)	
78201047	I2C	1	FG	Fp/Oz/Hb	B/G	Oxidated													Dyke	135	20	
78201048	I2C	1	FG	Fp/Oz/Hb	B/G	Oxidated																
78201049																						
78201050																						
78201051																						
78201052	I2D	30	C/G	Fp/Oz/Hb	B/S/G		I1G	5	C/G	Fp/Oz	B/G								Dyke	190	10	
78201053	I2J	64	F/M G	Fp/Bo/Hb	B/S/G	oxidated	I1G	5	C/G	Fp/Oz	B/G	I2F	2	A/F G	Fp/Oz	S	Oxydation	Dyke	335	80		
78201054	I2J	30	F/M G	Fp/Bo/Hb/Oz	B/S/G	Oxydation												Dyke	335	65		
78201055	I2J	1	C/G	Fp/Bo/Hb/Oz	B/S/G	Oxydation												Fracture	180	15		
78201056	I2C	5	F/M G	Fp/Bo/Hb/Oz	B/S/G	Oxydation												Dyke	200	15		
78201057	I2C	1	F/M G	Fp/Hb/Oz	B/S/G	Oxydation												Dyke	270	7		
78201058																						
78201059																						
78201060	I2C	2	F/M G	Fp/Bo/Hb/Oz/FL+++	B/S/G	Oxydation												Dyke	305	85		
78201061	I2J	3	F/M G	Fp/Hb/Oz	S/G	oxidated												Dyke	115			
78201062																						
78201063	I2C	5	F/M G	Fp/Hb/Oz	B/G	oxidated												Dyke	130			
78201064	I2C	5	F/M G	Fp/Hb/Oz/Bo	B/G	oxidated												Dyke	180			
78201065	I2C	2	F/M G	Fp/Hb/Oz/Bo	B/G	oxidated																
78201066																						
78201067																						
78201068																						
78201069	I2C	2	F/M G	Fp/Hb/Oz/Bo	B/G	oxidated												Dyke	120	80		
78201070																						
78201071																						
78201072	I2D	20	F/M/C/G	Fp/Hb/Oz	B/G		I1G	5	C/G	Fp/Oz	B/G											
78201073																						
78201074																						
78201075	I2D	13	F/M/C/G	Fp/Hb/Oz	B/G		I1G	2	C/G	Fp/Oz	B/G											
78201076																						
78201077																						
78201078	I2C	10	F/M/G	Fp/Hb/Oz/Bo	B/G													Dyke	280	30		
78201079																						
78201080																						
78201081																						
78201082																						
78201083																						
78201084																						
78201085																						
78201086																						
78201087																						
78201088																						
78201089																						
78201090																						
78201091																						
78201092																						
78201093	I2C	2	F/M G	Fp/Hb/Oz/Bo	B/G																	
78201094																						
78201095	I2D	3	M/C G	Fp/Hb/Oz/Bo	B/G													Dyke	235	90		
78201096																						
78201097																						
78201098																						
78201099																						
78201100	I2J	50	F/M G	Fp/Hb/Oz/Bo	B/S/G																	
78201101																						
78201102																						
78201103																						
78201104	I3K-HB	5	M/G/D	Hb/Pg/Mg/Ol/Zr	VN/E													Dyke	180	75		
78201105	I2H	20	F/M G	Hb/Pg/Mg/Zr	VN/E													Dyke	200	84		
78201106																		Dyke				
78201107																						
78201108																						
78201109																						
78201110																						
78201111																						
78201112																						
78201113																						
78201114	I2G	10	F/M G	Fp/Pg/Oz/Bo	G7/B													Dyke	145	90		
78201115	I2D	2	F/M G	Fp/Hb/Oz/Bo	Bs/G		I	1	M/G	Bo/Fp/Mg	Oxydation							Dyke	75	70		
78201116																						
78201117	I2G	5	F/M G	Fp/Pg/Oz/Bo	V7/GE																	
78201118																						
78201119																						
78201120																		Dyke	130	50		
78201121																						
78201122																		Fracture	255	80		

AFFLEUREMENT	STRUCTURE 2			STRUCTURE 3			REMARQUES
	Type	Direction (*)	Pendage (*)	Type	Direction (*)	Pendage (*)	
78201047							Outcrop of syenite, rapakivic texture. Presence of some cm at dm quartziferous syenite fined/medium grain dyke (900-1200(dm)cps), insitu.
78201048							Outcrop of syenite (CG) homogeneous, for representation.
78201049							Outcrop of syenite (CG) homogeneous, for representation.
78201050							Outcrop of syenite (CG) homogeneous, for representation.
78201051							Outcrop of granite (MG) homogeneous, no mag.
78201052	F	25	70	Dyke	50	?	outcrop composed of I2J/I2D, transitional zone with % variation of porphyric feld (cm). I1G in I2J as been observed. The background of this 2 lithologies (I2J/I2D) turn around 200-350 cps. The pegmatite (dm) is anomalic, 300-700 cps, with max between 1000-7500 cps. The anomalic zone are decimetric. The proximal I2J is very enriched in Bo. the ratio U/Th is variable between 1/2 and 1/25. See picture.
78201053							outcrop composed of I2J/I2D, transitional zone with % variation of porphyric feld (cm). I1G in I2J as been observed. The background of this 2 lithologies (I2J/I2D) turn around 200-350 cps. The pegmatite (dm) is anomalic, 300-700 cps. Some small patchy of I2F as been observed, 400-900 cps of background.
78201054	Fracture	155	75				Outcrop of syenite, rapakivic texture. Presence of metric quartziferous syenite fine/medium grain dyke (500-3000cps), the high zone is dm on 2-20 m on length, discontinu.
78201055							Outcrop of syenite (CG) homogeneous with small dyke (10 cm) of syenite (CG), enriched on Sm Oz, followed on 20 m discon. 600-900 cps with max around 1000-3000 dm.
78201056							Outcrop of syenite, rapakivic texture, (CG) homogeneous with small dyke (10 to 30 cm) of syenite (CG), enriched on Sm Oz, followed on 7-8 m continu, 3000-4000 cps of background homo. One small other anomalic dyke (cm), on 2 m, 1000-5500 cps. Presence of I2D block composed by pegmatite dyke (cm) with amazonite mineral.
78201057							Outcrop of syenite (CG) homogeneous with one small dyke of I2C for representation.
78201058							Outcrop of syenite (CG) homogeneous, for representation.
78201059							Outcrop of syenite (CG) homogeneous, with small anomalic enriched Qtz zone, 1200 cps.
78201060							Outcrop of syenite (CG) homogeneous, with small enriched Qtz dyke (cm) anomalic with fluorine, 700-1000/4000(dm) cps.
78201061							Outcrop of syenite, rapakivic texture. Presence of some cm/dm quartziferous syenite fined/medium grain dyke (500-900 cps, zone dm).
78201062							Outcrop of syenite (CG) homogeneous, for representation.
78201063							Outcrop of syenite, rapakivic texture. Presence of some cm quartziferous syenite coarsed grain dyke (500-1200cps, zone dm).
78201064							Outcrop of syenite, rapakivic texture. Presence of some cm quartziferous syenite coarsed grain dyke (800-1300cps, zone dm).
78201065							Outcrop of syenite, rapakivic texture. Presence of some cm/dm quartziferous syenite coarsed grain dyke (500-900)cps, zone dm). Metric block with quartziferous cm vein. 1000 to 3800 cps.
78201066							Outcrop of granite (MG) homogeneous, no mag.
78201067							Outcrop of granite (MG) homogeneous, no mag.
78201068							Outcrop of granite (MG) homogeneous, no mag.
78201069							Outcrop of granite (MG) homogeneous, no mag. Presence of one small I2C dyke (dm by 2 m) composed by mm Sm Oz vein. Anomalic, around 800 to 1400 cps.
78201070							Outcrop of granite (MG) homogeneous, no mag.
78201071							Outcrop of granite (MG) homogeneous, no mag.
78201072							outcrop composed of I2J/I2D, transitional zone with % variation of porphyric feld (cm). I1G in I2J as been observed. The background of this 2 lithologies (I2J/I2D) turn around 200-350 cps. The pegmatite (dm) is anomalic, 300-700 cps, 1000-1300 cps max dm.
78201073							Out crop of grandodiorite (CG) homogeneous, for representation.
78201074							Out crop of syenite (CG) homogeneous, for representation.
78201075							outcrop composed of I2J/I2D, transitional zone with % variation of porphyric feld (cm). I1G in I2J as been observed. The background of this 2 lithologies (I2J/I2D) turn around 200-350 cps. The pegmatite (dm) is anomalic, 300-700 cps, 1000-1200 cps max dm.
78201076							Block of I2C.
78201077							Outcrop of syenite (CG) homogeneous, for representation.
78201078							Outcrop of syenite, rapakivic texture. Presence of metric quartziferous syenite fine/medium grain dyke (500-900)cps, zone dm). Obervation of small dyke cm in I2C dyke rich in Bo/FI, anomal, 1000-4000 dm.
78201079							Outcrop of syenite (MG) homogeneous, no mag.
78201080							Outcrop of syenite (MG) homogeneous, no mag.
78201081							Outcrop of syenite (MG) homogeneous, no mag.
78201082							Outcrop of syenite (MG) homogeneous, no mag.
78201083							Outcrop of syenite (MG) homogeneous, no mag.
78201084							Outcrop of syenite (MG) homogeneous, no mag.
78201085							Outcrop of syenite (MG) homogeneous, no mag.
78201086							Outcrop of syenite (MG) homogeneous, no mag.
78201087							Outcrop of syenite (MG) homogeneous, no mag.
78201088							Outcrop of syenite (MG) homogeneous, no mag.
78201089							Outcrop of syenite (MG) homogeneous, no mag.
78201090							Outcrop of syenite (MG) homogeneous, no mag.
78201091							Outcrop of syenite (MG) homogeneous, no mag.
78201092							Outcrop of syenite (CG) homogeneous, with small enriched Bo zone (1.5m) anomal, 3800 cps(dm).
78201093							Outcrop of syenite (MG) homogeneous, no mag. Presence of I2C Dyke (1-20 m), 600-800 cps.
78201094							Block of I2C.
78201095							Outcrop of syenite (MG) homogeneous, no mag. Presence of I2D Dyke (30cm/1-5 m), Bo+++ 600-800 cps.
78201096							Block of I2C.
78201097							Block of I2C.
78201098							Outcrop of syenite (MG) homogeneous, no mag.
78201099							Outcrop of syenite (MG) homogeneous, no mag.
78201100							Outcrop of syenite (MG) homogeneous, no mag, with I2J, less mag, 400-500 cps of background.
78201101							Monzodiorite (porphyric Feld), homo., lessly mag.
78201102							Block of I2D.
78201103							Monzodiorite (porphyric Feld), homo., lessly mag.
78201104	Dyke	320					Outcrop of Syenite (MG) homogeneous, no mag, 350-400 cps with I3K-Hb++ dyke, mag, 300-400 cps. Dm zone on border of I3K dyke is anomalic, 3000-5000 cps.
78201105							Outcrop of Syenite (MG) homogeneous, no mag, 350-400 cps with small I2H dyke, Mg+++ in dm fracture systeme. Dm anomalic patchies, 1300-3000 cps max.
78201106							Outcrop or insitu with back ground around 600-700 cps, some pick at 1000-1200 cps.
78201107							Block of I1B anomal. Lessly mag.
78201108							Outcrop of syenite (FM/G) homogeneous, no mag.
78201109							Outcrop of syenite (CG/RK) very homogeneous, mag.
78201110							Outcrop of syenite (CG/RK) very homogeneous, mag.
78201111							Outcrop of syenite (MA/CG/RK) very homogeneous, low mag.
78201112							Outcrop of syenite (GG/RK) very homogeneous, on top of hill.
78201113							Outcrop of I2H, homogeneous, (MG).
78201114							Outcrop of syenite (MG) homogeneous, no mag. Presence of I2G Dyke (30cm/2 m), 800-2800 cps.
78201115							Outcrop of syenite (MG) homogeneous, no mag. Presence of I2D Dyke (10cm/2 m) associated at anomal enriched mafic (Bo+++) dyke, 800-2000 cps.
78201116							Outcrop of syenite (FM/G) homogeneous, no mag.
78201117							Block of I2D with I2G dyke (10cm), anomal around 700-800 cps.
78201118							Block of I4B anomal.
78201119							Outcrop of syenite (FM/G) homogeneous, no mag.
78201120							Outcrop of syenite (MG) homogeneous, no mag. Presence of I2D Dyke (30cm/1-2 m), 1000-1400 cps, dm.
78201121							Outcrop of syenite (FM/G) homogeneous, no mag. Dm anomalic patchy, 400-1800 cps.
78201122							Outcrop of syenite (FM/G) homogeneous, no mag. Dm anomalic patchy, 400-4300 cps.

AFFLEUREMENT	LITHOLOGIE 2						LITHOLOGIE 3						LITHOLOGIE 4						STRUCTURE 1				
	Lithologie	%	Texture	Minéralogie	Couleur	Altération	Lithologie	%	Texture	Minéralogie	Couleur	Altération	Lithologie	%	Texture	Minéralogie	Couleur	Altération	Type	Direction (*)	Pendage (*)		
78201123																							
78201124																							
78201125																							
78201126																							
78201127																							
78201128																							
78201129	I2C	5	FG	Fp/Oz/Hb/Pg/Bo/FI	BS/G															Dyke	250	90	
78201130	I2J	15	FG	Pg/Bo/Mg/?(tr)	V/G															Dyke	0	90	
78201131	I2E	40	FG	Fp/Oz/Bo/Hb/Mz/FI	GV/UO															Dyke	0	90	
78201132																							
78202000																							
78202001																							
78202002																							
78202003																							
78202004																							
78202005																							
78202006																							
78202007																							
78202008																							
78202009																							
78202010																							
78202011																							
78202012																							
78202013																							
78202014																							
78202015	I2C	5	GM/MA	Fp/Bo/Oz	GS/E	Oxydation														Dyke	280	90	
78202016	I2C	3	GM/MA	Fp/Oz/Mg	GS/U	Oxydation																	
78202017																							
78202018	I2C	10	GM/MA	Fp/Oz/Hb/Mg	GV/GO	Oxydation														Dyke	106	90	
78202019																							
78202020																							
78202021	I2C	11	GM/MA	Fp/Oz/Mg/Hb	G5/O	Oxydation																	
78202022																					Diadase	305	89
78202023	I2C	5	GF/MA	Fp/Oz/Mg	GV/O	Oxydation														Dyke	112	90	
78202024																							
78202025	I2C	2	GM/MA	Fp/Oz/Mg	GV/O	Oxydation														Dyke	115	90	
78202026	I2C	5	GM/MA	Fp/Oz/Mg	GV/GO	Oxydation														Dyke	185	74	
78202027																							
78202028	I2C	2	GF/MA	Fp/Oz/Mg	G2/GN	Oxydation	I2C	1	GM/MA	Fp/Oz/Mg	G2/GO	Oxydation							Dyke	176	90		
78202029	I2C	10	GM/MA	Fp/Oz/Bo/Mg	GV/GE	Oxydation																	
78202030	I2D	90	CG/MA/RK	Fk/Pg/Oz/Bo	GS/O	Oxydation	I2C	5	GM/MA	Fp/Oz/Bo/Mg	GV/O	Oxydation							Dyke	10	73		
78202031																							
78202032	I2C	2	GM/MA	Fp/Oz/Hb	G3/GN	Oxydation														Dyke	358	75	
78202033																							
78202034																							
78202035																							
78202036	I2C	2	GM/MA	Fp/Oz/Bo/Mg	GV/GO	Oxydation														Fracture	158	25	
78202037																				Fracture	315	86	
78202038																							
78202039																							
78202040	I2D	11	CG/MA/RK	Fk/Oz/Pg/Hb	GS/G3	Oxydation														Fracture	296	90	
78202041	I2C	4	GF/MA	Fp/Oz/Hb/Mg	GV/GN	Oxydation														Dyke	175	90	
78202042																							
78202043	I1B	11	CG/MA	Fp/Oz/Bo		Oxydation														fracture	276	72	
78202044																							
78202045	I2C	2	GM/MA	Fp/Oz/Bo	GV/GE	Oxydation														Dyke	104	45	
78202046																							
78202047																				Fracture	234	51	
78202048																				Fracture	262	58	
78202049																				Fracture	335	90	
78202050																							
78202051	EN Mg	5	GM/MA	Mg	GN/NE	Oxydation																	
78202052																							
78202053																				Fault	333	86	
78202054																							
78202055																							
78202056																							
78202057																							
78202058	I2J	5	GF/MA	Pg/Oz/Fk/Bo	G2/G3	Oxydation														Fracture	129	90	
78202059	I2J	11	GF/MA	Pg/Oz/Fk/Bo	G2/G3	Oxydation														Dyke	50	78	

AFFLEUREMENT	STRUCTURE 2			STRUCTURE 3			REMARQUES
	Type	Direction (*)	Pendage (*)	Type	Direction (*)	Pendage (*)	
78201123							Outcrop of I2D homogeneous, small dm patchy anomaly zone (1500 CPS max)
78201124							Outcrop of I2D homogeneous with dm enriched patchy (Bo+++)
78201125							Outcrop of syenite (F/M/G) homogeneous, no mag, Dm anomaly patchy, 400-1200 cps, on insitu Block
78201126							Block of I2D
78201127							Outcrop of I2D, homogeneous (GG/RK)
78201128							Outcrop of I2D, homogeneous, block insitu, (GG)
78201129							Outcrop of I2D, homogeneous (CG/RK), with small metric I2C dyke (700-950 Cps, FG)
78201130							Outcrop of I2D, homogeneous (CG), with small decimetric I2J dyke (700-3000 Cps)
78201131							Metric angular blocs (insitu) of I2D (CG/RK) with metric dyke of I2E (2000-9000 Cps)
78201132							Block of I2J
78202000							Outcrop of syenite with coarse grained feldspaths situated on the top of a hill. The hornblende and magnetite are interstitials
78202001							Boulder of syenite non magnetic with hornblende taken at the bottom of a slope.
78202002							Boulder of syenite with some quartz and hornblende. This boulder is non magnetic and is situated at the bottom of a hill. It is massive.
78202003							Granite boulder with quartz and hornblende situated at the bottom of a slope. There is a local presence of fluorine mineral and radiation trace around inclusion. The boulder isn't magnetic.
78202004							Syenite boulder with quartz and hornblende situated on the slope of a hill and is non magnetic. The boulder is massive with coarse grains.
78202005							Monzonite outcrop with hornblende situated on the slope of a hill. The outcrop is non magnetic and massive.
78202006							Monzonite outcrop situated on top of a hill. It is highly magnetised. The magnetite is interstitial between feldspathic porphyres. These are coarse grained.
78202007							Monzonite outcrop with a lot of magnetite. The outcrop is situated on the slope of a hill. Oxidized rock.
78202008							Monzonite outcrop with hornblende, quartz and magnetite. The outcrop is on top of a hill.
78202009							Monzonite boulder with Bo situated on top of a small hill. The boulder is not magnetic but there is a presence of fluorine traces. The boulder is coarse grained.
78202010							Boulder situated on top of a hill. Alkaline feldspaths are in rings of the magnetite.
78202011							Syenite outcrop on top of a hill. This outcrop has 0-5% Mg. The background is 250-350 cps but there is some local highs at 750-1200 cps. The outcrop is composed of coarse grained minerals.
78202012							Granite boulder situated on the slope of a hill. The background is 150 cps. The grains are medium sized and equigranulars
78202013							Quartziferous syenite outcrop situated on top of a hill with magnetite and hornblende. Highly oxidized. The background is 300 cps but there are local maximums up to 1600-3300 cps. Presence of smoked quartz.
78202014							Monzonite outcrop situated on slope of a hill. Outcrop is magnetic. Presence of smoked quartz.
78202015							Syenite outcrop crossed by less seized grain quartziferous syenite dykes in stockwerk. These dykes are highly oxidized. The outcrop is situated in the bottom of a big hill.
78202016							Syenite outcrop on slope of a hill crossed by a quartziferous syenite dyke of 260/90 orientation. The contact is clear and a sample has been taken in the contact. The quartz in the dyke is smoked.
78202017							Quartziferous syenite outcrop situated on top of a hill with smoked quartz and magnetite. Samples taken are more oxidized than the rest of the outcrop. Rapakivitic texture.
78202018	Dyke	130	90				Syenite outcrop on top of a hill. The outcrop is crossed by quartziferous syenite dykes 106/90 or 130/90. The background is 250-300 cps but there is local highs up to 2000 cps. Magnetite is present of 0 to 15 %.
78202019							The dykes with smoked quartz are up to 1000 cps.
78202020							Syenite outcrop with Bo and Oz situated on slope of a hill. Syenite is with rapakivitic texture and is coarse grain sized. The outcrop is not magnetic.
78202021							Syenite outcrop with Rk texture in the bottom of a hill. The outcrop is a little magnetic and is coarse grained.
78202022	Diaclase	34	89				Syenite outcrop on top of a hill with Rk texture. The background is 150-200 cps and the maximum is 500 cps. The outcrop is not magnetic. There are two blocks on the outcrop about 15 cm diameter that are up to 1000 cps each. These blocks are of I2C, are highly magnetic and the quartz is smoked.
78202023							Syenite outcrop on top and in the slope of a hill. The grains are coarse sized. The outcrop is not magnetic. The background is 200 cps but there are some highs in diaclases up to 1050 cps. The diaclases general orientations are 305/89 and 034/89. An old sample (#203627, utmx 4440651/ utmy 6135001) with cps max 1500 has been observed in a fracture.
78202024							Syenite outcrop on slope of a hill crossed by a quartziferous syenite dyke of 112/90 orientation. Rk texture and coarse grained minerals.
78202025							Syenite outcrop on slope of a hill. The quartz is smoked and the grains are middle sized. The sample taken is at 1m of the old sample # 203626 who is only 500 cps max.
78202026	Fracture	164	71				Syenite outcrop on crossed with some dykes of I2C highly magnetized. The outcrop is situated on the slope of a hill. Near a big lake.
78202027							Syenite outcrop with Rk texture on slope of a hill. This outcrop is crossed by I2C dykes with smoked Oz and 15% Mg. The orientation of the dyke is 185/74. The background is 150-200 cps. An old sample (#203617, utmx 445989/ utmy 6132734) has been observed with a maximum 1100 cps.
78202028							Syenite outcrop on slope of a hill with Rk texture. The syenite is coarse grained and little magnetic but there are local highs of magnetite (20%). The background is 200 cps but the maximum is 850 cps.
78202029							Syenite outcrop situated in a small valley between two hills. The outcrop is made of coarse grained minerals and a Rk texture. The outcrop is crossed by a cm dyke of I2C with smoked Oz and 25% Mg. The dyke is oriented 176/90.
78202030							I2C and I2D blocks on top and slope of a hill. The I2C blocks are oxidized and highly magnetized. Their max is 1500 cps but the I2D blocks max is 200 cps.
78202031							Syenite outcrop with enclave and dykes. Quartziferous syenite enclave on top of a small hill. Not magnetic. Medium grain sized.
78202032							Syenite outcrop on top of a hill. Middle grain sized. The outcrop is massive with rapakivitic texture. The background is 230 cps but there is a local maximum of 650 cps.
78202033							Syenite outcrop with Rk texture on top of a hill. This outcrop is crossed by small dykes of I2C of orientation 358/75. The outcrop is not magnetic. The dyke is not magnetic either but the Oz is smoked. The dyke is oxidized. A local maximum of 2300 cps has been seen but not sampled (utmx 446278/ utmy 6131497).
78202034							Syenite outcrop on slope of a hill. It is coarse grained, massive with Rk texture. No sample taken.
78202035							Feldspathic pyroxenite blocks medium grain sized with smoked Oz and Mg. It is situated in a valley between hills. The background is 200 cps but there are highs around 1700 cps.
78202036							Syenite outcrop at the bottom of a hill near a swamp. The texture is Rk and massive.
78202037							Syenite outcrop on top of a hill. The outcrop is massive with Rk texture. The background is 200 cps but there is a local high of 1620 cps and a I2C boulder at 1700 cps.
78202038							Syenite outcrop on top of a small hill. The outcrop is coarse grained, massive and with Rk texture. Not magnetic.
78202039							Feldspathic pyroxenite blocks on slope of a hill in a forest. The boulders are medium grain sized with smoked Oz and Mg. The background is 100 cps but the boulders are around 1000 to 2000 cps.
78202040							Syenite outcrop on slope of a hill with Rk texture. This outcrop is massive with rapakivitic texture. It is a little magnetic.
78202041							Syenite outcrop on slope of a hill with Rk texture. The syenite is coarse grained and not magnetic. There is a fracture 290/90 with a local max of 590 cps and a background of 220 cps. There is a block with Rk texture completely oxidized not magnetic either.
78202042							Syenite outcrop at the bottom of a cliff near a small lake. The syenite is massive with Rk texture crossed by a dyke of I2C of orientation 175/90. This dyke has a max of 1100 cps and a background of 240 cps.
78202043							The dyke is a little magnetic.
78202044							Syenite outcrop on top of a cliff hill. The outcrop is massive, not magnetic and with Rk texture. There is an eagle nest nearby. A sample has been taken in a fracture oriented 276/72 and an other in a hole over the outcrop.
78202045							Syenite outcrop on top of a hill. This outcrop is massive with Rk texture. It is not magnetic.
78202046							Syenite outcrop on slope of a small hill. It is massive with Rk texture. This outcrop is crossed by a I2C dyke not magnetic oriented 104/45.
78202047							Syenite outcrop on slope of a big hill. The outcrop is massive with Rk texture and a little magnetic. The Oz is smoked.
78202048							Syenite outcrop on slope of a small hill. The outcrop is massive with Rk texture. It has a lot of Hb/Bo. There is a sample taken in a positive relief on the outcrop.
78202049							Syenite outcrop on top of a small hill. The outcrop is massive with Rk texture. It is not magnetic. A sample has been taken in a fracture.
78202050							Monzonite outcrop on top of a cliff. This outcrop has the same Rk texture than syenite outcrops but with more Pg. Not magnetic. A sample has been taken in a fracture.
78202051							Monzonite outcrop on slope of a hill. This outcrop is massive with Rk texture. It is magnetic with a lot of Pg.
78202052							Syenite outcrop on slope of a big hill. The outcrop is massive with Rk texture. It is not magnetic and the grains are coarse sized. The background of the outcrop is high (350 cps) and there is a local high of 1850 cps. There are enclaves of massive magnetite with an average of 1100 cps.
78202053							Granite outcrop divided in 3 small spots on an hill. This outcrop is massive with Rk texture. It is not magnetic.
78202054							Syenite outcrop on slope of a hill. It is massive with Rk texture. It is not magnetic. Presence of a big fault (1m large)
78202055							Syenite outcrop on top of a big hill. It is massive with Rk texture and with Hb/Bo. The grains are coarse sized and equigranulars. It is not magnetic.
78202056							Syenite outcrop on top of a hill. It is massive with Rk texture and with Hb/Bo. It is not magnetic and there is a part that is a cliff. No sample taken.
78202057							Granite outcrop constituting a small hill. It is massive, coarse grained and with Rk texture. It is not magnetic.
78202058	Dyke	128	77				Granite block on slope of a hill near a small lake. It is massive, coarse grained and with Rk texture. It is not magnetic.
78202059							Syenite outcrop on slope of a big hill. It is massive, coarse grained and with Rk texture. It is not magnetic. A sample has been taken near a fracture. Presence of a fine grained dyke of I2J with a net contact.
							Granite outcrop on top of a big hill. It is massive, coarse grained and with Rk texture. It is not magnetic. It is crossed by small dykes of I2J of orientation 050/78.

AFFLEUREMENT	UTMX Nad 83	UTM Y Nad 83	DIMENSION	APPAREIL	CPS			SPECTROMETRIE			# ÉCHANTILLONS	GÉOLOGUE	DATE	LITHOLOGIE 1					
					MOY	MAX		K (%)	U (ppm)	Th (ppm)				Lithologie	%	Texture	Minéralogie	Couleur	Altération
78202060	457094	6123090	5	RS-125	300	400		5,2	2,7	30	205298	EL	2010-07-24	I1B	99	CG/MA/RK	Fp/Oz/Bo	B/O	Oxydation
78202061	457300	6123118	Block	RS-125	285	900		6,2	11,1	84	205299	EL	2010-07-24	I1B	99	CG/MA/RK	Fp/Oz/Bo	GB/O	Oxydation
78202062	457268	6123259	6	RS-125	320	6450		7	52	1247	205326 to 205329	EL	2010-07-24	I1B	95	CG/MA/RK	Fp/Oz/Bo	G/O	Oxydation
78202063	455048	6127325	6	RS-125	400	1500		7,3	19,2	210,8	205330 to 205331	EL	2010-07-25	I2D	97	CG/MA/RK	Fp/Oz/Bo	GS/O	Oxydation
78202064	455613	6127099	6	RS-125	350	10500		5,4	10,8	2470	205332 to 205334	EL	2010-07-27	I2D	99	CG/MA	Fk/Oz/Bo/Fl	GS/GO	Oxydation
78202065	455265	6126804	4	RS-125	260	415		5,7	4,4	40,9	205335	EL	2010-07-27	I2D	99	CG/MA/RK	Fk/Pg/Oz/Bo	GS/O	Oxydation
78202066	456407	6127142	6	RS-125	300	420		4,6	3,2	40,9	205336	EL	2010-07-27	I2D	99	CG/MA/RK	Fk/Pg/Oz/Bo	GS/O	Oxydation
78202067	445886	6115580	5	RS-125	500	1375		7,8	15,1	164,9	205337 to 205338	EL	2010-07-28	I2D	99	CG/MA/RK	Fk/Pg/Oz/Bo	GS/O	Oxydation
78202068	446255	6115714	4	RS-125	270	610		4,9	8,3	57,9	205339	EL	2010-07-28	I2D	99	CG/MA/RK	Fk/Pg/Oz/Bo	GS/O	Oxydation
78202069	445872	6116200	5	RS-125	200	430		4,6	7,4	48,1	205340 to 205341	EL	2010-07-28	I2D	50	CG/MA/RK	Fk/Pg/Oz/Bo	GB/O	Oxydation
78202070	444517	6116328	6	RS-125	320	1150		5,6	17,5	143	205342	EL	2010-07-30	I2D	99	CG/MA/RK	Fk/Pg/Oz/Bo	GS/O	Oxydation
78202071	444245	6116134	6	RS-125	420	910		5,5	6,7	112,6	205343	EL	2010-07-30	I2D	99	CG/MA/RK	Fk/Pg/Oz/Bo	GS/O	Oxydation
78202072	443648	6116135	5	RS-125	280	410		5,6	2,4	36,4	205344	EL	2010-07-30	I2D	99	CG/MA/RK	Fk/Pg/Oz/Bo	GS/O	Oxydation
78202073	442908	6116508	Block	RS-125	270	900		2,7	35,1	56,4	205345	EL	2010-07-30	I1B	99	GM/MA	Fp/Oz/Bo	GB/B	Oxydation
78202074	442270	6116255	5	RS-125	200	360		5,1	3,8	27,5	205346	EL	2010-07-30	I2D	99	CG/MA/RK	Fk/Pg/Oz/Bo	GS/O	Oxydation
78202075	442245	6116278	Block	RS-125	200	2500		4,1	177,9	31,4	205347	EL	2010-07-30	I1B	20	GM/MA	Fp/Oz/Bo	GB/B	Oxydation
78202076	445727	6111648	Block	RS-125	200	900		1,5	23,1	89,8	205348	EL	2010-07-31	I1B	99	GM/MA	Fp/Oz/Bo	GB/B	Oxydation
78202077	445625	6111808	4	RS-125	200	350		4,9	2,5	33,8	205349	EL	2010-07-31	I2D	99	CG/MA/RK	Fk/Pg/Oz/Bo	GS/O	Oxydation
78202078	445332	6112141	6	RS-125	300	870		6,1	5,5	107,6	205426	EL	2010-07-31	I2D	99	CG/MA/RK	Fk/Pg/Oz/Bo	GS/O	Oxydation
78202079	445318	6112439	6	RS-125	400	3000		6	67	400,1	205427	EL	2010-07-31	I2D	99	CG/MA/RK	Fk/Pg/Oz/Bo	GS/O	Oxydation
78202080	444255	6111918	6	RS-125	600	2200		6,8	27,7	349,3	205428 to 205429	EL	2010-07-31	I2D	95	CG/MA/RK	Fk/Pg/Oz/Bo	GS/O	Oxydation
78202081	444484	6119148	3	RS-125	270	435		6,6	1,1	41,2	205430	EL	2010-08-01	I2D	99	CG/MA/RK	Fk/Pg/Oz/Bo	GS/O	Oxydation
78202082	444117	6118862	5	RS-125	200	335		5	2,7	36,6	205431	EL	2010-08-01	I2D	99	CG/MA/RK	Fk/Pg/Oz/Bo	GS/O	Oxydation
78202083	444738	6119129	4	RS-125	210	375		4,7	3,9	29,3	205432	EL	2010-08-01	I2D	99	CG/MA/RK	Fk/Pg/Oz/Bo	GS/O	Oxydation
78202084	444844	6118928	Block	RS-125	300	1000		4,5	9,4	131,9	205433	EL	2010-08-01	I2D	99	CG/MA/RK	Fk/Pg/Oz/Bo	GS/O	Oxydation
78202085	444781	6118686	4	RS-125	170	250		4,7	2,9	21,2	205434	EL	2010-08-01	I2H/I2J	99	GM/MA	Fp/Oz/Bo	G/O	Oxydation
78202086	443789	6110894	6	RS-125	245	1500		7,3	16,7	237,2	205435	EL	2010-08-01	I2D	95	CG/MA/RK	Fk/Pg/Oz/Bo	GS/O	Oxydation
78202087	448404	6126391	Block	RS-125	400	9300		10	747,9	165	205436	EL	2010-08-02	I1B	99	CG/MA	Fp/Oz/Bo	GB/GB	Oxydation
78202088	449122	6126059	Block	RS-125	180	1150		5,5	19,3	156,3	205437	EL	2010-08-02	I2D	99	CG/MA/RK	Fk/Pg/Oz/Bo	GS/O	Oxydation
78202089	449514	6125536	4	RS-125	220	335		3,9	2	28,9	205438	EL	2010-08-02	I2D	90	CG/MA/RK	Fk/Pg/Oz/Bo	GS/O	Oxydation
78202090	449533	6126041	Block	RS-125	200	1300		5,4	23,3	185,6	205439	EL	2010-08-02	I1B	99	GM/MA	Fp/Oz/Bo	G2/GO	Oxydation
78202091	442114	6135118	Block	RS-125	330	1630		6,7	16,3	217,9	205440	EL	2010-08-03	I2D	99	CG/MA/RK	Fk/Pg/Oz/Bo	GS/O	Oxydation
78202092	442535	6135310	Block	RS-125	250	1150		6	40,6	89,7	205441	EL	2010-08-03	I2H	99	GM/MA	Pg/Fk/Oz	G1/O	Oxydation
78202093	444125	6135498	4	RS-125	320	1300		4,8	27,2	144,9	205442	EL	2010-08-03	I2D	99	CG/MA/RK	Fk/Pg/Oz/Bo	GS/O	Oxydation
78203001	440420	6131570	2	RS-125	900	1500		4,9	2,6	32,1	205505	SL	2010-08-18	I2H	100	MA/GM/EQ	Fk/Pg/Hb/Bo/Mg	GB/GO	
78203002	440778	6134304	1	RS-125	1000	1600		3	71	135,9	205532 (block)	MB	2010-08-24	I2D	99	FG/MA/PQ	Fp/Hb/Oz/Bo/Zc	SUO	
78204001	442709	6128897	4	RS-125	350	2200		6	36,5	304,2	205494	JT	2010-08-18	I2D	99	MA/GG	Fp/Oz	GS/3U	
78204002	440263	6128539	4	RS-125	450	1200		5	53	175,9	205495	JT	2010-08-18	I2D	99	MA/GG	Fp/Oz	GS/3U	
78204003	440543	6130212	3	RS-125	350			4,9	4,3	48,8		JL	2010-08-18	I2D	99	MA/GG/RK	Fp/Oz/Hb/Bo	GS/GO	
78204004	432729	6119281	2	RS-125	450	1150		4,2	5,3	188,3	205496	JT	2010-08-24	I2D	99	GG/RK/MA	Fp/Hb/Bo/Oz	GS/GO	

AFFLEUREMENT	LITHOLOGIE 2						LITHOLOGIE 3						LITHOLOGIE 4						STRUCTURE 1			
	Lithologie	%	Texture	Minéralogie	Couleur	Altération	Lithologie	%	Texture	Minéralogie	Couleur	Altération	Lithologie	%	Texture	Minéralogie	Couleur	Altération	Type	Direction (*)	Pendage (*)	
78202060																						
78202061																						
78202062	I2C	3	GM/MA	Fk/Pg/Oz/Bo/Ai	G/OE	Oxydation	VOZ	2	CG/MA	Oz	B/B								Veine	49	90	
78202063	I1G	3	PG/MA	Fp/Oz/Bo	G/GB														Dyke	125	90	
78202064																						
78202065																						
78202066																						
78202067																						
78202068																						
78202069	I1B	50	GM/MA/PO	Fp/Oz/Bo	GB/O	Oxydation																
78202070																			Fracture	273	73	
78202071																						
78202072																						
78202073																						
78202074																						
78202075	M6	80	GM/SA	Fp/Oz/Bo/Hb	G3/GO	Oxydation																
78202076																						
78202077																			Fracture	94	85	
78202078																						
78202079																						
78202080	I2D	5	GM/MA	Bo/Fp/Oz	G2/G4																	
78202081																						
78202082																						
78202083																						
78202084																						
78202085																						
78202086																						
78202087	I1G	5	CG/MA/PG	Fp/Oz	GS/S	Oxydation													Dyke	329	90	
78202088																						
78202089	I2H	10	GF/MA/PO	Fp/Oz/Bo	G2/G4	Oxydation																
78202090																						
78202091																						
78202092																						
78202093																						
78203001																						
78203002																						
78204001																						
78204002																						
78204003																						
78204004																						

AFFLEUREMENT	STRUCTURE 2			STRUCTURE 3			REMARQUES
	Type	Direction (*)	Pendage (*)	Type	Direction (*)	Pendage (*)	
78202060							Granite outcrop on a flat area. It is massive, coarse grained and with Rk texture. It is not magnetic.
78202061							Granite boulder on a flat plain. It is massive, coarse grained and with Rk texture. It is not magnetic.
78202062	Dyke	130		Dyke	168		granite outcrop on a flat area near a lake. It is massive, coarse grained and with Rk texture. It is not magnetic. It is crossed by dykes of medium sized grains and of quartz veins. The background on the outcrop is 320 cps. Around the dykes, there is amazonite and a red alteration around the Bo.
78202063							Syenite outcrop on slope of a hill. It is massive with Rk texture. It is not magnetic.
78202064							Syenite outcrop on top of a hill. It is massive, coarse grained and some parts are with Rk Texture. The outcrop is really big and not magnetic. The background is high (350cps) and there are completes parts of the outcrop that are with 650 cps average. There are highs up to 10500 cps. There is a reddish mineral on a sample (monazite?). Presence of fluorine.
78202065							Syenite outcrop on top of a small hill. It is massive, coarse grained and with Rk texture. It is not magnetic.
78202066							Syenite outcrop on and slope and on top of a hill. It is massive, coarse grained and with Rk texture. It is not magnetic.
78202067							Syenite outcrop on top of a big hill. It is massive, coarse grain sized and with Rk texture. It is not magnetic.
78202068							Syenite outcrop on top of a little hill. It is massive, coarse grain sized and with Rk texture. It is not magnetic.
78202069							Outcrop made of 2 lithologies: I2D and I1B. Both are massives but the I2D is more coarse grain sized. The I2D is with Rk texture and the I1B is more with porphyric texture. The background is 200-300 cps. There are porphyrics feldspaths.
78202070							Syenite outcrop on top of a big hill. It is massive, coarse grain sized and with Rk texture. It is not magnetic. There is a fracture family oriented 273/73.
78202071							Syenite outcrop on slope of a hill. It is massive, coarse grain sized and with Rk texture. It is not magnetic.
78202072							Syenite outcrop on top of a hill. It is massive, coarse grain sized and with Rk texture. It is not magnetic.
78202073							Granite block on slope of a huge hill. It is massive, medium grain sized. It is not magnetic.
78202074							Syenite outcrop divided in small parts over 2 hills. It is massive, coarse grain sized and with Rk texture. It is not magnetic.
78202075							Boulder divided in 2 lithologies. The one on the top, I1B, has an high of 2500 cps. The stratification is undulated. They are not magnetics. The boulder is situated on slope of a big hill.
78202076							Granite boulder on top of a big hill. It is massive, medium grain sized and not magnetic.
78202077							Syenite outcrop on slope of a big hill. It is massive, coarse grain sized and with Rk texture. It is not magnetic. There is a fracture oriented 094/85.
78202078							Syenite outcrop on top of a hill. It is massive, coarse grain sized and with Rk texture. It is not magnetic.
78202079							Syenite outcrop at the bottom of a hill near a swamp in a forest. It is massive, coarse grain sized and with Rk texture. It is not magnetic.
78202080							Syenite outcrop at the border of a river. It is massive, coarse grain sized and with Rk texture. It is not magnetic. Presence of enclaves of I2D with a lot of Bo with more cps than the normal syenite.
78202081							Syenite outcrop on top of a little hill. It is massive, coarse grain sized and with Rk texture. It is not magnetic.
78202082							Syenite outcrop around a little lake. It is massive, coarse grain sized and with Rk texture. It is not magnetic.
78202083							Syenite outcrop on top of a small hill. It is massive, coarse grain sized and with Rk texture. It is not magnetic.
78202084							Syenite boulder near a lake in forest. It is massive, coarse grain sized and with Rk texture. It is not magnetic.
78202085							Diorite/Monzonite outcrop at the border of a big lake. It is massive, fine grain sized and not magnetic.
78202086							Syenite outcrop on top of a hill. It is massive coarse grain sized and with Rk texture. It is not magnetic and it is crossed by I1G dykes oriented 329.
78202087							Granite boulder in a forest near a big swamp. It is massive and coarse grain sized. It is not magnetic. 0.7m diameter.
78202088							Syenite boulder in a swampy area. It is massive, coarse grain sized and with Rk texture. It is not magnetic. A sample has been taken in a block surrounded by 4 other blocks with highs of 1000 cps.
78202089							Syenite outcrop in a forest. It is massive, coarse grain sized and with Rk texture. It hosts some I2H enclaves with some parts of the outcrop in it. They are not magnetics.
78202090							Granite boulder in a forest. It is massive, medium grain sized and not magnetic.
78202091							Granite boulder on slope of a hill. It is massive, coarse grained and with Rk texture. It is not magnetic.
78202092							Monzodiorite boulder on slope of a hill. It is massive, medium grain sized and not magnetic.
78202093							Syenite outcrop on top of a hill. It is massive, coarse grain sized and with Rk texture. It is not magnetic.
78203001							Outcrop of I2H, homogeneous, (MA/GM/EQ), sample took close to a lake side and close to old sample.
78203002							Block of I2D, 1mX1mX0.75m, angular, PQ of Hb, (FG/MA/PQ)
78204001							Outcrop of syenite (RK). Sample without Ternoim
78204002							Outcrop of syenite (RK)
78204003							Outcrop of syenite (RK) no sample CPS moy, 350 homogeneous
78204004							Block in place of I2D RK with Bo++, 1mX0.1m anomaly

ÉCHANTILLON	ESTANT (nad 83)	NORDANT (nad 83)	AFFLEUREMENT/ RAINURE	RAINURE (DE)	RAINURE (A)	LONGUEUR	ÉCHANTILLONNEUR	DATE	LECTURES SPECTROMÈTRE					LITHOLOGIE	
									APPAREIL	CPS MOY	CPS MAX	K (%)	U (ppm)		Th (ppm)
205001	440676	6134037	78200000				JL	2010-07-09	RS-125	325	450	6,3	5,5	37,9	I2D
205002	440747	6134093	(Block) 78200001				JL	2010-07-09	RS-125	900	2500	4,9	18,8	211,0	I2D
205003	440832	6134270	(Block) 78200002				JL	2010-07-09	RS-125	650	1000	5,3	22,4	89,3	I2D
205004	440945	6134337	(Block) 78200003				JL	2010-07-09	RS-125	650	2100	5,3	7,7	338,6	I2C
205005	441066	6134492	78200004				JL	2010-07-09	RS-125	350	500	5	10,4	43,7	I2D
205006	441682	6134969	78200006				JL	2010-07-09	RS-125	375	700	4,5	11,2	74,2	I2F
205007	442364	6131540	78200007				JL	2010-07-10	RS-125	175	250	3,9	1,3	2,9	I2F/I2H
205008	442380	6131537	(Block) 78200007				JL	2010-07-10	RS-125	600	1100	4,6	10,9	103,3	I2D
205009	442437	6131536	(Block) 78200007				JL	2010-07-10	RS-125	600	1250	5,6	21,4	159,2	I2D
205010	442503	6131561	(Block) 78200007				JL	2010-07-10	RS-125	600	1250	5,1	20,1	134,6	I2D
205011	442448	6131562	(Block) 78200007				JL	2010-07-10	RS-125	600	1500	5,8	36,1	173,9	I2D
205012	442335	6131485	(Block) 78200007				JL	2010-07-10	RS-125	600	1500	6,5	25,2	217,3	I2D
205013	442334	6131572	(Block) 78200007				JL	2010-07-10	RS-125	600	1500	6,4	59,1	199,2	I2D
205014	442592	6131733	78200008				JL	2010-07-10	RS-125	150	250	4	0,5	3,5	I2F/I2H
205015	442529	6132029	78200009				JL	2010-07-10	RS-125	150	200	4,2	0,4	1,6	I2F/I2H
205016	441928	6135195	78200010				JL	2010-07-10	RS-125	1000	4500	5,9	281,1	131,7	I2D
205017	441938	6135142	78200011				JL	2010-07-10	RS-125	600	1800	4,5	17,1	305,5	I2D
205018	442132	6135203	78200012				JL	2010-07-10	RS-125	350	1000	5,2	13,5	64,0	I2D
205019	441399	6135977	78200013				JL	2010-07-11	RS-125	700	1500	4,7	67,1	138,8	I2D
205020	441556	6135962	78200014				JL	2010-07-11	RS-125	400	1200	4,7	26,1	52,3	I2D
205021	441366	6136115	78200015				JL	2010-07-11	RS-125	300	700	6,5	16,3	55,2	I2D
205022	441064	6136024	78200017				JL	2010-07-11	RS-125	600	1800	6,7	68,6	160,7	I2D
205023	441014	6136020	78200018				JL	2010-07-11	RS-125	600	2300	5,1	95,9	255,4	I2D
205024	441020	6136082	(Block) 78200018				JL	2010-07-11	RS-125	600	2500	5,1	122,5	141,8	I2D
205025			BLANK												
205026	440713	6134112	78201000				SL	2010-07-09	RS-230	600	1250	2,5	44,5	82,3	I2D
205027	440735	6134100	78201000				SL	2010-07-09	RS-230	700	3000	5,42	70	204,5	I2D
205028	440893	6134410	78201000				SL	2010-07-09	RS-230	500	1100	0,2	56,6	58,8	I2D
205029	441046	6134621	78201000				SL	2010-07-09	RS-230	350	550	0	70	17,0	I2D
205030	440710	6134797	78201000				SL	2010-07-09	RS-230	325	470	0	53	16,0	I2D
205031	440868	6134762	(Block) 78201004				SL	2010-07-09	RS-230	650	850	0,28	68	36,0	I2F
205032	440760	6134253	(Block) 78201005				SL	2010-07-09	RS-230	750	1300	2	68,8	75,2	I2F
205033	441204	6135640	(Block) 78201006				SL	2010-07-10	RS-230	750	1350	5,4	41,3	71,1	I2F
205034	441296	6135708	78201007				SL	2010-07-10	RS-230	700	1000	5,7	10,8	96,9	I2D
205035	441315	6135720	78201007				SL	2010-07-10	RS-230	650	1000	7,3	15,2	130,4	I2D
205036	441330	6135730	78201007				SL	2010-07-10	RS-230	600	1000	7,8	23,8	175,0	I2D
205037	441309	6135719	78201007				SL	2010-07-10	RS-230	400	600	4,1	4,3	43,5	I2D
205038	441333	6135729	78201007				SL	2010-07-10	RS-230	600	1000	5,2	11,9	160,0	I2D
205039	441486	6135792	78201008				SL	2010-07-10	RS-230	500	2400	6,6	50,4	342,2	I2D
205040	441514	6135879	78201009				SL	2010-07-10	RS-230	600	900	5,9	10,3	82,9	I2D
205041	441371	6135931	78201010				SL	2010-07-10	RS-230	500	7000	7,9	71,8	1039,0	I2D
205042	441350	6135936	78201010				SL	2010-07-10	RS-230	800	1200	4,1	49	83,0	I2D
205043	441313	6135920	78201010				SL	2010-07-10	RS-230	700	1100	5,1	43,9	86,3	I2D
205044	441327	6135964	78201010				SL	2010-07-10	RS-230	900	2000	6,5	64,4	99,8	I2D
205045	441321	6135980	(Block) 78201011				SL	2010-07-10	RS-230	900	3200	7,1	162,4	213,4	I2D
205046	441166	6135942	78201012				SL	2010-07-11	RS-230	900	4500	7,5	142	580,0	I2D
205047	440958	6135922	78201013				SL	2010-07-11	RS-230	600	1400	4,5	54,7	127,8	I2D
205048	440933	6135950	78201014				SL	2010-07-11	RS-230	700	1900	5,6	71,5	154,0	I2D
205049	440825	6136003	78201015				SL	2010-07-11	RS-230	700	1250	4,6	33	110,0	I2D
205050			STANDARD				SL	2010-07-11	RS-230						
205051	440585	6134035	78202000				EL	2010-07-09	GR-110	300	439				I2D
205052	440434	6134161	(Block) 78202001				EL	2010-07-09	GR-110	375	752				I2D
205053	440394	6134166	(Block) 78202002				EL	2010-07-09	GR-110	350	1112				I2D
205054	440355	6134166	(Block) 78202003				EL	2010-07-09	GR-110	300	1200				I1B
205055	440370	6134297	(Block) 78202004				EL	2010-07-09	GR-110	350	1150				I2D
205056	440369	6133789	78202005				EL	2010-07-09	GR-110	250	510				I2E

ÉCHANTILLON	MINÉRALOGIE	ALTÉRATIO N 1	ALTÉRATION 2	STRUCTURE 1	ORIENTATION (°)	PENDAGE (°)	STRUCTURE 2	ORIENTATION (°)	PENDAGE (°)
205001	Fp/Hb/Mg/Bo	Oxydation							
205002	Fp/Hb/Mg	Oxydation							
205003	Fp/Hb/Mg/Bo	Oxydation							
205004	Fp/Hb/Bo/Qz	Oxydation							
205005	Fp/Hb	Oxydation							
205006	Fp/Mg/Hb/Bo	Oxydation							
205007	Fp/Bo	Oxydation							
205008	Fp/Bo	Oxydation							
205009	Fp/Bo	Oxydation							
205010	Fp/Bo	Oxydation							
205011	Fp/Bo	Oxydation							
205012	Fp/Bo	Oxydation							
205013	Fp/Bo	Oxydation							
205014	Fp/Hb/Bo	Oxydation							
205015	Fp/Hb/Bo/Mg	Oxydation							
205016	Fp/Bo/Hb/Ox	Oxydation							
205017	Fp/Bo	Oxydation							
205018	Fp/Bo	Oxydation							
205019	Fp/Qz/Bo	Oxydation							
205020	Fp/Qz/Hb/Bo	Oxydation							
205021	Fp/Bo	Oxydation							
205022	Fp/Bo/Qz	Oxydation							
205023	Fp/Bo/Qz	Oxydation							
205024	Fp/Bo/Qz	Oxydation							
205025									
205026	Fp/Mg/Hb	Oxydation							
205027	Fp/Mg/Hb/SF	Oxydation							
205028	Fp/Mg/Hb	Oxydation							
205029	Fp/Mg/Hb	Oxydation							
205030	Fp/Mg/Hb	Oxydation							
205031	Fp/Mg/Hb/Qz	Oxydation							
205032	Fp/Mg/Hb/Qz	Oxydation							
205033	Fp/Mg/Hb/Qz	Oxydation							
205034	Fp/Hb/Qz	Oxydation							
205035	Fp/Hb/Qz	Oxydation							
205036	Fp/Hb/Qz	Oxydation							
205037	Fp/Hb/Qz	Oxydation							
205038	Fp/Hb/Qz	Oxydation							
205039	Fp/Bo								
205040	Fp/Hb								
205041	Fp/Qz/Hb	Oxydation							
205042	Fp/Qz/Hb	Oxydation							
205043	Fp/Qz/Hb	Oxydation							
205044	Fp/Qz/Hb	Oxydation							
205045	Fp/Qz/Hb	Oxydation							
205046	Fp/Qz/Hb/Mg/FI/Bo++	Oxydation							
205047	Fp/Qz/Hb/Mg+++	Oxydation							
205048	Fp/Qz/Hb/Mg+++	Oxydation							
205049	Fp/Qz/Hb/Mg+	Oxydation							
205050		Oxydation							
205051	Fp/Hb/Mg	Oxydation							
205052	Fp/Hb	Oxydation							
205053	Fp/Qz/Hb	Oxydation							
205054	Fp/Qz/Hb/FI	Oxydation							
205055	Fp/Hb	Oxydation							
205056	Pg/Fk/Hb	Oxydation							

ÉCHANTILLON	NOTES SUR LE TERRAIN
205001	Outcrop of syenite, magnetic, top of hill, cumulat texture.
205002	Block of syenite with Hb-Mg, centimetric. Near sample # 203596.
205003	Block of syenite.
205004	Block of quartziferous syenite with rapakivi texture.
205005	Very difficult to sample
205006	Syenite with Hb, low mag, on top of hill, cumulat texture.
205007	Monzonite to monzodiorite, low cps, no mag, taken on outcrop.
205008	Boulder of syenite, very oxyded, subrounded, metric, no mag, on top of hill.
205009	Boulder of syenite, very oxyded, subrounded, metric, no mag, on top of hill.
205010	Boulder of syenite, very oxyded, subrounded, metric, no mag, on top of hill.
205011	Boulder of syenite, very oxyded, subrounded, metric, no mag, on top of hill.
205012	Boulder of syenite, very oxyded, subrounded, metric, no mag, on top of hill.
205013	Boulder of syenite, very oxyded, subrounded, metric, no mag, on top of hill.
205014	Outcrop of monzonite to monzodiorite with Hb/Bo, top of hill. Lot of boulder around, with cps between 600-800 cps
205015	Outcrop of monzonite to monzodiorite with Hb/Bo/Mg.
205016	Block of syenite with Bo (porphyre)/Hb, Porphyric texture. U/Th = 2. Little grain of oxyde (black, vitreous).
205017	Block of syenite with Bo, rapakivi texture, oxydated, 3m x 2m x 2m, subrounded.
205018	Outcrop of syenite with Bo, rapakive texture locally. Outcrop is everywhere on top of the hill. Lot of boulder of I2D with rapakivi texture around.
205019	Quartziferous syenite with Bo, taken down of hill, very oxyded.
205020	Dyke of quartziferous syenite (fine grain, aplitic texture ???), hosted in rapakivi syenite. Spectro on rapakivi syenite is 4,7 % K, 6,5 ppm U and 39,3 ppm Th.
205021	Outcrop of rapakivi syenite with Bo, top of hill. Little dyke of fine grain syenite (1-3 cm). Cps max is in syenite dyke.
205022	Outcrop of rapakivi syenite with little dyke of fine grain syenite. Down of the hill. The dyke measures 1-2 cm. Cps max is in the dyke. Sample taken in the dyke
205023	Centimetric dyke of fine grain syenite with smoked quartz hosted in rapakivi syenite. Dyke is continue on 10 m.
205024	Little boulder (30 cm x 30 cm) of quartziferous syenite, subrounded.
205025	
205026	Syenite at coarsed grain with cumulat texture, Mg is variable in %. Ferromagnesian like Bte/HB as been observed on low %. The average cps is 600 and de max. is 1250 with a U/Th ratio of 1/2
205027	Medium grain I2D, epidotisation(green) of the feld. Mg +++ and sulfide trace.
205028	Oxided syenite coarsed grain at magnetite with U/Th of 1/1.
205029	Syenite at magnetite/hornblend with oxidized surface and cumulat texture. Coarsed grain. U/Th ratio of 5/1. Sample 205029.
205030	Outcrop of coarsed grain syenite with less % of magnetite cumulat texture. Sample 205031
205031	Metric boulder with rapakivi texture. Mg ++.
205032	Boulder of monzonite at hornblend.
205033	Block of quartziferous-monzonite at Amp.
205034	Syenite fined grain, altered, defined by dyke or diacase système
205035	Syenite fined grain, altered, defined by dyke or diacase système
205036	Syenite fined grain, altered, defined by dyke or diacase système
205037	Syenite coarsed grain, sampled on margin of dyke.
205038	XXXX on margin of I3.
205039	Decimetric anomalic area between 500-2400 in desaggregate zone.
205040	Syenite fined grain, see shema and picture.
205041	xxx GF, Ox +++, Mg+++ taken on small dyke, see shema and picture.
205042	xxx GF, Ox +, taken on small dyke, see shema and picture.
205043	xxx GF, Ox +, taken on small dyke, see shema.
205044	xxx GF, Ox +, taken on small dyke, see shema.
205045	Block of I2D Oxided in center of desaggregate metric block.
205046	Syenite fined grain dyke, dm anomaly. Green alteration (Ep orChl).
205047	Syenite fined grain dyke, dm anomaly. Green alteration (Ep orChl).
205048	Syenite fined grain dyke, dm anomaly. Green alteration (Ep orChl) with smoked quartz (black).
205049	Syenite fined grain dyke, dm anomaly. Green alteration (Ep orChl) with smoked quartz (black).
205050	
205051	Outcrop of syenite with coarse grained feldspaths situated on the top of a hill. The hornblend and magnetite are interstitials.
205052	Boulder of syenite non magnetic with hornblend taken at the bottom of a slope.
205053	Boulder of syenite with some quartz and hornblend. This boulder is non magnetic and is situated at the bottom of a hill. It is massive.
205054	Granite boulder with quartz and hornblend situated at the bottom of a slope. There is a local presence of fluorine mineral and radiation trace around inclusion. The boulder isn't magnetic.
205055	Syenite boulder with quartz and hornblend situated on the slope of a hill and is non magnetic. The boulder is massive with coarse grains.
205056	Monzonite outcrop with hornblend situated on the slope of a hill. The outcrop is non magnetic and massive.

ÉCHANTILLON	ESTANT (nad 83)	NORDANT (nad 83)	AFFLEUREMENT/ RAINURE	RAINURE (DE)	RAINURE (A)	LONGUEUR	ÉCHANTILLONNEUR	DATE	LECTURES SPECTROMÈTRE					LITHOLOGIE	
									APPAREIL	CPS MOY	CPS MAX	K (%)	U (ppm)		Th (ppm)
205057	440494	6133756	78202006				EL	2010-07-10	GR-110	350	840				I2H
205058	440417	6133645	78202007				EL	2010-07-10	GR-110	350	700				I2F
205059	440228	6133224	78202008				EL	2010-07-10	GR-110	200	250				I2F
205060	440483	6133365	(Block) 78202009				EL	2010-07-10	GR-110	240	1200				I2F
205061	440797	6134130	(Block) 78202010				EL	2010-07-10	GR-110	230	619				I2D
205062	444358	6135323	78202011				EL	2010-07-11	GR-110	300	880				I2D
205063	444492	6135367	(Block) 78202012				EL	2010-07-11	GR-110	150	780				I1B
205064	444265	6135327	78202011				EL	2010-07-11	GR-110	230	1200				I2D
205065	444403	6135284	78202011				EL	2010-07-11	GR-110	350	970				I2D
205066	444122	6135499	78202013				EL	2010-07-11	GR-110	300	1600				I2C
205067	444117	6135493	78202013				EL	2010-07-11	GR-110	300	3300				I2C
205068	443562	6135854	78202014				EL	2010-07-12	GR-110	250	950				I2F
205069	443583	6135831	78202014				EL	2010-07-12	GR-110	240	1500				I2F
205070	443375	6135704	78202015				EL	2010-07-12	GR-110	250	630				I2C
205071	443779	6135873	78202016				EL	2010-07-12	GR-110	160	1050				I2D/I2C
205072	443842	6135697	78202017				EL	2010-07-12	GR-110	280	1040				I2C
205073	443923	6135708	78202017				EL	2010-07-12	GR-110	250	1330				I2C
205074	444042	6135658	78202017				EL	2010-07-12	GR-110	225	1130				I2C
205075			BLANK												
205076	440885	6136050	78201014				SL	2010-07-11	RS-230	700	1350	5,9	39	130,0	I2D
205077	440877	6136024	78201014				SL	2010-07-11	RS-230	1000	2600	8,3	72	202,0	I2D
205078	440918	6136072	78201015				SL	2010-07-11	RS-230	750	1400	5,8	3,4	37,5	I2D
205079	444842	6135722	78201016				SL	2010-07-12	RS-230	300	400	5,8	7,5	33,0	I2D
205080	444906	6135752	78201016				SL	2010-07-12	RS-230	500	800	7,2	12	55,0	I2D
205081	444857	6135647	78201016				SL	2010-07-12	RS-230	600	900	7,1	10	77,0	I2D
205082	444839	6135693	78201016				SL	2010-07-12	RS-230	700	1200	6	26	71,0	I2D
205083	444729	6135780	78201017				SL	2010-07-12	RS-230	350	450	6,5	4	33,0	I2D
205084	444572	6135858	78201018				SL	2010-07-12	RS-230	500	800	6	13	55,0	I2D
205085	444789	6135928	78201019				SL	2010-07-12	RS-230	400	700	3,4	9	46,0	I2D
205086	444686	6136297	78201020				SL	2010-07-12	RS-230	1200	7000	7,6	63	1135,0	I2D
205087	444712	6136276	78201020				SL	2010-07-13	RS-230	1000	4000	6,5	4	543,0	I2C
205088	444716	6136278	78201020				SL	2010-07-13	RS-230	1400	900	4,7	3,9	154,0	I2C
205089	444705	6136287	78201020				SL	2010-07-13	RS-230	1400	900	6,3	32	98,0	I2C
205090	444798	6136022	78201021				SL	2010-07-13	RS-230	300	500	5,6	5,6	30,0	I2D
205091	444941	6135613	78201022				SL	2010-07-13	RS-230	300	400	5,6	5,6	30,0	I2D
205092	444926	6135230	78201023				SL	2010-07-13	RS-230	300	400	4,6	43,2	73,2	I2C
205093	445142	6135239	78201024				SL	2010-07-13	RS-230	900	1500	4,1	25,2	160,0	I2C
205094	445170	6135334	78201024				SL	2010-07-13	RS-230	600	800	5,2	14	74,0	I2D
205095	445234	6135210	78201025				SL	2010-07-13	RS-230	750	2500	5,4	16,9	393,5	I2D
205096	444462	6136417	78201026				SL	2010-07-14	RS-230	300	450	0	60	11,0	I2D
205097	444359	6136300	78201027				SL	2010-07-14	RS-230	450	800	0	65	35,0	I2C
205098	444602	6136203	78201027				SL	2010-07-14	RS-230	900	2000	6,6	31,3	96,0	I2C
205099	444587	6136459	78201028				SL	2010-07-14	RS-230	800	2000	7,2	19	200,0	I2D
205100			STANDARD												
205101	445281	6134931	78200019				JL	2010-07-12	RS-125	450	1200	5,1	27,8	136,6	I2C
205102	445260	6134942	78200019				JL	2010-07-12	RS-125	500	1100	5,4	36,1	83,0	I2C
205103	445258	6134945	78200019				JL	2010-07-12	RS-125	500	1000	5,2	27	80,4	I2C
205104	445248	6134962	78200019				JL	2010-07-12	RS-125	500	2300	8,3	36,3	282,6	I2C
205105	445243	6134970	78200019				JL	2010-07-12	RS-125	500	1200	5,5	19,8	118,7	I2C
205106	445237	6134971	78200019				JL	2010-07-12	RS-125	500	1500	4,9	51,2	159,0	I2C
205107	445220	6135036	78200020				JL	2010-07-12	RS-125	500	1300	5,4	32,9	145,3	I2C
205108	445310	6134831	78200021				JL	2010-07-12	RS-125	500	2200	5,4	85	292,5	I2C
205109	445268	6134810	78200021				JL	2010-07-12	RS-125	500	2100	5,5	89,8	177,1	I2C
205110	445320	6134817	78200021				JL	2010-07-12	RS-125	500	1600	5,6	60,3	151,7	I2C
205111	445323	6134758	(Block) 78200021				JL	2010-07-12	RS-125	700	1300	4,1	25,6	229,4	I2C
205112	445345	6134744	78200021				JL	2010-07-12	RS-125	500	1500	5,6	72,1	95,7	I2C
205113	445246	6134733	78200022				JL	2010-07-13	RS-125	600	2500	5,6	83,1	249,3	I2C

ÉCHANTILLON	MINÉRALOGIE	ALTÉRATIO N 1	ALTÉRATION 2	STRUCTURE 1	ORIENTATION (°)	PENDAGE (°)	STRUCTURE 2	ORIENTATION (°)	PENDAGE (°)
205057	Pg/Fk/Mg	Oxydation							
205058	Pg/Fk/Mg	Oxydation							
205059	Pg/Qz/Fk/Hb/Mg	Oxydation							
205060	Fk/Pg/Bo/Qz/FI	Oxydation							
205061	Fp/Hb/Mg	Oxydation							
205062	Fp/Hb	Oxydation							
205063	Fk/Qz/Pg/Mg	Oxydation							
205064	Fp/Hb/Mg	Oxydation							
205065	Fp/Hb	Oxydation							
205066	Fk/Qz/Bo/Mg	Oxydation							
205067	Fk/Qz/Bo/Mg	Oxydation							
205068	Fk/Qz/Pg/Mg	Oxydation							
205069	Fk/Qz/Pg/Mg	Oxydation							
205070	Fp/Bo/Qz	Oxydation							
205071	Fp/Qz/Mg	Oxydation							
205072	Fp/Qz/Mg	Oxydation							
205073	Fp/Qz/Mg	Oxydation							
205074	Fp/Qz/Hb	Oxydation							
205075									
205076	Fp/Qz/Hb/Mg+	Oxydation							
205077	Fp/Qz/Hb/Mg++/FI	Oxydation							
205078	Fp/Qz/Hb/Mg+	Oxydation							
205079	Fp/Qz/Hb								
205080	Fp/Qz/Hb	Oxydation							
205081	Fp/Qz/Hb/Bo	Oxydation							
205082	Fp/Qz/Am	Oxydation							
205083	Fp/Qz/Am	Oxydation							
205084	Fp/Qz/Am	Oxydation							
205085	Fp/Qz/Am	Oxydation							
205086	Fp/Qz/Am	Oxydation							
205087	Fp/Qz/Am/Mg	Oxydation							
205088	Fp/Qz/Am/Mg	Oxydation							
205089	Fp/Qz/Am/Mg	Oxydation							
205090	Fp/Qz/Am	Oxydation							
205091	Fp/Qz/Am/Mg	Oxydation							
205092	Fp/Qz/Am	Oxydation							
205093	Fp/Qz/Am/Mg	Oxydation							
205094	Fp/Qz/Am/Mg	Oxydation							
205095	Fp/Qz/Am/Mg	Oxydation							
205096	Fp/Qz/Am	Oxydation							
205097	Fp/Qz/Am/Mg								
205098	Fp/Qz/Am/Mg	Oxydation							
205099	Fp/Qz/Am/Mg	Oxydation							
205100									
205101	Fp/Qz/Bo	Oxydation	Silification						
205102	Fp/Qz/Bo--	Oxydation	Silification						
205103	Fp/Qz/Bo--	Oxydation	Silification						
205104	Fp/Qz/Bo--	Oxydation	Silification						
205105	Fp/Qz/Bo--	Oxydation	Silification						
205106	Fp/Qz/Bo--	Oxydation	Silification						
205107	Fp/Qz/Bo--	Oxydation	Silification						
205108	Fp/Qz/Bo--	Oxydation	Silification						
205109	Fp/Qz/Bo--	Oxydation	Silification						
205110	Fp/Qz/Bo--	Oxydation	Silification						
205111	Fp/Qz/Bo--	Oxydation	Silification						
205112	Fp/Qz/Bo--	Oxydation	Silification						
205113	Fp/Qz/Bo--	Oxydation	Silification						

ÉCHANTILLON	NOTES SUR LE TERRAIN
205057	Monzodiorite outcrop situated on top of a hill. It is highly magnetised. The magnetite is interstitial between feldspath porphyres. These are coarse grained.
205058	Monzonite outcrop with a lot of magnetite. The outcrop is situated on the slope of a hill. Oxydized rock.
205059	Monzonite outcrop with hornblend, quartz and magnetite. The outcrop is on top of a hill.
205060	Monzonite boulder with Bo situated on top a small hill. The boulder is not magnetic but there is a presence of fluorine traces. The boulder is coarse grained.
205061	Boulder situated on top of a hill. Alcaline feldpaths are in rings of the magnetite.
205062	Syenite outcrop situated on top of a hill. The outcrop is composed of coarse grained minerals.
205063	Granite boulder on the slope of a hill. The grains are middle seized and equigranulars.
205064	Syenite outcrop situated on top of a hill. The outcrop is composed of coarse grained minerals.
205065	Syenite outcrop situated on top of a hill. The outcrop is composed of coarse grained minerals.
205066	Quartziferous syenite outcrop on top of a hill with magnetite and hornblend. Highly oxyded. Presence of smoked quartz.
205067	Quartziferous syenite outcrop on top of a hill with magnetite and hornblend. Highly oxyded. Presence of smoked quartz.
205068	Monzonite outcrop, 7% Mg, presence of smoked quartz.
205069	Monzonite outcrop, 5% Mg, presence of smoked quartz.
205070	Syenite outcrop crossed by less seized grain quartziferous syenite dykes in stockwerk. These dykes are highly oxyded. The outcrop is situated in the bottom of a big hill.
205071	Syenite outcrop crossed by a quartziferous syenite dyke. Smoked quartz.
205072	Quartziferous syenite outcrop with smoked quartz and 10% magnetite. Rapakivic texture.
205073	Quartziferous syenite outcrop with smoked quartz and 5% magnetite. Rapakivic texture.
205074	Quartziferous syenite outcrop with smoked quartz and not magnetic. Rapakivic texture.
205075	
205076	Syenite medium grain dyke (dm), anomaly. Green aleration (Ep orChl) with smocked quartz (black), magnetic.
205077	Syenite medium grain dyke (dm), anomaly. Green aleration (Ep orChl) with smocked quartz (black), magnetic. Fluorine trace.
205078	Syenite medium grain dyke (dm), anomaly. Green aleration (Ep orChl) with smocked quartz (black), magnetic.
205079	I2D standard at CG.
205080	I2D GM, altered, Fp/smoked Qz.
205081	I2G GF, altered, Sm Qz.
205082	I2G GF, altered, Sm Qz. Taken in 160N dyke.
205083	I2D at RK texture homogeneous.
205084	I2D (GF) in I2D (GG) boulder. Presence of many block like this around.
205085	I2D (GF) in I2D (GG) boulder. Presence of many block like this around.
205086	Small vein smoked+++ quartziferous vein (3-5 width, 30cm lentgh), 5000-7000 cps value.
205087	Dyke 245N of I2C (FG), Sm Qz, mag.
205088	Dyke Sub-130N of I2C (FG), green with Sm Qz.
205089	Dyke Sub-130N of I2C (FG), green with Sm Qz.
205090	I2D at RK texture homogeneous.
205091	I2C (FG), Sm Qz, mag.
205092	I2D at RK texture homogeneous.
205093	Dyke Sub-130N of I2C (FG), green with Sm Qz. Zone dm.
205094	Dyke Sub-130N of I2C (FG), green with Sm Qz.
205095	I2D at RK texture fractured.
205096	I2D at RK texture fractured. Assey no stabilisated
205097	Dyke Sub-130N of I2C (FG), green with Sm Qz. Assey no stabilized.
205098	Dyke Sub-180N of I2C (FG), green with Sm Qz.
205099	Syenite altered.
205100	
205101	Dyke of quartziferous syenite (smoked quartz) hostwd in rapakivic syenite. The dyke is oxydated and silificated.
205102	Dyke of quartziferous syenite (smoked quartz) hostwd in rapakivic syenite. The dyke is oxydated and silificated. Thye dyke is // of 205101 dyke.
205103	Dyke of quartziferous syenite (smoked quartz) hosted in rapakivic syenite. The dyke is oxydated and silificated. They dyke is // of 205101 dyke.
205104	Dyke of quartziferous syenite (smoked quartz) hostwd in rapakivic syenite. The dyke is oxydated and silificated. Thye dyke is // of 205101 dyke.
205105	Dyke of quartziferous syenite (smoked quartz) hostwd in rapakivic syenite. The dyke is oxydated and silificated. Thye dyke is // of 205101 dyke.
205106	Dyke of quartziferous syenite (smoked quartz) hostwd in rapakivic syenite. The dyke is oxydated and silificated. Thye dyke is // of 205101 dyke.
205107	Little dyke of quartziferous (smoked quartz) syenite (fine grain), silicated, hosted in rapakivic syenite. Sample taken in the dyke.
205108	Little dyke (1 cm) of quartziferous syenite (smoked quartz), hosted in rapakivic syenite. Lot of dyke parallel. Lenght = 17 m.
205109	Duplicata of sample # 203407. Quartziferous syenite with smoked quartz.
205110	Little dyke of quartziferous (smoked quartz) syenite (fine grain), silicated, hosted in rapakivic syenite.
205111	Block (1 m ²), quartzo-syenite (15-25% smoked quartz), Granite ??? Medium grain, oxydated.
205112	Quartzo syenite to granite, medium grain. 15-25% smoked quartz.
205113	Dyke of quartzo-syenite hosted in rapakivic syenite. Max cps is in dyke.

ÉCHANTILLON	ESTANT (nad 83)	NORDANT (nad 83)	AFFLEUREMENT/ RAINURE	RAINURE (DE)	RAINURE (A)	LONGUEUR	ÉCHANTILLONNEUR	DATE	LECTURES SPECTROMÈTRE					LITHOLOGIE	
									APPAREIL	CPS MOY	CPS MAX	K (%)	U (ppm)		Th (ppm)
205114	445252	6134730	78200022				JL	2010-07-13	RS-125	600	1800	4,5	51,9	208,6	I2C
205115	445258	6134701	(Block) 78200022				JL	2010-07-13	RS-125	1000	1800	0,6	34,2	306,7	I2C
205116	445340	6134680	78200022				JL	2010-07-13	RS-125	600	2200	7,3	71,5	197,6	I2C
205117	445344	6134675	78200022				JL	2010-07-13	RS-125	1000	3400	7,3	111,1	394,1	I2C
205118	445363	6134675	78200022				JL	2010-07-13	RS-125	600	2200	5,8	59,7	123,9	I2C
205119	445361	6134645	78200022				JL	2010-07-13	RS-125	600	1500	3,9	72,5	89,7	I2C
205120	445395	6134630	78200023				JL	2010-07-13	RS-125	1000	11000	16,6	193,1	1914,0	I2D
205121	445394	6134618	78200023				JL	2010-07-13	RS-125	1500	5000	6,1	225,8	598,1	I2D
205122	445372	6134599	78200023				JL	2010-07-13	RS-125	500	2000	4,5	75,5	236,4	I2C
205123	445472	6134557	78200023				JL	2010-07-13	RS-125	700	2500	4,4	110,5	295,3	I2C
205124	445138	6134636	78200024				JL	2010-07-13	RS-125	450	2200	5,7	59,1	276,6	I2D
205125			BLANK												
205126	444291	6135607	78202018				EL	2010-07-12	GR-110	250	2000				I2D
205127	444261	6135611	78202018				EL	2010-07-12	GR-110	300	1000				I2C
205128	444339	6135630	78202019				EL	2010-07-13	GR-110	290	1100				I2D
205129	444091	6135255	78202020				EL	2010-07-13	GR-110	160	300				I2D
205130	444190	6135158	(Block) 78202021				EL	2010-07-13	GR-110	230	1000				I2C
205131	444190	6135168	78202021				EL	2010-07-13	GR-110	200	470				I2D
205132	444123	6134994	78202022				EL	2010-07-13	GR-110	240	950				I2D
205133	444129	6134960	78202022				EL	2010-07-13	GR-110	300	1050				I2D
205134	444389	6135034	78202023				EL	2010-07-13	GR-110	200	460				I2D
205135	444069	6135001	78202022				EL	2010-07-13	GR-110	275	900				I2D
205136	444128	6134842	78202024				EL	2010-07-13	GR-110	290	1400				I2D
205137	443874	6134945	78202025				EL	2010-07-13	GR-110	180	750				I2C
205138	445778	6132736	78202026				EL	2010-07-14	GR-110	240	1950				I2C
205139	445789	6132793	78202026				EL	2010-07-14	GR-110	245	700				I2D
205140	445899	6132658	78202026				EL	2010-07-14	GR-110	375	950				I2D
205141	445406	6132634	78202026				EL	2010-07-14	GR-110	290	930				I2C
205142	445681	6132603	78202026				EL	2010-07-14	GR-110	240	1000				I2D
205143	445729	6132361	78202027				EL	2010-07-14	GR-110	200	650				I2D
205144	445981	6132225	78202028				EL	2010-07-14	GR-110	300	5100				I2C
205145	445967	6132224	78202028				EL	2010-07-14	GR-110	290	850				I2C
205146	445952	6132214	78202028				EL	2010-07-14	GR-110	300	850				I2C
205147	448459	6135529	78202029				EL	2010-07-15	GR-110	200	1000				I2C
205148	448474	6135526	78202029				EL	2010-07-15	GR-110	170	900				I2C
205149	448403	6135519	78202029				EL	2010-07-15	GR-110	320	1500				I2C
205150			BLANK												
205151	445113	6134658	(Block) 78200024				JL	2010-07-13	RS-125	700	1600	2,8	27,8	270,4	I4B
205152	445080	6134661	(Block) 78200024				JL	2010-07-13	RS-125	700	1200	2,1	18,1	111,8	I4B
205153	445058	6134661	(Block) 78200024				JL	2010-07-13	RS-125	1000	1800	2,3	35,2	316,3	I4B
205154	445061	6134612	78200025				JL	2010-07-13	RS-125	1000	2500	5,4	107,9	249,1	I2C
205155	445059	6134582	(Block) 78200025				JL	2010-07-13	RS-125	700	1600	3	23,3	254,2	I4B
205156	445067	6134574	78200025				JL	2010-07-13	RS-125	500	2000	4,7	81,7	181,6	I2C
205157	445102	6134569	78200026				JL	2010-07-13	RS-125	600	2000	4,6	15	176,6	I2D
205158	445872	6135301	78200027				JL	2010-07-14	RS-125	400	1700	5,6	30,9	224,7	I2D/I2C
205159	445582	6135164	78200028				JL	2010-07-14	RS-125	500	2500	7,1	41,6	371,8	I2C
205160	445969	6135282	78200027				JL	2010-07-14	RS-125	400	1100	6	29,9	107,7	I2C
205161	449349	6135632	78200028				JL	2010-07-14	RS-125	250	300	5,1	2	20,3	I2D
205162	449414	6135588	(Block) 78200028				JL	2010-07-14	RS-125	800	2000	3,8	36,1	345,6	I4B
205163	448492	6135444	78200030				JL	2010-07-15	RS-125	1000	2000	0,8	34,9	305,6	I4B
205164	448585	6135454	78200030				JL	2010-07-15	RS-125	1000	2400	1,5	45,5	460,9	I4B
205165	448639	6135468	78200030				JL	2010-07-15	RS-125	1000	2000	5,7	55,2	365,0	I4B
205166	448829	6135493	78200030				JL	2010-07-15	RS-125	1000	2200	0,8	50,1	424,1	I4B
205167	449039	6135578	78200030				JL	2010-07-15	RS-125	1000	1900	1,6	10,9	359,8	I4B
205168	448548	6135525	78200030				JL	2010-07-15	RS-125	1000	2000	1,9	34	321,7	I4B
205169	445164	6134718	78200031				JL	2010-07-15	RS-125	1000	2000	2,7	38,5	366,6	I4B
205170	444947	6134879	78200031				JL	2010-07-15	RS-125	800	1400	3,7	35,3	233,2	I4B
205171	444842	6134717	78200031				JL	2010-07-15	RS-125	800	2000	2,8	42,6	296,2	I4B

ÉCHANTILLON	MINÉRALOGIE	ALTÉRATIO N 1	ALTÉRATION 2	STRUCTURE 1	ORIENTATION (°)	PENDAGE (°)	STRUCTURE 2	ORIENTATION (°)	PENDAGE (°)
205114	Fp/Qz/Bo--	Oxydation	Silicification						
205115	Fp/Qz/Mg/Hb	Oxydation							
205116	Fp/Qz/Bo--	Oxydation	Silicification						
205117	Fp/Qz/Bo--	Oxydation	Silicification						
205118	Fp/Qz/Bo--	Oxydation	Silicification						
205119	Fp/Qz/Bo--	Oxydation	Silicification						
205120	Fp/Qz/Bo+	Oxydation							
205121	Fp/Qz/Bo+	Oxydation							
205122	Fp/Qz/Bo--	Oxydation	Silicification						
205123	Fp/Qz/Bo--	Oxydation	Silicification						
205124	Fp/Qz/Bo	Oxydation							
205125									
205126	Fk/Qz/Mg	Oxydation							
205127	Fp/Qz/Hb/Mg++	Oxydation							
205128	Fp/Qz/Bo	Oxydation							
205129	Fk/Pg/Qz/Hb/Mg	Oxydation							
205130	Fp/Qz/Mg/Hb	Oxydation							
205131	Fk/Pg/Qz/Hb	Oxydation							
205132	Fp/Qz/Hb	Oxydation		Diaclase	305	89	Diaclase	34	89
205133	Fp/Qz/Hb	Oxydation		Diaclase	305	89	Diaclase	34	89
205134	Fp/Qz/Hb	Oxydation		Dyke	112	90			
205135	Fp/Qz/Hb	Oxydation		Diaclase	305	89	Diaclase	34	89
205136	Fp/Qz/Hb	Oxydation							
205137	Fp/Qz/Mg	Oxydation		Dyke	115	90			
205138	Fp/Qz/Mg	Oxydation		Dyke	185	74			
205139	Fk/Pg/Qz/Hb/Mg	Oxydation		Fracture	164	71			
205140	Fk/Pg/Qz/Hb	Oxydation							
205141	Fp/Qz/Bo	Oxydation		Dyke	170	90			
205142	Fk/Pg/Qz/Hb/Mg	Oxydation							
205143	Fk/Qz/Hb/Mg	Oxydation							
205144	Fp/Qz/Mg	Oxydation		Dyke	176	90			
205145	Fp/Qz/Mg	Oxydation							
205146	Fp/Qz/Mg	Oxydation		Dyke	180	90			
205147	Fp/Qz/Bo/Mg	Oxydation							
205148	Fp/Qz/Bo/Mg	Oxydation							
205149	Fp/Qz/Bo/Mg	Oxydation							
205150									
205151	Px/Fp/Hb/Bo/Mg	Oxydation							
205152	Px/Fp/Hb/Bo/Mg	Oxydation							
205153	Px/Fp/Hb/Bo/Mg	Oxydation							
205154	Fp/Qz/Bo	Oxydation	Silicification						
205155	Px/Fp/Hb/Bo/Mg	Oxydation							
205156	Fp/Qz/Bo	Oxydation	Silicification						
205157	Fp/Qz/Bo								
205158	Fp/Hb/Bo/Qz	Oxydation	Silicification						
205159	Fp/Qz/Bo	Oxydation	Silicification						
205160	Fp/Qz	Oxydation	Silicification	Dyke	140	80			
205161	Fp/Qz/Bo	Oxydation							
205162	Px/Fp/Hb/Bo/Mg	Oxydation							
205163	Px/Fp/Bo/Hb/Mg	Oxydation							
205164	Px/Fp/Bo/Hb/Mg	Oxydation							
205165	Px/Fp/Bo/Hb/Mg	Oxydation							
205166	Px/Fp/Bo/Hb/Mg	Oxydation							
205167	Px/Fp/Bo/Hb/Mg	Oxydation							
205168	Px/Fp/Bo/Hb/Mg	Oxydation							
205169	Px/Fp/Bo/Hb/Mg	Oxydation							
205170	Px/Fp/Bo/Hb/Mg	Oxydation							
205171	Px/Fp/Bo/Hb/Mg	Oxydation							

ÉCHANTILLON	NOTES SUR LE TERRAIN
205114	Same dyke of sample 205113
205115	Block of quartz-syenite with Mg, Hb. Medium grain. Subangular. 1m x 1m. Very oxided.
205116	Little quartz-syenite dyke hosted in rapakivic syenite.
205117	Little quartz-syenite dyke hosted in rapakivic syenite. Same dyke of sample 205116
205118	Same dyke system (quartzo-syenite) of sample # 205116.
205119	Same dyke system (quartzo-syenite) of sample # 205116.
205120	Same dyke system of quartzo-syenite, lot of Bo in rapakivic syenite. Sample #205120 took on RK syenite, duplicata of 203630.
205121	Took in rapakivic syenite. Radial fracturation around sample. Duplicata of sample 203631.
205122	Took in little quartzo-syenite dyke. Dyke:118/68
205123	Took in little quartzo-syenite dyke.
205124	System of quartzo-syenite dyke hosted in +/- rapakivic syenite. High cps on border of dyke, in rapakivic syenite
205125	
205126	Syenite outcrop. 10% Mg. Rapakivic texture.
205127	Quartziferious syenite dyke with smoked quartz and 15% magnetite.
205128	Syenite outcrop. Rapakivic texture. Coarse grain sized. Not magnetic.
205129	Syenite outcrop. Rapakivic texture. Coarse grain sized. A little magnetic.
205130	Quartziferious syenite block with smoked quartz and 15% magnetite.
205131	Syenite outcrop. Rapakivic texture. Coarse grain sized. Not magnetic.
205132	Syenite outcrop. Rapakivic texture. Coarse grain sized. Not magnetic.
205133	Syenite outcrop. Rapakivic texture. Coarse grain sized. Not magnetic.
205134	Syenite outcrop. Rapakivic texture. Coarse grain sized. Not magnetic.
205135	Syenite outcrop. Rapakivic texture. Coarse grain sized. Not magnetic.
205136	Syenite outcrop. Middle grain sized. Smoked quartz. Not magnetic.
205137	Quartziferious syenite dyke. 15% magnetite. Middle grain sized.
205138	Quartziferious syenite dyke. 15% magnetite. Middle grain sized.
205139	Syenite outcrop. Rapakivic texture. Coarse grain sized. 10% magnetite.
205140	Syenite outcrop. Rapakivic texture. Coarse grain sized. Not magnetic.
205141	Quartziferious syenite dyke. Not magnetic. Middle grain sized. Presence of Bo.
205142	Syenite outcrop. Rapakivic texture. Coarse grain sized. 15% magnetite. Enclave more magnetic than the normal outcrop.
205143	Syenite outcrop. Rapakivic texture. Coarse grain sized. 20% Magnetite.
205144	Quartziferious syenite dyke. 25% magnetite. Fine grain sized.
205145	Quartziferious syenite enclave. 20% magnetite. Middle grain sized.
205146	Quartziferious syenite dyke. 20% magnetite. Fine grain sized.
205147	Quartziferious syenite block. 10% magnetite. Middle grain sized. 35 cm diameter.
205148	Quartziferious syenite block. 10% magnetite. Middle grain sized. 40 cm diameter.
205149	Quartziferious syenite block. 15% magnetite. Middle grain sized. 50 cm diameter.
205150	
205151	Block subangular, lot of boulder of same rock in surface. Porphyre of Fp in matrix of Px/Hb/Bo
205152	Idem #205151
205153	Idem #205152
205154	Dykes system of quartzo-syenite hosted in +/- rapakivic syenite. 2 family of dykes. Sample took on first.
205155	Boulder of same rock that the sample #205151.
205156	Took on outcrop, in host rock (rapakivic syenite), on top of hill.
205157	Outcrop of rapakivic syenite with some little quartzo-syenite dyke. Sample took in host rock.
205158	Dyke of quartzo-syenite (fine grain, smoked quartz) hosted in rapakivic syenite with Hb/Qz. High cps is in the margin of the dyke. Sample took in this "margin.
205159	Big boulder (5mx5mx5m), maybe outcrop ?? In little valley, between 2 big hill. Little dyke (10-15 cm) of quartzo-syenite on boulder of rapakivic syenite. Sample took in dyke.
205160	Sample took in quartzo-syenite dyke hosted in rapakivic syenite. Presence of smoked quartz.
205161	Sample took in rapakivic syenite. On top of hill.
205162	Boulder with Px/Fp/Bo/iron oxyde, low to medium mag, black-red-orange, medium grain, 2mx2mx2m, lot of same boulder around (60-80).
205163	Block of Pyroxénite with Mg, very mag, 2m x 1m x 1m. Very oxyded, dense, smoked quartz.
205164	Block of Pyroxénite with Mg, very mag, 2m x 1m x 1m. Very oxyded, dense, smoked quartz.
205165	Block of Pyroxénite with Mg, very mag, 2m x 1m x 1m. Very oxyded, dense, smoked quartz.
205166	Block of Pyroxénite with Mg, very mag, 2m x 1m x 1m. Very oxyded, dense, smoked quartz.
205167	Block of Pyroxénite with Mg, very mag, 2m x 1m x 1m. Very oxyded, dense, smoked quartz.
205168	Block of Pyroxénite with Mg, very mag, 2m x 1m x 1m. Very oxyded, dense, smoked quartz.
205169	Block of Pyroxénite with Mg, very mag, 2m x 1m x 1m. Very oxyded, dense, smoked quartz.
205170	Block of pyroxénite with Mg, very mag, 1,5m x 1m x 1m. Very oxyded, dense, smoked quartz.
205171	Block of pyroxénite with Mg, very mag, 60cm x 60cm x 60cm. Very oxyded, dense, smoked quartz.

ÉCHANTILLON	ESTANT (nad 83)	NORDANT (nad 83)	AFFLEUREMENT/ RAINURE	RAINURE (DE)	RAINURE (A)	LONGUEUR	ÉCHANTILLONNEUR	DATE	LECTURES SPECTROMÈTRE					LITHOLOGIE	
									APPAREIL	CPS MOY	CPS MAX	K (%)	U (ppm)		Th (ppm)
205172	444874	6134672	78200031				JL	2010-07-15	RS-125	800	1600	0,7	38,2	288,7	I4B
205173	444749	6134450	78200031				JL	2010-07-15	RS-125	1000	2300	3,1	44,7	436,1	I4B
205174	444806	6134528	78200031				JL	2010-07-15	RS-125	800	1600	1,5	38,3	297,6	I4B
205175			BLANK												
205176	444444	6136441	78201029				SL	2010-07-14	RS-230	500	700	5,7	11,2	64,2	I2C
205177	444164	6136517	78201030				SL	2010-07-14	RS-230	450	700	5,3	85	49,1	I2C
205178	448594	6135506	78201032				SL	2010-07-15	RS-230	1200	2000	0,4	65,4	11,8	I2C
205179	448672	6135527	78201032				SL	2010-07-15	RS-230	1200	2000	1,7	79,1	162,0	I2C
205180	448911	6135542	78201032				SL	2010-07-15	RS-230	1000	2000	1,8	67	146,0	I2C
205181	448845	6135617	78201032				SL	2010-07-15	RS-230	1000	2000	2	66,6	165,9	I2C
205182	444481	6136840	78201031				SL	2010-07-15	RS-230	1000	6500	6,8	43	714,8	I2C
205183	444476	6136837	78201031				SL	2010-07-15	RS-230	800	2400	6,5	63,4	281,0	I2C
205184	444460	6136839	78201031				SL	2010-07-15	RS-230	2000	10000	11,3	434	1193,0	I2C
205185	444457	6136839	78201031				SL	2010-07-15	RS-230	1000	5000	7,8	171,7	306,2	I2C
205186	444444	6136842	78201031				SL	2010-07-15	RS-230	1000	5000	9,9	29	1297,0	I2C
205187	444438	6136842	78201031				SL	2010-07-15	RS-230	1000	4500	6,9	5,3	328,1	I2C
205188	444411	6136890	78201033				SL	2010-07-15	RS-230	1000	2600	5,6	100,6	144,1	I2C
205189	444474	6136937	78201034				SL	2010-07-15	RS-230	450	900	7,2	38,4	74,8	I2C
205190	444134	6136784	78201035				SL	2010-07-16	RS-230	300	400	0	69,3	95,0	I2D
205191	444550	6136877	78201036				SL	2010-07-16	RS-230	1000	2400	7,5	85	157,4	I2C
205192	444569	6136883	78201036				SL	2010-07-16	RS-230	1000	6500	2,2	25,6	395,3	I2C
205193	444643	6136895	78201037				SL	2010-07-16	RS-230	700	2200	5,1	73,6	94,6	I2C
205194	444669	6136999	78201038				SL	2010-07-16	RS-230	650	2000	6,4	35,7	123,1	I2C
205195	444104	6137150	78201040				SL	2010-07-19	RS-230	7000	17000	17,3	1108	447,8	I2C
205196	444081	6137159	78201040				SL	2010-07-19	RS-230	1000	4000	4,9	263	164,7	I2C
205197	444089	6137161	78201040				SL	2010-07-19	RS-230	1000	4500	4,3	240	227,1	I2C
205198	443805	6137249	78201041				SL	2010-07-19	RS-230	300	500	5,1	6,1	31,2	I2C
205199	443800	6137252	78201041				SL	2010-07-19	RS-230	1000	4000	6,1	173,1	280,9	I2C
205200			BLANK												
205201	448376	6135532	78202029				EL	2010-07-15	GR-110	250	1300				I2C
205202	446051	6131914	78202030				EL	2010-07-15	GR-110	220	1100				I2C
205203	446051	6131878	78202030				EL	2010-07-15	GR-110	280	2500				I2C
205204	446232	6131826	78202031				EL	2010-07-15	GR-110	230	650				I2D
205205	446466	6131506	78202032				EL	2010-07-15	GR-110	260	3100				I2C
205206	445800	6134910	78202034				EL	2010-07-16	RS-125	200	1750	2,1	32,9	317,6	I4B
205207	445741	6134852	78202034				EL	2010-07-16	RS-125	200	1400	1,3	35,1	262,4	I4B
205208	445652	6134874	78202035				EL	2010-07-16	RS-125	170	420	6,5	1,7	35,3	I2D
205209	445651	6134845	78202034				EL	2010-07-16	RS-125	320	1950	2,6	16,5	336,1	I4B
205210	445685	6134762	78202034				EL	2010-07-16	RS-125	240	2300	4,4	52,3	401,9	I4B
205211	445549	6134762	78202034				EL	2010-07-16	RS-125	220	1700	4,9	39,1	300,2	I4B
205212	445536	6134693	78202034				EL	2010-07-16	RS-125	200	1600	1,2	38,5	295,7	I4B
205213	445487	6134798	78202034				EL	2010-07-16	RS-125	310	1700	1,1	35,1	343,3	I4B
205214	445456	6134679	78202036				EL	2010-07-16	RS-125	200	1620	5,6	64,7	157,0	I2D
205215	445454	6134673	78202036				EL	2010-07-16	RS-125	300	1700	4,4	33,1	304,0	I4B
205216	445954	6134174	78202037				EL	2010-07-16	RS-125	350	1100	6	27	105,7	I2D
205217	446065	6134536	78202038				EL	2010-07-16	RS-125	200	1100	2,1	27,1	182,4	I4B
205218	446093	6134897	78202038				EL	2010-07-16	RS-125	200	2050	4,3	12	333,2	I4B
205219	445856	6131582	78202039				EL	2010-07-19	GR-110	270	560				I2D
205220	446825	6131394	78202040				EL	2010-07-19	GR-110	220	590				I2D
205221	446838	6131399	(Block) 78202040				EL	2010-07-19	GR-110	300	1090				I2D
205222	446908	6131878	78202041				EL	2010-07-19	GR-110	240	1100				I2C
205223	447041	6131733	78202042				EL	2010-07-19	GR-110	250	900				I2D
205224	447221	6131618	78202043				EL	2010-07-19	GR-110	250	850				I2D
205225			BLANK												
205226	444612	6134580	78200031				JL	2010-07-15	RS-125	800	2300	3,3	51,2	393,0	I4B
205227	444698	6134548	78200031				JL	2010-07-15	RS-125	800	1800	3,5	29,6	311,4	I4B
205228	445009	6134517	78200031				JL	2010-07-15	RS-125	1000	2300	0,9	63,4	338,1	I4B
205229	444989	6134609	78200031				JL	2010-07-15	RS-125	1000	2000	2,1	37,8	374,6	I4B

ÉCHANTILLON	MINÉRALOGIE	ALTÉRATIO N 1	ALTÉRATION 2	STRUCTURE 1	ORIENTATION (°)	PENDAGE (°)	STRUCTURE 2	ORIENTATION (°)	PENDAGE (°)
205172	Px/Fp/Bo/Hb/Mg	Oxydation							
205173	Px/Fp/Bo/Hb/Mg	Oxydation							
205174	Px/Fp/Bo/Hb/Mg	Oxydation							
205175									
205176	Fp/Qz\Am/Mg	Oxydation							
205177	Fp/Qz\Am/Mg	Oxydation							
205178	Fp/Qz\Am/Mg	Oxydation							
205179	Fp/Qz\Am/Mg	Oxydation							
205180	Fp/Qz\Am/Mg	Oxydation							
205181	Fp/Qz\Am/Mg	Oxydation							
205182	Fp/Qz\Am/Mg	Oxydation							
205183	Fp/Qz\Am/Mg	Oxydation							
205184	Fp/Qz\Am/Mg	Oxydation							
205185	Fp/Qz\Am/Mg	Oxydation							
205186	Fp/Qz\Am/Mg	Oxydation							
205187	Fp/Qz\Am/Mg	Oxydation							
205188	Fp/Qz\Am/Mg/Bo	Oxydation							
205189	Fp/Qz\Am/Mg	Oxydation							
205190	Fp/Qz\Am/Mg	Oxydation							
205191	Fp/Qz\Am/Mg	Oxydation							
205192	Fp/Qz\Am/Mg	Oxydation							
205193	Fp/Qz\Am/Mg	Oxydation							
205194	Fp/Qz\Am/Mg	Oxydation							
205195	Fp/Qz\Am/Mg	Oxydation							
205196	Fp/Qz\Am/Mg	Oxydation							
205197	Fp/Qz\Am/Mg	Oxydation							
205198	Fp/Qz\Am/Mg/Bo	Oxydation							
205199	Fp/Qz\Am/Mg/Bo	Oxydation							
205200									
205201	Fp/Qz/Bo/Mg	Oxydation							
205202	Fp/Qz/Bo	Oxydation							
205203	Fp/Qz/Bo/Mg	Oxydation		Dyke	10	73			
205204	Fp/Qz/Bo	Oxydation							
205205	Fk/Qz/Hb	Oxydation		Dyke	358	75			
205206	Px/Fp/Qz/Bo/Mg	Oxydation							
205207	Px/Fp/Qz/Bo/Mg	Oxydation							
205208	Px/Fp/Qz/Bo/Mg	Oxydation							
205209	Px/Fp/Qz/Bo/Mg	Oxydation							
205210	Px/Fp/Qz/Bo/Mg	Oxydation							
205211	Px/Fp/Qz/Bo/Mg	Oxydation							
205212	Px/Fp/Qz/Bo/Mg	Oxydation							
205213	Px/Fp/Qz/Bo/Mg	Oxydation							
205214	Fk/Qz/Hb	Oxydation		Fracture	156	25			
205215	Px/Fp/Qz/Bo/Mg	Oxydation							
205216	Fk/Qz/Hb	Oxydation		Fracture	315	86			
205217	Px/Fp/Qz/Bo/Mg	Oxydation							
205218	Px/Fp/Qz/Bo/Mg	Oxydation							
205219	Fk/Qz/Hb/Mg	Oxydation							
205220	Fk/Qz/Pg/Hb	Oxydation		Fracture	296	90			
205221	Fk/Qz/Pg/Hb	Oxydation							
205222	Fp/Qz/Hb/Mg	Oxydation		Dyke	175	90			
205223	Fk/Qz	Oxydation							
205224	Fk/Qz/Hb	Oxydation		Fracture	276	72			
205225									
205226	Px/Fp/Bo/Hb/Mg	Oxydation							
205227	Px/Fp/Bo/Hb/Mg	Oxydation							
205228	Px/Fp/Bo/Hb/Mg	Oxydation							
205229	Px/Fp/Bo/Hb/Mg	Oxydation							

ÉCHANTILLON	NOTES SUR LE TERRAIN
205172	Block of pyroxenite with Mg, very mag, 2m x 1m x 1m. Very oxyded, dense, smoked quartz.
205173	Block of pyroxenite with Mg, very mag, 2m x 2m x 2m. Very oxyded, dense, smoked quartz.
205174	Block of pyroxenite with Mg, very mag, 2m x 1m x 1m. Very oxyded, dense, smoked quartz.
205175	
205176	Dyke Sub-280N of I2C (FG), green with Sm Qz.
205177	Dyke Sub-130N of I2C (FG).
205178	Block of I2C Mag. Assey no stab.
205179	Block of I2C Mag. Assey no stab.
205180	Block of I2C Mag. Assey no stab.
205181	Block of I2C Mag. Assey no stab.
205182	Vein of I2C cm with Sm Qz,mg
205183	Vein of I2C cm with Sm Qz,mg
205184	Vein of I2C cm with Sm Qz,mg
205185	Vein of I2C cm with Sm Qz,mg
205186	Vein of I2C cm with Sm Qz,mg
205187	Vein of I2C cm with Sm Qz,mg
205188	Dyke of I2C dm with Sm Qz,mg
205189	Dyke of I2C dm with Sm Qz,mg
205190	I2d for representation
205191	Dyke cm of I2C with Sm Qz,mg.
205192	Dyke dm of I2C with Sm Qz,mg.
205193	Dyke dm of I2C with Sm Qz,mg.
205194	Dyke dm of I2C with Sm Qz,mg, Py 5%.
205195	Dyke dm of I2C with Sm Qz,mg. Présence of prismatic mineral ???? Gray.
205196	Dyke dm of I2C with Sm Qz,mg.
205197	Dyke dm of I2C with Sm Qz,mg.
205198	Dyke dm of I2C with Sm Qz,mg.
205199	Dyke dm of I2C with Sm Qz,mg.
205200	
205201	Quartziferous syenite block. 15% magnetite. Middle grain sized. 100 cm diameter.
205202	Quartziferous syenite enclave. Not magnetic. Middle grain sized.
205203	Quartziferous syenite dyke. 5% magnetite. Fine grain sized.
205204	Syenite outcrop. Rapakivic texture. Middle grain sized. Not magnetic.
205205	Quartziferous syenite dyke. Not magnetic. Middle grain sized.
205206	Feldspathic pyroxenite block. 10% magnetite. Middle grain sized. Smoked Qz.
205207	Feldspathic pyroxenite block. 15% magnetite. Middle grain sized. Smoked Qz.
205208	Syenite outcrop. Rapakivic texture. Coarse grain sized. 5% magnetite.
205209	Feldspathic pyroxenite block. 15% magnetite. Middle grain sized. Smoked Qz.
205210	Feldspathic pyroxenite block. 10% magnetite. Middle grain sized. Smoked Qz.
205211	Feldspathic pyroxenite block. 15% magnetite. Middle grain sized. Smoked Qz.
205212	Feldspathic pyroxenite block. 15% magnetite. Middle grain sized. Smoked Qz.
205213	Feldspathic pyroxenite block. 20% magnetite. Middle grain sized. Smoked Qz.
205214	Syenite outcrop. Rapakivic texture. Coarse grain sized. 15% magnetite.
205215	Feldspathic pyroxenite block. 15% magnetite. Middle grain sized. Smoked Qz.
205216	Syenite outcrop. Rapakivic texture. Coarse grain sized. Not magnetic.
205217	Feldspathic pyroxenite block. 15% magnetite. Middle grain sized. Smoked Qz.
205218	Feldspathic pyroxenite block. 15% magnetite. Middle grain sized. Smoked Qz.
205219	Syenite outcrop. Rapakivic texture. Coarse grain sized. 5% Magnetite.
205220	Syenite outcrop. Rapakivic texture. Coarse grain sized. Not magnetic. In a fracture.
205221	Syenite block. Rapakivic texture. Highly oxyded. Not magnetic. Coarse grain sized.
205222	Quartziferous syenite dyke. 5% magnetite. Fine grain sized.
205223	Syenite outcrop. Rapakivic texture. Medium grain sized. Not magnetic. Lot of Qz.
205224	Syenite outcrop. Rapakivic texture. Coarse grain sized. Not magnetic. In a fracture.
205225	
205226	Block of pyroxenite with Mg, very mag, 1m x 1m x 1m. Very oxyded, dense, smoked quartz.
205227	Block of pyroxenite with Mg, very mag, 1m x 1m x 1m. Very oxyded, dense, smoked quartz.
205228	Block of quartzo-syenite with Mg, very mag, 1m x 1m x 1m. Very oxyded, dense, smoked quartz.
205229	Block of quartzo-syenite with Mg, very mag, 1m x 1m x 1m. Very oxyded, dense, smoked quartz.

ÉCHANTILLON	ESTANT (nad 83)	NORDANT (nad 83)	AFFLEUREMENT/ RAINURE	RAINURE (DE)	RAINURE (A)	LONGUEUR	ÉCHANTILLONNEUR	DATE	LECTURES SPECTROMÈTRE					LITHOLOGIE	
									APPAREIL	CPS MOY	CPS MAX	K (%)	U (ppm)		Th (ppm)
205230	440487	6133610	78200032				JL	2010-07-19	RS-125	500	1200	4,7	19,6	214,3	I2D
205231	440755	6134088	(Block) 78200032				JL	2010-07-19	RS-125	1000	3200	3,6	49,5	612,8	I2D
205232	440039	6132910	78200033				JL	2010-07-19	RS-125	550	1700	5,7	21,8	284,3	I2D
205233	440083	6132784	78200034				JL	2010-07-19	RS-125	1000	18000	4,5	235,7	2711,0	I2C
205234	440086	6132782	78200034				JL	2010-07-19	RS-125	1000	5600	4,5	0	692,3	I2C
205235	440201	6132756	78200035				JL	2010-07-19	RS-125	1000	3600	6,1	66,1	676,1	I2D
205236	440212	6132756	78200035				JL	2010-07-19	RS-125	1200	4700	2,7	73,7	1086,0	I2D
205237	440239	6132755	78200035				JL	2010-07-19	RS-125	1200	7200	0	163,4	1862,0	I2D (Mg+++)
205238	439037	6133173	78200036				JL	2010-07-20	RS-125	800	3000	8,2	17,4	474,9	I2D
205239	439029	6133167	78200036				JL	2010-07-20	RS-125	1000	4000	6,4	39,1	724,5	I2D
205240	439144	6133154	(Block) 78200036				JL	2010-07-20	RS-125	1000	4500	6,4	186,7	420,0	I2C
205241	438838	6133357	78200037				JL	2010-07-20	RS-125	1000	3000	3,9	51,6	524,9	I2D
205242	438875	6133406	78200038				JL	2010-07-21	RS-125	500	3800	8,1	180,2	458,3	I2D
205243	438868	6133399	78200038				JL	2010-07-21	RS-125	800	2400	4,9	72,8	246,0	I1G
205244	438859	6133382	78200038				JL	2010-07-21	RS-125	800	1700	4,5	30,6	224,9	I2D
205245	439655	6132112	78200041				JL	2010-07-21	RS-125	450	1500	5,7	61,7	116,0	I2D
205246	448828	6118448	78200043				JL	2010-07-22	RS-125	400	1350	4,6	24,7	180,6	I1G
205247	448669	6120134	78200046				JL	2010-07-22	RS-125	350	500	4,7	1,4	41,5	I2D
205248	448220	6120312	78200047				JL	2010-07-22	RS-125	350	1200	6,3	13,5	169,7	I2D
205249	447856	6120654	78200048				JL	2010-07-22	RS-125	300	700	5,4	2,9	86,2	I2D
205250			BLANK												
205251	442729	6128878	78201042				SL	2010-07-19	RS-230	300	500	4,4	5,5	34,2	I2D
205252	443952	6137367	78201044				SL	2010-07-20	RS-125	700	900	4,1	1,4	17,0	I2C
205253	443940	6137314	78201044				SL	2010-07-20	RS-125	1000	11500	10,7	71,2	212,7	I2C
205254	443950	6137367	78201044				SL	2010-07-20	RS-125	2000	12000	13	77,8	2220,0	I2C
205255	444004	6137368	78201044				SL	2010-07-20	RS-125	800	2600	7	77,8	168,8	I2C
205256	444414	6137388	78201045				SL	2010-07-20	RS-125	900	2000	3,8	27,1	226,0	I2C
205257	444410	6137418	78201047				SL	2010-07-21	RS-125	700	1200	1,4	55,3	63,3	I2C
205258	441390	6137179	78201048				SL	2010-07-21	RS-125	250	350	4,6	5,1	61,1	I2C
205259	447353	6137391	78201049				SL	2010-07-21	RS-125	200	300	7,6	2,1	78,2	I2D
205260	447353	6137391	78201050				SL	2010-07-21	RS-125	200	350	3,9	0,5	15,5	I2D
205261	446813	6138094	78201051				SL	2010-07-21	RS-125	350	400	5,1	2,3	65,0	I1B
205262	448714	6117135	78201052				SL	2010-07-22	RS-125	400	900	2,5	5,8	44,2	I2D
205263	448670	6117192	78201052				SL	2010-07-22	RS-125	1000	7500	0,6	27,3	871,0	I1G
205264	448683	6117192	78201052				SL	2010-07-22	RS-125	600	1000	3,4	14,9	108,8	I1G
205265	448684	6117196	78201052				SL	2010-07-22	RS-125	550	900	3,7	2,1	95,2	I1G
205266	448673	6117196	78201052				SL	2010-07-22	RS-125	700	1400	2,3	122,5	252,5	I1G
205267	448669	6117199	78201052				SL	2010-07-22	RS-125	700	1600	2,9	22,6	211,8	I1G
205268	448641	6117226	78201053				SL	2010-07-22	RS-125	600	950	2,74	20,4	77,1	I2F
205269	448568	6117260	78201053				SL	2010-07-22	RS-125	200	260	3,1	1,5	20,0	I2J
205270	454878	6124414	78201054				SL	2010-07-23	RS-125	800	3000	3,1	69,7	22,1	I2D
205271	454888	6124388	78201054				SL	2010-07-23	RS-125	1000	3000	5,3	37,6	417,0	I2C
205272	454891	6124384	78201054				SL	2010-07-23	RS-125	900	3000	5,3	60,7	173,3	I2C
205273	454877	6124412	78201054				SL	2010-07-23	RS-125	700	3000	4,3	158,4	416,4	SM Qtz massive
205274	454893	6124406	78201054				SL	2010-07-23	RS-125	900	2000	6,2	10,1	25,8	I2C
205275			BLANK												
205276	447275	6131774	9Block) 78202043				EL	2010-07-19	GR-110	280	1700				I1B
205277	443991	6129201	78202044				EL	2010-07-20	RS-125	380	2000	6	32,1	251,4	I2D
205278	443778	6128814	78202045				EL	2010-07-20	RS-125	350	1930	6,2	63,2	221,3	I2C
205279	444095	6129030	78202046				EL	2010-07-20	RS-125	410	2660	4,1	51	369,2	I2D
205280	444892	6129517	78202047				EL	2010-07-21	RS-125	300	2230	5,1	12	434,7	I2D
205281	444837	6129505	78202047				EL	2010-07-21	RS-125	200	1650	6,9	28	201,7	I2D
205282	444460	6129167	78202048				EL	2010-07-21	RS-125	280	1400	4,5	13,9	193,4	I2D
205283	443650	6129859	78202049				EL	2010-07-21	RS-125	230	700	4,9	3,9	105,7	I2F
205284	443391	6129360	78202050				EL	2010-07-21	RS-125	205	620	5,2	8,4	76,2	I2F
205285	442935	6129151	78202051				EL	2010-07-22	RS-125	260	1850	7,8	46,7	168,3	I2D
205286	442903	6129135	78202051				EL	2010-07-22	RS-125	335	1500	5,1	33,9	218,8	EN MG
205287	442881	6129142	78202051				EL	2010-07-22	RS-125	320	1450	3,4	32,5	260,0	EN MG

ÉCHANTILLON	MINÉRALOGIE	ALTÉRATIO N 1	ALTÉRATION 2	STRUCTURE 1	ORIENTATION (°)	PENDAGE (°)	STRUCTURE 2	ORIENTATION (°)	PENDAGE (°)
205230	Fp/Bo/Hb/Qz	Oxydation							
205231	Fp/Bo/Hb	Oxydation							
205232	Fp/Hb/Bo	Oxydation							
205233	Fp/Hb/Qz/Mz/Fl/Ox	Oxydation							
205234	Fp/Hb/Qz/Mz/Fl/Ox	Oxydation							
205235	Fp/Hb/Bo/Mg	Oxydation							
205236	Fp/Hb/Bo/Mg	Oxydation							
205237	Fp/Hb/Bo/Mg+++	Oxydation							
205238	Fp/Bo	Oxydation							
205239	Fp/Bo	Oxydation							
205240	Fp/Bo/Qz/metallic mineral								
205241	Fp/Bo								
205242	Fp/Bo/Qz	Oxydation							
205243	Fp/Qz/Bo	Oxydation							
205244	Fp/Bo/Qz	Oxydation							
205245	Fp/Bo/Qz	Oxydation							
205246	Fp/Qz/Hb/Bo/Fl	Oxydation		Dyke	317	80			
205247	Fp/Hb/Bo/Qz	Oxydation							
205248	Fp/Bo/Qz	Oxydation							
205249	Fp/Bo/Hb	Oxydation							
205250									
205251	Fp/Qz\Am	Oxydation							
205252	Fp/Qz\Am\Mg	Oxydation							
205253	Fp/Qz\Am\Mg	Oxydation							
205254	Fp/Qz\Am\Mg/Bo+++	Oxydation							
205255	Fp/Qz\Am\Mg	Oxydation							
205256	Fp/Qz\Am\Mg	Oxydation							
205257	Fp/Qz\Am	Oxydation							
205258	Fp/Qz\Am	Oxydation							
205259	Fp/Qz\Am	Oxydation							
205260	Fp/Qz\Am	Oxydation							
205261	Fp/Qz\Am								
205262	Fp/Qz\Am								
205263	Fp/Qz\Bo+++								
205264	Fp/Qz\Bo+++								
205265	Fp/Qz\Bo+++								
205266	Fp/Qz\Bo+++								
205267	Fp/Qz\Bo+++								
205268	Fp/Qz\Bo								
205269	Fp/Am/Bo								
205270	Fp/Am/Bo/Qz								
205271	Fp/Am/Bo/Qz/Fl								
205272	Fp/Am/Bo/Qz								
205273	Sm Qtz, Bo								
205274	Fp/Am/Bo/Qz								
205275									
205276	Fp/Qz/Bo	Oxydation							
205277	Fk/Qz/Pg/Bo	Oxydation							
205278	Fp/Qz/Bo	Oxydation		Dyke	104	45			
205279	Fp//Qz/Bo/Mg	Oxydation							
205280	Fk/Qz/Bo/Pg/Hb/Fl	Oxydation							
205281	Fk/Qz/Bo/Pg/Hb/Fl	Oxydation		Fracture	234	51			
205282	Fk/Qz/Bo/Pg	Oxydation		Fracture	262	58			
205283	Pg/Qz/Fk/Bo	Oxydation		Fracture	335	90			
205284	Pg/Qz/Fk/Mg	Oxydation							
205285	Fk/Pg/Qz/Bo	Oxydation							
205286	Mg	Oxydation							
205287	Mg	Oxydation							

ÉCHANTILLON	NOTES SUR LE TERRAIN
205230	Outcrop of rapakivic syenite with biotite, on top of hill. Sample 205230 taken along fracture.
205231	Block in-situ of rapakivic syenite with Bo/Hb, on top of hill.
205232	Outcrop of syenite with Hb/Bo, rapakivic texture, taken down hill.
205233	Dyke of quartzo-syenite with megaxtal of black mineral (Hb ?) and monazite, spot of purple mineral (fluorine ?). Dyke hosted in rapakivic syenite.
205234	Dyke of quartzo-syenite with megaxtal of black mineral (Hb ?) and monazite, spot of purple mineral (fluorine ?). Dyke hosted in rapakivic syenite.
205235	Outcrop of syenite with Hb, magnetite ++ locally, near of lot of sample took last year.
205236	Same rock as sample 205235.
205237	Duplicate of sample 203475. On same outcrop as 205235, but in spot with lot of magnetite, fine grain, black-grey.
205238	Outcrop of rapakivic syenite with Bo, lot of cps between 1000-4000 cps around, border of river, down of hills.
205239	Sample taken on rapakivic syenite (same outcrop as 205238).
205240	Boulder of quartzo-syenite with metallic mineral, biotite. Pink, non-mag, 50cm x 50cm.
205241	Outcrop of syenite with Bo, mineral with alteration halo and radial fractures.
205242	Outcrop of syenite with Qz/Bo, rapakivic texture. Presence of enclave or discontinu dyke of pegmatite. Sample taken in rapakivic syenite.
205243	Outcrop of rapakivic syenite with pegmatitic enclave, High cps in pegmatitic enclave (between 800-2400 cps). Sample taken in pegmatitic.
205244	Same outcrop as sample 205242. Taken in rapakivic syenite.
205245	Outcrop of rapakivic syenite, background around 250-300 cps. On top of hill. Very isolated spot with high cps.
205246	Outcrop of gabbrodiorite with pegmatite dyke. Purple mineral (fluorine) in I1G. Sample taken in I1G.
205247	Outcrop of rapakivic syenite in valley. % of Fp porphyre vary locally.
205248	Outcrop of syenite with Bo (phenocrystal).
205249	Outcrop of rapakivic syenite with Bo, on top of hill.
205250	
205251	I2D
205252	Dyke dm of I2C,mg.
205253	Dyke dm of I2C with Sm Qz,mg, Bo+++
205254	Dyke dm of I2C with Sm Qz,mg.
205255	Dyke dm of I2C with Sm Qz,mg.
205256	Dyke dm of I2C with Sm Qz,mg.
205257	Dyke dm of I2C,mg. Insitu
205258	Dyke dm of I2C with Sm Qz,mg.
205259	I2D homo, Bo+++.
205260	I2D homo.
205261	Granite at Hb., homo.
205262	I2D at RK texture homogeneous.
205263	I1G(cm), Bo+++ . See picture
205264	I1G, Bo+++ , amazonite. See picture
205265	I1G, Bo+++
205266	I1G, Sm Qz, Bo+++
205267	I1G, Sm Qz, Bo+++
205268	I2F, on patchy.
205269	I2J, Green, Bo+++ . See picture
205270	I2D near of contact I2D/I2J.
205271	I2C, Sm Qz.
205272	I2C, Sm Qz. No mag.
205273	Massive Sm Qz
205274	I2C (FG), Sm Qz, no mag.
205275	
205276	Granite block. Hole effect. Coarse grain sized. Not magnetic.
205277	Syenite outcrop. Rapakivic texture. Coarse grain sized. Not magnetic.
205278	Quartziferous syenite dyke. Not magnetic. Medium grain sized.
205279	Syenite outcrop. Rapakivic texture. Medium grain sized. 5% magnetite.
205280	Syenite outcrop. Rapakivic texture. Coarse grain sized. Not magnetic. Presence of 1% fluorine.
205281	Syenite outcrop. Rapakivic texture. Coarse grain sized. Not magnetic. Presence of 2% fluorine. Taken in a fracture.
205282	Syenite outcrop. Rapakivic texture. Coarse grain sized. Not magnetic. Taken in fracture.
205283	Monzonite outcrop. Rapakivic texture. Medium grain sized. Not magnetic.
205284	Monzonite outcrop. Rapakivic texture. Coarse grain sized. 10% magnetite.
205285	Syenite outcrop. Rapakivic texture. Coarse grain sized. Not magnetic.
205286	Massive magnetite enclave. Medium grain sized. 100% Mg.
205287	Massive magnetite enclave. Medium grain sized. 100% Mg.

ÉCHANTILLON	ESTANT (nad 83)	NORDANT (nad 83)	AFFLEUREMENT/ RAINURE	RAINURE (DE)	RAINURE (A)	LONGUEUR	ÉCHANTILLONNEUR	DATE	LECTURES SPECTROMÈTRE					LITHOLOGIE	
									APPAREIL	CPS MOY	CPS MAX	K (%)	U (ppm)		Th (ppm)
205288	442847	6129146	78202051				EL	2010-07-22	RS-125	525	1200	4,8	22,4	168,2	I2D
205289	451234	6115024	78202052				EL	2010-07-22	RS-125	194	375	5,5	4,8	30,3	I1B
205290	450316	6115950	78202053				EL	2010-07-22	RS-125	310	415	5,1	3,4	37,3	I2D
205291	450263	6115279	78202054				EL	2010-07-22	RS-125	185	320	5,1	3,6	26,3	I2D
205292	457126	6122396	78202056				EL	2010-07-23	RS-125	280	450	5,5	5,7	34,4	I1B
205293	457250	6122683	78202057				EL	2010-07-23	RS-125	400	1385	5,2	7,9	199,3	I1B
205294	457452	6122302	78202058				EL	2010-07-23	RS-125	410	1230	4,5	23,8	151,7	I2D
205295	457644	6122341	78202058				EL	2010-07-23	RS-125	270	850	3,4	17,6	89,3	I2J
205296	457905	6122400	78202059				EL	2010-07-23	RS-125	400	1100	5,5	8,3	176,7	I1B
205297	458018	6122480	78202059				EL	2010-07-23	RS-125	350	710	5,7	3	91,3	I2J
205298	457094	6123060	78202060				EL	2010-07-24		300	400	5,2	2,7	30,0	I1B
205299	457300	6123118	78202061				EL	2010-07-24		285	900	6,2	11,1	84,0	I1B
205300			BLANK												
205301	453661	6125118	78200049				JL	2010-07-23	RS-125	300	500	4	4,8	31,7	I2D
205302	453744	6124817	78200050				JL	2010-07-23	RS-125	350	750	5,1	9,1	111,2	I2C
205303	453751	6124830	(Block) 78200050				JL	2010-07-23	RS-125	800	3500	3,9	112,4	420,0	I1A
205304	454185	6124649	78200051				JL	2010-07-23	RS-125	500	1600	6,5	45	153,1	I2D
205305	454170	6124613	78200051				JL	2010-07-23	RS-125	600	2800	5,5	25,3	474,6	I2D
205306	454200	6124586	78200051				JL	2010-07-23	RS-125	750	2600	3,8	74,9	376,8	I2D
205307	454148	6124546	78200051				JL	2010-07-23	RS-125	600	1800	4,3	18,1	305,2	I2D
205308	454163	6124551	78200051				JL	2010-07-23	RS-125	600	1900	3,2	35,5	280,0	I2D
205309	453944	6124476	78200052				JL	2010-07-23	RS-125	650	1000	5,5	13,8	121,5	I2C/I1F
205310	454059	6124323	(Block) 78200052				JL	2010-07-23	RS-125	700	3500	4,4	27,3	249,0	I2D
205311	450753	6124778	78200053				JL	2010-07-24	RS-125	600	1100	5,7	10,9	151,8	I2C
205312	450750	6124779	78200053				JL	2010-07-24	RS-125	600	1100	5,4	17,5	135,1	I2C
205313	450785	6124771	78200053				JL	2010-07-24	RS-125	400	600	5,1	7,1	38,1	I1G
205314	455563	6124134	78200054				JL	2010-07-24	RS-125	500	2000	5,6	3,1	358,1	I2C
205315	455550	6124125	78200054				JL	2010-07-24	RS-125	600	2000	5,7	35,8	267,4	I2C
205316	455689	6123782	78200055				JL	2010-07-25	RS-125	1000	2600	6,5	78,6	282,4	I2D
205317	455714	6123754	78200055				JL	2010-07-25	RS-125	800	1600	6,3	36,6	196,2	I2D
205318	455674	6123754	78200055				JL	2010-07-25	RS-125	800	1750	3,8	63,7	168,5	I2D
205319	455490	6124127	78200056				JL	2010-07-25	RS-125	600	2200	6,9	1,9	445,3	I2D
205320	455520	6124159	78200056				JL	2010-07-25	RS-125	600	1200	5,4	14,4	167,1	I2D (dyke)
205321	455550	6124134	78200056				JL	2010-07-25	RS-125	800	2500	4,5	35,6	402,1	I2D
205322	455557	6124122	78200056				JL	2010-07-25	RS-125	5000	13500	9,4	92,1	3346,0	VQz
205323	455557	6124121	78200056				JL	2010-07-25	RS-125	5000	12000	9,3	81,8	2579,0	VQz
205324	455557	6124120	78200056				JL	2010-07-25	RS-125	5000	9000	6,8	11,1	2081,0	VQz
205325			BLANK												
205326	457268	6123259	78202062				EL	2010-07-24	RS-125	480	6450	7	52	1247,0	I2C
205327	457284	6123265	78202062				EL	2010-07-24	RS-125	440	5050	5,5	58,2	967,9	I2C
205328	457281	6123247	78202062				EL	2010-07-24	RS-125	400	2400	5,3	42,1	304,4	I2C
205329	457284	6123245	78202062				EL	2010-07-24	RS-125	475	3250	4,9	117	378,5	I2C
205330	455048	6127325	78202063				EL	2010-07-25	RS-125	400	1500	7,3	19,2	210,8	I2D
205331	455195	6127372	78202063				EL	2010-07-25	RS-125	420	1650	4,4	42,5	154,6	I1G
205332	454513	6127069	78202064				EL	2010-07-27	RS-125	540	10500	5,4	10,8	2470,0	I2D
205333	455669	6127059	78202064				EL	2010-07-27	RS-125	350	2300	5,1	2,5	359,7	I2D
205334	455660	6126976	78202064				EL	2010-07-27	RS-125	320	3000	5,7	45,7	404,3	I2D
205335	455265	6126604	78202065				EL	2010-07-27	RS-125	260	415	5,7	4,4	40,9	I2D
205336	456407	6127142	78202066				EL	2010-07-27	RS-125	300	420	4,6	3,2	40,9	I2D
205337	445886	6115580	78202067				EL	2010-07-28	RS-125	300	530	5,2	7,2	40,7	I2D
205338	445914	6115646	78202067				EL	2010-07-28	RS-125	500	1375	7,8	15,1	164,9	I2D
205339	446255	6115714	78202068				EL	2010-07-28	RS-125	270	610	4,9	8,3	57,9	I2D
205340	445872	6116200	78202069				EL	2010-07-28	RS-125	200	430	4,6	7,4	48,1	I2D
205341	445801	6116318	78202069				EL	2010-07-28	RS-125	170	310	4,3	0,6	19,0	I1B
205342	444517	6116328	78202070				EL	2010-07-30	RS-125	320	1150	5,6	17,5	143,0	I2D
205343	444245	6116134	78202071				EL	2010-07-30	RS-125	420	910	5,5	6,7	112,6	I2D
205344	443648	6116135	78202072				EL	2010-07-30	RS-125	280	410	5,6	2,4	36,4	I2D

ÉCHANTILLON	MINÉRALOGIE	ALTÉRATIO N 1	ALTÉRATION 2	STRUCTURE 1	ORIENTATION (°)	PENDAGE (°)	STRUCTURE 2	ORIENTATION (°)	PENDAGE (°)
205288	Fk/Pg/Qz/Bo/Mg	Oxydation							
205289	Fp/Qz/Bo	Oxydation							
205290	Fk/Pg/Qz/Bo	Oxydation							
205291	Fk/Pg/Qz/Bo/Hb	Oxydation							
205292	Fp/Qz/Bo	Oxydation							
205293	Fp/Qz/Hb	Oxydation							
205294	Fk/Qz/Pg/Bo	Oxydation		Fracture	129	90			
205295	Pg/Qz/Fk/Bo	Oxydation		Dyke	128	77			
205296	Fp/Qz/Bo	Oxydation							
205297	Pg/Qz/Fk/Bo	Oxydation		Dyke	50	78			
205298	Fp/Qz								
205299	Fp/Qz								
205300									
205301	Fp/Bo/Hb	Oxydation							
205302	Fp/Qz/Hb/Bo	Oxydation							
205303	Qz/Fp/Bo/Fl								
205304	Fp/Qz/Bo	Oxydation							
205305	Fp/Qz/Bo/Fl	Oxydation							
205306	Fp/Qz/Bo	Oxydation							
205307	Fp/Qz/Bo	Oxydation		Fracture	164	75			
205308	Fp/Qz/Bo	Oxydation							
205309	Fp/Qz/Bo/Hb/Fl	Oxydation		Dyke	175	50			
205310	Fp/Qz/Bo/Hb	Oxydation	yellow-green ??						
205311	Fp/Qz/Hb/Bo	Oxydation							
205312	Fp/Qz/Hb/Bo	Oxydation							
205313	Fp/Al/Qz/Bo	Oxydation		Dyke	320				
205314	Fp/Qz/Hb/Bo/Fl	Oxydation							
205315	Fp/Qz/Hb/Bo/Fl	Oxydation							
205316	Fp/Bo/Hb/Qz	Oxydation							
205317	Fp/Bo/Hb/Qz	Oxydation							
205318	Fp/Bo/Hb/Qz	Oxydation							
205319	Fp/Qz/Bo	Oxydation							
205320	Fp/Bo/Hb	Oxydation							
205321	Fp/Bo/Qz/Fl	Oxydation							
205322	Qz/Mz?/blue metallic mineral	Oxydation	yellow-green ??		315	90			
205323	Qz/Mz?/blue metallic mineral	Oxydation	yellow-green ??		315	90			
205324	Qz/Mz?/blue metallic mineral	Oxydation	yellow-green ??		315	90			
205325									
205326	Fk/Pg/Qz/Bo/Ai	Oxydation		Dyke	127				
205327	Fk/Pg/Qz/Bo	Oxydation		Dyke	168				
205328	Fk/Pg/Qz/Bo	Oxydation		Dyke	132				
205329	Fk/Pg/Qz/Bo/Ai	Oxydation		Dyke	117		Dyke	172	
205330	Fk/Qz/Bo	Oxydation							
205331	Fp/Qz/Bo	Oxydation		Dyke	125	90			
205332	Fk/Qz/Bo/Fl/Mz?	Oxydation							
205333	Fk/Qz/Bo	Oxydation							
205334	Fk/Qz/Bo	Oxydation							
205335	Fk/Pg/Qz/Bo	Oxydation							
205336	Fk/Pg/Qz/Bo	Oxydation							
205337	Fk/Pg/Qz/Bo	Oxydation							
205338	Fk/Pg/Qz/Bo	Oxydation							
205339	Fk/Pg/Qz/Bo	Oxydation							
205340	Fk/Pg/Qz/Bo	Oxydation							
205341	Fp/Qz/Bo	Oxydation							
205342	Fk/Pg/Qz/Bo	Oxydation							
205343	Fk/Pg/Qz/Bo	Oxydation							
205344	Fk/Pg/Qz/Bo	Oxydation							

ÉCHANTILLON	NOTES SUR LE TERRAIN
205288	Syenite outcrop. Rapakivic texture. Coarse grain sized. 5% magnetite.
205289	Granite outcrop. Rapakivic texture. Medium grain sized. It is not magnetic.
205290	Syenite outcrop. Rapakivic texture. Coarse grain sized. Not magnetic. Presence of a big fault (1m large)
205291	Syenite outcrop. Rapakivic texture. Coarse grain sized and equigranulars. Not magnetic.
205292	Granite outcrop. Rapakivic texture. Coarse grain sized. It is not magnetic.
205293	Granite block. Rapakivic texture. Coarse grain sized. It is not magnetic.
205294	Syenite outcrop. Rapakivic texture. Coarse grain sized. Not magnetic.
205295	Diorite dyke. Fine grain sized. Net contact. Not magnetic.
205296	Granite outcrop. Rapakivic texture. Coarse grain sized. It is not magnetic. 20% Bo.
205297	Diorite dyke. Fine grain sized. Net contact. Not magnetic.
205298	Granite outcrop. Massive coarse grained. Rapakivic texture. It is not magnetic
205299	Granite boulder on a flat plain. Massive coarse grained. Rapakivic texture. It is not magnetic
205300	
205301	Outcrop of rapakivic syenite, on top pf hill.
205302	Outcrop with I2D and I2C. Impossible to measure contact. On top of hill.
205303	Boulder of granite (I1A) with fluorine trace.
205304	Outcrop of rapakivic syenite with Bo. Many cps between 1000-2500. Background = 400 cps.
205305	Same outcrop as 205304 but medium grain, smoked Qz and fluorine.
205306	Idem 205304. Same Outcrop, same mineralogy.
205307	Outcrop of rapakivic syenite with Bo/Qz, along fracture.
205308	Outcrop of rapakivic syenite with Bo/Qz.
205309	Quartzo-syenite (Aplite ?) dyke hosted in rapakivic syenite. Smoked Qz and Fluorine in dyke. Sample taken in dyke.
205310	Boulder of rapakivic syenite (5mx5mx3m), yellow-green alteration, very oxyded.
205311	Sample taken in quartzo-syenite dyke hosted in rapakivic syenite.
205312	Same outcrop as 205311, in I2C dyke.
205313	Same outcrop as 205311, taken in pegmatite dyke.
205314	Outcrop of I2D (RK) with I2C dyke.
205315	Outcrop of I2D (RK) with I2C dyke. Fluorine in I2C dyke.
205316	Outcrop of rapakivic syenite with Bo/Hb/Qz, in valley, border of creek.
205317	Same outcrop as 205316, smoked Qz.
205318	Same outcrop as 205316, smoked Qz.
205319	Sample taken in rapakivic syenite. Border of creek. Many samples in this area.
205320	Sample taken in fine grain syenite dyke. Porphyre (phenocrystal) of Bo in Fp/Hb/Bo matrix.
205321	Same outcrop as 205319, medium grain, 20-25% Bo, 1% Fluorine.
205322	Quartz vein (10-15 cm, 3 meters) with cps between 5000-13500. Red-orange mineral (monazit ??) + blue metallic mineral.
205323	Quartz vein (10-15 cm, 3 meters) with cps between 5000-13500. Red-orange mineral (monazit ??) + blue metallic mineral.
205324	Quartz vein (10-15 cm, 3 meters) with cps between 5000-13500. Red-orange mineral (monazit ??) + blue metallic mineral.
205325	
205326	Quartziferous syenite dyke. Medium grain sized. Not magnetic. Presence of amazonite.
205327	Quartziferous syenite dyke. Medium grain sized. Not magnetic.
205328	Quartziferous syenite dyke. Medium grain sized. Not magnetic.
205329	Quartziferous syenite dyke. Medium grain sized. Not magnetic. Presence of amazonite.
205330	Syenite outcrop. Rapakivic texture. Coarse grain sized. It is not magnetic.
205331	Pegmatite dyke. Massive. Coarse grain sized. Not magnetic.
205332	Syenite outcrop. Coarse grain sized. It is not magnetic. Fluorine 1%. Red mineral (Monazit?). Yellow alteration. The sample itself is 7100 cps and after it has been taken, the outcrop is 6000 cps.
205333	Syenite outcrop. Rapakivic texture. Coarse grain sized. It is not magnetic. A little yellow alteration. Small wall effect. 2% Bo.
205334	Syenite outcrop. Rapakivic texture. Coarse grain sized. It is not magnetic. 5% Bo.
205335	Syenite outcrop. Rapakivic texture. Coarse grain sized. It is not magnetic.
205336	Syenite outcrop. Rapakivic texture. Coarse grain sized. It is not magnetic.
205337	Syenite outcrop. Rapakivic texture. Coarse grain sized. It is not magnetic.
205338	Syenite outcrop. Rapakivic texture. Coarse grain sized. It is not magnetic. In a cliff. Wall effect.
205339	Syenite outcrop. Rapakivic texture. Coarse grain sized. It is not magnetic.
205340	Syenite outcrop. Rapakivic texture. Coarse grain sized. It is not magnetic.
205341	Granite outcrop. Porphyric texture. Medium grain sized. It is not magnetic.
205342	Syenite outcrop. Rapakivic texture. Coarse grain sized. It is not magnetic.
205343	Syenite outcrop. Rapakivic texture. Coarse grain sized. It is not magnetic.
205344	Syenite outcrop. Rapakivic texture. Coarse grain sized. It is not magnetic.

ÉCHANTILLON	ESTANT (nad 83)	NORDANT (nad 83)	AFFLEUREMENT/ RAINURE	RAINURE (DE)	RAINURE (A)	LONGUEUR	ÉCHANTILLONNEUR	DATE	LECTURES SPECTROMÈTRE					LITHOLOGIE	
									APPAREIL	CPS MOY	CPS MAX	K (%)	U (ppm)		Th (ppm)
205345	442906	6116506	(Block) 78202073				EL	2010-07-30	RS-125	270	900	2,7	35,1	56,4	I1B
205346	442270	6116255	78202074				EL	2010-07-30	RS-125	200	360	5,1	3,8	27,5	I2D
205347	442245	6116276	(Block) 78202075				EL	2010-07-30	RS-125	200	2500	4,1	177,9	31,4	I1B
205348	445727	6111648	(Block) 78202076				EL	2010-07-31	RS-125	200	900	1,5	23,1	89,8	I1B
205349	445625	6111806	78202077				EL	2010-07-31	RS-125	200	350	4,9	2,5	33,8	I2D
205350			BLANK				EL								
205351	454954	6124146	78201054				SL	2010-07-23	RS-125	900	3000	5,6	44,3	312,6	I2C
205352	454954	6124444	78201055				SL	2010-07-23	RS-125	900	3000	4,6	11,4	274,0	I2C
205353	454952	6124428	78201055				SL	2010-07-23	RS-125	800	2800	3,9	6,9	223,5	I2C
205354	452587	6126118	78201056				SL	2010-07-24	RS-125	700	1500	6,7	67	92,0	I2C
205355	452537	6126080	78201056				SL	2010-07-24	RS-125	1000	5500	10,2	72	735,0	I2C
205356	452450	6126097	78201056				SL	2010-07-24	RS-125	3000	4000	2,8	81,5	500,4	I2C
205357	452452	6126088	78201056				SL	2010-07-24	RS-125	3000	4000	2,8	81,5	500,4	I2C
205358	454431	6123226	78201058				SL	2010-07-24	RS-125	300	450	5,1	4	40,3	I2D
205359	454556	6123299	78201058				SL	2010-07-24	RS-125	400	1200	7,5	10,4	147,3	I2D
205360	456007	6124219	78201059				SL	2010-07-24	RS-125	700	1200	5,2	8,8	69,9	I2D
205361	455650	6123870	78201060				SL	2010-07-24	RS-125	900	4000	5,2	48,7	611,2	I2C
205362	453761	6124548	78201061				SL	2010-07-25	RS-125	600	900	3,5	36,1	39,3	I2C
205363	454687	6124178	78201063				SL	2010-07-25	RS-125	700	1200	3,5	5,3	117,6	VQz
205364	454832	6124273	78201064				SL	2010-07-25	RS-125	800	1300	6,7	30,3	88,2	I2C
205365	454963	6124372	78201065				SL	2010-07-25	RS-125	1000	3800	7,6	34,4	498,0	I2C
205366	455550	6124095	78200056				JL	2010-07-25	RS-125	800	2000	7,3	13,7	316,3	I2D
205367	457057	6125148	78201066				SL	2010-07-27	RS-125	300	400	6	0,3	38,5	I2D
205368	457355	6125379	78201067				SL	2010-07-27	RS-125	350	450	4,6	3,3	19,9	I2D
205369	457229	6125653	78201068				SL	2010-07-27	RS-125	900	1200	3,9	11,7	163,3	I2D
205370	447055	6126503	78201069				SL	2010-07-27	RS-125	900	1400	2,2	34,4	229,4	I2C
205371	453373	6128442	78201070				SL	2010-07-27	RS-125	300	400	4,2	1,1	30,4	I2D
205372	453403	6129066	78201071				SL	2010-07-27	RS-125	300	400	3,9	6,5	25,6	I2D
205373	448810	6117556	78201072				SL	2010-07-28	RS-125	800	1300	2,6	2	180,0	I1G
205374	448808	6117554	78201073				SL	2010-07-28	RS-125	300	400	4,3	4,2	41,9	I1C
205375			Standard												
205376	450823	6124593	78200059				JL	2010-07-27	RS-125	450	650	4,5	13,9	54,0	I2C
205377	451425	6124444	78200060				JL	2010-07-27	RS-125	400	2000	5,2	19,3	242,6	I2D
205378	453183	6121787	78200061				JL	2010-07-27	RS-125	450	2000	5,6	25	280,5	I2D
205379	453563	6122094	(Block) 78200061				JL	2010-07-27	RS-125	500	2000	5,7	28,8	312,1	I1G
205380	453636	6122116	78200062				JL	2010-07-27	RS-125	500	1800	8,3	9,3	245,1	I2D
205381	444097	6115159	78200064				JL	2010-07-28	RS-125	450	2000	6,1	25,6	322,5	I2D
205382	444105	6115152	78200064				JL	2010-07-28	RS-125	800	5200	7,8	76,9	758,3	I2D
205383	444218	6115020	78200065				JL	2010-07-28	RS-125	800	2250	7,3	13,2	408,1	I2D
205384	444296	6115053	78200065				JL	2010-07-28	RS-125	600	1200	4,6	15,7	149,7	I2D
205385	444310	6114970	78200065				JL	2010-07-28	RS-125	600	2200	6,5	36,7	296,2	I2D
205386	444384	6114891	78200065				JL	2010-07-28	RS-125	500	2000	7,7	26,2	240,8	I2D
205387	448367	6118563	78200067				JL	2010-07-30	RS-125	350	2500	5,4	48,1	334,4	I2D/I2C
205388	445204	6114743	78200068				JL	2010-07-30	RS-125	300	850	6,9	6,5	109,3	I2D
205389	440327	6117531	78200070				JL	2010-07-30	RS-125	300	1000	5,1	6,7	141,7	I2D
205390	438627	6116662	(Block) 78200071				JL	2010-07-31	RS-125	600	1000	4,3	8,2	111,5	I2D
205391	437577	6116558	78200072				JL	2010-07-31	RS-125	350	1100	6,6	14	145,4	I2D
205392	437585	6116597	78200072				JL	2010-07-31	RS-125	400	1300	6,1	11,4	185,2	I2D
205393	437503	6116597	78200072				JL	2010-07-31	RS-125	400	1350	5,4	4,9	217,2	I2D
205394	437568	6116704	78200072				JL	2010-07-31	RS-125	400	2000	5	6,8	245,3	I2D
205395	443255	6111200	78200073				JL	2010-07-31	RS-125	200	350	4,4	2,1	21,4	I1G
205396	443164	6111238	78200073				JL	2010-07-31	RS-125	400	1000	5,4	17,1	226,4	I2D
205397	443166	6111248	78200073				JL	2010-07-31	RS-125	500	3000	5,4	21,4	510,8	I2D
205398	444624	6117280	78200074				JL	2010-08-01	RS-125	250	300	4,5	2,9	22,7	I2H
205399	444589	6117673	78200075				JL	2010-08-01	RS-125	400	2000	6,7	12,1	337,7	I2D
205400			Standard												
205401	448997	6117312	78201075				SL	2010-07-28	RS-125	800	1200	4	7,3	117,9	I1G
205402	450181	6121282	78201076				SL	2010-07-28	RS-125	800	1400	2,4	2,9	155,3	I2C

ÉCHANTILLON	MINÉRALOGIE	ALTÉRATIO N 1	ALTÉRATION 2	STRUCTURE 1	ORIENTATION (°)	PENDAGE (°)	STRUCTURE 2	ORIENTATION (°)	PENDAGE (°)
205345	Fp/Qz/Bo	Oxydation							
205346	Fk/Pg/Qz/Bo	Oxydation							
205347	Fp/Qz/Bo	Oxydation							
205348	Fp/Qz/Bo	Oxydation							
205349	Fk/Pg/Qz/Bo	Oxydation		Fracture	94	85			
205350									
205351	Fp/Am/Qz								
205352	Fp/Am/Qz								
205353	Fp/Am/Qz	Oxydation							
205354	Fp/Am/Qz	Oxydation							
205355	Fp/Am/Qz/Bo	Oxydation							
205356	Fp/Am/Qz	Oxydation							
205357	Fp/Am/Qz	Oxydation							
205358	Fp/Am/Qz	Oxydation							
205359	Fp/Am/Qz/Bo	Oxydation							
205360	Fp/Am/Qz/Bo	Oxydation							
205361	Fp/Am/Qz/FL/Bo	Oxydation							
205362	Fp/Am/Qz	Oxydation							
205363	Fp/Am/Qz	Oxydation							
205364	Fp/Am/Qz	Oxydation							
205365	Fp/Am/Qz/Bo	Oxydation							
205366	Fp/Bo/Hb/Qz	Oxydation							
205367	Fp/Am/Qz								
205368	Fp/Am/Qz								
205369	Fp/Am/Qz								
205370	Fp/Am/Qz/Bo								
205371	Fp/Am/Qz								
205372	Fp/Am/Qz								
205373	Fp/Bo/Qz								
205374	Fp/Bo/Qz								
205375									
205376	Fp/Qz/Hb/Bo	Oxydation		Dyke	315	55			
205377	Fp/Bo/Hb/Qz	Oxydation							
205378	Fp/Bo/Hb/Qz	Oxydation							
205379	Fp/Qz/Bo/Ai	Oxydation							
205380	Fp/Bo/Qz	Oxydation							
205381	Fp/Bo/Qz/Fl	Oxydation							
205382	Fp/Bo/Qz/Fl	Oxydation							
205383	Fp/Qz/Bo	Oxydation							
205384	Fp/Qz/Bo	Oxydation							
205385	Fp/Qz/Bo	Oxydation							
205386	Fp/Qz/Bo	Oxydation							
205387	Fp/Hb/Bo/Qz								
205388	Fp/Hb								
205389	Fp/Bo/Qz								
205390	Fp/Bo/Qz	Oxydation							
205391	Fp/Bo/Qz/Fl	Oxydation							
205392	Fp/Bo/Qz/Fl	Oxydation							
205393	Fp/Bo/Qz/Fl	Oxydation							
205394	Fp/Bo/Qz	Oxydation							
205395	Fp/Ai/Qz/Bo								
205396	Fp/Bo/Qz	Oxydation							
205397	Fp/Bo/Qz	Oxydation							
205398	Pg/Bo/Hb/Fk	Oxydation							
205399	Fp/Bo/Qz	Oxydation							
205400									
205401	Fp/Bo/Qz								
205402	Fp/Bo/Qz								

ÉCHANTILLON	NOTES SUR LE TERRAIN
205345	Granite block. Massive. Medium grain sized. It is not magnetic.
205346	Syenite outcrop. Rapakivic texture. Coarse grain sized. It is not magnetic.
205347	Granitic gneiss block. Stratified. Medium grain sized. It is not magnetic.
205348	Granite block. Massive. Medium grain sized. It is not magnetic.
205349	Syenite outcrop. Rapakivic texture. Coarse grain sized. It is not magnetic. Small wall effect.
205350	
205351	I2C (FG), Sm Qz, no mag.
205352	I2C (FG), Sm Qz, no mag.
205353	I2C (FG), Sm Qz, no mag.
205354	I2C (FG), Sm Qz, no mag. Insitu
205355	I2C (FG), Sm Qz, no mag.
205356	I2C (FG), Sm Qz, no mag, with mm altered red vein ?
205357	I2C (FG), Sm Qz, no mag, with mm altered red vein ?
205358	I2D at RK texture homogeneous.
205359	I2D at RK texture homogeneous, enriched on Sm Qtz.
205360	I2D at RK texture homogeneous, enriched on Sm Qtz.
205361	I2C (FG), Sm Qz, no mag, with 5% of Fluorine.
205362	I2C (F/MG), Sm Qz, no mag.
205363	Sm Qz vein in I2C (F/MG), Sm Qz, no mag.
205364	I2C (F/M G), Sm Qz, no mag.
205365	I2C (F/M G), Sm Qz, no mag. Insitu
205366	Same outcrop as 205319, taken in rapakivic syenite.
205367	I2D at RK texture homogeneous.
205368	I2D at RK texture homogeneous.
205369	I2D at RK texture homogeneous.
205370	I2C (F/MG), Sm Qz, no mag.
205371	I2D at RK texture homogeneous.
205372	I2D at RK texture homogeneous.
205373	I1G, Bo+++
205374	I1C (C/MG), Sm Qz, no mag.
205375	
205376	Little dyke of quartz-syenite hosted in Rapakivic syenite.
205377	Outcrop of I2D, RK texture, down of hill, smoked quartz.
205378	Outcrop of RK I2D. On little hill.
205379	Boulder of I1G, 1m x 2m x 1 m.
205380	Outcrop I2D RK, phenocrysts of Bo. On top of hill. Lot of cps between 600-1000 around.
205381	Outcrop of I2D RK with Bo+fluorine, on the side of the hill.
205382	Outcrop of I2D RK with Bo+fluorine, on the side of the hill.
205383	Outcrop of I2D RK with Bo, on the top of the hill.
205384	Outcrop of I2D RK with Bo, on the top of the hill.
205385	Boulder of I2D, In-situ, 5m x 5m x 5m.
205386	Outcrop of I2D RK with Bo, on the top of the hill.
205387	Little dyke of syenite hosted in rapakivic syenite. 1000-2000 cps, 20 meters along, 140N.
205388	Enclave of syenite with Hb hosted in RK I2D.
205389	Outcrop of Rk I2D. On top of hill.
205390	Boulder of I2D (0,5m x 0,5m x 0,5m)
205391	Outcrop of I2D, between 2 hills. Fluorine locally. Many spot between 600-2000 cps.
205392	Same outcrop as 205391 with 2% Fl.
205393	Same outcrop as 205391 with trace Fl.
205394	Same outcrop as 205391 without Fl.
205395	Dykes (10-30 cm) of I1G qwith amazonite hosted in I2D RK. Cps in dyke around 300 cps, 400-500 cps in I2D. 205395 took in I1G dyke.
205396	Outcrop of RK I2D on top of hill. Many cps around 500-1000 around.
205397	Outcrop of RK I2D on top of hill. Many cps around 500-1000 around.
205398	Monzodiorite porphyric. Matrix Pg/Bo/Hb fine grains with Fk porphyre.
205399	Outcrop of RK I2D and monzodiorite porphyric (Fk porphyres). Samples took in each rock.
205400	
205401	I1G, Bo+++
205402	Block de I2C, Bo++

ÉCHANTILLON	MINÉRALOGIE	ALTÉRATIO N 1	ALTÉRATION 2	STRUCTURE 1	ORIENTATION (°)	PENDAGE (°)	STRUCTURE 2	ORIENTATION (°)	PENDAGE (°)
205403	Fp/Am/Qz/Bo								
205404	Fp/Bo/Qz								
205405	Fp/Am/Qz/Bo/FI								
205406	Fp/Am/Qz/Bo/FI								
205407	Fp/Am/Qz/Bo								
205408	Fp/Am/Qz/Bo								
205409	Fp/Am/Qz/Bo								
205410	Fp/Am/Qz/Bo								
205411	Fp/Am/Qz/Bo								
205412	Fp/Am/Qz/Bo								
205413	Fp/Am/Qz/Bo/FI								
205414	Fp/Am/Qz/Bo/FI								
205415	Fp/Am/Qz/Bo								
205416	Fp/Am/Qz/Bo								
205417	Fp/Am/Qz/Bo								
205418	Fp/Am/Qz/Bo+++								
205419	Fp/Am/Qz/Bo								
205420	Fp/Am/Qz/Bo								
205421	Fp/Am/Qz/Bo								
205422	Fp/Am/Qz/Bo/Pg								
205423	Fp/Am/Qz/Bo								
205424	Fp/Am/Qz/Bo/Pg								
205425									
205426	Fk/Pg/Qz/Bo	Oxydation							
205427	Fk/Pg/Qz/Bo	Oxydation							
205428	Fk/Pg/Qz/Bo	Oxydation							
205429	Bo/Fp/Qz								
205430	Fk/Pg/Qz/Bo	Oxydation							
205431	Fk/Pg/Qz/Bo	Oxydation							
205432	Fk/Pg/Qz/Bo	Oxydation							
205433	Fk/Pg/Qz/Bo	Oxydation							
205434	Pg/Qz/Bo	Oxydation							
205435	Fk/Pg/Qz/Bo	Oxydation							
205436	Fp/Qz/Bo	Oxydation							
205437	Fk/Pg/Qz/Bo	Oxydation							
205438	Fk/Pg/Qz/Bo	Oxydation							
205439	Fp/Qz/Bo	Oxydation							
205440	Fk/Pg/Qz/Bo	Oxydation							
205441	Pg/Fk/Qz	Oxydation							
205442	Fk/Pg/Qz/Bo	Oxydation							
205443	Hb/Fp/Bo								
205444	Hb/Pg/Ol/Zr/Bo/Mg								
205445	Hb/Bo/Fp/Qz								
205446	Pg/Hb/Zr/Mg/Qz								
205447	Pg/Hb/Zr/Mg/Qz								
205448	Pg/Hb/Zr/Mg								
205449	Hb/Pg								
205450									
205451	Pg/Bo/Hb/Fk	Oxydation							
205452	Fp/Hb/Bo								
205453	Fp/Hb/Bo								
205454	Fp/Hb++/Bo++								
205455	Fp/Bo/Qz	Oxydation							
205456	Fp/Bo/Qz/Hb	Oxydation							
205457	Fp/Bo/Hb/Mg/Qz	Oxydation							
205458									
205459	Fp/Qz/Mz/Hb/Zc/Blue metallic mineral	Oxydation							
205460	Fp/Hb/Mg								

ÉCHANTILLON	NOTES SUR LE TERRAIN
205403	I2D at Rk texture homogeneous.
205404	Block de I2C, Bo++
205405	I2C (F/MG), Sm Qz, Fl+ no mag.
205406	I2C (F/MG), Sm Qz, Fl+ no mag.
205407	I2D at Rk texture homogeneous, Bo+++
205408	I2D at Rk texture homogeneous.
205409	I2D at Rk texture homogeneous.
205410	I2D at Rk texture homogeneous.
205411	I2D at Rk texture homogeneous.
205412	I2D at Rk texture homogeneous.
205413	I2D (CG), Sm Qz, Bo ++, Fl+
205414	I2D (CG), Sm Qz, Bo ++, Fl+
205415	I2C (F/M G), Sm Qz, mag.
205416	Block de I2C Bo++
205417	I2D Bo+++.
205418	I2D Bo+++.
205419	Block de I2C, Qz++, Mg+++
205420	Block de I2C
205421	I2J, mag
205422	I2H, Mag
205423	Block of I2D
205424	I2H, Mag
205425	
205426	Syenite outcrop. Rapakivic texture. Coarse grain sized. It is not magnetic.
205427	Syenite outcrop. Rapakivic texture. Coarse grain sized. It is not magnetic.
205428	Syenite outcrop. Rapakivic texture. Coarse grain sized. It is not magnetic.
205429	Syenite enclave in a syenite outcrop. This syenite is with 65% Bo. Medium grain sized. It is not magnetic.
205430	Syenite outcrop. Rapakivic texture. Coarse grain sized. It is not magnetic.
205431	Syenite outcrop. Rapakivic texture. Coarse grain sized. It is not magnetic.
205432	Syenite outcrop. Rapakivic texture. Coarse grain sized. It is not magnetic.
205433	Syenite boulder. Rapakivic texture. Coarse grain sized. It is not magnetic.
205434	Diorite/monzonite outcrop. Massive texture. Fine grain sized. It is not magnetic.
205435	Syenite outcrop. Rapakivic texture. Coarse grain sized. It is not magnetic.
205436	Granite boulder. Massive. Coarse grain sized. It is not magnetic. 0,7m diameter.
205437	Syenite boulder. Rapakivic texture. Coarse grain sized. It is not magnetic.
205438	Syenite/monzodiorite outcrop. Rapakivic texture. Medium grain sized. It is not magnetic.
205439	Granite boulder. Massive. Medium grain sized. It is not magnetic. 1,5m diameter.
205440	Syenite boulder. Rapakivic texture. Coarse grain sized. It is not magnetic.
205441	Monzodiorite boulder. Massive. Medium grain sized. It is not magnetic.
205442	Syenite outcrop. Rapakivic texture. Coarse grain sized. It is not magnetic.
205443	I2F, Hb+++
205444	I3K, Hb +++
205445	I2D, altered
205446	I2F, Mag+++
205447	I2F, Mag+++
205448	I2F, Mag+
205449	Bloc of M16
205450	
205451	Outcrop of RK I2D and monzodiorite porphyric (Fk porphyres). Samples took in each rock.
205452	Boulder of pink syenite with Hb/Bo-, surrounded, 1m x 1m x 1m, lot of same boulder around (500-1000 cps)
205453	Idem 205452
205454	Idem 205452 but Hb++ and Bo++.
205455	Outcrop of I2D RK with smoked Qz. Lot of pink syenite (500-1000 cps) around. Sample took on outcrop.
205456	Boulder of I2C, fine grain, very oxyded.
205457	Outcrop of I2D RK with magnetite ++ (band or enclave), on top of hill.
205458	
205459	I1G/VnQz with Mz/blue metallic mineral and Zc, hosted in I2D, near of gabbro with olivine. Sample 205459 took in I1G/VnQz
205460	Syenite pegmatitic with Hb/Mg, brown/yellow vitreous mineral.

ÉCHANTILLON	ESTANT (nad 83)	NORDANT (nad 83)	AFFLEUREMENT/ RAINURE	RAINURE (DE)	RAINURE (A)	LONGUEUR	ÉCHANTILLONNEUR	DATE	LECTURES SPECTROMÈTRE					LITHOLOGIE	
									APPAREIL	CPS MOY	CPS MAX	K (%)	U (ppm)		Th (ppm)
205461	440209	6132772	78200081				JL/JT	2010-08-17	RS-125	1000	5200	7,8	87,7	1111,0	I2D
205462	442240	6131518	(Block) 78200082				JL/JT	2010-08-17	RS-125	1000	1800	6,4	36,7	232,9	I2F
205463	442087	6131485	(Block) 78200082				JL/JT	2010-08-17	RS-125	1000	1500	6	30,4	219,2	I2F
205464	442709	6128687	78204001				JL/JT	2010-08-18	RS-125	350	2200	6	36,5	304,2	I2D
205465	440263	6129539	78204002				JT/JL	2010-08-18	RS-125	350	1200	5	53	175,9	I2D
205466	440363	6131631	78201113				SL/MB	2010-08-18	RS-125	300	350	2,2	4,9	32,7	I2H
205467	447407	6138956	(Block) 78200087				JL	2010-08-20	RS-125	800	2000	3,7	15,4	320,2	I2D
205468	447982	6137726	(Block) 78200087				JL	2010-08-20	RS-125	800	1500	7,3	0	135,4	I2D
205469	434162	6134845	78200090				JL/MB/SL/JT	2010-08-21	RS-125	1000	7500	6	86,4	750,5	I2D
205470	434168	6134840	78200090				JL/MB/SL/JT	2010-08-21	RS-125	1000	7500	3,9	121,1	1081,0	I2D
205471	434159	6134848	78200090				JL/MB/SL/JT	2010-08-21	RS-125	1000	4200	5,6	91,1	616,0	I2D
205472	434157	6134852	78200090				JL/MB/SL/JT	2010-08-21	RS-125	1000	3300	8,7	63,2	286,1	I2D
205473	434164	6134843	78200090				JL/MB/SL/JT	2010-08-21	RS-125	1000	4200	4,2	75,5	577,5	I2D
205474	434180	6134865	78200090				JL/MB/SL/JT	2010-08-21	RS-125	1000	2800	5	37,8	324,1	I2D
205475			Standard												
205476	434908	6135196	78201121				SL/JT	2010-08-21	RS-125	400	1800	4	10,22	309,5	I2D
205477	434808	6135176	78201122				SL/JT	2010-08-21	RS-125	800	4300	3,1	70,4	585,8	I2D
205478	434155	6134846	78200090				JL/MB/SL/JT	2010-08-21	RS-125	1000	5000	6,3	107,9	588,2	I2D
205479	434176	6134837	78200090				JL/MB/SL/JT	2010-08-21	RS-125	1000	5000	3	126,6	696,4	I2D
205480	434592	6134819	78200091				JL	2010-08-22	RS-125	600	2500	5,9	11,8	459,1	I2D
205481	434593	6134821	78200091				JL	2010-08-22	RS-125	1600	3500	6,5	50	530,6	I2D
205482	434631	6134820	78200091				JL	2010-08-22	RS-125	500	1500	6,6	15,3	205,2	I2D
205483	434302	6134873	78201123				SL/MB	2010-08-22	RS-125	800	1900	7,4	39,7	318,1	I2D
205484	434043	6130959	78201124				SL/MB	2010-08-22	RS-125	500	1000	5,3	5,2	127,4	I2D
205485	433808	6130948	78200092				JL	2010-08-22	RS-125	500	1200	5,4	14,3	144,7	I2D
205486	432729	6119281	78204004				JL/JT	2010-08-23	RS-125	450	1150	4,2	5,3	188,3	I2D
205487	440559	6133699	78201127				SL/JL	2010-08-24	RS-125	300	900	3,1	17,7	66,1	I2D
205488	440968	6134261	(Block) 78201127				SL/JL	2010-08-24	RS-125	900	1400	5,6	22,8	195,7	I2D
205489	441141	6134229	(Block) 78201127				SL/JL	2010-08-24	RS-125	900	1400	4,3	4	187,2	I2D
205490	441235	6134321	(Block) 78201127				SL/JL	2010-08-24	RS-125	800	1600	5,8	53,8	165,1	I2D
205491	441341	6134363	(Block) 78201127				SL/JL	2010-08-24	RS-125	600	1000	2,3	23,1	158,2	I2H
205492	441475	6134402	(Block) 78201127				SL/JL	2010-08-24	RS-125	800	1500	3,8	21,6	249,8	I2J
205493	444025	6137236	78200093				JL	2010-08-26	RS-125	1000	4500	3,4	0,6	930,2	I2D
205494	443864	6137247	78200093				JL	2010-08-26	RS-125	1000	2500	5,3	122,3	178,9	I2I
205495	443792	6137283	78200093				JL	2010-08-26	RS-125	1000	3000	6,9	189,3	265,4	I2I
205496	443946	6137325	78201131				SL	2010-08-26	RS-125	2000	9000	5,2	46,8	927,1	I2E
205497	443791	6137287	78200093				JL	2010-08-26	RS-125	1000	5400	5,5	358,3	577,7	I2I
205498	451871	6125880	(Block) 78201132				SL/JT	2010-08-30	RS-125	700	950	6,2	14,5	110,5	I2J
205499	444079	6137164	rainure 1	0	1		JL	2010-09-31							I2D
205500			Standard												
205501	442346	6131221	78201108				SL	2010-08-17	RS-125	300	400	4,2	6,6	31,7	I2D
205502	443421	6127840	78201109				SL/MB	2010-08-18	RS-125	300	450	4,7	1,6	23,2	I2D
205503	441535	6128503	78201110				SL/MB	2010-08-18	RS-125	300	350	4,6	3,2	32,8	I2D
205504	438732	6128944	78201111				SL/MB	2010-08-18	RS-125	300	450	4,1	3,7	27,6	I2D
205505	440420	6131570	78203001				SL/MB	2010-08-18	RS-125	900	1500	4,6	26,3	231,1	I2H
205506	446896	6133102	78201114				SL/MB	2010-08-19	RS-125	800	2800	4,1	92,1	275,8	I2G
205507	446766	6132617	78201115				SL/JT	2010-08-19	RS-125	800	2000	5,2	50,4	318,1	I
205508	446216	6136545	78200084				JL/MB	2010-08-19	RS-125	800	1500	5,2	14,9	90,6	I2D
205509	446360	6136408	78200085				JL/MB	2010-08-19	RS-125	1000	3700	4,3	36	261,9	I2D
205510	447256	6135842	(Block) 78200085				JL/MB	2010-08-19	RS-125	800	2200	2,1	141,5	69,1	I2D
205511	448471	6135564	78200086				JL/MB	2010-08-19	RS-125	500	1500	7,7	6,1	43,1	I2D
205512	448835	6135654	(Block) 78200086				JL/MB	2010-08-19	RS-125	800	2000	1,8	54,2	356,3	M16
205513	448852	6135683	(Block) 78200086				JL/MB	2010-08-19	RS-125	800	1500	2,2	27,4	243,1	I4B
205514	448915	6135641	78200086				JL/MB	2010-08-19	RS-125	1000	3000	1,2	67,4	531,9	I4B
205515	449451	6136639	78201116				SL/JT	2010-08-19	RS-125	250	300	5,5	1,9	18,9	I2D
205516	449273	6136614	(Block) 78201116				SL/JT	2010-08-19	RS-125	750	3000				I2G
205517	449886	6136074	78201117				SL/JT	2010-08-19	RS-125	700	800	5,9	3,6	43,8	I2G
205518	449896	6135411	78201118				SL/JT	2010-08-19	RS-125	800	1800	3,3	43,2	344,6	I4B

ÉCHANTILLON	MINÉRALOGIE	ALTÉRATION N 1	ALTÉRATION 2	STRUCTURE 1	ORIENTATION (°)	PENDAGE (°)	STRUCTURE 2	ORIENTATION (°)	PENDAGE (°)
205461	Fp/Hb/Mg								
205462	Fk/Pg/Hb/Mi	Oxydation							
205463	Fk/Pg/Hb/Mi	Oxydation							
205464	Fp/Qz/Hb/Bo								
205465	Fp/Qz/Hb/Bo								
205466	Pg/Fk/Hb/Bo/Mg								
205467	Fk/Hb/Qz/Bo								
205468	Fk/Hb/Qz/Bo								
205469	Fp/Hb/Bo/Qz/Fl								
205470	Fp/Hb/Bo/Qz/Fl								
205471	Fp/Hb/Bo/Qz/Fl								
205472	Fp/Hb/Bo/Qz/Fl								
205473	Fp/Hb/Bo/Qz/Fl								
205474	Fp/Hb/Bo/Qz/Fl								
205475									
205476	Fp/Am/Qz/Bo								
205477	Fp/Hb/Qz/Bo/Fl								
205478	Fp/Hb/Bo/Qz/Fl								
205479	Fp/Hb/Bo/Qz/Fl								
205480	Fp/Hb/Bo/Qz/Fl								
205481	Fp/Hb/Bo/Qz/Fl								
205482	Fp/Hb/Bo/Qz/Fl								
205483	Fp/Qz/Hb/Bo								
205484	Fp/Qz/Bo/Hb								
205485	Fp/Hb/Bo/Qz/Fl								
205486	Fp/Hb/Bo/Qz								
205487	Fp/Qz/Hb/Bo								
205488	Fp/Qz/Hb/Bo								
205489	Fp/Qz/Hb/Bo/Fl								
205490	Fp/Qz/Hb/Bo								
205491	Fp/Hb/Bo/Mg								
205492	Fp/Hb/Bo/Mg								
205493	Fp/Hb/Bo/Qz								
205494	Qz								
205495	Fp/Hb/Bo/Qz								
205496	Fp/Qz/Bo/Hb/Mz/Fl								
205497	Fp/Hb/Bo/Qz								
205498	Fp/Hb/Qz/Bo								
205499									
205500									
205501	Fp/Hb/Qz/Bo								
205502	Fp/Qz/Hb/Bo/Mg								
205503	Fp/Qz/Hb/Bo/Mg								
205504	Fp/Qz/Hb/Bo/Mg								
205505	Fk/Pg/Hb/Bo/Mg								
205506	Fp/Pg/Qz/Bo								
205507	Fp/Hb/Bo								
205508	Fp/Bo/Hb/Qz								
205509	Fp/Bo/Hb/Qz								
205510	Fp/Bo/Hb/Qz								
205511	Fp/Bo/Hb/Qz								
205512	Hb/Mg/Pg								
205513	Px/Pg/Mg								
205514	Px/Pg/Mg								
205515	Fp/Hb/Qz/Bo								
205516	Fp/Pg/Qz/Bo								
205517	Fp/Pg/Qz/Bo								
205518	Px/Fp								

ÉCHANTILLON	NOTES SUR LE TERRAIN
205461	Syenite pegmatitic with Hb/Mg.
205462	Metric block of monzonite with Hb (3m x 3m x 3m)
205463	Metric block of monzonite with Hb (3m x 3m x 3m)
205464	Syenite (Rk), homo., Sm Qz
205465	Syenite (Rk), homo., Sm Qz
205466	I2H, homogeneous
205467	Block
205468	Block
205469	Outcrop of I2D with 25m band (CPS between 1000-7500), 1-2% Fl, smoked Qz, sample are oriented at 140 degrees north.
205470	Outcrop of I2D with 25m band (CPS between 1000-7500), 1-2% Fl, smoked Qz, sample are oriented at 140 degrees north.
205471	Outcrop of I2D with 25m band (CPS between 1000-7500), 1-2% Fl, smoked Qz, sample are oriented at 140 degrees north.
205472	Outcrop of I2D with 25m band (CPS between 1000-7500), 1-2% Fl, smoked Qz, sample are oriented at 140 degrees north.
205473	Outcrop of I2D with 25m band (CPS between 1000-7500), 1-2% Fl, smoked Qz, sample are oriented at 140 degrees north.
205474	Outcrop of I2D with 25m band (CPS between 1000-7500), 1-2% Fl, smoked Qz, sample are oriented at 140 degrees north.
205475	
205476	I2D, homogeneous.
205477	I2D, homogeneous, Fl
205478	Outcrop of I2D with 25m band (CPS between 1000-7500), 1-2% Fl, smoked Qz, sample are oriented at 140 degrees north.
205479	Outcrop of I2D with 25m band (CPS between 1000-7500), 1-2% Fl, smoked Qz, sample are oriented at 140 degrees north.
205480	1-2% Fl, smoked Qz
205481	Tr Fl, smoked Qz ++
205482	Tr Fl, smoked Qz ++
205483	Outcrop of I2D homogeneous
205484	Outcrop of I2D homogeneous, Smoked Qz
205485	Smoked Qz.Tr - 2% Fl
205486	0,1 m x 1m anomaly
205487	Outcrop of I2D, homogeneous.(CG/Rk)
205488	Block of I2D, homogeneous.(CG/Rk), Block.
205489	Block of I2D, homogeneous.(CG/Rk), Trace of Fl.
205490	Block of I2D, homogeneous.(CG/Rk).
205491	Block of I2H, homogeneous.
205492	Block of I2J, homogeneous, metric.
205493	Hb, smoked Qz.
205494	I2I undulated dyke with cps between 500-2500
205495	I2I undulated dyke with cps between 500-2500
205496	Metric angular blocs (insitu) of I2D (CG/RK) with metric dyke of I2E (2000-9000 Cps)
205497	Mafic dyke
205498	Block of I2J
205499	Voir croquis de rainurage (figure 11).
205500	
205501	I2D, homogeneous.
205502	I2D, homogeneous.
205503	I2D, homogeneous.
205504	I2D, homogeneous.
205505	I2H, homogeneous, close to old sample
205506	I2G, Mag+
205507	I?, Bo+++
205508	Outcrop of I2D RK, on top of hill.
205509	Outcrop of I2D RK with quartzo-syenite dyke. Dyke = 500-1500 cps, non oriented. Sample took in I2D.
205510	Boulder of I2D RK /M2 (1 m x 0,5 m x 0,5 m).
205511	Outcrop (clift) of I2D RK
205512	Boulder of I4B, 1m x 1m x 1m.
205513	Boulder of I4B, 1m x 1m x 1m
205514	Boulder of I4B, 1m x 1m x 1m
205515	I2D, homogeneous.
205516	Block of I2D with I2G
205517	Block of I2D with I2G
205518	Block of I4B

ÉCHANTILLON	ESTANT (nad 83)	NORDANT (nad 83)	AFFLEUREMENT/ RAINURE	RAINURE (DE)	RAINURE (A)	LONGUEUR	ÉCHANTILLONNEUR	DATE	LECTURES SPECTROMÈTRE					LITHOLOGIE	
									APPAREIL	CPS MOY	CPS MAX	K (%)	U (ppm)		Th (ppm)
205519	449918	6135719	78201118				SL/JT	2010-08-19	RS-125	1000	1500	3,7	36,2	442,9	I4B
205520	445570	6137016	78201120				SL/MB	2010-08-20	RS-125	800	2500	6,1	30,2	173,6	I2D
205521	435014	6135595	78200088				JL/MB	2010-08-21	RS-125	500	1300	6	12,3	193,3	I2D
205522	434951	6135308	78200088				JL/MB	2010-08-21	RS-125	500	1800	5,9	2,1	271,2	I2D
205523	434973	6134776	78200089				JL/MB	2010-08-21	RS-125	800	1300	4,8	19,1	207,0	I2D
205524	435210	6134601	78200089				JL/MB	2010-08-21	RS-125	600	1700	5,6	14,8	212,3	I2D
205525			Standard												
205526	434302	6134873	78201123				SL/MB	2010-08-22	RS-125	600	1500	5,6	11,7	240,7	I2D
205527	434260	6134969	78201123				SL/MB	2010-08-22	RS-125	800	1500	5,1	20,5	189,4	I2D
205528	434261	6134939	78201123				SL/MB	2010-08-22	RS-125	800	1400	8	8,4	163,4	I2D
205529	434043	6130959	78201124				SL/MB	2010-08-22	RS-125	600	1250	4,3	4,2	174,9	I2D
205530	432345	6119293	78201125				SL/MB	2010-08-23	RS-125	600	1200	4,1	21,6	134,2	I2D
205531	434093	6118897	78201126				SL/MB	2010-08-23	RS-125	1000	1500	5,4	22,1	183,7	I2D
205532	440778	6134304	(Block) 78203002				MB	2010-08-24	RS-125	1000	1800	3	71	135,9	I2D
205533	441554	6135078	(Block) 78201128				SL/JL	2010-08-24	RS-125	600	1000	4,8	16,7	113,7	I2D
205534	457820	6122260	78201129				SL	2010-08-26	RS-125	700	950	5,6	8,3	131,6	I2C
205535	443997	6137230	78201130				SL	2010-08-26	RS-125	800	3000	4,5	50,9	428,8	I2J
205536	444079	6137164	rainure 1	1	2		JL	2010-08-31							I2D/I3
205537	444079	6137164	rainure 1	2	3		JL	2010-08-31							I3
205538	444079	6137164	rainure 6	0	1		JL	2010-08-31							I2C
205539	444079	6137164	rainure 6	1	2		JL	2010-08-31							I2C/I3
205540	444079	6137164	rainure 6	2	3		JL	2010-08-31							I3
205541	444079	6137164	rainure 4	0	1		JL	2010-08-31							I2D
205542	444079	6137164	rainure 4	1	2		JL	2010-08-31							I2D
205543	444079	6137164	rainure 4	2	3		JL	2010-08-31							I2D
205544	444079	6137164	rainure 4	3	4		JL	2010-08-31							I3
205545	444079	6137164	rainure 4	4	5		JL	2010-08-31							I2D
205546	444079	6137164	rainure 4	5	6		JL	2010-08-31							I2D
205547	444079	6137164	rainure 3	0	1		JL	2010-08-31							I3
205548	444079	6137164	rainure 3	1	2		JL	2010-08-31							I2D/I3
205549	444079	6137164	rainure 3	2	3		JL	2010-08-31							I2D
205550			Standard												
205551	444079	6137164	rainure 3	3	4		JL	2010-08-31							I2D
205552	444079	6137164	rainure 2	0	1		JL	2010-09-04							I3
205553	444079	6137164	rainure 2	1	2		JL	2010-09-04							I3
205554	444079	6137164	rainure 2	2	3		JL	2010-09-04							I2D
205555	444079	6137164	rainure 2	3	4		JL	2010-09-04							I2D/I3
205556	444079	6137164	rainure 2	4	5		JL	2010-09-04							I3
205557	444079	6137164	rainure 5	0	1		JL	2010-09-04							I2D
205558	444079	6137164	rainure 5	1	2		JL	2010-09-04							I2D
205559	444079	6137164	rainure 5	2	3		JL	2010-09-04							I2D
205560	444079	6137164	rainure 5	3	4		JL	2010-09-04							I3/I2D
205561	444079	6137164	rainure 5	4	5		JL	2010-09-04							I3/I2D

ÉCHANTILLON	MINÉRALOGIE	ALTÉRATIO N 1	ALTÉRATION 2	STRUCTURE 1	ORIENTATION (°)	PENDAGE (°)	STRUCTURE 2	ORIENTATION (°)	PENDAGE (°)
205519	Px/Fp								
205520	Fp/Hb/Qz/Bo/Fl								
205521	Fp/Bo/Hb/Qz								
205522	Fp/Bo/Hb/Qz								
205523	Fp/Bo/Hb/Qz								
205524	Fp/Bo/Hb/Qz								
205525									
205526	Fp/Qz/Hb/Bo								
205527	Fp/Qz/Hb/Bo								
205528	Fp/Qz/Hb/Bo								
205529	Fp/Qz/Bo/Hb								
205530	Fp/Am/Qz/Bo								
205531	Fp/Hb/Qz/Bo/Fl								
205532	Fp/Hb/Qz/Bo/Zc								
205533	Fp/Qz/Hb/Bo								
205534	Fp/Qz/Hb/Pg/Bo/Fl								
205535	Pg/Bo/Mg?/(tr)								
205536									
205537									
205538									
205539									
205540									
205541									
205542									
205543									
205544									
205545									
205546									
205547									
205548									
205549									
205550									
205551									
205552									
205553									
205554									
205555									
205556									
205557									
205558									
205559									
205560									
205561									

ÉCHANTILLON	NOTES SUR LE TERRAIN
205519	Block of I4B
205520	I2d, FG
205521	I2D homogeneous, near of radar base on top of hill
205522	I2D homogeneous, near of radar base on top of hill
205523	Outcrop of I2D, RK, took on side of hill, smoked QZ
205524	Outcrop of I2D, RK, took on side of hill, smoked QZ
205525	
205526	Outcrop of I2D homogeneous, small dm patchy anomal zone (1500 CPS max)
205527	Outcrop of I2D homogeneous, dm anomal zone.
205528	Outcrop of I2D homogeneous, dm anomal zone
205529	Outcrop of I2D homogeneous with dm enriched patchy (Bo+++)
205530	I2D, homogeneous, Insitu
205531	Block of I2D (FG)
205532	Block of I2D, 1mX1mX0,75m, angular, PQ of Hb, (FG/MA/PQ)
205533	Block of I2D, homogeneous, block insitu, (CG).
205534	Outcrop of I2D, homogeneous (CG/RK), with small metric I2C dyke (700-950 Cps, FG)
205535	Outcrop of I2D, homogeneous (CG), with small decimetric I2J dyke (700-3000 Cps)
205536	Voir croquis de rainurage (figure 11).
205537	Voir croquis de rainurage (figure 11).
205538	Voir croquis de rainurage (figure 11).
205539	Voir croquis de rainurage (figure 11).
205540	Voir croquis de rainurage (figure 11).
205541	Voir croquis de rainurage (figure 11).
205542	Voir croquis de rainurage (figure 11).
205543	Voir croquis de rainurage (figure 11).
205544	Voir croquis de rainurage (figure 11).
205545	Voir croquis de rainurage (figure 11).
205546	Voir croquis de rainurage (figure 11).
205547	Voir croquis de rainurage (figure 11).
205548	Voir croquis de rainurage (figure 11).
205549	Voir croquis de rainurage (figure 11).
205550	
205551	Voir croquis de rainurage (figure 11).
205552	Voir croquis de rainurage (figure 11).
205553	Voir croquis de rainurage (figure 11).
205554	Voir croquis de rainurage (figure 11).
205555	Voir croquis de rainurage (figure 11).
205556	Voir croquis de rainurage (figure 11).
205557	Voir croquis de rainurage (figure 11).
205558	Voir croquis de rainurage (figure 11).
205559	Voir croquis de rainurage (figure 11).
205560	Voir croquis de rainurage (figure 11).
205561	Voir croquis de rainurage (figure 11).

ANNEXE 3

RÉSULTATS D'ANALYSE ET CALCULS

Table 1 : Analyse des échantillons et calculs TREO et HRFO

SAMPLE NUMBER	SAMPLE DESCRIPTION										
	Esating	Norhting	Sample type	CPS_AVR	CPS_MAX	K	U_ppm	Th_ppm	LITHOLOGY	MINERALOGY	FIELD_COMM
205001	440676	6134037	OUTCROP	325	450	6,3	5,5	37,9	I2D	Fp/Hb/Mg/Bo	Outcrop of syenite, magnetic, top of hill, cumulat texture.
205002	440747	6134093	BOULDER	900	2500	4,9	16,8	211,0	I2D	Fp/Hb/Mg	Block of syenite with Hb-Mg, centimetric. Near sample # 203596.
205003	440832	6134270	BOULDER	650	1000	5,3	22,4	89,3	I2D	Fp/Hb/Mg/Bo	Block of syenite.
205004	440945	6134337	BOULDER	650	2100	5,3	7,7	338,6	I2C	Fp/Hb/Bo/Qz	Block of quartziferous syenite with rapakivi texture.
205005	441066	6134492	OUTCROP	350	500	5,0	10,4	43,7	I2D	Fp/Hb	Very difficult to sample
205006	441682	6134969	OUTCROP	375	700	4,5	11,2	74,2	I2F	Fp/Mg/Hb/Bo	Syenite with Hb, low mag, on top of hill, cumulat texture.
205007	442364	6131540	OUTCROP	175	250	3,9	1,3	2,9	I2F/I2H	Fp/Bo	Monzonite to monzodiorite, low cps, no mag, taken on outcrop.
205008	442380	6131537	BOULDER	600	1100	4,6	10,9	103,3	I2D	Fp/Bo	Boulder of syenite, very oxyded, subrounded, metric, no mag, on top of hill.
205009	442437	6131536	BOULDER	600	1250	5,6	21,4	159,2	I2D	Fp/Bo	Boulder of syenite, very oxyded, subrounded, metric, no mag, on top of hill.
205010	442503	6131561	BOULDER	600	1250	5,1	20,1	134,6	I2D	Fp/Bo	Boulder of syenite, very oxyded, subrounded, metric, no mag, on top of hill.
205011	442448	6131562	BOULDER	600	1500	5,8	36,1	173,9	I2D	Fp/Bo	Boulder of syenite, very oxyded, subrounded, metric, no mag, on top of hill.
205012	442335	6131485	BOULDER	600	1500	6,5	25,2	217,3	I2D	Fp/Bo	Boulder of syenite, very oxyded, subrounded, metric, no mag, on top of hill.
205013	442334	6131572	BOULDER	600	1500	6,4	59,1	199,2	I2D	Fp/Bo	Boulder of syenite, very oxyded, subrounded, metric, no mag, on top of hill.
205014	442592	6131733	OUTCROP	150	250	4,0	0,5	3,5	I2F/I2H	Fp/Hb/Bo	Outcrop of monzonite to monzodiorite with Hb/Bo, top of hill. Lot of boulder around, with cps between 600-800 cps
205015	442529	6132029	OUTCROP	150	200	4,2	0,4	1,6	I2F/I2H	Fp/Hb/Bo/Mg	Outcrop of monzonite to monzodiorite with Hb/Bo/Mg.
205016	441928	6135195	BOULDER	1000	4500	5,9	281,1	131,7	I2D	Fp/Bo/Hb/Ox	Block of syenite with Bo (porphyre)/Hb, Porphyric texture. U/Th = 2. Little grain of oxyde (black, vitreous).
205017	441938	6135142	BOULDER	600	1800	4,5	17,1	305,5	I2D	Fp/Bo	Block of syenite with Bo, rapakivi texture, oxydated, 3m x 2m x 2m, subrounded.
205018	442132	6135203	OUTCROP	350	1000	5,2	13,5	64,0	I2D	Fp/Bo	Outcrop of syenite with Bo, rapakivi texture locally. Outcrop is everywhere on top of the hill. Lot of boulder of I2D with rapakivi texture around.
205019	441399	6135977	OUTCROP	700	1500	4,7	67,1	138,8	I2D	Fp/Qz/Bo	Quartziferous syenite with Bo, taken down of hill, very oxyded.
205020	441556	6135962	OUTCROP	400	1200	4,7	26,1	52,3	I2D	Fp/Qz/Hb/Bo	Dyke of quartziferous syenite (fine grain, aplitic texture ???), hosted in rapakivi syenite. Spectro on rapakivi syenite is 4,7 % K, 6,5 ppm U and 39,3 ppm Th.
205021	441366	6136115	OUTCROP	300	700	6,5	16,3	55,2	I2D	Fp/Bo	Outcrop of rapakivi syenite with Bo, top of hill. Little dyke of fine grain syenite (1-3 cm). Cps max is in syenite dyke.
205022	441064	6136024	OUTCROP	600	1800	6,7	68,6	160,7	I2D	Fp/Bo/Qz	Outcrop of rapakivi syenite with little dyke of fine grain syenite. Down of the hill. The dyke measures 1-2 cm. Cps max is in the dyke. Sample taken in the dyke
205023	441014	6136020	OUTCROP	600	2300	5,1	95,9	255,4	I2D	Fp/Bo/Qz	Centimetric dyke of fine grain syenite with smoked quartz hosted in rapakivi syenite. Dyke is continue on 10 m.
205024	441020	6136082	BOULDER	600	2500	5,1	122,5	141,8	I2D	Fp/Bo/Qz	Little boulder (30 cm x 30 cm) of quartziferous syenite, subrounded.
205026	440713	6134112	OUTCROP	600	1250	2,5	44,5	82,3	I2D	Fp/Mg/Hb	Syenite at coarsed grain with cumulat texture, Mg is variable in %. Ferromagnesian like Bte/Hb as been observed on low %. The average cps is 600 and de max. is 1250 with a U/Th ratio of 1/2
205027	440735	6134100	OUTCROP	700	3000	5,4	70,0	204,5	I2D	Fp/Mg/Hb/SF	Medium grain I2D, epidotisation(green) of the field. Mg +++ and sulfide trace.
205028	440893	6134410	OUTCROP	500	1100	0,2	56,6	58,8	I2D	Fp/Mg/Hb	Oxidized syenite coarsed grain at magnetite with U/TH of 1/1.
205029	441046	6134621	OUTCROP	350	550	0,0	70,0	17,0	I2D	Fp/Mg/Hb	Syenite at magnetite/hornblend with oxidized surface and cumulat texture. Coarsed grain. U/TH ratio of 5/1. Sample 205029.
205030	440710	6134797	OUTCROP	325	470	0,0	53,0	16,0	I2D	Fp/Mg/Hb	Outcrop of coarsed grain syenite with less % of magnetite.cumulat texture. Sample 205031
205031	440868	6134762	BOULDER	650	850	0,3	68,0	36,0	I2D	Fp/Mg/Hb/Qz	Metric boulder with rapakivi texture. Mg ++.
205032	440760	6134253	BOULDER	750	1300	2,0	68,8	75,2	I2F	Fp/Mg/Hb/Qz	Boulder of monzonite at hornblend.
205033	441204	6135640	BOULDER	750	1350	5,4	41,3	71,1	I2F	Fp/Mg/Hb/Qz	Block of quartziferous-monzonite at Amp.
205034	441296	6135708	OUTCROP	700	1000	5,7	10,8	96,9	I2D	Fp/Hb/Qz	Syenite fined grain, altered, defined by dyke or diacase systØme
205035	441315	6135720	OUTCROP	650	1000	7,3	15,2	130,4	I2D	Fp/Hb/Qz	Syenite fined grain, altered, defined by dyke or diacase systØme
205036	441330	6135730	OUTCROP	600	1000	7,8	23,8	175,0	I2D	Fp/Hb/Qz	Syenite fined grain, altered, defined by dyke or diacase systØme
205037	441309	6135719	OUTCROP	400	600	4,1	4,3	43,5	I2D	Fp/Hb/Qz	Syenite coarsed grain, sampled on margin of dyke.
205038	441333	6135729	OUTCROP	600	1000	5,2	11,9	160,0	I2D	Fp/Hb/Qz	XXXX on margin of I3.
205039	441486	6135792	OUTCROP	500	2400	6,6	50,4	342,2	I2D	Fp/Bo	Decimetric anomalic area between 500-2400 in desaggregate zone.
205040	441514	6135879	OUTCROP	600	900	5,9	10,3	82,9	I2D	Fp/Hb	Syenite fined grain, see shema and picture.
205041	441371	6135931	OUTCROP	500	7000	7,9	71,8	1039,0	I2D	Fp/Qz/Hb	xxx GF, Ox ++, Mg+++ taken on small dyke, see shema and picture.
205042	441350	6135936	OUTCROP	800	1200	4,1	49,0	83,0	I2D	Fp/Qz/Hb	xxx GF, Ox +, taken on small dyke, see shema and picture.
205043	441313	6135920	OUTCROP	700	1100	5,1	43,9	86,3	I2D	Fp/Qz/Hb	xxx GF, Ox +, taken on small dyke, see shema.
205044	441327	6135964	OUTCROP	900	2000	6,5	64,4	99,8	I2D	Fp/Qz/Hb	xxx GF, Ox +, taken on small dyke, see shema.
205045	441321	6135980	BOULDER	900	3200	7,1	162,4	213,4	I2D	Fp/Qz/Hb	Block of I2D Oxided in center of desaggregate metric block.
205046	441166	6135942	OUTCROP	900	4500	7,5	142,0	580,0	I2D	Fp/Qz/Hb/Mg/FI/Bo++	Syenite fined grain dyke, dm anomaly. Green alteration (Ep orChl).
205047	440958	6135922	OUTCROP	600	1400	4,5	54,7	127,8	I2D	Fp/Qz/Hb/Mg+++	Syenite fined grain dyke, dm anomaly. Green alteration (Ep orChl).
205048	440933	6135950	OUTCROP	700	1900	5,6	71,5	154,0	I2D	Fp/Qz/Hb/Mg+++	Syenite fined grain dyke, dm anomaly. Green alteration (Ep orChl) with smoked quartz (black).
205049	440825	6136003	OUTCROP	700	1250	4,6	33,0	110,0	I2D	Fp/Qz/Hb/Mg+	Syenite fined grain dyke, dm anomaly. Green alteration (Ep orChl) with smoked quartz (black).
205051	440585	6134035	OUTCROP	300	439	0,0	0,0	0,0	I2D	Fp/Hb/Mg	Outcrop of syenite with coarse grained feldspaths situated on the top of a hill. The hornblend and magnetite are interstitials.
205052	440434	6134161	BOULDER	375	752	0,0	0,0	0,0	I2D	Fp/Hb	Boulder of syenite non magnetic with hornblend taken at the bottom of a slope.
205053	440394	6134166	BOULDER	350	1112	0,0	0,0	0,0	I2D	Fp/Qz/Hb	Boulder of syenite with some quartz and hornblend. This boulder is non magnetic and is situated at the bottom of a hill. It is massive.
205054	440355	6134166	BOULDER	300	1200	0,0	0,0	0,0	I1B	Fp/Qz/Hb/FI	Granite boulder with quartz and hornblend situated at the bottom of a slope. There is a local presence of fluorine mineral and radiation trace around inclusion. The boulder isn't magnetic.

SAMPLE NUMBER	SAMPLE DESCRIPTION										
	Esating	Norhting	Sample type	CPS_AVR	CPS_MAX	K	U_ppm	Th_ppm	LITHOLOGY	MINERALOGY	FIELD_COMM
205055	440370	6134297	BOULDER	350	1150	0,0	0,0	0,0	I2D	Fp/Hb	Syenite boulder with quartz and hornblend situated on the slope of a hill and is non magnetic. The boulder is massive with coarse grains.
205056	440369	6133789	OUTCROP	250	510	0,0	0,0	0,0	I2E	Pg/Fk/Hb	Monzonite outcrop with hornblend situated on the slope of a hill. The outcrop is non magnetic and massive.
205057	440494	6133756	OUTCROP	350	840	0,0	0,0	0,0	I2H	Pg/Fk/Mg	Monzodiorite outcrop situated on top of a hill. It is highly magnetised. The magnetite is interstitial between feldspath porphyres. These are coarse
205058	440417	6133645	OUTCROP	350	700	0,0	0,0	0,0	I2F	Pg/Fk/Mg	Monzonite outcrop with a lot of magnetite. The outcrop is situated on the slope of a hill. Oxydized rock.
205059	440228	6133224	OUTCROP	200	250	0,0	0,0	0,0	I2F	Pg/Qz/Fk/Hb/Mg	Monzonite outcrop with hornblend, quartz and magnetite. The outcrop is on top of a hill.
205060	440483	6133365	BOULDER	240	1200	0,0	0,0	0,0	I2F	Fk/Pg/Bo/Qz/Fl	Monzonite boulder with Bo situated on top a small hill. The boulder is not magnetic but there is a presence of fluorine traces. The boulder is coarse
205061	440797	6134130	BOULDER	230	619	0,0	0,0	0,0	I2D	Fp/Hb/Mg	Boulder situated on top of a hill. Alkaline feldpaths are in rings of the magnetite.
205062	444358	6135323	OUTCROP	300	880	0,0	0,0	0,0	I2D	Fp/Hb	Syenite outcrop situated on top of a hill. The outcrop is composed of coarse grained minerals.
205063	444492	6135367	BOULDER	150	780	0,0	0,0	0,0	I1B	Fk/Qz/Pg/Mg	Granite boulder on the slope of a hill. The grains are middle seized and equigranulars.
205064	444265	6135327	OUTCROP	230	1200	0,0	0,0	0,0	I2D	Fp/Hb/Mg	Syenite outcrop situated on top of a hill. The outcrop is composed of coarse grained minerals.
205065	444403	6135284	OUTCROP	350	970	0,0	0,0	0,0	I2D	Fp/Hb	Syenite outcrop situated on top of a hill. The outcrop is composed of coarse grained minerals.
205066	444122	6135499	OUTCROP	300	1600	0,0	0,0	0,0	I2C	Fk/Qz/Bo/Mg	Quartziferous syenite outcrop on top of a hill with magnetite and hornblend. Highly oxyded. Presence of smoked quartz.
205067	444117	6135493	OUTCROP	300	3300	0,0	0,0	0,0	I2C	Fk/Qz/Bo/Mg	Quartziferous syenite outcrop on top of a hill with magnetite and hornblend. Highly oxyded. Presence of smoked quartz.
205068	443562	6135854	OUTCROP	250	950	0,0	0,0	0,0	I2F	Fk/Qz/Pg/Mg	Monzonite outcrop, 7% Mg, presence of smoked quartz.
205069	443583	6135831	OUTCROP	240	1500	0,0	0,0	0,0	I2F	Fk/Qz/Pg/Mg	Monzonite outcrop, 5% Mg, presence of smoked quartz.
205070	443375	6135704	OUTCROP	250	630	0,0	0,0	0,0	I2C	Fp/Bo/Qz	Syenite outcrop crossed by less seized grain quartziferous syenite dykes in stockwerk. These dykes are highly oxyded. The outcrop is situated in the bottom of a big hill.
205071	443779	6135873	OUTCROP	160	1050	0,0	0,0	0,0	I2D/I2C	Fp/Qz/Mg	Syenite outcrop crossed by a quartziferous syenite dyke. Smoked quartz.
205072	443842	6135697	OUTCROP	280	1040	0,0	0,0	0,0	I2C	Fp/Qz/Mg	Quartziferous syenite outcrop with smoked quartz and 10% magnetite. Rapakivic texture.
205073	443923	6135708	OUTCROP	250	1330	0,0	0,0	0,0	I2C	Fp/Qz/Mg	Quartziferous syenite outcrop with smoked quartz and 5% magnetite. Rapakivic texture.
205074	444042	6135658	OUTCROP	225	1130	0,0	0,0	0,0	I2C	Fp/Qz/Hb	Quartziferous syenite outcrop with smoked quartz and not magnetic. Rapakivic texture.
205076	440865	6136050	OUTCROP	700	1350	5,9	39,0	130,0	I2D	Fp/Qz/Hb/Mg+	Syenite medium grain dyke (dm), anomaly. Green alteration (Ep orChl) with smoked quartz (black), magnetic.
205077	440877	6136024	OUTCROP	1000	2600	8,3	72,0	202,0	I2D	Fp/Qz/Hb/Mg++/Fl	Syenite medium grain dyke (dm), anomaly. Green alteration (Ep orChl) with smoked quartz (black), magnetic. Fluorine trace.
205078	440918	6136072	OUTCROP	750	1400	5,8	3,4	37,5	I2D	Fp/Qz/Hb/Mg+	Syenite medium grain dyke (dm), anomaly. Green alteration (Ep orChl) with smoked quartz (black), magnetic.
205079	444842	6135722	OUTCROP	300	400	5,8	7,5	33,0	I2D	Fp/Qz/Hb	I2D standard at CG.
205080	444906	6135752	OUTCROP	500	800	7,2	12,0	55,0	I2D	Fp/Qz/Hb	I2D GM, altered, Fp/smoked Qz.
205081	444857	6135647	OUTCROP	600	900	7,1	10,0	77,0	I2D	Fp/Qz/Hb/Bo	I2G GF, altered, Sm Qz.
205082	444839	6135693	OUTCROP	700	1200	6,0	26,0	71,0	I2D	Fp/Qz/Am	I2G GF, altered, Sm Qz. Taken in 160N dyke.
205083	444729	6135780	OUTCROP	350	450	6,5	4,0	33,0	I2D	Fp/Qz/Am	I2D at RK texture homogeneous.
205084	444572	6135858	BOULDER	500	800	6,0	13,0	55,0	I2D	Fp/Qz/Am	I2D (GF) in I2D (GG) boulder. Presence of many block like this around.
205085	444789	6135928	BOULDER	400	700	3,4	9,0	46,0	I2D	Fp/Qz/Am	I2D (GF) in I2D (GG) boulder. Presence of many block like this around.
205086	444686	6136297	OUTCROP	1200	7000	7,6	63,0	1135,0	I2D	Fp/Qz/Am	Small vein smoked+++ quartziferous vein (3-5 width, 30cm lenth), 5000-7000 cps value.
205087	444712	6136276	OUTCROP	1000	4000	6,5	4,0	543,0	I2C	Fp/Qz/Am/Mg	Dyke 245N of I2C (FG), Sm Qz, mag.
205088	444716	6136278	OUTCROP	1400	900	4,7	3,9	154,0	I2C	Fp/Qz/Am/Mg	Dyke Sub-130N of I2C (FG), green with Sm Qz.
205089	444705	6136287	OUTCROP	1400	900	6,3	32,0	98,0	I2C	Fp/Qz/Am/Mg	Dyke Sub-130N of I2C (FG), green with Sm Qz.
205090	444798	6136022	OUTCROP	300	500	5,6	5,6	30,0	I2D	Fp/Qz/Am	I2D at RK texture homogeneous.
205091	444941	6135613	OUTCROP	300	400	5,6	5,6	30,0	I2C	Fp/Qz/Am/Mg	I2C (FG), Sm Qz, mag.
205092	444926	6135230	OUTCROP	300	400	4,6	43,2	73,2	I2D	Fp/Qz/Am	I2D at RK texture homogeneous.
205093	445142	6135239	OUTCROP	900	1500	4,1	25,2	160,0	I2C	Fp/Qz/Am/Mg	Dyke Sub-130N of I2C (FG), green with Sm Qz. Zone dm.
205094	445170	6135334	OUTCROP	600	800	5,2	14,0	74,0	I2D	Fp/Qz/Am/Mg	Dyke Sub-130N of I2C (FG), green with Sm Qz.
205095	445234	6135210	OUTCROP	750	2500	5,4	16,9	393,5	I2D	Fp/Qz/Am/Mg	I2D at RK texture fractured.
205096	444462	6136417	OUTCROP	300	450	0,0	60,0	11,0	I2D	Fp/Qz/Am	I2D at RK texture fractured. Assey no stabilised
205097	444359	6136300	OUTCROP	450	800	0,0	65,0	35,0	I2C	Fp/Qz/Am/Mg	Dyke Sub-130N of I2C (FG), green with Sm Qz. Assey no stabilized.
205098	444602	6136203	OUTCROP	900	2000	6,6	31,3	96,0	I2C	Fp/Qz/Am/Mg	Dyke Sub-180N of I2C (FG), green with Sm Qz.
205099	444587	6136459	OUTCROP	800	2000	7,2	19,0	200,0	I2D	Fp/Qz/Am/Mg	Syenite altered.
205101	445261	6134931	OUTCROP	450	1200	5,1	27,8	136,6	I2C	Fp/Qz/Bo	Dyke of quartziferous syenite (smoked quartz) hostwd in rapakivic syenite. The dyke is oxydated and silificated.
205102	445260	6134942	OUTCROP	500	1100	5,4	36,1	83,0	I2C	Fp/Qz/Bo--	Dyke of quartziferous syenite (smoked quartz) hostwd in rapakivic syenite. The dyke is oxydated and silificated. Thye dyke is // of 205101 dyke.
205103	445258	6134945	OUTCROP	500	1000	5,2	27,0	80,4	I2C	Fp/Qz/Bo--	Dyke of quartziferous syenite (smoked quartz) hosted in rapakivic syenite. The dyke is oxydated and silificated. They dyke is // of 205101 dyke.
205104	445248	6134962	OUTCROP	500	2300	8,3	36,3	282,6	I2C	Fp/Qz/Bo--	Dyke of quartziferous syenite (smoked quartz) hostwd in rapakivic syenite. The dyke is oxydated and silificated. Thye dyke is // of 205101 dyke.
205105	445243	6134970	OUTCROP	500	1200	5,5	19,8	118,7	I2C	Fp/Qz/Bo--	Dyke of quartziferous syenite (smoked quartz) hostwd in rapakivic syenite. The dyke is oxydated and silificated. Thye dyke is // of 205101 dyke.
205106	445237	6134971	OUTCROP	500	1500	4,9	51,2	159,0	I2C	Fp/Qz/Bo--	Dyke of quartziferous syenite (smoked quartz) hostwd in rapakivic syenite. The dyke is oxydated and silificated. Thye dyke is // of 205101 dyke.
205107	445220	6135036	OUTCROP	500	1300	5,4	32,9	145,3	I2C	Fp/Qz/Bo--	Little dyke of quartziferous (smoked quartz) syenite (fine grain), silicated, hosted in rapakivic syenite. Sample taken in the dyke.
205108	445310	6134831	OUTCROP	500	2200	5,4	85,0	292,5	I2C	Fp/Qz/Bo--	Little dyke (1 cm) of quartziferous syenite (smoked quartz), hosted in rapakivic syenite. Lot of dyke parallel. Lenght = 17 m.

SAMPLE NUMBER	SAMPLE DESCRIPTION										
	Esating	Norhting	Sample type	CPS_AVR	CPS_MAX	K	U_ppm	Th_ppm	LITHOLOGY	MINERALOGY	FIELD_COMM
205109	445268	6134810	OUTCROP	500	2100	5,5	89,8	177,1	I2C	Fp/Qz/Bo--	Duplicata of sample # 203407. Quartziferous syenite with smoked quartz.
205110	445320	6134817	OUTCROP	500	1600	5,6	60,3	151,7	I2C	Fp/Qz/Bo--	Little dyke of quartziferous (smoked quartz) syenite (fine grain), silicated, hosted in rapakivic syenite.
205111	445323	6134758	BOULDER	700	1300	4,1	25,6	229,4	I2C	Fp/Qz/Bo--	Block (1 m3), quartzo-syenite (15-25% smoked quartz), Granite ??? Medium grain, oxydated.
205112	445345	6134744	OUTCROP	500	1500	5,6	72,1	95,7	I2C	Fp/Qz/Bo--	Quartzo syenite to granite, medium grain. 15-25% smoked quartz.
205113	445246	6134733	OUTCROP	600	2500	5,6	83,1	249,3	I2C	Fp/Qz/Bo--	Dyke of quartzo-syenite hosted in rapakivic syenite. Max cps is in dyke.
205114	445252	6134730	OUTCROP	600	1800	4,5	51,9	208,6	I2C	Fp/Qz/Bo--	Same dyke of sample 205113
205115	445258	6134701	BOULDER	1000	1600	0,6	34,2	306,7	I2C	Fp/Qz/Mg/Hb	Block of quartzo-syenite with Mg, Hb. Medium grain. Subangular. 1m x 1m. Very oxided.
205116	445340	6134680	OUTCROP	600	2200	7,3	71,5	197,6	I2C	Fp/Qz/Bo--	Little quartzo-syenite dyke hosted in rapakivic syenite.
205117	445344	6134675	OUTCROP	1000	3400	7,3	111,1	394,1	I2C	Fp/Qz/Bo--	Little quartzo-syenite dyke hosted in rapakivic syenite. Same dyke of sample 205116
205118	445363	6134675	OUTCROP	600	2200	5,8	59,7	123,9	I2C	Fp/Qz/Bo--	Same dyke system (quartzo-syenite) of sample # 205116.
205119	445361	6134645	OUTCROP	600	1500	3,9	72,5	89,7	I2C	Fp/Qz/Bo--	Same dyke system (quartzo-syenite) of sample # 205116.
205120	445395	6134630	OUTCROP	1000	11000	16,6	193,1	1914,0	I2D	Fp/Qz/Bo+	Same dyke system of quartzo-syenite, lot of Bo in rapakivic syenite. Sample #205120 took on RK syenite, duplicata of 203630.
205121	445394	6134618	OUTCROP	1500	5000	6,1	225,8	598,1	I2D	Fp/Qz/Bo+	Took in rapakivic syenite. Radial fracturation around sample. Duplicata of sample 203631.
205122	445372	6134599	OUTCROP	500	2000	4,5	75,5	236,4	I2C	Fp/Qz/Bo--	Took in little quartzo-syenite dyke. Dyke:118/68
205123	445472	6134557	OUTCROP	700	2500	4,4	110,5	295,3	I2C	Fp/Qz/Bo--	Took in little quartzo-syenite dyke.
205124	445138	6134636	OUTCROP	450	2200	5,7	59,1	276,6	I2D	Fp/Qz/Bo	System of quartzo-syenite dyke hosted in +/- rapakivic syenite. High cps on border of dyke, in rapakivic syenite
205126	444291	6135607	OUTCROP	250	2000	0,0	0,0	0,0	I2D	Fk/Qz/Mg	Syenite outcrop, 10% Mg. Rapakivic texture.
205127	444261	6135611	OUTCROP	300	1000	0,0	0,0	0,0	I2C	Fp/Qz/Hb/Mg++	Quartziferous syenite dyke with smoked quartz and 15% magnetite.
205128	444339	6135630	OUTCROP	290	1100	0,0	0,0	0,0	I2D	Fp/Qz/Bo	Syenite outcrop. Rapakivic texture. Coarse grain sized. Not magnetic.
205129	444091	6135255	OUTCROP	160	300	0,0	0,0	0,0	I2D	Fk/Pg/Qz/Hb/Mg	Syenite outcrop. Rapakivic texture. Coarse grain sized. A little magnetic.
205130	444190	6135158	BOULDER	230	1000	0,0	0,0	0,0	I2C	Fp/Qz/Mg/Hb	Quartziferous syenite block with smoked quartz and 15% magnetite.
205131	444190	6135168	OUTCROP	200	470	0,0	0,0	0,0	I2D	Fk/Pg/Qz/Hb	Syenite outcrop. Rapakivic texture. Coarse grain sized. Not magnetic.
205132	444123	6134994	OUTCROP	240	950	0,0	0,0	0,0	I2D	Fp/Qz/Hb	Syenite outcrop. Rapakivic texture. Coarse grain sized. Not magnetic.
205133	444129	6134960	OUTCROP	300	1050	0,0	0,0	0,0	I2D	Fp/Qz/Hb	Syenite outcrop. Rapakivic texture. Coarse grain sized. Not magnetic.
205134	444389	6135034	OUTCROP	200	460	0,0	0,0	0,0	I2D	Fp/Qz/Hb	Syenite outcrop. Rapakivic texture. Coarse grain sized. Not magnetic.
205135	444069	6135001	OUTCROP	275	900	0,0	0,0	0,0	I2D	Fp/Qz/Hb	Syenite outcrop. Rapakivic texture. Coarse grain sized. Not magnetic.
205136	444128	6134842	OUTCROP	290	1400	0,0	0,0	0,0	I2D	Fp/Qz/Hb	Syenite outcrop. Middle grain sized. Smoked quartz. Not magnetic.
205137	443874	6134945	OUTCROP	180	750	0,0	0,0	0,0	I2C	Fp/Qz/Mg	Quartziferous syenite dyke. 15% magnetite. Middle grain sized.
205138	445778	6132736	OUTCROP	240	1950	0,0	0,0	0,0	I2C	Fp/Qz/Mg	Quartziferous syenite dyke. 15% magnetite. Middle grain sized.
205139	445789	6132793	OUTCROP	245	700	0,0	0,0	0,0	I2D	Fk/Pg/Qz/Hb/Mg	Syenite outcrop. Rapakivic texture. Coarse grain sized. 10% magnetite.
205140	445899	6132658	OUTCROP	375	950	0,0	0,0	0,0	I2D	Fk/Pg/Qz/Hb	Syenite outcrop. Rapakivic texture. Coarse grain sized. Not magnetic.
205141	445406	6132634	OUTCROP	290	930	0,0	0,0	0,0	I2C	Fp/Qz/Bo	Quartziferous syenite dyke. Not magnetic. Middle grain sized. Presence of Bo.
205142	445681	6132603	OUTCROP	240	1000	0,0	0,0	0,0	I2D	Fk/Pg/Qz/Hb/Mg	Syenite outcrop. Rapakivic texture. Coarse grain sized. 15% magnetite. Enclave more magnetic than the normal outcrop.
205143	445729	6132361	OUTCROP	200	650	0,0	0,0	0,0	I2D	Fk/Qz/Hb/Mg	Syenite outcrop. Rapakivic texture. Coarse grain sized. 20% Magnetite.
205144	445981	6132225	OUTCROP	300	5100	0,0	0,0	0,0	I2C	Fp/Qz/Mg	Quartziferous syenite dyke. 25% magnetite. Fine grain sized.
205145	445967	6132224	OUTCROP	290	850	0,0	0,0	0,0	I2C	Fp/Qz/Mg	Quartziferous syenite enclave. 20% magnetite. Middle grain sized.
205146	445952	6132214	OUTCROP	300	850	0,0	0,0	0,0	I2C	Fp/Qz/Mg	Quartziferous syenite dyke. 20% magnetite. Fine grain sized.
205147	448459	6135529	OUTCROP	200	1000	0,0	0,0	0,0	I2C	Fp/Qz/Bo/Mg	Quartziferous syenite block. 10% magnetite. Middle grain sized. 35 cm diameter.
205148	448474	6135526	OUTCROP	170	900	0,0	0,0	0,0	I2C	Fp/Qz/Bo/Mg	Quartziferous syenite block. 10% magnetite. Middle grain sized. 40 cm diameter.
205149	448403	6135519	OUTCROP	320	1500	0,0	0,0	0,0	I2C	Fp/Qz/Bo/Mg	Quartziferous syenite block. 15% magnetite. Middle grain sized. 50 cm diameter.
205151	445113	6134658	BOULDER	700	1600	2,8	27,8	270,4	I4B	Px/Fp/Hb/Bo/Mg	Block subangular, lot of boulder of same rock in surface. Porphyre of Fp in matrix of Px/Hb/Bo
205152	445080	6134661	BOULDER	700	1200	2,1	18,1	111,8	I4B	Px/Fp/Hb/Bo/Mg	Idem #205151
205153	445058	6134661	BOULDER	1000	1800	2,3	35,2	316,3	I4B	Px/Fp/Hb/Bo/Mg	Idem #205152
205154	445061	6134612	OUTCROP	1000	2500	5,4	107,9	249,1	I2C	Fp/Qz/Bo	Dykes system of quartzo-syenite hosted in +/- rapakivic syenite. 2 family of dykes. Sample took on first.
205155	445059	6134582	BOULDER	700	1600	3,0	23,3	254,2	I4B	Px/Fp/Hb/Bo/Mg	Boulder of same rock that the sample #205151.
205156	445067	6134574	OUTCROP	500	2000	4,7	81,7	181,6	I2C	Fp/Qz/Bo	Took on outcrop, in host rock (rapakivic syenite), on top of hill.
205157	445102	6134569	OUTCROP	600	2000	4,6	15,0	176,6	I2D	Fp/Qz/Bo	Outcrop of rapakivic syenite with some little quartzo-syenite dyke. Sample took in host rock.
205158	445872	6135301	OUTCROP	400	1700	5,6	30,9	224,7	I2D/I2C	Fp/Hb/Bo/Qz	Dyke of quartzo-syenite (fine grain, smoked quartz) hosted in rapakivic syenite with Hb/Qz. High cps is in the margin of the dyke. Sample took in this "margin."
205159	445582	6135164	BOULDER	500	2500	7,1	41,6	371,8	I2C	Fp/Qz/Bo	Big boulder (5mx5mx5m), maybe outcrop ?? In little valley, between 2 big hill. Little dyke (10-15 cm) of quartzo-syenite on boulder of rapakivic syenite. Sample took in dyke.
205160	445969	6135282	OUTCROP	400	1100	6,0	29,9	107,7	I2C	Fp/Qz	Sample took in quartzo-syenite dyke hosted in rapakivic syenite. Presence of smoked quartz.
205161	449349	6135632	OUTCROP	250	300	5,1	2,0	20,3	I2D	Fp/Qz/Bo	Sample took in rapakivic syenite. On top of hill.
205162	449414	6135588	BOULDER	800	2000	3,8	36,1	345,6	I4B	Px/Fp/Hb/Bo/Mg	Boulder with Px/Fp/Hb/Bo/iron oxyde, low to medium mag, black-red-orange, medium grain, 2mx2mx2m, lot of same boulder around (60-80).
205163	448492	6135444	BOULDER	1000	2000	0,8	34,9	305,6	I4B	Px/Fp/Bo/Hb/Mg	Block of PyroxOnite with Mg, very mag, 2m x 1m x 1m. Very oxyded, dense, smoked quartz.
205164	448585	6135454	BOULDER	1000	2400	1,5	45,5	460,9	I4B	Px/Fp/Bo/Hb/Mg	Block of PyroxOnite with Mg, very mag, 2m x 1m x 1m. Very oxyded, dense, smoked quartz.
205165	448639	6135468	BOULDER	1000	2000	5,7	55,2	365,0	I4B	Px/Fp/Bo/Hb/Mg	Block of PyroxOnite with Mg, very mag, 2m x 1m x 1m. Very oxyded, dense, smoked quartz.
205166	448829	6135493	BOULDER	1000	2200	0,8	50,1	424,1	I4B	Px/Fp/Bo/Hb/Mg	Block of PyroxOnite with Mg, very mag, 2m x 1m x 1m. Very oxyded, dense, smoked quartz.

SAMPLE NUMBER	SAMPLE DESCRIPTION										
	Esating	Norhting	Sample type	CPS_AVR	CPS_MAX	K	U_ppm	Th_ppm	LITHOLOGY	MINERALOGY	FIELD_COMM
205167	449039	6135578	BOULDER	1000	1900	1,6	10,9	359,8	I4B	Px/Fp/Bo/Hb/Mg	Block of Pyroxenite with Mg, very mag, 2m x 1m x 1m. Very oxyded, dense, smoked quartz.
205168	448548	6135525	BOULDER	1000	2000	1,9	34,0	321,7	I4B	Px/Fp/Bo/Hb/Mg	Block of Pyroxenite with Mg, very mag, 2m x 1m x 1m. Very oxyded, dense, smoked quartz.
205169	445164	6134718	BOULDER	1000	2000	2,7	38,5	366,6	I4B	Px/Fp/Bo/Hb/Mg	Block of Pyroxenite with Mg, very mag, 2m x 1m x 1m. Very oxyded, dense, smoked quartz.
205170	444947	6134879	BOULDER	800	1400	3,7	35,3	233,2	I4B	Px/Fp/Bo/Hb/Mg	Block of pyroxenite with Mg, very mag, 1,5m x 1m x 1m. Very oxyded, dense, smoked quartz.
205171	444842	6134717	BOULDER	800	2000	2,8	42,6	296,2	I4B	Px/Fp/Bo/Hb/Mg	Block of pyroxenite with Mg, very mag, 60cm x 60cm x 60cm. Very oxyded, dense, smoked quartz.
205172	444874	6134672	BOULDER	800	1600	0,7	38,2	288,7	I4B	Px/Fp/Bo/Hb/Mg	Block of pyroxenite with Mg, very mag, 2m x 1m x 1m. Very oxyded, dense, smoked quartz.
205173	444749	6134450	BOULDER	1000	2300	3,1	44,7	436,1	I4B	Px/Fp/Bo/Hb/Mg	Block of pyroxenite with Mg, very mag, 2m x 2m x 2m. Very oxyded, dense, smoked quartz.
205174	444806	6134528	BOULDER	800	1600	1,5	38,3	297,6	I4B	Px/Fp/Bo/Hb/Mg	Block of pyroxenite with Mg, very mag, 2m x 1m x 1m. Very oxyded, dense, smoked quartz.
205176	444444	6136441	OUTCROP	500	700	5,7	11,2	64,2	I2C	Fp/Qz\Am/Mg	Dyke Sub-280N of I2C (FG), green with Sm Qz.
205177	444164	6136517	OUTCROP	450	700	5,3	85,0	49,1	I2C	Fp/Qz\Am/Mg	Dyke Sub-130N of I2C (FG).
205178	448594	6135506	BOULDER	1200	2000	0,4	65,4	11,8	I2C	Fp/Qz\Am/Mg	Block of I2C Mag. Assey no stab.
205179	448672	6135527	BOULDER	1200	2000	1,7	79,1	162,0	I2C	Fp/Qz\Am/Mg	Block of I2C Mag. Assey no stab.
205180	448911	6135542	BOULDER	1000	2000	1,8	67,0	146,0	I2C	Fp/Qz\Am/Mg	Block of I2C Mag. Assey no stab.
205181	448845	6135617	BOULDER	1000	2000	2,0	66,6	165,9	I2C	Fp/Qz\Am/Mg	Block of I2C Mag. Assey no stab.
205182	444481	6136840	OUTCROP	1000	6500	6,8	43,0	714,8	I2C	Fp/Qz\Am/Mg	Vein of I2C cm with Sm Qz,mg
205183	444476	6136837	OUTCROP	800	2400	6,5	63,4	281,0	I2C	Fp/Qz\Am/Mg	Vein of I2C cm with Sm Qz,mg
205184	444460	6136839	OUTCROP	2000	10000	11,3	434,0	1193,0	I2C	Fp/Qz\Am/Mg	Vein of I2C cm with Sm Qz,mg
205185	444457	6136839	OUTCROP	1000	5000	7,8	171,7	306,2	I2C	Fp/Qz\Am/Mg	Vein of I2C cm with Sm Qz,mg
205186	444444	6136842	OUTCROP	1000	5000	9,9	29,0	1297,0	I2C	Fp/Qz\Am/Mg	Vein of I2C cm with Sm Qz,mg
205187	444438	6136842	OUTCROP	1000	4500	6,9	5,3	328,1	I2C	Fp/Qz\Am/Mg	Vein of I2C cm with Sm Qz,mg
205188	444411	6136890	OUTCROP	1000	2600	5,6	100,6	144,1	I2C	Fp/Qz\Am/Mg/Bo	Dyke of I2C dm with Sm Qz,mg
205189	444474	6136937	OUTCROP	450	900	7,2	38,4	74,8	I2C	Fp/Qz\Am/Mg	Dyke of I2C dm with Sm Qz,mg
205190	444134	6136784	OUTCROP	300	400	0,0	69,3	95,0	I2D	Fp/Qz\Am/Mg	I2d for representation
205191	444550	6136877	OUTCROP	1000	2400	7,5	85,0	157,4	I2C	Fp/Qz\Am/Mg	Dyke cm of I2C with Sm Qz,mg.
205192	444569	6136883	OUTCROP	1000	6500	2,2	25,6	395,3	I2C	Fp/Qz\Am/Mg	Dyke dm of I2C with Sm Qz,mg.
205193	444643	6136895	OUTCROP	700	2200	5,1	73,6	94,6	I2C	Fp/Qz\Am/Mg	Dyke dm of I2C with Sm Qz,mg.
205194	444669	6136999	OUTCROP	650	2000	6,4	35,7	123,1	I2C	Fp/Qz\Am/Mg	Dyke dm of I2C with Sm Qz,mg, Py 5%.
205195	444104	6137150	OUTCROP	7000	17000	17,3	1108,0	447,8	I2C	Fp/Qz\Am/Mg	Dyke dm of I2C with Sm Qz,mg. Presence of prismatic mineral ??? Gray.
205196	444081	6137159	OUTCROP	1000	4000	4,9	263,0	164,7	I2C	Fp/Qz\Am/Mg	Dyke dm of I2C with Sm Qz,mg.
205197	444089	6137161	OUTCROP	1000	4500	4,3	240,0	227,1	I2C	Fp/Qz\Am/Mg	Dyke dm of I2C with Sm Qz,mg.
205198	443805	6137249	OUTCROP	300	500	5,1	6,1	31,2	I2C	Fp/Qz\Am/Mg/Bo	Dyke dm of I2C with Sm Qz,mg.
205199	443800	6137252	OUTCROP	1000	4000	6,1	173,1	280,9	I2C	Fp/Qz\Am/Mg/Bo	Dyke dm of I2C with Sm Qz,mg.
205201	448376	6135532	BOULDER	250	1300	0,0	0,0	0,0	I2C	Fp/Qz/Bo/Mg	Quartziferous syenite block. 15% magnetite. Middle grain sized. 100 cm diameter.
205202	446051	6131914	OUTCROP	220	1100	0,0	0,0	0,0	I2C	Fp/Qz/Bo	Quartziferous syenite enclave. Not magnetic. Middle grain sized.
205203	446051	6131878	OUTCROP	280	2500	0,0	0,0	0,0	I2C	Fp/Qz/Bo/Mg	Quartziferous syenite dyke. 5% magnetite. Fine grain sized.
205204	446232	6131826	OUTCROP	230	650	0,0	0,0	0,0	I2D	Fp/Qz/Bo	Syenite outcrop. Rapakivic texture. Middle grain sized. Not magnetic.
205205	446466	6131506	OUTCROP	260	3100	0,0	0,0	0,0	I2C	Fk/Qz/Hb	Quartziferous syenite dyke. Not magnetic. Middle grain sized.
205206	445800	6134910	BOULDER	200	1750	2,1	32,9	317,6	I4B	Px/Fp/Qz/Bo/Mg	Feldspathic pyroxenite block. 10% magnetite. Middle grain sized. Smoked Qz.
205207	445741	6134852	BOULDER	200	1400	1,3	35,1	262,4	I4B	Px/Fp/Qz/Bo/Mg	Feldspathic pyroxenite block. 15% magnetite. Middle grain sized. Smoked Qz.
205208	445652	6134874	OUTCROP	170	420	6,5	1,7	35,3	I2D	Px/Fp/Qz/Bo/Mg	Syenite outcrop. Rapakivic texture. Coarse grain sized. 5 % magnetite.
205209	445651	6134845	BOULDER	320	1950	2,6	16,5	336,1	I4B	Px/Fp/Qz/Bo/Mg	Feldspathic pyroxenite block. 15% magnetite. Middle grain sized. Smoked Qz.
205210	445685	6134762	BOULDER	240	2300	4,4	52,3	401,9	I4B	Px/Fp/Qz/Bo/Mg	Feldspathic pyroxenite block. 10% magnetite. Middle grain sized. Smoked Qz.
205211	445549	6134762	BOULDER	220	1700	4,9	39,1	300,2	I4B	Px/Fp/Qz/Bo/Mg	Feldspathic pyroxenite block. 15% magnetite. Middle grain sized. Smoked Qz.
205212	445536	6134693	BOULDER	200	1600	1,2	38,5	295,7	I4B	Px/Fp/Qz/Bo/Mg	Feldspathic pyroxenite block. 15% magnetite. Middle grain sized. Smoked Qz.
205213	445487	6134798	BOULDER	310	1700	1,1	35,1	343,3	I4B	Px/Fp/Qz/Bo/Mg	Feldspathic pyroxenite block. 20% magnetite. Middle grain sized. Smoked Qz.
205214	445456	6134679	OUTCROP	200	1620	5,6	64,7	157,0	I2D	Fk/Qz/Hb	Syenite outcrop. Rapakivic texture. Coarse grain sized. 15 % magnetite.
205215	445454	6134673	BOULDER	300	1700	4,4	33,1	304,0	I4B	Px/Fp/Qz/Bo/Mg	Feldspathic pyroxenite block. 15% magnetite. Middle grain sized. Smoked Qz.
205216	445954	6134174	OUTCROP	350	1100	6,0	27,0	105,7	I2D	Fk/Qz/Hb	Syenite outcrop. Rapakivic texture. Coarse grain sized. Not magnetic.
205217	446065	6134536	BOULDER	200	1100	2,1	27,1	182,4	I4B	Px/Fp/Qz/Bo/Mg	Feldspathic pyroxenite block. 15% magnetite. Middle grain sized. Smoked Qz.
205218	446093	6134897	BOULDER	200	2050	4,3	12,0	333,2	I4B	Px/Fp/Qz/Bo/Mg	Feldspathic pyroxenite block. 15% magnetite. Middle grain sized. Smoked Qz.
205219	445856	6131582	OUTCROP	270	560	0,0	0,0	0,0	I2D	Fk/Qz/Hb/Mg	Syenite outcrop. Rapakivic texture. Coarse grain sized. 5% Magnetite.
205220	446825	6131394	OUTCROP	220	590	0,0	0,0	0,0	I2D	Fk/Qz/Pg/Hb	Syenite outcrop. Rapakivic texture. Coarse grain sized. Not magnetic. In a fracture.
205221	446838	6131399	BOULDER	300	1090	0,0	0,0	0,0	I2D	Fk/Qz/Pg/Hb	Syenite block. Rapakivic texture. Highly oxyded. Not magnetic. Coarse grain sized.
205222	446908	6131878	OUTCROP	240	1100	0,0	0,0	0,0	I2C	Fp/Qz/Hb/Mg	Quartziferous syenite dyke. 5% magnetite. Fine grain sized.
205223	447041	6131733	OUTCROP	250	900	0,0	0,0	0,0	I2D	Fk/Qz	Syenite outcrop. Rapakivic texture. Medium grain sized. Not magnetic. Lot of Qz.
205224	447221	6131618	OUTCROP	250	850	0,0	0,0	0,0	I2D	Fk/Qz/Hb	Syenite outcrop. Rapakivic texture. Coarse grain sized. Not magnetic. In a fracture.
205226	444612	6134580	BOULDER	800	2300	3,3	51,2	393,0	I4B	Px/Fp/Bo/Hb/Mg	Block of pyroxenite with Mg, very mag, 1m x 1m x 1m. Very oxyded, dense, smoked quartz.
205227	444698	6134548	BOULDER	800	1800	3,5	29,6	311,4	I4B	Px/Fp/Bo/Hb/Mg	Block of pyroxenite with Mg, very mag, 1m x 1m x 1m. Very oxyded, dense, smoked quartz.
205228	445009	6134517	BOULDER	1000	2300	0,9	63,4	338,1	I4B	Px/Fp/Bo/Hb/Mg	Block of quartzo-syenite with Mg, very mag, 1m x 1m x 1m. Very oxyded, dense, smoked quartz.

SAMPLE NUMBER	SAMPLE DESCRIPTION										
	Esating	Norhting	Sample type	CPS_AVR	CPS_MAX	K	U_ppm	Th_ppm	LITHOLOGY	MINERALOGY	FIELD_COMM
205229	444989	6134609	BOULDER	1000	2000	2,1	37,8	374,6	I4B	Px/Fp/Bo/Hb/Mg	Block of quartzo-syenite with Mg, very mag, 1m x 1m x 1m. Very oxyded, dense, smoked quartz.
205230	440487	6133610	OUTCROP	500	1200	4,7	19,6	214,3	I2D	Fp/Bo/Hb/Qz	Outcrop of rapakivite syenite with biotite, on top of hill. Sample 205230 taken along fracture.
205231	440755	6134088	BOULDER	1000	3200	3,6	49,5	612,8	I2D	Fp/Bo/Hb	Block in-situ of rapakivite syenite with Bo/Hb, on top of hill.
205232	440039	6132910	OUTCROP	550	1700	5,7	21,8	284,3	I2D	Fp/Hb/Bo	Outcrop of syenite with Hb/Bo, rapakivite texture, taken down hill.
205233	440083	6132784	OUTCROP	1000	18000	4,5	235,7	2711,0	I2C	Fp/Hb/Qz/Mz/FI/Ox	Dyke of quartzo-syenite with megaxtal of black mineral (Hb ?) and monazite, spot of purple mineral (fluorine ?). Dyke hosted in rapakivite syenite.
205234	440086	6132782	OUTCROP	1000	5600	4,5	0,0	692,3	I2C	Fp/Hb/Qz/Mz/FI/Ox	Dyke of quartzo-syenite with megaxtal of black mineral (Hb ?) and monazite, spot of purple mineral (fluorine ?). Dyke hosted in rapakivite syenite.
205235	440201	6132756	OUTCROP	1000	3600	6,1	66,1	676,1	I2D	Fp/Hb/Bo/Mg	Outcrop of syenite with Hb, magnetite ++ locally, near of lot of sample took last year.
205236	440212	6132756	OUTCROP	1200	4700	2,7	73,7	1086,0	I2D	Fp/Hb/Bo/Mg	Same rock as sample 205235.
205237	440239	6132755	OUTCROP	1200	7200	0,0	163,4	1862,0	I2D (Mg+++)	Fp/Hb/Bo/Mg+++	Duplicate of sample 203475. On same outcrop as 205235, but in spot with lot of magnetite, fine grain, black-grey.
205238	439037	6133173	OUTCROP	800	3000	8,2	17,4	474,9	I2D	Fp/Bo	Outcrop of rapakivite syenite with Bo, lot of cps between 1000-4000 cps around, border of river, down of hills.
205239	439029	6133167	OUTCROP	1000	4000	6,4	39,1	724,5	I2D	Fp/Bo	Sample taken on rapakivite syenite (same outcrop as 205238).
205240	439144	6133154	BOULDER	1000	4500	6,4	186,7	420,0	I2C	Fp/Bo/Qz/metallic mineral	Boulder of quartzo-syenite with metallic mineral, biotite. Pink, non-mag, 50cm x 50cm.
205241	438838	6133357	OUTCROP	1000	3000	3,9	51,6	524,9	I2D	Fp/Bo	Outcrop of syenite with Bo, mineral with alteration halo and radial fractures.
205242	438875	6133406	OUTCROP	500	3800	8,1	180,2	458,3	I2D	Fp/Bo/Qz	Outcrop of syenite with Qz/Bo, rapakivite texture. Presence of enclave or discontinu dyke of pegmatite. Sample taken in rapakivite syenite.
205243	438868	6133399	OUTCROP	800	2400	4,9	72,8	246,0	I1G	Fp/Qz/Bo	Outcrop of rapakivite syenite with pegmatitic enclave, High cps in pegmatitic enclave (between 800-2400 cps). Sample taken in pegmatitic.
205244	438859	6133382	OUTCROP	800	1700	4,5	30,6	224,9	I2D	Fp/Bo/Qz	Same outcrop as sample 205242. Taken in rapakivite syenite.
205245	439655	6132112	OUTCROP	450	1500	5,7	61,7	116,0	I2D	Fp/Bo/Qz	Outcrop of rapakivite syenite, background around 250-300 cps. On top of hill. Very isolated spot with high cps.
205246	448828	6118448	OUTCROP	400	1350	4,6	24,7	180,6	I1G	Fp/Qz/Hb/Bo/FI	Outcrop of gabbroiorite with pegmatite dyke. Purple mineral (fluorine) in I1G. Sample taken in I1G.
205247	448669	6120134	OUTCROP	350	500	4,7	1,4	41,5	I2D	Fp/Hb/Bo/Qz	Outcrop of rapakivite syenite in valley. % of Fp porphyre vary locally.
205248	448220	6120312	OUTCROP	350	1200	6,3	13,5	169,7	I2D	Fp/Bo/Qz	Outcrop of syenite with Bo (phenocrystal).
205249	447856	6120654	OUTCROP	300	700	5,4	2,9	86,2	I2D	Fp/Bo/Hb	Outcrop of rapakivite syenite with Bo, on top of hill.
205251	442729	6128878	OUTCROP	300	500	4,4	5,5	34,2	I2D	Fp/Qz\Am	I2D
205252	443952	6137367	OUTCROP	700	900	4,1	1,4	17,0	I2C	Fp/Qz\Am/Mg	Dyke dm of I2C,mg.
205253	443940	6137314	OUTCROP	1000	11500	10,7	71,2	212,7	I2C	Fp/Qz\Am/Mg	Dyke dm of I2C with Sm Qz,mg, Bo+++
205254	443950	6137367	OUTCROP	2000	12000	13,0	77,8	2220,0	I2C	Fp/Qz\Am/Mg/Bo+++	Dyke dm of I2C with Sm Qz,mg.
205255	444004	6137368	OUTCROP	800	2600	7,0	77,8	168,8	I2C	Fp/Qz\Am/Mg	Dyke dm of I2C with Sm Qz,mg.
205256	444414	6137388	OUTCROP	900	2000	3,8	27,1	226,0	I2C	Fp/Qz\Am/Mg	Dyke dm of I2C with Sm Qz,mg.
205257	444410	6137418	OUTCROP	700	1200	1,4	55,3	63,3	I2C	Fp/Qz\Am	Dyke dm of I2C,mg. Insitu
205258	441390	6137179	OUTCROP	250	350	4,6	5,1	61,1	I2C	Fp/Qz\Am	Dyke dm of I2C with Sm Qz,mg.
205259	447353	6137391	OUTCROP	200	300	7,6	2,1	78,2	I2D	Fp/Qz\Am	I2D homo, Bo+++.
205260	447353	6137391	OUTCROP	200	350	3,9	0,5	15,5	I2D	Fp/Qz\Am	I2D homo..
205261	446813	6138094	OUTCROP	350	400	5,1	2,3	65,0	I1B	Fp/Qz\Am	Granite at Hb., homo..
205262	448714	6117135	OUTCROP	400	900	2,5	5,8	44,2	I2D	Fp/Qz\Am	I2D at RK texture homogeneous.
205263	448670	6117192	OUTCROP	1000	7500	0,6	27,3	871,0	I1G	Fp/Qz\Bo+++	I1G(cm). Bo+++ See picture
205264	448683	6117192	OUTCROP	600	1000	3,4	14,9	108,8	I1G	Fp/Qz\Bo+++	I1G, Bo+++ ,amazonite. See picture
205265	448684	6117196	OUTCROP	550	900	3,7	2,1	95,2	I1G	Fp/Qz\Bo+++	I1G, Bo+++
205266	448673	6117196	OUTCROP	700	1400	2,3	122,5	252,5	I1G	Fp/Qz\Bo+++	I1G, Sm Qz, Bo+++
205267	448669	6117199	OUTCROP	700	1600	2,9	22,6	211,8	I1G	Fp/Qz\Bo+++	I1G, Sm Qz, Bo+++
205268	448641	6117226	OUTCROP	600	950	2,7	20,4	77,1	I2F	Fp/Qz\Bo	I2F, on patchy.
205269	448568	6117260	OUTCROP	200	260	3,1	1,5	20,0	I2J	Fp/Am/Bo	I2J, Green, Bo+++ See picture
205270	454878	6124414	OUTCROP	800	3000	3,1	69,7	22,1	I2D	Fp/Am/Bo/Qz	I2D near of contact I2D/I2J.
205271	454888	6124388	OUTCROP	1000	3000	5,3	37,6	417,0	I2C	Fp/Am/Bo/Qz/FI	I2C, Sm Qz.
205272	454891	6124384	OUTCROP	900	3000	5,3	60,7	173,3	I2C	Fp/Am/Bo/Qz	I2C, Sm Qz. No mag.
205273	454877	6124412	OUTCROP	700	3000	4,3	158,4	416,4	SM Qtz massi	Sm Qtz, Bo	Massive Sm Qtz
205274	454893	6124406	OUTCROP	900	2000	6,2	10,1	25,8	I2C	Fp/Am/Bo/Qz	I2C (FG), Sm Qz, no mag.
205276	447275	6131774	BOULDER	280	1700	0,0	0,0	0,0	I1B	Fp/Qz\Bo	Granite block. Hole effect. Coarse grain sized. Not magnetic.
205277	443991	6129201	OUTCROP	380	2000	6,0	32,1	251,4	I2D	Fk/Qz/Pg/Bo	Syenite outcrop. Rapakivite texture. Coarse grain sized. Not magnetic.
205278	443778	6128814	OUTCROP	350	1930	6,2	63,2	221,3	I2C	Fp/Qz\Bo	Quartziferous syenite dyke. Not magnetic. Medium grain sized.
205279	444095	6129030	OUTCROP	410	2660	4,1	51,0	369,2	I2D	Fp//Qz/Bo/Mg	Syenite outcrop. Rapakivite texture. Medium grain sized. 5% magnetite.
205280	444892	6129517	OUTCROP	300	2230	5,1	12,0	434,7	I2D	Fk/Qz/Bo/Pg/Hb/FI	Syenite outcrop. Rapakivite texture. Coarse grain sized. Not magnetic. Presence of 1% fluorine.
205281	444837	6129505	OUTCROP	200	1650	6,9	28,0	201,7	I2D	Fk/Qz/Bo/Pg/Hb/FI	Syenite outcrop. Rapakivite texture. Coarse grain sized. Not magnetic. Presence of 2% fluorine. Taken in a fracture.
205282	444460	6129167	OUTCROP	280	1400	4,5	13,9	193,4	I2D	Fk/Qz/Bo/Pg	Syenite outcrop. Rapakivite texture. Coarse grain sized. Not magnetic. Taken in fracture.
205283	443650	6129859	OUTCROP	230	700	4,9	3,9	105,7	I2F	Pg/Qz/Fk/Bo	Monzonite outcrop. Rapakivite texture. Medium grain sized. Not magnetic.
205284	443391	6129360	OUTCROP	205	620	5,2	8,4	76,2	I2F	Pg/Qz/Fk/Mg	Monzonite outcrop. Rapakivite texture. Coarse grain sized. 10% magnetite.
205285	442935	6129151	OUTCROP	260	1850	7,8	46,7	168,3	I2D	Fk/Pg/Qz/Bo	Syenite outcrop. Rapakivite texture. Coarse grain sized. Not magnetic.

SAMPLE NUMBER	SAMPLE DESCRIPTION										
	Esating	Norhting	Sample type	CPS_AVR	CPS_MAX	K	U_ppm	Th_ppm	LITHOLOGY	MINERALOGY	FIELD_COMM
205286	442903	6129135	OUTCROP	335	1500	5,1	33,9	218,8	EN MG	Mg	Massive magnetite enclave. Medium grain sized. 100% Mg.
205287	442881	6129142	OUTCROP	320	1450	3,4	32,5	260,0	EN MG	Mg	Massive magnetite enclave. Medium grain sized. 100% Mg.
205288	442847	6129146	OUTCROP	525	1200	4,8	22,4	168,2	I2D	Fk/Pg/Qz/Bo/Mg	Syenite outcrop. Rapakivite texture. Coarse grain sized. 5% magnetite.
205289	451234	6115024	OUTCROP	194	375	5,5	4,8	30,3	I1B	Fp/Qz/Bo	Granite outcrop. Rapakivite texture. Medium grain sized. It is not magnetic.
205290	450316	6115950	OUTCROP	310	415	5,1	3,4	37,3	I2D	Fk/Pg/Qz/Bo	Syenite outcrop. Rapakivite texture. Coarse grain sized. Not magnetic. Presence of a big fault (1m large)
205291	450263	6115279	OUTCROP	185	320	5,1	3,6	26,3	I2D	Fk/Pg/Qz/Bo/Hb	Syenite outcrop. Rapakivite texture. Coarse grain sized and equigranulars. Not magnetic.
205292	457126	6122396	OUTCROP	280	450	5,5	5,7	34,4	I1B	Fp/Qz/Bo	Granite outcrop. Rapakivite texture. Coarse grain sized. It is not magnetic.
205293	457250	6122683	OUTCROP	400	1385	5,2	7,9	199,3	I1B	Fp/Qz/Hb	Granite block. Rapakivite texture. Coarse grain sized. It is not magnetic.
205294	457452	6122302	OUTCROP	410	1230	4,5	23,8	151,7	I2D	Fk/Qz/Pg/Bo	Syenite outcrop. Rapakivite texture. Coarse grain sized. Not magnetic.
205295	457644	6122341	OUTCROP	270	850	3,4	17,6	89,3	I2J	Pg/Qz/Fk/Bo	Diorite dyke. Fine grain sized. Net contact. Not magnetic.
205296	457905	6122400	OUTCROP	400	1100	5,5	8,3	176,7	I1B	Fp/Qz/Bo	Granite outcrop. Rapakivite texture. Coarse grain sized. It is not magnetic. 20% Bo.
205297	458018	6122480	OUTCROP	350	710	5,7	3,0	91,3	I2J	Pg/Qz/Fk/Bo	Diorite dyke. Fine grain sized. Net contact. Not magnetic.
205298	457094	6123060	OUTCROP	300	400	5,2	2,7	30,0	I1B	Fp/Qz	Granite outcrop. Massive coarse grained. Rapakivite texture. It is not magnetic
205299	457300	6123118	BOULDER	285	900	6,2	11,1	84,0	I1B	Fp/Qz	Granite boulder on a flat plain. Massive coarse grained. Rapakivite texture. It is not magnetic
205301	453661	6125118	OUTCROP	300	500	4,0	4,8	31,7	I2D	Fp/Bo/Hb	Outcrop of rapakivite syenite, on top pf hill.
205302	453744	6124817	OUTCROP	350	750	5,1	9,1	111,2	I2C	Fp/Qz/Hb/Bo	Outcrop with I2D and I2C. Impossible to measure contact. On top of hill.
205303	453751	6124830	BOULDER	800	3500	3,9	112,4	420,0	I1A	Qz/Fp/Bo/FI	Boulder of granite (I1A) with fluorine trace.
205304	454185	6124649	OUTCROP	500	1600	6,5	45,0	153,1	I2D	Fp/Qz/Bo	Outcrop of rapakivite syenite with Bo. Many cps between 1000-2500. Background = 400 cps.
205305	454170	6124613	OUTCROP	600	2800	5,5	25,3	474,6	I2D	Fp/Qz/Bo/FI	Same outcrop as 205304 but medium grain, smoked Qz and fluorine.
205306	454200	6124586	OUTCROP	750	2600	3,8	74,9	376,8	I2D	Fp/Qz/Bo	Idem 205304. Same Outcrop, same mineralogy.
205307	454148	6124546	OUTCROP	600	1800	4,3	18,1	305,2	I2D	Fp/Qz/Bo	Outcrop of rapakivite syenite with Bo/Qz, along fracture.
205308	454163	6124551	OUTCROP	600	1900	3,2	35,5	280,0	I2D	Fp/Qz/Bo	Outcrop of rapakivite syenite with Bo/Qz.
205309	453944	6124476	OUTCROP	650	1000	5,5	13,8	121,5	I2C/I1F	Fp/Qz/Bo/Hb/FI	Quartz-syenite (Aplite ?) dyke hosted in rapakivite syenite. Smoked Qz and Fluorine in dyke. Sample taken in dyke.
205310	454059	6124323	BOULDER	700	3500	4,4	27,3	249,0	I2D	Fp/Qz/Bo/Hb	Boulder of rapakivite syenite (5mx5mx3m), yellow-green alteration, very oxyded.
205311	450753	6124778	OUTCROP	600	1100	5,7	10,9	151,8	I2C	Fp/Qz/Hb/Bo	Sample taken in quartz-syenite dyke hosted in rapakivite syenite.
205312	450750	6124779	OUTCROP	600	1100	5,4	17,5	135,1	I2C	Fp/Qz/Hb/Bo	Same outcrop as 205311, in I2C dyke.
205313	450785	6124771	OUTCROP	400	600	5,1	7,1	38,1	I1G	Fp/Ai/Qz/Bo	Same outcrop as 205311, taken in pegmatite dyke.
205314	455563	6124134	OUTCROP	500	2000	5,6	3,1	358,1	I2C	Fp/Qz/Hb/Bo/FI	Outcrop of I2D (RK) with I2C dyke.
205315	455550	6124125	OUTCROP	600	2000	5,7	35,8	267,4	I2C	Fp/Qz/Hb/Bo/FI	Outcrop of I2D (RK) with I2C dyke. Fluorine in I2C dyke.
205316	455689	6123782	OUTCROP	1000	2600	6,5	78,6	282,4	I2D	Fp/Bo/Hb/Qz	Outcrop of rapakivite syenite with Bo/Hb/Qz, in valley, border of creek.
205317	455714	6123754	OUTCROP	800	1600	6,3	36,6	196,2	I2D	Fp/Bo/Hb/Qz	Same outcrop as 205316, smoked Qz.
205318	455674	6123754	OUTCROP	800	1750	3,8	63,7	168,5	I2D	Fp/Bo/Hb/Qz	Same outcrop as 205316, smoked Qz.
205319	455490	6124127	OUTCROP	600	2200	6,9	1,9	445,3	I2D	Fp/Qz/Bo	Sample taken in rapakivite syenite. Border of creek. Many samples in this area.
205320	455520	6124159	OUTCROP	600	1200	5,4	14,4	167,1	I2D (dyke)	Fp/Bo/Hb	Sample taken in fine grain syenite dyke. Porphyre (phenocrystal) of Bo in Fp/Hb/Bo matrix.
205321	455550	6124134	OUTCROP	800	2500	4,5	35,6	402,1	I2D	Fp/Bo/Qz/FI	Same outcrop as 205319, medium grain, 20-25% Bo, 1% Fluorine.
205322	455557	6124122	OUTCROP	5000	13500	9,4	92,1	3346,0	VQz	Qz/Mz?/blue metallic mineral	Quartz vein (10-15 cm, 3 meters) with cps between 5000-13500. Red-orange mineral (monazite ??) + blue metallic mineral.
205323	455557	6124121	OUTCROP	5000	12000	9,3	81,8	2579,0	VQz	Qz/Mz?/blue metallic mineral	Quartz vein (10-15 cm, 3 meters) with cps between 5000-13500. Red-orange mineral (monazite ??) + blue metallic mineral.
205324	455557	6124120	OUTCROP	5000	9000	6,8	11,1	2081,0	VQz	Qz/Mz?/blue metallic mineral	Quartz vein (10-15 cm, 3 meters) with cps between 5000-13500. Red-orange mineral (monazite ??) + blue metallic mineral.
205326	457268	6123259	OUTCROP	480	6450	7,0	52,0	1247,0	I2C	Fk/Pg/Qz/Bo/Ai	Quartziferous syenite dyke. Medium grain sized. Not magnetic. Presence of amazonite.
205327	457284	6123265	OUTCROP	440	5050	5,5	58,2	967,9	I2C	Fk/Pg/Qz/Bo	Quartziferous syenite dyke. Medium grain sized. Not magnetic.
205328	457281	6123247	OUTCROP	400	2400	5,3	42,1	304,4	I2C	Fk/Pg/Qz/Bo	Quartziferous syenite dyke. Medium grain sized. Not magnetic.
205329	457284	6123245	OUTCROP	475	3250	4,9	117,0	378,5	I2C	Fk/Pg/Qz/Bo/Ai	Quartziferous syenite dyke. Medium grain sized. Not magnetic. Presence of amazonite.
205330	455048	6127325	OUTCROP	400	1500	7,3	19,2	210,8	I2D	Fk/Qz/Bo	Syenite outcrop. Rapakivite texture. Coarse grain sized. It is not magnetic.
205331	455195	6127372	OUTCROP	420	1650	4,4	42,5	154,6	I1G	Fp/Qz/Bo	Pegmatite dyke. Massive. Coarse grain sized. Not magnetic.
205332	454513	6127069	OUTCROP	540	10500	5,4	10,8	2470,0	I2D	Fk/Qz/Bo/FI/Mz?	Syenite outcrop. Coarse grain sized. It is not magnetic. Fluorine 1%. Red mineral (Monazite?). Yellow alteration. The sample itself is 7100 cps and after it has been taken, the outcrop is 6000 cps.
205333	455669	6127059	OUTCROP	350	2300	5,1	2,5	359,7	I2D	Fk/Qz/Bo	Syenite outcrop. Rapakivite texture. Coarse grain sized. It is not magnetic. A little yellow alteration. Small wall effect. 2% Bo.
205334	455660	6126976	OUTCROP	320	3000	5,7	45,7	404,3	I2D	Fk/Qz/Bo	Syenite outcrop. Rapakivite texture. Coarse grain sized. It is not magnetic. 5% Bo.
205335	455265	6126604	OUTCROP	260	415	5,7	4,4	40,9	I2D	Fk/Pg/Qz/Bo	Syenite outcrop. Rapakivite texture. Coarse grain sized. It is not magnetic.
205336	456407	6127142	OUTCROP	300	420	4,6	3,2	40,9	I2D	Fk/Pg/Qz/Bo	Syenite outcrop. Rapakivite texture. Coarse grain sized. It is not magnetic.
205337	445886	6115580	OUTCROP	300	530	5,2	7,2	40,7	I2D	Fk/Pg/Qz/Bo	Syenite outcrop. Rapakivite texture. Coarse grain sized. It is not magnetic.
205338	445914	6115646	OUTCROP	500	1375	7,8	15,1	164,9	I2D	Fk/Pg/Qz/Bo	Syenite outcrop. Rapakivite texture. Coarse grain sized. It is not magnetic. In a cliff. Wall effect.
205339	446255	6115714	OUTCROP	270	610	4,9	8,3	57,9	I2D	Fk/Pg/Qz/Bo	Syenite outcrop. Rapakivite texture. Coarse grain sized. It is not magnetic.
205340	445872	6116200	OUTCROP	200	430	4,6	7,4	48,1	I2D	Fk/Pg/Qz/Bo	Syenite outcrop. Rapakivite texture. Coarse grain sized. It is not magnetic.
205341	445801	6116318	OUTCROP	170	310	4,3	0,6	19,0	I1B	Fp/Qz/Bo	Granite outcrop. Porphyric texture. Medium grain sized. It is not magnetic.
205342	444517	6116328	OUTCROP	320	1150	5,6	17,5	143,0	I2D	Fk/Pg/Qz/Bo	Syenite outcrop. Rapakivite texture. Coarse grain sized. It is not magnetic.

SAMPLE NUMBER	SAMPLE DESCRIPTION										
	Esating	Norhting	Sample type	CPS_AVR	CPS_MAX	K	U_ppm	Th_ppm	LITHOLOGY	MINERALOGY	FIELD_COMM
205343	444245	6116134	OUTCROP	420	910	5,5	6,7	112,6	I2D	Fk/Pg/Qz/Bo	Syenite outcrop. Rapakivic texture. Coarse grain sized. It is not magnetic.
205344	443648	6116135	OUTCROP	280	410	5,6	2,4	36,4	I2D	Fk/Pg/Qz/Bo	Syenite outcrop. Rapakivic texture. Coarse grain sized. It is not magnetic.
205345	442906	6116506	BOULDER	270	900	2,7	35,1	56,4	I1B	Fp/Qz/Bo	Granite block. Massive. Medium grain sized. It is not magnetic.
205346	442270	6116255	OUTCROP	200	360	5,1	3,8	27,5	I2D	Fk/Pg/Qz/Bo	Syenite outcrop. Rapakivic texture. Coarse grain sized. It is not magnetic.
205347	442245	6116276	BOULDER	200	2500	4,1	177,9	31,4	I1B	Fp/Qz/Bo	Granitic gneiss block. Stratified. Medium grain sized. It is not magnetic.
205348	445727	6111648	BOULDER	200	900	1,5	23,1	89,8	I1B	Fp/Qz/Bo	Granite block. Massive. Medium grain sized. It is not magnetic.
205349	445625	6111806	OUTCROP	200	350	4,9	2,5	33,8	I2D	Fk/Pg/Qz/Bo	Syenite outcrop. Rapakivic texture. Coarse grain sized. It is not magnetic. Small wall effect.
205351	454954	6124146	OUTCROP	900	3000	5,6	44,3	312,6	I2C	Fp/Am/Qz	I2C (FG), Sm Qz, no mag.
205352	454954	6124444	OUTCROP	900	3000	4,6	11,4	274,0	I2C	Fp/Am/Qz	I2C (FG), Sm Qz, no mag.
205353	454952	6124428	OUTCROP	800	2800	3,9	6,9	223,5	I2C	Fp/Am/Qz	I2C (FG), Sm Qz, no mag.
205354	452587	6126118	OUTCROP	700	1500	6,7	67,0	92,0	I2C	Fp/Am/Qz	I2C (FG), Sm Qz, no mag. Insitu
205355	452537	6126080	OUTCROP	1000	5500	10,2	72,0	735,0	I2C	Fp/Am/Qz/Bo	I2C (FG), Sm Qz, no mag.
205356	452450	6126097	OUTCROP	3000	4000	2,8	81,5	500,4	I2C	Fp/Am/Qz	I2C (FG), Sm Qz, no mag, with mm altered red vein ?
205357	452452	6126088	OUTCROP	3000	4000	2,8	81,5	500,4	I2C	Fp/Am/Qz	I2C (FG), Sm Qz, no mag, with mm altered red vein ?
205358	454431	6123226	OUTCROP	300	450	5,1	4,0	40,3	I2D	Fp/Am/Qz	I2D at RK texture homogeneous.
205359	454556	6123299	OUTCROP	400	1200	7,5	10,4	147,3	I2D	Fp/Am/Qz/Bo	I2D at RK texture homogeneous, enriched on Sm Qtz.
205360	456007	6124219	OUTCROP	700	1200	5,2	8,8	69,9	I2D	Fp/Am/Qz/Bo	I2D at RK texture homogeneous, enriched on Sm Qtz.
205361	455650	6123870	OUTCROP	900	4000	5,2	48,7	611,2	I2C	Fp/Am/Qz/Fl/Bo	I2C (FG), Sm Qz, no mag, with 5% of Fluorine.
205362	453761	6124548	OUTCROP	600	900	3,5	36,1	39,3	I2C	Fp/Am/Qz	I2C (F/MG), Sm Qz, no mag.
205363	454687	6124178	OUTCROP	700	1200	3,5	5,3	117,6	VQz	Fp/Am/Qz	Sm Qz vein in I2C (F/MG), Sm Qz, no mag.
205364	454832	6124273	OUTCROP	800	1300	6,7	30,3	88,2	I2C	Fp/Am/Qz	I2C (F/M G), Sm Qz, no mag.
205365	454963	6124372	OUTCROP	1000	3800	7,6	34,4	498,0	I2C	Fp/Am/Qz/Bo	I2C (F/M G), Sm Qz, no mag. Insitu
205366	455550	6124095	OUTCROP	800	2000	7,3	13,7	316,3	I2D	Fp/Bo/Hb/Qz	Same outcrop as 205319, taken in rapakivic syenite.
205367	457057	6125148	OUTCROP	300	400	6,0	0,3	38,5	I2D	Fp/Am/Qz	I2D at RK texture homogeneous.
205368	457355	6125379	OUTCROP	350	450	4,6	3,3	19,9	I2D	Fp/Am/Qz	I2D at RK texture homogeneous.
205369	457229	6125653	OUTCROP	900	1200	3,9	11,7	163,3	I2D	Fp/Am/Qz	I2D at RK texture homogeneous.
205370	447055	6126503	OUTCROP	900	1400	2,2	34,4	229,4	I2C	Fp/Am/Qz/Bo	I2C (F/MG), Sm Qz, no mag.
205371	453373	6128442	OUTCROP	300	400	4,2	1,1	30,4	I2D	Fp/Am/Qz	I2D at RK texture homogeneous.
205372	453403	6129066	OUTCROP	300	400	3,9	6,5	25,6	I2D	Fp/Am/Qz	I2D at RK texture homogeneous.
205373	448810	6127556	OUTCROP	800	1300	2,6	2,0	180,0	I1G	Fp/Bo/Qz	I1G, Bo+++
205374	448808	6117554	OUTCROP	300	400	4,3	4,2	41,9	I1C	Fp/Bo/Qz	I1C (C/MG), Sm Qz, no mag.
205376	450823	6124593	OUTCROP	450	650	4,5	13,9	54,0	I2C	Fp/Qz/Hb/Bo	Little dyke of quartz-syenite hosted in Rapakivic syenite.
205377	451425	6124444	OUTCROP	400	2000	5,2	19,3	242,6	I2D	Fp/Bo/Hb/Qz	Outcrop of I2D, RK texture, down of hill, smoked quartz.
205378	453183	6121787	OUTCROP	450	2000	5,6	25,0	280,5	I2D	Fp/Bo/Hb/Qz	Outcrop of RK I2D. On little hill.
205379	453563	6122094	BOULDER	500	2000	5,7	28,8	312,1	I1G	Fp/Qz/Bo/Ai	Boulder of I1G, 1m x 2m x 1 m.
205380	453636	6122116	OUTCROP	500	1800	8,3	9,3	245,1	I2D	Fp/Bo/Qz	Outcrop I2D RK, phOncocrysta of Bo. On top of hill. Lot of cps between 600-1000 around.
205381	444097	6115159	OUTCROP	450	2000	6,1	25,6	322,5	I2D	Fp/Bo/Qz/Fl	Outcrop of I2D RK with Bo+fluorine, on the side of the hill.
205382	444105	6115152	OUTCROP	800	5200	7,8	76,9	758,3	I2D	Fp/Bo/Qz/Fl	Outcrop of I2D RK with Bo+fluorine, on the side of the hill.
205383	444218	6115020	OUTCROP	800	2250	7,3	13,2	408,1	I2D	Fp/Qz/Bo	Outcrop of I2D RK with Bo, on the top of the hill.
205384	444296	6115053	OUTCROP	600	1200	4,6	15,7	149,7	I2D	Fp/Qz/Bo	Outcrop of I2D RK with Bo, on the top of the hill.
205385	444310	6114970	BOULDER	600	2200	6,5	36,7	296,2	I2D	Fp/Qz/Bo	Boulder of I2D, In-situ, 5m x 5m x 5m.
205386	444384	6114891	OUTCROP	500	2000	7,7	26,2	240,8	I2D	Fp/Qz/Bo	Outcrop of I2D RK with Bo, on the top of the hill.
205387	448367	6118563	OUTCROP	350	2500	5,4	48,1	334,4	I2D/I2C	Fp/Hb/Bo/Qz	Little dyke of syenite hosted in rapakivic syenite. 1000-2000 cps, 20 meters along, 140N.
205388	445204	6114743	OUTCROP	300	850	6,9	6,5	109,3	I2D	Fp/Hb	Enclave of syenite with Hb hosted in Rk I2D.
205389	440327	6117531	OUTCROP	300	1000	5,1	6,7	141,7	I2D	Fp/Bo/Qz	Outcrop of Rk I2D. On top of hill.
205390	438627	6116662	BOULDER	600	1000	4,3	8,2	111,5	I2D	Fp/Bo/Qz	Boulder of I2D (0,5m x 0,5m x 0,5m)
205391	437577	6116558	OUTCROP	350	1100	6,6	14,0	145,4	I2D	Fp/Bo/Qz/Fl	Outcrop of I2D, between 2 hills. Fluorine locally. Many spot between 600-2000 cps.
205392	437585	6116597	OUTCROP	400	1300	6,1	11,4	185,2	I2D	Fp/Bo/Qz/Fl	Same outcrop as 205391 with 2% Fl.
205393	437503	6116597	OUTCROP	400	1350	5,4	4,9	217,2	I2D	Fp/Bo/Qz/Fl	Same outcrop as 205391 with trace Fl.
205394	437568	6116704	OUTCROP	400	2000	5,0	6,8	245,3	I2D	Fp/Bo/Qz	Same outcrop as 205391 without Fl.
205395	443255	6111200	OUTCROP	200	350	4,4	2,1	21,4	I1G	Fp/Ai/Qz/Bo	Dykes (10-30 cm) of I1G qwith amazonite hosted in I2D RK. Cps in dyke around 300 cps, 400-500 cps in I2D. 205395 took in I1G dyke.
205396	443164	6111238	OUTCROP	400	1000	5,4	17,1	226,4	I2D	Fp/Bo/Qz	Outcrop of RK I2D on top of hill. Many cps around 500-1000 around.
205397	443166	6111248	OUTCROP	500	3000	5,4	21,4	510,8	I2D	Fp/Bo/Qz	Outcrop of RK I2D on top of hill. Many cps around 500-1000 around.
205398	444624	6117280	OUTCROP	250	300	4,5	2,9	22,7	I2H	Pg/Bo/Hb/Fk	Monzodiorite porphyric. Matrix Pg/Bo/Hb fine grains with Fk porphyre.
205399	444589	6117673	OUTCROP	400	2000	6,7	12,1	337,7	I2D	Fp/Bo/Qz	Outcrop of RK I2D and monzodiorite porphyric (Fk porphyres). Samples took in each rock.
205401	448997	6117312	OUTCROP	800	1200	4,0	7,3	117,9	I1G	Fp/Bo/Qz	I1G, Bo+++
205402	450181	6121282	BOULDER	800	1400	2,4	2,9	155,3	I2C	Fp/Bo/Qz	Block de I2C, Bo++
205403	450023	6121308	OUTCROP	250	300	3,2	2,9	17,9	I2D	Fp/Am/Qz/Bo	I2D at RK texture homogeneous.
205404	450181	6121282	BOULDER	1000	1500	6,4	34,6	143,9	I2C	Fp/Bo/Qz	Block de I2C, Bo++

SAMPLE NUMBER	SAMPLE DESCRIPTION										
	Esating	Norhting	Sample type	CPS_AVR	CPS_MAX	K	U_ppm	Th_ppm	LITHOLOGY	MINERALOGY	FIELD_COMM
205405	449172	6121283	OUTCROP	1000	4000	6,4	75,0	282,7	I2C	Fp/Am/Qz/Bo/Fl	I2C (F/MG), Sm Qz, Fl+ no mag.
205406	449175	6121284	OUTCROP	1000	4000	6,1	49,8	445,2	I2C	Fp/Am/Qz/Bo/Fl	I2C (F/MG), Sm Qz, Fl+ no mag.
205407	449196	6121332	OUTCROP	1000	8000	6,7	128,7	854,3	I2D	Fp/Am/Qz/Bo	I2D at Rk texture homogeneous, Bo+++
205408	440933	6117352	OUTCROP	250	350	4,2	3,8	32,2	I2D	Fp/Am/Qz/Bo	I2D at Rk texture homogeneous.
205409	441116	6117110	OUTCROP	350	500	5,1	4,1	50,1	I2D	Fp/Am/Qz/Bo	I2D at Rk texture homogeneous.
205410	440696	6117502	OUTCROP	250	350	3,1	1,5	10,7	I2D	Fp/Am/Qz/Bo	I2D at Rk texture homogeneous.
205411	440773	6117861	OUTCROP	250	350	3,1	1,5	10,7	I2D	Fp/Am/Qz/Bo	I2D at Rk texture homogeneous.
205412	436464	6116329	OUTCROP	250	350	4,7	0,1	25,5	I2D	Fp/Am/Qz/Bo	I2D at Rk texture homogeneous.
205413	437589	6116789	OUTCROP	400	3800	6,9	69,6	707,6	I2D	Fp/Am/Qz/Bo/Fl	I2D (CG), Sm Qz, Bo ++, Fl+
205414	437542	6116789	OUTCROP	1000	3000	4,5	17,3	36,3	I2D	Fp/Am/Qz/Bo/Fl	I2D (CG), Sm Qz, Bo ++, Fl+
205415	436788	6111717	OUTCROP	600	750	5,6	6,8	68,9	I2C	Fp/Am/Qz/Bo	I2C (F/M G), Sm Qz, mag.
205416	446725	6116649	BOULDER	900	2000	5,6	17,8	275,8	I2D	Fp/Am/Qz/Bo	Block de I2C Bo+++
205417	456859	6118565	OUTCROP	500	750	1,8	12,1	46,8	I2D	Fp/Am/Qz/Bo	I2D Bo+++.
205418	456702	6118623	OUTCROP	600	1000	3,1	12,3	157,5	I2D	Fp/Am/Qz/Bo+++	I2D Bo+++.
205419	446026	6126960	BOULDER	600	1100	1,6	82,5	3,1	I2C	Fp/Am/Qz/Bo	Block de I2C, Qz++, Mg+++
205420	451690	6126498	BOULDER	500	800	5,1	4,2	108,5	I2C	Fp/Am/Qz/Bo	Block de I2C
205421	439934	6132935	OUTCROP	400	500	5,2	2,1	47,9	I2J	Fp/Am/Qz/Bo	I2J, mag
205422	440710	6134524	OUTCROP	350	450	3,7	5,3	43,6	I2H	Fp/Am/Qz/Bo/Pg	I2H, Mag
205423	440382	6134182	BOULDER	1000	2000	2,8	77,9	222,8	I2D	Fp/Am/Qz/Bo	Block of I2D
205424	440116	6133385	OUTCROP	400	500	4,7	7,5	46,5	I2H	Fp/Am/Qz/Bo/Pg	I2H, Mag
205426	445332	6112141	OUTCROP	300	870	6,1	5,5	107,6	I2D	Fk/Pg/Qz/Bo	Syenite outcrop. Rapakivite texture. Coarse grain sized. It is not magnetic.
205427	445318	6112439	OUTCROP	400	3000	6,0	67,0	400,1	I2D	Fk/Pg/Qz/Bo	Syenite outcrop. Rapakivite texture. Coarse grain sized. It is not magnetic.
205428	444255	6111918	OUTCROP	300	1100	4,7	16,7	137,7	I2D	Fk/Pg/Qz/Bo	Syenite outcrop. Rapakivite texture. Coarse grain sized. It is not magnetic.
205429	444053	6111982	OUTCROP	600	2200	6,8	27,7	349,3	I2D	Bo/Fp/Qz	Syenite enclave in a syenite outcrop. This syenite is with 65% Bo. Medium grain sized. It is not magnetic.
205430	444484	6119146	OUTCROP	270	435	6,6	1,1	41,2	I2D	Fk/Pg/Qz/Bo	Syenite outcrop. Rapakivite texture. Coarse grain sized. It is not magnetic.
205431	444117	6118862	OUTCROP	200	335	5,0	2,7	36,6	I2D	Fk/Pg/Qz/Bo	Syenite outcrop. Rapakivite texture. Coarse grain sized. It is not magnetic.
205432	444738	6119129	OUTCROP	210	375	4,7	3,8	29,3	I2D	Fk/Pg/Qz/Bo	Syenite outcrop. Rapakivite texture. Coarse grain sized. It is not magnetic.
205433	444844	6118826	BOULDER	300	1000	4,5	9,4	131,9	I2D	Fk/Pg/Qz/Bo	Syenite boulder. Rapakivite texture. Coarse grain sized. It is not magnetic.
205434	444791	6118696	OUTCROP	170	250	4,7	2,9	21,2	I2H/I2J	Pg/Qz/Bo	Diorite/monzonite outcrop. Massive texture. Fine grain sized. It is not magnetic.
205435	443789	6110994	OUTCROP	245	1500	7,3	16,7	237,2	I2D	Fk/Pg/Qz/Bo	Syenite outcrop. Rapakivite texture. Coarse grain sized. It is not magnetic.
205436	448404	6126391	BOULDER	400	9300	10,0	747,9	165,0	I1B	Fp/Qz/Bo	Granite boulder. Massive. Coarse grain sized. It is not magnetic. 0,7m diameter.
205437	449122	6126059	BOULDER	180	1150	5,5	19,3	156,3	I2D	Fk/Pg/Qz/Bo	Syenite boulder. Rapakivite texture. Coarse grain sized. It is not magnetic.
205438	449514	6125536	OUTCROP	220	335	3,9	2,0	28,9	I2D/I2H	Fk/Pg/Qz/Bo	Syenite/Monzodiorite outcrop. Rapakivite texture. Medium grain sized. It is not magnetic.
205439	449533	6126041	BOULDER	200	1300	5,4	23,3	185,6	I1B	Fp/Qz/Bo	Granite boulder. Massive. Medium grain sized. It is not magnetic. 1,5m diameter.
205440	442114	6135118	BOULDER	330	1630	6,7	16,3	217,9	I2D	Fk/Pg/Qz/Bo	Syenite boulder. Rapakivite texture. Coarse grain sized. It is not magnetic.
205441	442535	6135310	BOULDER	250	1150	6,0	40,6	89,7	I2H	Pg/Fk/Qz	Monzodiorite boulder. Massive. Medium grain sized. It is not magnetic.
205442	444125	6135498	OUTCROP	320	1300	4,8	27,2	144,9	I2D	Fk/Pg/Qz/Bo	Syenite outcrop. Rapakivite texture. Coarse grain sized. It is not magnetic.
205443	440190	6132737	OUTCROP	1000	5400	5,1	5,2	32,6	I2F	Hb/Fp/Bo	I2F, Hb+++
205444	440188	6132738	OUTCROP	450	730	2,1	6,9	49,8	I3K-Hb	Hb/Pg/Ol/Zr/Bo/Mg	I3K, Hb +++
205445	440209	6132752	OUTCROP	800	4000	7,6	76,1	727,7	I2D	Hb/Bo/Fp/Qz	I2D, altered
205446	440314	6132634	OUTCROP	1000	1400	1,4	32,0	285,6	I2F	Pg/Hb/Zr/Mg/Qz	I2F, Mag+++
205447	440314	6132633	OUTCROP	1000	3000	2,5	84,5	583,7	I2F	Pg/Hb/Zr/Mg/Qz	I2F, Mag+++
205448	440391	6132420	OUTCROP	800	1200	3,4	20,1	138,6	I2F	Pg/Hb/Zr/Mg	I2F, Mag+
205449	440569	6132167	BOULDER	1000	1200	2,4	32,2	232,2	M16	Hb/Pg	Bloc of M16
205451	444586	6117673	OUTCROP	250	300	4,6	4,1	19,3	I2H/I2J	Pg/Bo/Hb/Fk	Outcrop of RK I2D and monzodiorite porphyric (Fk porphyres). Samples took in each rock.
205452	451267	6126867	BOULDER	500	1200	4,7	10,4	200,1	I2D	Fp/Hb/Bo	Boulder of pink syenite with Hb/Bo-, surrounded, 1m x 1m x 1m, lot of same boulder around (500-1000 cps)
205453	450970	6126915	BOULDER	450	1250	5,1	7,4	208,1	I2D	Fp/Hb/Bo	Idem 205452.
205454	451200	6126843	BOULDER	800	2600	2,8	28,1	504,8	I2D	Fp/Hb++/Bo++	Idem 205452 but Hb++ and Bo++.
205455	450652	6126368	OUTCROP	400	1900	5,2	61,4	162,6	I2D	Fp/Bo/Qz	Outcrop of I2D RK with smoked Qz. Lot of pink syenite (500-1000 cps) around. Sample took on outcrop.
205456	450621	6126355	BOULDER	500	900	6,1	17,8	112,1	I2C	Fp/Bo/Qz/Hb	Boulder of I2C, fine grain, very oxyded.
205457	440678	6134135	OUTCROP	1000	6300	2,0	140,2	1430,0	I2D	Fp/Bo/Hb/Mg/Qz	Outcrop of I2D RK with magnetite ++ (band or enclave), on top of hill.
205458	440164	6133182	BOULDER	0	0	0,0	0,0	0,0			
205459	440172	6132754	OUTCROP	1000	10000	7,2	67,5	2109,0	I1G/VnQz	Fp/Qz/Mz/Hb/Zc/Blue metallic mineral	I1G/VnQz with Mz/blue metallic mineral and Zc, hosted in I2D, near of gabbro with olivine. Sample 205459 took in I1G/VnQz
205460	440197	6132791	OUTCROP	1000	4000	4,6	28,0	261,7	I2D	Fp/Hb/Mg	Syenite pegmatitic with Hb/Mg, brown/yellow vitreous mineral.
205461	440209	6132772	OUTCROP	1000	5200	7,8	87,7	1111,0	I2D	Fp/Hb/Mg	Syenite pegmatitic with Hb/Mg.
205462	442240	6131518	BOULDER	1000	1800	6,4	36,7	232,9	I2F	Fk/Pg/Hb/Mi	Metric block of monzonite with Hb (3m x 3m x 3m)
205463	442087	6131485	BOULDER	1000	1500	6,0	30,4	219,2	I2F	Fk/Pg/Hb/Mi	Metric block of monzonite with Hb (3m x 3m x 3m)
205464	442709	6128687	OUTCROP	350	2200	6,0	36,5	304,2	I2D	Fp/Qz/Hb/Bo	Syenite (Rk), homo., Sm Qz

SAMPLE NUMBER	SAMPLE DESCRIPTION										
	Esating	Norhting	Sample type	CPS_AVR	CPS_MAX	K	U_ppm	Th_ppm	LITHOLOGY	MINERALOGY	FIELD_COMM
205465	440263	6129539	OUTCROP	350	1200	5,0	53,0	175,9	I2D	Fp/Qz/Hb/Bo	Syenite (Rk), homo., Sm Qz
205466	440363	6131631	OUTCROP	300	350	2,2	4,9	32,7	I2H	Pg/Fk/Hb/Bo/Mg	I2H, homogeneous
205467	447407	6138956	BOULDER	800	2000	3,7	15,4	320,2	I2D	Fk/Hb/Qz/Bo	Block
205468	447982	6137726	BOULDER	800	1500	7,3	0,0	135,4	I2D	Fk/Hb/Qz/Bo	Block
205469	434162	6134845	OUTCROP	1000	7500	6,0	86,4	750,5	I2D	Fp/Hb/Bo/Qz/FI	Outcrop of I2D with 25m band (CPS between 1000-7500), 1-2% FI, smoked Qz, sample are oriented at 140 degrees north.
205470	434168	6134840	OUTCROP	1000	7500	3,9	121,1	1081,0	I2D	Fp/Hb/Bo/Qz/FI	Outcrop of I2D with 25m band (CPS between 1000-7500), 1-2% FI, smoked Qz, sample are oriented at 140 degrees north.
205471	434159	6134848	OUTCROP	1000	4200	5,6	91,1	616,0	I2D	Fp/Hb/Bo/Qz/FI	Outcrop of I2D with 25m band (CPS between 1000-7500), 1-2% FI, smoked Qz, sample are oriented at 140 degrees north.
205472	434157	6134852	OUTCROP	1000	3300	8,7	63,2	286,1	I2D	Fp/Hb/Bo/Qz/FI	Outcrop of I2D with 25m band (CPS between 1000-7500), 1-2% FI, smoked Qz, sample are oriented at 140 degrees north.
205473	434164	6134843	OUTCROP	1000	4200	4,2	75,5	577,5	I2D	Fp/Hb/Bo/Qz/FI	Outcrop of I2D with 25m band (CPS between 1000-7500), 1-2% FI, smoked Qz, sample are oriented at 140 degrees north.
205474	434180	6134865	OUTCROP	1000	2600	5,0	37,8	324,1	I2D	Fp/Hb/Bo/Qz/FI	Outcrop of I2D with 25m band (CPS between 1000-7500), 1-2% FI, smoked Qz, sample are oriented at 140 degrees north.
205476	434908	6135196	OUTCROP	400	1800	4,0	10,2	309,5	I2D	Fp/Am/Qz/Bo	I2D, homogeneous.
205477	434808	6135176	OUTCROP	800	4300	3,1	70,4	585,8	I2D	Fp/Hb/Qz/Bo/FI	I2D, homogeneous, FI
205478	434155	6134846	OUTCROP	1000	5000	6,3	107,9	588,2	I2D	Fp/Hb/Bo/Qz/FI	Outcrop of I2D with 25m band (CPS between 1000-7500), 1-2% FI, smoked Qz, sample are oriented at 140 degrees north.
205479	434176	6134837	OUTCROP	1000	5000	3,0	126,6	696,4	I2D	Fp/Hb/Bo/Qz/FI	Outcrop of I2D with 25m band (CPS between 1000-7500), 1-2% FI, smoked Qz, sample are oriented at 140 degrees north.
205480	434592	6134819	OUTCROP	600	2500	5,9	11,8	459,1	I2D	Fp/Hb/Bo/Qz/FI	1-2% FI, smoked Qz
205481	434593	6134821	OUTCROP	1600	3500	6,5	50,0	530,6	I2D	Fp/Hb/Bo/Qz/FI	Tr FI, smoked Qz ++
205482	434631	6134820	OUTCROP	500	1500	6,6	15,3	205,2	I2D	Fp/Hb/Bo/Qz/FI	Tr FI, smoked Qz ++
205483	434302	6134873	OUTCROP	800	1900	7,4	39,7	318,1	I2D	Fp/Qz/Hb/Bo	Outcrop of I2D homogeneous
205484	434043	6130959	OUTCROP	500	1000	5,3	5,2	127,4	I2D	Fp/Qz/Bo/Hb	Outcrop of I2D homogeneous, Smoked Qz
205485	433808	6130948	OUTCROP	500	1200	5,4	14,3	144,7	I2D	Fp/Hb/Bo/Qz/FI	Smoked Qz.Tr -2% FI
205486	432729	6119281	OUTCROP	450	1150	4,2	5,3	188,3	I2D	Fp/Hb/Bo/Qz	0,1 m x 1m anomaly
205487	440559	6133699	OUTCROP	300	900	3,1	17,7	66,1	I2D	Fp/Qz/Hb/Bo	Outcrop of I2D, homogeneous,(CG/Rk)
205488	440968	6134261	BOULDER	900	1400	5,6	22,8	195,7	I2D	Fp/Qz/Hb/Bo	Block of I2D, homogeneous,(CG/Rk), Block.
205489	441141	6134229	BOULDER	900	1400	4,3	4,0	187,2	I2D	Fp/Qz/Hb/Bo/FI	Block of I2D, homogeneous,(CG/Rk), Trace of FI.
205490	441235	6134321	BOULDER	800	1600	5,8	53,8	165,1	I2D	Fp/Qz/Hb/Bo	Block of I2D, homogeneous,(CG/Rk),
205491	441341	6134363	BOULDER	600	1000	2,3	23,1	158,2	I2H	Fp/Hb/Bo/Mg	Block of I2H, homogeneous.
205492	441475	6134402	BOULDER	800	1500	3,8	21,6	249,8	I2J	Fp/Hb/Bo/Mg	Block of I2J, homogeneous, metric.
205493	444025	6137236	OUTCROP	1000	4500	3,4	0,6	930,2	I2D	Fp/Hb/Bo/Qz	Hb, smoked Qz.
205494	443864	6137247	OUTCROP	1000	2500	5,3	122,3	178,9	I2I	Qz	I2I ondulated dyke with cps between 500-2500
205495	443792	6137283	OUTCROP	1000	3000	6,9	189,3	265,4	I2I	Fp/Hb/Bo/Qz	I2I ondulated dyke with cps between 500-2500
205496	443946	6137325	BOULDER	2000	9000	5,2	46,8	927,1	I2E	Fp/Qz/Bo/Hb/Mz/FI	Metric angular blocs (insitu) of I2D (CG/RK) with metric dyke of I2E (2000-9000 Cps)
205497	443791	6137287	OUTCROP	1000	5400	5,5	358,3	577,7	I2I	Fp/Hb/Bo/Qz	Mafic dyke
205498	451871	6125880	BOULDER	700	950	6,2	14,5	110,5	I2J	Fp/Hb/Qz/Bo	Block of I2J
205499	444079	6137164	CHANNEL	0	0	0,0	0,0	0,0	I2D		See drawing.
205501	442346	6131221	OUTCROP	300	400	4,2	6,6	31,7	I2D	Fp/Hb/Qz/Bo	I2D, homogeneous.
205502	443421	6127840	OUTCROP	300	450	4,7	1,6	23,2	I2D	Fp/Qz/Hb/Bo/Mg	I2D, homogeneous.
205503	441535	6128503	OUTCROP	300	350	4,6	3,2	32,8	I2D	Fp/Qz/Hb/Bo/Mg	I2D, homogeneous.
205504	438732	6128944	OUTCROP	300	450	4,1	3,7	27,6	I2D	Fp/Qz/Hb/Bo/Mg	I2D, homogeneous.
205505	440420	6131570	OUTCROP	900	1500	4,6	26,3	231,1	I2H	Fk/Pg/Hb/Bo/Mg	I2H, homogeneous, close to old sample
205506	446696	6133102	OUTCROP	800	2800	4,1	92,1	275,8	I2G	Fp/Pg/Qz/Bo	I2G, Mag+
205507	446766	6132617	OUTCROP	800	2000	5,2	50,4	318,1	I	Fp/Hb/Bo	?, Bo+++
205508	446216	6136545	OUTCROP	800	1500	5,2	14,9	90,6	I2D	Fp/Bo/Hb/Qz	Outcrop of I2D RK, on top of hill.
205509	446360	6136408	OUTCROP	1000	3700	4,3	36,0	261,9	I2D	Fp/Bo/Hb/Qz	Outcrop of I2D RK with quartz-syenite dyke. Dyke = 500-1500 cps, non oriented. Sample took in I2D.
205510	447256	6135842	BOULDER	800	2200	2,1	141,5	69,1	I2D	Fp/Bo/Hb/Qz	Boulder of I2D RK /M2 (1 m x 0,5 m x 0,5 m).
205511	448471	6135564	OUTCROP	500	1500	7,7	6,1	43,1	I2D	Fp/Bo/Hb/Qz	Outcrop (cliff) of I2D RK
205512	448835	6135654	BOULDER	800	2000	1,8	54,2	356,3	M16	Hb/Mg/Pg	Boulder of M16, 1m x 1m x 1m.
205513	448852	6135663	BOULDER	800	1500	2,2	27,4	243,1	I4B	Px/Pg/Mg	Boulder of I4B, 1m x 1m x 1m
205514	448915	6135641	BOULDER	1000	3000	1,2	67,4	531,9	I4B	Px/Pg/Mg	Boulder of I4B, 1m x 1m x 1m
205515	449451	6136639	OUTCROP	250	300	5,5	1,9	18,9	I2D	Fp/Hb/Qz/Bo	I2D, homogeneous.
205516	449273	6136614	BOULDER	750	3000	0,0	0,0	0,0	I2G	Fp/Pg/Qz/Bo	Block of I2D with I2G
205517	449886	6136074	BOULDER	700	800	5,9	3,6	43,8	I2G	Fp/Pg/Qz/Bo	Block of I2D with I2G
205518	449896	6135411	BOULDER	800	1800	3,3	43,2	344,6	I4B	Px/Fp	Block of I4B
205519	449918	6135719	BOULDER	1000	1500	3,7	36,2	442,9	I4B	Px/Fp	Block of I4B
205520	445570	6137016	OUTCROP	800	2500	6,1	30,2	173,6	I2D	Fp/Hb/Qz/Bo/FI	I2d, FG
205521	435014	6135595	OUTCROP	500	1300	6,0	12,3	193,3	I2D	Fp/Bo/Hb/Qz	I2D homogeneous, near of radar base on top of hill
205522	434951	6135308	OUTCROP	500	1800	5,9	2,1	271,2	I2D	Fp/Bo/Hb/Qz	I2D homogeneous, near of radar base on top of hill
205523	434973	6134776	OUTCROP	800	1300	4,8	19,1	207,0	I2D	Fp/Bo/Hb/Qz	Outcrop of I2D, RK, took on side of hill, smoked QZ
205524	435210	6134601	OUTCROP	600	1700	5,6	14,8	212,3	I2D	Fp/Bo/Hb/Qz	Outcrop of I2D, RK, took on side of hill, smoked QZ
205526	434302	6134873	OUTCROP	600	1500	5,6	11,7	240,7	I2D	Fp/Qz/Hb/Bo	Outcrop of I2D homogeneous, small dm patchy anomal zone (1500 CPS max)

SAMPLE NUMBER	SAMPLE DESCRIPTION										
	Esating	Notching	Sample type	CPS_AVR	CPS_MAX	K	U_ppm	Th_ppm	LITHOLOGY	MINERALOGY	FIELD_COMM
205527	434260	6134969	OUTCROP	800	1500	5.1	20.5	189.4	I2D	Fp/Oz/Hb/Bo	Outcrop of I2D homogeneous, dm anomalous zone.
205528	434261	6134989	OUTCROP	800	1400	8.0	8.4	163.4	I2D	Fp/Oz/Hb/Bo	Outcrop of I2D homogeneous, dm anomalous zone
205529	434043	6130959	OUTCROP	600	1250	4.3	4.2	174.9	I2D	Fp/Oz/Hb/Bo	Outcrop of I2D homogeneous with dm enriched patchy (Bo+++)
205530	432345	6119293	OUTCROP	600	1200	4.1	21.6	134.2	I2D	Fp/Am/Oz/Bo	I2D, homogeneous, In situ
205531	434093	6118887	BOULDER	1000	1500	5.4	22.1	183.7	I2D	Fp/Hb/Oz/Bo/Fl	Block of I2D (FG)
205532	440778	6134304	BOULDER	1000	1600	3.0	71.0	135.9	I2D	Fp/Hb/Oz/Bo/Zc	Block of I2D, 1mX1mX0.75m, angular, PQ of Hb, (FG/MA/PO)
205533	441554	6135078	BOULDER	600	1000	4.8	16.7	113.7	I2D	Fp/Oz/Hb/Bo	Block of I2D, homogeneous, block in situ, (GG).
205534	457820	6122260	OUTCROP	700	950	5.6	8.3	131.6	I2C	Fp/Oz/Hb/Pg/Bo/Fl	Outcrop of I2D, homogeneous (GG/FRK), with small metric I2C dyke (700-950 Cps, FG)
205535	443997	6137230	OUTCROP	800	3000	4.5	50.9	428.8	I2D	Pg/Bo/Mg/2((tr)	Outcrop of I2D, homogeneous (GG), with small decimetric I2I dyke (700-3000 Cps)
205536	444079	6137164	CHANNEL						I2D/I3		See drawing.
205537	444079	6137164	CHANNEL						I3		See drawing.
205538	444079	6137164	CHANNEL						I2C		See drawing.
205539	444079	6137164	CHANNEL						I2C/I3		See drawing.
205540	444079	6137164	CHANNEL						I3		See drawing.
205541	444079	6137164	CHANNEL						I2D		See drawing.
205542	444079	6137164	CHANNEL						I2D		See drawing.
205543	444079	6137164	CHANNEL						I3		See drawing.
205544	444079	6137164	CHANNEL						I2D		See drawing.
205545	444079	6137164	CHANNEL						I2D		See drawing.
205546	444079	6137164	CHANNEL						I2D		See drawing.
205547	444079	6137164	CHANNEL						I3		See drawing.
205548	444079	6137164	CHANNEL						I2D/I3		See drawing.
205549	444079	6137164	CHANNEL						I2D		See drawing.
205551	444079	6137164	CHANNEL						I2D		See drawing.
205552	444079	6137164	CHANNEL						I3		See drawing.
205553	444079	6137164	CHANNEL						I3		See drawing.
205554	444079	6137164	CHANNEL						I2D		See drawing.
205555	444079	6137164	CHANNEL						I2D/I3		See drawing.
205556	444079	6137164	CHANNEL						I3		See drawing.
205557	444079	6137164	CHANNEL						I2D		See drawing.
205558	444079	6137164	CHANNEL						I2D		See drawing.
205559	444079	6137164	CHANNEL						I2D		See drawing.
205560	444079	6137164	CHANNEL						I3/I2D		See drawing.
205561	444079	6137164	CHANNEL						I3/I2D		See drawing.

ANALYSIS																														
SAMPLE NUMBER	F %	Nb2O5 %	SiO2 %	Al2O3 %	Fe2O3	MnO %	MgO %	CaO %	Na2O %	K2O %	TiO2 %	P2O5 %	LOI %	Total %	Sc ppm	Be ppm	V ppm	Cr ppm	Co ppm	Ni ppm	Cu ppm	Zn ppm	Ga ppm	Ge ppm	As ppm	Rb ppm	Sr ppm	Y ppm	Zr ppm	Mo ppm
205527	0.08	0.00	72.63	12.02	3.32	0.03	0.12	0.44	2.44	6.31	0.27	0.04	0.81	98.43	2.0	4.0	5.0	20.0	2.0	20.0	10.0	60.0	25.0	2.0	5.0	257.0	83.0	26.0	350.0	4.0
205528	0.15	0.00	73.23	12.61	2.85	0.03	0.11	0.83	2.91	5.80	0.25	0.05	0.56	99.24	3.0	5.0	5.0	20.0	2.0	20.0	10.0	70.0	26.0	2.0	5.0	256.0	94.0	42.0	398.0	4.0
205529	0.12	0.00	67.59	13.59	4.09	0.05	0.16	1.14	2.87	6.28	0.36	0.05	1.06	97.24	7.0	5.0	5.0	20.0	2.0	20.0	10.0	100.0	49.0	5.0	9.0	248.0	133.0	172.0	323.0	5.0
205530	0.21	0.00	73.46	12.99	1.66	0.01	0.02	0.32	4.57	4.19	0.09	0.02	0.88	98.21	1.0	5.0	5.0	20.0	1.0	20.0	10.0	30.0	28.0	2.0	5.0	412.0	18.0	35.0	63.0	2.0
205531	0.01	0.00	78.58	11.59	1.54	0.02	0.07	0.65	2.51	5.42	0.09	0.01	0.69	99.17	1.0	4.0	5.0	20.0	1.0	20.0	10.0	30.0	20.0	1.0	5.0	275.0	126.0	12.0	236.0	2.0
205532	0.27	0.19	62.01	15.47	5.30	0.18	0.05	0.56	7.39	3.71	0.08	0.05	0.81	95.61	1.0	111.0	7.0	20.0	1.0	20.0	10.0	620.0	94.0	3.0	5.0	340.0	21.0	432.0	11760.0	20.0
205533	0.51	0.03	59.15	16.61	6.03	0.16	0.09	2.26	5.24	5.65	0.33	0.08	1.25	96.84	12.0	8.0	5.0	20.0	1.0	20.0	10.0	240.0	59.0	4.0	8.0	265.0	115.0	536.0	1459.0	45.0
205534	0.01	0.00	70.78	12.48	4.45	0.07	0.16	0.78	2.78	5.76	0.51	0.05	0.73	98.56	8.0	4.0	5.0	20.0	2.0	20.0	10.0	100.0	27.0	2.0	5.0	167.0	127.0	56.0	360.0	7.0
205535	0.08	0.08	73.73	11.36	4.21	0.07	0.02	0.37	4.26	3.81	0.12	0.06	0.69	98.17	7.0	14.0	5.0	20.0	1.0	20.0	10.0	540.0	63.0	3.0	5.0	351.0	117.0	226.0	2852.0	4.0
205536	0.30	0.22	69.23	13.29	4.48	0.07	0.11	1.06	4.21	4.74	0.23	0.06	0.51	98.60	3.0	11.0	5.0	20.0	1.0	20.0	10.0	200.0	50.0	5.0	5.0	361.0	124.0	894.0	3029.0	3.0
205537	0.49	0.39	66.69	13.34	6.18	0.11	0.09	1.29	4.36	4.58	0.26	0.06	0.61	97.57	8.0	14.0	9.0	20.0	1.0	20.0	10.0	780.0	58.0	5.0	5.0	347.0	112.0	90.0	395.0	2.0
205538	0.10	0.02	75.00	12.48	1.38	0.02	0.03	0.34	4.30	4.67	0.03	0.02	0.51	98.78	2.0	18.0	5.0	20.0	1.0	20.0	10.0	150.0	40.0	3.0	5.0	354.0	19.0	237.0	195.0	2.0
205539	0.01	0.43	73.17	11.42	3.88	0.03	0.08	0.14	3.74	4.23	0.10	0.01	0.55	97.34	2.0	16.0	5.0	20.0	1.0	20.0	60.0	490.0	66.0	4.0	5.0	343.0	24.0	423.0	6179.0	4.0
205540	0.01	0.17	74.35	12.35	3.22	0.04	0.04	0.13	4.10	4.47	0.07	0.02	0.47	99.25	3.0	16.0	5.0	20.0	1.0	20.0	10.0	340.0	56.0	4.0	5.0	355.0	20.0	301.0	2603.0	2.0
205541	0.21	0.01	65.75	15.60	3.94	0.07	0.17	1.69	4.07	6.23	0.34	0.09	0.67	98.61	11.0	12.0	5.0	20.0	2.0	20.0	10.0	160.0	33.0	2.0	5.0	286.0	202.0	70.0	659.0	5.0
205542	0.22	0.02	71.74	13.47	2.21	0.03	0.03	0.07	0.85	4.16	4.88	0.13	0.03	98.09	6.0	13.0	5.0	20.0	1.0	20.0	10.0	100.0	38.0	3.0	5.0	344.0	76.0	120.0	657.0	2.0
205543	0.22	0.06	73.48	12.90	2.06	0.03	0.05	0.49	4.22	4.66	0.05	0.03	0.53	98.48	3.0	17.0	5.0	20.0	1.0	20.0	10.0	150.0	44.0	3.0	5.0	388.0	31.0	307.0	1158.0	2.0
205544	0.35	0.21	68.57	13.49	4.30	0.07	0.08	1.01	4.10	4.97	0.19	0.05	0.68	97.52	6.0	18.0	7.0	20.0	1.0	20.0	10.0	350.0	51.0	3.0	5.0	402.0	88.0	571.0	2985.0	3.0
205545	0.32	0.06	74.69	12.79	2.74	0.04	0.10	0.95	3.52	5.46	0.14	0.03	0.62	98.07	4.0	22.0	5.0	20.0	1.0	20.0	10.0	650.0	39.0	3.0	6.0	409.0	78.0	192.0	1805.0	4.0
205546	0.24	0.01	70.94	14.40	2.71	0.04	0.10	1.20	4.00	5.64	0.19	0.04	0.57	99.82	8.0	9.0	5.0	20.0	1.0	20.0	10.0	130.0	35.0	2.0	5.0	347.0	112.0	90.0	395.0	2.0
205547	0.35	0.32	67.16	13.84	4.79	0.07	0.10	1.05	4.43	5.59	0.28	0.07	0.70	98.08	7.0	14.0	15.0	20.0	1.0	20.0	10.0	620.0	57.0	4.0	5.0	428.0	113.0	424.0	4132.0	3.0
205548	0.12	0.13	73.61	11.31	3.26	0.04	0.04	0.34	3.65	4.70	0.13	0.01	0.43	97.51	2.0	13.0	5.0	20.0	1.0	20.0	20.0	2240.0	49.0	3.0	5.0	372.0	24.0	243.0	3475.0	2.0
205549	0.56	0.08	66.11	15.00	3.42	0.04	0.09	1.47	4.52	6.01	0.25	0.05	0.62	97.58	6.0	25.0	5.0	20.0	1.0	20.0	10.0	240.0	43.0	3.0	5.0	704.0	136.0	427.0	1515.0	2.0
205551	0.45	0.02	69.44	14.34	3.33	0.05	0.09	1.39	4.29	5.43	0.23	0.05	0.60	99.23	8.0	14.0	5.0	20.0	1.0	20.0	10.0	170.0	37.0	2.0	5.0	498.0	116.0	139.0	814.0	2.0
205552	0.01	0.35	73.17	12.35	3.11	0.04	0.08	0.30	3.89	4.52	0.10	0.02	0.65	98.23	2.0	13.0	10.0	20.0	1.0	20.0	10.0	380.0	71.0	3.0	5.0	332.0	35.0	199.0	3863.0	3.0
205553	0.01	0.43	73.64	11.56	4.09	0.06	0.10	0.19	3.17	4.99	0.12	0.02	0.67	97.61	3.0	9.0	6.0	20.0	1.0	20.0	10.0	720.0	72.0	4.0	5.0	357.0	24.0	278.0	4356.0	2.0
205554	0.22	0.07	74.60	12.96	2.01	0.02	0.08	0.73	4.19	4.65	0.09	0.02	0.54	99.89	5.0	21.0	5.0	20.0	1.0	20.0	10.0	200.0	41.0	3.0	5.0	326.0	48.0	143.0	435.0	2.0
205555	0.01	0.17	80.34	8.57	1.89	0.02	0.05	0.11	2.89	3.20	0.05	0.01	0.54	97.64	1.0	11.0	5.0	20.0	1.0	20.0	10.0	140.0	52.0	3.0	5.0	271.0	21.0	223.0	3278.0	2.0
205556	0.30	0.51	67.98	12.43	4.32	0.07	0.06	0.81	3.85	4.62	0.16	0.02	0.92	95.24	4.0	57.0	7.0	20.0	1.0	20.0	10.0	610.0	111.0	9.0	14.0	412.0	77.0	2678.0	6732.0	2.0
205557	0.09	0.07	74.15	12.76	2.09	0.03	0.04	0.29	4.17	4.78	0.04	0.01	0.59	98.93	2.0	19.0	5.0	20.0	1.0	20.0	10.0	280.0	48.0	3.0	5.0	420.0	22.0	264.0	1370.0	2.0
205558	0.36	0.19	69.80	13.43	3.54	0.04	0.07	0.76	4.22	5.00	0.16	0.03	0.60	97.63	5.0	19.0	5.0	20.0	1.0	20.0	10.0	200.0	51.0	3.0	5.0	548.0	47.0	409.0	1775.0	2.0
205559	0.04	0.22	77.40	11.00	2.38	0.03	0.05	0.20	3.44	4.54	0.06	0.02	0.39	99.51	2.0	13.0	5.0	20.0	1.0	20.0	10.0	480.0	55.0	3.0	5.0	368.0	17.0	231.0	4130.0	2.0
205560	0.15	0.02	75.39	12.41	1.42	0.02	0.04	0.41	3.74	5.06	0.02	0.02	0.41	98.94	3.0	14.0	5.0	20.0	1.0	20.0	10.0	100.0	40.0	3.0	5.0	384.0	18.0	200.0	308.0	2.0
205561	0.20	0.04	75.05	12.62	1.91	0.03	0.08	0.59	3.96	4.95	0.07	0.02	0.50	99.77	3.0	14.0	5.0	20.0	1.0	20.0	20.0	610.0	45.0	3.0	5.0	320.0	31.0	215.0	1256.0	2.0

ANALYSIS																												
SAMPLE NUMBER	Ag_ppm	In_ppm	Sn_ppm	Sb_ppm	Cs_ppm	Ba_ppm	Bi_ppm	La_ppm	Ce_ppm	Pr_ppm	Nd_ppm	Sm_ppm	Eu_ppm	Gd_ppm	Tb_ppm	Dy_ppm	Ho_ppm	Er_ppm	Tm_ppm	Yb_ppm	Lu_ppm	Hf_ppm	Ta_ppm	W_ppm	Tl_ppm	Pb_ppm	Th_ppm	U_ppm
205527	1.1	0.2	5.0	0.5	2.8	775.0	0.4	84.7	163.0	15.8	53.9	7.4	1.0	4.7	0.7	4.2	0.9	2.7	0.4	2.8	0.5	10.0	2.3	1.0	1.2	39.0	35.1	2.9
205528	1.2	0.2	5.0	0.5	2.9	790.0	0.4	88.2	180.0	18.1	63.7	9.6	1.5	6.7	1.1	6.3	1.4	4.5	0.7	4.9	0.8	10.5	2.2	2.0	1.3	73.0	198.0	13.1
205529	1.1	0.2	11.0	0.5	3.5	1310.0	0.4	3170.0	5630.0	5250.0	1630.0	180.0	4.7	81.9	9.0	40.3	6.7	16.7	2.3	13.4	2.0	8.8	1.5	2.0	1.2	62.0	600.0	21.8
205530	0.5	0.2	45.0	0.5	13.8	56.0	0.4	16.8	33.1	3.5	13.0	2.6	0.3	2.5	0.5	3.5	0.9	3.3	0.6	4.9	0.9	3.7	5.5	8.0	1.8	43.0	53.7	6.9
205531	0.7	0.2	3.0	0.5	6.8	385.0	0.4	66.2	137.0	13.9	47.7	6.1	0.7	3.1	0.4	1.9	0.4	1.3	0.2	1.6	0.3	7.0	0.7	1.0	1.4	71.0	296.0	13.9
205532	0.0	0.2	170.0	0.8	2.8	240.0	0.4	573.0	850.0	686.0	202.0	29.0	1.4	23.5	5.4	44.8	14.7	67.4	15.4	138.0	26.2	312.0	120.0	7.0	1.4	652.0	278.0	132.0
205533	0.0	0.2	11.0	0.5	1.5	1154.0	0.4	2290.0	4100.0	389.0	1220.0	159.0	6.1	96.1	14.9	91.4	19.9	62.5	9.6	58.4	8.9	36.1	7.4	2.0	1.2	79.0	355.0	21.7
205534	1.3	0.2	4.0	0.5	1.1	1469.0	0.4	363.0	735.0	69.8	243.0	30.1	2.7	17.6	2.2	11.5	2.2	6.3	0.9	6.4	1.1	9.4	2.9	3.0	0.8	45.0	95.0	3.7
205535	0.0	0.6	6.0	0.5	1.7	163.0	0.4	418.0	700.0	58.7	176.0	34.5	0.8	33.0	7.8	58.9	14.7	49.5	8.7	63.0	10.0	119.0	14.9	2.0	1.3	207.0	325.0	22.1
205536	0.0	0.2	19.0	0.5	2.8	1223.0	14.5	270.0	663.0	65.5	217.0	38.3	2.7	29.5	5.5	36.5	8.4	27.0	4.7	34.1	5.7	83.1	95.8	9.0	1.3	147.0	103.0	68.4
205537	0.0	0.2	27.0	0.5	4.0	1152.0	0.5	849.0	1900.0	193.0	689.0	134.0	4.5	117.0	19.8	127.0	27.3	84.5	13.3	91.2	14.7	98.2	178.0	11.0	1.2	186.0	124.0	127.0
205538	0.7	0.2	11.0	0.5	1.4	100.0	0.4	78.1	191.0	20.9	80.5	20.0	0.5	22.3	4.4	30.3	6.8	22.7	3.7	24.8	3.7	8.5	11.9	3.0	1.2	119.0	43.1	13.9
205539	0.0	0.2	38.0	0.5	2.6	131.0	1.0	113.0	487.0	67.9	279.0	66.8	1.6	55.2	10.1	66.6	14.9	48.1	8.5	64.4	10.6	200.0	210.0	11.0	1.4	381.0	137.0	173.0
205540	0.0	0.2	18.0	0.5	2.3	95.0	0.4	130.0	399.0	47.6	179.0	39.5	0.9	34.3	6.4	41.6	9.4	31.0	5.4	39.1	6.5	84.5	72.7	8.0	1.3	212.0	85.4	73.8
205541	2.3	0.2	15.0	0.5	2.3	2278.0	0.4	134.0	268.0	28.8	108.0	17.3	4.4	13.1	2.1	11.8	2.4	7.7	1.2	8.5	1.4	14.9	2.8	3.0	1.3	76.0	29.8	3.1
205542	2.2	0.2	10.0	0.5	2.5	785.0	0.4	74.1	154.0	16.3	60.7	12.6	1.7	12.5	2.5	17.4	3.9	13.6	2.5	17.9	2.8	21.3	12.5	3.0	1.2	93.0	43.5	13.0
205543	0.0	0.2	13.0	0.5	2.4	265.0	0.4	84.5	218.0	25.9	108.0	29.7	1.1	31.4	6.3	42.8	9.6	32.8	5.7	40.1	6.3	38.2	19.1	5.0	1.3	114.0	74.1	27.2
205544	0.0	0.2	22.0	0.5	4.5	876.0	0.4	279.0	730.0	82.5	314.0	67.6	2.9	60.5	11.3	73.6	16.3	55.6	9.8	69.8	11.2	91.7	95.2	14.0	1.5	196.0	144.0	104.0
205545	0.0	0.2	24.0	0.5	5.2	843.0	0.6	117.0	253.0	26.0	95.4	20.3	2.0	18.9	3.7	25.1	5.7	19.8	3.6	25.7	4.1	66.7	22.3	5.0	1.7	128.0	57.8	23.6
205546	1.3	0.2	7.0	0.5	1.6	1181.0	0.4	82.4	158.0	16.7	62.4	10.6	2.4	9.3	1.6	10.5	2.4	8.0	1.3	9.1	1.5	9.2	4.9	2.0	1.4	95.0	20.5	5.3
205547	0.0	0.2	20.0	0.6	3.2	1195.0	0.4	276.0	799.0	92.3	344.0	72.2	3.6	58.9	10.7	67.8	15.0	49.9	8.6	61.4	10.1	167.0	143.0	13.0	1.6	196.0	138.0	113.0
205548	0.0	0.3	11.0	0.5	2.2	178.0	0.5	66.7	222.0	29.6	120.0	28.8	1.0	26.0	4.9	33.1	7.4	25.7	4.7	32.9	5.3	151.0	49.6	6.0	1.3	147.0	72.6	42.4
205549	0.0	0.2	26.0	0.5	5.1	1689.0	0.4	386.0	848.0	81.5	270.0	47.9	3.3	42.6	8.1	51.3	11.5	38.3	6.5	44.3	6.8	46.5	32.6	6.0	2.2	128.0	124.0	20.4
205551	2.7	0.2	13.0	0.5	3.3	1343.0	0.4	119.0	255.0	26.0	92.5	16.7	2.5	14.7	2.8	18.4	4.1	14.0	2.4	16.8	2.7	23.8	10.9	4.0	1.8	103.0	59.0	7.0
205552	0.0	0.2	18.0	0.5	1.6	257.0	0.4	183.0	532.0	58.3	197.0	36.8	1.2	27.4	4.7	31.0	6.7	21.9	3.8	27.5	4.6	149.0	175.0	14.0	1.1	198.0	43.4	121.0
205553	0.0	0.2	19.0	0.5	2.0	102.0	0.4	212.0	683.0	73.5	249.0	46.2	1.0	32.8	6.1	40.0	9.1	31.0	5.8	44.0	7.7	150.0	197.0	14.0	1.4	241.0	66.3	151.0
205554	1.4	0.2	14.0	0.5	2.1	436.0	0.4	99.3	220.0	22.9	78.6	15.7	1.3	14.9	3.1	20.6	4.7	16.2	2.9	20.4	3.2	17.4	35.4	5.0	1.3	100.0	50.6	27.1
205555	0.0	0.2	13.0	0.5	1.8	97.0	0.4	207.0	506.0	48.7	167.0	34.1	0.8	28.0	5.2	34.1	7.7	25.7	4.5	33.1	5.4	102.0	85.6	6.0	0.9	139.0	54.8	58.3
205556	0.0	0.2	54.0	0.5	3.4	124.0	0.5	4890.0	8190.0	715.0	2200.0	368.0	5.8	324.0	54.0	330.0	71.1	224.0	35.7	229.0	33.9	303.0	215.0	21.0	1.3	237.0	215.0	164.0
205557	0.0	0.2	14.0	0.5	3.2	116.0	0.4	104.0	257.0	28.6	106.0	24.8	0.7	25.0	5.0	33.5	7.8	26.5	4.6	33.2	5.3	36.6	25.8	5.0	1.3	137.0	57.3	33.1
205558	0.0	0.2	35.0	0.5	6.5	575.0	0.4	248.0	642.0	67.3	238.0	50.4	1.7	44.9	8.5	56.7	12.9	42.8	7.8	54.9	8.8	51.6	83.8	8.0	1.8	164.0	117.0	68.2
205559	0.0	0.2	17.0	0.5	2.3	110.0	0.4	130.0	400.0	44.3	150.0	29.8	0.6	24.4	4.8	33.0	7.7	27.4	5.0	37.6	6.4	107.0	94.8	10.0	1.3	179.0	47.2	77.0
205560	1.0	0.2	10.0	0.5	3.0	82.0	0.4	59.2	141.0	16.2	62.7	16.9	0.5	18.8	3.9	27.2	6.4	21.6	3.7	27.3	4.3	9.9	10.1	3.0	1.4	97.0	28.1	9.2
205561	0.0	0.2	8.0	0.5	1.8	215.0	1.2	146.0	304.0	31.8	110.0	23.6	0.8	23.0	4.5	31.7	7.1	23.3	3.7	25.2	3.9	35.6	14.8	3.0	1.2	165.0	39.6	15.8

		CALCULS																							
SAMPLE NUMBER	La203 %	Ce203 %	Pr203 %	Nd203 %	Sm203 %	Eu203 %	Gd203 %	Tb203 %	Dy203 %	Ho203 %	Er203 %	Tm203 %	Yb203 %	Lu203 %	Y203 %	Zr02 %	Hf02 %	TREO	HREO	% HREO					
205527	0.009935	0.019087	0.001849	0.006285	0.00858	0.000118	0.000542	0.000081	0.000482	0.000103	0.000309	0.000046	0.000319	0.000052	0.003302	0.047285	0.001179	0.0434	0.0021	4.73					
205528	0.10346	0.21078	0.02118	0.007427	0.01114	0.000169	0.000773	0.000127	0.000723	0.000160	0.000514	0.000080	0.000558	0.000090	0.005334	0.053770	0.001238	0.0506	0.0032	6.31					
205529	0.371841	0.665128	0.061425	0.190058	0.020880	0.000545	0.009443	0.001036	0.004626	0.000768	0.001909	0.000259	0.000526	0.000232	0.021844	0.043637	0.001038	1.3515	0.0203	1.51					
205530	0.001971	0.003876	0.000404	0.001516	0.000302	0.000037	0.000288	0.000058	0.000445	0.000377	0.000377	0.000069	0.000558	0.000102	0.004445	0.000878	0.000436	0.0145	0.0020	13.75					
205531	0.007765	0.016043	0.001626	0.005562	0.000708	0.000086	0.000357	0.000046	0.000218	0.000046	0.000149	0.000024	0.000182	0.000032	0.001524	0.031884	0.000825	0.0344	0.0011	3.32					
205532	0.067213	0.099555	0.008026	0.023553	0.003364	0.000166	0.002710	0.000622	0.005143	0.001685	0.007704	0.001759	0.002979	0.000232	0.0154864	1.588776	0.036785	0.2950	0.0385	13.04					
205533	0.268617	0.480110	0.045513	0.142252	0.018444	0.000702	0.011080	0.001715	0.010493	0.002281	0.007144	0.001093	0.006652	0.001011	0.068072	0.094758	0.004256	1.0652	0.0422	3.96					
205534	0.042580	0.086069	0.008167	0.028334	0.003492	0.000308	0.002029	0.000253	0.000252	0.000252	0.000720	0.000105	0.000729	0.000126	0.007112	0.048636	0.001108	0.1816	0.0058	3.22					
205535	0.031671	0.061970	0.007663	0.020522	0.004002	0.000091	0.003805	0.000898	0.006762	0.001685	0.003658	0.000997	0.001776	0.001135	0.044196	0.057693	0.001430	0.2348	0.0282	12.01					
205536	0.049031	0.077637	0.007663	0.025302	0.004443	0.000315	0.003401	0.000633	0.004190	0.000963	0.003086	0.000532	0.003884	0.000649	0.028702	0.385305	0.009562	0.1931	0.0177	9.14					
205537	0.099588	0.222490	0.022581	0.080337	0.015544	0.000519	0.013490	0.002279	0.014580	0.003129	0.009658	0.000419	0.002825	0.000425	0.113538	0.409218	0.011578	0.6113	0.0572	9.36					
205538	0.009161	0.023366	0.002445	0.009386	0.002320	0.000063	0.002571	0.000506	0.003478	0.000779	0.002595	0.000419	0.002825	0.000425	0.030099	0.026345	0.001002	0.0894	0.0137	15.27					
205539	0.013255	0.057028	0.007944	0.032531	0.007749	0.000184	0.006365	0.001163	0.007646	0.001708	0.005488	0.000970	0.007335	0.000737	0.038227	0.834783	0.023580	0.2043	0.0321	15.70					
205540	0.015249	0.046723	0.005569	0.020871	0.004582	0.000104	0.003955	0.000737	0.004776	0.001077	0.003543	0.000613	0.004453	0.000737	0.038227	0.351665	0.009963	0.1512	0.0200	13.22					
205541	0.015718	0.031383	0.003370	0.012593	0.002007	0.000507	0.001510	0.000242	0.001355	0.000275	0.000880	0.000140	0.000968	0.000157	0.030890	0.089031	0.001757	0.0800	0.0060	7.54					
205542	0.008692	0.018033	0.001907	0.007078	0.001462	0.000197	0.001441	0.000288	0.000447	0.000447	0.001554	0.000284	0.002039	0.000321	0.015240	0.088761	0.002511	0.0610	0.0086	14.05					
205543	0.009912	0.025528	0.003030	0.012593	0.003445	0.000150	0.003620	0.000725	0.004913	0.001100	0.003749	0.000649	0.004567	0.000714	0.038989	0.156446	0.004504	0.1137	0.0202	17.74					
205544	0.032727	0.085483	0.009652	0.036612	0.007842	0.000331	0.006976	0.001301	0.008449	0.001868	0.006355	0.001113	0.007950	0.001273	0.072517	0.403274	0.010811	0.2805	0.0356	12.70					
205545	0.013724	0.029626	0.003042	0.011124	0.002355	0.000226	0.002179	0.000426	0.002881	0.000653	0.002263	0.000413	0.002927	0.000460	0.024384	0.243855	0.007864	0.0967	0.0124	12.85					
205546	0.099666	0.18502	0.001954	0.007276	0.001230	0.000281	0.001072	0.000184	0.001205	0.000275	0.000914	0.000152	0.001036	0.000171	0.011430	0.053364	0.001085	0.0553	0.0053	9.56					
205547	0.032375	0.093563	0.010799	0.040110	0.008375	0.000416	0.006791	0.001232	0.007783	0.001719	0.005704	0.000986	0.006993	0.001148	0.038848	0.582233	0.019689	0.2718	0.0328	12.06					
205548	0.007824	0.025986	0.003463	0.013992	0.003341	0.000113	0.002998	0.000564	0.003800	0.000848	0.002938	0.000532	0.003747	0.000605	0.030861	0.489473	0.017803	0.1016	0.0161	15.89					
205549	0.045278	0.099301	0.009535	0.031482	0.005556	0.000383	0.004912	0.000932	0.005889	0.001318	0.004378	0.000739	0.005046	0.000777	0.054229	0.204676	0.005482	0.2698	0.0244	9.04					
205551	0.013959	0.029861	0.003042	0.010785	0.001937	0.000286	0.001695	0.000322	0.002112	0.000470	0.001600	0.000279	0.001914	0.000305	0.017653	0.109971	0.002806	0.0862	0.0090	10.42					
205552	0.021466	0.064639	0.006821	0.022970	0.004269	0.000133	0.003159	0.000541	0.003559	0.000768	0.002503	0.000437	0.003132	0.000526	0.025273	0.521891	0.017567	0.1602	0.0148	9.21					
205553	0.024868	0.079979	0.008599	0.029033	0.005359	0.000110	0.003782	0.000702	0.004592	0.001043	0.003543	0.000659	0.005012	0.000878	0.035306	0.588496	0.017685	0.2035	0.0203	9.99					
205554	0.011648	0.025762	0.002679	0.009165	0.001821	0.000145	0.000378	0.000357	0.002365	0.000539	0.001852	0.000333	0.002324	0.000367	0.018161	0.058768	0.002051	0.0792	0.0100	12.62					
205555	0.024281	0.059253	0.005698	0.019472	0.003956	0.000089	0.003228	0.000599	0.003915	0.000882	0.002938	0.000517	0.003770	0.000608	0.028321	0.442858	0.012026	0.1575	0.0165	10.50					
205556	0.573597	0.959049	0.083655	0.256520	0.042688	0.000673	0.037357	0.006215	0.037884	0.008148	0.025603	0.004077	0.026083	0.003854	0.340106	0.909493	0.035724	2.4055	0.1499	6.23					
205557	0.012199	0.030095	0.003346	0.012360	0.002877	0.000078	0.002883	0.000575	0.003846	0.000894	0.003029	0.000529	0.003781	0.000605	0.033528	0.185087	0.004315	0.1106	0.0162	14.66					
205558	0.029090	0.073178	0.007874	0.027751	0.005846	0.000195	0.005177	0.000978	0.006509	0.001478	0.004892	0.000888	0.006253	0.001003	0.051943	0.239803	0.006084	0.2231	0.0274	12.16					
205559	0.015249	0.046840	0.005183	0.017490	0.003457	0.000067	0.002813	0.000552	0.003788	0.000882	0.003132	0.000568	0.004283	0.000724	0.029337	0.57963	0.012615	0.1344	0.0168	12.51					
205560	0.006944	0.016511	0.001895	0.007311	0.001960	0.000060	0.002168	0.000449	0.003123	0.000733	0.002469	0.000426	0.003109	0.000493	0.025400	0.041611	0.001167	0.0731	0.0130	17.84					
205561	0.017126	0.035598	0.003721	0.012826	0.002738	0.000097	0.002652	0.000518	0.003639	0.000814	0.002663	0.000427	0.002870	0.000447	0.027305	0.169886	0.003961	0.1134	0.0141	12.45					

ANNEXE 4
CERTIFICATS D'ANALYSE



Date Submitted: 27-Aug-10
Invoice No.: A10-5364
Invoice Date: 01-Oct-10
Your Reference:

QUEST RARE MINERALS LTD
65 Queen St. W., Suite 2010
PO Box 68
Toronto ON M5H 2M5
Canada

ATTN: President Peter Cashin

CERTIFICATE OF ANALYSIS

450 Rock samples were submitted for analysis.

The following analytical packages were requested:
REPORT **A10-5364**
Code 8-F Option Fusion Specific Ion Electrode-ISE
Code 8-Nb2O5 - XRF Option XRF
Code 8-REE-Rare Earth Element Pkg Major Elements Fusion
ICP(WRA)/Trace Elements Fusion ICP/MS(WRA4B2)

This report may be reproduced without our consent. If only selected portions of the report are reproduced, permission must be obtained. If no instructions were given at time of sample submittal regarding excess material, it will be discarded within 90 days of this report. Our liability is limited solely to the analytical cost of these analyses. Test results are representative only of material submitted for analysis.

Notes:

Total includes all elements in % oxide to the left of total.

CERTIFIED BY :

Emmanuel Esemé , Ph.D.
Quality Control



ACTIVATION LABORATORIES LTD.

1336 Sandhill Drive, Ancaster, Ontario Canada L9G 4V5 TELEPHONE +1.905.648.9611 or
+1.888.228.5227 FAX +1.905.648.9613
E-MAIL Ancaster@actlabs.com ACTLABS GROUP WEBSITE www.actlabs.com

Activation Laboratories Ltd. Report: A10-5364 rev 1

Analyte Symbol	F	Nb2O5	SiO2	Al2O3	Fe2O3(T)	MnO	MgO	CaO	Na2O	K2O	TiO2	P2O5	LOI	Total	Sc	Be	V	Cr	Co	Ni	Cu	Zn	Ga	Ge
Unit Symbol	%	%	%	%	%	%	%	%	%	%	%	%	%	%	ppm	ppm	ppm	ppm	ppm	ppm	ppm	ppm	ppm	ppm
Detection Limit	0.01	0.003	0.01	0.01	0.01	0.001	0.01	0.01	0.01	0.01	0.001	0.01	0.01	0.01	1	1	5	20	1	20	30	1	1	
Analysis Method	FUS-ISE	FUS-XRF	FUS-ICP	FUS-ICP	FUS-ICP	FUS-ICP	FUS-ICP	FUS-ICP	FUS-ICP	FUS-ICP	FUS-ICP	FUS-ICP	FUS-ICP	FUS-ICP	FUS-ICP	FUS-ICP	FUS-ICP	FUS-MS	FUS-MS	FUS-MS	FUS-MS	FUS-MS	FUS-MS	
205001	< 0.01	0.012	62.28	16.97	5.75	0.113	0.11	2.32	5.16	6.95	0.402	0.06	0.37	100.5	14	6	< 5	< 20	< 1	< 20	< 10	200	38	2
205002	0.23	0.032	42.28	6.97	24.96	0.548	0.62	9.54	2.41	2.21	2.202	1.02	-0.22	92.55	796	6	8	< 20	1	< 20	80	510	69	15
205003	0.74	0.069	62.71	15.91	4.90	0.189	0.07	1.56	6.68	5.30	0.186	0.07	1.10	98.67	7	121	< 5	< 20	< 1	< 20	< 10	550	66	3
205004	0.07	0.036	66.38	14.63	4.86	0.085	0.31	1.56	3.35	6.58	0.515	0.16	0.83	99.26	10	29	< 5	< 20	2	< 20	< 10	200	31	2
205005	< 0.01	0.004	62.90	17.16	4.90	0.100	0.10	1.53	5.31	6.31	0.098	0.05	0.74	99.20	16	4	< 5	< 20	< 1	< 20	< 10	110	35	2
205006	0.36	0.006	61.08	16.45	6.61	0.147	0.14	3.17	5.34	5.59	0.183	0.07	0.78	99.56	16	6	< 5	< 20	< 1	< 20	< 10	280	46	3
205007	0.49	0.018	62.76	16.96	4.67	0.048	0.11	0.98	6.68	5.40	0.346	< 0.01	1.07	99.03	2	11	< 5	< 20	< 1	< 20	< 10	200	66	2
205008	1.02	0.025	58.17	15.82	7.88	0.253	0.13	3.13	5.72	5.14	0.313	0.03	1.38	97.96	17	10	< 5	< 20	< 1	< 20	10	290	48	3
205009	1.34	0.017	57.10	15.79	8.84	0.247	0.15	3.27	5.84	5.59	0.405	0.04	1.83	99.11	19	7	< 5	< 20	< 1	< 20	10	280	45	3
205010	0.96	0.031	56.82	14.97	9.88	0.261	0.21	3.46	5.36	5.00	0.467	0.04	1.64	98.11	35	15	< 5	< 20	< 1	< 20	30	390	44	3
205011	0.98	0.067	58.73	15.25	9.01	0.245	0.18	3.43	5.64	5.06	0.476	0.06	1.59	99.66	26	25	< 5	< 20	< 1	< 20	10	420	50	4
205012	1.01	0.021	57.83	15.55	8.46	0.262	0.15	3.21	5.47	5.17	0.350	0.03	1.38	97.86	23	9	< 5	< 20	< 1	< 20	50	350	46	3
205013	1.04	0.017	58.19	15.79	7.93	0.255	0.11	3.20	5.62	5.08	0.353	0.04	1.22	97.78	12	6	< 5	< 20	< 1	< 20	< 10	290	46	3
205014	0.21	0.012	63.25	16.07	6.06	0.122	0.07	0.60	7.01	4.32	0.169	< 0.01	0.40	98.08	30	22	< 5	< 20	< 1	< 20	< 10	320	61	3
205015	0.24	0.003	61.92	16.46	6.80	0.203	0.04	0.60	6.68	4.91	0.186	0.02	0.88	98.69	4	10	< 5	< 20	< 1	< 20	< 10	240	57	2
205016	< 0.01	0.003	68.80	17.03	1.28	0.026	0.28	1.71	5.84	3.05	0.049	0.05	1.47	99.59	3	5	6	< 20	1	< 20	< 10	< 30	17	2
205017	0.30	0.099	60.56	14.37	7.45	0.189	0.11	2.16	4.05	5.12	0.995	0.08	0.98	96.08	23	11	< 5	< 20	< 1	< 20	< 10	290	50	5
205018	0.09	0.014	63.75	16.46	4.05	0.097	0.07	1.06	5.20	6.27	0.220	0.04	0.76	97.99	10	13	< 5	< 20	< 1	< 20	< 10	150	42	2
205019	0.21	0.390	74.02	10.97	3.25	0.058	0.05	0.73	2.29	5.68	0.034	0.02	1.01	98.12	4	8	11	< 20	< 1	< 20	< 10	100	35	3
205020	< 0.01	0.174	73.77	11.52	4.36	0.093	< 0.01	0.12	3.26	4.93	0.115	< 0.01	0.35	98.52	2	7	< 5	< 20	< 1	< 20	< 10	550	60	3
205021	0.03	0.130	68.62	13.82	4.66	0.099	0.08	0.91	3.36	6.11	0.239	0.03	0.72	98.66	6	8	< 5	< 20	< 1	< 20	< 10	200	40	2
205022	0.37	0.179	61.24	13.39	11.26	0.119	0.06	1.18	2.75	6.73	1.161	0.05	0.52	98.46	9	6	9	< 20	< 1	< 20	< 10	780	43	3
205023	0.10	0.720	68.91	0.73	24.10	0.618	0.19	0.47	0.13	0.29	0.844	0.05	-1.08	95.27	16	< 1	< 5	< 20	2	< 20	70	1350	7	4
205024	0.11	0.561	73.55	6.71	3.81	0.084	0.08	0.47	1.51	3.46	0.128	0.06	0.89	90.76	< 1	2	< 5	< 20	< 1	< 20	< 10	140	19	2
205025 Received as Pulp	< 0.01	< 0.003	98.34	0.29	0.03	< 0.001	0.01	0.02	< 0.01	< 0.01	0.015	< 0.01	0.33	99.06	< 1	< 1	< 5	< 20	< 1	< 20	< 10	< 30	< 1	< 1
205026	0.06	0.012	57.15	14.68	11.63	0.319	0.26	3.05	4.69	5.43	0.550	0.40	-0.10	98.06	101	4	< 5	< 20	< 1	< 20	40	290	38	4
205027	0.37	0.035	38.63	5.09	29.09	0.605	0.56	11.40	1.67	1.62	2.756	0.73	-0.67	91.48	448	6	7	< 20	1	< 20	110	740	73	16
205028	0.09	0.014	59.89	15.75	8.22	0.216	0.18	2.48	5.17	5.61	0.510	0.09	0.46	98.58	81	7	< 5	< 20	< 1	< 20	10	260	37	3
205029	0.04	0.014	62.18	16.86	4.65	0.098	0.06	1.53	4.95	6.81	0.248	0.06	0.66	98.10	9	5	< 5	< 20	< 1	< 20	< 10	170	41	2
205030	< 0.01	0.166	73.12	10.91	4.12	0.071	0.04	0.25	2.32	5.99	0.157	0.01	0.42	97.41	4	1	< 5	< 20	< 1	< 20	< 10	410	48	3
205031	0.07	0.009	69.01	14.53	3.70	0.052	0.08	1.35	3.73	6.24	0.278	0.05	0.53	99.55	9	6	< 5	< 20	< 1	< 20	< 10	110	28	1
205032	0.54	0.079	62.63	15.29	5.67	0.175	0.08	1.18	5.90	5.88	0.283	0.09	1.20	98.38	9	81	< 5	< 20	< 1	< 20	< 10	650	55	3
205033	0.25	0.542	73.10	10.95	4.83	0.146	0.01	0.14	5.03	3.44	0.147	< 0.01	0.43	98.23	< 1	69	< 5	< 20	< 1	< 20	< 10	720	67	3
205034	0.16	0.006	71.09	12.77	3.12	0.045	0.07	1.02	2.83	6.02	0.201	0.03	0.73	97.92	2	2	< 5	< 20	< 1	< 20	< 10	100	25	1
205035	0.11	0.006	73.07	12.88	3.68	0.039	0.07	0.98	2.80	5.67	0.233	0.02	0.77	100.2	4	3	< 5	< 20	< 1	< 20	< 10	100	26	1
205036	0.18	0.006	72.59	12.78	3.34	0.038	0.07	0.99	2.86	5.88	0.216	0.02	0.73	99.50	3	3	< 5	< 20	< 1	< 20	< 10	110	26	1
205037	0.02	0.007	71.35	13.93	3.21	0.035	0.05	0.94	3.22	5.70	0.240	0.03	0.71	99.42	7	5	< 5	< 20	< 1	< 20	< 10	80	25	2
205038	< 0.01	< 0.003	54.20	15.81	9.96	0.140	5.00	7.05	3.36	0.94	1.218	0.08	2.14	99.90	17	1	131	150	35	70	30	110	18	1
205039	0.23	0.039	66.92	14.60	5.14	0.126	0.18	1.05	4.25	5.62	0.481	0.05	1.03	99.45	10	32	< 5	< 20	< 1	< 20	< 10	300	34	2
205040	0.23	0.028	61.20	14.89	8.07	0.198	0.24	2.28	4.12	6.32	0.483	0.08	0.86	98.73	37	15	< 5	< 20	< 1	< 20	20	350	41	3
205041	0.04	0.400	63.60	9.12	16.03	0.685	0.04	0.40	2.56	3.59	0.364	0.02	-0.40	96.01	9	15	< 5	< 20	< 1	< 20	< 10	2720	59	6
205042	< 0.01	0.266	71.15	12.36	4.02	0.088	0.03	0.26	3.02	5.95	0.086	0.03	0.47	97.47	2	3	< 5	< 20	< 1	< 20	< 10	470	68	4
205043	< 0.01	0.326	72.73	11.96	2.80	0.047	0.02	0.15	3.19	5.60	0.086	< 0.01	0.53	97.11	< 1	2	7	< 20	< 1	< 20	< 10	240	67	3
205044	< 0.01	0.544	71.13	12.11	3.14	0.079	0.02	0.35	2.70	6.30	0.152	0.02	0.58	96.58	3	4	7	< 20	< 1	< 20	< 10	150	72	3
205045	0.01	0.754	67.62	12.41	3.65	0.081	0.04	0.46	2.72	6.16	0.160	0.03	0.84	94.16	2	2	< 5	< 20	< 1	< 20	< 10	320	64	3
205046	0.77	0.095	61.06	13.87	6.87	0.141	0.11	2.43	2.86	7.13	0.518	0.08	1.62	96.67	9	9	< 5	< 20	1	< 20	20	240	47	5
205047	0.41	0.396	69.40	2.68	19.04	0.415	0.12	1.09	0.61	0.99	1.284	0.05	0.25	95.92	16	2	< 5	< 20	2	< 20	10	1150	24	5
205048	0.42	0.373	60.39	7.95	20.30	0.552	0.13	1.03	1.80	4.03	0.568	0.05	-0.25	96.54	16	1	< 5	< 20	2	< 20	< 10	1430	30	4
205049	0.30	0.089	73.78	10.39	4.38	0.076	0.05	0.71	2.48	5.30	0.120	0.01	0.85	98.15	3	3	< 5	< 20	< 1	< 20	< 10	230	32	2
205050 Received as Pulp	0.31	0.286	70.41	7.46	6.04	0.167	0.68	1.90	2.91	3.86	0.623	0.06	1.24	95.33	< 1</									

Activation Laboratories Ltd.

Report: A10-5364 rev 1

Analyte Symbol	F	Nb2O5	SiO2	Al2O3	Fe2O3(T)	MnO	MgO	CaO	Na2O	K2O	TiO2	P2O5	LOI	Total	Sc	Be	V	Cr	Co	Ni	Cu	Zn	Ga	Ge
Unit Symbol	%	%	%	%	%	%	%	%	%	%	%	%	%	%	ppm	ppm	ppm	ppm	ppm	ppm	ppm	ppm	ppm	ppm
Detection Limit	0.01	0.003	0.01	0.01	0.01	0.001	0.01	0.01	0.01	0.01	0.001	0.01	0.01	0.01	1	1	5	20	1	20	30	1	1	
Analysis Method	FUS-ISE	FUS-XRF	FUS-ICP	FUS-ICP	FUS-ICP	FUS-ICP	FUS-ICP	FUS-ICP	FUS-ICP	FUS-ICP	FUS-ICP	FUS-ICP	FUS-ICP	FUS-ICP	FUS-ICP	FUS-ICP	FUS-ICP	FUS-MS	FUS-MS	FUS-MS	FUS-MS	FUS-MS	FUS-MS	
205051	0.03	0.006	58.86	15.12	10.98	0.314	0.16	2.84	4.77	5.30	0.079	0.07	0.23	98.73	29	4	<5	<20	1	<20	20	290	39	3
205052	0.54	0.077	61.70	15.79	5.53	0.188	0.12	1.53	6.14	5.44	0.287	0.08	1.11	97.91	10	97	<5	<20	<1	<20	<10	520	60	3
205053	0.62	0.055	65.12	14.34	4.44	0.123	0.08	1.60	5.01	5.85	0.215	0.10	0.98	97.87	6	173	<5	<20	<1	<20	<10	700	55	3
205054	1.03	0.082	62.33	14.71	5.72	0.203	0.16	2.77	6.02	5.28	0.320	0.08	1.45	99.04	12	117	<5	<20	<1	<20	<10	680	54	3
205055	0.46	0.059	62.24	16.90	4.29	0.160	0.07	0.94	6.58	6.11	0.223	0.05	1.99	99.56	4	92	<5	<20	<1	<20	<10	520	63	3
205056	0.07	0.007	61.37	16.60	6.71	0.164	0.13	2.22	5.20	6.15	0.129	0.07	0.41	99.17	25	4	<5	<20	<1	<20	10	170	39	3
205057	0.04	0.025	49.62	11.42	20.34	0.420	0.29	5.55	3.53	4.09	1.894	0.14	-0.33	96.96	104	3	<5	<20	1	<20	20	360	40	5
205058	0.04	0.013	59.58	16.74	7.37	0.156	0.12	2.15	5.09	6.23	0.616	0.09	0.54	98.67	46	3	<5	<20	<1	<20	10	170	41	4
205059	0.03	0.006	60.70	16.62	5.64	0.144	0.11	2.43	5.15	6.08	0.176	0.11	0.69	97.86	107	3	<5	<20	<1	<20	<10	100	37	3
205060	0.18	0.008	68.27	13.71	5.13	0.076	0.26	1.65	3.44	5.36	0.526	0.16	0.52	99.10	10	9	<5	<20	2	<20	10	160	32	2
205061	0.07	0.049	55.88	17.68	10.16	0.251	0.21	2.58	5.04	5.73	0.367	0.09	0.77	98.75	68	11	<5	<20	<1	<20	10	330	55	4
205062	0.05	0.125	70.67	13.45	2.42	0.029	0.05	0.52	3.19	6.54	0.235	0.03	0.90	98.02	3	9	<5	<20	<1	<20	<10	80	36	2
205063	< 0.01	< 0.003	65.24	15.59	7.55	0.033	0.24	2.76	4.64	2.25	0.527	0.08	0.09	99.00	1	1	39	<20	7	<20	<10	110	31	1
205064	0.28	0.170	63.89	9.82	13.78	0.282	0.22	1.20	2.41	4.11	1.250	0.11	0.10	97.19	41	8	8	<20	3	<20	<10	640	42	6
205065	0.36	0.039	68.56	13.99	4.03	0.052	0.07	1.19	3.83	5.76	0.321	0.04	1.09	98.93	10	13	<5	<20	1	<20	<10	220	37	3
205066	0.51	0.205	64.62	6.95	15.95	0.352	0.18	1.21	1.71	3.19	1.137	0.07	0.06	95.43	54	5	<5	<20	2	<20	<10	930	43	7
205067	0.88	2.500	46.05	2.32	34.52	0.784	0.44	1.91	0.45	0.98	1.320	0.17	-0.92	88.01	74	2	<5	<20	4	<20	<10	1730	32	13
205068	0.36	0.545	56.78	6.88	25.46	0.708	0.27	1.00	1.70	3.13	0.628	0.11	-0.91	95.75	43	2	<5	<20	3	<20	20	1350	37	8
205069	0.89	0.836	57.90	8.03	18.78	0.463	0.19	2.41	2.01	3.31	0.723	0.09	0.48	94.39	20	5	<5	<20	2	<20	<10	1160	33	7
205070	0.09	0.071	70.49	11.87	5.83	0.114	0.06	0.56	2.96	5.40	0.277	0.03	0.51	98.11	7	5	<5	<20	1	<20	<10	310	49	3
205071	0.33	0.506	66.71	8.26	13.98	0.310	0.11	1.07	2.23	3.47	0.541	0.07	-0.12	96.63	27	3	12	<20	1	<20	<10	830	29	5
205072	< 0.01	0.123	73.10	10.62	5.21	0.085	0.02	0.14	2.76	4.87	0.212	0.01	0.61	97.63	5	6	<5	<20	<1	<20	<10	520	59	4
205073	0.39	0.475	60.78	10.29	15.88	0.350	0.16	1.59	2.52	4.25	0.702	0.13	0.20	96.86	22	5	7	<20	2	<20	10	1120	34	6
205074	0.03	0.667	76.57	5.10	8.31	0.187	0.04	0.26	1.10	2.63	0.420	0.04	0.33	94.98	6	1	<5	<20	<1	<20	<10	530	31	5
205075 Received as Pulp	< 0.01	< 0.003	98.21	0.33	0.08	< 0.001	0.02	0.02	< 0.01	0.02	0.018	0.01	0.33	99.04	< 1	< 1	<5	<20	< 1	<20	<10	< 30	1	1
205076	0.04	0.468	70.22	5.40	15.81	0.267	0.19	0.18	0.99	2.99	0.742	0.01	-0.21	96.60	14	< 1	11	<20	2	<20	<10	1400	22	4
205077	0.39	0.176	74.84	9.52	4.75	0.079	0.04	0.90	2.18	4.90	0.288	< 0.01	0.59	98.09	2	4	<5	<20	< 1	<20	<10	360	34	3
205078	0.16	0.009	64.95	14.09	6.80	0.092	0.10	1.59	3.39	5.86	0.633	0.08	0.38	97.96	9	9	<5	<20	1	<20	<10	420	35	3
205079	0.04	0.122	66.92	15.13	4.19	0.065	0.11	1.72	3.75	5.94	0.334	0.06	0.58	98.81	12	8	<5	<20	1	<20	50	200	35	2
205080	< 0.01	0.134	72.19	11.68	5.19	0.119	0.04	0.28	2.59	6.02	0.195	< 0.01	0.43	98.73	7	5	<5	<20	< 1	<20	<10	410	54	4
205081	0.33	0.007	71.93	12.84	2.77	0.050	0.05	1.22	3.04	5.82	0.178	0.02	0.83	98.76	2	9	<5	20	< 1	<20	<10	120	38	3
205082	0.02	0.203	73.62	11.11	3.18	0.032	0.04	0.27	2.33	5.93	0.192	0.03	0.78	97.52	1	2	8	<20	< 1	<20	50	110	40	3
205083	0.05	0.009	66.71	15.10	4.29	0.069	0.12	1.78	3.43	6.04	0.357	0.08	0.39	98.37	13	5	<5	<20	< 1	<20	<10	140	31	2
205084	0.07	0.020	72.11	11.99	4.60	0.091	0.02	0.34	3.01	5.92	0.158	0.01	0.16	98.42	7	5	<5	<20	< 1	<20	<10	410	43	2
205085	0.01	0.024	71.50	11.30	5.93	0.117	0.04	0.24	2.77	5.27	0.166	< 0.01	0.24	97.60	11	4	<5	<20	< 1	<20	<10	370	43	2
205086	0.09	0.102	83.04	5.89	4.98	0.085	0.05	0.17	2.11	1.83	0.210	0.08	0.46	98.89	8	1	<5	<20	< 1	<20	<10	290	31	3
205087	0.98	0.140	68.65	10.91	6.42	0.110	0.07	2.32	3.03	4.68	0.294	0.07	1.27	97.83	11	3	<5	<20	< 1	<20	<10	370	52	3
205088	0.01	0.135	73.39	11.02	4.49	0.087	0.01	0.10	3.46	4.13	0.123	0.04	0.76	97.61	8	1	<5	<20	< 1	<20	<10	1050	57	3
205089	0.02	0.128	70.95	11.60	4.81	0.102	0.04	0.28	2.94	5.32	0.146	0.06	1.01	97.25	6	3	<5	<20	< 1	<20	20	1200	52	3
205090	0.02	0.179	68.22	13.25	3.91	0.060	0.06	0.36	3.03	6.33	0.171	0.04	1.33	96.76	7	16	<5	<20	< 1	<20	<10	170	54	4
205091	< 0.01	0.064	69.67	12.11	6.67	0.113	0.03	0.25	3.48	4.68	0.182	0.01	0.82	98.02	5	6	<5	<20	< 1	<20	<10	420	52	3
205092	0.09	0.014	63.05	17.65	3.70	0.034	0.11	0.76	4.30	8.25	0.317	0.06	0.96	99.19	9	33	<5	<20	< 1	<20	<10	170	38	2
205093	< 0.01	0.035	73.76	12.97	2.66	0.036	0.02	0.23	3.36	6.28	0.108	0.04	0.75	100.2	3	6	<5	<20	< 1	<20	<10	130	47	2
205094	0.08	0.013	75.38	12.46	1.93	0.023	0.03	0.52	3.64	4.90	0.076	0.01	0.73	99.71	4	3	<5	<20	< 1	<20	40	80	29	2
205095	0.19	0.010	66.80	13.28	5.05	0.079	0.09	1.91	3.18	4.76	0.454	0.04	1.28	96.91	14	10	<5	<20	< 1	<20	<10	160	54	6
205096	0.05	0.011	72.25	13.76	2.65	0.035	0.05	0.71	3.37	5.79	0.184	0.05	0.84	99.70	3	9	<5	<20	< 1	<20	<10	60	28	2
205097	< 0.01	0.074	74.17	10.49	5.17	0.115	0.02	0.20	2.90	4.60	0.188	0.02	0.55	98.43	8	3	<5	<20	< 1	<20	<10	520	47	2
205098	0.44	1.220	41.81	3.50	44.09	1.429	0.23	0.96	0.92	1.52	0.225	0.11	-2.44	92.34	52	< 1	<5	<20	3	<20	<10	3930	24	12
205099	< 0.01	0.052	64.45	18.26	1.01	0.014	0.02	0.31	4.59	8.95	0.011	< 0.01	0.66	98.29	< 1	12	<5	<20	< 1	<20	<10	70	82	3
205100 Received as Pulp	0.28	0.281	70.17	7.42	5.96	0.164	0.66	1.86	2.94	3.88	0.601	0.05	1.35	95.06	< 1	248	5	60	< 1	<20	<10	1250	59	6

Activation Laboratories Ltd. Report: A10-5364 rev 1

Analyte Symbol	F	Nb2O5	SiO2	Al2O3	Fe2O3(T)	MnO	MgO	CaO	Na2O	K2O	TiO2	P2O5	LOI	Total	Sc	Be	V	Cr	Co	Ni	Cu	Zn	Ga	Ge
Unit Symbol	%	%	%	%	%	%	%	%	%	%	%	%	%	%	ppm	ppm	ppm	ppm	ppm	ppm	ppm	ppm	ppm	ppm
Detection Limit	0.01	0.003	0.01	0.01	0.01	0.001	0.01	0.01	0.01	0.01	0.001	0.01	0.01	0.01	1	1	5	20	1	20	10	30	1	1
Analysis Method	FUS-ISE	FUS-XRF	FUS-ICP	FUS-ICP	FUS-ICP	FUS-ICP	FUS-ICP	FUS-ICP	FUS-ICP	FUS-ICP	FUS-ICP	FUS-ICP	FUS-ICP	FUS-ICP	FUS-ICP	FUS-ICP	FUS-ICP	FUS-MS	FUS-MS	FUS-MS	FUS-MS	FUS-MS	FUS-MS	FUS-MS
205101	0.22	0.064	71.96	12.47	4.12	0.066	0.05	0.91	3.25	5.62	0.238	0.04	0.99	99.72	7	9	<5	<20	<1	<20	60	290	38	2
205102	0.01	0.093	71.39	13.73	3.42	0.054	0.04	0.38	3.48	6.52	0.122	0.01	0.67	99.82	8	10	<5	<20	<1	<20	<10	210	53	3
205103	<0.01	0.139	72.08	11.04	5.47	0.136	0.03	0.28	2.64	5.61	0.148	0.01	0.51	97.98	11	4	<5	<20	<1	<20	<10	430	52	3
205104	0.03	0.164	73.45	11.74	2.46	0.028	0.04	0.41	2.81	5.79	0.141	0.02	0.68	97.56	7	8	<5	<20	<1	<20	<10	110	41	3
205105	0.01	0.144	74.90	11.25	2.37	0.020	0.03	0.31	2.43	5.83	0.126	0.03	0.71	98.01	7	6	11	<20	<1	<20	<10	80	40	3
205106	0.20	0.019	58.15	17.26	7.64	0.097	0.23	2.04	5.39	4.81	0.697	0.33	1.41	98.06	20	764	<5	<20	<1	<20	<10	520	62	7
205107	0.03	0.109	73.52	12.64	3.71	0.060	0.08	0.63	3.15	5.71	0.179	0.03	0.64	100.3	8	10	<5	<20	<1	<20	<10	190	39	2
205108	0.35	0.516	63.35	9.91	13.33	0.260	0.22	1.98	2.35	4.33	0.939	0.13	0.99	97.79	39	6	16	<20	1	<20	<10	780	37	5
205109	0.21	0.270	72.12	9.98	7.34	0.108	0.09	0.61	2.76	4.40	0.580	0.03	0.81	98.82	18	26	14	<20	<1	<20	<10	470	38	3
205110	0.06	0.054	75.35	11.64	2.28	0.019	0.02	0.37	2.61	6.05	0.125	<0.01	0.62	99.10	3	3	<5	<20	<1	<20	<10	80	29	2
205111	0.16	0.035	43.38	6.32	32.25	0.938	1.20	7.91	2.15	1.99	2.042	0.29	-1.12	97.34	180	11	<5	<20	3	<20	40	750	38	8
205112	0.19	0.154	73.37	10.63	5.61	0.110	0.04	0.60	2.87	4.89	0.137	0.01	0.78	99.04	14	10	<5	<20	<1	<20	<10	320	39	3
205113	<0.01	0.272	73.21	9.92	6.13	0.089	0.07	0.90	2.70	4.17	0.277	0.03	0.94	98.43	24	14	14	<20	<1	<20	<10	390	39	4
205114	0.21	0.104	73.56	12.52	2.39	0.034	0.03	0.78	3.71	4.90	0.092	<0.01	0.90	98.94	3	18	<5	<20	<1	<20	<10	90	33	2
205115	0.20	0.036	37.19	3.08	42.69	1.315	1.43	8.51	1.13	0.80	2.593	0.32	-2.34	96.71	192	12	<5	<20	4	<20	40	920	34	8
205116	0.02	0.664	73.12	7.50	8.38	0.123	0.05	0.27	1.85	3.57	0.107	0.02	1.19	96.18	44	13	<5	<20	<1	<20	<10	350	38	6
205117	<0.01	0.149	72.74	11.20	4.66	0.053	0.02	0.14	3.24	4.96	0.099	<0.01	0.88	98.00	16	11	<5	<20	<1	<20	10	290	51	4
205118	0.10	0.781	70.54	5.28	14.41	0.297	0.06	0.38	1.47	2.37	0.086	0.03	0.79	95.70	45	6	<5	<20	<1	<20	<10	720	28	6
205119	0.07	0.485	70.52	8.52	11.49	0.269	0.03	0.18	2.59	3.78	0.121	0.02	0.37	97.89	33	5	<5	<20	<1	<20	<10	1010	44	6
205120	0.43	0.062	70.55	13.66	2.07	0.040	0.07	1.20	3.38	6.51	0.100	0.02	1.03	98.62	4	12	<5	<20	<1	<20	210	39	3	
205121	0.55	2.393	50.75	5.01	24.53	0.503	0.20	1.51	1.27	2.19	1.314	0.29	0.32	87.87	85	7	<5	<20	<1	<20	<10	2200	45	12
205122	0.53	0.449	65.23	5.31	20.22	0.439	0.06	0.94	1.35	2.58	0.292	0.22	0.23	96.88	43	1	<5	<20	<1	<20	<10	1050	32	6
205123	0.35	1.457	58.97	0.32	33.64	0.921	0.21	0.63	0.07	0.10	0.355	0.09	-1.64	93.68	116	<1	<5	<20	1	<20	<10	2600	18	10
205124	1.18	0.690	49.80	9.43	24.10	0.458	0.32	2.91	2.31	4.30	1.618	0.14	-0.06	95.33	64	13	<5	<20	2	<20	<10	1090	35	6
205125 Received as Pulp	0.06	<0.003	98.88	0.29	0.04	<0.001	0.01	0.02	<0.01	<0.01	0.015	<0.01	0.42	99.69	<1	<1	<5	<20	<1	<20	<10	<30	<1	<1
205126	0.26	0.372	68.51	10.61	8.67	0.130	0.07	0.97	2.86	4.52	0.724	0.06	0.69	97.81	18	4	8	<20	<1	<20	<10	570	33	3
205127	0.12	0.561	53.95	2.42	36.46	0.872	0.42	0.97	0.41	0.97	0.469	0.10	-1.84	95.20	46	11	15	<20	4	<20	<10	1460	21	7
205128	0.12	0.117	68.59	14.02	4.36	0.077	0.07	0.73	3.43	6.27	0.217	0.03	0.74	98.51	9	7	<5	<20	<1	<20	<10	190	35	2
205129	0.23	0.014	70.99	13.72	3.24	0.032	0.06	1.03	3.36	6.37	0.254	0.04	1.09	100.2	7	6	<5	<20	<1	<20	<10	90	30	2
205130	0.23	0.028	47.83	11.03	12.37	0.283	0.28	5.61	3.42	3.89	1.034	1.39	1.09	88.23	571	3	<5	<20	<1	<20	120	240	87	16
205131	0.35	0.017	65.32	14.38	6.61	0.091	0.15	2.13	3.79	5.37	0.578	0.10	0.75	99.26	21	8	<5	<20	1	<20	<10	230	35	2
205132	0.13	0.013	75.32	11.33	3.62	0.047	0.08	0.94	2.71	4.93	0.243	0.02	0.76	100.00	14	8	<5	<20	1	<20	<10	120	33	3
205133	0.16	0.008	72.13	13.27	2.78	0.041	0.06	1.23	3.23	5.38	0.276	0.04	1.07	99.49	9	7	<5	<20	<1	<20	<10	90	38	3
205134	0.06	0.017	65.61	15.47	4.80	0.083	0.16	1.21	4.29	6.52	0.252	0.06	0.52	98.98	27	10	<5	<20	<1	<20	<10	180	42	2
205135	0.20	0.009	70.37	13.62	3.25	0.035	0.06	1.08	3.38	5.69	0.253	0.02	1.00	98.75	8	7	<5	<20	<1	<20	<10	90	40	3
205136	0.23	0.014	78.19	9.17	3.64	0.040	0.07	1.01	2.73	3.46	0.279	0.02	0.94	99.54	8	6	<5	<20	<1	<20	<10	130	29	2
205137	0.23	0.029	70.16	7.62	12.50	0.192	0.17	0.88	1.88	3.43	0.873	0.05	-0.06	97.70	10	2	6	<20	2	<20	<10	480	24	3
205138	0.25	0.007	60.15	16.18	7.54	0.203	0.03	1.38	6.00	4.81	0.224	0.52	0.81	97.86	5	4	<5	<20	<1	<20	<10	190	70	5
205139	0.33	0.007	62.04	16.42	6.64	0.194	0.05	1.23	5.83	5.20	0.082	0.09	0.78	98.56	3	4	<5	<20	<1	<20	<10	170	58	3
205140	0.37	0.031	59.07	16.72	7.90	0.158	0.24	2.40	5.80	4.33	0.112	0.17	1.01	97.91	48	10	<5	<20	<1	<20	10	270	63	4
205141	0.29	0.014	49.55	5.46	26.90	0.756	0.55	11.01	2.29	1.63	0.306	0.28	-0.65	98.09	180	28	<5	<20	1	<20	60	840	37	9
205142	0.06	0.018	53.25	11.48	18.62	0.436	0.30	4.97	3.96	3.95	0.990	0.21	0.07	98.22	161	8	<5	<20	<1	<20	80	410	45	6
205143	0.03	0.016	54.67	12.45	18.05	0.450	0.28	4.15	4.31	4.06	0.706	0.09	-0.31	98.91	133	8	<5	<20	<1	<20	30	380	36	4
205144	0.43	<0.003	45.71	8.87	20.99	0.664	0.22	5.68	3.26	2.71	0.575	1.38	1.05	91.11	46	7	19	<20	<1	<20	<10	510	110	16
205145	0.09	0.039	44.52	8.83	34.87	0.964	0.23	1.02	3.13	2.83	1.217	0.19	-1.37	96.46	10	3	6	<20	3	<20	20	790	35	4
205146	0.37	0.097	43.16	7.21	17.92	0.462	0.18	3.45	2.51	2.58	1.457	0.25	0.38	79.56	63	4	<5	<20	<1	<20	<10	480	55	7
205147	0.19	0.036	40.64	4.69	38.14	1.146	1.45	8.63	1.66	1.43	2.378	0.34	-1.86	98.63	204	12	<5	<20	5	<20	50	800	38	8
205148	0.13	0.033	41.84	5.46	34.60	1.043	1.34	8.22	1.92	1.81	2.295	0.33	-1.64	97.20	198	11	<5	<20	4	<20	50	730	38	7
205149	0.22	0.040	38.09	3.17	39.81	1.233	1.52	9.35	1.23	0.77	2.633	0.35	-1.86	96.30	223	14	<5	<20	5	<20	60	850	37	8
205150 Received as Pulp	0.28	0.280	71.12	7.52	6.11	0.170	0.68	1.90	2.93	3.88	0.618	0.06	1.24	96.23	<1	251	8	50	<1	<20	<10	1130	60	5

Analyte Symbol	F	Nb2O5	SiO2	Al2O3	Fe2O3(T)	MnO	MgO	CaO	Na2O	K2O	TiO2	P2O5	LOI	Total	Sc	Be	V	Cr	Co	Ni	Cu	Zn	Ga	Ge
Unit Symbol	%	%	%	%	%	%	%	%	%	%	%	%	%	%	ppm	ppm	ppm	ppm	ppm	ppm	ppm	ppm	ppm	ppm
Detection Limit	0.01	0.003	0.01	0.01	0.01	0.001	0.01	0.01	0.01	0.01	0.001	0.01	0.01	0.01	1	1	5	20	1	20	10	30	1	1
Analysis Method	FUS-ISE	FUS-XRF	FUS-ICP	FUS-ICP	FUS-ICP	FUS-ICP	FUS-ICP	FUS-ICP	FUS-ICP	FUS-ICP	FUS-ICP	FUS-ICP	FUS-ICP	FUS-ICP	FUS-ICP	FUS-ICP	FUS-ICP	FUS-MS	FUS-MS	FUS-MS	FUS-MS	FUS-MS	FUS-MS	FUS-MS
205151	0.13	0.032	40.81	4.93	36.26	1.094	1.36	8.56	1.69	1.54	2.333	0.30	-1.38	97.49	196	12	< 5	< 20	4	< 20	50	740	36	7
205152	0.20	0.033	38.30	3.10	40.36	1.291	1.51	9.29	1.16	0.83	2.406	0.37	-2.39	96.23	209	13	< 5	< 20	5	< 20	50	860	36	8
205153	0.21	0.034	38.85	3.50	40.17	1.248	1.42	9.30	1.26	0.98	2.405	0.33	-2.36	97.11	199	13	< 5	< 20	4	< 20	50	860	37	8
205154	0.32	0.093	71.98	12.84	3.29	0.039	0.04	0.87	3.54	5.41	0.166	0.02	0.97	99.16	10	17	< 5	< 20	< 1	< 20	< 10	110	36	2
205155	0.21	0.035	39.87	3.91	38.57	1.166	1.49	9.40	1.38	1.05	2.397	0.36	-1.52	98.06	223	13	< 5	< 20	4	< 20	70	780	36	8
205156	0.04	0.402	73.39	8.96	7.88	0.097	0.04	0.17	2.41	3.86	0.141	0.04	0.91	97.92	17	11	9	< 20	< 1	< 20	40	340	52	5
205157	0.02	0.287	75.33	10.74	3.77	0.050	0.03	0.15	2.65	5.32	0.167	0.02	0.89	99.12	12	17	6	< 20	< 1	< 20	< 10	190	55	4
205158	0.02	0.014	71.66	13.43	2.57	0.036	0.05	0.46	3.26	6.15	0.112	0.02	3.19	100.9	5	4	< 5	< 20	< 1	< 20	< 10	100	42	2
205159	< 0.01	0.085	74.60	12.34	2.80	0.052	0.02	0.24	3.06	6.21	0.074	0.01	0.56	99.96	4	3	< 5	< 20	< 1	< 20	< 10	220	50	3
205160	< 0.01	0.080	73.82	11.58	3.52	0.072	0.02	0.23	3.00	5.22	0.087	0.02	0.52	98.09	4	6	< 5	< 20	< 1	< 20	< 10	180	48	3
205161	0.05	0.006	65.39	15.85	4.51	0.073	0.14	1.92	3.59	5.86	0.376	0.10	0.58	98.39	13	5	< 5	< 20	< 1	< 20	< 10	130	31	2
205162	0.13	0.033	39.90	3.95	39.25	1.225	1.40	8.34	1.47	1.13	2.468	0.30	-1.91	97.52	198	12	< 5	< 20	5	< 20	50	850	35	7
205163	0.26	0.045	35.73	1.90	43.58	1.328	1.69	9.64	0.84	0.35	2.796	0.37	-2.32	95.90	241	15	7	< 20	5	< 20	60	990	35	8
205164	0.21	0.032	39.16	4.02	37.86	1.150	1.41	8.80	1.29	1.16	2.260	0.36	-0.99	96.47	210	12	< 5	< 20	4	< 20	60	790	38	8
205165	0.16	0.038	37.59	3.08	42.06	1.287	1.52	8.97	1.16	0.75	2.566	0.34	-1.83	97.50	221	13	7	< 20	4	< 20	60	980	40	10
205166	0.24	0.036	37.50	2.83	41.72	1.298	1.61	9.59	1.08	0.66	2.376	0.36	-2.11	96.91	229	14	5	< 20	5	< 20	60	1020	39	10
205167	0.20	0.036	38.97	3.89	38.45	1.153	1.43	8.83	1.50	1.12	2.508	0.31	-1.67	96.50	208	13	7	< 20	4	< 20	50	950	39	10
205168	0.23	0.036	38.32	3.60	39.16	1.195	1.54	9.57	1.37	0.91	2.425	0.35	-1.86	96.58	222	13	7	< 20	5	< 20	60	1020	42	10
205169	0.21	0.037	37.37	3.11	40.52	1.193	1.51	9.40	1.19	0.78	2.668	0.39	-1.73	96.40	226	14	11	< 20	4	< 20	50	930	41	10
205170	0.16	0.036	41.76	6.04	33.01	0.991	1.23	7.61	2.12	1.88	2.212	0.29	-1.07	96.08	180	12	5	< 20	4	< 20	40	820	41	9
205171	0.11	0.032	40.76	4.65	35.03	1.069	1.38	8.67	1.80	1.47	2.270	0.33	-1.13	96.30	210	12	6	< 20	4	< 20	60	860	40	10
205172	0.26	0.048	35.87	2.45	42.27	1.279	1.70	9.33	1.05	0.52	2.632	0.37	-1.56	95.90	232	15	9	< 20	5	< 20	40	1030	37	10
205173	0.18	0.033	38.98	3.99	37.62	1.147	1.42	8.99	1.49	1.14	2.443	0.34	-1.82	95.74	212	12	5	< 20	4	< 20	60	940	40	10
205174	0.22	0.036	38.43	3.33	38.17	1.134	1.51	9.93	1.33	0.85	2.463	0.34	-1.72	95.77	222	15	6	< 20	4	< 20	50	890	40	10
205175 Received as Pulp	< 0.01	< 0.003	99.66	0.29	0.05	< 0.001	0.01	0.02	< 0.01	< 0.01	0.016	< 0.01	0.32	100.4	< 1	< 1	< 5	< 20	< 1	< 20	< 10	< 30	< 1	< 1
205176	0.56	0.050	63.38	15.49	6.01	0.134	0.02	1.57	4.84	5.81	0.362	0.02	0.89	98.53	7	6	< 5	< 20	< 1	< 20	< 10	580	67	4
205177	0.54	0.040	63.88	15.07	6.20	0.160	0.01	1.56	5.13	5.10	0.370	0.02	1.33	98.84	9	13	< 5	< 20	< 1	< 20	< 10	570	62	4
205178	0.14	0.029	44.66	7.16	30.29	0.882	1.11	7.43	2.48	2.38	1.986	0.30	-1.38	97.30	167	11	< 5	< 20	3	< 20	50	740	41	8
205179	0.20	0.036	41.85	5.43	33.72	0.993	1.30	8.42	1.97	1.71	2.228	0.31	-1.22	96.72	192	13	< 5	< 20	4	< 20	40	820	41	9
205180	0.11	0.035	42.19	5.89	34.12	1.052	1.23	7.51	2.00	1.92	2.096	0.27	-1.61	96.68	172	10	< 5	< 20	4	< 20	30	810	38	8
205181	0.20	0.039	40.91	4.99	35.52	1.054	1.43	8.36	1.81	1.43	2.264	0.35	-1.30	96.82	209	14	5	< 20	4	< 20	40	840	39	9
205182	1.13	0.458	58.23	13.31	9.05	0.211	0.85	3.66	4.21	3.42	0.617	0.16	3.10	96.82	19	145	11	< 20	2	< 20	< 10	310	80	7
205183	0.02	0.361	72.81	12.29	2.95	0.029	0.07	0.24	4.22	4.36	0.172	0.03	0.81	97.99	2	21	< 5	< 20	< 1	< 20	< 10	430	85	5
205184	0.03	2.105	60.53	5.95	8.37	0.139	0.28	0.94	1.50	1.71	0.363	0.09	2.49	82.37	4	19	< 5	< 20	1	< 20	< 10	380	33	10
205185	0.03	1.774	64.26	8.01	10.92	0.120	0.24	0.55	1.56	3.75	0.586	0.03	2.11	92.13	10	15	< 5	< 20	< 1	< 20	< 10	660	40	6
205186	0.42	0.128	68.97	13.87	2.88	0.033	0.10	1.50	4.22	5.77	0.263	0.07	1.03	98.71	4	84	< 5	< 20	< 1	< 20	< 10	130	51	4
205187	0.25	0.465	72.72	9.13	5.51	0.093	0.28	1.06	2.48	3.40	0.450	0.05	2.89	98.07	6	20	10	< 20	< 1	< 20	< 10	130	32	4
205188	0.09	0.802	65.50	5.00	17.44	0.357	0.08	0.31	1.47	1.93	0.595	0.02	0.84	93.55	14	10	< 5	< 20	< 1	< 20	< 10	1690	28	7
205189	0.04	0.074	76.18	10.79	3.37	0.070	0.02	0.10	3.32	4.49	0.031	< 0.01	1.14	99.52	3	17	< 5	< 20	< 1	< 20	< 10	610	61	5
205190	0.06	0.012	65.64	15.64	3.47	0.052	0.14	1.39	4.01	5.89	0.308	0.09	1.19	97.81	8	11	< 5	< 20	< 1	< 20	< 10	110	32	2
205191	0.33	0.159	67.81	13.03	5.67	0.098	0.21	1.07	3.23	5.36	0.318	0.05	1.31	98.16	7	30	< 5	< 20	< 1	< 20	< 10	300	50	4
205192	0.88	0.239	63.20	9.77	9.63	0.044	0.05	1.26	3.18	3.41	0.456	0.64	3.33	94.97	9	7	22	< 20	< 1	< 20	40	130	84	10
205193	0.03	0.530	72.46	10.59	3.62	0.056	0.05	0.35	3.47	3.67	0.195	0.03	1.08	95.58	5	12	< 5	< 20	< 1	< 20	10	180	54	4
205194	0.75	1.316	67.02	7.19	9.03	0.029	0.07	1.65	1.72	3.74	0.281	0.12	4.34	95.19	15	22	< 5	< 20	< 1	< 20	90	< 30	42	7
205195	0.31	9.284	45.38	4.69	8.17	0.320	0.16	1.55	1.61	1.33	1.045	0.03	2.35	66.63	6	3	< 5	< 20	< 1	< 20	< 10	1110	66	12
205196	0.02	2.451	66.51	9.53	11.02	0.226	0.04	0.35	3.27	3.53	0.390	< 0.01	0.63	95.50	6	10	< 5	< 20	< 1	< 20	< 10	760	74	10
205197	0.06	0.774	75.17	11.33	2.58	0.019	0.04	0.16	3.77	4.30	0.126	< 0.01	0.95	98.45	< 1	13	< 5	< 20	< 1	< 20	50	80	69	5
205198	0.14	2.073	72.31	4.61	8.39	0.220	0.10	0.59	1.25	1.95	0.533	0.04	1.38	91.37	7	22	< 5	< 20	< 1	< 20	< 10	600	37	10
205199	0.21	1.046	56.45	8.22	20.88	0.705	0.16	0.71	1.90	3.51	0.502	0.04	0.75	93.84	19	18	< 5	< 20	1	< 20	< 10	950	51	9
205200 Received as Pulp	0.30	0.283	70.72	7.33	5.94	0.167	0.66	1.93	2.82	3.70	0.612	0.05	1.31	95.25	< 1	255	< 5	50	< 1	< 20	< 10	1240	60	6

Activation Laboratories Ltd. Report: A10-5364 rev 1

Analyte Symbol	F	Nb2O5	SiO2	Al2O3	Fe2O3(T)	MnO	MgO	CaO	Na2O	K2O	TiO2	P2O5	LOI	Total	Sc	Be	V	Cr	Co	Ni	Cu	Zn	Ga	Ge
Unit Symbol	%	%	%	%	%	%	%	%	%	%	%	%	%	%	ppm	ppm	ppm	ppm	ppm	ppm	ppm	ppm	ppm	ppm
Detection Limit	0.01	0.003	0.01	0.01	0.01	0.001	0.01	0.01	0.01	0.01	0.001	0.01	0.01	0.01	1	1	5	20	1	20	10	30	1	1
Analysis Method	FUS-ISE	FUS-XRF	FUS-ICP	FUS-ICP	FUS-ICP	FUS-ICP	FUS-ICP	FUS-ICP	FUS-ICP	FUS-ICP	FUS-ICP	FUS-ICP	FUS-ICP	FUS-ICP	FUS-ICP	FUS-ICP	FUS-ICP	FUS-MS	FUS-MS	FUS-MS	FUS-MS	FUS-MS	FUS-MS	
205201	0.18	0.052	39.84	4.06	37.30	1.128	1.48	9.13	1.51	1.15	2.480	0.32	-1.45	96.96	225	14	7	< 20	4	< 20	50	920	40	10
205202	0.20	0.251	71.20	10.91	6.90	0.117	0.06	0.66	2.96	4.94	0.361	0.02	0.47	98.60	15	2	6	< 20	< 1	< 20	< 10	430	33	4
205203	0.10	1.246	80.47	1.30	12.39	0.196	0.16	0.22	0.25	0.57	0.406	0.01	0.52	96.49	33	< 1	< 5	< 20	< 1	< 20	< 10	510	12	6
205204	0.04	0.027	75.06	12.25	1.78	0.023	0.03	0.55	3.45	5.28	0.049	< 0.01	0.67	99.15	2	6	< 5	< 20	< 1	< 20	< 10	40	32	2
205205	0.16	0.065	65.10	16.02	4.08	0.059	0.09	1.31	3.69	7.34	0.349	0.13	1.20	99.36	9	10	< 5	< 20	< 1	< 20	< 10	160	37	3
205206	0.19	0.030	39.13	4.00	38.04	1.142	1.44	8.64	1.54	1.16	2.333	0.36	-1.60	96.19	207	13	6	< 20	5	< 20	50	850	44	10
205207	0.25	0.037	36.07	2.05	42.78	1.319	1.66	10.30	0.88	0.37	2.585	0.39	-2.49	95.92	243	15	19	< 20	6	< 20	50	950	47	12
205208	< 0.01	0.009	72.15	12.91	2.73	0.028	0.05	0.54	2.85	6.28	0.146	0.02	0.66	98.38	5	5	< 5	< 20	< 1	< 20	< 10	60	33	2
205209	0.16	0.031	38.44	3.15	39.35	1.189	1.49	9.63	1.24	0.87	2.414	0.33	-2.14	95.96	221	13	5	< 20	5	< 20	50	870	44	11
205210	0.22	0.032	36.84	2.48	41.32	1.280	1.59	9.59	1.07	0.56	2.329	0.37	-1.92	95.51	228	14	11	< 20	6	< 20	50	900	45	12
205211	0.11	0.025	42.08	5.74	33.78	1.008	1.20	7.85	2.05	1.84	2.099	0.30	-1.07	96.89	177	11	< 5	< 20	4	< 20	30	670	44	10
205212	0.17	0.028	37.95	3.34	40.09	1.226	1.47	9.01	1.24	0.90	2.369	0.33	-1.81	96.11	207	12	< 5	< 20	5	< 20	40	840	44	11
205213	< 0.01	0.035	34.56	2.19	47.02	1.464	1.48	8.23	0.84	0.47	2.961	0.31	-2.79	96.72	184	12	8	< 20	6	20	40	1020	41	11
205214	0.25	0.069	66.71	13.86	4.99	0.074	0.08	1.07	3.40	6.29	0.415	0.05	1.26	98.20	10	13	< 5	< 20	1	< 20	< 10	200	37	3
205215	0.21	0.029	38.22	3.40	40.22	1.251	1.43	8.91	1.29	0.96	2.359	0.35	-2.07	96.31	205	12	7	< 20	5	< 20	170	980	45	11
205216	0.03	0.029	74.16	12.16	1.68	0.019	0.02	0.46	3.77	5.12	0.052	0.01	1.25	98.70	2	8	< 5	< 20	< 1	< 20	< 10	30	33	2
205217	0.30	0.044	42.90	7.13	30.56	0.830	1.47	7.44	2.58	2.20	2.096	0.45	-0.69	96.97	189	15	< 5	< 20	5	< 20	30	720	46	8
205218	0.21	0.028	38.14	3.27	39.12	1.183	1.54	9.45	1.29	0.84	2.447	0.36	-1.75	95.90	231	13	< 5	< 20	5	< 20	50	860	47	12
205219	0.38	0.020	58.25	14.69	10.89	0.231	0.17	2.89	5.64	4.47	0.300	0.06	0.71	98.30	34	7	< 5	< 20	< 1	< 20	10	280	49	5
205220	0.03	0.014	71.06	13.94	2.26	0.026	0.04	0.76	3.65	6.33	0.130	0.02	0.88	99.10	4	6	< 5	< 20	< 1	< 20	< 10	50	34	2
205221	< 0.01	0.049	58.31	15.04	8.38	0.253	0.14	3.04	5.85	5.25	0.384	0.05	1.43	98.13	27	18	< 5	< 20	< 1	< 20	10	360	56	5
205222	0.03	0.065	70.13	14.67	2.10	0.024	0.04	0.52	3.58	7.28	0.087	0.02	0.93	99.37	2	11	< 5	< 20	< 1	< 20	< 10	50	55	3
205223	0.05	0.026	75.66	12.52	1.33	0.002	0.02	0.65	3.20	5.58	0.047	< 0.01	0.85	99.86	1	3	< 5	< 20	< 1	< 20	< 10	< 30	27	2
205224	0.03	0.048	68.96	15.16	2.26	0.036	0.06	0.56	3.36	7.70	0.121	0.03	0.68	98.94	3	9	< 5	< 20	1	< 20	< 10	60	48	3
205225 Received as Pulp	< 0.01	< 0.003	99.94	0.29	0.03	< 0.001	0.01	0.02	< 0.01	< 0.01	0.015	< 0.01	0.42	100.7	< 1	< 1	< 5	< 20	< 1	< 20	< 10	< 30	< 1	< 1
205226	0.12	0.025	42.55	5.74	34.00	1.021	1.24	7.96	1.99	1.83	2.172	0.29	-1.12	97.69	184	15	< 5	< 20	5	< 20	40	740	46	10
205227	0.14	0.031	38.93	3.97	38.66	1.158	1.36	8.79	1.40	1.11	2.569	0.29	-1.58	96.66	201	15	7	< 20	5	20	30	770	45	11
205228	0.21	0.027	38.48	3.59	39.60	1.230	1.48	8.70	1.34	0.99	2.357	0.34	-1.70	96.40	212	13	7	< 20	5	< 20	50	860	44	11
205229	0.23	0.033	35.16	1.94	44.07	1.318	1.56	9.43	0.84	0.38	3.113	0.39	-2.14	96.06	232	14	7	< 20	6	20	910	1420	46	12
205230	0.12	0.007	53.16	10.96	19.13	0.596	0.39	5.78	3.70	3.75	0.184	0.48	0.05	98.17	207	12	< 5	< 20	1	< 20	40	480	61	11
205231	0.12	0.017	45.57	9.03	22.84	0.468	0.40	7.28	2.98	2.86	2.148	0.76	0.09	94.42	480	4	17	< 20	2	< 20	70	410	88	18
205232	0.05	0.008	55.06	13.76	17.25	0.506	0.16	2.15	4.25	4.92	0.546	0.35	-0.17	98.78	59	3	< 5	< 20	1	< 20	20	360	51	8
205233	0.29	0.831	55.59	9.08	3.96	0.266	0.13	0.58	5.84	0.68	0.141	0.06	1.66	77.98	5	662	16	< 20	< 1	< 20	< 10	1120	97	5
205234	0.53	0.283	65.39	10.20	7.25	0.406	0.08	0.94	7.66	1.39	0.191	0.02	1.35	94.88	9	1329	< 5	< 20	< 1	< 20	< 10	1930	90	5
205235	0.57	0.020	56.41	15.01	2.79	0.089	0.21	5.05	5.51	5.13	0.082	1.39	1.55	93.22	11	22	< 5	< 20	< 1	< 20	< 10	110	91	13
205236	0.40	0.017	55.34	14.52	2.01	0.125	0.26	5.24	5.29	5.66	0.097	3.79	1.71	94.05	8	23	< 5	< 20	< 1	< 20	< 10	70	121	20
205237	1.08	0.110	20.88	4.05	29.88	0.600	0.14	12.76	1.68	1.54	5.130	8.37	0.61	85.64	30	19	17	< 20	1	40	< 10	1240	216	43
205238	0.01	0.198	63.61	16.97	1.55	0.019	0.09	0.53	3.65	9.44	0.117	0.12	1.02	97.11	5	12	7	< 20	< 1	< 20	< 10	50	48	4
205239	0.09	0.039	58.88	17.68	7.01	0.081	0.49	1.35	4.28	7.79	0.734	0.29	1.41	99.97	8	19	< 5	< 20	4	< 20	< 10	240	52	3
205240	0.52	0.768	71.15	11.62	2.73	0.075	0.06	1.38	6.99	0.42	0.200	0.21	1.20	96.04	2	314	< 5	< 20	< 1	< 20	60	710	89	3
205241	0.05	0.011	75.24	10.66	4.65	0.059	0.17	1.12	2.52	4.24	0.401	0.11	0.74	99.90	7	10	< 5	< 20	2	< 20	< 10	100	24	2
205242	< 0.01	0.004	70.90	13.73	0.98	0.008	0.06	0.31	2.52	8.76	0.058	0.02	0.94	98.27	< 1	10	< 5	< 20	< 1	< 20	< 10	< 30	24	2
205243	0.02	0.012	70.39	13.60	3.80	0.049	0.16	1.30	4.07	4.35	0.257	< 0.01	0.78	98.76	4	22	< 5	< 20	2	< 20	20	80	33	2
205244	0.11	0.013	61.68	16.42	6.22	0.104	0.45	2.29	5.45	3.51	0.653	0.28	1.56	98.63	10	35	< 5	< 20	3	< 20	< 10	210	42	3
205245	0.03	0.013	73.21	13.98	1.66	0.009	0.04	0.48	3.32	7.39	0.063	0.04	0.78	101.0	< 1	8	< 5	< 20	< 1	< 20	< 10	60	36	3
205246	0.17	0.009	71.49	12.81	3.99	0.017	0.23	0.63	3.89	4.38	0.418	0.12	1.32	99.30	7	5	< 5	< 20	3	< 20	< 10	< 30	38	2
205247	0.03	0.008	68.07	14.13	4.80	0.075	0.26	1.50	3.39	6.06	0.456	0.15	0.81	99.70	11	5	< 5	< 20	2	< 20	< 10	140	31	2
205248	0.08	0.007	63.89	16.89	3.50	0.046	0.17	1.14	3.90	7.40	0.336	0.12	1.11	98.48	5	7	< 5	< 20	1	< 20	< 10	90	43	4
205249	0.05	0.012	64.15	14.64	7.55	0.125	0.25	2.30	3.81	5.41	0.707	0.14	0.69	99.77	22	6	< 5	< 20	2	< 20	< 10	250	36	3
205250 Received as Pulp	0.29	0.283	69.84	7.48	5.74	0.165	0.66	1.91	2.99	3.83	0.608	0.05	1.25	94.53	< 1	256	12	50	< 1	< 20	< 10	1160	64	

Activation Laboratories Ltd. Report: A10-5364 rev 1

Analyte Symbol	F	Nb2O5	SiO2	Al2O3	Fe2O3(T)	MnO	MgO	CaO	Na2O	K2O	TiO2	P2O5	LOI	Total	Sc	Be	V	Cr	Co	Ni	Cu	Zn	Ga	Ge
Unit Symbol	%	%	%	%	%	%	%	%	%	%	%	%	%	%	ppm	ppm	ppm	ppm	ppm	ppm	ppm	ppm	ppm	ppm
Detection Limit	0.01	0.003	0.01	0.01	0.01	0.001	0.01	0.01	0.01	0.01	0.001	0.01	0.01	0.01	1	1	5	20	1	20	10	30	1	1
Analysis Method	FUS-ISE	FUS-XRF	FUS-ICP	FUS-ICP	FUS-ICP	FUS-ICP	FUS-ICP	FUS-ICP	FUS-ICP	FUS-ICP	FUS-ICP	FUS-ICP	FUS-ICP	FUS-ICP	FUS-ICP	FUS-ICP	FUS-ICP	FUS-MS	FUS-MS	FUS-MS	FUS-MS	FUS-MS	FUS-MS	FUS-MS
205251	0.12	0.032	73.91	11.48	4.34	0.058	0.03	0.53	2.85	5.56	0.290	<0.01	1.01	100.1	3	14	<5	<20	<1	<20	<10	160	39	2
205252	0.31	0.086	68.02	13.75	5.57	0.125	0.02	1.01	3.71	6.11	0.300	0.02	1.01	99.65	8	28	<5	<20	<1	<20	<10	410	62	4
205253	0.01	0.082	63.31	16.94	4.40	0.140	0.05	0.61	5.89	6.10	0.302	0.05	1.03	98.83	9	305	7	<20	<1	<20	<10	140	68	5
205254	0.06	0.110	64.62	11.67	11.92	0.298	0.09	0.51	3.63	4.44	0.250	0.08	1.10	98.61	19	266	12	<20	1	<20	<10	520	62	7
205255	0.28	0.128	68.00	12.45	6.92	0.153	<0.01	0.79	3.82	5.11	0.345	0.02	0.88	98.48	8	15	<5	<20	<1	<20	<10	800	62	5
205256	0.02	0.101	74.42	11.74	4.33	0.042	0.04	0.30	3.35	5.00	0.146	0.02	0.88	100.2	3	13	<5	<20	<1	<20	20	410	62	4
205257	0.02	0.066	73.60	11.47	3.32	0.039	0.07	0.48	3.55	3.92	0.154	0.02	1.00	97.62	4	47	<5	<20	<1	<20	<10	310	50	3
205258	0.03	0.006	74.57	12.35	3.41	0.037	0.11	0.48	2.87	5.82	0.254	0.03	0.78	100.7	6	8	<5	<20	1	<20	<10	90	27	2
205259	0.04	0.003	84.01	8.02	0.74	<0.001	0.01	0.24	1.83	4.08	0.018	<0.01	0.42	99.36	1	5	<5	<20	<1	<20	<10	<30	20	2
205260	0.02	0.005	77.10	11.39	2.21	0.035	0.06	0.68	2.92	4.88	0.190	0.02	0.59	100.1	2	3	<5	<20	<1	<20	<10	60	23	2
205261	0.06	0.009	70.27	12.75	4.90	0.066	0.28	1.21	3.04	5.51	0.494	0.08	0.82	99.42	9	6	9	<20	3	<20	<10	100	27	2
205262	0.04	0.008	69.47	12.20	5.62	0.071	0.26	1.55	3.42	3.90	0.554	0.12	1.14	98.31	9	6	<5	<20	2	<20	<10	110	31	2
205263	0.43	0.009	50.81	10.52	15.92	0.271	1.08	3.08	1.33	4.44	1.700	0.52	2.47	92.14	25	10	23	<20	8	<20	<10	500	114	16
205264	0.05	0.008	81.40	8.95	1.20	0.022	0.01	0.14	3.79	2.00	0.018	<0.01	0.54	98.08	1	6	<5	<20	<1	<20	<10	<30	33	4
205265	0.10	0.008	71.01	13.32	4.34	0.063	0.20	1.08	3.73	4.37	0.336	0.10	0.83	99.37	3	10	<5	<20	2	<20	<10	140	34	2
205266	0.23	0.007	73.14	12.31	4.68	0.073	0.16	0.91	3.98	3.48	0.336	0.03	0.86	99.97	3	9	<5	<20	2	<20	<10	170	32	2
205267	0.21	0.006	74.42	12.52	2.02	0.030	0.07	1.01	4.00	4.07	0.117	<0.01	0.82	99.07	1	9	<5	<20	<1	<20	<10	60	28	2
205268	0.11	0.009	75.48	12.43	1.53	0.011	0.03	0.41	4.42	3.83	0.035	0.02	0.96	99.16	1	6	<5	<20	<1	<20	<10	<30	30	2
205269	0.10	0.011	52.74	14.17	14.33	0.217	1.36	4.12	3.44	4.42	1.664	0.91	0.82	98.18	35	5	<5	<20	9	20	<10	250	33	3
205270	<0.01	0.144	68.18	15.90	2.15	0.018	0.03	0.21	7.17	3.33	0.111	<0.01	0.87	97.96	4	11	<5	<20	<1	<20	20	80	56	4
205271	0.22	0.238	69.11	13.79	4.54	0.122	0.08	0.77	5.71	3.28	0.254	0.02	1.33	99.01	8	143	7	<20	<1	<20	<10	260	48	5
205272	0.01	0.043	70.08	14.79	1.69	0.012	0.03	0.12	4.79	6.48	0.068	0.02	0.85	98.93	2	12	<5	<20	<1	<20	<10	100	46	3
205273	0.10	0.010	45.54	6.42	13.61	0.102	0.16	2.29	1.56	0.41	0.585	0.03	3.03	73.74	13	15060	15	<20	2	<20	20	280	226	78
205274	0.04	0.028	68.57	11.66	6.11	0.141	0.63	1.10	2.77	5.42	0.685	0.02	1.70	98.81	33	82	<5	<20	1	<20	<10	210	47	7
205275 Received as Pulp	<0.01	<0.003	100.1	0.29	0.03	<0.001	0.01	0.02	<0.01	<0.01	0.015	<0.01	0.44	100.9	<1	<1	<5	<20	<1	<20	<10	<30	<1	<1
205276	1.00	0.030	56.58	14.30	10.14	0.360	0.25	3.73	5.70	4.49	0.325	0.10	1.45	97.44	39	19	<5	<20	<1	<20	30	360	56	5
205277	0.28	0.013	77.11	10.27	3.02	0.033	0.04	0.92	2.98	4.37	0.305	0.02	0.91	99.98	3	8	<5	<20	<1	<20	10	100	29	3
205278	0.34	0.590	66.27	9.74	10.95	0.216	0.09	1.08	2.54	4.57	0.262	0.09	0.88	96.70	26	29	<5	<20	1	<20	<10	670	44	7
205279	0.06	0.117	71.22	13.49	2.90	0.038	0.04	0.42	4.15	5.26	0.166	0.02	0.96	98.67	3	40	<5	<20	<1	<20	<10	120	65	4
205280	0.10	0.013	66.26	14.33	4.73	0.078	0.10	1.53	3.75	5.56	0.467	0.04	1.14	97.97	12	11	<5	<20	2	<20	<10	140	65	7
205281	0.24	0.018	68.16	14.82	2.94	0.044	0.06	0.77	3.68	7.11	0.226	0.05	0.79	98.65	8	17	<5	<20	<1	<20	<10	120	38	3
205282	0.29	0.028	66.58	13.54	4.57	0.068	0.09	1.66	3.47	5.29	0.479	0.05	1.34	97.12	16	18	5	<20	1	<20	<10	180	70	8
205283	0.04	0.012	59.40	15.49	8.99	0.211	0.27	2.46	5.22	5.36	0.578	0.14	0.30	98.42	117	5	<5	<20	<1	<20	20	170	44	5
205284	0.04	0.017	61.12	15.83	6.81	0.137	0.12	2.07	5.25	5.67	0.803	0.07	0.47	98.34	88	7	<5	<20	1	<20	<10	170	49	4
205285	0.09	0.019	67.65	15.20	3.80	0.047	0.06	0.81	4.07	6.55	0.211	<0.01	0.66	99.06	6	14	<5	<20	<1	<20	<10	130	40	3
205286	0.98	0.174	45.76	8.08	28.43	0.663	0.29	2.87	2.16	3.30	2.020	0.17	0.32	94.05	69	12	7	<20	3	30	20	910	66	10
205287	0.31	0.119	47.29	7.69	32.28	0.664	0.32	1.01	2.32	3.27	1.708	0.16	-1.69	95.04	55	4	10	<20	2	30	<10	1350	55	9
205288	0.40	0.051	56.79	14.18	12.63	0.332	0.52	3.23	5.11	4.86	0.662	0.16	0.22	98.69	78	19	<5	<20	1	<20	40	450	52	5
205289	0.04	0.009	68.53	14.88	3.77	0.062	0.13	1.46	3.80	6.50	0.328	0.08	0.58	100.1	11	6	<5	<20	<1	<20	<10	120	31	2
205290	0.08	0.009	67.29	14.73	4.29	0.067	0.15	1.80	3.85	6.00	0.377	0.09	0.61	99.25	14	7	<5	<20	<1	<20	<10	150	34	2
205291	0.06	0.009	68.26	14.51	4.01	0.066	0.13	1.65	3.65	6.06	0.359	0.09	0.56	99.36	12	5	<5	<20	<1	<20	<10	140	30	2
205292	0.03	0.008	69.25	14.11	3.77	0.063	0.10	1.43	3.44	5.98	0.314	0.05	0.53	99.04	10	6	<5	<20	<1	<20	<10	140	30	2
205293	0.55	0.226	72.31	11.18	4.71	0.061	0.09	1.15	4.60	2.41	0.346	0.04	1.07	97.97	15	59	12	<20	<1	<20	<10	350	47	6
205294	0.42	0.092	69.48	13.37	3.89	0.059	0.07	0.87	4.76	5.46	0.269	0.04	0.98	99.25	9	22	<5	<20	<1	<20	20	340	42	4
205295	0.23	0.070	66.32	14.05	5.87	0.112	0.04	0.52	5.82	3.80	0.258	0.02	0.98	97.81	3	25	<5	<20	<1	<20	<10	440	75	4
205296	0.08	0.009	65.60	13.58	6.10	0.098	0.20	1.70	3.11	6.37	0.500	0.06	0.92	98.23	23	9	<5	<20	1	<20	<10	180	42	4
205297	0.02	0.008	70.96	12.95	4.47	0.070	0.17	1.02	3.01	6.66	0.361	0.04	0.70	100.4	11	4	<5	<20	<1	<20	<10	120	27	2
205298	0.03	0.005	68.74	14.33	4.01	0.062	0.09	1.66	3.72	5.62	0.317	0.05	0.85	99.45	11	5	<5	<20	<1	<20	<10	130	34	2
205299	0.10	0.008	67.66	14.91	4.07	0.066	0.11	1.44	3.53	6.38	0.332	0.05	0.72	99.27	11	11	<5	<20	<1	<20	<10	120	32	2
205300 Received as Pulp	0.31	0.283	71.00	7.49	5.83	0.165	0.66	1.87	3.13	4.08	0.608	0.05	1.25	96.14	<1	248	6	60	<1	<20	<10	1270	60	6

Activation Laboratories Ltd. Report: A10-5364 rev 1

Analyte Symbol	F	Nb2O5	SiO2	Al2O3	Fe2O3(T)	MnO	MgO	CaO	Na2O	K2O	TiO2	P2O5	LOI	Total	Sc	Be	V	Cr	Co	Ni	Cu	Zn	Ga	Ge
Unit Symbol	%	%	%	%	%	%	%	%	%	%	%	%	%	%	ppm	ppm	ppm	ppm	ppm	ppm	ppm	ppm	ppm	ppm
Detection Limit	0.01	0.003	0.01	0.01	0.01	0.001	0.01	0.01	0.01	0.01	0.001	0.01	0.01	0.01	1	1	5	20	1	20	30	1	1	
Analysis Method	FUS-ISE	FUS-XRF	FUS-ICP	FUS-ICP	FUS-ICP	FUS-ICP	FUS-ICP	FUS-ICP	FUS-ICP	FUS-ICP	FUS-ICP	FUS-ICP	FUS-ICP	FUS-ICP	FUS-ICP	FUS-ICP	FUS-ICP	FUS-MS	FUS-MS	FUS-MS	FUS-MS	FUS-MS	FUS-MS	FUS-MS
205301	0.08	0.005	68.13	15.01	3.67	0.058	0.09	1.47	3.63	6.33	0.303	0.06	0.75	99.50	10	5	<5	<20	<1	<20	<10	140	32	2
205302	0.21	0.011	71.12	12.12	4.94	0.067	0.17	0.77	2.57	6.12	0.458	0.04	0.74	99.11	15	14	<5	<20	1	<20	<10	190	30	3
205303	0.37	0.202	75.40	9.08	4.57	0.052	0.10	1.11	3.22	2.18	0.227	0.01	2.08	98.02	7	14	<5	<20	<1	<20	<10	180	29	3
205304	0.40	0.091	69.23	13.58	3.60	0.036	0.09	0.62	4.05	5.65	0.211	0.04	1.36	98.46	6	54	<5	<20	<1	<20	<10	440	49	3
205305	0.44	0.042	67.94	14.15	4.04	0.063	0.11	1.48	3.81	5.51	0.314	0.06	1.27	98.74	10	16	<5	<20	<1	<20	<10	270	36	3
205306	0.22	0.059	72.18	12.33	3.64	0.035	0.04	0.44	3.67	5.07	0.260	0.02	0.72	98.42	4	9	<5	<20	<1	<20	<10	200	37	3
205307	0.01	0.029	73.83	11.52	4.80	0.037	0.12	0.05	3.01	5.44	0.042	<0.01	0.82	99.68	9	13	<5	<20	<1	<20	10	310	56	3
205308	0.05	0.066	74.55	11.10	4.67	0.071	0.09	0.12	3.20	4.39	0.109	0.01	0.95	99.26	9	15	<5	<20	<1	<20	<10	810	62	4
205309	0.09	0.011	69.79	12.35	4.90	0.071	0.16	1.23	2.72	6.11	0.361	0.02	0.93	98.63	17	6	<5	<20	<1	<20	<10	160	30	3
205310	0.06	0.139	59.47	15.94	9.70	0.270	0.05	1.04	7.86	2.32	0.060	<0.01	1.81	98.53	21	17	<5	<20	<1	<20	<10	1380	80	9
205311	0.05	0.005	66.25	16.70	3.33	0.023	0.07	0.13	4.87	6.84	0.232	0.03	0.97	99.45	5	4	<5	<20	<1	<20	<10	80	40	3
205312	0.11	0.006	73.47	12.43	2.70	0.030	0.05	0.61	3.62	5.02	0.127	0.02	0.91	98.98	3	7	<5	<20	<1	<20	<10	90	30	2
205313	0.02	0.003	72.34	13.78	1.19	0.012	0.02	0.05	3.37	7.01	0.027	0.01	0.50	98.30	<1	9	<5	<20	<1	<20	<10	60	44	3
205314	0.12	0.006	73.68	11.47	4.41	0.050	0.14	0.79	2.36	5.53	0.389	0.04	0.68	99.54	7	4	<5	<20	1	<20	<10	150	31	3
205315	0.37	0.064	71.60	12.62	2.06	0.025	0.02	0.96	4.21	4.87	0.328	0.02	1.34	98.05	4	58	<5	<20	<1	<20	<10	230	40	3
205316	0.38	0.231	71.52	12.42	3.74	0.068	0.04	0.68	4.73	3.63	0.193	0.02	0.83	97.88	10	39	11	<20	<1	<20	<10	560	44	3
205317	0.33	0.249	73.83	12.29	3.00	0.051	0.04	0.57	5.67	1.87	0.151	0.02	0.61	98.10	3	31	<5	<20	<1	<20	<10	560	49	4
205318	0.04	0.128	71.69	13.04	2.76	0.059	0.03	0.10	3.32	7.12	0.090	0.03	0.53	98.76	3	30	<5	<20	<1	<20	<10	570	71	4
205319	0.40	0.013	67.79	12.30	5.36	0.090	0.19	2.01	2.61	4.80	0.518	0.03	1.62	97.30	12	7	<5	<20	<1	<20	<10	190	71	9
205320	0.45	0.090	65.09	14.83	5.95	0.096	0.02	0.61	6.18	4.16	0.257	0.02	1.36	98.55	3	58	<5	<20	<1	<20	20	820	70	4
205321	0.25	0.028	71.99	13.01	4.15	0.063	0.09	0.81	3.82	5.57	0.302	0.02	0.64	100.5	9	18	<5	<20	<1	<20	<10	330	33	3
205322	0.03	0.518	54.38	14.18	17.48	0.030	0.02	0.13	7.66	0.95	0.206	0.02	1.89	96.94	20	61	<5	<20	<1	<20	<10	40	81	7
205323	0.02	0.472	20.47	5.88	60.19	0.059	0.02	0.28	2.43	0.72	0.128	<0.01	6.84	97.01	32	204	16	<20	<1	<20	<10	110	40	13
205324	0.01	0.315	50.88	15.02	19.96	0.031	0.04	0.11	7.69	0.13	0.082	0.04	3.06	97.04	22	140	14	<20	<1	<20	<10	80	83	8
205325 Received as Pulp	0.07	<0.003	100.0	0.29	0.04	<0.001	0.02	0.02	<0.01	<0.01	0.014	<0.01	0.28	100.7	<1	<1	<5	<20	<1	<20	<10	<30	<1	<1
205326	0.02	0.251	62.79	14.11	9.64	0.113	0.04	0.11	4.84	5.05	0.177	0.02	1.58	98.47	13	834	7	<20	<1	<20	<10	3990	79	7
205327	0.47	0.457	67.61	13.23	5.80	0.070	0.13	0.77	5.59	3.12	0.416	0.09	1.32	98.14	11	40	12	<20	1	<20	<10	430	50	5
205328	0.31	0.080	70.79	13.50	4.45	0.035	0.07	0.67	5.06	4.01	0.275	0.04	0.87	99.77	8	32	<5	<20	<1	<20	<10	300	49	3
205329	0.14	0.353	67.66	11.92	5.60	0.072	0.04	0.26	4.02	4.29	0.245	0.03	1.14	95.28	6	64	<5	<20	<1	<20	<10	550	66	6
205330	0.39	0.014	64.41	16.42	3.84	0.055	0.05	0.97	3.79	8.26	0.249	0.06	1.34	99.44	6	17	<5	<20	<1	<20	<10	110	39	3
205331	0.17	0.282	72.52	12.25	3.39	0.048	0.04	0.41	5.29	2.55	0.172	0.03	0.88	97.58	4	41	5	<20	<1	<20	10	180	65	3
205332	0.91	0.199	46.57	9.05	26.06	0.197	0.66	2.09	2.87	0.48	0.622	0.78	4.75	94.14	32	55	40	<20	1	<20	50	600	98	17
205333	0.05	0.011	73.66	11.72	2.49	0.020	0.07	0.39	3.08	5.25	0.110	0.04	1.14	97.98	3	39	5	<20	<1	<20	<10	70	28	3
205334	0.40	0.040	66.21	12.38	7.81	0.072	0.20	0.70	2.47	5.85	0.315	0.12	1.67	97.80	12	14	7	<20	2	<20	<10	290	49	5
205335	0.08	0.006	68.61	14.27	3.96	0.063	0.09	1.33	3.48	5.88	0.322	0.06	0.68	98.73	9	10	<5	<20	1	<20	<10	130	31	2
205336	0.19	0.005	67.24	14.39	3.62	0.049	0.09	1.25	3.75	6.24	0.284	0.06	0.97	97.93	4	6	<5	<20	<1	<20	<10	100	31	2
205337	0.20	0.008	71.21	13.30	2.78	0.032	0.09	0.65	3.25	6.27	0.185	0.04	1.05	98.86	17	18	<5	<20	<1	<20	<10	80	30	2
205338	0.15	0.015	64.63	15.91	4.84	0.076	0.42	0.67	3.70	7.41	0.497	0.12	1.78	100.0	9	12	<5	<20	2	<20	<10	140	39	2
205339	0.07	0.009	69.47	13.46	3.79	0.040	0.18	0.51	3.36	5.98	0.290	0.08	2.39	99.55	11	7	<5	<20	1	<20	<10	130	33	2
205340	0.05	0.004	72.44	12.89	2.93	0.035	0.10	0.51	3.17	5.61	0.166	0.02	1.08	98.95	3	6	<5	<20	1	<20	<10	90	28	2
205341	0.12	0.010	60.24	14.01	10.07	0.142	0.95	2.97	3.44	5.32	1.158	0.68	0.89	99.86	26	5	<5	<20	6	<20	10	220	31	2
205342	0.08	0.004	73.06	12.58	3.02	0.038	0.11	0.81	3.32	5.85	0.229	0.05	0.66	99.73	6	6	<5	<20	1	<20	<10	100	28	2
205343	0.04	0.005	71.15	13.28	3.38	0.046	0.14	0.80	3.33	5.56	0.284	0.06	0.72	98.75	7	7	<5	<20	1	<20	<10	110	30	2
205344	0.09	0.004	71.05	13.37	3.11	0.052	0.11	0.90	3.18	5.72	0.242	0.04	0.80	98.57	9	7	<5	<20	<1	<20	<10	120	30	2
205345	<0.01	<0.003	76.26	13.08	1.07	0.011	0.22	1.45	3.13	4.20	0.053	0.01	0.95	100.4	<1	3	9	<20	2	<20	<10	<30	16	1
205346	0.02	0.004	68.18	14.28	3.25	0.050	0.15	0.87	3.27	6.20	0.254	0.06	1.31	97.87	9	5	<5	20	1	<20	<10	140	29	2
205347	0.04	<0.003	64.47	14.82	4.61	0.070	2.22	2.89	2.80	4.64	0.468	0.15	1.25	98.39	10	3	84	70	13	20	30	100	19	1
205348	<0.01	<0.003	82.68	8.35	1.21	0.010	0.34	2.02	2.29	0.53	0.080	0.02	0.59	98.11	2	1	13	<20	3	<20	10	<30	9	<1
205349	0.03	0.007	69.82	13.79	3.98	0.061	0.30	1.35	3.36	5.43	0.338	0.07	0.90	99.39	11	6	8	<20	2	<20	<10	120	29	2
205350 Received as Pulp	0.29	0.286	70.54	7.41	5.77	0.165	0.67	1.91	3.02	3.83	0.612	0.05	1.32	95.30	<1	257	8	60	<1	<20	<10	1230	57	5

Activation Laboratories Ltd. Report: A10-5364 rev 1

Analyte Symbol	F	Nb2O5	SiO2	Al2O3	Fe2O3(T)	MnO	MgO	CaO	Na2O	K2O	TiO2	P2O5	LOI	Total	Sc	Be	V	Cr	Co	Ni	Cu	Zn	Ga	Ge
Unit Symbol	%	%	%	%	%	%	%	%	%	%	%	%	%	%	ppm	ppm	ppm	ppm	ppm	ppm	ppm	ppm	ppm	ppm
Detection Limit	0.01	0.003	0.01	0.01	0.01	0.001	0.01	0.01	0.01	0.01	0.001	0.01	0.01	0.01	1	1	5	20	1	20	30	1	1	
Analysis Method	FUS-ISE	FUS-XRF	FUS-ICP	FUS-ICP	FUS-ICP	FUS-ICP	FUS-ICP	FUS-ICP	FUS-ICP	FUS-ICP	FUS-ICP	FUS-ICP	FUS-ICP	FUS-ICP	FUS-ICP	FUS-ICP	FUS-ICP	FUS-MS	FUS-MS	FUS-MS	FUS-MS	FUS-MS	FUS-MS	FUS-MS
205351	0.04	0.331	71.35	9.70	5.22	0.283	0.30	0.38	3.52	2.52	0.119	0.06	1.78	95.23	10	2131	10	< 20	1	< 20	50	6050	62	4
205352	0.01	0.347	73.65	9.44	5.34	0.028	0.11	0.28	4.21	1.09	0.118	0.04	1.95	96.23	8	2992	17	< 20	< 1	< 20	130	780	70	5
205353	0.01	0.251	73.18	12.00	3.93	0.091	0.33	0.21	5.53	1.71	0.084	0.02	1.74	98.81	3	72	8	< 20	< 1	< 20	10	310	76	4
205354	0.01	0.173	76.84	9.23	4.73	0.058	0.02	0.08	3.07	3.55	0.377	0.01	0.94	98.92	5	60	< 5	< 20	< 1	< 20	100	220	54	4
205355	0.09	0.699	73.09	9.31	4.40	0.096	0.06	0.36	3.65	2.64	0.115	0.02	1.32	95.07	9	21	< 5	< 20	1	< 20	< 10	1070	60	6
205356	0.69	0.149	66.43	14.42	3.01	0.021	0.04	1.54	7.86	0.64	0.115	0.05	1.47	95.60	4	25	< 5	< 20	< 1	< 20	< 10	90	71	4
205357	0.86	0.268	64.90	13.18	3.94	0.019	0.05	1.77	6.95	1.58	0.163	0.06	1.81	94.42	6	32	< 5	< 20	< 1	< 20	< 10	100	69	4
205358	0.07	0.008	69.07	13.92	3.24	0.051	0.16	1.12	3.37	5.98	0.253	0.05	1.29	98.49	7	7	< 5	< 20	1	< 20	< 10	90	28	2
205359	0.05	0.009	67.92	14.26	4.26	0.070	0.21	1.31	3.64	5.53	0.340	0.06	0.93	98.52	13	8	< 5	< 20	< 1	< 20	< 10	160	32	2
205360	0.01	0.918	65.44	15.46	2.97	0.067	0.14	0.17	4.29	7.55	0.046	< 0.01	0.96	97.10	3	28	< 5	< 20	< 1	< 20	< 10	160	75	5
205361	0.46	0.273	66.23	14.34	4.21	0.080	0.05	1.07	4.58	4.93	0.208	0.03	1.41	97.13	11	21	9	< 20	< 1	< 20	< 10	70	64	7
205362	0.22	0.229	76.03	11.16	3.91	0.059	0.05	0.09	5.22	1.64	0.070	< 0.01	0.91	99.15	13	12	8	< 20	< 1	< 20	< 10	360	57	4
205363	0.07	0.133	69.05	14.06	4.45	0.088	0.05	0.36	5.13	3.91	0.179	0.02	1.44	98.72	8	111	< 5	< 20	< 1	< 20	< 10	60	56	4
205364	0.29	0.080	70.24	13.49	4.39	0.055	0.10	0.96	4.33	4.60	0.312	0.06	1.23	99.78	13	8	< 5	< 20	< 1	< 20	< 10	240	35	2
205365	0.01	0.187	68.31	15.37	2.51	0.068	0.07	0.08	5.34	5.29	0.062	0.01	0.84	97.96	2	27	9	< 20	< 1	< 20	< 10	1230	88	5
205366	0.25	0.013	65.16	13.96	5.82	0.089	0.14	1.99	3.34	5.49	0.550	0.06	1.33	97.92	20	8	< 5	< 20	< 1	< 20	< 10	200	49	5
205367	0.13	0.010	67.40	14.40	4.25	0.061	0.21	1.34	3.55	5.62	0.345	0.07	1.61	98.85	11	10	< 5	< 20	< 1	< 20	< 10	130	32	2
205368	0.04	0.009	68.03	14.72	4.39	0.040	0.19	0.56	3.57	6.15	0.353	0.06	1.55	99.61	13	7	< 5	< 20	1	< 20	< 10	100	32	2
205369	0.12	0.021	68.34	11.84	7.83	0.133	0.17	1.15	3.01	4.84	0.783	0.04	1.32	99.44	37	14	< 5	< 20	2	< 20	< 10	320	33	3
205370	0.03	0.221	73.87	10.49	5.20	0.075	0.05	0.12	4.80	1.41	0.242	< 0.01	1.09	97.36	4	8	8	< 20	< 1	< 20	< 10	140	64	4
205371	0.04	0.009	70.21	14.56	3.08	0.041	0.09	1.20	3.30	5.61	0.243	0.05	0.75	99.13	8	5	< 5	< 20	< 1	< 20	< 10	90	30	2
205372	0.06	0.009	69.73	14.02	4.14	0.051	0.11	1.32	3.41	5.40	0.354	0.06	0.90	99.51	10	5	< 5	< 20	< 1	< 20	< 10	120	30	2
205373	0.29	0.020	66.53	13.90	5.97	0.093	0.13	0.66	4.33	4.47	0.399	0.08	1.56	98.11	6	6	< 5	< 20	1	< 20	< 10	140	46	4
205374	0.07	0.012	62.36	16.11	6.24	0.123	0.39	2.26	3.63	5.09	0.558	0.19	1.05	98.01	28	8	< 5	< 20	< 1	< 20	< 10	170	34	2
205375 Received as Pulp	< 0.01	< 0.003	99.29	0.29	0.03	< 0.001	0.02	0.02	< 0.01	< 0.01	0.015	< 0.01	0.39	100.1	< 1	< 1	< 5	< 20	< 1	< 20	< 10	< 30	< 1	< 1
205376	0.06	0.010	70.08	13.76	3.66	0.055	0.12	1.11	3.44	4.96	0.280	0.08	0.77	98.30	11	15	< 5	< 20	< 1	< 20	< 10	110	36	2
205377	0.40	0.067	69.14	13.34	4.53	0.047	0.05	0.81	3.61	5.01	0.120	0.01	1.21	97.88	4	9	< 5	< 20	< 1	< 20	< 10	180	47	4
205378	0.03	0.009	69.85	12.84	4.41	0.068	0.14	0.99	2.70	5.80	0.338	0.05	1.08	98.27	11	7	< 5	< 20	< 1	< 20	< 10	120	29	2
205379	0.07	0.297	72.83	10.39	5.29	0.153	0.04	0.10	3.23	3.96	0.169	0.02	1.13	97.33	5	880	7	< 20	< 1	< 20	< 10	5660	71	6
205380	0.56	0.022	66.00	13.95	5.57	0.064	0.13	1.07	3.14	6.64	0.542	0.13	1.25	98.49	11	14	< 5	< 20	< 1	< 20	< 10	230	43	3
205381	0.52	0.020	68.08	12.67	6.96	0.097	0.20	1.71	3.19	5.13	0.618	0.12	1.39	100.2	15	9	< 5	< 20	< 1	< 20	< 10	260	37	3
205382	0.37	0.008	70.31	13.85	2.83	0.035	0.07	1.35	3.47	5.93	0.227	0.03	0.99	99.09	4	7	< 5	< 20	< 1	< 20	< 10	100	33	2
205383	0.21	0.009	66.28	12.92	5.29	0.091	0.10	1.93	2.91	5.12	0.432	0.05	1.69	96.82	18	7	8	< 20	< 1	< 20	< 10	150	79	11
205384	0.09	0.007	72.10	13.35	2.60	0.029	0.06	0.76	3.34	6.23	0.198	0.03	0.94	99.63	4	6	< 5	< 20	< 1	< 20	< 10	200	33	2
205385	0.11	0.008	71.42	13.03	3.25	0.050	0.09	0.87	3.28	6.22	0.212	0.03	1.10	99.56	7	6	< 5	< 20	< 1	< 20	< 10	90	31	2
205386	0.25	0.009	69.45	14.00	3.69	0.049	0.10	1.13	3.36	6.34	0.323	0.04	0.95	99.43	5	7	< 5	< 20	< 1	< 20	< 10	140	32	2
205387	0.03	0.075	73.93	11.19	2.70	0.016	0.02	0.34	2.98	5.38	0.121	0.01	1.24	97.93	3	3	5	< 20	< 1	< 20	< 10	80	32	2
205388	0.08	0.012	61.88	15.13	7.69	0.130	0.26	1.55	3.24	7.30	0.386	0.04	1.67	99.26	25	6	< 5	< 20	1	< 20	< 10	300	40	3
205389	0.06	0.008	70.51	13.65	3.80	0.061	0.11	1.06	3.38	5.94	0.302	0.08	1.07	99.96	9	6	< 5	< 20	< 1	< 20	< 10	120	34	2
205390	0.21	0.007	67.95	13.39	4.47	0.068	0.08	1.47	2.86	5.49	0.384	0.05	1.30	97.51	10	6	< 5	< 20	< 1	< 20	< 10	260	57	7
205391	0.20	0.008	70.39	12.86	4.34	0.063	0.10	1.52	3.02	5.19	0.382	0.05	1.14	99.04	11	6	< 5	< 20	< 1	< 20	< 10	150	51	6
205392	0.20	0.008	70.95	13.25	3.53	0.049	0.07	1.39	3.33	5.46	0.285	0.02	1.01	99.35	7	8	< 5	< 20	< 1	< 20	< 10	140	39	3
205393	0.07	0.009	69.71	14.01	3.89	0.061	0.07	1.21	3.24	6.22	0.283	0.04	1.13	99.85	7	6	< 5	< 20	< 1	< 20	< 10	100	38	3
205394	0.30	0.010	64.38	12.00	6.81	0.124	0.10	2.36	2.30	3.96	0.549	0.03	1.84	94.44	19	7	8	< 20	< 1	< 20	< 10	230	111	17
205395	0.17	0.011	70.83	14.46	2.04	0.065	0.06	0.56	4.91	4.37	0.130	0.04	0.88	98.34	5	26	< 5	< 20	< 1	< 20	< 10	80	42	4
205396	0.24	0.011	67.09	15.10	4.46	0.068	0.14	1.49	3.73	6.01	0.297	0.07	1.23	99.68	15	14	< 5	< 20	< 1	< 20	< 10	170	42	3
205397	0.06	0.026	65.47	15.48	4.18	0.079	0.15	1.23	4.24	4.68	0.706	0.13	1.35	97.68	13	9	< 5	< 20	< 1	< 20	< 10	90	44	3
205398	0.24	0.013	56.04	14.31	12.62	0.175	1.27	3.72	3.64	4.75	1.514	0.91	1.22	100.1	30	6	< 5	< 20	9	< 20	< 10	280	33	2
205399	0.41	0.021	66.52	14.78	4.47	0.052	0.10	0.83	3.57	7.04	0.404	0.08	1.31	99.14	8	7	< 5	< 20	< 1	< 20	< 10	130	41	3
205400 Received as Pulp	0.33	0.279	70.37	7.56	6.05	0.166	0.67	1.87	3.02	3.95	0.617	0.05	1.46	95.79	< 1	255	< 5	50</						

Activation Laboratories Ltd. Report: A10-5364 rev 1

Analyte Symbol	F	Nb2O5	SiO2	Al2O3	Fe2O3(T)	MnO	MgO	CaO	Na2O	K2O	TiO2	P2O5	LOI	Total	Sc	Be	V	Cr	Co	Ni	Cu	Zn	Ga	Ge
Unit Symbol	%	%	%	%	%	%	%	%	%	%	%	%	%	%	ppm	ppm	ppm	ppm	ppm	ppm	ppm	ppm	ppm	ppm
Detection Limit	0.01	0.003	0.01	0.01	0.01	0.001	0.01	0.01	0.01	0.01	0.001	0.01	0.01	0.01	1	1	5	20	1	20	30	1	1	
Analysis Method	FUS-ISE	FUS-XRF	FUS-ICP	FUS-ICP	FUS-ICP	FUS-ICP	FUS-ICP	FUS-ICP	FUS-ICP	FUS-ICP	FUS-ICP	FUS-ICP	FUS-ICP	FUS-ICP	FUS-ICP	FUS-ICP	FUS-ICP	FUS-MS	FUS-MS	FUS-MS	FUS-MS	FUS-MS	FUS-MS	FUS-MS
205401	0.08	0.021	72.62	12.91	2.09	0.018	0.06	0.33	3.22	6.09	0.112	0.05	0.96	98.44	2	5	<5	<20	<1	<20	<10	30	30	2
205402	0.75	0.029	54.79	10.21	17.27	0.262	0.77	3.42	2.07	3.10	1.702	0.54	1.74	95.89	46	10	<5	<20	4	<20	<10	530	78	10
205403	0.08	0.009	66.93	15.17	4.11	0.070	0.15	1.39	3.24	6.99	0.363	0.09	0.57	99.06	13	5	<5	<20	<1	<20	<10	120	31	2
205404	0.21	0.008	73.77	11.07	2.76	0.026	0.04	0.52	2.52	5.49	0.136	<0.01	1.50	97.84	3	7	<5	<20	<1	<20	<10	230	30	2
205405	0.27	0.009	71.35	14.36	1.89	0.017	0.02	0.89	4.01	5.72	0.090	<0.01	0.96	99.31	2	8	<5	<20	<1	<20	<10	50	29	2
205406	0.42	0.012	73.63	9.54	7.11	0.081	0.13	0.80	1.90	4.51	0.575	<0.01	1.06	99.33	5	4	<5	<20	<1	<20	<10	270	28	2
205407	0.17	0.007	72.64	12.36	3.53	0.036	0.06	1.12	3.34	4.07	0.259	0.03	0.76	98.21	5	7	<5	<20	<1	<20	<10	90	34	3
205408	0.04	0.005	77.89	10.44	1.65	0.022	0.03	0.36	2.31	5.06	0.122	0.02	0.51	98.40	<1	4	<5	<20	<1	<20	<10	40	22	1
205409	0.03	0.008	70.82	14.03	3.42	0.055	0.12	0.99	3.29	6.01	0.275	0.05	0.66	99.72	8	7	<5	<20	<1	<20	<10	120	29	2
205410	0.03	0.009	67.86	14.73	4.32	0.072	0.21	1.30	3.30	6.18	0.369	0.09	0.74	99.17	13	6	<5	<20	<1	<20	<10	170	32	2
205411	0.02	0.008	68.67	13.81	3.90	0.060	0.17	1.08	3.33	5.96	0.319	0.07	0.66	98.05	9	6	<5	<20	<1	<20	<10	90	29	1
205412	0.20	0.009	68.52	14.01	4.23	0.067	0.10	1.63	3.48	5.96	0.353	0.05	0.46	98.86	12	7	6	<20	<1	<20	<10	140	31	2
205413	0.09	0.006	71.20	12.76	3.24	0.044	0.06	1.07	2.80	5.80	0.280	0.03	0.77	98.05	6	5	6	<20	<1	<20	<10	70	46	5
205414	0.10	0.007	72.12	11.04	4.07	0.055	0.06	1.17	2.17	5.07	0.362	0.02	1.07	97.23	9	4	<5	<20	<1	<20	<10	130	55	7
205415	0.04	0.005	74.89	12.19	2.31	0.030	0.03	0.30	3.05	5.78	0.175	<0.01	0.44	99.21	3	4	<5	<20	<1	<20	<10	80	27	2
205416	0.19	<0.003	72.88	13.08	1.55	0.013	0.05	0.83	3.04	6.08	0.086	<0.01	0.43	98.03	<1	4	<5	<20	<1	<20	20	<30	23	1
205417	0.27	0.044	56.02	7.62	23.29	0.419	0.60	4.42	1.73	2.40	2.123	0.34	-0.46	98.50	68	8	6	<20	4	<20	20	670	29	5
205418	0.41	0.049	54.00	7.59	25.17	0.421	0.64	5.02	1.61	2.51	2.329	0.33	-0.05	99.59	78	9	7	<20	4	<20	30	780	36	6
205419	<0.01	0.003	74.51	14.13	1.48	0.012	0.05	1.56	3.77	4.37	0.063	<0.01	0.32	100.3	1	3	<5	<20	<1	<20	10	<30	19	1
205420	0.13	0.026	58.53	15.57	8.74	0.221	0.19	2.80	5.22	5.94	0.496	0.06	0.73	98.50	28	7	<5	<20	<1	<20	<10	240	42	4
205421	<0.01	0.008	60.82	16.21	6.43	0.132	0.19	2.69	4.99	6.37	0.353	0.05	0.20	98.43	53	2	<5	<20	<1	<20	10	160	36	3
205422	0.29	0.020	61.22	15.23	7.18	0.148	0.12	2.53	4.57	6.27	0.404	0.07	0.92	98.65	11	6	<5	<20	<1	<20	<10	200	44	3
205423	0.42	0.280	65.05	8.18	11.06	0.475	0.19	2.02	4.31	2.68	0.715	0.06	0.78	95.52	17	219	5	<20	<1	<20	<10	1620	46	5
205424	0.02	0.013	56.51	14.16	13.59	0.332	0.20	3.48	4.70	5.20	0.564	0.07	-0.22	98.59	17	2	<5	<20	1	<20	10	390	39	3
205425 Received as Pulp	<0.01	<0.003	98.20	0.29	0.04	<0.001	<0.01	0.02	0.01	0.01	0.015	<0.01	0.43	99.04	<1	<1	<5	<20	<1	<20	<10	<30	<1	<1
205426	0.05	0.009	67.81	14.32	3.80	0.058	0.08	0.96	3.34	6.31	0.251	0.06	1.25	98.21	6	5	<5	<20	<1	<20	<10	80	30	1
205427	0.31	0.008	68.06	13.39	4.27	0.063	0.16	1.44	3.25	5.46	0.372	0.07	1.40	97.93	4	5	<5	<20	<1	<20	<10	130	33	2
205428	0.25	0.009	72.81	11.45	3.59	0.048	0.10	0.95	2.90	5.21	0.278	0.04	0.72	98.10	4	5	<5	<20	<1	<20	10	140	27	2
205429	1.37	0.030	58.36	12.09	13.00	0.180	0.35	2.93	2.01	5.59	1.054	0.06	1.90	97.53	30	5	<5	<20	2	<20	<10	590	64	7
205430	0.06	0.010	67.05	15.10	4.22	0.063	0.16	1.30	3.49	6.71	0.374	0.09	0.67	99.24	13	5	<5	<20	<1	<20	<10	120	32	2
205431	0.05	0.009	67.95	13.31	4.94	0.080	0.25	1.49	3.19	5.51	0.463	0.13	0.88	98.18	14	4	<5	<20	1	<20	<10	140	29	2
205432	0.05	0.008	68.12	14.30	4.55	0.071	0.25	1.25	3.78	5.25	0.415	0.15	0.65	98.77	8	7	<5	<20	2	<20	<10	110	31	2
205433	0.30	0.008	67.90	16.05	2.53	0.028	0.11	0.67	4.12	7.43	0.184	0.07	0.73	99.82	4	11	<5	<20	<1	<20	<10	90	36	2
205434	0.23	0.012	60.63	14.09	9.48	0.123	0.88	2.83	3.23	5.69	1.120	0.60	1.10	99.77	23	4	<5	<20	5	<20	10	190	31	2
205435	0.09	0.005	69.51	14.17	2.88	0.041	0.16	0.62	2.98	7.51	0.189	0.02	1.14	99.21	6	5	5	<20	1	<20	<10	100	33	3
205436	0.03	0.009	72.00	13.38	4.11	0.044	1.30	2.45	3.59	1.70	0.489	0.04	0.83	99.94	3	4	77	<20	7	<20	<10	50	20	<1
205437	0.07	0.022	59.66	15.17	8.56	0.250	0.20	2.90	4.86	5.98	0.464	0.08	0.54	98.66	29	8	<5	<20	<1	<20	<10	230	39	4
205438	0.32	0.016	69.06	13.60	4.31	0.060	0.12	1.21	3.69	5.61	0.306	0.04	1.00	99.00	10	8	<5	<20	<1	<20	<10	200	34	2
205439	0.09	0.015	56.47	13.68	14.86	0.473	0.22	4.03	4.62	4.84	0.574	0.08	-0.00	99.84	27	7	<5	<20	<1	<20	<10	400	40	4
205440	0.27	0.046	68.47	13.78	3.75	0.081	0.07	1.19	3.76	5.66	0.481	0.04	0.90	98.18	19	8	<5	<20	<1	<20	<10	140	44	4
205441	0.09	0.039	60.97	17.28	4.79	0.088	0.07	1.07	5.92	5.84	0.164	0.03	0.93	97.17	4	4	<5	<20	<1	<20	<10	200	62	3
205442	0.17	0.206	73.70	7.05	10.85	0.220	0.11	0.48	1.86	3.26	0.541	0.03	0.17	98.28	19	5	8	<20	1	<20	<10	550	26	4
205443	1.01	0.026	50.88	10.87	10.38	0.479	0.15	6.43	4.66	3.79	0.219	0.50	2.05	90.41	23	36	11	<20	<1	<20	<10	480	74	13
205444	0.41	0.054	44.23	5.98	29.37	0.874	2.02	10.97	2.43	1.70	1.680	0.40	-1.17	98.48	985	18	<5	<20	2	<20	70	800	34	6
205445	0.72	0.010	55.60	14.95	2.34	0.082	0.07	5.30	5.64	5.22	0.044	3.11	2.11	94.48	10	12	<5	<20	<1	<20	<10	150	90	14
205446	0.84	0.093	27.46	6.88	27.07	0.431	0.22	12.48	2.24	1.96	2.929	2.76	0.27	84.68	33	7	21	<20	<1	<20	160	720	85	13
205447	0.71	0.127	20.92	4.19	42.74	0.908	0.31	7.63	1.25	1.18	4.507	0.84	-0.78	83.71	37	11	42	<20	2	<20	60	1000	70	10
205448	0.22	0.028	50.66	11.02	20.32	0.615	0.95	5.42	3.58	3.64	1.235	0.35	-0.30	97.48	142	12	<5	<20	2	<20	30	500	39	6
205449	0.45	0.068	42.61	6.53	32.09	0.940	1.17	8.03	2.34	1.81	2.062	0.42	-0.88	97.12	150	22	9	<20	5	<20	40	1020	44	8
205450 Received as Pulp	0.30	0.285	70.34	7.29	5.83	0.165	0.66	1.91	2.90	3.74	0.607	0.05	1.26	94.76	<1	254	9	50	<1	<20	<10	1210	60	6

Activation Laboratories Ltd. Report: A10-5364 rev 1

Analyte Symbol	As	Rb	Sr	Y	Zr	Mo	Ag	In	Sn	Sb	Cs	Ba	Bi	La	Ce	Pr	Nd	Sm	Eu	Gd	Tb	Dy	Ho	Er
Unit Symbol	ppm	ppm	ppm	ppm	ppm	ppm	ppm	ppm	ppm	ppm	ppm	ppm	ppm	ppm	ppm	ppm	ppm	ppm	ppm	ppm	ppm	ppm	ppm	ppm
Detection Limit	5	2	2	2	4	2	0.5	0.2	1	0.5	0.5	3	0.4	0.1	0.1	0.05	0.1	0.1	0.05	0.1	0.1	0.1	0.1	0.1
Analysis Method	FUS-MS	FUS-MS	FUS-ICP	FUS-ICP	FUS-ICP	FUS-MS	FUS-MS	FUS-MS	FUS-MS	FUS-MS	FUS-MS	FUS-ICP	FUS-MS	FUS-MS	FUS-MS	FUS-MS	FUS-MS	FUS-MS	FUS-MS	FUS-MS	FUS-MS	FUS-MS	FUS-MS	FUS-MS
205001	< 5	242	141	133	1645	13		< 0.2	4	< 0.5	< 0.5	1658	< 0.4	302	603	69.6	226	35.8	3.20	26.4	4.3	26.4	5.3	16.0
205002	27	79	34	2304	18670	30		0.5	5	< 0.5	< 0.5	293	< 0.4	6240	15600	1900	6820	1120	14.4	764	116	578	103	267
205003	11	600	59	295	2417	14		< 0.2	159	< 0.5	11.4	754	< 0.4	491	743	66.0	180	26.5	1.56	21.4	4.3	29.5	7.4	30.0
205004	< 5	284	182	174	2599	2		< 0.2	29	< 0.5	4.8	2021	< 0.4	107	225	25.9	90.0	16.8	3.34	14.1	3.7	28.6	6.8	25.8
205005	< 5	239	133	62	934	3	3.5	< 0.2	3	< 0.5	0.7	1577	< 0.4	168	413	43.5	140	22.6	1.97	14.6	2.4	14.6	2.9	8.7
205006	< 5	226	120	263	1277	136		< 0.2	2	< 0.5	< 0.5	1374	< 0.4	587	1130	115	343	55.0	3.87	41.5	7.8	49.2	10.4	32.3
205007	< 5	784	12	61	300	7	1.2	< 0.2	3	< 0.5	3.8	75	< 0.4	20.8	41.5	4.66	16.6	3.4	0.17	3.2	0.7	4.7	1.1	3.9
205008	< 5	363	16	385	1657	8		< 0.2	9	< 0.5	2.0	131	< 0.4	985	1780	177	517	79.1	2.34	60.2	11.3	68.9	14.6	45.5
205009	< 5	408	17	362	1381	14		< 0.2	6	< 0.5	1.4	166	< 0.4	984	1900	192	566	86.4	2.51	61.6	10.8	66.3	13.3	41.7
205010	< 5	423	18	199	3309	8		< 0.2	12	< 0.5	2.5	158	< 0.4	624	1230	129	366	53.4	1.58	32.7	5.3	32.2	6.4	20.8
205011	< 5	554	27	499	2310	6		< 0.2	20	< 0.5	3.6	231	< 0.4	1210	2280	235	714	111	3.23	81.4	15.1	93.4	19.4	61.0
205012	< 5	412	17	446	1785	6		< 0.2	8	< 0.5	1.5	137	< 0.4	1050	1940	196	586	90.4	2.66	69.6	12.1	77.7	16.5	50.9
205013	< 5	346	19	412	1728	8		< 0.2	5	< 0.5	1.1	150	< 0.4	1030	1860	189	555	85.1	2.56	64.4	11.3	74.0	15.8	47.4
205014	< 5	343	7	35	191	< 2	0.7	< 0.2	10	< 0.5	0.5	41	< 0.4	20.2	44.6	5.23	16.8	3.3	0.13	2.7	0.5	4.1	1.0	4.1
205015	< 5	393	10	43	32	5	< 0.5	< 0.2	2	< 0.5	0.6	72	< 0.4	18.0	35.6	3.88	13.2	2.5	0.14	2.4	0.5	3.7	0.9	3.8
205016	< 5	69	303	71	233	< 2	0.9	< 0.2	4	< 0.5	1.8	830	< 0.4	37.5	83.1	9.77	35.0	9.3	0.52	9.5	1.8	11.9	2.5	7.6
205017	6	289	131	412	2560	11		< 0.2	14	< 0.5	4.4	1291	< 0.4	5600	8540	729	2010	215	8.55	135	15.9	82.9	16.0	49.1
205018	< 5	356	94	132	2320	8		< 0.2	14	< 0.5	2.4	930	< 0.4	243	446	44.6	139	22.2	1.96	16.7	3.1	19.9	4.6	15.7
205019	< 5	304	80	1795	3660	< 2		< 0.2	2	< 0.5	0.8	449	< 0.4	153	586	111	513	199	8.25	204	43.8	299	63.0	187
205020	< 5	336	19	580	2262	< 2		< 0.2	8	< 0.5	1.0	93	< 0.4	153	627	89.7	322	99.3	1.58	91.4	18.2	121	23.1	60.7
205021	< 5	271	120	485	4815	5		< 0.2	5	< 0.5	1.7	1057	< 0.4	157	398	44.8	162	44.1	3.73	41.1	9.8	73.7	17.7	63.6
205022	< 5	362	101	884	3883	8		< 0.2	46	< 0.5	0.9	1242	< 0.4	236	576	74.6	285	81.6	5.59	85.9	19.9	149	34.8	116
205023	< 5	29	12	3181	12880	21		< 0.2	6	< 0.5	1.6	74	< 0.4	601	1360	178	711	240	12.1	276	68.4	540	130	444
205024	< 5	189	62	3088	52670	2		< 0.2	4	< 0.5	1.5	549	< 0.4	311	766	109	448	158	9.02	182	55.4	493	136	541
205025 Received as Pulp	< 5	2	< 2	2	124	< 2	< 0.5	< 0.2	< 1	< 0.5	< 0.5	21	< 0.4	1.7	3.4	0.35	1.0	0.2	< 0.05	0.2	< 0.1	0.3	< 0.1	0.2
205026	< 5	208	78	542	2858	10		< 0.2	2	< 0.5	0.5	753	< 0.4	1390	3260	397	1390	222	5.36	153	23.7	130	24.1	62.9
205027	28	60	38	3271	5510	52		0.5	1	< 0.5	< 0.5	245	< 0.4	8570	20000	2340	8100	1300	22.1	897	144	749	138	368
205028	< 5	249	34	306	532	13	1.9	< 0.2	5	< 0.5	0.9	201	< 0.4	806	1770	214	739	116	3.24	77.9	12.3	69.3	13.1	36.2
205029	< 5	307	127	154	1868	9		< 0.2	3	< 0.5	0.8	1447	< 0.4	393	739	82.6	257	39.4	2.63	28.8	4.8	30.0	6.2	18.6
205030	< 5	282	71	76	6197	< 2		< 0.2	2	< 0.5	0.7	609	< 0.4	105	250	26.0	71.7	11.1	1.09	7.3	1.5	10.6	2.5	10.5
205031	< 5	251	127	69	753	5	2.7	< 0.2	3	< 0.5	1.0	1453	< 0.4	138	306	32.5	108	18.2	2.78	12.6	2.1	12.9	2.7	8.2
205032	< 5	609	64	259	2091	7		< 0.2	138	< 0.5	11.9	817	< 0.4	715	1190	115	321	44.1	2.35	30.6	5.5	36.3	8.3	29.3
205033	< 5	1090	25	144	2122	< 2		< 0.2	317	5.2	17.5	114	< 0.4	365	845	85.8	239	39.8	1.67	21.3	4.2	28.0	6.4	24.2
205034	< 5	277	75	32	380	5	1.2	< 0.2	1	< 0.5	0.6	685	< 0.4	236	429	44.8	135	17.1	1.76	9.8	1.2	6.1	1.1	3.4
205035	< 5	285	82	33	419	8	1.3	< 0.2	< 1	< 0.5	0.5	703	< 0.4	184	355	35.8	108	14.6	1.79	8.7	1.1	6.0	1.2	3.7
205036	< 5	288	72	35	453	7	1.5	< 0.2	1	< 0.5	0.6	631	< 0.4	209	380	39.3	117	15.7	1.65	9.1	1.2	6.2	1.1	3.5
205037	< 5	293	102	51	441	4	1.4	< 0.2	2	< 0.5	1.2	1165	< 0.4	131	287	26.6	83.5	12.8	2.27	9.1	1.5	8.7	1.7	5.3
205038	< 5	36	322	21	130	< 2	< 0.5	< 0.2	< 1	< 0.5	0.9	364	< 0.4	27.0	53.1	6.43	24.9	5.1	1.58	4.4	0.7	4.0	0.8	2.3
205039	< 5	352	104	176	2392	4		< 0.2	44	< 0.5	8.8	1250	< 0.4	1050	1640	142	392	42.3	3.35	26.3	3.7	22.3	5.1	20.2
205040	< 5	281	90	262	2016	8		< 0.2	15	< 0.5	1.8	745	< 0.4	677	1320	147	471	74.7	3.49	50.0	8.8	52.9	10.5	32.5
205041	< 5	221	49	2274	10720	< 2		0.4	7	< 0.5	0.7	191	1.8	359	1500	193	599	168	2.76	155	38.5	294	70.7	244
205042	< 5	391	58	294	5158	6		< 0.2	5	< 0.5	1.2	318	2.6	83.3	422	52.5	152	43.9	1.52	36.0	8.5	63.5	14.7	49.3
205043	< 5	344	27	236	6335	< 2		< 0.2	3	< 0.5	0.5	129	< 0.4	110	596	67.4	182	40.5	0.85	28.9	5.9	43.2	9.9	34.4
205044	< 5	366	59	450	7523	< 2		< 0.2	7	< 0.5	1.2	435	0.4	183	868	103	300	87.9	2.26	64.8	15.5	112	24.4	79.3
205045	< 5	318	73	1141	32850	< 2		< 0.2	7	< 0.5	1.0	692	0.4	255	1130	137	394	109	3.55	87.9	25.4	215	58.4	242
205046	8	372	134	715	4998	5		< 0.2	15	< 0.5	5.5	1515	< 0.4	2380	6110	580	1720	235	6.84	158	20.4	110	22.3	70.5
205047	< 5	77	35	1936	14060	35		< 0.2	36	< 0.5	2.7	230	1.1	723	1450	152	527	149	7.71	169	38.9	306	77.6	271
205048	< 5	225	67	2115	12340	39		< 0.2	10	< 0.5	0.9	628	< 0.4	303	868	122	518	180	10.9	193	45.2	345	82.2	281
205049	< 5	339	53	389	832	2	2.6	< 0.2	3	< 0.5	1.3	522	< 0.4	56.5	157	19.2	82.4	30.7	2.34	35.6	8.9	69.1	16.4	54.7
205050 Received as Pulp	50	944	120	2431	18570	4		0.3	459	0.8	0.8	100	1.5	1200	2600	278	966	232	13.0	230	49.0	372	90.2	315

Activation Laboratories Ltd.

Report: A10-5364 rev 1

Analyte Symbol	As	Rb	Sr	Y	Zr	Mo	Ag	In	Sn	Sb	Cs	Ba	Bi	La	Ce	Pr	Nd	Sm	Eu	Gd	Tb	Dy	Ho	Er
Unit Symbol	ppm	ppm	ppm	ppm	ppm	ppm	ppm	ppm	ppm	ppm	ppm	ppm	ppm	ppm	ppm	ppm	ppm	ppm	ppm	ppm	ppm	ppm	ppm	ppm
Detection Limit	5	2	2	2	4	2	0.5	0.2	1	0.5	0.5	3	0.4	0.1	0.1	0.05	0.1	0.1	0.05	0.1	0.1	0.1	0.1	0.1
Analysis Method	FUS-MS	FUS-MS	FUS-ICP	FUS-ICP	FUS-ICP	FUS-MS	FUS-MS	FUS-MS	FUS-MS	FUS-MS	FUS-MS	FUS-ICP	FUS-MS	FUS-MS	FUS-MS	FUS-MS	FUS-MS	FUS-MS	FUS-MS	FUS-MS	FUS-MS	FUS-MS	FUS-MS	FUS-MS
205051	< 5	201	107	164	921	3	3.1	< 0.2	3	< 0.5	0.5	1164	< 0.4	429	944	102	331	53.7	2.86	37.5	6.2	35.9	7.3	22.3
205052	20	483	81	228	3048	44		< 0.2	136	< 0.5	6.2	855	< 0.4	391	670	61.6	184	29.0	1.97	21.8	3.8	27.9	7.1	30.2
205053	8	573	75	311	1322	5		< 0.2	123	< 0.5	6.5	751	< 0.4	711	1210	106	293	41.3	2.85	31.1	5.9	39.8	9.7	36.6
205054	44	560	105	382	3716	27		< 0.2	139	0.6	12.6	946	< 0.4	490	858	79.2	241	41.0	3.06	32.9	6.5	46.3	11.2	46.1
205055	10	650	84	227	2412	13		< 0.2	109	< 0.5	7.9	1125	< 0.4	239	418	35.2	105	17.4	1.82	14.5	3.0	22.6	6.1	27.3
205056	< 5	208	127	166	1309	5		< 0.2	3	< 0.5	0.5	1368	< 0.4	447	975	105	337	53.8	2.89	37.9	6.5	36.3	7.1	20.3
205057	< 5	135	61	286	8529	21		0.3	4	< 0.5	< 0.5	718	< 0.4	832	2290	280	1020	168	2.80	105	15.1	78.4	14.0	39.1
205058	< 5	230	101	202	1690	9		< 0.2	4	< 0.5	0.7	1134	< 0.4	527	1340	165	615	103	2.87	70.9	10.4	53.9	9.7	25.8
205059	< 5	209	79	71	1319	4		< 0.2	3	< 0.5	0.6	930	< 0.4	144	328	38.2	142	24.5	1.78	17.1	2.5	14.8	3.1	9.7
205060	< 5	303	125	78	867	7		< 0.2	21	< 0.5	6.2	1086	< 0.4	256	510	52.6	171	25.9	2.59	18.0	2.7	15.0	3.1	9.8
205061	< 5	310	27	184	3725	11		< 0.2	23	< 0.5	0.9	113	< 0.4	529	1210	128	414	67.7	1.94	44.0	7.4	42.8	8.3	26.0
205062	< 5	377	104	457	8512	24		< 0.2	6	< 0.5	2.2	1154	< 0.4	64.5	184	24.1	107	36.0	2.82	37.2	9.7	81.1	20.9	84.6
205063	< 5	38	408	9	662	< 2	2.3	< 0.2	2	< 0.5	< 0.5	580	< 0.4	248	477	46.7	150	16.8	1.14	9.1	0.7	2.8	0.5	1.6
205064	10	250	86	1189	12340	9		0.2	17	< 0.5	3.2	779	< 0.4	3440	6350	620	2110	364	8.45	271	44.0	250	50.6	156
205065	< 5	553	115	209	1004	6	3.8	< 0.2	7	< 0.5	1.9	1288	< 0.4	332	650	59.3	187	35.0	3.07	28.2	4.8	32.5	6.9	21.3
205066	9	232	61	692	9592	10		0.3	15	< 0.5	2.1	369	< 0.4	4440	7660	690	2090	293	6.96	185	23.9	133	28.1	93.8
205067	19	75	45	11740	27300	12		0.3	15	< 0.5	2.4	279	< 0.4	4100	8350	951	3790	1210	40.6	1310	290	2040	471	1480
205068	9	220	67	2979	10340	5		0.2	8	< 0.5	0.9	609	< 0.4	2800	5630	585	2070	503	15.8	461	91.6	587	124	371
205069	5	213	82	4017	21480	10		< 0.2	6	< 0.5	1.0	761	< 0.4	1480	2970	323	1170	343	13.6	358	82.1	616	147	513
205070	< 5	334	73	198	2163	2		< 0.2	3	< 0.5	1.1	676	< 0.4	150	295	29.7	97.4	20.8	1.99	17.8	4.2	31.2	7.6	29.6
205071	5	189	68	2288	5884	5		< 0.2	4	< 0.5	0.6	632	< 0.4	448	1030	136	622	195	8.79	238	53.7	386	88.1	270
205072	< 5	367	26	467	4436	< 2		< 0.2	2	< 0.5	0.7	131	< 0.4	523	925	88.5	267	57.0	1.93	49.4	10.2	79.0	19.1	68.0
205073	6	288	110	2971	6623	26		< 0.2	8	< 0.5	1.4	1163	< 0.4	879	2260	285	1130	338	14.7	330	75.5	523	120	403
205074	< 5	146	46	2761	27790	10		< 0.2	3	< 0.5	0.9	352	< 0.4	837	1880	211	767	235	8.39	240	62.3	476	120	452
205075 Received as Pulp	< 5	< 2	3	3	121	< 2	< 0.5	< 0.2	< 1	< 0.5	< 0.5	26	< 0.4	4.5	8.8	0.89	3.0	0.6	0.06	0.5	< 0.1	0.6	0.1	0.4
205076	< 5	166	42	1830	3004	6		< 0.2	2	< 0.5	1.6	336	< 0.4	162	446	66.9	322	137	8.61	169	45.5	340	81.3	273
205077	< 5	308	69	772	2079	3		< 0.2	5	< 0.5	1.4	411	< 0.4	57.6	164	25.9	125	51.3	3.98	59.3	15.2	123	30.8	110
205078	< 5	316	155	624	2258	11		< 0.2	13	< 0.5	1.9	1751	< 0.4	234	517	60.9	232	63.5	6.02	64.3	15.5	115	27.2	91.1
205079	< 5	271	161	81	678	3	2.1	< 0.2	6	< 0.5	1.9	1719	< 0.4	109	304	28.4	105	20.9	3.79	16.3	2.7	16.5	3.4	10.9
205080	< 5	358	66	485	2774	2		< 0.2	2	< 0.5	0.8	369	< 0.4	292	595	60.2	201	49.8	2.65	45.3	11.1	78.6	19.0	71.1
205081	< 5	312	73	244	782	2	2.6	< 0.2	2	< 0.5	1.0	651	< 0.4	79.9	205	29.9	137	40.5	2.30	38.0	7.2	45.2	9.6	30.7
205082	< 5	308	104	652	9954	< 2		< 0.2	2	< 0.5	1.1	1131	< 0.4	46.6	181	31.1	152	54.7	3.92	53.1	13.9	111	28.5	103
205083	< 5	199	163	86	694	4	2.5	< 0.2	4	< 0.5	1.4	1764	< 0.4	196	439	42.8	154	24.2	3.77	18.2	2.7	16.7	3.4	10.2
205084	< 5	266	31	159	603	< 2	2.0	< 0.2	1	< 0.5	0.6	224	< 0.4	214	321	33.6	109	18.4	0.84	15.9	2.9	19.7	4.5	15.4
205085	< 5	254	56	221	938	< 2	3.2	< 0.2	3	< 0.5	1.3	294	< 0.4	310	543	55.1	189	34.4	1.71	29.5	5.1	33.2	7.2	23.1
205086	< 5	270	20	316	4370	< 2		< 0.2	< 1	< 0.5	1.4	145	< 0.4	425	727	69.3	193	33.5	0.99	29.1	6.7	50.8	12.7	44.9
205087	< 5	207	29	885	1456	29		< 0.2	< 1	< 0.5	< 0.5	181	< 0.4	406	805	89.8	303	72.7	1.55	73.2	17.6	142	34.4	118
205088	< 5	242	11	411	6093	< 2		< 0.2	2	< 0.5	< 0.5	62	2.3	318	541	54.2	169	36.9	0.43	35.3	8.4	66.2	16.3	59.2
205089	< 5	288	98	508	4598	< 2		0.3	1	< 0.5	0.7	738	< 0.4	299	546	55.9	187	41.3	2.57	39.9	9.3	73.8	18.5	65.1
205090	< 5	409	96	507	8578	< 2		< 0.2	9	< 0.5	3.2	788	< 0.4	161	422	42.6	154	40.0	2.31	36.6	9.5	78.3	19.8	75.5
205091	< 5	240	40	316	4220	3		< 0.2	2	< 0.5	< 0.5	262	< 0.4	428	702	71.5	225	40.7	1.15	36.4	7.5	51.0	11.6	37.9
205092	< 5	506	128	43	641	4	2.2	< 0.2	14	0.5	6.2	1674	< 0.4	176	339	32.2	104	12.3	2.22	8.0	1.2	7.1	1.5	5.3
205093	< 5	335	17	165	705	< 2	2.3	< 0.2	1	< 0.5	0.8	94	< 0.4	291	477	41.2	117	18.6	0.63	15.1	3.0	21.3	5.1	18.6
205094	< 5	294	14	110	233	< 2	0.7	< 0.2	< 1	< 0.5	0.6	110	< 0.4	38.9	93.3	10.1	40.3	9.8	0.46	9.9	2.1	14.9	3.6	12.4
205095	10	227	123	244	465	4	1.4	< 0.2	12	< 0.5	2.5	1132	< 0.4	5530	9330	817	2580	244	6.65	139	13.3	53.6	8.9	24.3
205096	< 5	219	127	34	928	4	2.7	< 0.2	7	< 0.5	2.7	1185	< 0.4	65.1	144	12.5	42.2	5.9	2.24	4.4	0.7	5.0	1.1	4.1
205097	< 5	321	42	265	4066	< 2		< 0.2	4	< 0.5	< 0.5	276	< 0.4	379	666	62.8	193	33.8	1.50	29.4	6.6	47.3	11.3	39.5
205098	7	103	21	5201	21160	< 2		0.6	10	< 0.5	0.9	153	4.5	1100	2990	397	1670	579	11.5	640	162	1010	213	617
205099	< 5	514	104	97	2168	< 2		< 0.2	< 1	< 0.5	0.9	714	< 0.4	40.5	119	9.20	30.8	8.6	1.78	8.5	2.4	19.8	5.1	18.7
205100 Received as Pulp	49	878	120	2355	18310	3		0.3	516	1.8	0.9	98	1.5	1210	2560	289	1040	226	12.7	224	50.3	366	88.0	305

Activation Laboratories Ltd. Report: A10-5364 rev 1

Analyte Symbol	As	Rb	Sr	Y	Zr	Mo	Ag	In	Sn	Sb	Cs	Ba	Bi	La	Ce	Pr	Nd	Sm	Eu	Gd	Tb	Dy	Ho	Er
Unit Symbol	ppm	ppm	ppm	ppm	ppm	ppm	ppm	ppm	ppm	ppm	ppm	ppm	ppm	ppm	ppm	ppm	ppm	ppm	ppm	ppm	ppm	ppm	ppm	ppm
Detection Limit	5	2	2	2	4	2	0.5	0.2	1	0.5	0.5	3	0.4	0.1	0.1	0.05	0.1	0.1	0.05	0.1	0.1	0.1	0.1	0.1
Analysis Method	FUS-MS	FUS-MS	FUS-ICP	FUS-ICP	FUS-ICP	FUS-MS	FUS-MS	FUS-MS	FUS-MS	FUS-MS	FUS-MS	FUS-ICP	FUS-MS	FUS-MS	FUS-MS	FUS-MS	FUS-MS	FUS-MS	FUS-MS	FUS-MS	FUS-MS	FUS-MS	FUS-MS	FUS-MS
205101	< 5	393	83	189	2691	4		< 0.2	6	0.5	2.1	876	0.6	212	384	40.0	137	24.9	2.03	21.0	4.4	32.2	7.7	27.3
205102	< 5	424	55	277	2658	< 2		< 0.2	4	< 0.5	1.8	471	< 0.4	166	326	33.9	117	25.9	1.51	24.0	5.8	45.8	11.3	41.5
205103	< 5	325	36	569	5410	< 2		< 0.2	2	< 0.5	1.5	212	< 0.4	313	602	65.0	206	44.5	1.33	41.2	10.7	86.6	21.7	80.8
205104	< 5	364	67	378	5388	3		< 0.2	3	< 0.5	1.4	606	< 0.4	71.9	213	28.8	113	28.9	1.91	27.3	8.5	74.1	20.1	76.2
205105	< 5	297	70	334	12450	20		< 0.2	3	< 0.5	1.3	577	< 0.4	48.8	149	18.9	71.1	18.5	1.61	17.9	5.9	59.1	17.3	73.2
205106	7	363	107	3001	2257	4		< 0.2	17	< 0.5	5.4	510	< 0.4	1390	3240	426	1910	457	15.4	406	74.2	484	109	354
205107	< 5	323	88	385	2117	< 2		< 0.2	4	< 0.5	1.8	849	< 0.4	168	367	41.9	151	36.8	2.37	34.2	9.2	71.1	18.5	66.6
205108	< 5	207	79	1639	3880	11		< 0.2	6	< 0.5	1.7	622	< 0.4	770	1920	255	1030	264	8.24	237	57.0	427	99.8	315
205109	< 5	398	43	1126	3123	3		< 0.2	21	< 0.5	4.2	353	< 0.4	140	373	54.0	256	83.3	2.89	94.7	22.7	178	43.6	150
205110	< 5	361	50	163	360	< 2	1.0	< 0.2	< 1	< 0.5	0.7	282	< 0.4	41.0	94.6	12.2	51.6	15.8	1.39	16.8	4.2	34.1	8.2	27.9
205111	8	94	18	930	6163	26		0.3	4	< 0.5	0.7	207	< 0.4	2080	4890	554	2190	329	7.09	230	35.7	200	40.1	114
205112	< 5	374	42	760	4345	< 2		< 0.2	6	< 0.5	2.1	314	< 0.4	169	354	41.9	167	51.3	2.29	59.4	14.1	113	27.7	95.6
205113	< 5	382	59	996	3578	5		< 0.2	13	< 0.5	1.8	496	< 0.4	280	585	73.7	284	74.3	2.66	75.3	18.9	148	38.3	136
205114	< 5	386	59	525	427	< 2	1.3	< 0.2	8	< 0.5	1.8	335	< 0.4	129	301	37.4	153	41.0	2.21	48.5	11.4	91.4	22.8	77.8
205115	9	41	9	1000	6185	31		0.4	6	< 0.5	0.6	67	< 0.4	2250	5110	586	2300	343	6.99	238	36.7	212	42.1	122
205116	< 5	343	22	2326	9711	20		0.2	8	< 0.5	1.3	117	< 0.4	229	699	115	513	172	4.55	176	49.8	417	107	406
205117	< 5	510	19	579	2358	< 2		0.3	7	< 0.5	1.7	99	< 0.4	122	285	35.7	146	45.4	1.37	47.7	12.8	110	28.6	102
205118	< 5	210	19	2936	9291	< 2		0.5	7	< 0.5	1.4	165	< 0.4	336	894	147	700	261	7.25	283	79.3	657	163	573
205119	< 5	442	16	1859	5648	< 2		0.6	3	< 0.5	0.9	106	< 0.4	377	851	117	519	182	5.45	191	54.5	460	120	430
205120	< 5	396	81	315	1479	3		< 0.2	9	< 0.5	1.8	835	< 0.4	199	379	37.6	131	26.6	2.00	24.1	5.8	45.6	11.9	42.6
205121	14	219	46	10960	29890	11		0.9	93	< 0.5	2.7	353	< 0.4	3140	6770	759	2960	845	25.4	846	217	1770	459	1630
205122	< 5	185	12	2016	3432	2		0.3	4	< 0.5	0.6	51	< 0.4	2040	3430	343	1210	263	4.25	245	56.5	416	96.3	320
205123	7	13	13	5940	10930	15		1.0	12	< 0.5	< 0.5	81	< 0.4	2780	5260	544	2100	556	15.7	579	140	1070	258	866
205124	9	341	72	3174	6528	9		0.2	18	0.8	6.4	837	< 0.4	1930	3860	439	1720	401	11.1	386	86.1	614	138	438
205125 Received as Pulp	< 5	< 2	2	2	35	< 2	< 0.5	< 0.2	< 1	0.5	< 0.5	21	< 0.4	2.3	4.6	0.48	1.9	0.4	< 0.05	0.3	< 0.1	0.4	< 0.1	0.3
205126	< 5	308	85	1634	2712	20		< 0.2	7	0.8	0.9	896	< 0.4	386	783	107	477	151	7.23	171	38.5	282	63.7	199
205127	9	146	20	3216	12080	82		0.2	21	1.0	8.0	174	< 0.4	1730	3540	416	1690	378	11.9	357	72.3	527	119	395
205128	< 5	389	110	442	1797	3		< 0.2	5	0.8	2.3	1270	< 0.4	185	410	48.9	207	55.2	3.31	54.5	12.6	87.8	19.6	61.3
205129	< 5	366	110	81	510	6	1.5	< 0.2	3	0.8	1.2	1265	< 0.4	111	216	23.1	85.3	14.2	2.23	10.7	1.9	12.3	2.6	8.4
205130	40	141	75	2924	42320	15		0.3	4	0.8	< 0.5	330	< 0.4	7490	19600	2380	9620	1520	12.2	1000	148	748	133	339
205131	< 5	307	120	182	1464	10		< 0.2	2	0.9	1.2	1252	< 0.4	424	818	97.2	358	54.2	3.22	36.3	5.9	34.8	6.9	21.0
205132	< 5	286	82	131	305	5	0.9	< 0.2	5	0.9	2.0	745	< 0.4	1100	1920	192	618	67.0	2.59	35.8	4.7	25.6	4.9	15.6
205133	< 5	302	117	131	470	5	1.6	< 0.2	3	1.0	1.2	1170	< 0.4	2410	3790	345	1040	106	3.77	54.9	6.2	30.0	5.0	14.4
205134	< 5	389	83	132	1479	4		< 0.2	9	1.0	4.0	928	< 0.4	159	338	40.1	155	26.7	2.19	19.3	3.6	24.2	5.2	16.9
205135	< 5	379	95	121	329	5	1.0	< 0.2	3	0.9	1.4	1046	< 0.4	2200	3320	299	874	82.3	3.28	42.6	5.2	24.5	4.3	12.3
205136	< 5	169	57	53	204	3	0.6	< 0.2	4	0.8	1.0	305	< 0.4	140	284	29.5	103	14.9	1.42	8.8	1.4	8.7	1.9	6.4
205137	< 5	156	73	494	13680	21		< 0.2	2	1.0	< 0.5	731	< 0.4	549	1070	125	459	79.5	3.14	60.6	11.5	82.2	19.3	69.2
205138	8	219	24	900	2324	15		< 0.2	2	0.9	0.6	190	< 0.4	4410	7090	609	1950	251	3.37	178	28.4	165	31.7	89.0
205139	< 5	227	37	209	1866	8		< 0.2	2	1.0	0.7	399	< 0.4	657	1400	142	475	66.6	1.20	44.5	7.5	44.5	8.7	25.3
205140	< 5	223	124	347	3924	497		< 0.2	6	1.1	1.0	1104	< 0.4	874	1860	213	747	115	3.73	72.4	12.5	75.9	15.2	44.8
205141	10	81	43	919	5921	216		0.5	8	1.1	0.7	476	< 0.4	2820	5840	607	2290	350	5.80	237	38.8	225	45.1	124
205142	10	207	23	432	1419	24		0.3	7	0.9	0.9	160	< 0.4	1510	3480	413	1540	220	2.52	131	21.5	117	22.3	59.7
205143	< 5	179	24	198	722	15	2.2	0.2	4	1.0	0.8	221	< 0.4	533	1210	151	558	82.2	1.20	50.6	8.1	46.8	8.8	26.4
205144	38	128	92	5639	525	21	7.3	< 0.2	2	1.1	< 0.5	377	< 0.4	17500	32300	3000	9450	1420	31.0	1000	175	1070	221	643
205145	< 5	154	42	409	17250	60		< 0.2	4	0.9	0.7	427	< 0.4	1410	2710	284	964	127	2.93	81.4	13.5	82.5	16.8	52.5
205146	12	133	39	1293	120300	96		0.2	4	0.9	< 0.5	287	< 0.4	7190	11400	972	3100	365	6.23	228	36.2	217	53.1	200
205147	10	89	16	881	7457	36		0.3	6	0.8	1.0	145	< 0.4	2140	4980	566	2320	340	7.11	225	35.3	200	38.1	110
205148	10</																							

Activation Laboratories Ltd. Report: A10-5364 rev 1

Analyte Symbol	As	Rb	Sr	Y	Zr	Mo	Ag	In	Sn	Sb	Cs	Ba	Bi	La	Ce	Pr	Nd	Sm	Eu	Gd	Tb	Dy	Ho	Er
Unit Symbol	ppm	ppm	ppm	ppm	ppm	ppm	ppm	ppm	ppm	ppm	ppm	ppm	ppm	ppm	ppm	ppm	ppm	ppm	ppm	ppm	ppm	ppm	ppm	ppm
Detection Limit	5	2	2	2	4	2	0.5	0.2	1	0.5	0.5	3	0.4	0.1	0.1	0.05	0.1	0.1	0.05	0.1	0.1	0.1	0.1	0.1
Analysis Method	FUS-MS	FUS-MS	FUS-ICP	FUS-ICP	FUS-ICP	FUS-MS	FUS-MS	FUS-MS	FUS-MS	FUS-MS	FUS-MS	FUS-ICP	FUS-MS	FUS-MS	FUS-MS	FUS-MS	FUS-MS	FUS-MS	FUS-MS	FUS-MS	FUS-MS	FUS-MS	FUS-MS	FUS-MS
205151	9	86	14	922	6738	30		0.3	5	0.7	0.6	132	< 0.4	2120	4870	552	2250	331	6.94	221	34.7	198	38.6	108
205152	10	52	11	1042	6813	32		0.3	5	0.8	0.8	68	< 0.4	2380	5600	622	2510	371	7.62	250	38.8	225	43.1	122
205153	10	57	11	1060	6127	32		0.3	5	0.9	0.7	76	< 0.4	2470	5600	631	2560	373	7.75	252	40.6	230	45.1	128
205154	< 5	587	31	366	1427	< 2		< 0.2	6	0.9	4.2	230	< 0.4	139	331	41.2	162	36.4	1.29	32.3	7.1	54.2	13.1	45.5
205155	10	53	13	1006	7042	33		0.3	5	0.8	< 0.5	101	< 0.4	2260	5160	586	2390	353	7.30	237	37.1	210	40.6	116
205156	22	488	24	1261	3995	8		< 0.2	16	1.0	7.7	165	< 0.4	399	871	121	528	151	3.98	145	36.1	260	59.9	197
205157	< 5	600	28	944	5155	8		< 0.2	5	0.9	3.3	158	< 0.4	99.3	300	43.3	184	68.0	1.68	75.0	24.7	207	48.4	166
205158	< 5	416	73	80	615	2	1.8	< 0.2	1	0.8	0.9	752	< 0.4	85.1	171	16.8	60.4	10.0	1.67	7.9	1.6	12.0	2.9	10.2
205159	< 5	392	16	367	2248	< 2		< 0.2	< 1	1.0	< 0.5	98	< 0.4	128	248	28.0	102	27.8	0.91	26.5	7.5	65.8	17.3	64.9
205160	< 5	423	30	407	1260	< 2		< 0.2	3	0.9	0.9	137	< 0.4	219	393	42.1	150	36.2	1.30	34.6	8.7	68.2	16.6	56.4
205161	< 5	212	198	68	709	3	2.0	< 0.2	3	0.8	1.5	2159	< 0.4	130	267	30.1	116	18.2	4.11	13.2	2.2	12.9	2.7	8.1
205162	9	63	11	907	5951	32		0.3	5	1.0	0.6	107	< 0.4	2100	4760	543	2210	324	6.74	215	35.3	201	38.6	112
205163	11	33	6	992	7519	41		0.4	7	1.0	1.3	12	< 0.4	2330	5410	617	2520	373	7.43	249	39.2	223	42.9	125
205164	12	126	14	1077	6666	31		0.3	5	0.9	2.6	101	< 0.4	2540	5770	659	2670	392	8.26	268	42.2	238	46.7	133
205165	14	38	9	1032	7314	35		0.4	6	0.8	< 0.5	69	< 0.4	2440	5680	663	2340	386	7.81	266	42.0	237	45.8	134
205166	15	46	11	1122	6999	32		0.4	7	0.9	1.0	51	< 0.4	2630	6040	708	2490	415	8.40	287	45.8	258	50.1	146
205167	13	57	10	903	6461	34		0.4	7	0.8	0.8	88	< 0.4	2190	5120	589	2070	347	7.10	238	37.5	210	41.0	119
205168	16	57	11	1084	7130	32		0.4	6	0.9	1.0	76	< 0.4	2610	5960	705	2450	411	8.33	287	45.1	255	50.3	143
205169	15	49	9	972	8168	37		0.4	7	0.8	1.0	86	< 0.4	2550	6050	713	2470	410	8.11	274	43.0	236	45.3	130
205170	12	105	16	840	6590	30		0.3	7	0.9	0.8	164	< 0.4	1990	4630	545	1910	318	6.96	217	34.5	196	38.1	109
205171	14	83	13	985	6962	28		0.4	6	0.8	0.6	140	< 0.4	2320	5370	634	2220	372	7.64	258	41.0	229	44.9	129
205172	14	42	7	791	7408	37		0.4	9	0.9	2.2	23	< 0.4	2040	4850	580	2030	336	6.60	219	33.7	192	36.8	107
205173	14	66	10	1060	7139	33		0.4	6	0.8	0.7	102	< 0.4	2480	5650	672	2380	396	8.05	270	43.2	246	47.9	135
205174	14	47	10	955	6624	32		0.4	7	0.8	0.6	60	< 0.4	2390	5600	665	2310	387	7.73	255	40.2	230	44.0	126
205175 Received as Pulp	< 5	< 2	< 2	< 2	54	< 2	< 0.5	< 0.2	< 1	0.8	< 0.5	21	< 0.4	1.7	3.9	0.44	1.4	0.3	< 0.05	0.2	< 0.1	0.3	< 0.1	0.2
205176	< 5	351	18	295	2192	53		< 0.2	10	1.0	0.9	95	< 0.4	749	1240	127	332	49.9	0.79	35.8	7.2	46.3	10.2	33.8
205177	< 5	489	13	288	2275	49		< 0.2	19	1.0	1.2	40	< 0.4	729	1230	130	353	53.6	0.64	37.7	6.9	45.0	9.5	29.8
205178	12	129	20	902	6158	31		0.3	7	0.8	0.9	295	< 0.4	2060	4760	560	1960	328	7.04	223	36.4	204	39.4	113
205179	12	85	14	843	5981	30		0.4	7	0.9	0.6	142	< 0.4	2040	4750	557	1940	325	6.89	219	34.8	199	38.2	111
205180	10	106	16	724	5340	29		0.3	6	1.0	0.5	172	< 0.4	1730	4090	484	1710	283	5.99	196	30.8	170	33.1	94.9
205181	12	85	14	809	6898	37		0.4	9	0.9	0.8	142	< 0.4	1940	4550	545	1920	319	6.76	227	34.1	188	36.5	106
205182	7	351	123	1805	4309	2		< 0.2	20	1.1	5.1	641	0.4	1020	2200	232	682	169	7.15	170	41.7	317	72.9	258
205183	< 5	636	38	611	9749	< 2		< 0.2	23	1.0	2.4	205	< 0.4	146	469	62.8	200	60.3	1.68	62.7	15.7	135	34.1	135
205184	23	100	151	7238	81240	11		< 0.2	24	1.1	2.1	1218	< 0.4	1080	3410	480	1940	567	22.0	606	132	1020	266	1010
205185	10	267	104	1622	34100	4		< 0.2	66	1.1	9.2	607	1.9	686	2260	289	1010	238	6.43	182	37.9	262	62.9	242
205186	< 5	463	139	1150	3309	7		< 0.2	13	1.2	1.7	1085	< 0.4	538	1360	149	405	87.8	3.67	82.7	18.5	142	33.2	123
205187	5	174	98	1009	13680	< 2		< 0.2	17	1.1	2.0	795	0.6	327	836	112	400	123	5.66	123	28.9	213	50.4	184
205188	9	302	22	2819	35990	4		0.3	34	1.0	8.1	109	4.6	680	1660	231	871	271	4.98	287	61.0	407	91.1	313
205189	< 5	589	25	176	1775	< 2		< 0.2	14	1.0	3.3	127	< 0.4	82.2	202	23.5	74.1	17.3	0.66	14.3	3.0	21.9	5.0	17.6
205190	< 5	333	174	82	675	5	2.6	< 0.2	6	0.8	1.9	1717	< 0.4	81.7	173	20.5	71.1	15.0	2.60	12.2	2.2	14.0	2.9	9.5
205191	< 5	571	102	273	1759	2		< 0.2	45	1.2	14.2	1166	0.5	394	871	91.3	253	51.2	2.78	36.9	7.7	53.9	12.0	41.0
205192	21	900	77	1746	5715	23		< 0.2	24	1.3	5.6	398	2.0	5900	10100	847	2190	336	5.36	228	40.2	251	53.5	177
205193	< 5	527	55	987	22360	2		< 0.2	34	1.0	4.7	416	< 0.4	452	1190	133	388	83.7	3.20	69.8	19.0	155	43.0	173
205194	14	364	94	1162	8340	5		< 0.2	83	1.8	6.7	2512	0.5	219	573	89.7	332	110	5.20	111	30.3	245	61.7	246
205195	23	152	152	2425	134700	5		1.1	1120	0.8	2.7	309	12.6	3560	10500	1150	3220	620	12.1	382	65.6	410	94.6	325
205196	7	312	38	326	3499	< 2		0.4	123	0.9	1.1	127	1.2	962	3510	388	1140	198	2.88	103	18.0	94.8	16.6	51.1
205197	6	396	28	736	5958	16		< 0.2	54	1.3	2.3	156	1.0	84.6	445	93.1	397	129	2.76	100	20.8	134	27.6	91.7
205198	21	297	44	7210	31930	5		< 0.2	46	0.9	13.4	228	0.8	1520	4540	674	2830	890	31.9	1010	222	1500	328	1020
205199	14	559	53	3762	17950	4		0.3	88	0.9	26.3	498	0.7	1850	4770	542	1810	470	13.8	433	91.7	635	142	453
205200 Received as Pulp	53	935	118	2369	18340	3		0.3	504	2.3	0.7	97	1.5	1230	2540	286	977	232	12.9	225	49.0	366	86.8	302

Activation Laboratories Ltd. Report: A10-5364 rev 1

Analyte Symbol	As	Rb	Sr	Y	Zr	Mo	Ag	In	Sn	Sb	Cs	Ba	Bi	La	Ce	Pr	Nd	Sm	Eu	Gd	Tb	Dy	Ho	Er
Unit Symbol	ppm	ppm	ppm	ppm	ppm	ppm	ppm	ppm	ppm	ppm	ppm	ppm	ppm	ppm	ppm	ppm	ppm	ppm	ppm	ppm	ppm	ppm	ppm	ppm
Detection Limit	5	2	2	2	4	2	0.5	0.2	1	0.5	0.5	3	0.4	0.1	0.1	0.05	0.1	0.1	0.05	0.1	0.1	0.1	0.1	0.1
Analysis Method	FUS-MS	FUS-MS	FUS-ICP	FUS-ICP	FUS-ICP	FUS-MS	FUS-MS	FUS-MS	FUS-MS	FUS-MS	FUS-MS	FUS-ICP	FUS-MS	FUS-MS	FUS-MS	FUS-MS	FUS-MS	FUS-MS	FUS-MS	FUS-MS	FUS-MS	FUS-MS	FUS-MS	FUS-MS
205201	14	83	14	1035	7282	36		0.4	8	0.8	1.4	119	< 0.4	2270	5260	613	2180	365	7.54	255	41.0	232	45.3	132
205202	< 5	351	22	828	1917	5		< 0.2	1	0.8	< 0.5	212	< 0.4	202	509	84.0	338	111	1.67	109	27.1	207	46.7	156
205203	9	100	10	2492	6914	7		< 0.2	3	0.9	0.8	35	< 0.4	258	1360	294	1360	439	1.78	376	89.6	681	159	526
205204	< 5	285	31	109	364	< 2	1.6	< 0.2	1	0.8	0.6	145	< 0.4	31.4	94.1	10.1	37.9	11.3	0.70	11.5	2.7	20.4	4.8	17.0
205205	< 5	383	133	496	1569	8		< 0.2	6	0.9	3.2	1458	< 0.4	275	583	75.6	252	52.5	3.69	44.1	12.9	108	28.9	102
205206	16	61	12	910	7278	31		0.4	6	0.5	0.9	96	< 0.4	2520	5850	661	2320	381	7.69	251	39.3	222	43.7	126
205207	19	25	7	1167	7618	36		0.4	6	0.6	1.0	17	< 0.4	3030	6980	793	2800	456	8.96	319	49.0	278	54.3	154
205208	< 5	271	87	49	742	2	3.9	< 0.2	2	0.6	0.8	855	< 0.4	80.5	172	19.0	67.7	12.1	2.00	8.9	1.5	9.6	2.1	7.2
205209	16	52	9	928	6802	33		0.4	5	0.6	0.6	90	< 0.4	2560	5930	681	2370	391	7.80	259	40.6	229	45.1	127
205210	18	32	10	1093	7497	32		0.4	6	0.5	0.6	42	< 0.4	2880	6670	756	2690	438	8.85	306	47.8	264	52.0	149
205211	13	87	16	758	6577	28		0.3	4	0.6	0.5	167	< 0.4	2190	5140	584	2040	333	6.79	218	34.0	190	37.1	105
205212	16	49	9	931	6761	31		0.4	5	0.6	< 0.5	78	< 0.4	2640	6140	697	2440	401	8.07	271	42.3	236	45.9	131
205213	15	30	5	913	6535	38		0.4	6	0.6	0.6	32	< 0.4	2370	5440	615	2150	356	7.02	246	38.0	217	42.9	124
205214	< 5	432	104	255	1650	5		< 0.2	9	0.7	3.3	1197	< 0.4	496	928	85.2	268	46.4	3.02	36.2	6.4	43.4	9.9	35.0
205215	17	50	12	1046	6913	31		0.4	5	0.6	0.6	81	< 0.4	2690	6150	700	2470	402	8.20	276	42.7	246	48.0	138
205216	< 5	336	41	105	460	2	2.5	< 0.2	2	< 0.5	< 0.5	201	< 0.4	57.0	122	13.0	48.1	11.3	1.07	12.2	2.7	20.5	5.1	17.7
205217	11	114	26	760	6380	25		0.3	7	0.6	1.2	350	< 0.4	1820	3990	444	1530	256	7.30	181	29.5	172	35.1	103
205218	18	52	10	1083	7798	33		0.4	6	0.6	0.9	75	< 0.4	2770	6400	723	2550	423	8.50	295	45.0	259	50.6	146
205219	< 5	195	25	196	2000	11		0.2	3	0.6	< 0.5	205	< 0.4	651	1480	150	490	77.8	1.65	50.4	8.2	46.0	8.8	25.0
205220	< 5	300	89	63	798	< 2	4.4	< 0.2	1	< 0.5	0.6	853	< 0.4	78.2	174	19.0	69.1	13.1	2.04	10.5	2.0	13.2	3.0	10.6
205221	7	591	24	490	1893	4		< 0.2	13	0.7	2.7	221	< 0.4	1260	2290	218	692	111	3.18	82.8	14.6	96.4	20.7	62.7
205222	< 5	432	63	218	3214	< 2		< 0.2	5	0.7	1.7	447	< 0.4	30.3	79.0	11.2	51.0	17.3	1.65	18.8	4.5	37.9	9.8	39.7
205223	< 5	234	43	89	640	< 2	1.4	< 0.2	< 1	< 0.5	< 0.5	241	< 0.4	35.0	74.8	8.82	34.3	9.5	1.15	11.6	2.6	20.1	5.0	16.7
205224	< 5	403	95	141	1190	< 2		< 0.2	5	0.5	2.3	778	< 0.4	46.0	121	13.5	57.7	16.2	2.07	16.3	3.4	25.6	6.3	22.5
205225 Received as Pulp	< 5	< 2	2	< 2	40	< 2	< 0.5	< 0.2	< 1	0.6	< 0.5	21	< 0.4	2.1	4.3	0.46	1.7	0.3	< 0.05	0.3	< 0.1	0.2	< 0.1	0.2
205226	14	95	16	877	6305	28		0.3	6	< 0.5	0.5	170	< 0.4	2230	5200	591	2090	346	7.26	239	36.7	212	41.5	119
205227	15	57	9	762	6019	32		0.4	6	0.6	0.5	88	< 0.4	2240	5420	610	2130	354	7.02	229	34.7	200	38.5	110
205228	16	63	14	966	6675	33		0.4	6	0.6	0.8	89	< 0.4	2430	5630	641	2280	378	7.77	266	40.4	232	45.7	131
205229	18	26	7	1009	8215	43		0.4	10	0.6	0.6	19	< 0.4	2740	6360	720	2560	426	8.27	284	43.9	247	48.2	139
205230	21	179	34	1106	6369	5		0.2	5	0.7	0.8	225	< 0.4	2880	6810	802	2890	503	7.62	343	51.1	287	54.0	147
205231	37	102	48	1710	18480	32		0.4	4	0.5	< 0.5	419	< 0.4	4830	12100	1470	5520	904	11.1	597	87.5	458	82.4	216
205232	13	202	69	667	411	9	2.2	< 0.2	3	0.6	0.6	648	< 0.4	1800	4320	510	1860	309	4.75	211	31.1	171	31.8	82.1
205233	30	102	62	4038	131900	3		0.5	912	28.1	8.0	126	< 0.4	1070	2010	173	516	119	5.81	133	39.8	362	117	559
205234	9	230	26	1369	22290	< 2		1.7	2950	8.9	13.3	47	0.8	588	1070	98.7	318	67.9	3.25	66.1	16.1	134	38.6	188
205235	32	330	70	2127	481	5		< 0.2	21	1.1	1.5	301	< 0.4	5350	11200	1230	4320	692	17.2	480	76.6	455	90.2	263
205236	53	360	109	3261	121	11	3.0	< 0.2	19	0.9	1.7	338	< 0.4	8550	18500	2060	7390	1180	28.0	810	127	739	144	411
205237	112	117	78	7739	5450	59		< 0.2	49	0.7	2.6	99	0.5	20000	43300	4800	17100	2820	65.1	2020	319	1820	358	999
205238	< 5	427	156	377	8867	< 2		< 0.2	5	0.6	3.3	1764	< 0.4	96.8	248	31.2	141	38.0	4.30	34.0	7.9	66.1	18.1	81.5
205239	< 5	531	191	99	1614	< 2		< 0.2	16	0.7	9.2	2069	< 0.4	147	344	35.0	119	18.8	3.48	13.1	2.3	15.2	3.6	13.3
205240	24	136	86	967	6598	< 2		< 0.2	217	6.2	9.0	100	59.3	2060	2890	227	636	89.6	3.65	62.7	13.7	106	28.6	118
205241	< 5	185	98	62	530	10	3.0	< 0.2	6	0.6	1.5	882	< 0.4	249	484	45.7	143	18.8	2.09	11.9	1.8	10.7	2.3	7.2
205242	< 5	316	109	14	77	2	< 0.5	< 0.2	4	< 0.5	2.7	1226	< 0.4	19.3	39.9	4.31	15.7	2.9	1.55	2.5	0.4	2.7	0.6	2.0
205243	< 5	176	88	59	847	3	5.0	< 0.2	6	0.6	1.2	348	< 0.4	23.7	59.4	7.81	32.3	8.2	1.57	7.6	1.4	10.0	2.4	8.4
205244	< 5	235	170	122	3246	3		< 0.2	21	0.7	5.6	848	< 0.4	380	754	78.6	269	38.8	3.90	23.7	3.4	20.1	4.4	14.6
205245	< 5	375	51	43	627	< 2	3.5	< 0.2	4	0.7	2.0	305	< 0.4	28.8	62.6	5.80	21.6	5.2	1.12	5.2	1.1	8.7	2.2	8.0
205246	< 5	281	70	89	619	5	3.3	< 0.2	9	0.6	3.0	620	< 0.4	101	232	21.3	73.9	13.3	1.63	11.1	2.0	13.6	3.2	11.0
205247	< 5	200	112	66	686	6	4.3	< 0.2	7	0.9	1.1	1372	< 0.4	101	271	26.3	99.1	18.6	2.87	14.2	2.3	13.8	2.8	8.2
205248	< 5	312	105	118	723	3	4.4	< 0.2	9	0.9	2.1	1221	0.6	1090	2090	200	641	81.4	4.29	39.3	5.2	26.7	4.8	13.3
205249	< 5	167	107	225	1572	9		< 0.2	5	0.8	0.9	1070	< 0.4	276	755	71.4	274	56.1	3.05	46.3	7.9	48.8	9.9	28.7
205250 Received as Pulp	53	920	121	2366	18560	3		0.3	433	2.0	0.8	97	1.5	1180	2450	271	937	226	12.4	229	49.5	368	87.8	306

Activation Laboratories Ltd. Report: A10-5364 rev 1

Analyte Symbol	As	Rb	Sr	Y	Zr	Mo	Ag	In	Sn	Sb	Cs	Ba	Bi	La	Ce	Pr	Nd	Sm	Eu	Gd	Tb	Dy	Ho	Er
Unit Symbol	ppm	ppm	ppm	ppm	ppm	ppm	ppm	ppm	ppm	ppm	ppm	ppm	ppm	ppm	ppm	ppm	ppm	ppm	ppm	ppm	ppm	ppm	ppm	ppm
Detection Limit	5	2	2	2	4	2	0.5	0.2	1	0.5	0.5	3	0.4	0.1	0.1	0.05	0.1	0.1	0.05	0.1	0.1	0.1	0.1	0.1
Analysis Method	FUS-MS	FUS-MS	FUS-ICP	FUS-ICP	FUS-ICP	FUS-MS	FUS-MS	FUS-MS	FUS-MS	FUS-MS	FUS-MS	FUS-ICP	FUS-MS	FUS-MS	FUS-MS	FUS-MS	FUS-MS	FUS-MS	FUS-MS	FUS-MS	FUS-MS	FUS-MS	FUS-MS	FUS-MS
205251	10	377	34	123	1260	9		< 0.2	5	0.9	2.5	311	< 0.4	223	390	35.5	109	17.7	1.01	13.3	2.5	18.0	4.3	15.2
205252	< 5	485	28	356	4290	7		< 0.2	30	1.0	6.8	220	< 0.4	491	861	82.9	262	48.3	1.08	40.5	8.5	64.1	14.9	52.2
205253	6	379	101	1174	3622	< 2		< 0.2	9	0.9	2.8	658	< 0.4	621	1560	180	662	156	4.54	146	27.9	191	41.4	133
205254	13	405	52	871	2244	50		< 0.2	24	0.9	8.5	368	1.7	698	2070	252	809	195	4.80	144	33.4	245	54.1	175
205255	< 5	458	14	534	3652	21		0.4	80	0.8	5.0	82	2.8	457	936	95.3	307	65.8	1.05	58.1	12.8	95.4	22.2	77.0
205256	< 5	484	51	435	3978	19		0.7	7	0.9	2.7	267	< 0.4	178	388	43.3	159	44.3	1.52	43.7	9.6	71.2	16.1	55.9
205257	< 5	240	71	243	3460	< 2		< 0.2	15	0.7	4.9	583	< 0.4	205	396	36.9	116	25.2	1.76	23.0	5.3	40.8	9.7	34.8
205258	< 5	198	137	39	162	< 2		< 0.2	7	0.9	2.1	1567	< 0.4	369	727	67.6	221	26.4	3.16	13.7	1.7	9.1	1.7	5.0
205259	< 5	244	31	12	80	< 2	< 0.5	< 0.2	2	0.8	1.0	274	< 0.4	10.2	21.5	2.02	7.2	1.4	0.54	1.1	0.2	1.4	0.3	1.1
205260	< 5	153	66	25	355	2	2.2	< 0.2	2	0.8	1.1	551	< 0.4	87.2	171	16.8	57.1	8.4	1.36	5.6	0.9	5.1	1.1	3.5
205261	< 5	235	104	73	713	4	4.6	< 0.2	6	0.9	2.6	780	< 0.4	74.8	173	22.0	90.8	19.4	1.61	16.2	2.5	15.3	3.1	9.0
205262	< 5	152	110	70	1019	15		< 0.2	4	0.8	1.2	807	< 0.4	370	664	63.5	205	28.9	2.94	18.7	2.7	15.4	3.0	9.5
205263	35	502	63	692	2121	8		< 0.2	23	0.9	5.9	1084	< 0.4	8680	16400	1610	4950	563	12.8	241	30.3	146	25.5	74.4
205264	< 5	362	7	36	192	< 2	1.2	< 0.2	18	0.9	8.7	25	< 0.4	27.4	63.0	7.20	26.0	5.9	0.12	4.7	1.0	7.3	1.8	6.7
205265	< 5	309	63	64	490	3	3.3	< 0.2	7	1.0	1.8	410	< 0.4	192	392	38.3	123	17.5	1.65	11.4	1.7	10.5	2.3	7.9
205266	< 5	340	50	58	359	< 2	2.3	< 0.2	12	0.8	4.3	229	< 0.4	175	379	38.2	127	18.6	1.18	10.9	1.6	10.0	2.1	7.4
205267	< 5	232	41	27	138	< 2	0.9	< 0.2	5	1.1	1.9	218	< 0.4	56.7	130	12.9	42.3	6.4	1.04	4.1	0.7	4.3	1.0	3.7
205268	< 5	445	16	68	251	< 2	1.6	< 0.2	16	0.9	5.6	117	< 0.4	24.0	50.3	6.00	22.6	5.8	0.32	6.1	1.4	10.5	2.6	9.8
205269	< 5	129	203	119	1367	7		< 0.2	2	0.9	0.7	2280	< 0.4	225	485	56.5	225	39.4	6.43	30.1	4.2	24.5	4.9	14.2
205270	< 5	326	24	78	2616	3		< 0.2	5	1.0	1.3	243	< 0.4	36.6	89.5	9.52	33.0	9.3	0.66	9.2	2.5	21.7	5.2	20.4
205271	< 5	231	50	706	5468	4		< 0.2	9	0.8	1.3	636	< 0.4	326	667	71.7	259	76.1	5.22	80.8	19.5	149	34.0	120
205272	< 5	532	38	56	1435	< 2		< 0.2	4	0.8	2.4	390	< 0.4	35.2	83.2	7.59	24.5	6.0	0.54	6.1	1.6	13.1	3.3	13.3
205273	186	36	95	69400	1840	3		< 0.2	32	2.0	< 0.5	77	1.4	7430	29900	5010	23800	8110	133	9340	2130	14100	3150	10800
205274	11	149	170	461	261	12	1.8	< 0.2	6	0.9	0.8	1115	< 0.4	2150	4350	427	1330	178	5.32	104	16.7	94.6	19.7	62.7
205275 Received as Pulp	< 5	< 2	2	3	39	< 2	< 0.5	< 0.2	< 1	0.6	< 0.5	22	< 0.4	2.0	4.1	0.45	1.7	0.3	< 0.05	0.3	< 0.1	0.3	< 0.1	0.2
205276	8	290	26	566	1989	3		< 0.2	10	0.9	1.1	192	< 0.4	1430	2770	291	945	153	4.11	110	19.2	119	24.5	75.7
205277	< 5	237	52	85	387	11	2.6	< 0.2	2	1.0	0.8	393	< 0.4	443	915	93.7	310	41.5	1.68	21.8	2.8	14.6	2.8	9.1
205278	8	371	68	2273	8952	4		< 0.2	23	1.0	4.2	718	< 0.4	921	2000	237	860	236	8.22	236	56.7	429	102	370
205279	< 5	502	57	416	4734	3		< 0.2	10	0.8	6.2	421	< 0.4	85.4	222	24.3	89.5	31.9	1.76	36.4	10.0	83.3	19.9	69.5
205280	14	292	113	251	665	8	4.5	< 0.2	9	1.0	2.1	1163	< 0.4	4240	7170	660	1910	222	5.65	101	12.6	60.1	10.3	29.5
205281	< 5	520	98	153	615	22	4.1	< 0.2	17	0.8	5.7	1233	< 0.4	407	742	71.1	226	35.1	2.47	24.6	4.6	30.2	6.6	22.4
205282	17	288	118	337	565	14	3.9	< 0.2	14	0.9	2.4	1067	< 0.4	4680	8220	779	2300	271	5.94	127	15.6	76.1	14.1	41.1
205283	6	187	35	282	1118	10		< 0.2	3	0.9	0.7	242	< 0.4	686	1620	192	733	124	2.39	88.1	13.3	72.0	13.5	37.7
205284	< 5	213	68	126	3519	44		< 0.2	4	1.0	1.0	819	< 0.4	423	998	103	356	56.7	1.62	36.2	5.6	31.6	6.0	17.4
205285	< 5	402	65	65	203	2	1.3	< 0.2	6	0.9	2.3	454	< 0.4	72.8	135	13.2	43.3	8.4	1.59	8.0	1.6	12.1	2.9	10.4
205286	23	207	59	728	24810	12		0.3	24	0.9	2.2	471	< 0.4	5850	9180	832	2340	307	8.47	170	25.1	141	28.7	93.0
205287	14	178	45	556	9914	53		0.3	4	0.8	0.9	367	< 0.4	4530	7170	651	1880	252	6.15	147	21.5	120	23.7	74.6
205288	8	275	34	464	2695	13		< 0.2	21	1.2	2.0	315	< 0.4	1070	2340	282	920	151	4.26	102	17.2	103	20.4	60.7
205289	< 5	257	150	66	612	3	3.2	< 0.2	5	1.1	1.9	1601	< 0.4	124	293	29.1	96.6	17.8	3.14	12.6	2.1	13.3	2.7	8.4
205290	< 5	293	148	88	752	6	4.0	< 0.2	5	1.1	1.8	1532	< 0.4	103	259	29.9	105	20.8	3.20	15.3	2.7	16.8	3.5	11.1
205291	< 5	227	153	76	651	< 2	3.4	< 0.2	5	1.0	1.4	1627	< 0.4	180	353	40.2	130	22.2	3.56	15.3	2.5	15.3	3.1	9.7
205292	< 5	244	139	74	591	2	3.2	< 0.2	6	1.1	1.6	1499	< 0.4	134	296	33.2	112	20.3	3.05	14.7	2.4	14.5	3.0	9.3
205293	< 5	1250	65	961	3195	< 2		< 0.2	70	1.0	28.6	382	0.7	237	453	54.5	174	40.3	2.39	42.3	19.1	168	43.9	160
205294	< 5	1080	89	126	1865	3		< 0.2	86	1.1	20.5	953	1.9	134	282	31.6	99.8	17.9	1.76	12.7	3.2	25.7	6.3	23.4
205295	< 5	461	28	234	2604	16		< 0.2	60	1.1	6.0	130	0.5	437	724	70.5	186	31.9	0.49	23.7	5.2	36.7	8.6	28.9
205296	6	256	140	153	710	27	6.0	< 0.2	14	1.1	4.8	1394	< 0.4	2220	3600	323	941	106	4.87	58.3	7.3	34.8	6.3	17.7
205297	< 5	218	129	64	361	< 2	2.1	< 0.2	5	1.1	1.3	1471	< 0.4	151	431	34.9	114	20.0	2.56	14.1	2.4	14.2	2.9	8.7
205298	< 5	233	145	65	620	5	3.7	< 0.2	5	1.2	1.7	1521	< 0.4	165	352	37.2	121	20.9	3.40	14.8	2.4	14.7	2.9	8.9
205299	< 5	312	148	64	584	10	3.1	< 0.2	8	0.9	3.6	1650	< 0.4	182	381	41.9	131	21.1	3.04	14.2	2.4	14.7	3.0	10.0
205300 Received as Pulp	52	972	119	2318	17760	4		0.3	544	2.5	0.9	99	1.5	1160	2430	284	948	227	12.6	230	48.8	364	88.1	305

Activation Laboratories Ltd. Report: A10-5364 rev 1

Analyte Symbol	As	Rb	Sr	Y	Zr	Mo	Ag	In	Sn	Sb	Cs	Ba	Bi	La	Ce	Pr	Nd	Sm	Eu	Gd	Tb	Dy	Ho	Er
Unit Symbol	ppm	ppm	ppm	ppm	ppm	ppm	ppm	ppm	ppm	ppm	ppm	ppm	ppm	ppm	ppm	ppm	ppm	ppm	ppm	ppm	ppm	ppm	ppm	ppm
Detection Limit	5	2	2	2	4	2	0.5	0.2	1	0.5	0.5	3	0.4	0.1	0.1	0.05	0.1	0.1	0.05	0.1	0.1	0.1	0.1	0.1
Analysis Method	FUS-MS	FUS-MS	FUS-ICP	FUS-ICP	FUS-ICP	FUS-MS	FUS-MS	FUS-MS	FUS-MS	FUS-MS	FUS-MS	FUS-ICP	FUS-MS	FUS-MS	FUS-MS	FUS-MS	FUS-MS	FUS-MS	FUS-MS	FUS-MS	FUS-MS	FUS-MS	FUS-MS	FUS-MS
205301	< 5	253	149	74	606	< 2	3.2	< 0.2	6	1.1	2.7	1688	< 0.4	164	351	38.6	129	22.4	3.42	15.7	2.5	15.3	3.1	9.2
205302	< 5	426	95	133	231	6	1.2	< 0.2	11	1.1	5.0	1060	< 0.4	566	1100	122	376	53.8	2.75	33.9	5.2	28.2	5.4	15.5
205303	< 5	268	27	462	179	< 2	0.8	< 0.2	9	0.7	2.5	81	< 0.4	182	434	56.3	206	62.9	1.04	70.9	16.9	125	29.2	93.1
205304	< 5	693	68	210	2848	2		< 0.2	34	1.0	5.1	854	< 0.4	219	437	49.3	143	27.3	1.80	21.0	5.6	46.0	12.0	44.6
205305	< 5	477	115	150	1122	15		< 0.2	29	0.9	6.5	1297	1.3	246	475	57.0	179	32.0	2.85	22.2	4.3	29.0	6.3	21.3
205306	< 5	1120	63	65	928	2	5.0	< 0.2	26	1.0	9.9	842	< 0.4	66.9	155	17.4	53.6	10.1	1.36	7.0	1.5	11.4	2.7	10.2
205307	< 5	677	11	36	472	< 2	2.6	0.2	63	1.0	0.9	111	< 0.4	139	293	22.7	52.2	8.0	0.15	5.6	1.2	9.2	2.1	7.3
205308	< 5	966	16	117	1078	< 2		0.3	50	1.1	6.7	220	1.2	85.0	217	22.5	64.9	15.1	0.37	12.2	2.9	22.2	5.1	17.8
205309	< 5	305	80	100	120	11	0.6	< 0.2	6	0.9	1.7	1009	< 0.4	445	862	95.9	290	40.4	2.09	24.8	3.7	20.6	4.0	12.0
205310	< 5	541	25	440	3332	< 2		< 0.2	52	1.3	5.8	427	< 0.4	1030	1970	196	478	55.3	1.73	39.0	8.1	60.6	14.8	54.0
205311	< 5	456	50	57	434	< 2	2.4	< 0.2	9	1.0	2.9	454	< 0.4	45.0	139	10.3	31.5	5.3	0.78	4.9	1.1	8.5	2.1	7.7
205312	< 5	333	40	42	376	< 2	2.0	< 0.2	6	0.9	2.1	325	< 0.4	75.9	161	17.4	52.8	8.4	0.94	5.5	0.9	6.1	1.4	4.9
205313	< 5	1130	12	12	49	< 2	< 0.5	< 0.2	10	0.8	5.4	58	< 0.4	6.2	17.0	1.43	4.6	0.9	0.16	0.7	0.2	1.4	0.4	1.6
205314	< 5	298	70	80	484	2	2.7	< 0.2	5	1.1	2.8	675	< 0.4	1220	2140	232	664	72.3	2.33	36.0	4.0	17.9	3.1	9.1
205315	< 5	453	44	177	1919	14		< 0.2	42	1.0	2.5	502	< 0.4	317	569	63.3	187	31.9	1.32	22.3	4.9	33.7	7.6	26.9
205316	< 5	746	60	205	1548	2		< 0.2	106	1.1	11.6	658	< 0.4	231	519	58.4	164	31.1	1.72	20.5	5.1	42.0	9.8	36.8
205317	< 5	719	32	239	2199	3		0.2	327	1.1	23.4	234	1.5	146	379	44.0	124	28.1	1.49	21.3	6.2	58.3	16.5	63.7
205318	< 5	1690	19	184	1473	9		< 0.2	136	1.0	11.6	203	4.8	43.6	186	23.8	70.2	19.6	0.72	17.9	4.3	31.7	7.2	25.2
205319	20	275	94	297	769	12	3.8	< 0.2	21	1.0	5.2	771	< 0.4	7360	12400	1110	3510	348	8.39	182	18.9	72.7	11.4	29.6
205320	< 5	822	8	214	3483	11		< 0.2	149	1.2	18.6	58	4.0	547	854	82.4	215	33.2	0.36	24.3	5.2	36.8	8.6	30.6
205321	< 5	535	72	218	1016	7		< 0.2	18	1.5	8.0	675	< 0.4	201	388	42.4	130	24.6	1.85	19.6	4.4	31.3	7.3	27.1
205322	< 5	151	24	369	10090	3		< 0.2	28	1.0	9.5	129	< 0.4	92.6	221	27.0	87.5	24.1	1.40	21.4	6.6	65.2	20.0	91.9
205323	< 5	123	15	422	3973	< 2		< 0.2	29	0.6	6.8	153	< 0.4	287	614	71.3	196	33.8	2.18	28.7	8.5	71.6	18.5	74.5
205324	< 5	96	18	780	14850	4		< 0.2	97	1.1	21.8	88	< 0.4	55.9	150	19.3	68.4	27.4	2.12	33.6	12.0	123	35.7	164
205325 Received as Pulp	< 5	< 2	2	2	97	< 2	< 0.5	< 0.2	< 1	0.8	< 0.5	21	< 0.4	1.4	2.9	0.35	1.2	0.3	< 0.05	0.3	< 0.1	0.4	< 0.1	0.3
205326	< 5	706	23	358	6920	2		0.2	45	1.3	20.0	249	< 0.4	81.5	218	26.5	85.8	27.2	0.91	28.3	8.0	70.1	17.0	65.1
205327	7	905	50	1388	7928	< 2		< 0.2	143	1.9	37.9	600	2.6	270	633	85.3	301	120	3.27	136	49.6	436	104	364
205328	< 5	593	61	227	6265	< 2		< 0.2	33	1.0	13.1	643	< 0.4	133	312	34.3	111	23.4	1.24	20.1	5.0	42.6	11.5	47.3
205329	< 5	1030	40	757	17590	2		0.3	210	1.7	34.9	488	1.3	162	467	49.4	161	46.7	1.32	47.7	14.6	140	39.7	174
205330	< 5	620	81	113	630	11	2.5	< 0.2	11	1.1	6.6	1390	< 0.4	236	436	39.0	121	18.8	1.51	13.6	2.4	16.0	3.6	12.6
205331	< 5	348	39	726	4678	< 2		< 0.2	20	1.2	3.6	372	0.7	280	766	79.8	268	67.6	2.29	60.6	15.2	111	27.8	101
205332	26	93	94	4703	3532	17		< 0.2	68	1.6	1.7	123	2.9	3830	8300	795	2310	607	14.8	496	138	1000	230	770
205333	< 5	304	39	271	297	4	2.3	< 0.2	5	1.1	2.8	191	< 0.4	196	301	24.4	68.0	15.3	1.72	12.8	4.1	39.2	10.6	49.1
205334	< 5	696	33	684	808	17	3.4	< 0.2	21	1.3	10.3	133	< 0.4	636	1340	125	368	88.7	2.11	69.6	17.3	131	30.8	104
205335	< 5	295	139	78	683	4	2.4	< 0.2	9	1.1	3.6	1543	< 0.4	186	400	35.6	121	19.6	3.11	13.6	2.3	14.0	3.0	10.2
205336	< 5	266	141	74	530	2	1.9	< 0.2	4	1.0	2.1	1574	< 0.4	132	306	29.6	105	18.1	2.78	12.6	2.1	12.9	2.7	8.4
205337	< 5	372	60	100	352	< 2	1.2	< 0.2	5	1.0	3.2	720	< 0.4	90.6	209	21.2	82.1	20.2	1.81	16.9	3.4	22.3	4.8	15.2
205338	< 5	422	76	83	897	< 2	3.1	< 0.2	8	1.2	2.6	1020	< 0.4	317	632	58.8	188	29.0	1.93	18.2	3.0	17.4	3.6	11.1
205339	< 5	367	74	72	494	< 2	1.8	< 0.2	5	1.1	1.7	826	< 0.4	215	451	45.5	155	26.8	1.95	17.9	3.0	17.9	3.7	11.4
205340	< 5	313	88	35	332	< 2	1.1	< 0.2	4	1.1	1.7	456	< 0.4	84.9	187	15.7	52.5	8.2	1.06	5.6	0.9	5.7	1.3	4.3
205341	< 5	178	154	140	1304	7		< 0.2	3	1.2	1.0	1764	< 0.4	202	434	48.2	183	33.8	4.37	25.5	4.2	25.6	5.3	15.8
205342	< 5	262	68	49	372	< 2	1.3	< 0.2	4	1.0	1.7	788	< 0.4	99.9	206	19.5	66.5	11.4	1.64	8.2	1.4	8.7	1.8	5.9
205343	< 5	266	79	58	449	< 2	1.6	< 0.2	5	1.2	1.8	911	< 0.4	96.3	216	20.0	71.0	12.9	1.85	9.8	1.7	10.9	2.3	7.2
205344	< 5	278	95	86	422	< 2	1.4	< 0.2	5	1.1	1.8	1024	< 0.4	158	353	32.6	113	19.9	2.20	14.7	2.6	16.2	3.5	10.7
205345	< 5	142	377	10	40	3	< 0.5	< 0.2	< 1	1.1	1.6	633	< 0.4	9.9	21.4	1.95	6.5	1.3	0.71	1.2	0.2	1.9	0.4	1.4
205346	< 5	257	130	57	431	< 2	1.5	< 0.2	5	1.1	1.8	1478	< 0.4	122	280	24.9	87.4	15.0	2.61	10.7	1.8	11.1	2.4	7.3
205347	< 5	160	501	18	197	77	0.7	< 0.2	2	1.2	11.4	1372	< 0.4	33.0	67.5	6.97	26.3	5.1	1.11	3.7	0.6	3.7	0.8	2.3
205348	< 5	24	352	5	548	7	1.8	< 0.2	< 1	1.0	0.7	134	< 0.4	9.1	17.2	1.60	5.7	1.0	0.82	0.7	0.1	0.8	0.2	0.7
205349	< 5	240	144	74	672	12	1.9	< 0.2	6	0.7	2.4	1236	< 0.4	121	256	27.0	86.0	16.2	2.41	12.3	2.2	14.1	2.9	8.8
205350 Received as Pulp	50	934	121	2365	18890	4		0.3	439	2.2	0.8	98	1.5	1220	2510	258	913	221	12.1	214	46.3	355	85.1	301

Activation Laboratories Ltd. Report: A10-5364 rev 1

Analyte Symbol	As	Rb	Sr	Y	Zr	Mo	Ag	In	Sn	Sb	Cs	Ba	Bi	La	Ce	Pr	Nd	Sm	Eu	Gd	Tb	Dy	Ho	Er
Unit Symbol	ppm	ppm	ppm	ppm	ppm	ppm	ppm	ppm	ppm	ppm	ppm	ppm	ppm	ppm	ppm	ppm	ppm	ppm	ppm	ppm	ppm	ppm	ppm	ppm
Detection Limit	5	2	2	2	4	2	0.5	0.2	1	0.5	0.5	3	0.4	0.1	0.1	0.05	0.1	0.1	0.05	0.1	0.1	0.1	0.1	0.1
Analysis Method	FUS-MS	FUS-MS	FUS-ICP	FUS-ICP	FUS-ICP	FUS-MS	FUS-MS	FUS-MS	FUS-MS	FUS-MS	FUS-MS	FUS-ICP	FUS-MS	FUS-MS	FUS-MS	FUS-MS	FUS-MS	FUS-MS	FUS-MS	FUS-MS	FUS-MS	FUS-MS	FUS-MS	FUS-MS
205351	< 5	297	33	1614	7047	4		< 0.2	21	1.1	1.2	199	0.5	250	890	88.7	279	84.2	3.15	81.1	22.4	183	48.0	179
205352	7	136	42	1126	4845	12		< 0.2	17	1.4	0.8	3638	4.8	243	757	62.9	185	48.9	2.38	41.8	11.5	95.2	24.7	94.8
205353	< 5	216	23	309	5703	2		< 0.2	19	1.1	0.6	376	< 0.4	110	350	31.8	99.0	27.2	1.20	23.3	6.5	56.6	14.9	56.7
205354	< 5	644	17	589	2924	11		< 0.2	18	1.0	3.9	230	2.6	46.7	141	20.4	83.7	33.7	1.10	37.9	10.9	89.3	22.3	76.5
205355	< 5	697	38	1020	18190	51		0.2	111	1.3	9.5	153	2.7	212	825	89.6	283	82.8	2.47	75.5	21.8	180	50.1	198
205356	< 5	228	52	975	30540	3		< 0.2	16	1.3	6.7	101	0.7	202	476	47.4	154	41.8	1.99	43.0	16.8	157	46.7	207
205357	< 5	485	46	1215	37610	6		< 0.2	18	1.1	10.0	165	< 0.4	269	657	65.0	208	57.6	2.61	56.7	21.1	204	62.4	264
205358	< 5	212	147	69	632	3	2.1	< 0.2	6	1.0	2.3	1489	< 0.4	172	350	31.7	107	17.3	2.82	12.2	2.0	12.5	2.7	8.9
205359	< 5	213	139	96	722	< 2	2.5	< 0.2	7	1.1	2.2	1381	< 0.4	457	889	81.5	265	36.2	3.22	21.8	3.3	19.1	3.9	11.7
205360	< 5	693	30	1157	5605	2		< 0.2	16	1.1	2.0	285	0.8	179	540	86.0	396	167	4.83	273	75.3	575	121	373
205361	< 5	786	58	883	6425	< 2		< 0.2	24	1.2	6.9	801	< 0.4	95.9	299	38.9	172	63.4	5.57	92.1	24.8	196	46.6	162
205362	< 5	340	9	116	1468	< 2		< 0.2	36	1.1	2.2	129	4.6	102	311	30.2	86.7	20.6	0.64	14.3	3.9	29.0	6.7	22.4
205363	< 5	663	69	203	2231	3		< 0.2	18	1.2	4.9	956	< 0.4	69.4	182	17.0	60.8	19.2	1.44	18.4	5.7	46.4	10.7	39.8
205364	< 5	536	114	113	2047	6		< 0.2	23	1.2	5.5	1134	< 0.4	210	491	49.4	165	28.7	2.48	18.3	3.5	23.7	5.5	19.6
205365	< 5	1110	27	219	4152	< 2		< 0.2	11	1.2	3.4	384	1.5	40.2	158	16.3	51.5	14.9	0.57	12.8	4.1	39.2	10.9	51.8
205366	8	277	123	226	1279	9		< 0.2	10	1.1	3.9	1254	< 0.4	5340	9010	780	2240	238	7.19	103	11.9	54.3	9.0	24.5
205367	< 5	261	139	79	724	< 2	2.4	< 0.2	10	1.2	1.9	1536	< 0.4	189	375	40.4	145	23.8	3.44	16.6	2.6	15.6	3.1	9.7
205368	< 5	241	135	82	702	< 2	2.5	< 0.2	6	1.2	2.0	1576	< 0.4	186	371	38.1	136	23.3	3.36	16.6	2.8	17.1	3.5	10.9
205369	< 5	252	99	150	243	6	0.8	< 0.2	10	1.1	4.1	1082	< 0.4	1580	3070	280	922	116	3.85	60.1	8.0	38.5	6.8	19.1
205370	< 5	429	32	565	7598	13		< 0.2	26	< 0.5	9.2	326	< 0.4	136	279	32.0	111	44.1	1.88	49.7	14.6	119	28.7	103
205371	< 5	272	146	63	477	3	1.9	< 0.2	4	< 0.5	2.0	1612	< 0.4	134	283	30.7	99.6	17.0	2.92	11.7	1.9	11.9	2.5	7.8
205372	< 5	237	135	92	623	3	2.4	< 0.2	7	< 0.5	1.9	1533	< 0.4	132	272	33.7	114	21.8	2.86	16.2	2.8	16.7	3.4	10.6
205373	< 5	531	21	90	1068	17		< 0.2	60	< 0.5	3.8	182	6.8	551	1070	122	346	44.5	0.73	21.1	2.9	15.7	3.3	12.0
205374	< 5	284	211	88	1080	5		< 0.2	9	< 0.5	2.2	2013	< 0.4	123	264	31.2	107	20.5	4.14	14.9	2.6	16.0	3.3	10.8
205375 Received as Pulp	< 5	< 2	2	< 2	37	< 2	< 0.5	< 0.2	< 1	< 0.5	< 0.5	22	< 0.4	1.6	3.1	0.33	1.0	0.2	< 0.05	0.2	< 0.1	0.2	< 0.1	0.1
205376	< 5	397	99	61	627	4	2.4	< 0.2	13	< 0.5	5.1	1125	< 0.4	86.1	181	20.8	70.4	13.7	2.21	10.3	1.8	11.0	2.3	7.3
205377	< 5	850	24	649	727	5	3.1	< 0.2	23	< 0.5	10.4	145	< 0.4	136	307	34.8	101	26.5	1.12	24.9	8.1	75.7	20.4	86.9
205378	< 5	263	128	61	346	21	1.3	< 0.2	9	< 0.5	3.9	1600	< 0.4	297	573	60.4	170	21.9	2.66	12.6	1.9	11.5	2.3	7.6
205379	< 5	1060	20	415	4903	5		< 0.2	74	< 0.5	14.3	333	1.1	51.7	258	33.3	96.6	34.2	0.84	32.5	9.2	83.3	20.0	76.5
205380	< 5	607	53	140	884	4	3.4	< 0.2	13	< 0.5	4.8	772	< 0.4	620	1170	129	363	48.9	1.10	27.7	4.0	22.9	4.8	15.2
205381	< 5	407	65	213	1388	17		< 0.2	11	< 0.5	4.3	571	< 0.4	341	725	92.6	295	52.2	2.00	36.1	6.4	38.8	8.1	25.5
205382	< 5	331	71	62	546	6	2.0	< 0.2	5	< 0.5	2.2	630	< 0.4	260	510	58.1	170	23.9	1.76	12.6	1.9	10.6	2.2	7.2
205383	21	263	86	377	868	8	3.2	< 0.2	19	< 0.5	3.3	828	< 0.4	5310	9860	998	3070	375	6.91	185	20.9	93.1	14.9	39.3
205384	< 5	287	79	69	459	7	1.6	< 0.2	5	< 0.5	2.0	923	< 0.4	470	914	104	302	42.2	2.03	21.3	2.8	14.4	2.8	8.3
205385	< 5	293	80	60	540	8	1.9	< 0.2	6	< 0.5	2.2	926	< 0.4	345	645	71.2	204	27.9	2.01	14.7	2.1	11.9	2.5	7.6
205386	< 5	331	90	63	611	7	2.2	< 0.2	6	< 0.5	2.4	1016	< 0.4	231	471	46.5	134	19.3	2.13	11.8	1.8	11.2	2.3	7.4
205387	< 5	306	14	200	1465	2		< 0.2	2	< 0.5	2.4	57	< 0.4	110	218	24.6	81.7	23.9	0.42	29.2	7.3	53.8	12.9	43.9
205388	9	295	117	218	416	17	1.2	< 0.2	9	< 0.5	1.6	1346	< 0.4	536	1060	125	388	64.9	3.49	43.6	7.0	42.2	8.4	25.5
205389	< 5	283	112	67	581	< 2	2.0	< 0.2	6	< 0.5	2.2	1329	< 0.4	594	1090	106	289	34.3	2.62	18.1	2.5	13.4	2.7	8.5
205390	13	286	104	222	514	4	1.9	< 0.2	11	< 0.5	2.8	1207	< 0.4	3080	5810	574	1940	211	5.65	103	11.5	50.3	8.3	22.4
205391	11	256	100	190	535	< 2	2.0	< 0.2	8	< 0.5	2.6	1148	< 0.4	2760	5010	478	1440	167	4.82	84.0	9.4	42.1	7.1	19.7
205392	< 5	299	101	117	480	2	1.5	< 0.2	8	< 0.5	3.1	1059	< 0.4	1010	1900	212	616	79.3	4.14	40.7	5.2	24.6	4.4	12.4
205393	< 5	297	113	101	633	6	2.0	< 0.2	8	< 0.5	3.0	1341	< 0.4	998	1850	193	544	66.2	3.55	33.8	4.5	21.5	3.9	11.2
205394	36	271	90	658	375	6	1.5	< 0.2	42	< 0.5	4.3	779	< 0.4	9160	16500	1670	5190	612	20.4	315	37.2	152	24.2	63.7
205395	< 5	716	52	35	306	< 2	1.1	< 0.2	11	< 0.5	4.9	576	1.7	80.3	167	18.6	56.6	10.8	1.07	6.9	1.4	9.7	2.2	7.5
205396	< 5	342	120	185	287	23	1.0	< 0.2	12	< 0.5	4.3	1141	< 0.4	1090	1860	192	530	70.3	3.70	42.4	6.6	36.2	7.1	21.0
205397	< 5	272	147	188	955	69	3.6	< 0.2	7	< 0.5	2.1	1090	< 0.4	812	1530	162	471	67.9	3.72	43.6	7.0	39.4	7.8	22.9
205398	< 5	191	171	131	1644	9		< 0.2	3	< 0.5	0.7	1758	< 0.4	238	460	60.8	211	37.6	5.12	26.9	4.5	25.4	5.1	15.3
205399	< 5	579	40	136	469	4	1.9	< 0.2	11	< 0.5	4.0	613	< 0.4	381	733	81.0	225	33.4	0.80	19.9	3.2	20.0	4.3	14.4
205400 Received as Pulp	53	897	120	2420	18810	3		0.3	465	0.5	0.8	98	1.5	1130	2340	265	910	223	12.3	213	50.6	360	85.3	301

Activation Laboratories Ltd. Report: A10-5364 rev 1

Analyte Symbol	As	Rb	Sr	Y	Zr	Mo	Ag	In	Sn	Sb	Cs	Ba	Bi	La	Ce	Pr	Nd	Sm	Eu	Gd	Tb	Dy	Ho	Er
Unit Symbol	ppm	ppm	ppm	ppm	ppm	ppm	ppm	ppm	ppm	ppm	ppm	ppm	ppm	ppm	ppm	ppm	ppm	ppm	ppm	ppm	ppm	ppm	ppm	ppm
Detection Limit	5	2	2	2	4	2	0.5	0.2	1	0.5	0.5	3	0.4	0.1	0.1	0.05	0.1	0.1	0.05	0.1	0.1	0.1	0.1	0.1
Analysis Method	FUS-MS	FUS-MS	FUS-ICP	FUS-ICP	FUS-ICP	FUS-MS	FUS-MS	FUS-MS	FUS-MS	FUS-MS	FUS-MS	FUS-ICP	FUS-MS	FUS-MS	FUS-MS	FUS-MS	FUS-MS	FUS-MS	FUS-MS	FUS-MS	FUS-MS	FUS-MS	FUS-MS	FUS-MS
205401	< 5	571	31	53	342	< 2	1.2	< 0.2	10	< 0.5	6.4	290	< 0.4	65.0	144	15.4	48.1	9.1	0.80	6.5	1.3	9.6	2.2	7.9
205402	17	422	50	567	7926	42		< 0.2	18	< 0.5	6.5	470	< 0.4	4730	8150	794	2630	294	6.90	162	21.2	109	20.6	60.0
205403	< 5	288	149	79	779	6	2.6	< 0.2	4	< 0.5	1.6	1861	< 0.4	108	237	29.4	104	20.2	3.35	14.7	2.4	15.1	3.1	9.5
205404	< 5	456	27	36	182	3	0.5	< 0.2	7	< 0.5	5.1	137	< 0.4	57.4	114	12.4	37.5	6.2	0.60	4.3	0.8	5.2	1.2	4.2
205405	< 5	344	36	51	522	< 2	1.6	< 0.2	5	< 0.5	1.9	227	< 0.4	198	377	43.6	128	17.8	1.02	9.1	1.3	7.9	1.8	6.4
205406	< 5	381	31	35	117	3	< 0.5	< 0.2	6	< 0.5	2.8	239	< 0.4	163	322	36.6	111	16.7	0.89	8.7	1.1	5.9	1.1	3.4
205407	< 5	256	75	76	956	6	3.2	< 0.2	5	< 0.5	2.0	663	< 0.4	634	1320	154	463	61.0	2.47	28.2	3.4	16.0	3.0	8.8
205408	< 5	271	77	11	231	4	0.8	< 0.2	3	< 0.5	1.8	783	< 0.4	54.6	108	10.6	30.3	3.9	1.37	2.1	0.3	1.9	0.4	1.4
205409	< 5	267	103	73	528	5	1.8	< 0.2	5	< 0.5	1.9	1185	< 0.4	90.5	198	20.8	68.3	13.5	1.95	10.3	1.9	12.6	2.7	8.5
205410	< 5	264	138	83	715	2	2.6	< 0.2	5	< 0.5	1.7	1678	< 0.4	147	311	34.4	112	20.4	2.96	14.9	2.5	15.7	3.3	10.1
205411	< 5	234	123	63	605	2	2.3	< 0.2	5	< 0.5	1.5	1399	< 0.4	52.2	128	13.7	52.1	11.2	2.42	9.6	1.7	10.9	2.3	7.3
205412	< 5	258	122	96	724	8	2.8	< 0.2	6	0.6	2.1	1327	< 0.4	154	310	35.8	124	22.5	2.87	17.7	2.9	17.8	3.6	11.2
205413	7	267	97	169	442	13	1.7	< 0.2	9	0.5	1.9	1098	< 0.4	2970	5510	520	1620	186	4.77	103	10.5	41.0	6.3	16.6
205414	13	240	86	237	303	7	1.1	< 0.2	11	0.6	2.2	1018	< 0.4	4540	8500	807	2470	282	6.22	149	14.0	58.6	9.0	23.7
205415	< 5	306	43	30	260	2	0.9	< 0.2	5	< 0.5	2.9	377	< 0.4	113	323	23.8	73.7	10.4	1.08	6.8	1.0	5.8	1.3	4.0
205416	< 5	244	84	12	76	< 2	< 0.5	< 0.2	6	< 0.5	0.9	528	< 0.4	149	285	27.7	79.8	8.4	1.54	4.1	0.4	1.9	0.4	1.2
205417	< 5	82	58	448	4667	16		< 0.2	5	< 0.5	0.5	458	< 0.4	896	1960	230	821	138	3.92	98.7	15.6	87.9	17.4	51.8
205418	< 5	88	46	572	4835	35		< 0.2	6	< 0.5	< 0.5	333	< 0.4	1120	2510	285	1090	186	4.14	133	19.2	114	22.3	67.3
205419	< 5	163	190	9	164	< 2	< 0.5	< 0.2	< 1	< 0.5	3.0	382	< 0.4	13.9	32.8	3.71	13.1	2.4	0.46	1.9	0.3	1.8	0.4	1.2
205420	< 5	216	28	327	1780	4		< 0.2	4	< 0.5	< 0.5	189	< 0.4	882	1920	212	683	109	3.44	75.6	12.6	73.4	14.5	42.6
205421	< 5	213	141	114	1807	2		< 0.2	< 1	0.5	< 0.5	992	< 0.4	378	762	86.2	285	42.4	3.95	28.3	4.3	24.2	4.8	15.3
205422	< 5	259	96	182	1693	76		< 0.2	5	0.7	1.1	987	< 0.4	483	1070	107	344	56.4	3.10	39.0	6.7	38.2	7.6	23.1
205423	15	233	82	669	11830	72		0.3	318	1.6	2.4	487	< 0.4	2230	3000	239	635	81.6	4.75	61.2	11.6	80.8	21.9	95.0
205424	< 5	150	96	192	2831	51		< 0.2	2	< 0.5	< 0.5	1148	< 0.4	515	1030	112	353	55.0	2.97	39.9	7.0	40.9	8.4	25.1
205425 Received as Pulp	< 5	2	2	< 2	47	< 2	< 0.5	< 0.2	< 1	< 0.5	< 0.5	22	< 0.4	1.6	3.5	0.33	0.8	0.1	< 0.05	0.2	< 0.1	0.2	< 0.1	0.1
205426	< 5	278	98	54	581	7	2.0	< 0.2	4	< 0.5	2.1	1228	< 0.4	72.4	164	14.9	49.0	9.8	2.12	8.4	1.6	10.0	2.1	6.8
205427	< 5	289	119	68	892	15	2.9	< 0.2	4	< 0.5	1.6	1215	< 0.4	779	1380	137	399	43.9	2.94	22.9	2.7	13.3	2.5	7.3
205428	< 5	284	73	55	592	8	1.9	< 0.2	4	< 0.5	1.9	765	< 0.4	274	511	55.6	169	23.2	1.75	13.6	2.0	10.4	2.1	6.5
205429	9	580	65	407	1459	24		< 0.2	14	0.5	6.1	574	< 0.4	3380	6330	622	1940	275	2.96	154	18.8	88.5	15.1	41.2
205430	< 5	248	115	89	648	4	2.2	< 0.2	4	< 0.5	1.1	1390	< 0.4	125	285	31.8	113	22.4	2.81	17.2	3.0	17.7	3.6	10.8
205431	< 5	192	111	90	722	5	2.5	< 0.2	3	< 0.5	0.7	1243	< 0.4	196	424	44.6	151	26.0	2.81	18.6	3.0	17.9	3.5	10.8
205432	< 5	221	118	64	605	4	2.0	< 0.2	4	< 0.5	1.6	1188	< 0.4	135	288	27.8	91.3	15.5	2.77	11.8	2.0	11.8	2.4	7.7
205433	< 5	533	58	61	200	< 2	0.6	< 0.2	6	0.7	5.5	473	< 0.4	314	595	59.2	167	23.0	1.16	13.3	1.9	10.5	2.1	6.5
205434	< 5	188	136	115	1282	8		< 0.2	2	< 0.5	< 0.5	1506	< 0.4	178	374	46.6	166	29.5	3.88	21.9	3.6	20.8	4.3	12.8
205435	< 5	330	135	90	146	< 2	< 0.5	< 0.2	11	< 0.5	2.5	1457	< 0.4	1310	2370	225	663	74.8	5.09	37.8	4.4	20.4	3.4	9.5
205436	< 5	154	506	45	53	507	< 0.5	< 0.2	1	< 0.5	6.7	211	< 0.4	8.9	23.8	3.13	16.4	7.8	1.47	8.2	1.8	11.3	2.4	6.9
205437	< 5	232	29	237	2856	6		< 0.2	6	< 0.5	< 0.5	287	< 0.4	774	1680	187	597	92.5	2.96	59.0	9.7	55.7	10.7	31.4
205438	< 5	250	79	124	821	6	2.9	< 0.2	2	< 0.5	1.0	759	< 0.4	332	619	66.3	206	32.2	2.20	21.8	3.8	22.7	4.7	14.9
205439	< 5	171	21	271	569	45	2.1	< 0.2	4	< 0.5	< 0.5	181	< 0.4	854	1800	192	579	88.6	2.24	56.6	10.0	59.4	11.9	35.3
205440	6	283	123	219	410	6	1.4	< 0.2	9	0.6	1.6	1310	< 0.4	2760	4870	435	1320	150	5.28	84.1	10.2	49.2	9.0	26.9
205441	< 5	202	102	192	7449	3		< 0.2	1	< 0.5	< 0.5	944	< 0.4	312	533	53.1	157	26.4	2.20	20.2	4.2	30.5	7.5	28.3
205442	< 5	219	45	737	4712	2		< 0.2	7	< 0.5	1.5	336	< 0.4	738	1400	150	496	111	4.28	99.7	20.7	143	31.9	104
205443	38	249	72	2734	9663	5		< 0.2	83	0.8	1.7	187	< 0.4	6010	12800	1390	4690	818	20.6	574	94.2	552	110	319
205444	< 5	88	13	340	5653	23		0.5	12	< 0.5	< 0.5	114	< 0.4	572	1300	164	593	102	2.58	71.5	11.8	72.0	14.9	47.4
205445	37	273	115	3023	193	4		< 0.2	7	0.6	1.0	335	< 0.4	7190	15100	1670	5620	966	24.2	677	110	632	125	355
205446	29	123	24	2399	986	73		< 0.2	14	< 0.5	1.1	299	< 0.4	5500	12200	1380	4870	834	16.7	583	89.0	504	98.0	274
205447	22	76	12	2451	16070	102		< 0.2	8	< 0.5	1.7	80	< 0.4	4140	8970	1000	3290	597	13.4	430	68.4	395	78.2	218
205448	6	167	39	614	4698	20		< 0.2	8	< 0.5	1.2	593	< 0.4	1260	2930	341	1290	215	6.37	150	23.7	133	26.2	77.0
205449	10	112	16	937	7156	35		0.3	13	< 0.5	1.5	188	< 0.4	2160	4780	535	1910	316	7.62	216	34.7	201	39.5	118
205450 Received as Pulp	48	888	119	2338	18770	3		0.3	450	1.4	0.5	97	1.5	1150	2420	262	943	227	12.7	222	49.8	360	85.0	298

Analyte Symbol	Tm	Yb	Lu	Hf	Ta	W	Ti	Pb	Th	U
Unit Symbol	ppm	ppm	ppm	ppm	ppm	ppm	ppm	ppm	ppm	ppm
Detection Limit	0.05	0.1	0.04	0.2	0.1	1	0.1	5	0.1	0.1
Analysis Method	FUS-MS	FUS-MS	FUS-MS	FUS-MS	FUS-MS	FUS-MS	FUS-MS	FUS-MS	FUS-MS	FUS-MS
205001	2.41	16.0	2.57	45.3	2.5	< 1	0.9	34	37.4	4.4
205002	34.3	194	27.9	378	4.7	< 1	0.2	98	1220	94.9
205003	5.93	51.1	9.54	98.6	34.4	3	3.6	427	121	28.1
205004	4.83	35.7	5.40	152	10.5	< 1	1.2	124	262	8.3
205005	1.34	9.3	1.62	22.4	1.2	< 1	0.7	34	40.6	2.8
205006	4.89	31.0	4.74	37.1	1.2	< 1	0.7	44	79.2	7.7
205007	0.62	4.1	0.63	7.3	2.6	< 1	2.3	17	3.8	0.8
205008	6.96	44.1	6.55	40.0	6.9	1	1.2	63	144	15.4
205009	6.22	39.7	5.97	31.2	4.9	< 1	1.2	60	172	12.9
205010	3.69	28.6	5.20	76.2	9.0	< 1	1.4	76	198	10.6
205011	9.57	62.6	9.60	60.8	30.3	2	1.9	102	206	34.0
205012	7.91	50.0	7.52	41.7	5.9	< 1	1.3	64	155	18.1
205013	7.39	46.9	6.86	38.6	4.6	< 1	1.2	56	152	16.7
205014	0.96	9.6	2.24	8.8	2.6	< 1	0.9	13	3.8	0.6
205015	0.77	6.4	1.29	0.8	0.7	< 1	1.2	13	2.4	0.3
205016	1.05	6.1	0.90	10.8	1.8	< 1	0.2	135	39.5	57.1
205017	7.81	56.0	9.25	73.2	28.7	8	1.4	66	496	19.7
205018	2.79	20.3	3.48	60.0	5.2	< 1	1.6	57	44.9	9.3
205019	27.7	173	23.5	117	74.7	13	1.2	138	191	110
205020	7.82	44.5	6.39	67.8	42.2	3	1.1	98	43.0	40.3
205021	11.4	81.6	12.1	160	41.3	7	1.1	92	149	49.6
205022	18.0	111	15.2	140	33.4	12	1.5	128	218	78.2
205023	70.4	443	60.6	438	85.6	43	0.2	248	764	277
205024	94.1	642	93.1	983	70.2	27	0.8	313	627	322
205025 Received as Pulp	< 0.05	0.2	< 0.04	1.3	< 0.1	< 1	< 0.1	< 5	0.5	0.3
205026	8.74	51.5	7.51	57.9	2.3	< 1	0.6	46	209	18.4
205027	46.6	262	36.0	92.9	< 0.1	< 1	0.2	110	1250	111
205028	5.07	31.3	4.67	15.2	4.0	< 1	1.0	53	141	11.2
205029	2.80	17.9	2.83	48.8	2.9	< 1	0.9	38	45.1	4.2
205030	2.21	18.3	3.10	204	56.5	2	1.2	83	20.4	55.2
205031	1.32	8.5	1.33	22.0	2.7	< 1	1.1	48	33.8	3.0
205032	5.27	40.5	7.03	65.9	42.1	< 1	3.5	356	117	25.6
205033	4.72	39.6	6.90	78.3	305	21	5.3	693	256	266
205034	0.53	3.4	0.55	11.3	1.1	< 1	1.2	55	107	12.6
205035	0.57	3.8	0.59	13.1	0.8	< 1	1.2	57	123	11.3
205036	0.54	3.5	0.56	13.7	0.9	< 1	1.2	56	111	11.9
205037	0.81	5.2	0.82	12.1	1.8	< 1	1.3	49	34.2	4.1
205038	0.33	2.0	0.29	3.7	0.3	< 1	0.2	11	5.6	0.8
205039	3.88	30.8	5.14	66.0	13.6	2	2.0	556	107	12.5
205040	5.27	36.1	5.53	51.1	7.8	< 1	1.3	93	105	9.7
205041	43.3	307	44.4	488	98.2	5	0.8	233	1900	127
205042	8.11	55.1	8.80	157	111	8	1.4	188	84.3	98.1
205043	5.61	38.5	6.19	159	133	9	1.2	283	81.5	116
205044	12.9	82.8	12.9	245	233	24	1.4	232	201	211
205045	44.5	310	49.5	792	285	35	1.2	301	416	291
205046	11.1	72.1	12.0	147	68.0	13	1.5	117	417	63.9
205047	44.2	289	44.6	462	94.1	41	0.4	208	519	242
205048	44.7	280	41.3	420	46.2	23	0.9	180	457	181
205049	8.60	49.9	6.72	31.4	11.4	7	1.4	62	110	30.2
205050 Received as Pulp	52.2	343	52.3	535	135	5	1.6	325	348	74.6

Analyte Symbol	Tm	Yb	Lu	Hf	Ta	W	Ti	Pb	Th	U
Unit Symbol	ppm	ppm	ppm	ppm	ppm	ppm	ppm	ppm	ppm	ppm
Detection Limit	0.05	0.1	0.04	0.2	0.1	1	0.1	5	0.1	0.1
Analysis Method	FUS-MS	FUS-MS	FUS-MS	FUS-MS	FUS-MS	FUS-MS	FUS-MS	FUS-MS	FUS-MS	FUS-MS
205051	3.32	21.5	3.38	24.9	1.2	1	0.5	35	67.4	6.5
205052	6.25	51.9	10.0	98.0	40.7	4	3.9	636	138	31.3
205053	6.95	50.7	8.38	60.9	27.0	3	4.1	334	156	19.2
205054	9.40	75.0	13.6	134	40.9	6	7.0	602	518	38.1
205055	5.90	51.9	9.91	86.0	27.3	2	2.6	439	130	22.3
205056	2.88	18.5	2.98	30.2	1.6	< 1	0.7	36	65.2	7.1
205057	5.88	39.3	6.55	200	6.2	< 1	0.3	34	194	18.4
205058	3.59	21.6	3.32	40.3	3.8	2	0.6	34	113	8.3
205059	1.48	10.7	2.02	28.5	1.8	< 1	0.5	24	17.9	2.3
205060	1.51	9.6	1.56	23.6	2.6	5	1.4	65	284	19.2
205061	4.01	26.6	4.41	93.0	13.8	1	1.1	75	144	12.0
205062	16.1	114	17.8	270	27.2	6	1.5	101	277	53.0
205063	0.22	1.1	0.15	18.0	0.2	< 1	0.2	15	280	1.5
205064	24.0	167	27.8	421	72.4	16	1.1	131	856	112
205065	3.44	21.9	3.40	30.0	14.5	4	1.8	87	72.9	9.7
205066	16.1	122	23.8	279	110	20	0.9	117	921	87.6
205067	215	1280	185	769	429	77	0.3	726	2240	867
205068	53.3	323	45.1	310	113	26	0.9	163	672	163
205069	85.8	562	88.1	727	201	33	0.9	322	761	337
205070	5.38	37.3	5.98	90.6	20.3	5	1.3	70	108	17.4
205071	40.3	239	32.3	143	69.2	19	0.7	119	292	118
205072	11.5	79.8	12.9	144	57.2	4	1.2	73	129	46.9
205073	62.0	390	57.9	251	98.5	27	1.2	227	657	207
205074	75.0	502	76.9	768	185	21	0.6	245	590	265
205075 Received as Pulp	0.06	0.4	0.07	1.4	0.2	< 1	< 0.1	< 5	1.3	0.4
205076	41.8	247	33.2	131	55.2	28	0.7	146	490	153
205077	18.1	113	15.8	90.7	25.7	14	1.3	104	225	83.1
205078	14.0	86.3	11.9	86.0	19.6	10	1.4	108	181	57.1
205079	1.65	10.3	1.65	17.0	3.0	1	1.1	52	23.8	2.2
205080	12.3	83.4	12.7	104	32.7	5	1.4	92	141	37.5
205081	4.58	27.4	4.18	31.9	4.3	2	1.2	79	128	21.1
205082	17.7	125	19.7	403	40.5	12	1.2	129	162	86.7
205083	1.55	10.1	1.43	17.7	2.3	< 1	0.9	47	33.2	3.1
205084	2.53	18.1	3.18	18.9	3.8	< 1	1.2	53	25.1	4.3
205085	3.67	25.4	4.14	27.7	5.8	< 1	1.2	49	47.7	6.3
205086	8.02	59.0	10.0	151	35.0	< 1	0.9	64	536	30.8
205087	20.2	143	22.8	53.6	35.8	6	0.9	127	621	37.5
205088	10.2	71.7	12.4	174	27.7	< 1	0.8	895	164	32.3
205089	11.3	79.7	13.3	140	32.0	3	1.1	117	116	33.6
205090	14.3	107	18.0	249	72.3	7	1.5	166	286	72.2
205091	6.08	42.6	7.23	106	16.6	2	0.9	84	40.1	16.9
205092	0.87	6.2	0.93	16.8	8.3	3	2.3	108	33.0	3.5
205093	3.23	22.8	3.59	26.2	12.6	< 1	1.4	76	177	19.5
205094	2.07	13.8	2.20	10.3	2.3	< 1	1.4	105	68.3	7.8
205095	3.71	21.4	2.57	12.4	3.2	< 1	1.1	60	726	16.0
205096	0.76	6.0	1.05	32.6	3.4	< 1	1.0	51	29.4	5.1
205097	6.46	43.1	6.84	103	17.0	< 1	1.4	84	54.8	25.1
205098	86.0	517	72.5	676	252	49	0.3	342	573	324
205099	3.79	30.1	5.33	119	23.0	< 1	1.8	135	250	18.2
205100 Received as Pulp	51.2	354	57.8	534	130	4	1.7	355	334	76.0

Analyte Symbol	Tm	Yb	Lu	Hf	Ta	W	Ti	Pb	Th	U
Unit Symbol	ppm	ppm	ppm	ppm	ppm	ppm	ppm	ppm	ppm	ppm
Detection Limit	0.05	0.1	0.04	0.2	0.1	1	0.1	5	0.1	0.1
Analysis Method	FUS-MS	FUS-MS	FUS-MS	FUS-MS	FUS-MS	FUS-MS	FUS-MS	FUS-MS	FUS-MS	FUS-MS
205101	4.77	34.7	5.75	78.4	19.6	< 1	1.6	92	97.7	21.7
205102	7.59	55.1	8.89	104	30.6	< 1	1.6	107	146	28.3
205103	15.0	110	18.4	154	39.1	2	1.4	124	171	51.2
205104	14.8	112	19.3	209	64.2	6	1.7	174	475	76.4
205105	15.3	122	22.2	354	51.9	2	1.3	162	303	68.7
205106	58.2	413	67.5	86.4	19.1	4	1.7	280	578	178
205107	11.6	80.8	13.1	70.9	25.6	2	1.4	95	167	43.4
205108	47.4	280	38.0	114	58.2	11	1.0	148	494	116
205109	24.3	157	24.4	120	69.0	9	1.6	135	208	108
205110	4.42	26.8	3.74	13.8	8.1	< 1	1.5	95	90.4	21.8
205111	16.5	104	16.3	122	6.5	< 1	0.4	57	338	35.5
205112	15.5	104	17.4	124	32.5	5	1.5	131	122	75.1
205113	24.7	179	30.5	147	123	4	1.4	160	393	145
205114	12.1	74.6	11.1	19.4	20.9	8	1.6	138	376	100
205115	17.5	111	17.3	119	7.9	< 1	0.2	53	375	39.3
205116	76.8	567	96.8	422	239	9	1.1	297	563	312
205117	17.8	128	20.5	104	60.1	< 1	1.4	208	223	70.1
205118	95.3	636	98.2	301	151	8	0.7	280	506	302
205119	71.0	479	75.1	258	90.7	5	1.3	203	285	203
205120	7.73	56.1	9.34	63.7	25.4	1	1.8	269	386	68.3
205121	277	1900	301	1070	516	49	0.9	990	2490	1020
205122	49.2	308	45.7	92.8	75.1	13	0.8	175	638	153
205123	137	879	134	367	274	42	< 0.1	401	1080	388
205124	63.7	381	51.6	209	96.6	21	1.3	255	775	214
205125 Received as Pulp	< 0.05	0.2	< 0.04	0.9	< 0.1	< 1	< 0.1	< 5	0.7	0.2
205126	28.5	170	24.0	71.0	48.2	14	1.0	119	226	86.7
205127	63.6	413	65.1	399	109	29	0.6	265	786	259
205128	9.01	54.4	7.56	49.6	17.0	4	1.3	92	84.7	29.5
205129	1.30	8.7	1.26	12.3	4.4	1	1.1	54	27.0	3.5
205130	45.5	239	29.0	695	0.6	4	0.3	145	1630	136
205131	3.08	20.4	2.98	33.1	5.6	2	1.0	65	73.7	6.9
205132	2.32	15.8	2.44	8.7	6.1	3	1.2	62	177	9.6
205133	2.05	13.0	1.96	13.1	2.5	4	1.0	57	315	7.4
205134	2.71	18.7	3.03	34.2	4.7	3	1.4	85	42.7	5.9
205135	1.95	12.6	1.78	8.9	3.8	2	1.2	64	251	8.0
205136	1.09	7.6	1.24	7.7	4.9	2	0.5	63	159	17.0
205137	12.1	87.7	15.7	398	6.9	2	0.5	80	165	51.4
205138	12.0	68.7	9.14	75.5	1.3	1	0.5	47	1290	22.0
205139	3.42	20.7	2.79	40.8	1.3	1	0.7	43	78.6	7.4
205140	6.38	40.6	5.73	90.2	8.2	2	0.7	96	187	16.3
205141	17.8	119	18.7	129	3.8	5	0.3	76	318	35.4
205142	8.03	51.6	7.64	34.2	5.7	1	0.5	57	303	24.9
205143	3.85	27.4	4.76	18.1	5.0	1	0.4	39	103	8.4
205144	86.6	494	61.5	71.7	< 0.1	5	0.3	219	4760	208
205145	8.85	63.3	11.0	361	7.6	< 1	0.4	50	187	28.8
205146	38.2	304	59.1	2310	18.6	2	0.3	181	565	175
205147	16.0	104	16.5	132	8.1	1	0.3	63	358	38.7
205148	16.2	105	16.3	122	7.1	1	0.4	61	365	38.9
205149	17.7	116	18.6	137	7.8	2	0.2	65	401	43.9
205150 Received as Pulp	49.8	341	55.0	505	141	5	1.4	382	343	77.3

Analyte Symbol	Tm	Yb	Lu	Hf	Ta	W	Ti	Pb	Th	U
Unit Symbol	ppm	ppm	ppm	ppm	ppm	ppm	ppm	ppm	ppm	ppm
Detection Limit	0.05	0.1	0.04	0.2	0.1	1	0.1	5	0.1	0.1
Analysis Method	FUS-MS	FUS-MS	FUS-MS	FUS-MS	FUS-MS	FUS-MS	FUS-MS	FUS-MS	FUS-MS	FUS-MS
205151	15.8	103	16.2	115	6.6	1	0.3	59	346	37.9
205152	18.0	114	17.9	119	6.7	1	0.2	60	389	42.1
205153	18.4	118	18.4	114	8.1	2	0.2	59	396	43.8
205154	7.89	56.2	9.05	51.7	35.6	5	1.8	123	137	51.1
205155	17.0	109	17.2	122	7.0	< 1	0.2	56	359	39.0
205156	31.6	208	31.5	129	113	11	1.7	457	360	145
205157	26.8	180	26.9	191	77.5	6	1.7	129	283	80.6
205158	1.83	13.5	2.17	23.1	5.9	2	1.3	141	359	42.5
205159	11.9	88.7	14.5	92.3	22.2	3	1.3	145	363	60.0
205160	9.08	60.0	9.07	47.5	19.1	4	1.2	82	125	30.5
205161	1.23	8.0	1.20	16.2	2.0	1	0.7	47	22.1	2.2
205162	16.5	107	16.9	112	8.1	2	0.2	56	344	36.6
205163	18.3	121	19.5	141	8.6	3	0.2	64	372	42.8
205164	19.1	121	18.8	126	6.6	1	0.5	62	401	44.1
205165	19.3	123	19.2	136	7.0	< 1	0.2	53	411	45.4
205166	20.8	130	20.3	136	7.1	2	0.2	57	427	46.5
205167	17.4	111	17.6	126	8.2	1	0.2	60	375	41.6
205168	20.9	131	20.3	138	7.1	2	0.3	62	425	47.5
205169	18.5	119	18.7	151	6.7	2	0.2	64	455	47.3
205170	15.7	101	15.9	125	8.0	1	0.4	58	331	36.9
205171	18.3	116	18.0	131	6.3	2	0.3	58	382	41.3
205172	15.7	106	17.1	142	9.0	2	0.3	60	371	39.2
205173	19.5	124	19.2	137	6.2	1	0.3	60	408	45.0
205174	18.2	117	18.3	125	7.8	1	0.2	58	438	46.4
205175 Received as Pulp	< 0.05	0.2	< 0.04	1.0	< 0.1	< 1	< 0.1	< 5	0.5	0.2
205176	5.45	36.9	5.74	59.6	9.3	< 1	1.4	91	91.5	10.3
205177	4.74	31.5	4.76	58.7	10.4	4	1.3	157	90.3	10.0
205178	16.1	101	15.4	116	6.9	1	0.5	63	338	37.0
205179	16.0	104	16.5	118	8.9	1	0.3	55	344	38.7
205180	13.9	90.6	14.4	107	9.0	5	0.4	53	311	33.1
205181	15.4	101	16.0	129	8.1	2	0.4	60	337	37.5
205182	45.0	307	43.3	203	104	22	0.8	150	3460	163
205183	26.0	182	27.4	423	136	13	1.6	286	839	97.4
205184	188	1390	213	3090	237	102	0.4	467	2560	947
205185	46.6	355	56.3	1100	814	121	0.9	564	1090	746
205186	22.0	150	21.1	108	50.1	11	1.4	99	1690	51.1
205187	33.4	240	35.5	627	133	20	0.6	123	618	153
205188	53.2	376	59.0	1130	186	64	0.8	331	459	365
205189	3.19	23.9	3.85	76.3	35.2	3	1.4	105	31.8	38.1
205190	1.50	10.0	1.52	16.0	4.1	1	1.3	63	22.7	4.4
205191	7.12	50.7	7.29	50.3	62.2	13	1.7	165	166	86.8
205192	27.5	175	23.4	214	68.0	10	2.2	651	7510	59.4
205193	32.1	231	35.7	417	204	24	1.5	286	277	249
205194	48.7	374	56.4	387	475	51	1.4	288	1020	273
205195	61.3	481	82.8	3090	3020	276	0.7	2550	1180	3260
205196	8.07	61.7	10.7	149	1020	84	0.8	726	200	777
205197	15.6	111	16.4	211	330	24	1.8	636	357	263
205198	156	899	116	695	233	88	1.2	589	1030	614
205199	70.9	454	63.8	516	172	74	2.2	415	648	415
205200 Received as Pulp	50.6	344	50.7	494	119	5	1.6	342	334	76.9

Analyte Symbol	Tm	Yb	Lu	Hf	Ta	W	Ti	Pb	Th	U
Unit Symbol	ppm	ppm	ppm	ppm	ppm	ppm	ppm	ppm	ppm	ppm
Detection Limit	0.05	0.1	0.04	0.2	0.1	1	0.1	5	0.1	0.1
Analysis Method	FUS-MS	FUS-MS	FUS-MS	FUS-MS	FUS-MS	FUS-MS	FUS-MS	FUS-MS	FUS-MS	FUS-MS
205201	19.2	122	19.0	134	8.5	3	0.4	67	352	46.1
205202	24.8	156	21.7	65.5	30.3	7	1.4	159	239	97.2
205203	85.3	544	75.2	283	102	31	0.5	516	1330	587
205204	2.82	18.3	2.62	17.6	5.3	2	1.2	71	83.2	18.7
205205	17.5	115	16.7	51.7	19.6	9	1.7	134	1630	76.0
205206	18.0	114	17.7	136	7.1	1	0.3	47	399	37.3
205207	21.8	138	21.6	142	7.9	2	0.2	52	449	42.0
205208	1.24	9.4	1.53	30.4	3.2	< 1	1.1	60	58.2	7.3
205209	18.6	119	18.6	127	6.3	< 1	0.3	50	411	37.7
205210	21.3	136	21.4	140	6.1	1	0.2	51	444	42.0
205211	15.3	99.5	15.8	125	6.2	< 1	0.3	46	382	33.2
205212	18.9	121	18.9	129	5.9	1	0.2	49	425	38.4
205213	18.0	116	18.4	125	9.3	1	0.2	45	372	35.6
205214	5.88	42.1	6.61	50.7	27.6	4	1.8	82	120	22.5
205215	19.8	126	19.6	131	6.4	1	0.2	54	409	38.0
205216	2.90	18.8	2.73	20.6	8.1	3	1.3	58	91.4	16.8
205217	15.1	98.0	15.5	124	10.2	< 1	0.5	51	235	24.7
205218	21.0	132	20.5	147	6.2	1	0.3	53	428	40.4
205219	3.84	25.9	4.18	50.7	4.9	< 1	0.6	44	111	8.9
205220	1.82	13.0	2.00	35.7	3.7	< 1	1.2	53	52.7	7.3
205221	9.76	63.1	9.59	46.5	26.3	2	1.8	83	184	33.1
205222	7.79	58.9	9.23	109	19.5	4	1.7	73	69.1	34.9
205223	2.52	14.7	2.00	11.5	5.0	3	1.0	68	133	23.8
205224	4.12	30.1	4.48	56.8	14.8	4	1.5	76	113	23.8
205225 Received as Pulp	< 0.05	0.2	< 0.04	1.0	< 0.1	< 1	< 0.1	< 5	0.6	0.2
205226	17.1	107	17.2	123	6.4	< 1	0.4	63	374	34.4
205227	16.4	108	17.1	119	8.0	< 1	0.3	60	406	37.0
205228	19.0	121	18.9	127	6.3	1	0.3	54	393	36.2
205229	20.1	129	20.1	157	8.0	1	0.2	79	446	40.6
205230	19.9	118	16.9	124	1.1	2	0.6	62	396	33.7
205231	26.9	152	22.2	329	3.9	1	0.3	73	922	66.7
205232	10.9	62.3	8.93	11.0	2.6	< 1	0.6	45	311	23.2
205233	126	1080	177	2590	280	29	1.4	1950	10200	387
205234	50.7	555	114	1270	132	14	3.7	509	2080	119
205235	35.6	203	26.4	155	4.6	6	1.3	124	612	50.9
205236	53.8	298	37.6	20.4	3.4	7	1.4	128	1040	86.3
205237	130	708	89.5	129	23.0	11	0.6	274	2680	222
205238	18.5	160	26.1	543	49.4	17	1.5	175	1710	77.3
205239	2.53	19.0	2.90	52.7	15.6	2	2.0	80	97.7	6.3
205240	23.4	173	26.0	251	515	42	1.2	7870	682	423
205241	1.18	8.1	1.27	12.9	6.8	< 1	0.9	89	347	21.8
205242	0.32	2.2	0.34	2.6	2.1	< 1	1.4	108	211	34.8
205243	1.60	13.0	2.64	48.9	6.4	23	0.9	151	302	73.2
205244	2.56	18.7	3.28	104	6.4	5	1.1	144	442	53.6
205245	1.58	13.3	2.50	70.3	9.0	2	1.6	87	54.5	16.2
205246	1.84	13.2	2.14	16.1	3.7	7	1.0	37	97.0	9.0
205247	1.22	7.9	1.24	16.3	2.0	1	0.9	44	35.5	2.8
205248	1.94	12.0	1.76	19.3	1.7	< 1	1.4	65	301	13.1
205249	4.07	24.3	3.45	39.0	3.0	2	0.8	41	65.0	4.8
205250 Received as Pulp	52.6	360	56.4	475	126	5	1.6	302	335	68.7

Analyte Symbol	Tm	Yb	Lu	Hf	Ta	W	Ti	Pb	Th	U
Unit Symbol	ppm	ppm	ppm	ppm	ppm	ppm	ppm	ppm	ppm	ppm
Detection Limit	0.05	0.1	0.04	0.2	0.1	1	0.1	5	0.1	0.1
Analysis Method	FUS-MS	FUS-MS	FUS-MS	FUS-MS	FUS-MS	FUS-MS	FUS-MS	FUS-MS	FUS-MS	FUS-MS
205251	2.66	19.2	3.08	33.8	10.2	3	1.5	38	52.5	7.9
205252	9.07	63.6	9.40	133	29.9	5	1.9	170	115	20.6
205253	20.9	135	19.3	120	29.9	4	1.2	171	4050	124
205254	30.1	201	29.5	81.0	44.4	6	1.4	159	5950	121
205255	13.0	88.9	13.0	101	44.8	4	1.7	228	138	47.3
205256	9.70	68.8	10.2	158	45.7	4	1.6	115	240	30.3
205257	6.22	45.2	7.03	112	23.8	5	0.9	87	112	17.0
205258	0.81	5.6	0.91	4.7	1.9	1	1.0	48	83.7	2.3
205259	0.20	1.5	0.23	1.4	1.4	< 1	1.1	36	7.8	0.6
205260	0.53	3.5	0.56	9.8	1.3	< 1	0.7	36	22.4	1.9
205261	1.38	8.9	1.38	18.1	2.7	2	1.1	43	24.1	2.4
205262	1.37	9.2	1.49	28.3	2.6	1	0.7	40	74.1	5.1
205263	11.4	74.0	11.6	129	4.8	3	2.5	1080	13000	1280
205264	1.38	11.5	1.96	15.4	8.1	1	1.5	50	70.9	9.8
205265	1.25	8.3	1.31	14.3	3.0	< 1	1.4	72	221	17.4
205266	1.37	10.0	1.67	12.1	2.1	1	1.7	87	484	19.0
205267	0.66	4.7	0.79	5.2	1.9	2	1.0	79	266	16.2
205268	1.90	14.5	2.34	12.7	6.3	1	1.7	52	50.1	15.1
205269	2.13	13.9	2.15	29.1	3.4	< 1	0.6	35	19.9	2.7
205270	4.45	37.7	6.27	125	129	20	0.9	100	183	82.9
205271	22.0	163	24.6	312	123	44	0.8	86	573	86.0
205272	2.70	21.4	3.47	53.7	23.4	3	1.9	64	69.6	33.3
205273	1870	12500	1710	320	< 0.1	102	0.2	1790	4710	1920
205274	10.4	73.1	10.9	12.5	10.8	3	0.6	75	622	24.3
205275 Received as Pulp	< 0.05	0.3	0.05	1.0	< 0.1	< 1	< 0.1	< 5	0.6	0.2
205276	11.2	70.5	10.2	47.7	7.3	2	1.0	50	203	23.1
205277	1.50	10.2	1.62	14.3	5.5	2	1.1	68	333	26.8
205278	66.6	471	71.7	356	169	14	1.4	196	777	233
205279	12.1	83.7	12.0	161	52.1	6	1.7	85	126	43.5
205280	4.28	26.6	3.83	19.6	5.3	4	1.4	59	610	12.1
205281	3.57	23.2	3.29	18.3	11.7	4	2.4	104	107	9.6
205282	6.35	41.8	6.10	17.8	16.6	6	1.5	87	683	32.6
205283	5.20	31.7	4.77	24.4	3.0	1	0.6	38	132	10.9
205284	2.65	18.0	2.99	67.2	4.0	1	0.8	37	65.6	5.5
205285	1.81	12.8	2.03	9.6	9.8	4	1.8	92	159	23.6
205286	15.9	117	19.9	492	39.8	16	1.0	84	419	36.4
205287	12.0	85.9	14.0	208	31.0	7	0.8	50	380	25.1
205288	8.98	56.9	8.59	63.8	12.9	3	1.0	95	224	22.7
205289	1.28	8.4	1.32	15.7	2.2	1	1.1	55	29.8	2.4
205290	1.70	11.2	1.70	19.5	3.0	1	1.2	60	28.2	2.9
205291	1.42	9.2	1.45	16.4	2.2	1	0.9	51	29.4	2.6
205292	1.42	9.1	1.43	15.8	2.2	2	1.0	53	24.2	2.9
205293	28.8	204	30.6	233	116	8	5.7	436	663	20.8
205294	4.55	33.7	5.28	88.7	50.4	4	4.8	380	187	12.4
205295	5.07	36.0	5.53	95.7	30.3	1	8.8	186	153	13.5
205296	2.55	16.6	2.62	20.4	3.4	4	1.1	56	350	13.5
205297	1.31	8.6	1.37	10.4	3.1	2	0.8	50	86.4	3.1
205298	1.35	8.9	1.41	18.1	2.3	2	1.0	52	36.4	3.1
205299	1.69	12.4	2.00	15.7	4.1	2	1.4	51	72.5	8.8
205300 Received as Pulp	51.6	358	54.9	529	127	7	1.6	366	350	83.1

Analyte Symbol	Tm	Yb	Lu	Hf	Ta	W	Ti	Pb	Th	U
Unit Symbol	ppm	ppm	ppm	ppm	ppm	ppm	ppm	ppm	ppm	ppm
Detection Limit	0.05	0.1	0.04	0.2	0.1	1	0.1	5	0.1	0.1
Analysis Method	FUS-MS	FUS-MS	FUS-MS	FUS-MS	FUS-MS	FUS-MS	FUS-MS	FUS-MS	FUS-MS	FUS-MS
205301	1.39	9.2	1.42	16.1	2.2	1	1.0	57	32.5	2.8
205302	2.33	15.2	2.34	8.1	4.8	3	2.0	73	139	6.8
205303	13.6	79.7	10.6	8.6	33.5	19	1.2	210	726	241
205304	8.34	60.5	9.32	101	26.3	5	2.5	114	148	27.6
205305	3.89	27.4	4.04	37.4	16.9	3	2.2	160	145	15.5
205306	1.91	14.2	2.23	30.2	22.4	3	4.5	108	52.0	13.6
205307	1.40	10.8	1.71	28.2	11.4	2	2.3	48	46.7	7.0
205308	3.04	21.3	3.25	47.2	28.3	3	3.5	184	42.5	11.3
205309	1.89	12.6	2.03	4.4	4.8	3	1.2	62	140	5.8
205310	10.4	84.7	15.3	267	127	21	0.9	134	1060	170
205311	1.40	10.8	1.87	17.7	6.1	9	2.1	51	196	9.6
205312	0.85	6.2	1.03	16.2	4.8	1	1.3	84	173	13.5
205313	0.37	2.9	0.49	2.3	9.8	1	4.5	218	16.1	1.3
205314	1.37	9.0	1.44	14.5	2.1	2	1.3	53	276	9.8
205315	4.78	34.3	5.26	80.5	25.7	5	1.7	94	139	20.8
205316	6.97	49.8	7.67	50.6	95.9	10	3.4	243	263	86.8
205317	11.4	80.4	12.1	85.5	107	10	2.9	638	498	88.3
205318	4.38	31.0	4.79	69.0	73.5	7	6.5	512	191	45.6
205319	4.32	27.2	4.08	21.6	4.6	3	1.2	72	1130	24.5
205320	5.53	41.0	6.37	127	33.0	2	4.0	442	140	16.6
205321	5.36	41.7	6.85	54.2	13.2	3	2.5	131	142	9.5
205322	22.0	208	38.7	1040	279	37	0.5	64	1510	99.8
205323	15.7	128	20.5	482	239	29	0.4	41	1480	30.5
205324	38.6	326	57.1	1060	167	29	< 0.1	46	3630	84.3
205325 Received as Pulp	< 0.05	0.3	0.05	1.7	0.1	< 1	< 0.1	< 5	0.8	0.2
205326	13.2	106	17.1	492	124	9	2.4	208	2000	75.0
205327	62.7	400	55.2	378	87.5	10	3.6	779	3050	88.9
205328	9.28	71.0	11.3	189	34.3	4	2.4	156	289	42.1
205329	34.8	274	43.5	745	164	10	3.9	408	457	106
205330	2.14	15.1	2.32	23.6	9.2	4	2.4	78	220	15.5
205331	17.8	125	18.2	198	125	13	1.0	124	430	101
205332	130	887	129	178	77.9	85	0.3	593	23300	562
205333	11.3	94.0	13.5	18.5	4.0	4	1.2	70	2120	10.6
205334	18.1	130	18.5	44.8	21.8	16	2.8	245	3560	115
205335	1.72	12.3	1.89	19.5	3.8	4	1.4	55	137	4.8
205336	1.28	8.3	1.22	14.6	3.1	2	1.1	57	53.7	3.8
205337	2.47	16.8	2.50	14.3	6.7	2	1.6	58	83.1	5.7
205338	1.63	10.5	1.55	25.8	6.5	3	1.7	85	178	9.7
205339	1.72	11.3	1.67	14.8	3.8	2	1.5	60	67.5	4.0
205340	0.71	4.7	0.73	12.6	2.2	1	1.3	60	60.4	4.7
205341	2.40	15.3	2.31	31.8	4.3	2	0.8	44	24.8	3.1
205342	0.91	5.9	0.89	11.2	2.5	1	1.1	77	260	9.1
205343	1.10	7.3	1.11	12.9	2.9	2	1.2	58	88.9	6.1
205344	1.65	10.5	1.57	12.1	2.7	2	1.2	55	46.2	3.3
205345	0.23	1.6	0.24	1.6	0.9	1	0.6	93	118	19.0
205346	1.11	7.2	1.09	11.8	2.2	1	1.1	52	35.4	2.6
205347	0.34	2.1	0.31	6.0	1.6	13	0.7	481	58.0	264
205348	0.13	1.0	0.22	17.9	0.3	< 1	< 0.1	80	179	28.0
205349	1.34	8.6	1.31	16.7	2.7	2	1.0	55	45.0	3.1
205350 Received as Pulp	50.4	348	59.3	466	124	5	1.6	322	340	71.0

Analyte Symbol	Tm	Yb	Lu	Hf	Ta	W	Ti	Pb	Th	U
Unit Symbol	ppm	ppm	ppm	ppm	ppm	ppm	ppm	ppm	ppm	ppm
Detection Limit	0.05	0.1	0.04	0.2	0.1	1	0.1	5	0.1	0.1
Analysis Method	FUS-MS	FUS-MS	FUS-MS	FUS-MS	FUS-MS	FUS-MS	FUS-MS	FUS-MS	FUS-MS	FUS-MS
205351	32.7	255	45.1	248	192	11	0.9	95	1660	85.3
205352	19.7	169	31.3	270	154	9	0.6	309	2290	116
205353	11.6	94.5	18.1	319	169	6	0.6	136	734	42.2
205354	12.9	87.8	13.6	162	75.9	6	1.9	229	345	38.5
205355	39.4	304	53.6	692	397	30	1.9	1440	1450	251
205356	44.2	360	65.6	771	79.2	10	0.7	119	486	120
205357	56.6	464	79.3	993	117	13	1.3	153	853	155
205358	1.41	9.5	1.50	16.6	3.0	2	0.9	48	64.2	6.0
205359	1.82	12.2	1.93	19.9	3.3	2	0.9	52	102	4.9
205360	58.5	359	43.7	275	148	16	1.8	58	737	90.4
205361	28.9	204	29.9	658	116	8	2.7	120	1310	81.1
205362	4.05	29.3	4.55	69.4	109	7	1.2	325	75.4	72.9
205363	7.32	52.1	7.58	103	54.6	6	2.4	78	274	19.6
205364	3.50	25.2	3.90	50.0	29.4	3	2.6	158	78.0	25.3
205365	12.4	109	17.2	394	134	8	3.2	349	729	31.7
205366	3.54	22.7	3.38	35.4	3.6	3	1.2	55	864	15.9
205367	1.42	9.3	1.44	18.1	2.6	2	1.1	41	38.1	2.9
205368	1.64	10.7	1.60	19.5	4.0	2	1.0	48	50.0	5.3
205369	2.86	20.8	3.55	10.0	8.8	5	1.3	48	316	11.9
205370	17.9	126	18.5	336	83.4	10	1.3	106	293	47.8
205371	1.20	7.6	1.14	13.5	2.5	2	1.0	48	28.4	2.7
205372	1.55	9.6	1.47	15.5	2.3	2	0.9	48	29.4	2.7
205373	2.11	16.6	2.89	42.0	8.1	6	2.2	284	566	77.0
205374	1.69	11.5	1.84	24.2	3.6	2	1.1	54	34.8	3.0
205375 Received as Pulp	< 0.05	0.2	< 0.04	0.9	< 0.1	< 1	< 0.1	< 5	0.4	0.2
205376	1.20	8.6	1.46	19.0	6.3	3	1.3	57	69.6	6.7
205377	18.3	149	22.0	30.8	39.2	14	2.5	77	531	27.6
205378	1.19	8.1	1.27	9.1	2.9	1	1.1	60	150	5.3
205379	15.0	114	17.0	260	121	8	4.2	335	308	42.8
205380	2.28	14.7	2.25	25.7	8.3	3	2.8	73	361	8.3
205381	3.89	24.6	3.60	37.3	6.2	3	1.8	94	396	42.8
205382	1.12	7.2	1.11	18.4	2.7	2	1.3	112	627	41.1
205383	5.50	33.6	4.89	24.2	2.4	2	1.1	73	1130	25.7
205384	1.19	7.3	1.10	12.5	2.2	2	1.1	57	159	7.0
205385	1.13	7.3	1.13	14.5	2.3	1	1.2	55	128	5.3
205386	1.21	8.0	1.21	17.1	3.6	2	1.4	92	322	33.5
205387	6.96	43.5	6.13	66.9	10.5	4	1.2	126	408	60.2
205388	3.63	22.7	3.38	8.9	2.4	2	1.2	62	136	4.3
205389	1.26	8.0	1.23	13.9	2.5	1	1.1	57	152	4.8
205390	3.23	19.8	2.85	13.5	2.5	2	1.1	61	571	16.2
205391	2.79	17.0	2.51	14.3	2.2	1	1.1	54	473	12.6
205392	1.82	11.6	1.80	11.0	3.6	1	1.3	64	228	18.5
205393	1.70	10.9	1.66	13.8	2.4	< 1	1.2	52	201	5.8
205394	9.07	59.0	8.99	12.7	4.1	2	1.2	132	1790	77.7
205395	1.59	12.6	2.05	9.6	9.6	2	3.4	70	28.7	1.9
205396	3.09	19.7	2.90	8.4	3.1	2	1.4	58	171	6.7
205397	3.36	21.2	3.12	25.8	7.9	3	1.1	56	268	11.3
205398	2.27	14.8	2.32	29.7	3.5	1	0.8	44	20.8	3.1
205399	2.29	15.5	2.35	14.2	7.2	2	2.4	73	348	7.7
205400 Received as Pulp	50.4	345	52.5	431	120	5	1.6	346	321	72.5

Analyte Symbol	Tm	Yb	Lu	Hf	Ta	W	Ti	Pb	Th	U
Unit Symbol	ppm	ppm	ppm	ppm	ppm	ppm	ppm	ppm	ppm	ppm
Detection Limit	0.05	0.1	0.04	0.2	0.1	1	0.1	5	0.1	0.1
Analysis Method	FUS-MS	FUS-MS	FUS-MS	FUS-MS	FUS-MS	FUS-MS	FUS-MS	FUS-MS	FUS-MS	FUS-MS
205401	1.40	10.0	1.59	12.5	6.6	9	2.2	78	114	22.8
205402	8.91	57.4	8.87	186	7.9	3	1.8	106	1240	86.8
205403	1.40	9.0	1.39	16.9	2.4	1	1.1	56	20.4	3.1
205404	0.75	5.3	0.88	6.1	4.8	1	1.8	80	113	17.3
205405	1.13	8.2	1.45	18.6	3.0	3	1.4	156	468	71.2
205406	0.48	2.9	0.42	3.8	2.5	2	1.6	234	1540	164
205407	1.38	9.6	1.66	27.5	2.6	2	1.1	266	2000	300
205408	0.24	1.7	0.29	6.4	1.7	< 1	1.0	45	54.3	5.2
205409	1.35	8.6	1.30	12.5	2.3	1	1.1	54	32.9	3.3
205410	1.53	9.8	1.49	16.3	2.5	2	1.1	59	39.1	2.8
205411	1.16	7.7	1.18	14.3	2.4	< 1	1.0	49	21.9	2.0
205412	1.71	11.2	1.71	18.9	2.7	< 1	1.1	49	29.6	4.7
205413	2.30	14.1	2.06	13.4	1.3	< 1	1.2	78	729	39.1
205414	3.27	19.8	2.87	9.0	1.6	< 1	1.0	141	1510	121
205415	0.64	4.2	0.66	8.9	2.5	< 1	1.3	57	62.0	4.5
205416	0.20	1.3	0.22	2.6	0.5	< 1	1.0	77	285	21.0
205417	7.45	48.2	7.33	107	11.3	1	0.3	31	155	12.7
205418	9.49	59.9	9.23	116	12.2	< 1	0.3	34	198	15.8
205419	0.19	1.3	0.22	4.6	0.4	< 1	0.6	110	13.7	12.2
205420	6.22	39.8	6.09	40.1	5.2	< 1	0.8	52	148	15.3
205421	2.32	16.7	2.89	37.9	1.4	< 1	0.5	31	67.0	6.8
205422	3.53	23.5	3.69	42.6	4.9	< 1	1.3	39	78.8	7.5
205423	20.6	182	33.2	322	126	21	1.5	775	510	150
205424	3.97	28.0	4.78	68.4	2.8	< 1	0.4	29	64.7	9.0
205425 Received as Pulp	< 0.05	0.2	< 0.04	1.0	< 0.1	< 1	< 0.1	< 5	0.5	0.2
205426	1.04	6.6	1.03	15.1	2.1	< 1	1.0	52	24.1	2.9
205427	1.09	6.8	1.03	22.6	1.7	< 1	1.2	105	538	60.6
205428	0.96	6.3	0.97	16.4	2.2	< 1	1.3	62	159	8.2
205429	5.94	36.3	5.19	47.0	5.2	< 1	2.7	52	528	20.4
205430	1.54	9.6	1.43	16.4	2.0	< 1	1.1	51	28.3	2.6
205431	1.54	9.7	1.46	17.7	2.0	< 1	0.8	44	42.5	3.4
205432	1.16	7.6	1.14	15.0	2.2	< 1	0.9	50	33.1	2.5
205433	0.96	6.3	0.92	6.1	3.3	< 1	2.0	57	116	4.9
205434	1.99	13.2	2.00	28.7	3.0	< 1	0.7	43	16.7	3.1
205435	1.42	9.4	1.46	5.6	2.4	< 1	1.3	70	281	12.8
205436	0.97	5.5	0.66	1.6	0.6	< 1	0.7	1920	480	1840
205437	4.90	33.5	5.40	57.9	4.9	< 1	1.0	67	176	21.3
205438	2.43	16.4	2.56	23.3	4.3	< 1	1.1	88	66.6	18.4
205439	5.40	36.6	5.94	16.0	3.7	< 1	0.6	41	179	12.4
205440	4.15	28.9	4.71	14.1	15.0	5	1.4	60	453	17.3
205441	5.04	36.9	5.83	195	10.5	< 1	0.8	74	100	18.8
205442	15.9	104	15.6	144	41.6	5	0.8	97	241	69.6
205443	46.0	274	38.1	444	6.6	20	0.9	158	859	96.9
205444	7.56	57.0	10.2	124	13.9	< 1	0.3	27	51.1	7.4
205445	48.9	275	35.1	37.3	2.6	7	1.1	160	832	80.6
205446	36.9	209	28.3	113	1.8	< 1	0.6	78	434	48.2
205447	30.8	171	22.2	137	1.6	< 1	0.4	78	434	48.7
205448	11.1	70.8	10.9	94.0	6.8	< 1	0.6	58	194	23.0
205449	17.7	118	18.4	151	17.3	< 1	0.5	67	339	40.3
205450 Received as Pulp	50.2	344	50.6	459	112	2	1.5	327	335	78.0

Activation Laboratories Ltd. Report: A10-5364 rev 1

Quality Control

Analyte Symbol	F	Nb2O5	SiO2	Al2O3	Fe2O3(T)	MnO	MgO	CaO	Na2O	K2O	TiO2	P2O5	LOI	Total	Sc	Be	V	Sr	Y	Zr	Ba	Cr	Co	Ni	
Unit Symbol	%	%	%	%	%	%	%	%	%	%	%	%	%	%	ppm	ppm	ppm	ppm	ppm	ppm	ppm	ppm	ppm	ppm	
Detection Limit	0.01	0.003	0.01	0.01	0.01	0.001	0.01	0.01	0.01	0.01	0.001	0.01		0.01	1	1	5	2	2	4	3	20	1	20	
Analysis Method	FUS-ISE	FUS-XRF	FUS-ICP	FUS-ICP	FUS-ICP	FUS-ICP	FUS-ICP	FUS-ICP	FUS-ICP	FUS-ICP	FUS-ICP	FUS-ICP	FUS-ICP	FUS-ICP	FUS-ICP	FUS-ICP	FUS-ICP	FUS-ICP	FUS-ICP	FUS-ICP	FUS-ICP	FUS-MS	FUS-MS	FUS-MS	
WMG-1 Meas																						770	213	2740	
WMG-1 Cert																						770	200	2700	
DH-1a Meas																									
DH-1a Cert																									
TAN-1 Meas																									
TAN-1 Cert																									
NIST 694 Meas			11.16	1.92	0.76	0.010	0.35	43.02	0.89	0.56	0.117	30.19					1677								
NIST 694 Cert			11.2	1.80	0.790	0.0116	0.330	43.6	0.860	0.510	0.110	30.2					1740								
DNC-1 Meas			47.22	18.60	9.92	0.148	9.99	11.43	1.93	0.23	0.483	0.07			31		156	143	16	34	102	270	57	250	
DNC-1 Cert			47.15	18.34	9.97	0.150	10.13	11.49	1.890	0.234	0.480	0.070			31		148.0	144.0	18.0	38	118	270.0	57.0	247	
GBW 07113 Meas	0.14		71.74	12.68	3.21	0.137	0.14	0.58	2.51	5.41	0.277	0.04			5	4	< 5	40	45	401	474				
GBW 07113 Cert	0.130		72.8	13.0	3.21	0.140	0.160	0.590	2.57	5.43	0.300	0.0500			5.00	4.00	5.00	43.0	43.0	403	506				
MICA-FE Meas		0.039																							
MICA-FE Cert		0.039																							
NIST 1633b Meas			48.72	28.39	11.18	0.020	0.75	2.14	0.27	2.36	1.298	0.55			40		304	1038			685				
NIST 1633b Cert			49.2	28.4	11.1	0.0200	0.800	2.11	0.270	2.35	1.32	0.530			41.0		296	1040			709				
OKA-2 Meas																									
OKA-2 Cert																									
AC-E Meas		0.016																							
AC-E Cert		0.016																							
DR-N Meas	0.05																								
DR-N Cert	0.0500																								
UB-N Meas	0.01																								
UB-N Cert	0.00950																								
OKA-1 Meas		0.531																							
OKA-1 Cert		0.529																							
W-2a Meas	0.02		52.66	15.13	10.80	0.168	6.29	10.84	2.33	0.64	1.062	0.13			36	< 1	275	197	20	90	170	90	43	70	
W-2a Cert	0.0205		52.4	15.4	10.7	0.163	6.37	10.9	2.14	0.626	1.06	0.130			36.0	1.30	262	190	24.0	94.0	182	92.0	43.0	70.0	
SY-4 Meas			49.31	20.49	6.06	0.108	0.50	8.19	6.79	1.60	0.287	0.13			1	3	5	1197	119	525	330				
SY-4 Cert			49.9	20.69	6.21	0.108	0.54	8.05	7.10	1.66	0.287	0.131			1.1	2.6	8.0	1191	119	517	340				
CTA-AC-1 Meas																							< 1		
CTA-AC-1 Cert																							2.72		
BIR-1a Meas			47.66	15.47	11.44	0.174	9.49	13.53	1.78	0.02	0.972	0.03			44	< 1	344	108	14	16	7	370	53	160	
BIR-1a Cert			47.8	15.4	11.3	0.171	9.68	13.2	1.75	0.0300	0.960	0.0500			44.0	0.580	313	108	16.0	16.0	7.00	382	51.4	166	
NCS DC86312 Meas																									
NCS DC86312 Cert																									
VS-N Meas		0.101																							
VS-N Cert		0.10																							
NCS DC86302 Meas			74.13	14.78	0.60	0.031	0.06	0.62	4.59	3.88	0.012	0.02					1318								
NCS DC86302 Cert			73.99	14.86	0.593	0.036	0.069	0.584	4.67	3.89	0.016	0.013					1315								
NCS DC86302 Meas			72.47	14.89	0.58	0.033	0.06	0.60	4.60	3.93	0.012	0.02					1303								
NCS DC86302 Cert			73.99	14.86	0.593	0.036	0.069	0.584	4.67	3.89	0.016	0.013					1315								
NCS DC86302 Meas			73.49	14.83	0.59	0.033	0.06	0.62	4.41	3.87	0.012	0.01					1284								
NCS DC86302 Cert			73.99	14.86	0.593	0.036	0.069	0.584	4.67	3.89	0.016	0.013					1315								
NCS DC70014 Meas																							26	60	
NCS DC70014 Cert																							26.2	70.9	
IGS 40 Meas																									
IGS 40 Cert																									
NCS DC86316 Meas			70.71	13.97	0.40	0.018	0.07	0.66	4.08	3.90	0.683	0.05													
NCS DC86316 Cert			70.73	14.57	0.38	0.021	0.079	0.63	4.20	3.90	0.64	0.040													
NCS DC86316 Meas			70.46	13.73	0.40	0.018	0.07	0.67	4.06	3.90	0.663	0.04													
NCS DC86316 Cert			70.73	14.57	0.38	0.021	0.079	0.63	4.20	3.90	0.64	0.040													
NCS DC70009 (GBW07241) Meas																							30	3	< 20
NCS DC70009 (GBW07241) Cert																							30	3.7	2.8
SGR-1b Meas	0.20																								
SGR-1b Cert	0.1960																								

Activation Laboratories Ltd. Report: A10-5364 rev 1

Quality Control

Analyte Symbol	F	Nb2O5	SiO2	Al2O3	Fe2O3(T)	MnO	MgO	CaO	Na2O	K2O	TiO2	P2O5	LOI	Total	Sc	Be	V	Sr	Y	Zr	Ba	Cr	Co	Ni	
Unit Symbol	%	%	%	%	%	%	%	%	%	%	%	%	%	%	ppm	ppm	ppm	ppm	ppm	ppm	ppm	ppm	ppm	ppm	
Detection Limit	0.01	0.003	0.01	0.01	0.01	0.001	0.01	0.01	0.01	0.01	0.001	0.01		0.01	1	1	5	2	2	4	3	20	1	20	
Analysis Method	FUS-ISE	FUS-XRF	FUS-ICP	FUS-ICP	FUS-ICP	FUS-ICP	FUS-ICP	FUS-ICP	FUS-ICP	FUS-ICP	FUS-ICP	FUS-ICP	FUS-ICP	FUS-ICP	FUS-ICP	FUS-ICP	FUS-ICP	FUS-ICP	FUS-ICP	FUS-ICP	FUS-ICP	FUS-MS	FUS-MS	FUS-MS	
OREAS 100a (Fusion) Meas																								18	
OREAS 100a (Fusion) Cert																								18.1	
OREAS 101a (Fusion) Meas																								49	
OREAS 101a (Fusion) Cert																								48.8	
JR-1 Meas																							< 20	< 1	< 20
JR-1 Cert																							2.83	0.83	1.67
NCS DC86318 Meas			64.68	13.86	2.30	0.053	0.08		0.60	5.68	0.173	0.02							17570						
NCS DC86318 Cert			66.90	14.26	2.24	0.052	0.11		0.66	5.52	0.17	0.020							17010						
NCS DC86318 Meas			63.19	13.54	2.31	0.055	0.09		0.59	5.51	0.171	0.02							17230						
NCS DC86318 Cert			66.90	14.26	2.24	0.052	0.11		0.66	5.52	0.17	0.020							17010						
SX18-01 Meas		0.692																							
SX18-01 Cert		0.695																							
SX18-04 Meas		1.339																							
SX18-04 Cert		1.32																							
SX18-05 Meas		0.970																							
SX18-05 Cert		0.973																							
SARM 3 Meas																		4600			11150				
SARM 3 Cert																		4565			11119				
SARM 3 Meas																								11070	
SARM 3 Cert																								11119	
USZ 44-2007 Meas																				1160				15900	
USZ 44-2007 Cert																				1102				15800	
USZ 44-2007 Meas																								15640	
USZ 44-2007 Cert																								15800	
SX58-04 (DH 5804) Meas		0.371																							
SX58-04 (DH 5804) Cert		0.369																							
205015 Orig	0.23	0.003	62.16	16.37	6.84	0.204	0.03	0.60	6.46	4.77	0.188	0.01	0.88	98.51	4	10	< 5	10	44	29	71	< 20	< 1	< 20	
205015 Dup	0.26	0.003	61.67	16.55	6.77	0.202	0.04	0.60	6.90	5.05	0.185	0.02	0.88	98.86	4	10	< 5	11	43	34	72	< 20	< 1	< 20	
205032 Orig	0.52	0.079	62.86	15.22	5.67	0.175	0.08	1.18	6.04	6.04	0.283	0.10	1.20	98.84	9	81	< 5	64	258	2096	817	< 20	< 1	< 20	
205032 Dup	0.57	0.079	62.40	15.37	5.68	0.176	0.08	1.19	5.75	5.72	0.283	0.09	1.20	97.93	9	81	< 5	64	260	2086	818	< 20	< 1	< 20	
205041 Orig	0.04	0.400	63.72	9.12	16.08	0.688	0.04	0.40	2.57	3.60	0.365	0.01	-0.40	96.20	9	15	< 5	49	2279	10800	192	< 20	< 1	< 20	
205041 Dup	0.04	0.401	63.48	9.13	15.98	0.683	0.04	0.40	2.56	3.58	0.363	0.02	-0.40	95.81	9	15	6	48	2268	10640	190	< 20	1	< 20	
205056 Orig	0.07	0.006	61.22	16.64	6.69	0.164	0.13	2.23	5.17	6.11	0.130	0.06	0.41	98.97	25	4	< 5	128	167	1324	1366	< 20	< 1	< 20	
205056 Dup	0.06	0.007	61.52	16.57	6.73	0.164	0.13	2.22	5.23	6.20	0.128	0.07	0.41	99.37	25	4	< 5	126	166	1294	1370	< 20	< 1	< 20	
205073 Orig	0.39	0.476	60.88	10.28	15.95	0.350	0.16	1.60	2.51	4.22	0.704	0.13	0.20	96.99	23	5	8	110	2973	6690	1165	< 20	2	< 20	
205073 Dup	0.40	0.474	60.67	10.30	15.81	0.350	0.17	1.58	2.53	4.29	0.700	0.14	0.20	96.72	22	5	6	110	2970	6557	1162	< 20	2	< 20	
205082 Orig	0.02	0.201	73.87	11.09	3.17	0.032	0.04	0.27	2.36	6.03	0.192	0.03	0.78	97.87	1	2	9	103	656	9973	1132	< 20	< 1	< 20	
205082 Dup	0.01	0.204	73.37	11.13	3.20	0.032	0.04	0.27	2.30	5.83	0.192	0.03	0.78	97.16	2	2	6	105	648	9935	1131	< 20	< 1	< 20	
205097 Orig	0.01	0.074	73.97	10.42	5.11	0.115	0.02	0.21	2.89	4.59	0.187	0.02	0.55	98.08	9	3	< 5	42	265	4037	275	< 20	< 1	< 20	
205097 Dup	< 0.01	0.074	74.38	10.57	5.23	0.116	0.02	0.20	2.91	4.61	0.188	0.01	0.55	98.79	8	3	< 5	42	266	4095	277	< 20	< 1	< 20	
205114 Orig	0.21	0.104	74.32	12.59	2.39	0.034	0.03	0.78	3.79	5.01	0.093	< 0.01	0.90	99.95	4	18	< 5	59	528	430	339	< 20	< 1	< 20	
205114 Dup	0.21	0.103	72.81	12.45	2.40	0.033	0.03	0.79	3.63	4.79	0.092	0.01	0.90	97.93	3	18	< 5	59	522	425	330	< 20	< 1	< 20	
205123 Orig	0.35	1.454	59.00	0.32	33.69	0.922	0.21	0.63	0.07	0.10	0.358	0.10	-1.64	93.77	116	< 1	< 5	14	5980	10870	81	< 20	1	< 20	
205123 Dup	0.34	1.459	58.94	0.31	33.60	0.921	0.21	0.63	0.07	0.10	0.352	0.09	-1.64	93.58	116	< 1	< 5	13	5900	10980	80	< 20	1	< 20	
205138 Orig	0.25	0.007	60.17	16.25	7.49	0.203	0.03	1.37	6.03	4.81	0.222	0.52	0.81	97.90	5	4	< 5	23	899	2305	189	< 20	< 1	< 20	
205138 Dup	0.26	0.006	60.14	16.11	7.60	0.204	0.03	1.39	5.97	4.80	0.225	0.52	0.81	97.81	5	4	< 5	24	901	2344	192	< 20	< 1	< 20	
205155 Orig	0.21	0.034	39.73	3.91	38.67	1.171	1.49	9.40	1.37	1.05	2.395	0.36	-1.52	98.03	223	13	< 5	13	1008	7076	101	< 20	4	< 20	
205155 Dup	0.21	0.036	40.00	3.90	38.46	1.161	1.49	9.39	1.40	1.05	2.399	0.36	-1.52	98.09	224	13	< 5	13	1004	7007	100	< 20	4	< 20	
205164 Orig	0.20	0.033	39.33	4.03	38.03	1.156	1.40	8.85	1.28	1.14	2.270	0.35	-0.99	96.84	210	12	< 5	14	1084	6696	101	< 20	5	< 20	
205164 Dup	0.21	0.032	38.99	4.02	37.69	1.143	1.42	8.75	1.31	1.18	2.249	0.36	-0.99	96.10	209	12	< 5	14	1069	6635	101	< 20	4	< 20	
205179 Orig	0.20	0.036	42.06	5.43	33.85	0.996	1.30	8.45	1.95	1.69	2.243	0.32	-1.22	97.08	193	13	5	14	844	5963	142	< 20	4	< 20	
205179 Dup	0.20	0.036	41.64	5.44	33.59	0.991	1.30	8.39	1.99	1.73	2.213	0.30	-1.22	96.37	191	13	< 5	14	842	6009	142	< 20	4	< 20	
205196 Orig	0.02	2.453	66.40	9.46	11.01	0.226	0.04	0.34	3.32	3.56	0.387	< 0.01	0.63	95.38	6	9	< 5	38	321	3652	127	< 20	< 1	< 20	
205196 Dup	0.01	2.450	66.62	9.61	11.04	0.227	0.03	0.35	3.22	3.49	0.392	< 0.01	0.63	95.63	6	10	< 5	38	331	3347	127	< 20	< 1	< 20	

Activation Laboratories Ltd. Report: A10-5364 rev 1

Quality Control																									
Analyte Symbol	F	Nb2O5	SiO2	Al2O3	Fe2O3(T)	MnO	MgO	CaO	Na2O	K2O	TiO2	P2O5	LOI	Total	Sc	Be	V	Sr	Y	Zr	Ba	Cr	Co	Ni	
Unit Symbol	%	%	%	%	%	%	%	%	%	%	%	%	%	%	ppm	ppm	ppm	ppm	ppm	ppm	ppm	ppm	ppm	ppm	
Detection Limit	0.01	0.003	0.01	0.01	0.01	0.001	0.01	0.01	0.01	0.01	0.001	0.01	0.01	0.01	1	1	5	2	2	4	3	20	1	20	
Analysis Method	FUS-ISE	FUS-XRF	FUS-ICP	FUS-ICP	FUS-ICP	FUS-ICP	FUS-ICP	FUS-ICP	FUS-ICP	FUS-ICP	FUS-ICP	FUS-ICP	FUS-ICP	FUS-ICP	FUS-ICP	FUS-ICP	FUS-ICP	FUS-ICP	FUS-ICP	FUS-ICP	FUS-ICP	FUS-MS	FUS-MS	FUS-MS	
205205 Orig	0.15	0.065	65.08	15.85	4.10	0.060	0.09	1.33	3.63	7.15	0.350	0.13	1.20	98.96	9	10	< 5	131	496	1557	1439	< 20	< 1	< 20	
205205 Dup	0.16	0.065	65.13	16.18	4.05	0.059	0.10	1.29	3.75	7.53	0.347	0.13	1.20	99.76	9	11	< 5	135	495	1581	1478	< 20	< 1	< 20	
205237 Orig	1.06	0.110	20.82	4.05	29.87	0.599	0.14	12.80	1.65	1.51	5.147	8.32	0.61	85.50	30	19	18	78	7729	5344	98	< 20	1	40	
205237 Dup	1.09	0.110	20.94	4.04	29.88	0.600	0.14	12.72	1.72	1.58	5.112	8.43	0.61	85.77	30	19	17	78	7750	5556	99	< 20	1	40	
205246 Orig	0.16	0.009	72.14	12.75	3.99	0.017	0.23	0.63	3.94	4.42	0.417	0.12	1.32	99.97	7	5	< 5	70	90	618	623	< 20	3	< 20	
205246 Dup	0.19	0.009	70.84	12.88	3.98	0.017	0.23	0.63	3.85	4.34	0.420	0.12	1.32	98.63	7	6	< 5	70	88	620	618	< 20	3	< 20	
205261 Orig	0.06	0.009	70.54	13.01	4.84	0.065	0.28	1.21	3.15	5.75	0.494	0.07	0.82	100.2	9	6	9	105	72	691	785	< 20	3	< 20	
205261 Dup	0.05	0.008	69.99	12.50	4.97	0.067	0.27	1.21	2.93	5.26	0.494	0.08	0.82	98.61	9	6	9	104	73	734	775	< 20	3	< 20	
205278 Orig	0.34	0.591	66.07	9.69	10.98	0.216	0.09	1.09	2.50	4.48	0.263	0.09	0.88	96.35	26	31	< 5	68	2280	8951	718	< 20	1	< 20	
205278 Dup	0.34	0.589	66.48	9.79	10.93	0.216	0.09	1.08	2.58	4.67	0.261	0.09	0.88	97.06	26	27	< 5	68	2266	8954	718	< 20	1	< 20	
205287 Orig	0.31	0.119	47.48	7.67	32.41	0.669	0.32	1.02	2.28	3.20	1.724	0.16	-1.69	95.26	56	4	10	45	557	10040	367	< 20	2	30	
205287 Dup	0.30	0.118	47.11	7.71	32.15	0.660	0.32	1.00	2.37	3.34	1.692	0.17	-1.69	94.82	55	4	11	46	554	9793	367	< 20	2	30	
205302 Orig	0.20	0.011	71.69	12.18	4.99	0.067	0.17	0.78	2.58	6.15	0.463	0.04	0.74	99.85	15	14	< 5	96	134	236	1064	< 20	1	< 20	
205302 Dup	0.21	0.011	70.55	12.05	4.90	0.066	0.17	0.77	2.56	6.09	0.454	0.04	0.74	98.37	15	14	< 5	95	133	226	1055	< 20	1	< 20	
205319 Orig	0.39	0.013	68.08	12.48	5.43	0.091	0.19	2.00	2.63	4.85	0.528	0.03	1.62	97.93	12	7	< 5	96	300	741	777	< 20	< 1	< 20	
205319 Dup	0.41	0.012	67.49	12.12	5.30	0.089	0.19	2.01	2.58	4.74	0.509	0.02	1.62	96.67	12	7	< 5	93	293	798	765	< 20	< 1	< 20	
205328 Orig	0.32	0.080	71.12	13.50	4.50	0.035	0.07	0.67	4.94	3.93	0.277	0.04	0.87	99.95	8	33	< 5	61	227	6261	642	< 20	< 1	< 20	
205328 Dup	0.31	0.080	70.46	13.50	4.40	0.034	0.07	0.66	5.19	4.10	0.273	0.04	0.87	99.59	8	32	< 5	61	226	6270	644	< 20	< 1	< 20	
205343 Orig	0.04	0.006	71.40	13.28	3.35	0.045	0.14	0.79	3.37	5.67	0.281	0.06	0.72	99.11	7	7	< 5	78	57	447	911	< 20	1	< 20	
205343 Dup	0.04	0.005	70.91	13.28	3.41	0.046	0.14	0.80	3.29	5.45	0.287	0.06	0.72	98.40	7	7	< 5	80	59	451	912	< 20	1	< 20	
205369 Orig	0.12	0.021	68.60	11.98	7.83	0.133	0.17	1.14	3.07	4.92	0.786	0.04	1.32	99.99	37	15	< 5	101	151	252	1095	< 20	2	< 20	
205369 Dup	0.12	0.020	68.07	11.70	7.83	0.134	0.17	1.17	2.94	4.75	0.780	0.04	1.32	98.90	37	14	< 5	98	150	234	1069	< 20	2	< 20	
205401 Orig	0.08	0.022	72.85	12.87	2.08	0.018	0.05	0.33	3.21	5.98	0.111	0.04	0.96	98.50	2	5	< 5	31	54	347	294	< 20	< 1	< 20	
205401 Dup	0.08	0.020	72.40	12.94	2.10	0.018	0.06	0.33	3.23	6.19	0.112	0.06	0.96	98.39	2	5	< 5	32	52	336	287	< 20	< 1	< 20	
205410 Orig	0.03	0.010	68.09	14.83	4.30	0.072	0.21	1.30	3.36	6.23	0.372	0.09	0.74	99.59	13	6	< 5	139	83	719	1688	< 20	< 1	< 20	
205410 Dup	0.03	0.009	67.64	14.63	4.33	0.072	0.21	1.30	3.25	6.14	0.366	0.08	0.74	98.76	13	6	< 5	138	83	711	1667	< 20	< 1	< 20	
205425 Received as Pulp Orig	0.04	< 0.003	98.02	0.29	0.03	< 0.001	0.01	0.02	0.01	0.01	0.015	0.01	0.43	98.85	< 1	< 1	< 5	2	< 2	49	21	< 20	< 1	< 20	
205425 Received as Pulp Dup	< 0.01	< 0.003	98.38	0.30	0.04	< 0.001	< 0.01	0.02	0.01	0.02	0.015	< 0.01	0.43	99.22	< 1	< 1	< 5	2	< 2	44	22	< 20	< 1	< 20	
205442 Orig	0.17	0.205	73.53	7.02	10.90	0.221	0.11	0.49	1.83	3.22	0.543	0.03	0.17	98.07	19	5	6	45	738	4738	335	< 20	1	< 20	
205442 Dup	0.18	0.206	73.88	7.08	10.80	0.219	0.11	0.48	1.88	3.30	0.540	0.03	0.17	98.49	19	5	10	45	737	4687	338	< 20	1	< 20	
Method Blank Method Blank																							< 20	< 1	< 20
Method Blank Method Blank	< 0.01																								
Method Blank Method Blank																							< 20	< 1	< 20
Method Blank Method Blank	< 0.003																								

Activation Laboratories Ltd. Report: A10-5364 rev 1

Quality Control																									
Analyte Symbol	Cu	Zn	Ga	Ge	As	Rb	Mo	Ag	In	Sn	Sb	Cs	Bi	La	Ce	Pr	Nd	Sm	Eu	Gd	Tb	Dy	Ho	Er	
Unit Symbol	ppm	ppm	ppm	ppm	ppm	ppm	ppm	ppm	ppm	ppm	ppm	ppm	ppm	ppm	ppm	ppm	ppm	ppm	ppm	ppm	ppm	ppm	ppm	ppm	
Detection Limit	10	30	1	1	5	2	2	0.5	0.2	1	0.5	0.5	0.4	0.1	0.1	0.05	0.1	0.1	0.05	0.1	0.1	0.1	0.1	0.1	
Analysis Method	FUS-MS	FUS-MS	FUS-MS	FUS-MS	FUS-MS	FUS-MS	FUS-MS	FUS-MS	FUS-MS	FUS-MS	FUS-MS	FUS-MS	FUS-MS	FUS-MS	FUS-MS	FUS-MS	FUS-MS	FUS-MS	FUS-MS	FUS-MS	FUS-MS	FUS-MS	FUS-MS	FUS-MS	
WMG-1 Meas	6090	110	10		5		< 2	1.5		2		< 0.5						2.5	0.76		0.4	2.5	0.5		
WMG-1 Cert	5900	110	10.3		7.00		1.40	2.70		2.20		0.480						2.30	0.820		0.300	2.80	0.500		
DH-1a Meas																									
DH-1a Cert																									
TAN-1 Meas																									
TAN-1 Cert																									
NIST 694 Meas																									
NIST 694 Cert																									
DNC-1 Meas	100	70												4.1			5.0		0.58						
DNC-1 Cert	100.0	70.0												3.6			5.20		0.59						
GBW 07113 Meas																									
GBW 07113 Cert																									
MICA-FE Meas																									
MICA-FE Cert																									
NIST 1633b Meas																									
NIST 1633b Cert																									
OKA-2 Meas																							1470		
OKA-2 Cert																							1480		
AC-E Meas																									
AC-E Cert																									
DR-N Meas																									
DR-N Cert																									
UB-N Meas																									
UB-N Cert																									
OKA-1 Meas																									
OKA-1 Cert																									
W-2a Meas	110	90	18	2	< 5	20	< 2	< 0.5			0.9	1.0	< 0.4	11.9	25.9		13.3	3.3	1.10		0.6	3.9	0.8	2.2	
W-2a Cert	110	80.0	17.0	1.00	1.20	21.0	0.600	0.0460			0.790	0.990	0.0300	10.0	23.0		13.0	3.30	1.00		0.630	3.60	0.760	2.50	
SY-4 Meas																									
SY-4 Cert																									
CTA-AC-1 Meas	60	30												2180	3320		1130	165	45.0	131	14.8				
CTA-AC-1 Cert	54.0	38.0												2176	3326		1087	162	46.7	124	13.9				
BIR-1a Meas	130	80	15	2	< 5	< 2	< 2	< 0.5		1	0.5	< 0.5	< 0.4			0.41	2.3	1.1	0.52	1.7		2.6	0.6	1.6	
BIR-1a Cert	126	71.0	16.0	1.50	0.440	0.250	0.500	0.0360		0.650	0.580	0.00500	0.0200			0.380	2.50	1.10	0.540	1.85		2.50	0.570	1.70	
NCS DC86312 Meas														2350	188		1570			222	34.3	183	35.7	96.1	
NCS DC86312 Cert														2360.000	190.000		1600.000			225.0	34.6	183.00	35.70	96.2	
VS-N Meas																									
VS-N Cert																									
NCS DC86302 Meas																									
NCS DC86302 Cert																									
NCS DC86302 Meas																									
NCS DC86302 Cert																									
NCS DC86302 Meas																									
NCS DC86302 Cert																									
NCS DC70014 Meas	2640	7400	25				270	16.8			180		80.3	44.5	88.3	10.1	37.7	7.9	1.65	7.0	1.2	6.5	1.3	3.5	
NCS DC70014 Cert	2600.00	7400.00	25.2				270.000	16.7			180.000		80.3	45.3	87.0	10.8	39.9	8.0	1.8	7.4	1.1	6.7	1.3	3.5	
IGS 40 Meas														20700	32100	2810	8200								
IGS 40 Cert														20720	32247	2730	8320								
NCS DC86316 Meas																									
NCS DC86316 Cert																									
NCS DC86316 Meas																									
NCS DC86316 Cert																									
NCS DC70009 (GBW07241) Meas		100	17	11	70	506		1.7	1.3	1700	3.5	44.3		24.0	60.4	7.87	31.8	12.8	0.10	14.3	3.3	21.4	4.4	13.1	
NCS DC70009 (GBW07241) Cert		100.000	16.5	11.2	69.9	500.00		1.8	1.3	1701	3.1	41		23.7	60.3	7.9	32.9	12.5	0.16	14.8	3.3	20.7	4.5	13.4	
SGR-1b Meas																									
SGR-1b Cert																									

Activation Laboratories Ltd. Report: A10-5364 rev 1

Quality Control																									
Analyte Symbol	Cu	Zn	Ga	Ge	As	Rb	Mo	Ag	In	Sn	Sb	Cs	Bi	La	Ce	Pr	Nd	Sm	Eu	Gd	Tb	Dy	Ho	Er	
Unit Symbol	ppm	ppm	ppm	ppm	ppm	ppm	ppm	ppm	ppm	ppm	ppm	ppm	ppm	ppm	ppm	ppm	ppm	ppm	ppm	ppm	ppm	ppm	ppm	ppm	
Detection Limit	10	30	1	1	5	2	2	0.5	0.2	1	0.5	0.5	0.4	0.1	0.1	0.05	0.1	0.1	0.05	0.1	0.1	0.1	0.1	0.1	
Analysis Method	FUS-MS	FUS-MS	FUS-MS	FUS-MS	FUS-MS	FUS-MS	FUS-MS	FUS-MS	FUS-MS	FUS-MS	FUS-MS	FUS-MS	FUS-MS	FUS-MS	FUS-MS	FUS-MS	FUS-MS	FUS-MS	FUS-MS	FUS-MS	FUS-MS	FUS-MS	FUS-MS	FUS-MS	
OREAS 100a (Fusion) Meas	180						24							267	480	47.5	150	24.3	3.65	21.1	3.6	23.0	4.9	14.6	
OREAS 100a (Fusion) Cert	169						24.1							260	463	47.1	152	23.6	3.71	23.6	3.80	23.2	4.81	14.9	
OREAS 101a (Fusion) Meas	440						20							812	1400	135	399	50.6	8.17		5.5	31.5	6.5	19.1	
OREAS 101a (Fusion) Cert	434						21.9							816	1396	134	403	48.8	8.06		5.92	33.3	6.46	19.5	
JR-1 Meas	< 10	40	16	3	17	247	3	< 0.5	< 0.2			20.9	0.6	21.0	48.3	6.04	23.1	5.8	0.27	5.5	0.9	6.3	1.3	4.0	
JR-1 Cert	2.88	30.6	16.1	1.88	16.3	257	3.25	0.031	0.028			20.8	0.56	19.7	47.2	5.58	23.3	6.03	0.30	5.06	1.01	5.69	1.11	3.61	
NCS DC86318 Meas														1910	421	724	3290	1720	18.3	2050	475		560	1690	
NCS DC86318 Cert														1960	430	740	3430	1720	18.91	2095	470		560	1750	
NCS DC86318 Meas																									
NCS DC86318 Cert																									
SX18-01 Meas																									
SX18-01 Cert																									
SX18-04 Meas																									
SX18-04 Cert																									
SX18-05 Meas																									
SX18-05 Cert																									
SARM 3 Meas																									
SARM 3 Cert																									
SARM 3 Meas																									
SARM 3 Cert																									
USZ 44-2007 Meas																									
USZ 44-2007 Cert																									
USZ 44-2007 Meas																									
USZ 44-2007 Cert																									
SX58-04 (DH 5804) Meas																									
SX58-04 (DH 5804) Cert																									
205015 Orig	< 10	250	58	2	< 5	400	5	< 0.5	< 0.2	2	< 0.5	0.6	< 0.4	18.5	36.4	3.94	13.4	2.6	0.15	2.5	0.5	3.8	1.0	3.9	
205015 Dup	< 10	240	57	2	< 5	386	5	< 0.5	< 0.2	2	< 0.5	0.6	< 0.4	17.6	34.8	3.82	13.0	2.4	0.14	2.3	0.5	3.6	0.9	3.7	
205032 Orig	< 10	660	55	3	< 5	607	7	< 0.2	< 0.2	140	< 0.5	11.9	< 0.4	716	1200	115	325	44.3	2.32	30.8	5.6	36.5	8.3	29.5	
205032 Dup	< 10	650	55	3	< 5	610	7	< 0.2	< 0.2	136	< 0.5	11.8	< 0.4	714	1190	115	318	43.8	2.37	30.5	5.4	36.1	8.3	29.1	
205041 Orig	< 10	2740	59	6	< 5	220	< 2		0.4	7	< 0.5	0.7	1.7	360	1500	195	601	167	2.77	154	38.2	292	70.0	244	
205041 Dup	< 10	2700	59	6	< 5	223	< 2		0.4	7	< 0.5	0.7	1.9	358	1500	192	596	168	2.76	156	38.7	295	71.3	244	
205056 Orig	10	170	40	3	< 5	209	5	< 0.2	< 0.2	3	< 0.5	0.6	< 0.4	449	983	106	339	54.4	2.88	37.9	6.5	36.6	7.1	20.4	
205056 Dup	10	170	39	3	< 5	207	4	< 0.2	< 0.2	3	< 0.5	0.5	< 0.4	444	966	104	334	53.2	2.90	37.9	6.4	36.0	7.0	20.1	
205073 Orig	10	1130	34	6	6	288	25	< 0.2	< 0.2	8	< 0.5	1.4	< 0.4	886	2270	285	1120	339	14.7	331	75.7	524	120	407	
205073 Dup	10	1120	34	5	6	288	26	< 0.2	< 0.2	8	< 0.5	1.4	< 0.4	873	2250	285	1130	337	14.6	329	75.3	521	119	400	
205082 Orig	40	100	40	3	< 5	305	2	< 0.2	< 0.2	2	< 0.5	1.1	< 0.4	46.2	182	31.0	152	54.9	3.89	53.4	14.0	111	28.6	103	
205082 Dup	50	110	40	3	< 5	310	< 2	< 0.2	< 0.2	2	< 0.5	1.1	< 0.4	47.1	181	31.2	153	54.6	3.95	52.8	13.8	111	28.3	102	
205097 Orig	< 10	540	47	2	< 5	321	< 2	< 0.2	< 0.2	4	< 0.5	< 0.5	< 0.4	379	663	62.5	190	33.4	1.49	29.3	6.5	47.3	11.2	39.2	
205097 Dup	< 10	500	48	2	< 5	321	< 2	< 0.2	< 0.2	4	< 0.5	< 0.5	< 0.4	380	669	63.1	196	34.1	1.52	29.5	6.7	47.3	11.4	39.8	
205114 Orig	< 10	100	33	2	< 5	389	< 2	1.3	< 0.2	8	< 0.5	1.8	< 0.4	123	287	35.5	146	40.5	2.04	49.1	11.6	93.2	23.2	78.6	
205114 Dup	< 10	90	32	2	< 5	382	< 2	1.3	< 0.2	8	< 0.5	1.8	< 0.4	136	314	39.4	160	41.5	2.39	48.0	11.3	89.7	22.5	76.9	
205123 Orig	< 10	2560	18	10	7	13	14		1.0	12	< 0.5	< 0.5	< 0.4	2750	5190	537	2070	546	15.5	572	139	1060	255	853	
205123 Dup	< 10	2630	18	10	7	13	15		1.0	12	< 0.5	0.5	< 0.4	2820	5320	551	2120	565	16.0	587	140	1080	262	878	
205138 Orig	< 10	180	71	5	8	218	15	< 0.2	< 0.2	2	0.9	0.6	< 0.4	4480	7140	615	1970	250	3.39	179	29.1	166	31.8	90.4	
205138 Dup	< 10	210	70	5	8	219	15	< 0.2	< 0.2	2	0.9	0.6	< 0.4	4340	7030	603	1940	251	3.35	176	27.7	164	31.6	87.6	
205155 Orig	90	780	36	8	10	53	34		0.3	5	0.8	< 0.5	< 0.4	2270	5200	588	2410	356	7.35	236	37.4	212	40.7	117	
205155 Dup	50	770	36	8	9	53	33		0.3	5	0.8	< 0.5	< 0.4	2250	5130	583	2370	350	7.25	237	36.8	209	40.4	115	
205164 Orig	60	830	39	8	13	131	33		0.4	5	1.0	2.7	< 0.4	2660	6010	683	2770	410	8.64	282	43.9	249	48.9	139	
205164 Dup	60	780	36	8	12	121	30		0.3	4	0.7	2.5	< 0.4	2420	5630	635	2580	374	7.88	254	40.5	228	44.5	127	
205179 Orig	40	820	41	9	12	85	30		0.4	7	0.9	0.6	< 0.4	2050	4760	557	1940	327	6.85	217	34.2	198	38.0	109	
205179 Dup	40	830	41	9	12	84	29		0.4	7	0.9	0.6	< 0.4	2040	4740	557	1950	323	6.92	220	35.4	200	38.3	112	
205196 Orig	< 10	740	73	10	7	308	< 2		0.4	121	1.0	1.1	1.1	962	3510	387	1140	197	2.89	103	17.8	94.6	16.7	51.1	
205196 Dup	< 10	780	74	10	7	316	< 2		0.4	125	0.9	1.1	1.2	961	3510	390	1140	198	2.88	103	18.2	95.0	16.5	51.1	

Activation Laboratories Ltd. Report: A10-5364 rev 1

Quality Control																									
Analyte Symbol	Cu	Zn	Ga	Ge	As	Rb	Mo	Ag	In	Sn	Sb	Cs	Bi	La	Ce	Pr	Nd	Sm	Eu	Gd	Tb	Dy	Ho	Er	
Unit Symbol	ppm	ppm	ppm	ppm	ppm	ppm	ppm	ppm	ppm	ppm	ppm	ppm	ppm	ppm	ppm	ppm	ppm	ppm	ppm	ppm	ppm	ppm	ppm	ppm	
Detection Limit	10	30	1	1	5	2	2	0.5	0.2	1	0.5	0.5	0.4	0.1	0.1	0.05	0.1	0.1	0.05	0.1	0.1	0.1	0.1	0.1	
Analysis Method	FUS-MS	FUS-MS	FUS-MS	FUS-MS	FUS-MS	FUS-MS	FUS-MS	FUS-MS	FUS-MS	FUS-MS	FUS-MS	FUS-MS	FUS-MS	FUS-MS	FUS-MS	FUS-MS	FUS-MS	FUS-MS	FUS-MS	FUS-MS	FUS-MS	FUS-MS	FUS-MS	FUS-MS	
205205 Orig	< 10	160	37	3	< 5	384	7		< 0.2	6	1.0	3.2	< 0.4	274	581	75.0	250	52.3	3.70	44.2	13.0	109	28.7	103	
205205 Dup	< 10	150	37	3	< 5	382	8		< 0.2	6	0.9	3.2	< 0.4	275	585	76.1	255	52.6	3.68	44.1	12.7	108	29.0	102	
205237 Orig	< 10	1230	215	43	111	116	58		< 0.2	49	0.8	2.6	0.5	19800	43000	4760	17100	2790	64.0	1990	316	1800	353	985	
205237 Dup	< 10	1240	217	43	112	117	60		< 0.2	49	0.7	2.6	0.5	20200	43600	4840	17200	2860	66.1	2050	322	1840	363	1010	
205246 Orig	< 10	< 30	38	2	< 5	281	4	3.3	< 0.2	9	0.6	3.0	< 0.4	102	233	21.5	74.4	13.4	1.62	11.0	2.0	13.7	3.2	11.0	
205246 Dup	< 10	< 30	38	2	< 5	281	5	3.3	< 0.2	9	0.6	3.0	< 0.4	101	231	21.2	73.5	13.2	1.65	11.2	2.0	13.6	3.1	10.9	
205261 Orig	< 10	100	26	2	< 5	233	4	4.4	< 0.2	6	0.8	2.5	< 0.4	73.0	169	21.5	88.3	18.6	1.59	15.5	2.5	14.7	2.9	8.7	
205261 Dup	< 10	100	27	2	< 5	238	4	4.8	< 0.2	6	0.9	2.6	< 0.4	76.6	178	22.6	93.4	20.2	1.62	17.0	2.6	16.0	3.2	9.2	
205278 Orig	< 10	680	44	7	8	368	4		< 0.2	23	0.9	4.1	< 0.4	907	1970	233	842	230	8.03	229	55.1	422	101	364	
205278 Dup	< 10	670	44	7	8	375	4		< 0.2	23	1.0	4.2	< 0.4	935	2030	242	878	242	8.41	242	58.4	436	104	377	
205287 Orig	< 10	1340	54	9	13	178	53		0.3	4	0.9	0.9	< 0.4	4560	7210	654	1880	253	6.15	148	21.9	120	23.7	73.7	
205287 Dup	< 10	1350	55	9	14	178	53		0.3	4	0.8	0.9	< 0.4	4500	7140	647	1870	251	6.14	147	21.1	120	23.6	75.6	
205302 Orig	< 10	190	30	3	< 5	430	6	1.2	< 0.2	12	1.0	5.0	< 0.4	565	1100	123	377	54.0	2.75	33.9	5.2	28.4	5.4	15.7	
205302 Dup	< 10	190	30	3	< 5	421	5	1.2	< 0.2	11	1.1	4.9	< 0.4	567	1100	122	375	53.7	2.76	34.0	5.1	28.0	5.3	15.3	
205319 Orig	< 10	190	70	9	19	275	12	3.7	< 0.2	22	1.1	5.2	< 0.4	7320	12400	1120	3520	349	8.34	180	18.9	73.4	11.4	30.1	
205319 Dup	< 10	190	71	9	20	275	12	4.0	< 0.2	21	1.0	5.2	< 0.4	7400	12400	1110	3500	347	8.44	183	18.8	72.1	11.4	29.1	
205328 Orig	< 10	310	50	3	< 5	605	< 2		< 0.2	33	1.1	13.3	< 0.4	137	319	35.0	114	23.9	1.26	20.4	5.1	43.4	11.7	48.4	
205328 Dup	< 10	300	48	3	< 5	581	2		< 0.2	33	1.0	12.8	< 0.4	129	306	33.6	108	23.0	1.21	19.7	5.0	41.7	11.4	46.3	
205343 Orig	< 10	110	30	2	< 5	266	< 2	1.6	< 0.2	5	1.2	1.8	< 0.4	97.0	217	20.1	71.1	13.0	1.85	9.8	1.7	11.1	2.3	7.3	
205343 Dup	< 10	110	30	2	< 5	266	< 2	1.5	< 0.2	5	1.1	1.8	< 0.4	95.7	214	19.9	70.9	12.9	1.85	9.8	1.7	10.7	2.3	7.2	
205369 Orig	< 10	290	33	3	< 5	251	6	0.8	< 0.2	10	1.1	4.1	< 0.4	1560	3030	277	913	115	3.84	59.8	7.8	38.6	6.7	18.8	
205369 Dup	< 10	350	34	3	6	254	6	0.8	< 0.2	10	1.1	4.1	< 0.4	1590	3100	283	931	117	3.85	60.3	8.2	38.5	6.8	19.3	
205401 Orig	< 10	40	30	2	< 5	575	< 2	1.2	< 0.2	10	< 0.5	6.4	< 0.4	65.2	145	15.5	48.5	9.1	0.80	6.6	1.4	9.6	2.3	7.9	
205401 Dup	< 10	30	30	2	< 5	567	< 2	1.2	< 0.2	10	< 0.5	6.4	< 0.4	64.8	143	15.3	47.8	9.1	0.79	6.5	1.3	9.5	2.2	7.9	
205410 Orig	< 10	180	33	2	< 5	269	2	2.7	< 0.2	5	< 0.5	1.7	< 0.4	149	317	35.2	115	20.7	2.99	14.9	2.6	15.9	3.3	10.2	
205410 Dup	< 10	170	31	2	< 5	259	2	2.5	< 0.2	5	< 0.5	1.6	< 0.4	145	304	33.6	109	20.1	2.93	14.8	2.5	15.4	3.2	10.0	
205425 Received as Pulp Orig	< 10	< 30	< 1	< 1	< 5	2	< 2	< 0.5	< 0.2	< 1	< 0.5	< 0.5	< 0.4	1.5	3.3	0.30	0.8	0.1	< 0.05	0.2	< 0.1	0.2	< 0.1	0.2	
205425 Received as Pulp Dup	< 10	< 30	< 1	< 1	< 5	2	< 2	< 0.5	< 0.2	< 1	< 0.5	< 0.5	< 0.4	1.8	3.8	0.35	0.8	0.1	< 0.05	0.2	< 0.1	0.2	< 0.1	0.1	
205442 Orig	< 10	540	26	4	< 5	216	2		< 0.2	7	< 0.5	1.5	< 0.4	736	1400	149	498	111	4.24	99.4	20.5	142	31.9	104	
205442 Dup	< 10	560	27	4	< 5	221	2		< 0.2	6	0.6	1.5	< 0.4	741	1410	150	495	111	4.32	99.9	20.9	144	31.9	104	
Method Blank Method Blank	< 10	< 30	< 1	< 1	< 5	< 2	< 2	< 0.5	< 0.2	< 1	< 0.5	< 0.5	< 0.4	< 0.1	< 0.1	< 0.05	< 0.1	< 0.1	< 0.05	< 0.1	< 0.1	< 0.1	< 0.1	< 0.1	
Method Blank Method Blank																									
Method Blank Method Blank	< 10	< 30	< 1	< 1	< 5	< 2	< 2	< 0.5	< 0.2	< 1	< 0.5	< 0.5	< 0.4	< 0.1	< 0.1	< 0.05	< 0.1	< 0.1	< 0.05	< 0.1	< 0.1	< 0.1	< 0.1	< 0.1	
Method Blank Method Blank																									

Quality Control

Analyte Symbol	Tm	Yb	Lu	Hf	Ta	W	Tl	Pb	Th	U
Unit Symbol	ppm	ppm	ppm	ppm	ppm	ppm	ppm	ppm	ppm	ppm
Detection Limit	0.05	0.1	0.04	0.2	0.1	1	0.1	5	0.1	0.1
Analysis Method	FUS-MS	FUS-MS	FUS-MS	FUS-MS	FUS-MS	FUS-MS	FUS-MS	FUS-MS	FUS-MS	FUS-MS
WMG-1 Meas	0.22	1.3	0.21	1.5		2		19	1.2	0.8
WMG-1 Cert	0.200	1.30	0.210	1.30		1.30		15.0	1.10	0.650
DH-1a Meas									909	2550
DH-1a Cert									910	2630
TAN-1 Meas						2380				
TAN-1 Cert						2360				
NIST 694 Meas										
NIST 694 Cert										
DNC-1 Meas		2.0								
DNC-1 Cert		2.0								
GBW 07113 Meas										
GBW 07113 Cert										
MICA-FE Meas										
MICA-FE Cert										
NIST 1633b Meas										
NIST 1633b Cert										
OKA-2 Meas									28900	
OKA-2 Cert									28900	
AC-E Meas										
AC-E Cert										
DR-N Meas										
DR-N Cert										
UB-N Meas										
UB-N Cert										
OKA-1 Meas										
OKA-1 Cert										
W-2a Meas	0.34	2.1	0.33	2.5	0.5		< 0.1	8	2.2	0.5
W-2a Cert	0.380	2.10	0.330	2.60	0.500		0.200	9.30	2.40	0.530
SY-4 Meas										
SY-4 Cert										
CTA-AC-1 Meas		11.0	1.12		2.8				22.9	4.0
CTA-AC-1 Cert		11.4	1.08		2.65				21.8	4.4
BIR-1a Meas	0.26	1.7	0.27	0.6	< 0.1	< 1	< 0.1	< 5	< 0.1	< 0.1
BIR-1a Cert	0.260	1.65	0.260	0.600	0.0400	0.0700	0.0100	3.00	0.0300	0.0100
NCS DC86312 Meas	14.4	87.5	12.0						24.9	
NCS DC86312 Cert	15.1	87.79	11.96						23.6	
VS-N Meas										
VS-N Cert										
NCS DC86302 Meas										
NCS DC86302 Cert										
NCS DC86302 Meas										
NCS DC86302 Cert										
NCS DC86302 Meas										
NCS DC86302 Cert										
NCS DC70014 Meas	0.54	3.5	0.49					27200		
NCS DC70014 Cert	0.57	3.3	0.50					27200.00		
IGS 40 Meas										
IGS 40 Cert										
NCS DC86316 Meas				712						
NCS DC86316 Cert				712						
NCS DC86316 Meas										
NCS DC86316 Cert										
NCS DC70009 (GBW07241) Meas	2.38	16.4	2.30			2200	2.1		27.7	
NCS DC70009 (GBW07241) Cert	2.2	14.9	2.4			2200.00	1.8		28.3	
SGR-1b Meas										
SGR-1b Cert										

Quality Control										
Analyte Symbol	Tm	Yb	Lu	Hf	Ta	W	Tl	Pb	Th	U
Unit Symbol	ppm	ppm	ppm	ppm	ppm	ppm	ppm	ppm	ppm	ppm
Detection Limit	0.05	0.1	0.04	0.2	0.1	1	0.1	5	0.1	0.1
Analysis Method	FUS-MS	FUS-MS	FUS-MS	FUS-MS	FUS-MS	FUS-MS	FUS-MS	FUS-MS	FUS-MS	FUS-MS
OREAS 100a (Fusion) Meas	2.41	15.5	2.15						51.4	135
OREAS 100a (Fusion) Cert	2.31	14.9	2.26						51.6	135
OREAS 101a (Fusion) Meas	2.94	17.7	2.50						35.2	420
OREAS 101a (Fusion) Cert	2.90	17.5	2.66						36.6	422
JR-1 Meas	0.72	4.8	0.69	4.6	1.9		1.3	20	26.5	9.0
JR-1 Cert	0.67	4.55	0.71	4.51	1.86		1.56	19.3	26.7	8.88
NCS DC86318 Meas	288	1760	253							
NCS DC86318 Cert	270	1840	260.0							
NCS DC86318 Meas										
NCS DC86318 Cert										
SX18-01 Meas										
SX18-01 Cert										
SX18-04 Meas										
SX18-04 Cert										
SX18-05 Meas										
SX18-05 Cert										
SARM 3 Meas										
SARM 3 Cert										
SARM 3 Meas										
SARM 3 Cert										
USZ 44-2007 Meas										
USZ 44-2007 Cert										
USZ 44-2007 Meas										
USZ 44-2007 Cert										
SX58-04 (DH 5804) Meas										
SX58-04 (DH 5804) Cert										
205015 Orig	0.79	6.4	1.30	0.8	0.7	< 1	1.2	13	2.5	0.3
205015 Dup	0.74	6.3	1.27	0.8	0.7	< 1	1.2	13	2.3	0.3
205032 Orig	5.30	40.6	7.10	66.7	42.7	< 1	3.5	355	118	25.9
205032 Dup	5.24	40.3	6.96	65.0	41.4	1	3.6	357	117	25.4
205041 Orig	43.4	307	44.0	487	98.4	4	0.8	231	1880	126
205041 Dup	43.2	307	44.7	489	97.9	5	0.8	234	1930	128
205056 Orig	2.90	18.6	3.03	30.6	1.6	< 1	0.7	36	65.4	7.1
205056 Dup	2.86	18.5	2.93	29.8	1.6	< 1	0.6	36	64.9	7.1
205073 Orig	62.5	392	58.4	252	100	27	1.2	229	656	208
205073 Dup	61.4	388	57.4	250	97.0	27	1.2	225	657	206
205082 Orig	17.8	125	19.5	406	40.8	12	1.2	128	162	86.2
205082 Dup	17.6	125	19.8	400	40.2	12	1.2	130	162	87.2
205097 Orig	6.47	42.9	6.79	102	16.9	< 1	1.4	84	54.1	24.9
205097 Dup	6.45	43.2	6.90	104	17.2	< 1	1.4	83	55.4	25.2
205114 Orig	12.3	76.4	11.2	19.7	21.4	8	1.6	139	380	103
205114 Dup	11.9	72.7	10.9	19.0	20.4	7	1.6	137	372	98.0
205123 Orig	135	899	133	358	270	43	< 0.1	395	1070	380
205123 Dup	139	890	136	377	279	42	< 0.1	406	1100	396
205138 Orig	12.1	68.7	9.06	75.1	1.3	1	0.5	46	1300	21.9
205138 Dup	12.0	68.7	9.21	76.0	1.2	1	0.5	47	1290	22.1
205155 Orig	17.1	110	17.4	123	6.8	< 1	0.2	56	359	39.3
205155 Dup	16.8	108	17.0	121	7.1	< 1	0.2	56	358	38.8
205164 Orig	19.9	127	19.5	131	7.0	2	0.6	64	418	45.9
205164 Dup	18.2	115	18.1	121	6.2	1	0.5	60	385	42.3
205179 Orig	15.9	104	16.4	118	9.1	1	0.3	54	343	38.6
205179 Dup	16.1	104	16.6	119	8.8	1	0.3	56	345	38.7
205196 Orig	8.10	61.6	10.7	150	1030	86	0.8	722	200	782
205196 Dup	8.03	61.9	10.7	148	1010	82	0.8	730	199	772

Quality Control										
Analyte Symbol	Tm	Yb	Lu	Hf	Ta	W	Tl	Pb	Th	U
Unit Symbol	ppm	ppm	ppm	ppm	ppm	ppm	ppm	ppm	ppm	ppm
Detection Limit	0.05	0.1	0.04	0.2	0.1	1	0.1	5	0.1	0.1
Analysis Method	FUS-MS	FUS-MS	FUS-MS	FUS-MS	FUS-MS	FUS-MS	FUS-MS	FUS-MS	FUS-MS	FUS-MS
205205 Orig	17.6	116	16.5	51.0	19.6	8	1.7	134	1630	75.7
205205 Dup	17.4	115	16.9	52.4	19.5	9	1.7	135	1630	76.3
205237 Orig	129	705	89.2	130	22.4	10	0.6	271	2650	220
205237 Dup	131	712	89.9	128	23.7	11	0.6	277	2710	225
205246 Orig	1.86	13.2	2.13	15.9	3.7	7	1.0	37	96.7	9.0
205246 Dup	1.81	13.1	2.14	16.3	3.7	7	1.0	38	97.2	9.0
205261 Orig	1.34	8.8	1.35	16.9	2.6	2	1.1	42	23.2	2.3
205261 Dup	1.42	9.0	1.42	19.2	2.7	2	1.1	45	24.9	2.6
205278 Orig	65.1	463	70.2	350	164	13	1.4	193	758	227
205278 Dup	68.1	479	73.3	363	173	14	1.4	199	796	240
205287 Orig	12.1	85.7	14.1	211	31.2	7	0.8	51	384	25.2
205287 Dup	12.0	86.0	13.9	206	30.9	6	0.8	50	377	24.9
205302 Orig	2.33	15.4	2.37	8.1	4.9	3	1.9	73	140	6.9
205302 Dup	2.33	15.1	2.32	8.0	4.8	3	2.0	73	138	6.8
205319 Orig	4.33	27.3	4.09	20.8	4.6	3	1.2	72	1130	24.8
205319 Dup	4.31	27.1	4.06	22.4	4.5	2	1.1	72	1120	24.1
205328 Orig	9.39	72.0	11.4	193	34.9	4	2.4	159	294	42.9
205328 Dup	9.16	69.9	11.3	185	33.7	4	2.4	154	284	41.3
205343 Orig	1.13	7.3	1.13	13.3	2.9	2	1.2	59	89.6	6.2
205343 Dup	1.08	7.3	1.10	12.6	2.9	1	1.2	57	88.2	6.0
205369 Orig	2.85	20.6	3.53	10.1	8.7	5	1.2	47	313	11.9
205369 Dup	2.88	21.0	3.58	9.9	8.8	5	1.3	48	318	12.0
205401 Orig	1.40	10.0	1.59	12.6	6.6	16	2.1	78	114	22.8
205401 Dup	1.40	10.0	1.59	12.3	6.5	2	2.2	78	114	22.8
205410 Orig	1.54	9.8	1.51	16.6	2.6	2	1.1	60	40.0	2.9
205410 Dup	1.52	9.8	1.46	15.9	2.5	1	1.0	57	38.2	2.8
205425 Received as Pulp Orig	< 0.05	0.2	< 0.04	1.1	< 0.1	< 1	< 0.1	< 5	0.5	0.2
205425 Received as Pulp Dup	< 0.05	0.2	< 0.04	1.0	< 0.1	< 1	< 0.1	< 5	0.6	0.2
205442 Orig	15.9	104	15.6	144	41.6	5	0.9	98	240	69.6
205442 Dup	15.9	105	15.6	144	41.6	5	0.8	96	241	69.7
Method Blank Method Blank	< 0.05	< 0.1	< 0.04	< 0.2	< 0.1	< 1	< 0.1	< 5	< 0.1	< 0.1
Method Blank Method Blank										
Method Blank Method Blank	< 0.05	< 0.1	< 0.04	< 0.2	< 0.1	< 1	< 0.1	< 5	< 0.1	< 0.1
Method Blank Method Blank										
Method Blank Method Blank										



Date Submitted: 15-Sep-10
Invoice No.: A10-5928
Invoice Date: 22-Oct-10
Your Reference:

QUEST RARE MINERALS LTD
65 Queen St. W., Suite 2010
PO Box 68
Toronto ON M5H 2M5
Canada

ATTN: President Peter Cashin

CERTIFICATE OF ANALYSIS

111 Rock samples were submitted for analysis.

The following analytical packages were requested: Code 8-F Option Fusion Specific Ion Electrode-ISE
Code 8-Nb2O5 - XRF Option XRF
Code 8-REE-Rare Earth Element Pkg Major Elements Fusion
ICP(WRA)/Trace Elements Fusion ICP/MS(WRA4B2)
REPORT A10-5928

This report may be reproduced without our consent. If only selected portions of the report are reproduced, permission must be obtained. If no instructions were given at time of sample submittal regarding excess material, it will be discarded within 90 days of this report. Our liability is limited solely to the analytical cost of these analyses. Test results are representative only of material submitted for analysis.

Notes:

Total includes all elements in % oxide to the left of total.

Footnote: Zr interference on Ag

CERTIFIED BY :

[Handwritten signature]

Emmanuel Esemé, Ph.D.
Quality Control



ACTIVATION LABORATORIES LTD.

1336 Sandhill Drive, Ancaster, Ontario Canada L9G 4V5 TELEPHONE +1.905.648.9611 or
+1.888.228.5227 FAX +1.905.648.9613
E-MAIL Ancaster@actlabs.com ACTLABS GROUP WEBSITE www.actlabs.com

Activation Laboratories Ltd. Report: A10-5928 rev 1

Analyte Symbol	F	Nb2O5	SiO2	Al2O3	Fe2O3(T)	MnO	MgO	CaO	Na2O	K2O	TiO2	P2O5	LOI	Total	Sc	Be	V	Cr	Co	Ni	Cu	Zn	Ga	Ge
Unit Symbol	%	%	%	%	%	%	%	%	%	%	%	%	%	%	ppm	ppm	ppm	ppm	ppm	ppm	ppm	ppm	ppm	ppm
Detection Limit	0.01	0.003	0.01	0.01	0.01	0.001	0.01	0.01	0.01	0.01	0.001	0.01	0.01	0.01	1	1	5	20	1	20	10	30	1	1
Analysis Method	FUS-ISE	FUS-XRF	FUS-ICP	FUS-ICP	FUS-ICP	FUS-ICP	FUS-ICP	FUS-ICP	FUS-ICP	FUS-ICP	FUS-ICP	FUS-ICP	FUS-ICP	FUS-ICP	FUS-ICP	FUS-ICP	FUS-ICP	FUS-MS	FUS-MS	FUS-MS	FUS-MS	FUS-MS	FUS-MS	FUS-MS
205451	0.14	0.103	63.96	11.56	9.35	0.200	0.78	2.30	3.89	4.14	0.963	0.37	0.22	97.74	15	90	< 5	< 20	5	< 20	20	860	54	5
205452	0.16	0.024	56.63	14.98	10.39	0.261	0.49	2.81	4.36	5.55	0.453	0.20	1.49	97.63	33	7	< 5	< 20	1	< 20	30	320	84	11
205453	0.11	0.033	57.94	16.72	8.66	0.192	0.39	1.96	4.94	6.01	0.653	0.14	0.82	98.43	28	8	< 5	< 20	2	< 20	< 10	200	63	7
205454	0.34	0.081	42.08	10.56	26.77	0.638	1.13	6.49	2.77	2.48	1.815	0.42	1.52	96.67	89	7	< 5	< 20	4	< 20	60	580	152	22
205455	< 0.01	0.009	59.79	15.52	8.44	0.211	0.28	2.47	4.95	5.70	0.524	0.11	0.54	98.54	27	4	< 5	< 20	1	< 20	20	230	48	4
205456	0.06	0.117	74.54	11.33	3.54	0.034	0.05	0.36	3.31	4.14	0.044	< 0.01	0.66	98.01	4	21	< 5	< 20	< 1	< 20	240	60	51	3
205457	0.44	0.025	40.78	5.49	25.53	0.577	0.48	11.76	1.87	1.69	1.809	0.58	0.29	90.85	332	7	< 5	< 20	2	< 20	90	690	258	39
205458	< 0.01	< 0.003	56.99	15.05	14.42	0.481	0.17	1.54	4.40	5.26	0.141	0.26	0.14	98.85	29	2	< 5	< 20	1	< 20	10	220	61	9
205459	0.95	0.874	52.39	9.25	5.35	0.385	0.08	4.28	5.56	0.66	0.196	1.48	3.28	82.90	14	3622	13	< 20	< 1	< 20	< 10	320	329	31
205460	0.84	0.034	40.18	9.81	8.19	0.346	0.11	11.89	3.56	3.67	1.127	6.80	1.22	86.89	26	28	< 5	< 20	< 1	< 20	< 10	480	353	51
205461	0.67	0.047	45.81	12.02	10.78	0.336	0.19	7.77	4.31	4.64	1.593	4.32	0.74	92.50	13	19	< 5	< 20	< 1	< 20	< 10	570	248	34
205462	1.07	0.055	57.54	15.11	8.97	0.262	0.14	3.38	5.52	5.12	0.461	0.08	0.81	97.40	18	21	< 5	< 20	< 1	< 20	20	420	67	5
205463	1.04	0.029	58.47	15.40	8.50	0.251	0.18	3.14	5.65	5.53	0.361	0.07	0.70	98.26	31	15	< 5	< 20	< 1	< 20	30	370	67	5
205464	0.34	0.006	73.17	11.79	3.46	0.058	0.09	1.00	2.63	5.80	0.248	0.03	0.69	98.96	2	4	< 5	< 20	1	< 20	< 10	100	29	2
205465	0.42	0.062	65.94	10.69	9.60	0.193	0.10	1.03	2.61	5.21	0.639	0.06	0.57	96.65	6	7	< 5	< 20	2	< 20	< 10	440	49	5
205466	0.23	0.024	45.51	10.06	25.03	0.624	2.00	5.63	3.20	2.94	2.201	0.75	0.53	98.49	163	8	< 5	< 20	9	< 20	50	480	39	5
205467	0.45	0.043	70.22	13.93	4.77	0.069	0.21	1.28	4.84	3.87	0.352	0.15	0.37	100.1	10	19	< 5	< 20	2	< 20	< 10	230	55	3
205468	0.12	0.006	76.39	11.73	1.86	0.017	0.05	0.32	2.93	5.74	0.105	0.02	0.39	99.54	2	50	< 5	< 20	< 1	< 20	< 10	50	28	2
205469	0.17	< 0.003	72.69	13.29	2.68	0.027	0.10	0.72	2.97	6.86	0.200	0.03	0.80	100.4	2	4	< 5	< 20	1	< 20	< 10	50	29	2
205470	0.19	< 0.003	70.91	13.84	2.73	0.029	0.16	0.94	3.87	4.92	0.159	0.04	0.82	98.42	5	8	6	< 20	1	< 20	< 10	150	38	3
205471	0.10	< 0.003	72.92	13.10	2.52	0.025	0.09	0.80	3.05	5.76	0.170	0.03	0.46	98.92	2	6	< 5	< 20	1	< 20	< 10	50	29	2
205472	0.15	< 0.003	74.47	12.78	2.75	0.028	0.11	0.84	2.98	5.83	0.198	0.05	0.62	100.6	2	5	< 5	< 20	2	< 20	< 10	60	28	2
205473	0.25	< 0.003	72.61	12.90	2.77	0.031	0.11	1.00	3.18	5.28	0.194	0.05	0.62	98.75	2	7	< 5	< 20	2	< 20	< 10	70	28	2
205474	0.04	< 0.003	73.68	12.55	1.78	0.014	0.05	0.39	2.96	6.01	0.089	< 0.01	0.77	98.29	1	5	< 5	< 20	< 1	< 20	< 10	< 30	24	2
205475 Received as Pulp	< 0.01	< 0.003	99.50	0.28	0.03	< 0.001	0.01	0.02	< 0.01	< 0.01	0.014	< 0.01	0.34	100.2	< 1	< 1	< 5	< 20	< 1	< 20	< 10	< 30	< 1	< 1
205476	0.03	< 0.003	72.93	11.70	2.96	0.033	0.08	0.83	2.35	5.79	0.254	< 0.01	0.53	97.48	6	3	< 5	< 20	< 1	< 20	< 10	< 30	34	3
205477	0.34	0.004	68.56	13.64	5.19	0.062	0.21	1.46	3.13	5.52	0.509	0.09	0.40	98.77	7	7	< 5	< 20	< 1	< 20	< 10	130	31	2
205478	0.15	0.013	71.42	11.25	6.85	0.073	0.26	1.27	3.36	1.73	0.665	0.25	1.30	98.42	7	11	< 5	< 20	< 1	< 20	< 10	210	35	3
205479	0.19	0.006	72.27	12.92	2.98	0.031	0.17	0.80	2.98	5.81	0.202	0.04	0.64	98.84	4	8	< 5	< 20	< 1	< 20	< 10	100	28	2
205480	0.08	0.004	74.12	13.12	2.05	0.020	0.07	0.64	3.02	6.11	0.142	0.03	0.46	99.78	2	5	< 5	< 20	< 1	< 20	< 10	< 30	25	2
205481	0.07	< 0.003	74.12	12.94	2.56	0.028	0.08	0.38	3.96	4.35	0.187	0.03	0.58	99.21	3	4	< 5	< 20	< 1	< 20	< 10	< 30	28	2
205482	0.09	< 0.003	73.95	12.40	2.22	0.020	0.09	0.52	2.70	6.11	0.178	0.02	0.44	98.64	1	3	< 5	< 20	< 1	< 20	< 10	< 30	23	2
205483	0.08	< 0.003	71.86	14.20	2.23	0.023	0.07	0.70	3.20	6.77	0.158	0.04	0.31	99.55	2	7	< 5	< 20	< 1	< 20	< 10	< 30	27	2
205484	0.06	< 0.003	73.49	12.18	3.53	0.041	0.13	0.71	2.70	5.64	0.289	0.05	0.61	99.36	6	4	< 5	< 20	< 1	< 20	< 10	80	28	2
205485	0.15	< 0.003	72.62	13.22	2.66	0.030	0.10	0.78	3.10	6.01	0.208	0.03	0.51	99.26	2	5	< 5	< 20	< 1	< 20	< 10	< 30	26	2
205486	0.48	0.017	59.31	13.09	10.31	0.142	0.39	2.32	2.71	4.80	1.305	0.20	1.13	95.70	19	9	13	< 20	2	< 20	< 10	290	68	7
205487	< 0.01	0.007	59.35	15.76	7.61	0.191	0.16	2.98	4.73	5.74	0.438	0.09	0.71	97.75	41	3	< 5	< 20	< 1	< 20	< 10	130	36	3
205488	0.58	0.061	62.17	15.72	5.19	0.207	0.11	1.45	5.70	5.99	0.300	0.08	0.56	97.48	9	154	< 5	< 20	< 1	< 20	< 10	540	58	3
205489	0.19	0.144	63.97	12.81	5.39	0.107	0.26	1.75	2.93	5.47	0.824	0.17	0.80	94.48	12	21	11	< 20	< 1	< 20	20	390	31	3
205490	0.44	0.118	62.72	15.99	4.64	0.181	0.07	0.96	6.16	6.07	0.266	0.09	0.49	97.64	7	84	< 5	< 20	< 1	< 20	< 10	510	61	3
205491	0.14	0.008	50.52	10.27	24.63	1.010	0.73	5.53	3.79	3.28	0.126	0.21	-0.19	99.90	214	16	< 5	< 20	< 1	< 20	< 10	650	39	6
205492	0.26	0.018	49.33	9.16	24.54	1.007	0.89	6.86	3.19	2.95	0.198	0.31	-0.27	98.18	237	19	< 5	< 20	< 1	< 20	< 10	650	44	8
205493	0.07	0.024	69.40	13.82	3.39	0.058	0.11	0.76	3.51	5.81	0.325	0.09	0.73	98.01	10	256	< 5	< 20	< 1	< 20	< 10	100	47	4
205494	0.29	1.478	65.94	3.11	19.52	0.615	0.08	0.64	1.07	1.24	0.204	0.04	0.01	92.44	21	2	< 5	< 20	< 1	< 20	< 10	1840	28	9
205495	0.02	0.082	63.75	17.81	1.90	0.041	0.04	0.71	6.07	6.12	0.205	0.20	0.60	97.46	6	120	< 5	< 20	< 1	< 20	< 10	90	68	4
205496	0.44	1.381	66.44	6.40	13.53	0.332	0.10	0.97	1.27	2.95	0.415	0.05	0.98	93.45	19	12	< 5	< 20	< 1	< 20	< 10	950	48	9
205497	0.83	1.234	58.12	4.54	24.86	0.702	0.18	1.55	1.13	2.02	0.896	0.07	0.35	94.41	16	2	< 5	< 20	< 1	< 20	< 10	1880	30	8
205498	0.38	0.048	59.90	15.86	8.22	0.197	0.14	2.01	4.72	6.37	0.576	0.07	0.86	98.92	28	5	< 5	< 20	< 1	< 20	30	320	43	3
205499	0.08	0.003	65.69	15.86	3.95	0.069	0.18	1.72	4.11	6.00	0.342	0.10	0.57	98.58	12	8	< 5	< 20	< 1	< 20	< 10	130	30	2
205500 Received as Pulp	0.32	0.283	71.27	7.37	5.90	0.167	0.66	1.90	2.81	3.90	0.6													

Activation Laboratories Ltd. Report: A10-5928 rev 1

Analyte Symbol	F	Nb2O5	SiO2	Al2O3	Fe2O3(T)	MnO	MgO	CaO	Na2O	K2O	TiO2	P2O5	LOI	Total	Sc	Be	V	Cr	Co	Ni	Cu	Zn	Ga	Ge
Unit Symbol	%	%	%	%	%	%	%	%	%	%	%	%	%	%	ppm	ppm	ppm	ppm	ppm	ppm	ppm	ppm	ppm	ppm
Detection Limit	0.01	0.003	0.01	0.01	0.01	0.001	0.01	0.01	0.01	0.01	0.001	0.01		0.01	1	1	5	20	1	20	10	30	1	1
Analysis Method	FUS-ISE	FUS-XRF	FUS-ICP	FUS-ICP	FUS-ICP	FUS-ICP	FUS-ICP	FUS-ICP	FUS-ICP	FUS-ICP	FUS-ICP	FUS-ICP	FUS-ICP	FUS-ICP	FUS-ICP	FUS-ICP	FUS-ICP	FUS-MS	FUS-MS	FUS-MS	FUS-MS	FUS-MS	FUS-MS	FUS-MS
205501	0.53	0.016	63.17	16.95	3.70	0.083	0.05	1.13	6.85	5.23	0.138	<0.01	0.68	97.98	2	20	<5	<20	<1	<20	<10	180	57	2
205502	0.18	0.008	68.49	13.69	4.33	0.075	0.10	1.37	3.73	5.69	0.338	0.07	0.53	98.41	12	9	<5	<20	<1	<20	<10	170	31	2
205503	0.08	0.004	68.77	13.86	3.40	0.050	0.09	1.17	3.28	6.37	0.275	0.06	0.82	98.15	9	8	<5	<20	<1	<20	<10	100	28	2
205504	0.04	0.006	67.65	14.56	3.59	0.056	0.12	1.23	3.56	6.15	0.295	0.07	0.90	98.18	9	6	<5	<20	<1	<20	<10	120	30	2
205505	0.11	0.038	46.08	9.34	26.03	0.785	1.03	6.32	3.19	2.92	1.340	0.67	0.01	97.72	335	9	<5	<20	<1	<20	<10	610	49	7
205506	0.14	0.049	74.04	12.70	1.89	0.022	0.03	1.07	3.59	4.63	0.117	0.02	0.29	98.40	3	6	<5	<20	<1	<20	<10	<30	30	2
205507	0.90	0.281	45.95	4.06	29.64	0.714	0.36	3.11	0.34	1.67	4.585	0.21	0.29	90.92	59	23	9	<20	<1	<20	40	1270	44	7
205508	0.08	0.067	73.76	11.58	3.25	0.047	0.04	0.29	4.05	4.19	0.124	0.03	0.76	98.11	5	12	<5	<20	<1	<20	<10	190	55	3
205509	0.57	0.119	66.13	14.74	5.88	0.110	0.08	1.07	5.49	4.29	0.273	0.06	0.58	98.69	14	20	<5	<20	<1	<20	<10	990	56	4
205510	0.10	0.005	63.29	14.90	5.96	0.094	2.37	2.72	3.18	3.68	0.701	0.17	1.04	98.12	6	4	68	<20	13	<20	150	80	22	1
205511	0.63	0.177	65.85	8.04	11.72	0.356	0.43	1.98	2.65	2.43	1.147	0.06	0.75	95.40	18	104	8	<20	4	<20	<10	780	49	6
205512	0.24	0.038	37.39	2.15	41.55	1.272	1.57	10.06	0.90	0.48	2.502	0.30	-0.82	97.35	232	16	<5	<20	4	<20	50	970	36	9
205513	0.13	0.026	50.67	10.74	20.18	0.566	0.80	5.15	3.63	3.77	1.355	0.24	0.62	97.73	123	12	<5	<20	<1	<20	30	460	38	5
205514	0.30	0.050	35.46	2.15	43.14	1.301	1.77	9.16	0.90	0.43	2.907	0.44	-0.86	96.80	248	17	5	<20	5	<20	70	1030	38	9
205515	0.05	0.005	65.13	15.67	4.40	0.076	0.15	2.02	3.73	5.94	0.385	0.09	0.86	98.45	16	5	<5	<20	<1	<20	<10	90	29	2
205516	0.04	0.646	70.35	8.24	11.30	0.282	0.07	0.47	1.84	4.23	0.362	0.06	0.22	97.41	17	18	<5	<20	<1	<20	<10	1130	38	6
205517	0.01	0.051	73.30	10.81	5.46	0.068	0.02	0.14	3.29	4.23	0.139	0.02	0.91	98.39	4	17	<5	<20	<1	<20	50	290	58	3
205518	0.21	0.031	40.55	4.64	36.43	1.064	1.40	8.49	1.61	1.39	2.219	0.30	-0.19	97.90	202	12	<5	<20	3	<20	60	840	37	8
205519	0.16	0.032	41.88	5.72	34.55	0.977	1.25	7.61	1.99	1.79	2.242	0.27	0.12	98.39	184	12	<5	<20	3	<20	50	750	38	7
205520	0.02	0.171	73.12	12.51	2.42	0.038	0.09	0.37	3.03	5.97	0.090	0.02	0.69	98.35	4	3	<5	<20	<1	<20	<10	140	59	3
205521	0.22	0.006	70.43	13.42	3.18	0.044	0.11	1.29	3.16	5.61	0.278	0.04	0.65	98.22	5	6	<5	<20	<1	<20	<10	90	31	3
205522	0.04	<0.003	71.84	12.46	3.36	0.038	0.11	0.90	2.64	6.10	0.285	0.03	0.65	98.41	5	3	6	<20	<1	<20	<10	<30	35	3
205523	0.12	0.003	71.89	12.01	3.69	0.049	0.18	0.84	2.59	5.43	0.288	0.03	1.18	98.19	6	6	<5	<20	2	<20	<10	70	42	4
205524	0.07	0.005	70.16	13.50	4.13	0.053	0.20	0.77	3.21	5.52	0.404	0.07	0.99	99.01	5	6	<5	<20	2	<20	<10	80	32	2
205525 Received as Pulp	<0.01	<0.003	98.16	0.29	0.03	<0.001	0.02	0.01	<0.01	<0.01	0.015	<0.01	0.36	98.91	<1	<1	<5	<20	<1	<20	<10	70	<1	<1
205526	<0.01	<0.003	70.81	13.40	2.76	0.028	0.11	0.60	2.89	6.68	0.221	0.02	0.69	98.22	2	4	<5	<20	2	<20	<10	60	29	2
205527	0.08	0.004	72.63	12.02	3.32	0.031	0.12	0.44	2.44	6.31	0.270	0.04	0.81	98.43	2	4	<5	<20	2	<20	<10	60	25	2
205528	0.15	0.003	73.23	12.61	2.85	0.031	0.11	0.83	2.91	5.80	0.249	0.05	0.56	99.24	3	5	<5	<20	2	<20	<10	70	26	2
205529	0.12	<0.003	67.59	13.59	4.09	0.053	0.16	1.14	2.87	6.28	0.359	0.05	1.06	97.24	7	5	<5	<20	2	<20	<10	100	49	5
205530	0.21	<0.003	73.46	12.99	1.66	0.007	0.02	0.32	4.57	4.19	0.086	0.02	0.88	98.21	1	5	<5	<20	<1	<20	<10	<30	28	2
205531	<0.01	<0.003	76.58	11.59	1.54	0.021	0.07	0.65	2.51	5.42	0.089	<0.01	0.69	99.17	<1	4	<5	<20	1	<20	<10	<30	20	1
205532	0.27	0.190	62.01	15.47	5.30	0.178	0.05	0.56	7.39	3.71	0.079	0.05	0.81	95.61	1	111	7	<20	<1	<20	<10	620	94	3
205533	0.51	0.027	59.15	16.61	6.03	0.158	0.09	2.26	5.24	5.65	0.333	0.08	1.25	96.84	12	8	<5	<20	<1	<20	<10	240	59	4
205534	<0.01	0.004	70.78	12.48	4.45	0.065	0.16	0.78	2.78	5.76	0.511	0.05	0.73	98.56	8	4	<5	<20	2	<20	<10	100	27	2
205535	0.08	0.080	73.73	11.36	4.29	0.069	0.02	0.37	4.26	3.81	0.116	0.06	0.51	98.60	3	11	<5	<20	<1	<20	20	1990	63	3
205536	0.30	0.215	69.23	13.29	4.48	0.068	0.11	1.06	4.21	4.74	0.229	0.06	0.69	98.17	7	14	<5	<20	<1	<20	<10	540	50	3
205537	0.49	0.389	66.69	13.34	6.18	0.113	0.09	1.29	4.36	4.58	0.262	0.06	0.61	97.57	8	14	9	<20	<1	<20	<10	780	58	5
205538	0.10	0.024	75.00	12.48	1.38	0.016	0.03	0.34	4.30	4.67	0.026	0.02	0.51	98.78	2	18	<5	<20	<1	<20	<10	150	40	3
205539	<0.01	0.426	73.17	11.42	3.88	0.034	0.08	0.14	3.74	4.23	0.095	<0.01	0.55	97.34	2	16	<5	<20	<1	<20	60	490	66	4
205540	<0.01	0.169	74.35	12.35	3.22	0.042	0.04	0.13	4.10	4.47	0.066	0.02	0.47	99.25	3	16	<5	<20	<1	<20	<10	340	56	4
205541	0.21	0.009	65.75	15.60	3.94	0.069	0.17	1.69	4.07	6.23	0.341	0.09	0.67	98.61	11	12	<5	<20	2	<20	<10	160	33	2
205542	0.22	0.024	71.74	13.47	2.21	0.027	0.07	0.85	4.16	4.88	0.132	0.03	0.52	98.09	6	13	<5	<20	1	<20	<10	100	38	3
205543	0.22	0.063	73.48	12.90	2.06	0.025	0.05	0.49	4.22	4.66	0.049	0.03	0.53	98.48	3	17	<5	<20	<1	<20	<10	150	44	3
205544	0.35	0.223	68.57	13.49	4.30	0.074	0.08	1.01	4.10	4.97	0.188	0.05	0.68	97.52	6	18	7	<20	<1	<20	<10	350	51	3
205545	0.32	0.056	71.69	12.79	2.74	0.036	0.10	0.95	3.52	5.46	0.139	0.03	0.62	98.07	4	22	<5	<20	1	<20	<10	650	39	3
205546	0.24	0.007	70.94	14.40	2.71	0.039	0.10	1.20	4.00	5.64	0.190	0.04	0.57	99.82	8	9	<5	<20	1	<20	<10	130	35	2
205547	0.35	0.321	67.16	13.84	4.79	0.072	0.10	1.05	4.43	5.59	0.275	0.07	0.70	98.08	7	14	15	<20	1	<20	<10	620	57	4
205548	0.12	0.130	73.61	11.31	3.26	0.044	0.04	0.34	3.65	4.70	0.134	<0.01	0.43	97.51	2	13	<5	<20	<1	<20	20	2240	49	3
205549	0.56	0.077	66.11	15.00	3.42	0.040	0.09	1.47	4.52	6.01	0.248	0.05	0.62	97.58	6	25	<5	<20	1	<20	<10	240	43	3
205550 Received as Pulp	0.47	0.148	71.93	8.51	6.29	0.176	0.40	1.87	3.64	3.99	0.321	0.06	0.57	97.76	<1	216	7	20	<1	<20	10	1390	69	6

Activation Laboratories Ltd. Report: A10-5928 rev 1

Analyte Symbol	F	Nb2O5	SiO2	Al2O3	Fe2O3(T)	MnO	MgO	CaO	Na2O	K2O	TiO2	P2O5	LOI	Total	Sc	Be	V	Cr	Co	Ni	Cu	Zn	Ga	Ge
Unit Symbol	%	%	%	%	%	%	%	%	%	%	%	%	%	%	ppm	ppm	ppm	ppm	ppm	ppm	ppm	ppm	ppm	ppm
Detection Limit	0.01	0.003	0.01	0.01	0.01	0.001	0.01	0.01	0.01	0.01	0.001	0.01		0.01	1	1	5	20	1	20	10	30	1	1
Analysis Method	FUS-ISE	FUS-XRF	FUS-ICP	FUS-ICP	FUS-ICP	FUS-ICP	FUS-ICP	FUS-ICP	FUS-ICP	FUS-ICP	FUS-ICP	FUS-ICP	FUS-ICP	FUS-ICP	FUS-ICP	FUS-ICP	FUS-ICP	FUS-MS	FUS-MS	FUS-MS	FUS-MS	FUS-MS	FUS-MS	FUS-MS
205551	0.45	0.024	69.44	14.34	3.33	0.045	0.09	1.39	4.29	5.43	0.229	0.05	0.60	99.23	8	14	< 5	< 20	1	< 20	< 10	170	37	2
205552	< 0.01	0.348	73.17	12.35	3.11	0.038	0.08	0.30	3.89	4.52	0.098	0.02	0.65	98.23	2	13	10	< 20	< 1	< 20	10	380	71	3
205553	< 0.01	0.433	72.64	11.56	4.09	0.057	0.10	0.19	3.17	4.99	0.119	0.02	0.67	97.61	3	9	6	< 20	< 1	< 20	10	720	72	4
205554	0.22	0.072	74.60	12.96	2.01	0.024	0.08	0.73	4.19	4.65	0.093	0.02	0.54	99.89	5	21	< 5	< 20	< 1	< 20	< 10	200	41	3
205555	< 0.01	0.167	80.34	8.57	1.89	0.017	0.05	0.11	2.89	3.20	0.046	< 0.01	0.54	97.64	1	11	< 5	< 20	< 1	< 20	< 10	140	52	3
205556	0.30	0.514	67.98	12.43	4.32	0.069	0.06	0.81	3.85	4.62	0.156	0.02	0.92	95.24	4	57	7	< 20	< 1	< 20	< 10	610	111	9
205557	0.09	0.066	74.15	12.76	2.09	0.026	0.04	0.29	4.17	4.78	0.038	0.01	0.59	98.93	2	19	< 5	< 20	< 1	< 20	< 10	280	48	3
205558	0.36	0.191	69.80	13.43	3.54	0.039	0.07	0.76	4.22	5.00	0.158	0.03	0.60	97.63	5	19	< 5	< 20	< 1	< 20	< 10	200	51	3
205559	0.04	0.215	77.40	11.00	2.38	0.034	0.05	0.20	3.44	4.54	0.059	0.02	0.39	99.51	2	13	< 5	< 20	< 1	< 20	10	480	55	3
205560	0.15	0.020	75.39	12.41	1.42	0.016	0.04	0.41	3.74	5.06	0.024	0.02	0.41	98.94	3	14	< 5	< 20	< 1	< 20	< 10	100	40	3
205561	0.20	0.042	75.05	12.62	1.91	0.026	0.08	0.59	3.96	4.95	0.065	0.02	0.50	99.77	3	14	< 5	< 20	< 1	< 20	20	610	45	3

Activation Laboratories Ltd. Report: A10-5928 rev 1

Analyte Symbol	As	Rb	Sr	Y	Zr	Mo	Ag	In	Sn	Sb	Cs	Ba	Bi	La	Ce	Pr	Nd	Sm	Eu	Gd	Tb	Dy	Ho	Er
Unit Symbol	ppm	ppm	ppm	ppm	ppm	ppm	ppm	ppm	ppm	ppm	ppm	ppm	ppm	ppm	ppm	ppm	ppm	ppm	ppm	ppm	ppm	ppm	ppm	ppm
Detection Limit	5	2	2	2	4	2	0.5	0.2	1	0.5	0.5	3	0.4	0.1	0.1	0.05	0.1	0.1	0.05	0.1	0.1	0.1	0.1	0.1
Analysis Method	FUS-MS	FUS-MS	FUS-ICP	FUS-ICP	FUS-ICP	FUS-MS	FUS-MS	FUS-MS	FUS-MS	FUS-MS	FUS-MS	FUS-ICP	FUS-MS	FUS-MS	FUS-MS	FUS-MS	FUS-MS	FUS-MS	FUS-MS	FUS-MS	FUS-MS	FUS-MS	FUS-MS	FUS-MS
205451	17	537	125	776	5029	4		< 0.2	164	2.6	0.6	1032	0.5	441	1060	108	410	95.8	7.08	96.0	20.6	141	32.5	105
205452	27	168	55	836	5633	7		< 0.2	11	< 0.5	1.1	303	< 0.4	2140	5050	544	1980	323	10.2	230	37.0	212	40.3	110
205453	14	212	37	331	2989	< 2		< 0.2	14	< 0.5	2.1	150	< 0.4	1020	2510	268	997	158	6.62	105	15.7	87.3	16.2	44.2
205454	59	63	76	1182	3102	18		0.4	8	< 0.5	0.7	88	< 0.4	4580	11000	1190	4430	665	15.3	407	60.5	336	59.8	162
205455	6	163	49	316	2770	7		< 0.2	2	< 0.5	< 0.5	561	< 0.4	684	1420	138	482	78.2	3.66	59.3	10.5	64.6	13.5	40.3
205456	< 5	286	38	283	3234	2		< 0.2	16	< 0.5	4.7	279	1.6	84.4	257	29.2	114	33.4	1.29	35.4	7.8	52.9	12.0	40.8
205457	110	60	49	3831	2581	38		0.6	3	< 0.5	< 0.5	238	< 0.4	10500	24300	2580	9310	1440	25.4	1010	163	945	179	472
205458	20	157	83	412	163	2	0.6	< 0.2	2	< 0.5	< 0.5	784	< 0.4	942	2850	373	1560	264	3.20	185	24.5	125	21.5	51.7
205459	94	145	209	15370	9562	< 2		0.4	698	4.7	14.1	136	< 0.4	17600	28300	2350	7190	1240	59.3	1110	262	2030	507	1850
205460	157	321	121	6639	863	3	1.9	< 0.2	4	< 0.5	7.8	283	0.7	15400	34200	3560	13000	2020	50.2	1440	238	1490	282	781
205461	102	306	66	4172	728	23	1.7	< 0.2	5	< 0.5	3.6	287	< 0.4	9840	21900	2290	8380	1320	33.6	941	156	919	180	494
205462	11	536	21	485	2120	8		< 0.2	16	< 0.5	4.3	201	< 0.4	995	2130	195	642	106	3.19	77.8	15.3	98.4	20.5	63.7
205463	10	459	19	459	2369	4		< 0.2	12	< 0.5	2.6	232	< 0.4	1140	2220	199	652	103	3.14	75.4	14.3	91.3	19.1	58.2
205464	< 5	279	83	50	68	4	< 0.5	< 0.2	4	< 0.5	1.4	756	< 0.4	248	526	49.0	165	21.4	1.96	11.0	1.6	9.0	1.8	5.4
205465	7	291	80	699	17480	3		< 0.2	6	< 0.5	1.8	646	< 0.4	491	1190	124	489	109	4.01	101	18.8	126	28.9	97.4
205466	7	122	72	290	1401	21		< 0.2	2	< 0.5	1.3	1035	< 0.4	491	1140	126	503	86.2	4.77	65.7	10.2	60.3	12.2	36.4
205467	< 5	527	90	216	1467	< 2		< 0.2	11	< 0.5	6.3	832	< 0.4	179	398	36.6	123	25.4	2.03	22.3	5.6	42.7	9.8	34.4
205468	< 5	440	38	243	248	3	1.0	< 0.2	8	< 0.5	5.0	352	< 0.4	28.2	76.5	8.38	31.9	10.4	0.84	13.0	4.2	35.5	8.9	32.3
205469	< 5	278	100	37	409	5	1.3	< 0.2	4	< 0.5	2.3	1036	< 0.4	151	311	30.5	104	14.2	1.56	7.9	1.2	6.8	1.4	4.2
205470	< 5	224	96	87	606	84	2.2	< 0.2	5	< 0.5	1.9	582	< 0.4	363	801	76.7	258	34.2	1.71	18.9	2.7	15.2	3.1	8.9
205471	< 5	256	87	41	458	4	1.5	< 0.2	4	< 0.5	2.5	639	< 0.4	139	284	27.3	91.6	12.4	1.30	7.2	1.2	6.8	1.4	4.4
205472	< 5	265	84	44	386	41	1.3	< 0.2	4	< 0.5	2.7	660	< 0.4	147	297	29.4	99.7	13.8	1.33	8.0	1.3	7.3	1.5	4.6
205473	< 5	247	88	47	354	7	1.2	< 0.2	5	< 0.5	2.4	627	< 0.4	96.7	192	19.0	65.7	10.0	1.35	7.1	1.3	7.6	1.7	5.3
205474	< 5	258	68	37	160	< 2	< 0.5	< 0.2	3	< 0.5	1.9	484	< 0.4	124	227	20.8	70.6	8.8	0.79	5.4	0.8	5.1	1.1	3.5
205475 Received as Pulp	< 5	< 2	< 2	< 2	37	< 2	< 0.5	< 0.2	< 1	< 0.5	< 0.5	23	< 0.4	1.0	2.6	0.23	1.0	0.2	< 0.05	0.1	< 0.1	0.2	< 0.1	0.1
205476	< 5	212	97	95	269	4	1.1	< 0.2	4	< 0.5	2.1	919	< 0.4	2700	4560	382	1110	106	2.32	53.3	5.2	22.4	3.6	9.1
205477	< 5	312	98	78	636	6	2.6	< 0.2	8	< 0.5	4.6	790	< 0.4	232	467	44.3	156	22.4	1.45	15.4	2.5	13.8	2.8	8.0
205478	< 5	176	83	211	3144	9		< 0.2	12	< 0.5	4.4	286	< 0.4	614	1280	129	456	66.9	2.49	43.9	6.3	35.6	7.3	22.2
205479	< 5	267	86	81	506	5	2.2	< 0.2	5	< 0.5	2.4	603	< 0.4	332	680	64.3	222	28.8	1.24	17.0	2.4	12.5	2.5	7.7
205480	< 5	256	93	30	200	< 2	< 0.5	< 0.2	3	< 0.5	2.0	854	< 0.4	229	450	40.3	135	16.1	1.34	9.2	1.1	5.1	0.9	2.8
205481	< 5	206	86	54	221	19	< 0.5	< 0.2	4	< 0.5	1.3	558	< 0.4	755	1350	124	398	46.4	2.17	24.4	2.6	11.1	1.8	4.9
205482	< 5	269	87	24	231	< 2	< 0.5	< 0.2	3	< 0.5	1.9	794	< 0.4	100	213	19.6	69.3	8.7	1.19	5.3	0.7	3.5	0.6	1.9
205483	< 5	296	103	34	309	< 2	1.3	< 0.2	5	< 0.5	3.5	922	< 0.4	50.2	102	9.76	34.7	5.6	1.26	4.4	0.8	5.2	1.2	4.1
205484	< 5	232	94	69	498	< 2	2.1	< 0.2	5	< 0.5	1.7	763	< 0.4	628	1190	106	344	39.3	1.60	21.4	2.9	13.7	2.5	7.0
205485	< 5	284	91	39	348	< 2	1.3	< 0.2	5	< 0.5	3.0	858	< 0.4	111	221	20.4	70.0	10.1	1.32	6.5	1.0	6.1	1.3	4.2
205486	12	388	84	396	2214	29		< 0.2	21	< 0.5	12.2	716	< 0.4	6600	11400	955	3030	311	5.71	171	17.2	82.1	14.4	38.7
205487	< 5	193	112	121	3087	4		< 0.2	2	< 0.5	0.5	1105	< 0.4	270	804	105	473	77.7	2.93	47.4	6.5	31.8	5.5	14.2
205488	17	563	94	380	2431	9		< 0.2	140	< 0.5	11.3	1139	< 0.4	570	919	78.7	254	39.8	2.82	30.5	6.2	44.1	10.9	41.9
205489	< 5	331	153	787	23840	6		< 0.2	59	< 0.5	5.2	1785	< 0.4	118	265	29.7	122	30.9	4.63	34.2	12.4	123	34.0	141
205490	< 5	568	71	275	4519	16		< 0.2	147	< 0.5	10.9	995	< 0.4	522	873	73.3	232	33.4	2.11	24.2	4.8	33.9	8.9	36.8
205491	< 5	222	7	407	1914	< 2		0.4	10	< 0.5	1.4	71	< 0.4	1150	2510	274	1010	154	3.10	101	16.1	93.1	18.2	55.9
205492	< 5	188	13	860	3959	4		0.5	13	< 0.5	1.4	81	< 0.4	2050	4590	502	1860	286	6.06	196	31.8	186	36.6	106
205493	< 5	341	123	997	472	< 2	2.1	< 0.2	17	< 0.5	4.7	897	< 0.4	651	1670	168	563	106	10.3	79.9	18.0	128	29.7	103
205494	11	118	25	5632	18910	< 2		0.7	25	< 0.5	1.0	199	0.5	1660	4750	580	2380	678	13.1	686	143	951	201	604
205495	< 5	457	111	615	4157	< 2		< 0.2	17	< 0.5	3.9	667	< 0.4	1230	2120	177	510	82.5	3.02	68.7	14.4	99.8	22.4	75.0
205496	16	659	65	6127	8050	4		0.3	78	< 0.5	32.8	399	2.6	1710	4870	573	2210	581	13.8	580	117	767	165	504
205497	10	241	38	6454	14390	11		0.4	15	< 0.5	4.2	194	0.5	1260	3460	431	1870	605	18.6	683	145	954	203	574
205498	< 5	211	47	334	2502	38		< 0.2	3	< 0.5	< 0.5	394	< 0.4	737	1440	145	510	79.9	2.31	56.5	9.8	60.6	12.6	38.9
205499	< 5	246	211	66	596	< 2	2.4	< 0.2	10	< 0.5	1.6	2171	< 0.4	145	292	29.2	106	17.0	3.95	12.3	2.0	11.3	2.3	7.4
205500 Received as Pulp	44	914	116	2332	18170	< 2		0.3	471	< 0.5	0.8	99	1.6	1220	2480	262	961	218	11.9	207	48.0	348	82.8	285

Activation Laboratories Ltd. Report: A10-5928 rev 1

Analyte Symbol	As	Rb	Sr	Y	Zr	Mo	Ag	In	Sn	Sb	Cs	Ba	Bi	La	Ce	Pr	Nd	Sm	Eu	Gd	Tb	Dy	Ho	Er
Unit Symbol	ppm	ppm	ppm	ppm	ppm	ppm	ppm	ppm	ppm	ppm	ppm	ppm	ppm	ppm	ppm	ppm	ppm	ppm	ppm	ppm	ppm	ppm	ppm	ppm
Detection Limit	5	2	2	2	4	2	0.5	0.2	1	0.5	0.5	3	0.4	0.1	0.1	0.05	0.1	0.1	0.05	0.1	0.1	0.1	0.1	0.1
Analysis Method	FUS-MS	FUS-MS	FUS-ICP	FUS-ICP	FUS-ICP	FUS-MS	FUS-MS	FUS-MS	FUS-MS	FUS-MS	FUS-MS	FUS-ICP	FUS-MS	FUS-MS	FUS-MS	FUS-MS	FUS-MS	FUS-MS	FUS-MS	FUS-MS	FUS-MS	FUS-MS	FUS-MS	FUS-MS
205501	< 5	451	12	107	2548	10		< 0.2	12	< 0.5	2.8	107	< 0.4	258	394	30.1	85.1	10.7	0.36	7.8	1.5	10.8	2.9	11.5
205502	< 5	268	103	115	650	6	2.9	< 0.2	7	< 0.5	1.2	1177	< 0.4	193	389	39.4	147	25.4	2.50	19.6	3.3	20.3	4.2	12.6
205503	< 5	275	117	72	560	9	2.5	< 0.2	6	< 0.5	1.8	1393	< 0.4	86.6	198	21.7	85.1	16.2	2.48	12.3	2.1	13.1	2.8	8.3
205504	< 5	232	147	69	553	< 2	2.3	< 0.2	7	< 0.5	1.9	1640	< 0.4	107	229	22.9	86.0	14.7	2.64	11.5	2.0	12.3	2.6	8.1
205505	< 5	170	18	769	6483	30		0.4	11	< 0.5	0.6	273	< 0.4	1730	3910	433	1670	260	5.17	183	28.3	163	31.9	89.0
205506	< 5	222	65	212	522	< 2	2.0	< 0.2	< 1	< 0.5	< 0.5	335	< 0.4	117	268	29.2	118	26.8	1.62	26.8	5.8	43.2	10.4	32.5
205507	13	338	17	1005	35680	27		0.3	46	< 0.5	9.6	156	< 0.4	4450	7480	669	2110	270	5.78	171	26.1	161	36.7	129
205508	< 5	449	27	138	2484	< 2		< 0.2	12	< 0.5	2.7	237	< 0.4	101	223	21.4	78.3	18.5	0.72	16.3	3.6	25.5	5.6	18.3
205509	< 5	947	104	526	3397	9		< 0.2	38	< 0.5	8.3	995	< 0.4	244	602	57.2	177	37.0	2.21	32.8	8.3	67.3	17.7	67.1
205510	< 5	170	485	44	252	< 2	1.1	< 0.2	14	< 0.5	3.7	875	< 0.4	17.7	43.9	5.05	22.0	6.0	1.02	5.2	1.1	7.7	1.7	5.6
205511	< 5	147	94	586	6798	9		< 0.2	127	< 0.5	2.3	339	0.9	4280	6630	539	1580	173	11.3	105	15.3	94.8	20.9	75.9
205512	11	38	5	995	6606	32		0.5	9	< 0.5	1.2	24	< 0.4	2400	5650	629	2370	361	7.17	247	39.2	226	43.9	123
205513	< 5	192	29	523	4739	19		0.2	8	< 0.5	1.7	389	< 0.4	1280	2880	319	1210	187	4.43	127	19.9	112	21.8	65.1
205514	12	40	8	1133	9136	42		0.4	10	< 0.5	1.5	8	< 0.4	2460	5810	655	2500	389	7.61	274	42.1	242	46.9	133
205515	< 5	174	211	55	726	< 2	6.6	< 0.2	5	< 0.5	1.5	2305	< 0.4	124	288	26.6	99.1	15.8	4.05	11.8	1.9	10.5	2.1	6.1
205516	< 5	193	63	2828	2331	< 2		< 0.2	3	< 0.5	< 0.5	226	< 0.4	762	2070	255	1070	339	8.20	350	81.4	561	118	341
205517	< 5	617	18	196	1782	< 2		< 0.2	25	< 0.5	3.8	130	< 0.4	628	811	55.3	152	22.1	0.55	19.3	4.0	27.5	6.2	20.6
205518	10	74	13	994	6100	29		0.4	5	< 0.5	0.9	118	< 0.4	2310	5390	601	2280	356	7.26	245	38.2	219	42.2	117
205519	< 5	90	13	860	6454	30		0.3	6	< 0.5	0.8	161	< 0.4	2100	4830	538	2010	311	6.46	215	33.5	193	37.3	106
205520	< 5	372	61	154	4863	< 2		< 0.2	2	< 0.5	1.4	525	< 0.4	76.6	231	22.8	80.0	19.3	1.23	16.8	4.6	36.1	8.6	32.1
205521	< 5	240	102	108	374	6	1.5	< 0.2	6	< 0.5	3.0	731	< 0.4	1240	2180	201	642	73.6	2.34	42.3	4.9	22.2	3.9	10.1
205522	< 5	222	94	101	208	< 2	< 0.5	< 0.2	6	< 0.5	2.4	914	< 0.4	2480	4310	369	1110	112	2.34	57.5	5.6	23.1	3.7	9.5
205523	8	224	138	152	305	2	1.0	< 0.2	13	< 0.5	3.0	919	< 0.4	2350	4340	411	1300	145	3.69	65.6	7.4	34.1	5.8	15.6
205524	< 5	233	117	63	584	4	2.0	< 0.2	7	< 0.5	2.4	843	< 0.4	483	843	74.8	244	28.6	1.68	16.4	2.1	11.7	2.4	7.2
205525 Received as Pulp	< 5	< 2	< 2	< 2	39	< 2	< 0.5	< 0.2	< 1	< 0.5	< 0.5	23	< 0.4	1.9	3.5	0.35	1.4	0.2	< 0.05	0.2	< 0.1	0.2	< 0.1	0.1
205526	< 5	268	112	45	237	5	0.7	< 0.2	5	< 0.5	2.6	1095	< 0.4	454	826	75.2	243	28.1	1.74	14.7	1.8	9.0	1.7	4.8
205527	< 5	257	83	26	350	4	1.1	< 0.2	5	< 0.5	2.8	773	< 0.4	84.7	163	15.8	53.9	7.4	1.02	4.7	0.7	4.2	0.9	2.7
205528	< 5	256	94	42	398	4	1.2	< 0.2	5	< 0.5	2.9	790	< 0.4	88.2	180	18.1	63.7	9.6	1.46	6.7	1.1	6.3	1.4	4.5
205529	9	248	133	172	323	5	1.1	< 0.2	11	< 0.5	3.5	1310	< 0.4	3170	5680	525	1630	180	4.71	81.9	9.0	40.3	6.7	16.7
205530	< 5	412	18	35	65	< 2	< 0.5	< 0.2	45	< 0.5	13.8	56	< 0.4	16.8	33.1	3.45	13.0	2.6	0.32	2.5	0.5	3.5	0.9	3.3
205531	< 5	275	126	12	236	2	0.7	< 0.2	3	< 0.5	6.8	385	< 0.4	66.2	137	13.9	47.7	6.1	0.74	3.1	0.4	1.9	0.4	1.3
205532	5	340	21	432	11760	20		< 0.2	170	0.8	2.8	240	< 0.4	573	850	68.6	202	29.0	1.43	23.5	5.4	44.8	14.7	67.4
205533	8	265	115	536	1459	45		< 0.2	11	< 0.5	1.5	1154	< 0.4	2290	4100	389	1220	159	6.06	96.1	14.9	91.4	19.9	62.5
205534	< 5	167	127	56	360	7	1.3	< 0.2	4	< 0.5	1.1	1469	< 0.4	363	735	69.8	243	30.1	2.66	17.6	2.2	11.5	2.2	6.3
205535	< 5	325	25	348	4128	< 2		0.6	6	< 0.5	1.7	163	51.3	418	700	58.7	176	34.5	0.79	33.0	7.8	58.9	14.7	49.5
205536	< 5	351	117	226	2852	4		< 0.2	19	< 0.5	2.8	1223	14.5	270	663	65.5	217	38.3	2.72	29.5	5.5	36.5	8.4	27.0
205537	5	361	124	894	3029	3		< 0.2	27	< 0.5	4.0	1152	0.5	849	1900	193	689	134	4.48	117	19.8	127	27.3	84.5
205538	< 5	354	19	237	195	< 2	0.7	< 0.2	11	< 0.5	1.4	100	< 0.4	78.1	191	20.9	80.5	20.0	0.54	22.3	4.4	30.3	6.8	22.7
205539	< 5	343	24	423	6179	4		< 0.2	38	< 0.5	2.6	131	1.0	113	487	67.9	279	66.8	1.59	55.2	10.1	66.6	14.9	48.1
205540	< 5	355	20	301	2603	2		< 0.2	18	< 0.5	2.3	95	< 0.4	130	399	47.6	179	39.5	0.90	34.3	6.4	41.6	9.4	31.0
205541	< 5	286	202	70	659	5	2.3	< 0.2	15	< 0.5	2.3	2278	< 0.4	134	268	28.8	108	17.3	4.38	13.1	2.1	11.8	2.4	7.7
205542	< 5	344	76	120	657	2	2.2	< 0.2	10	< 0.5	2.5	785	< 0.4	74.1	154	16.3	60.7	12.6	1.70	12.5	2.5	17.4	3.9	13.6
205543	< 5	388	31	307	1158	< 2		< 0.2	13	< 0.5	2.4	265	< 0.4	84.5	218	25.9	108	29.7	1.12	31.4	6.3	42.8	9.6	32.8
205544	< 5	402	88	571	2985	3		< 0.2	22	0.5	4.5	876	0.4	279	730	82.5	314	67.6	2.86	60.5	11.3	73.6	16.3	55.6
205545	6	409	78	192	1805	4		< 0.2	24	< 0.5	5.2	843	0.6	117	253	26.0	95.4	20.3	1.95	18.9	3.7	25.1	5.7	19.8
205546	< 5	347	112	90	395	2	1.3	< 0.2	7	< 0.5	1.6	1181	< 0.4	82.4	158	16.7	62.4	10.6	2.43	9.3	1.6	10.5	2.4	8.0
205547	< 5	428	113	424	4132	3		< 0.2	20	0.6	3.2	1195	< 0.4	276	799	92.3	344	72.2	3.59	58.9	10.7	67.8	15.0	49.9
205548	< 5	372	24	243	3475	< 2		0.3	11	< 0.5	2.2	178	0.5	66.7	222	29.6	120	28.8	0.98	26.0	4.9	33.1	7.4	25.7
205549	< 5	704	136	427	1515	2		< 0.2	26	< 0.5	5.1	1689	< 0.4	386	848	81.5	270	47.9	3.31	42.6	8.1	51.3	11.5	38.3
205550 Received as Pulp	38	950	123	1681	13560	5		0.2	346	1.6	0.8	56	2.7	1130	2390	258	1010	217	12.2	215	39.8	264	58.1	182

Activation Laboratories Ltd. Report: A10-5928 rev 1

Analyte Symbol	As	Rb	Sr	Y	Zr	Mo	Ag	In	Sn	Sb	Cs	Ba	Bi	La	Ce	Pr	Nd	Sm	Eu	Gd	Tb	Dy	Ho	Er
Unit Symbol	ppm	ppm	ppm	ppm	ppm	ppm	ppm	ppm	ppm	ppm	ppm	ppm	ppm	ppm	ppm	ppm	ppm	ppm	ppm	ppm	ppm	ppm	ppm	ppm
Detection Limit	5	2	2	2	4	2	0.5	0.2	1	0.5	0.5	3	0.4	0.1	0.1	0.05	0.1	0.1	0.05	0.1	0.1	0.1	0.1	0.1
Analysis Method	FUS-MS	FUS-MS	FUS-ICP	FUS-ICP	FUS-ICP	FUS-MS	FUS-MS	FUS-MS	FUS-MS	FUS-MS	FUS-MS	FUS-ICP	FUS-MS	FUS-MS	FUS-MS	FUS-MS	FUS-MS	FUS-MS	FUS-MS	FUS-MS	FUS-MS	FUS-MS	FUS-MS	FUS-MS
205551	< 5	498	116	139	814	2	2.7	< 0.2	13	< 0.5	3.3	1343	< 0.4	119	255	26.0	92.5	16.7	2.47	14.7	2.8	18.4	4.1	14.0
205552	< 5	332	35	199	3863	3		< 0.2	18	< 0.5	1.6	257	< 0.4	183	552	58.3	197	36.8	1.15	27.4	4.7	31.0	6.7	21.9
205553	< 5	357	24	278	4356	< 2		< 0.2	19	< 0.5	2.0	102	0.4	212	683	73.5	249	46.2	0.95	32.8	6.1	40.0	9.1	31.0
205554	< 5	326	48	143	435	< 2	1.4	< 0.2	14	< 0.5	2.1	436	< 0.4	99.3	220	22.9	78.6	15.7	1.25	14.9	3.1	20.6	4.7	16.2
205555	< 5	271	21	223	3278	< 2		< 0.2	13	< 0.5	1.8	97	< 0.4	207	506	48.7	167	34.1	0.77	28.0	5.2	34.1	7.7	25.7
205556	14	412	77	2678	6732	< 2		< 0.2	54	< 0.5	3.4	124	0.5	4890	8190	715	2200	368	5.81	324	54.0	330	71.1	224
205557	< 5	420	22	264	1370	< 2		< 0.2	14	< 0.5	3.2	116	< 0.4	104	257	28.6	106	24.8	0.67	25.0	5.0	33.5	7.8	26.5
205558	< 5	548	47	409	1775	< 2		< 0.2	35	< 0.5	6.5	575	< 0.4	248	642	67.3	238	50.4	1.68	44.9	8.5	56.7	12.9	42.8
205559	< 5	368	17	231	4130	< 2		< 0.2	17	< 0.5	2.3	110	0.4	130	400	44.3	150	29.8	0.58	24.4	4.8	33.0	7.7	27.4
205560	< 5	384	18	200	308	< 2	1.0	< 0.2	10	< 0.5	3.0	82	< 0.4	59.2	141	16.2	62.7	16.9	0.52	18.8	3.9	27.2	6.4	21.6
205561	< 5	320	31	215	1256	< 2		< 0.2	8	< 0.5	1.8	215	1.2	146	304	31.8	110	23.6	0.84	23.0	4.5	31.7	7.1	23.3

Analyte Symbol	Tm	Yb	Lu	Hf	Ta	W	Ti	Pb	Th	U
Unit Symbol	ppm	ppm	ppm	ppm	ppm	ppm	ppm	ppm	ppm	ppm
Detection Limit	0.05	0.1	0.04	0.2	0.1	1	0.1	5	0.1	0.1
Analysis Method	FUS-MS	FUS-MS	FUS-MS	FUS-MS	FUS-MS	FUS-MS	FUS-MS	FUS-MS	FUS-MS	FUS-MS
205451	16.9	110	16.3	138	43.0	2	1.2	191	217	31.1
205452	14.9	88.6	13.5	113	5.6	< 1	0.5	96	361	28.5
205453	6.05	36.5	5.84	64.4	9.0	< 1	0.8	61	226	10.1
205454	21.6	129	19.8	72.3	17.1	2	0.3	81	808	51.7
205455	6.05	37.9	6.03	54.8	2.4	< 1	0.6	37	85.4	9.1
205456	6.98	53.2	9.12	114	36.7	6	1.2	148	126	55.0
205457	59.4	327	47.3	32.3	< 0.1	2	0.2	136	1630	137
205458	6.25	34.9	5.27	4.4	0.4	< 1	0.4	32	245	17.0
205459	335	2260	319	498	319	70	6.0	1010	5800	380
205460	105	584	79.3	14.7	1.5	5	1.8	244	1980	174
205461	68.0	373	49.8	10.7	5.6	7	1.4	183	1290	118
205462	9.78	65.4	10.4	52.1	32.8	3	2.0	106	227	39.9
205463	8.75	57.9	9.28	52.6	10.2	2	1.6	74	191	22.7
205464	0.81	5.3	0.86	2.0	2.5	1	1.3	105	557	72.9
205465	16.4	123	21.3	451	17.9	2	1.4	115	237	67.5
205466	5.62	37.6	6.23	13.7	1.9	< 1	0.6	41	38.9	6.6
205467	6.37	43.6	6.57	53.8	20.6	3	2.0	69	393	9.6
205468	6.14	44.2	6.66	14.9	4.9	2	1.7	64	102	3.0
205469	0.63	4.2	0.69	12.6	1.5	< 1	1.2	104	712	33.1
205470	1.31	8.4	1.27	24.1	2.8	1	1.2	506	3530	273
205471	0.70	5.1	0.86	17.4	2.6	< 1	1.1	85	349	22.0
205472	0.72	4.8	0.80	12.5	2.3	1	1.2	91	490	64.3
205473	0.84	5.8	0.97	12.3	2.3	< 1	1.2	107	485	38.7
205474	0.57	4.0	0.65	5.3	2.5	< 1	1.0	65	419	26.7
205475 Received as Pulp	< 0.05	0.1	< 0.04	0.8	< 0.1	< 1	< 0.1	< 5	0.6	0.2
205476	1.24	7.8	1.19	7.2	0.9	< 1	0.9	43	432	5.8
205477	1.16	7.7	1.22	16.4	3.6	< 1	1.4	121	660	68.8
205478	3.49	24.3	4.07	104	9.0	< 1	0.9	229	807	77.6
205479	1.16	7.9	1.29	18.3	4.2	< 1	1.1	307	1230	157
205480	0.43	2.8	0.44	6.2	1.3	< 1	1.1	91	364	17.5
205481	0.70	4.7	0.70	6.4	1.5	< 1	0.9	76	310	13.8
205482	0.29	2.0	0.31	6.6	0.9	< 1	1.2	75	240	12.9
205483	0.64	4.4	0.72	9.6	2.7	< 1	1.3	66	147	13.6
205484	1.02	6.7	1.06	12.4	1.5	< 1	1.0	42	163	3.5
205485	0.65	4.2	0.65	10.4	2.1	< 1	1.3	91	269	26.3
205486	5.51	33.4	5.18	56.7	7.6	< 1	1.7	45	861	24.4
205487	1.99	14.1	2.68	58.7	1.6	< 1	0.6	30	83.1	6.6
205488	8.15	64.3	11.6	97.4	27.3	< 1	3.4	897	211	26.0
205489	28.5	221	36.6	959	21.3	3	1.5	197	1380	45.1
205490	7.68	64.5	12.5	130	66.0	< 1	3.9	268	184	53.2
205491	8.42	58.6	10.2	52.7	2.8	< 1	0.8	57	214	18.2
205492	15.4	98.6	15.6	91.8	5.2	3	0.6	71	371	35.3
205493	18.8	129	19.2	21.1	27.5	1	1.4	160	2460	73.4
205494	86.3	540	83.6	526	347	42	0.4	454	636	532
205495	12.3	82.0	13.1	139	27.1	< 1	1.4	191	2840	90.0
205496	73.5	462	71.2	283	464	69	2.8	533	608	444
205497	78.5	442	62.5	350	210	61	1.0	387	625	424
205498	5.90	38.9	6.28	61.7	12.7	< 1	1.0	77	147	15.8
205499	1.06	6.9	1.11	13.6	2.4	< 1	1.1	50	27.2	3.6
205500 Received as Pulp	47.2	317	49.8	449	122	< 1	1.6	336	350	76.9

Analyte Symbol	Tm	Yb	Lu	Hf	Ta	W	Ti	Pb	Th	U
Unit Symbol	ppm	ppm	ppm	ppm	ppm	ppm	ppm	ppm	ppm	ppm
Detection Limit	0.05	0.1	0.04	0.2	0.1	1	0.1	5	0.1	0.1
Analysis Method	FUS-MS	FUS-MS	FUS-MS	FUS-MS	FUS-MS	FUS-MS	FUS-MS	FUS-MS	FUS-MS	FUS-MS
205501	2.18	17.8	3.24	54.1	7.0	< 1	2.0	65	29.9	8.4
205502	1.89	12.6	1.96	16.1	3.4	< 1	1.2	65	35.9	3.8
205503	1.26	8.1	1.29	13.7	2.8	< 1	1.2	52	22.6	3.7
205504	1.20	8.0	1.21	13.0	2.2	< 1	1.0	50	24.2	1.7
205505	12.7	81.0	12.7	124	9.3	< 1	0.4	47	249	22.5
205506	4.70	27.7	3.83	18.9	6.9	< 1	1.1	117	300	68.0
205507	22.0	154	27.4	668	62.8	5	1.7	84	550	63.0
205508	2.96	21.1	3.39	71.0	30.0	< 1	1.6	112	69.1	16.7
205509	13.7	115	20.0	206	43.6	< 1	3.6	406	689	52.6
205510	0.87	5.4	0.74	6.8	3.1	< 1	0.9	502	94.8	156
205511	13.2	98.0	16.0	193	72.5	6	0.7	237	549	50.3
205512	17.6	113	19.1	122	5.4	< 1	0.3	63	435	42.8
205513	9.05	57.6	9.63	89.8	7.1	< 1	0.8	61	222	22.2
205514	19.0	122	20.4	163	9.4	< 1	0.3	67	422	44.7
205515	0.94	6.4	1.01	13.3	1.6	< 1	0.9	40	30.8	2.4
205516	45.7	243	32.1	78.4	99.3	20	0.8	159	357	124
205517	3.36	24.2	4.09	61.9	14.0	4	1.5	102	71.4	10.2
205518	16.8	106	17.5	108	5.4	< 1	0.4	56	393	39.5
205519	15.0	95.6	15.7	113	5.8	< 1	0.4	57	356	35.7
205520	6.25	46.7	7.83	186	73.1	< 1	1.4	180	170	31.2
205521	1.47	9.2	1.39	9.6	1.8	< 1	1.1	78	391	25.3
205522	1.26	8.0	1.25	5.2	1.0	< 1	1.0	41	411	5.6
205523	2.16	13.4	2.11	8.8	3.1	3	1.1	62	602	16.8
205524	1.05	7.0	1.12	15.8	2.6	2	1.1	47	167	7.5
205525 Received as Pulp	< 0.05	0.1	< 0.04	0.9	< 0.1	1	< 0.1	< 5	0.5	0.2
205526	0.66	4.3	0.69	6.7	1.6	2	1.3	48	118	6.0
205527	0.40	2.8	0.46	10.0	2.3	1	1.2	39	35.1	2.9
205528	0.70	4.9	0.79	10.5	2.2	2	1.3	73	198	13.1
205529	2.27	13.4	2.04	8.8	1.5	2	1.2	62	600	21.8
205530	0.60	4.9	0.90	3.7	5.5	8	1.8	43	53.7	6.9
205531	0.21	1.6	0.28	7.0	0.7	1	1.4	71	296	13.9
205532	15.4	138	26.2	312	120	7	1.4	652	278	132
205533	9.57	58.4	8.89	36.1	7.4	2	1.2	79	355	21.7
205534	0.92	6.4	1.11	9.4	2.9	3	0.8	45	95.0	3.7
205535	8.73	63.0	9.98	119	14.9	2	1.3	207	325	22.1
205536	4.66	34.1	5.71	81.1	95.8	9	1.3	147	103	68.4
205537	13.3	91.2	14.7	98.2	178	11	1.2	186	124	127
205538	3.67	24.8	3.74	8.5	11.9	3	1.2	119	43.1	13.9
205539	8.49	64.4	10.6	200	210	11	1.4	381	137	173
205540	5.37	39.1	6.48	84.5	72.7	8	1.3	212	85.4	73.8
205541	1.23	8.5	1.38	14.9	2.8	3	1.3	76	29.8	3.1
205542	2.49	17.9	2.82	21.3	12.5	3	1.2	92	43.5	13.0
205543	5.68	40.1	6.28	38.2	19.1	5	1.3	114	74.1	27.2
205544	9.75	69.8	11.2	91.7	95.2	14	1.5	196	144	104
205545	3.62	25.7	4.05	66.7	22.3	5	1.7	128	57.8	23.6
205546	1.33	9.1	1.50	9.2	4.9	2	1.4	95	20.5	5.3
205547	8.63	61.4	10.1	167	143	13	1.6	196	138	113
205548	4.66	32.9	5.32	151	49.6	6	1.3	147	72.6	42.4
205549	6.47	44.3	6.83	46.5	32.6	6	2.2	128	124	20.4
205550 Received as Pulp	28.5	181	26.1	399	63.7	12	1.9	338	262	51.0

Analyte Symbol	Tm	Yb	Lu	Hf	Ta	W	Ti	Pb	Th	U
Unit Symbol	ppm	ppm	ppm	ppm	ppm	ppm	ppm	ppm	ppm	ppm
Detection Limit	0.05	0.1	0.04	0.2	0.1	1	0.1	5	0.1	0.1
Analysis Method	FUS-MS	FUS-MS	FUS-MS	FUS-MS	FUS-MS	FUS-MS	FUS-MS	FUS-MS	FUS-MS	FUS-MS
205551	2.44	16.8	2.68	23.8	10.9	4	1.8	103	59.0	7.0
205552	3.83	27.5	4.63	149	175	14	1.1	196	43.4	121
205553	5.77	44.0	7.72	150	197	14	1.4	241	66.3	151
205554	2.92	20.4	3.23	17.4	35.4	5	1.3	100	50.6	27.1
205555	4.53	33.1	5.35	102	85.6	6	0.9	139	54.8	58.3
205556	35.7	229	33.9	303	215	21	1.3	237	215	164
205557	4.63	33.2	5.32	36.6	25.8	5	1.3	137	57.3	33.1
205558	7.78	54.9	8.82	51.6	83.8	8	1.8	164	117	68.2
205559	4.97	37.6	6.37	107	94.8	10	1.3	179	47.2	77.0
205560	3.73	27.3	4.34	9.9	10.1	3	1.4	97	28.1	9.2
205561	3.74	25.2	3.93	33.6	14.8	3	1.2	165	39.6	15.8

Activation Laboratories Ltd. Report: A10-5928 rev 1

Quality Control

Analyte Symbol	F	Nb2O5	SiO2	Al2O3	Fe2O3(T)	MnO	MgO	CaO	Na2O	K2O	TiO2	P2O5	LOI	Total	Sc	Be	V	Sr	Y	Zr	Ba	Cr	Co	Ni	
Unit Symbol	%	%	%	%	%	%	%	%	%	%	%	%	%	%	ppm	ppm	ppm	ppm	ppm	ppm	ppm	ppm	ppm	ppm	
Detection Limit	0.01	0.003	0.01	0.01	0.01	0.001	0.01	0.01	0.01	0.01	0.001	0.01		0.01	1	1	5	2	2	4	3	20	1	20	
Analysis Method	FUS-ISE	FUS-XRF	FUS-ICP	FUS-ICP	FUS-ICP	FUS-ICP	FUS-ICP	FUS-ICP	FUS-ICP	FUS-ICP	FUS-ICP	FUS-ICP	FUS-ICP	FUS-ICP	FUS-ICP	FUS-ICP	FUS-ICP	FUS-ICP	FUS-ICP	FUS-ICP	FUS-ICP	FUS-MS	FUS-MS	FUS-MS	
WVG-1 Meas																						770	212	2630	
WVG-1 Cert																						770	200	2700	
DH-1a Meas																									
DH-1a Cert																									
TAN-1 Meas																									
TAN-1 Cert																									
NIST 694 Meas			11.52	1.91	0.76	0.011	0.35	43.93	0.88	0.56	0.119	30.14					1682								
NIST 694 Cert			11.2	1.80	0.790	0.0116	0.330	43.6	0.860	0.510	0.110	30.2					1740								
DNC-1 Meas			46.97	18.33	9.87	0.148	10.02	11.26	1.87	0.22	0.480	0.08			31		157	141	15	38	102	260	57	260	
DNC-1 Cert			47.15	18.34	9.97	0.150	10.13	11.49	1.890	0.234	0.480	0.070			31		148.0	144.0	18.0	38	118	270.0	57.0	247	
GBW 07113 Meas			71.82	12.84	3.23	0.138	0.14	0.56	2.47	5.42	0.279	0.04			5	4	< 5	39	45	421	485				
GBW 07113 Cert			72.8	13.0	3.21	0.140	0.160	0.590	2.57	5.43	0.300	0.0500			5.00	4.00	5.00	43.0	43.0	403	506				
LKSD-3 Meas																						70	31	40	
LKSD-3 Cert																						87.0	30.0	47.0	
NIST 1633b Meas			48.15	28.21	11.11	0.020	0.77	2.09	0.25	2.30	1.295	0.55			40		304	1038			686				
NIST 1633b Cert			49.2	28.4	11.1	0.0200	0.800	2.11	0.270	2.35	1.32	0.530			41.0		296	1040			709				
OKA-2 Meas																									
OKA-2 Cert																									
AC-E Meas		0.015																							
AC-E Cert		0.016																							
OKA-1 Meas		0.527																							
OKA-1 Cert		0.529																							
W-2a Meas			52.57	15.23	10.78	0.168	6.31	10.82	2.22	0.62	1.093	0.14			36	< 1	276	195	19	92	169	90	46	70	
W-2a Cert			52.4	15.4	10.7	0.163	6.37	10.9	2.14	0.626	1.06	0.130			36.0	1.30	262	190	24.0	94.0	182	92.0	43.0	70.0	
SY-4 Meas			49.44	20.49	6.13	0.107	0.51	7.89	6.92	1.68	0.291	0.14			2	3	< 5	1201	119	528	337				
SY-4 Cert			49.9	20.69	6.21	0.108	0.54	8.05	7.10	1.66	0.287	0.131			1.1	2.6	8.0	1191	119	517	340				
CTA-AC-1 Meas																								< 1	
CTA-AC-1 Cert																									2.72
BIR-1a Meas			48.66	15.81	11.40	0.173	9.62	13.14	1.84	0.02	0.973	0.03			44	< 1	338	107	13	17	8	380	54	160	
BIR-1a Cert			47.96	15.50	11.30	0.175	9.700	13.30	1.82	0.030	0.96	0.021			44	0.58	310	110	16	18	6	370	52	170	
NCS DC86312 Meas																									
NCS DC86312 Cert																									
VS-N Meas		0.101																							
VS-N Cert		0.10																							
NCS DC86302 Meas			73.19	14.63	0.60	0.035	0.06	0.62	4.36	3.81	0.013	0.03					1338								
NCS DC86302 Cert			73.99	14.86	0.593	0.036	0.069	0.584	4.67	3.89	0.016	0.013					1315								
NCS DC70014 Meas																							25	60	
NCS DC70014 Cert																							26.2	70.9	
IGS 40 Meas																									
IGS 40 Cert																									
NCS DC86316 Meas																									
NCS DC86316 Cert																									
NCS DC70009 (GBW07241) Meas																							30	3	< 20
NCS DC70009 (GBW07241) Cert																							30	3.7	2.8
OREAS 100a (Fusion) Meas																								17	
OREAS 100a (Fusion) Cert																								18.1	
OREAS 101a (Fusion) Meas																								48	
OREAS 101a (Fusion) Cert																								48.8	
JR-1 Meas																							< 20	< 1	< 20
JR-1 Cert																							2.83	0.83	1.67
NCS DC86318 Meas			64.35	13.54	2.29	0.054	0.08		0.58	5.43	0.169	0.02												17220	
NCS DC86318 Cert			66.90	14.26	2.24	0.052	0.11		0.66	5.52	0.17	0.020												17010	
SX18-01 Meas		0.701																							

Activation Laboratories Ltd. Report: A10-5928 rev 1

Quality Control																									
Analyte Symbol	F	Nb2O5	SiO2	Al2O3	Fe2O3(T)	MnO	MgO	CaO	Na2O	K2O	TiO2	P2O5	LOI	Total	Sc	Be	V	Sr	Y	Zr	Ba	Cr	Co	Ni	
Unit Symbol	%	%	%	%	%	%	%	%	%	%	%	%	%	%	ppm	ppm	ppm	ppm	ppm	ppm	ppm	ppm	ppm	ppm	
Detection Limit	0.01	0.003	0.01	0.01	0.01	0.001	0.01	0.01	0.01	0.01	0.001	0.01	0.01	0.01	1	1	5	2	2	4	3	20	1	20	
Analysis Method	FUS-ISE	FUS-XRF	FUS-ICP	FUS-ICP	FUS-ICP	FUS-ICP	FUS-ICP	FUS-ICP	FUS-ICP	FUS-ICP	FUS-ICP	FUS-ICP	FUS-ICP	FUS-ICP	FUS-ICP	FUS-ICP	FUS-ICP	FUS-ICP	FUS-ICP	FUS-ICP	FUS-ICP	FUS-MS	FUS-MS	FUS-MS	
SX18-01 Cert		0.695																							
SX18-04 Meas		1.338																							
SX18-04 Cert		1.32																							
SX18-05 Meas		0.984																							
SX18-05 Cert		0.973																							
SARM 3 Meas																		4497		10910					
SARM 3 Cert																		4565		11119					
USZ 44-2007 Meas																				1146		15500			
USZ 44-2007 Cert																				1102		15800			
SX58-04 (DH 5804) Meas		0.366																							
SX58-04 (DH 5804) Cert		0.369																							
205463 Orig	1.04	0.029	58.39	15.40	8.58	0.253	0.18	3.17	5.62	5.50	0.364	0.07	0.70	98.24	31	16	< 5	19	462	2356	232	< 20	< 1	< 20	
205463 Dup	1.04	0.029	58.54	15.40	8.42	0.250	0.18	3.12	5.69	5.56	0.358	0.06	0.70	98.28	31	15	< 5	19	456	2382	231	< 20	< 1	< 20	
205463 Orig	1.02																								
205463 Dup	0.97																								
205473 Orig	0.25	< 0.003	72.35	12.83	2.77	0.031	0.11	1.01	3.15	5.21	0.195	0.04	0.62	98.31	2	7	< 5	87	47	350	624	< 20	2	< 20	
205473 Dup	0.25	< 0.003	72.87	12.97	2.78	0.031	0.11	0.99	3.22	5.35	0.194	0.05	0.62	99.19	2	7	< 5	88	47	358	630	< 20	1	< 20	
205480 Orig	0.004	0.004	74.12	13.12	2.05	0.020	0.07	0.64	3.02	6.11	0.142	0.03	0.46	99.78	2	5	< 5	93	30	200	854	< 20	< 1	< 20	
205480 Split	0.09	0.003	72.62	13.00	2.03	0.020	0.07	0.64	2.85	6.04	0.144	0.03	0.36	97.80	2	5	< 5	93	29	196	855	< 20	1	< 20	
205488 Orig	0.59	0.062	62.10	15.60	5.24	0.208	0.11	1.46	5.70	5.97	0.301	0.08	0.56	97.31	9	155	< 5	94	387	2472	1135	< 20	< 1	< 20	
205488 Dup	0.56	0.060	62.24	15.84	5.15	0.205	0.11	1.43	5.71	6.01	0.300	0.08	0.56	97.64	9	153	< 5	95	373	2389	1144	< 20	< 1	< 20	
205499 Orig		0.003	65.69	15.86	3.95	0.069	0.18	1.72	4.11	6.00	0.342	0.10	0.57	98.58	12	8	< 5	211	66	596	2171	< 20	< 1	< 20	
205499 Split	0.09	< 0.003	65.92	15.55	3.84	0.068	0.18	1.74	3.91	5.94	0.334	0.08	0.40	97.95	12	8	< 5	214	63	621	2241	< 20	1	< 20	
205505 Orig	0.11	0.038	45.82	9.31	26.04	0.785	1.02	6.33	3.17	2.90	1.336	0.67	0.01	97.41	334	9	< 5	18	768	6438	272	< 20	< 1	< 20	
205505 Dup	0.11	0.038	46.34	9.37	26.02	0.786	1.03	6.31	3.20	2.93	1.343	0.67	0.01	98.03	336	9	< 5	18	770	6528	274	< 20	< 1	< 20	
205522 Orig	0.04	< 0.003	72.11	12.49	3.35	0.038	0.12	0.90	2.85	6.15	0.283	0.03	0.65	98.78	5	4	6	94	103	213	916	< 20	< 1	< 20	
205522 Dup	0.04	< 0.003	71.58	12.43	3.37	0.038	0.11	0.90	2.62	6.06	0.287	0.02	0.65	98.05	5	3	5	94	99	202	911	< 20	< 1	< 20	
205522 Orig	0.04																								
205522 Dup	0.04																								
205531 Orig			76.23	11.57	1.53	0.021	0.07	0.65	2.51	5.43	0.089	< 0.01	0.69	98.80	< 1	4	< 5	126	12	237	385				
205531 Dup			76.92	11.62	1.55	0.021	0.06	0.66	2.52	5.41	0.089	0.01	0.69	99.55	< 1	4	< 5	127	13	235	385				
205537 Orig	0.49	0.389	66.44	13.35	6.20	0.114	0.09	1.30	4.34	4.56	0.261	0.05	0.61	97.32	8	14	12	124	897	3040	1153	< 20	< 1	< 20	
205537 Dup	0.49	0.390	66.93	13.32	6.17	0.113	0.10	1.28	4.37	4.59	0.263	0.06	0.61	97.82	8	13	6	123	891	3017	1152	< 20	< 1	< 20	
205540 Orig	< 0.01	0.169	74.35	12.35	3.22	0.042	0.04	0.13	4.10	4.47	0.066	0.02	0.47	99.25	3	16	< 5	20	301	2603	95	< 20	< 1	< 20	
205540 Split	< 0.01	0.171	72.72	12.30	3.23	0.042	0.05	0.13	3.97	4.38	0.067	0.01	0.47	97.38	3	16	< 5	20	298	2531	95	< 20	< 1	< 20	
205549 Orig	0.56	0.077	66.11	15.00	3.42	0.040	0.09	1.47	4.52	6.01	0.248	0.05	0.62	97.58	6	25	< 5	136	427	1515	1689	< 20	1	< 20	
205549 Split	0.56	0.077	66.63	14.73	3.43	0.040	0.09	1.50	4.39	5.79	0.249	0.05	0.65	97.55	6	25	< 5	137	416	1575	1671	< 20	< 1	< 20	
205554 Orig	0.22	0.072	74.32	12.86	2.00	0.024	0.08	0.72	4.18	4.62	0.093	0.03	0.54	99.48	5	21	< 5	48	144	436	434	< 20	< 1	< 20	
205554 Dup	0.21	0.072	74.87	13.06	2.02	0.024	0.08	0.73	4.21	4.67	0.094	0.01	0.54	100.3	5	21	< 5	48	143	433	437	< 20	< 1	< 20	
205554 Orig	0.25																								
205554 Dup	0.25																								
Method Blank Method Blank																						< 20	< 1	< 20	
Method Blank Method Blank	< 0.01																								
Method Blank Method Blank		< 0.003																							

Quality Control																									
Analyte Symbol	Cu	Zn	Ga	Ge	As	Rb	Mo	Ag	In	Sn	Sb	Cs	Bi	La	Ce	Pr	Nd	Sm	Eu	Gd	Tb	Dy	Ho	Er	
Unit Symbol	ppm	ppm	ppm	ppm	ppm	ppm	ppm	ppm	ppm	ppm	ppm	ppm	ppm	ppm	ppm	ppm	ppm	ppm	ppm	ppm	ppm	ppm	ppm	ppm	
Detection Limit	10	30	1	1	5	2	2	0.5	0.2	1	0.5	0.5	0.4	0.1	0.1	0.05	0.1	0.1	0.05	0.1	0.1	0.1	0.1	0.1	
Analysis Method	FUS-MS	FUS-MS	FUS-MS	FUS-MS	FUS-MS	FUS-MS	FUS-MS	FUS-MS	FUS-MS	FUS-MS	FUS-MS	FUS-MS	FUS-MS	FUS-MS	FUS-MS	FUS-MS	FUS-MS	FUS-MS	FUS-MS	FUS-MS	FUS-MS	FUS-MS	FUS-MS	FUS-MS	
WMG-1 Meas	6350	110	10		11		< 2	1.8		3	2.2	0.6						2.4	0.80		0.5	2.7	0.5		
WMG-1 Cert	5900	110	10.3		7.00		1.40	2.70		2.20	1.80	0.480						2.30	0.820		0.300	2.80	0.500		
DH-1a Meas																									
DH-1a Cert																									
TAN-1 Meas						2660																			
TAN-1 Cert						2700																			
NIST 694 Meas																									
NIST 694 Cert																									
DNC-1 Meas	100	60									0.9			3.4			4.7		0.59						
DNC-1 Cert	100.0	70.0									0.96			3.6			5.20		0.59						
GBW 07113 Meas																									
GBW 07113 Cert																									
LKSD-3 Meas	30	150			28	71	< 2	2.7		2	0.8	2.3		51.3	91.6		41.5	7.6	1.50			4.9			
LKSD-3 Cert	35.0	152			27.0	78.0	2.00	2.70		3.00	1.30	2.30		52.0	90.0		44.0	8.00	1.50			4.90			
NIST 1633b Meas																									
NIST 1633b Cert																									
OKA-2 Meas																							1560		
OKA-2 Cert																						1480			
AC-E Meas																									
AC-E Cert																									
OKA-1 Meas																									
OKA-1 Cert																									
W-2a Meas	110	90	18	2	< 5	19	< 2	< 0.5				0.9	< 0.4	11.3	24.5		13.0	3.3	1.10		0.6	3.8	0.8	2.6	
W-2a Cert	110	80.0	17.0	1.00	1.20	21.0	0.600	0.0460				0.990	0.0300	10.0	23.0		13.0	3.30	1.00		0.630	3.60	0.760	2.50	
SY-4 Meas																									
SY-4 Cert																									
CTA-AC-1 Meas	50	< 30												2120	3310		1090	161	44.0	119	13.4				
CTA-AC-1 Cert	54.0	38.0												2176	3326		1087	162	46.7	124	13.9				
BIR-1a Meas	130	80	15		< 5						0.7			0.6	2.0		2.3	1.1	0.52	1.9					
BIR-1a Cert	125	70	16		0.44						0.58			0.63	1.9		2.5	1.1	0.55	2.0					
NCS DC86312 Meas														2420	182		1590			230	34.8	184	35.7	96.4	
NCS DC86312 Cert														2360.000	190.000		1600.000			225.0	34.6	183.00	35.70	96.2	
VS-N Meas																									
VS-N Cert																									
NCS DC86302 Meas																									
NCS DC86302 Cert																									
NCS DC70014 Meas	2660	7400	25				270	16.7			180		80.3	44.6	85.5	10.1	40.1	8.0	1.80	7.2	1.0	6.4	1.3	3.5	
NCS DC70014 Cert	2600.00	7400.00	25.2				270.000	16.7			180.000		80.3	45.3	87.0	10.8	39.9	8.0	1.8	7.4	1.1	6.7	1.3	3.5	
IGS 40 Meas														20700	32300	2690	8440			85.2					
IGS 40 Cert														20720	32247	2730	8320			86.35					
NCS DC86316 Meas																									
NCS DC86316 Cert																									
NCS DC70009 (GBW07241) Meas		100	17	11	68	504		1.5	1.3	1700	3.0	42.9		22.4	58.8	7.68	31.5	12.5		14.6	3.3	20.5	4.3	12.9	
NCS DC70009 (GBW07241) Cert		100.000	16.5	11.2	69.9	500.00		1.8	1.3	1701	3.1	41		23.7	60.3	7.9	32.9	12.5		14.8	3.3	20.7	4.5	13.4	
OREAS 100a (Fusion) Meas	170						23							253	478	48.2	148	24.0	3.62	22.6	4.0	22.7	4.9	14.5	
OREAS 100a (Fusion) Cert	169						24.1							260	463	47.1	152	23.6	3.71	23.6	3.80	23.2	4.81	14.9	
OREAS 101a (Fusion) Meas	430						20							800	1420	134	387	49.6	7.89		5.7	32.6	6.4	18.5	
OREAS 101a (Fusion) Cert	434						21.9							816	1396	134	403	48.8	8.06		5.92	33.3	6.46	19.5	
JR-1 Meas	< 10	< 30	17	3	18	251	3	< 0.5	< 0.2	3	1.0	21.0	0.7	19.3	47.6	5.59	23.1	5.9	0.31	5.3	0.9	5.6	1.1	3.6	
JR-1 Cert	2.88	30.6	16.1	1.88	16.3	257	3.25	0.031	0.028	2.86	1.19	20.8	0.56	19.7	47.2	5.58	23.3	6.03	0.30	5.06	1.01	5.69	1.11	3.61	
NCS DC86318 Meas														1930	429	709	3340	1650	18.0	2140	473	565	1680		
NCS DC86318 Cert														1960	430	740	3430	1720	18.91	2095	470	560	1750		
SX18-01 Meas																									

Activation Laboratories Ltd. Report: A10-5928 rev 1

Quality Control																									
Analyte Symbol	Cu	Zn	Ga	Ge	As	Rb	Mo	Ag	In	Sn	Sb	Cs	Bi	La	Ce	Pr	Nd	Sm	Eu	Gd	Tb	Dy	Ho	Er	
Unit Symbol	ppm	ppm	ppm	ppm	ppm	ppm	ppm	ppm	ppm	ppm	ppm	ppm	ppm	ppm	ppm	ppm	ppm	ppm	ppm	ppm	ppm	ppm	ppm	ppm	
Detection Limit	10	30	1	1	5	2	2	0.5	0.2	1	0.5	0.5	0.4	0.1	0.1	0.05	0.1	0.1	0.05	0.1	0.1	0.1	0.1	0.1	
Analysis Method	FUS-MS	FUS-MS	FUS-MS	FUS-MS	FUS-MS	FUS-MS	FUS-MS	FUS-MS	FUS-MS	FUS-MS	FUS-MS	FUS-MS	FUS-MS	FUS-MS	FUS-MS	FUS-MS	FUS-MS	FUS-MS	FUS-MS	FUS-MS	FUS-MS	FUS-MS	FUS-MS	FUS-MS	
SX18-01 Cert																									
SX18-04 Meas																									
SX18-04 Cert																									
SX18-05 Meas																									
SX18-05 Cert																									
SARM 3 Meas																									
SARM 3 Cert																									
USZ 44-2007 Meas																									
USZ 44-2007 Cert																									
SX58-04 (DH 5804) Meas																									
SX58-04 (DH 5804) Cert																									
205463 Orig	30	380	67	5	10	459	4	< 0.2	12	< 0.5	2.6	< 0.4	1160	2250	201	660	104	3.18	76.2	14.5	91.6	19.3	58.4		
205463 Dup	30	370	68	5	10	458	4	< 0.2	12	< 0.5	2.6	< 0.4	1120	2200	196	645	102	3.11	74.6	14.2	91.0	18.9	58.0		
205463 Orig																									
205463 Dup																									
205473 Orig	< 10	70	28	2	< 5	246	7	1.1	< 0.2	5	< 0.5	2.4	< 0.4	96.2	190	18.9	64.7	9.8	1.35	7.1	1.3	7.6	1.7	5.3	
205473 Dup	< 10	60	28	2	< 5	247	7	1.2	< 0.2	5	< 0.5	2.4	< 0.4	97.1	193	19.2	66.8	10.1	1.35	7.1	1.3	7.6	1.6	5.3	
205480 Orig	< 10	< 30	25	2	< 5	256	< 2	< 0.5	< 0.2	3	< 0.5	2.0	< 0.4	229	450	40.3	135	16.1	1.34	9.2	1.1	5.1	0.9	2.8	
205480 Split	< 10	50	26	2	< 5	248	< 2	0.7	< 0.2	3	< 0.5	2.1	< 0.4	217	425	39.8	133	16.2	1.49	8.1	1.0	5.0	1.0	3.0	
205488 Orig	< 10	540	58	3	20	562	11	< 0.2	139	< 0.5	11.3	< 0.4	567	918	78.9	253	39.7	2.83	31.0	6.2	44.1	10.8	41.5		
205488 Dup	< 10	530	59	3	14	564	8	< 0.2	141	< 0.5	11.3	< 0.4	573	919	78.6	254	39.9	2.81	30.1	6.2	44.2	10.9	42.3		
205499 Orig	< 10	130	30	2	< 5	246	< 2	2.4	< 0.2	10	< 0.5	1.6	< 0.4	145	292	29.2	106	17.0	3.95	12.3	2.0	11.3	2.3	7.4	
205499 Split	< 10	130	33	2	< 5	247	4	2.2	< 0.2	10	< 0.5	1.7	< 0.4	141	280	28.4	107	16.8	4.41	12.6	1.9	11.1	2.4	7.4	
205505 Orig	< 10	600	49	7	< 5	170	29		0.4	11	< 0.5	0.6	< 0.4	1690	3850	427	1640	256	5.08	180	27.8	162	31.5	88.6	
205505 Dup	< 10	610	49	7	< 5	169	30		0.4	11	< 0.5	0.6	< 0.4	1770	3980	440	1690	264	5.27	186	28.8	164	32.2	89.4	
205522 Orig	< 10	< 30	35	3	< 5	223	< 2	< 0.5	< 0.2	6	< 0.5	2.4	< 0.4	2490	4300	369	1120	113	2.37	58.4	5.7	23.1	3.8	9.6	
205522 Dup	< 10	< 30	35	3	< 5	221	< 2	< 0.5	< 0.2	5	< 0.5	2.3	< 0.4	2470	4320	368	1110	111	2.31	56.6	5.5	23.1	3.7	9.4	
205522 Orig																									
205522 Dup																									
205531 Orig																									
205531 Dup																									
205537 Orig	< 10	800	59	5	5	366	3		0.2	28	< 0.5	4.1	0.6	862	1920	195	701	136	4.54	117	20.0	128	27.7	85.4	
205537 Dup	< 10	770	57	5	5	355	3		< 0.2	27	< 0.5	4.0	0.4	836	1870	190	676	132	4.43	117	19.6	126	26.9	83.5	
205540 Orig	< 10	340	56	4	< 5	355	2		< 0.2	18	< 0.5	2.3	< 0.4	130	399	47.6	179	39.5	0.90	34.3	6.4	41.6	9.4	31.0	
205540 Split	< 10	340	55	4	< 5	350	< 2		< 0.2	17	< 0.5	2.3	0.4	126	393	47.5	179	40.0	0.92	34.1	6.2	41.4	9.4	30.8	
205549 Orig	< 10	240	43	3	< 5	704	2		< 0.2	26	< 0.5	5.1	< 0.4	386	848	81.5	270	47.9	3.31	42.6	8.1	51.3	11.5	38.3	
205549 Split	< 10	230	42	3	< 5	658	2		< 0.2	26	0.5	5.0	< 0.4	390	848	80.1	263	45.8	3.22	40.5	7.7	48.8	10.8	36.5	
205554 Orig	< 10	220	40	3	< 5	323	2	1.4	< 0.2	13	< 0.5	2.0	< 0.4	99.0	220	22.9	78.6	15.9	1.26	14.8	3.1	20.4	4.7	16.0	
205554 Dup	< 10	180	41	3	< 5	329	< 2	1.4	< 0.2	14	0.6	2.1	< 0.4	99.5	220	22.9	78.6	15.6	1.25	15.1	3.1	20.9	4.8	16.3	
205554 Orig																									
205554 Dup																									
Method Blank Method Blank	< 10	< 30	< 1	< 1	< 5	< 2	< 2	< 0.5	< 0.2	< 1	< 0.5	< 0.5	< 0.4	< 0.1	< 0.1	< 0.05	< 0.1	< 0.1	< 0.05	< 0.1	< 0.1	< 0.1	< 0.1	< 0.1	
Method Blank Method Blank																									
Method Blank Method Blank																									

Quality Control										
Analyte Symbol	Tm	Yb	Lu	Hf	Ta	W	Tl	Pb	Th	U
Unit Symbol	ppm	ppm	ppm	ppm	ppm	ppm	ppm	ppm	ppm	ppm
Detection Limit	0.05	0.1	0.04	0.2	0.1	1	0.1	5	0.1	0.1
Analysis Method	FUS-MS	FUS-MS	FUS-MS	FUS-MS	FUS-MS	FUS-MS	FUS-MS	FUS-MS	FUS-MS	FUS-MS
WMG-1 Meas	0.21	1.3	0.20	1.7	0.4	2		19	1.3	
WMG-1 Cert	0.200	1.30	0.210	1.30	0.500	1.30		15.0	1.10	
DH-1a Meas									903	
DH-1a Cert									910	
TAN-1 Meas					2360					
TAN-1 Cert					2360					
NIST 694 Meas										
NIST 694 Cert										
DNC-1 Meas		1.9								
DNC-1 Cert		2.0								
GBW 07113 Meas										
GBW 07113 Cert										
LKSD-3 Meas		2.7	0.38	4.8	0.7	3		30	10.5	4.7
LKSD-3 Cert		2.70	0.400	4.80	0.700	2.00		29.0	11.4	4.60
NIST 1633b Meas										
NIST 1633b Cert										
OKA-2 Meas									28100	
OKA-2 Cert									28900	
AC-E Meas										
AC-E Cert										
OKA-1 Meas										
OKA-1 Cert										
W-2a Meas	0.38	2.1	0.31	2.5	0.5		< 0.1	8	1.4	0.5
W-2a Cert	0.380	2.10	0.330	2.60	0.500		0.200	9.30	2.40	0.530
SY-4 Meas										
SY-4 Cert										
CTA-AC-1 Meas		10.5	1.03	1.2	2.7				22.7	3.9
CTA-AC-1 Cert		11.4	1.08	1.13	2.65				21.8	4.4
BIR-1a Meas		1.7	0.27	0.6						
BIR-1a Cert		1.7	0.3	0.60						
NCS DC86312 Meas	14.4	87.5	12.1						25.5	
NCS DC86312 Cert	15.1	87.79	11.96						23.6	
VS-N Meas										
VS-N Cert										
NCS DC86302 Meas										
NCS DC86302 Cert										
NCS DC70014 Meas	0.55	3.6	0.49					27200		
NCS DC70014 Cert	0.57	3.3	0.50					27200.00		
IGS 40 Meas										
IGS 40 Cert										
NCS DC86316 Meas				712						
NCS DC86316 Cert				712						
NCS DC70009 (GBW07241) Meas	2.33	16.1	2.27			2200	2.1		28.3	
NCS DC70009 (GBW07241) Cert	2.2	14.9	2.4			2200.00	1.8		28.3	
OREAS 100a (Fusion) Meas	2.36	15.4	2.13						51.3	136
OREAS 100a (Fusion) Cert	2.31	14.9	2.26						51.6	135
OREAS 101a (Fusion) Meas	2.90	17.9	2.47						35.3	422
OREAS 101a (Fusion) Cert	2.90	17.5	2.66						36.6	422
JR-1 Meas	0.70	4.7	0.69	4.3	1.9		1.5	20	27.2	9.1
JR-1 Cert	0.67	4.55	0.71	4.51	1.86		1.56	19.3	26.7	8.88
NCS DC86318 Meas	269	1750	253							
NCS DC86318 Cert	270	1840	260.0							
SX18-01 Meas										

Quality Control										
Analyte Symbol	Tm	Yb	Lu	Hf	Ta	W	Tl	Pb	Th	U
Unit Symbol	ppm	ppm	ppm	ppm	ppm	ppm	ppm	ppm	ppm	ppm
Detection Limit	0.05	0.1	0.04	0.2	0.1	1	0.1	5	0.1	0.1
Analysis Method	FUS-MS	FUS-MS	FUS-MS	FUS-MS	FUS-MS	FUS-MS	FUS-MS	FUS-MS	FUS-MS	FUS-MS

SX18-01 Cert										
SX18-04 Meas										
SX18-04 Cert										
SX18-05 Meas										
SX18-05 Cert										
SARM 3 Meas										
SARM 3 Cert										
USZ 44-2007 Meas										
USZ 44-2007 Cert										
SX58-04 (DH 5804) Meas										
SX58-04 (DH 5804) Cert										
205463 Orig	8.79	57.8	9.33	51.3	10.1	2	1.6	76	193	22.9
205463 Dup	8.71	58.0	9.23	53.8	10.3	2	1.5	72	189	22.6
205463 Orig										
205463 Dup										
205473 Orig	0.85	5.8	0.96	12.1	2.3	< 1	1.2	107	483	38.5
205473 Dup	0.83	5.9	0.98	12.6	2.3	< 1	1.2	107	486	39.0
205480 Orig	0.43	2.8	0.44	6.2	1.3	< 1	1.1	91	364	17.5
205480 Split	0.45	2.9	0.47	6.6	1.3	2	1.2	96	357	17.6
205488 Orig	8.10	64.7	11.5	98.0	27.3	< 1	3.4	913	210	26.0
205488 Dup	8.21	63.9	11.6	96.9	27.4	6	3.3	882	212	26.0
205499 Orig	1.06	6.9	1.11	13.6	2.4	< 1	1.1	50	27.2	3.6
205499 Split	1.10	7.2	1.16	14.9	2.3	2	1.1	51	25.8	3.6
205505 Orig	12.7	79.0	12.1	121	9.1	< 1	0.4	47	246	22.3
205505 Dup	12.6	83.0	13.4	126	9.6	< 1	0.4	47	251	22.7
205522 Orig	1.25	8.2	1.27	5.5	1.1	< 1	1.0	41	419	5.7
205522 Dup	1.26	7.8	1.23	4.8	1.0	< 1	1.0	40	403	5.5
205522 Orig										
205522 Dup										
205531 Orig										
205531 Dup										
205537 Orig	13.4	92.3	14.9	99.3	179	11	1.3	194	125	129
205537 Dup	13.2	90.1	14.5	97.0	178	11	1.2	178	123	126
205540 Orig	5.37	39.1	6.48	84.5	72.7	8	1.3	212	85.4	73.8
205540 Split	5.18	38.5	6.42	81.8	70.1	7	1.3	220	84.8	72.9
205549 Orig	6.47	44.3	6.83	46.5	32.6	6	2.2	128	124	20.4
205549 Split	6.20	42.0	6.47	47.9	32.8	6	2.1	126	121	20.1
205554 Orig	2.91	20.2	3.19	17.1	34.9	5	1.3	102	50.0	26.7
205554 Dup	2.92	20.5	3.26	17.7	35.9	5	1.2	98	51.2	27.4
205554 Orig										
205554 Dup										
Method Blank Method Blank	< 0.05	< 0.1	< 0.04	< 0.2	< 0.1	< 1	< 0.1	< 5	< 0.1	< 0.1
Method Blank Method Blank										
Method Blank Method Blank										
Method Blank Method Blank										